

224.

Н.С. БИБУТОВ

МАТЕРИАЛЛАР
КАРШИЛИГИ
АСОСЛАРИ

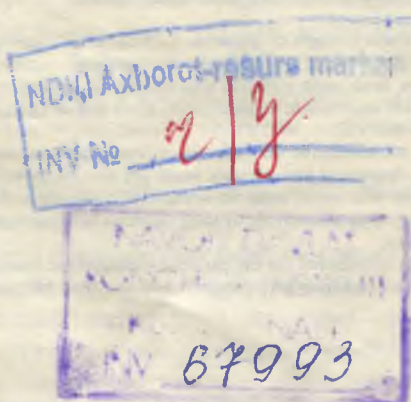
ТОШКЕНТ – 2003

30.12.1.

Н.С. БИБУТОВ

МАТЕРИАЛЛАР ҚАРШИЛИГИ АСОСЛАРИ

Ўзбекистон Республикаси Олий ва урта маҳсус таълим вазирлиги томонидан олий ўқув юртлари талабалари учун дарслик сифатида тавсия этилган



«Минҳож» нашриёти
ТОШКЕНТ — 2003

30.121

Б 66

Тақрізчилар: Бұхоро ғозиқ-овқат ва енгил саноат технологияси институти доценти Д.Ш. Базарбаева; Тошкент Давлат Техника Университети доценти А. Ваҳобов.

Материаллар қаршилиги конструкция элементтерини мустаҳкамлікка, бикримдікке және үстүнлікке мүхандисчы қысметтердің таңынан орындауда көзқарас беруде маңыздырылады. Материалларның физикалық-механик мүнәсабаттарын, қызылардың қаршилигіндеғі әсерлердің мәндерін, деформациялардың үрганылышын изследууда маңыздырылады.

Китобда материаллар қаршилигінде масалаларни ечиш үслуби көлтирилган, назарий матнны қысқартырып, әзизиге сипаттаудан масалаларнинг сони күпайтырылды.

Дарслық қурилиш, транспорт және машинасөзлик мұтакассислигін бүйіча тәжілім оластын бакалаврлар учун мұлжалданған.

Наука о сопротивлении материалов является основой всех инженерных расчетов на прочность, жесткость, и устойчивость элементов конструкций.

В книге изучаются физико-механические свойства материалов, напряжения и деформации при растяжении, сдвиге, кручении, изгибе и при сложном сопротивлении прямых и кривых стержней.

Изучаются законы устойчивости элементов конструкций, а также поведение материалов при действии динамических и переменных нагрузок.

В книге рассматривается методика решения задач по сопротивлению материалов, удалось сократить теоретический материал и увеличить количество примеров решения задач.

Книга предназначена для очных и заочных бакалавров строительных, транспортных и машиностроительных специальностей.

Science about strength of materials is a basis of all engineer calculation for durability, hardness and sturdiness of elements of constructions.

The book deals with physical and mechanical properties of the materials, strain and deformation on tension, displacement, bend and on complicated strength of straight and curved rod.

Laws of sturdiness of the elements of constructions, and conduct of materials on the action of dynamical and variable loads are studied as well.

Method of solution of tasks on strength of materials is also considered in the book

We managed to shorten theoretical material and increase the number of examples of tasks solution.

The book is intended for the bachelors of day time and extramural departments on the specialities of construction, transport and machine-building.

ББК 30.121 я73

© Н. С. Бибутов «Минжө» нашриети, 2003 й.

СЎЗ БОШИ

Халқнинг бой интеллектуал мероси ва умумбашарий қадриятлар асосида замонавий маданият, иқтисодиёт, фантехника ва технологияларнинг ютуқлари асосида кадрлар тайёрлашнинг мукаммал тизимини шакллантириш Ўзбекистон тараққиётининг муҳим шаклидир, дейилган Кадрлар тайёрлаш миллий дастурида. Бу юксак вазифани амалга ошириш учун ёшларни ҳар томонлама баркамол қилиб тарбиялаш, жаҳон андозалари талабига мос равишда билимили мутахассислар тайёрлаш мақсадга мувофиқдир.

Ўзбекистон Республикаси Вазирлар Маҳкамасининг 1998 йил 24 февралдаги "Академик лицейлар ва касб-хунар коллежларини ташкил этиш ва уларнинг фаолиятини бошқариш тўғрисида"ги 77-сонли Қарорида Бухоро озиқ-овқат ва енгил саноат технологияси институти касб-хунар коллежлари учун малакали мұҳандис-педагог кадрлар тайёрлаш бўйича таянч олий таълим муассасаси қилиб белгиланиши билан бир қаторда Ўзбекистон Давлат стандартига мос замонавий дарсликлар тузиш, ўқиш ва ўқитиш ишларида янтича ёндашув бўлиши зарурлиги ҳам белгилаб берилди.

"Материаллар қаршилиги асослари" тўплами қурилиш, қишлоқ хўжалигини механизациялаш, машинасозлик йўналишларида бакалаврлар тайёрлайдиган олий ўқув юртларининг талабалари учун дарслик сифатида ёзилган.

"Материаллар қаршилиги асослари" дарслигига маърузаларни мустаҳкамлаш учун ҳар бир бобдан кейин масалаларнинг ечими келтирилган. Дарсликни ёзишда ўзбек ва рус тилларидаги мавжуд адабиётлардан [1, 2, 3, 4, 5, 6, 7] фойдаланилди.

Ушбу дарсликни ёзишда ўзларининг қимматли маслаҳатларини берган Бухоро озиқ-овқат ва енгил саноат технологияси институти "Механика" кафедрасининг мудири профессор М.М. Муродовга ва Тошкент Давлат Техника Университети "Назарий механика ва машина дисталлари" кафедрасининг мудири техника фанлари доктори Ш. Шообидовга муаллиф ўз миннатдорчилигини билдиради. Талабалар таълим олаётган мутахассислигига боғлиқ ҳолда айрим мавзулар ёки боблар қисқартирилган ҳажмда ўрганилиши мумкин.

КИРИШ

Хозирги замон машинасозлик саноати мұраккаб қаралат құлувчи, катта құвватли, тезюар ҳамда юқори сифатлы, енгил конструкциялы машина ва механизмларни яратмоқда.

Машина ва иншоотни лойиҳалашда асосий әтибор унинг барча қисмлари ташқи күч ва бошқа факторлар (жарорат, юқори босим, катта деформация тезлигі ва ҳ.к.) таъсирида үз шаклини ва хусусиятини, яғни мустаҳкамлигини таъминлашга қаратилиши зарур.

Мустаҳкамликни таъминлашда машина ёки иншоот қисмнинг материалы ва кесимини танлаш асосий роль үйнайды. Күпинча мустаҳкамликни ошириш учун элементнинг оғирилгі катталаштирилади. Бу ҳолатда оптика материал сарфланады ҳамда тежамкорлық жиһатдан ноқуладыр. Машина ёки иншоот қисмларини ишлаш жараёнига күра мустаҳкамлик турлича булиши мүмкін. Масалан, күп ҳолларда мустаҳкамлик — реал шароитда — узок муддатда элементнинг геометрик үлчами ёки шаклини үзгартирумаслигини таъминлашга қаратылса, айрим ҳолларда катта күч таъсирида элементларнинг шаклини бир ҳолатдан иккінчи ҳолатға ва яна қайтиб бошланғыч ҳолатға үтишини таъминлашга қаратылади. Масалан, машиналарнинг рессорлари, пружиналар ва ҳ.к.

Машина ва иншоот қисмлари айрим ҳолатларда мустаҳкамлигини *йүқотиши натижасида эмде, балки шаклини* үзгартыриши натижасида емирилиши мүмкін. Масалан, ингичка ва узун стержень сиқувчи күч таъсирида үз шаклини үзгартыради, яғни стержень тұғри чизикли ҳолатыни йүқотади. Агар күч аста-секін үсіб борса, сиқувчи күчни қайсидир қийматида стерженнинг шакли әгри чизик-

лигича қолади ёки стержень емирилади. Умуман, сиқувчи күч таъсирида стержень шаклини ўзгартириш жараёни — стержень устуворлигининг йўқотилиши, дейилади. Демак, стерженлар устуворлигини йўқотиши натижасида ҳам емирилиши мумкин экан.

Иншоот ва машина қисмларининг шакли ёки геометрик ўлчами ўзгармаслигини (мустаҳкамлигини ҳисобга олиб) таъминлаш учун унинг бикрлигини ошириш керак. Бикрлик — деформацияланишга мойил эмас, деган маънени билдириб, материалнинг физик-механик хоссасига боғлиқдир.

Демак, **материаллар қаршилиги машина ва иншоот қисмларининг мустаҳкамлигини, устуворлигини ва бикрлигини ҳисоблаш усувларини ўргатувчи фандир.**

Материаллар қаршилиги мустаҳкамлик, устуворлик ва бикрликни элементларнинг деформациясига боғлаб ўрганади. Бу масалалар билан қаттиқ жисмлар механикаси фанининг эластиклик назарияси, пластиклик назарияси, қурилиш механикаси ва ҳ.к. сингари соҳалари ҳам шугулланади. Материаллар қаршилиги бошқа фанлардан узининг амалийлиги билан фарқ қиласи, яъни конструкция қисми ташқи кучга бардош берадими-йўқми, мустаҳкамлиги етарлимни, бикрлик даражаси қанчалигини фақат назарияда эмас, балки амалиётда, тажрибада синааб кўради. Материаллар қаршилигининг ҳисоблаш ва амалий усувлари математика, физика, кимё, назарий механика, материалшунослик ва шу сингари бир қанча фанларнинг тараққиёти билан боғлиқ равишда жадал ривожланмоқда.

МАТЕРИАЛЛАР ҚАРШИЛИГИ ФАНИНИНГ РИВОЖЛАНИШИ ТАРИХИ ТЎҒРИСИДА ҚИСҚАЧА МАЪЛУМОТ

Материаллар қаршилиги фанининг тарихий тараққиётида асосий ўринлардан бирини итальян олими Г. Галилей (1564—1642) эгаллайди. У дастлаб стерженларнинг қаршилик кўрсата олишини баҳолаш аналитик равишда ҳисобланиши зарурлигини кўрсатди. Материаллар қаршилиги

да эластиклик назариясининг аҳамиятини қўрсатди ва эгри брусларга оид тажрибалар олиб борди.

Материаллар қаршилиги бўйича рус тилида ёзилган биринчи дарслик 1774 йилда **С. Котельников** томонидан яратилди.

Материаллар қаршилигини ривожлантиришда **Д. Журавский** (1821—1891), **Ф. Ясинский** (1856—1899), **Н. Беляев** (1890—1944) ларнинг ҳам ҳиссаси каттадир.

«Материаллар қаршилиги» фанидан ўзбек тилида биринчи дарслик 1973 йилда **М.Т. Үрозбоев** томонидан чоп этилди.

Кейинги йилларда материаллар қаршилиги соҳасида иирик тадқиқот ва тажрибалар олиб бораётган олимлар сафига А.А. Илюшин, Э.И. Григорюк, В. Федосьев, В. Болотин, В. Писаренко, В. Качурин, Х. Рахматулин, М. Үрозбоев, К. Мансуров, С. Йўлдошев ва бошқаларни киритиш мумкин.

КУЧ ВА КУЧ ТУРЛАРИ



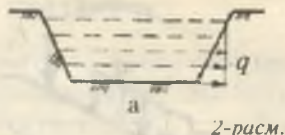
1-расм.

Иншоот ва машина қисмларига таъсир қилувчи кучлар ёки қўйилган юклар ташқи куч бўлади. Ташқи кучлар актив ва реактив кучларга бўлинади. **Актив кучлар** — юк, деб юритилади. Ташқи куч элементларга қўйилиши жиҳатидан тўпланма ёки тақсимланган кучларга бўлинади. Агар юкнинг қўйилиш ўлчамлар конструкция элементи ўлчамларидан жуда кичик бўлса — бундай куч тўпланма куч деб юритилади. Масалан: вагон фидирагининг рельсга босими (1-расм). Тўпланма куч Ньютон (Н); килоњутон (кН) ва тонналарда (т) ўлчанади.

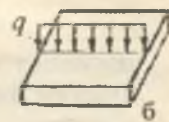
Агар юк конструкция қисмининг юзаси ёки узунлиги бўйлаб таъсир қиласа, бундай куч тақсимланган куч дейилади.

Бундай кучлар тенг тақсимланган ёки тенг тақсимланмаган кучларга бўлинади. Масалан: элемент узунлиги бўйлаб хусусий оғирлигининг ўзгариши тенг тақсимланмаган кучга мисол бўлади (2-а расм). Тақсимланган куч

уузунлик бўйича таъсири
килса
 $\frac{H}{M}$; $\frac{kH}{M}$ ларда, юза
бўйлаб тарқалса
 $\frac{H}{M}$; $\frac{kH}{M}$



2-расм.



б

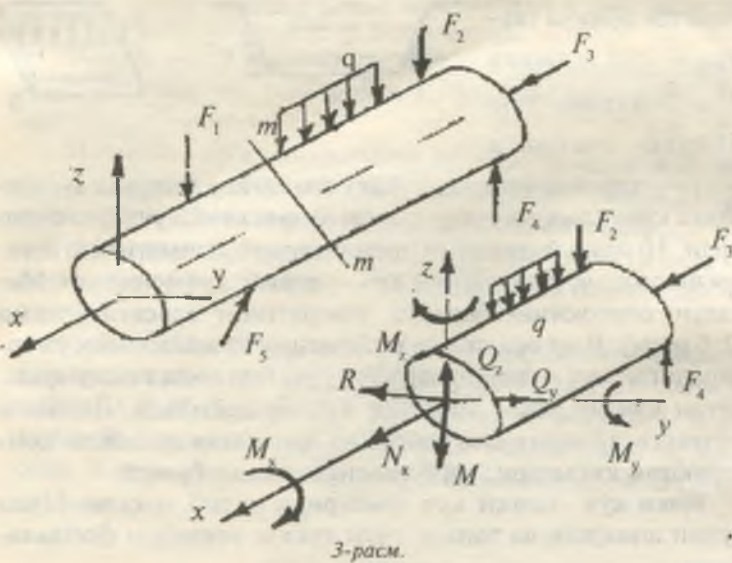
тарзида ўлчанади. Вақт оралиғида ўзгариш хусусига ташқи кўра ташқи кучлар статик ва динамик кучларга бўлинади. Нолдан ўзининг охирги ўзгармас қийматигача астасекин силлиқ ўзгарадиган куч — **статик куч** дейилади. Масалан: станокнинг бетонга, иморатнинг асосига босими (2-б расм). Вақт оралиғида ишорасини ва қийматини ўзгарирадиган куч — такрорланувчи куч; бир онда таъсири қилалидиган кучлар эса — динамик кучлар дейилади. Динамик кучларга айланма ёки тебранма ҳаракатда ишловчи конструкция қисмлари; зарб таъсири мисол бўлади.

Ички куч ташқи куч таъсирида келиб чиқади. Ички кучни аниқлаш ва топиш учун кесиш усулидан фойдаланамиз.

КЕСИШ УСУЛИ. Қаттиқ жисмнинг мустаҳкамлиги ундаги заррачаларнинг ўзаро тортишиш кучлари билан ифодаланади. Жисмга ташқаридан таъсири кўрсатилса, заррачаларнинг ўзаро тортишиш кучлари (таъсиrlари) интенсивлашади (ўзгаради). Ташқи куч таъсирида заррачалар ўзаро таъсирининг интенсивлашишига ички куч дейилади.

Ички кучлар ташқи кучга ва материалнинг физик-механик хоссаларига боғлиқ бўлади. Конструкция қисмларининг мустаҳкамлигини таъминлашда ички куч катта роль ўйнайди.

Берилган ташқи кучлар таъсирида мувозанатда бўлган бруsnинг (3-расм) ихтиёрий танланган кесим юзасидаги ички кучларни аниқлаш учун уни шу кесим юзасидан m — m текислиги билан кесиб Б ва В бўлакларга ажратамиш ва В қисмини ташлаб юборамиш. Натижада, бруsnинг В қисмидаги ташлаб юборилган Б бўлакнинг таъсири йўқотилди. Демак, бруsnинг В қисмидаги мувозанат ҳолати бузилди. Ажратилган В қисм мувозанатини таъминлаш учун унинг кесилган юзасига Б қисм таъсирини бош куч вектори R



3-расм.

ва бош момент вектори \bar{M} күренишида көлтирилиши лозим. Бош күч вектори ва бош момент В қысм учун ички күч ҳисобланади. \bar{R} ва \bar{M} лар XYZ ўқларида учта ташкил этувчиларга бўлиниши мумкин — N_x ; Q_y ; Q_z ; M_x ; M_y ; M_z .

N_x — бўйлама күч, бруснинг бўйлама ўқи бўйлаб йуналган. N_x таъсирида брус ҷўзилади ёки сиқиласди. Q_y ; Q_z бруснинг бўйлама ўқига перпендикуляр жойлашганилиги учун кўндаланг ёки кесувчи (силжитувчи) күч дейилади. M_x — буровчи момент бруснинг кўндаланг кесимида ҳосил бўлади. M_x таъсирида брус буралиш деформациясига учрайди. M_y ва M_z моментлари таъсирида брус эгилади.

N_x , Q_y , Q_z , M_x , M_y , M_z — ички күч факторлари дейилади. Ички күч омилларини топиш учун бруснинг ажратилган қисмидаги барча кучлардан мувозанат шартлари тузилади:

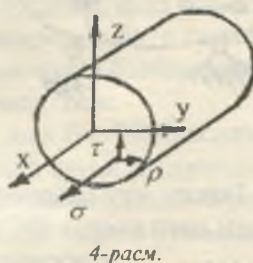
$$\begin{aligned} \Sigma X &= 0 & \Sigma M_x &= 0 \\ \Sigma Y &= 0 & \Sigma M_y &= 0 \\ \Sigma Z &= 0 & \Sigma M_z &= 0 \end{aligned} \quad (1)$$

КУЧЛАНИШ

Ички кучнинг қиймати ва йўналиши брус кўндаланг кесимининг турли нуқталарида ҳар хил бўлиши мумкин. Кесимнинг маълум нуқтасидаги ёки кесим юзаси бўйлаб ички куч қийматининг тарқалиш қонуниятини аниқлаш учун кучланиш тушунчасини киритамиз:

К — нуқта жойлашган элементар юзанинг тўлиқ кучланиши P шу нуқтага қўйилган ички куч dR нинг элементар юза dA га нисбатига тенгдир:

$$P = \lim_{dA \rightarrow \infty} \frac{dR}{dA} \quad (2)$$



4-расм.

Кучланишнинг ўлчов бирлиги Па (Паскаль).

1 ньютон кучнинг 1m^2 юзага нисбати кучланиш бўлиб, 1 Па га tengdir.

Тўлиқ кучланиш P ни кўндаланг кесимнинг юзаси бўйлаб иккита тенг тузувчиларга ажратамиз. Кўндаланг кесимнинг нормали бўйлаб йўналган кучланишни нормал кучланиш (σ) деб қабул қиласиз; кўндаланг кесим юзасига уринма ҳолатда йўналган кучланишни уринма кучланиш (τ) деб қабул қиласиз (4-расм). Тўлиқ кучланиш P билан σ ва τ орасидаги боғланиш қуидагича ифодаланади:

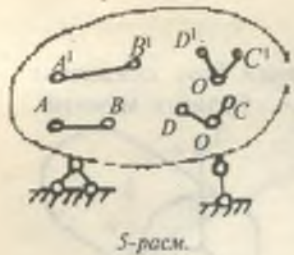
$$P = \sqrt{\sigma^2 + \tau^2} \quad (3)$$

ДЕФОРМАЦИЯ ВА КЎЧИШ

Ташки куч таъсирида жисм ўз шакли ёки геометрик ўлчамини ўзгартирса, бундай ҳолат деформация дейилади.

Шакл ўзгариши натижасида (5-расм) А ва В нуқталар орасидаги масофа ΔS га, ОДС бурчак эса О'Д'С' бурчакка ўзгаради.

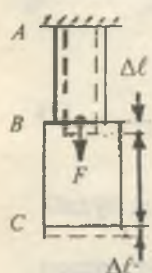
ΔS масофа — А ва В нуқталар оралигининг бир тўғри чизик текислигига ортиши ёки камайиши юз берганлиги



5-расм.

учун чизиқли күчиш деб юритилади. О нүкта атрофида С ва Д нүкталарнинг ўзаро яқинлашиши ёки узоқлашиши **бурчакли күчиш** дейиллади. Чизиқли ва бурчакли күчишларнинг бир нүкта атрофидаги комбинацияси шу нүктанинг деформацияланган ҳолатини аниқлайди.

Ташқи күч таъсирида АВ оралиқнинг деформацияланниши натижасида ВС оралиқ күчади (6-расм), ВС оралиқ деформацияланмайди. Демак, деформация күчиш эмас. Деформациялар оддий ва мураккаб турларга бўлинади. **Оддий деформациялар:** чўзилиш ва сиқилиш; силжиш; буралиш; эгилиш.



6-расм.

Мураккаб деформациялар: қийшиқ эгилиш; марказлашмаган чўзилиш ва сиқилиш; буралишнинг эгилиш билан биргаликдаги таъсири ва ҳ.к.

Эластик ва қолдиқ деформациялар мавжуд. Ташқи күч таъсири йўқотилгандан кейин бошланғич ўлчамлари ёки шакли тикланган стержень деформацияси — эластик, акс ҳолда қолдиқ деформация бўлади.

МАТЕРИАЛЛАР ҚАРШИЛИГИДА ҚАБУЛ ҚИЛИНГАН ГЕПОТЕЗАЛАР

Конструкция элементларини мустаҳкамликка, устуворликка ва бикрликка ҳисоблашни оддийлаштириш ва соддалаштириш учун материаллар қаршилигига айрим гепотезалар қабул қилинган:

1. Конструкция материали бир жинсли ва ғоваксиз, яъни унинг хоссаси элементнинг шакли ва ўлчамларига боғлиқ эмас деб қаралади.

2. Конструкция материали изотроп, яъни унинг хоссаси барча йўналишда бир хил деб қабул қилинади. Бу чек-

ланиш анизотроп материалларда ишлатилмайди. Масалан, ёғоч.

3. Конструкция материали эластиклик хоссасига эга деб қаралади, яъни ташқи куч таъсири йўқотилганда элемент ўзининг бошланғич шакли ва ўлчамларини қайта тиклади. Эластик жисм деформацияси фақат кучга боғлиқ бўлиб, кучларнинг қўйилиш тартибига боғлиқ эмас.

4. Конструкция материалининг ҳар бир нуқтасидаги деформация шу нуқтадаги кучланишга тўғри пропорционал деб қаралади. Бу гепотеза Гук қонуни дейилади. Бунда кучланиш пропорционаллик чегарасидан катта бўлмаслиги керак.

5. Конструкциянинг деформацияси унинг геометрик ўлчамларига нисбатан кичик миқдор деб қаралади. Бу гепотезадан айрим статик аниқмас масалаларни ечишда фойдаланилади.

6. Конструкцияга қўйилган юклар системасининг таъсири алоҳида юклар таъсирларининг йифиндисига тенг деб қабул қилинади.

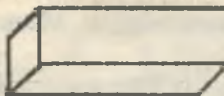
7. Юк қўйилишигача текис бўлган бруснинг кесими юк таъсиридан кейин ҳам текислигича қолади. Бу гепотеза Бернулли гепотезаси дейилади.

КОНСТРУКЦИЯ ЭЛЕМЕНТЛАРИ

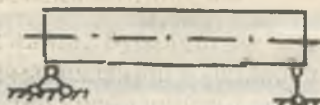
Амалиётда турли конструкция элементлари брус ёки қобиқ қўринишига келтирилади.

Брус деб, иккита геометрик ўлчами (эни ва қалинлиги) узунлигидан анча кичик бўлган элементга айтилади. Ингичка брус — **стержень** дейилади.

Иккита ва ундан ортиқ таянчларга таянган брусга **балка** дейилади. Ўзаро шарнирлар воситасида ёки бикр боғланишда бўлган стерженлар системаси **ферма** дейилади. **Пластинка** деб — қалинлиги қолган ўлчамларидан анча кичик бўлган элементга айтилади. Эгри пластинка қобиқ дейилади.



а)



б)



в)



г)

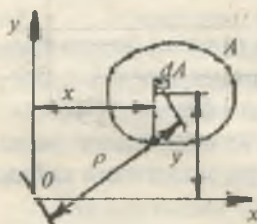
7-расм. а) брус; б) балка; в) пластинка; г) қобиқ.

Юқорида таърифлари келтирилган конструкция элементлари қурилиш, машинасозлик, транспорт ва ҳ.к. саноатларда учрайди. Масалан, кўпприкларнинг асослари, свай, стропила, томларни бекитувчи плиталар, вал ва ўқлар, транспорт воситасининг рамаси, цилиндр, труба ва ҳ.к.

I. БОБ

ТЕКИС КЕСИМ ЮЗАЛАРИНИНГ ГЕОМЕТРИК ТАВСИФЛАРИ

Кесим юзаси — оддий геометрик тавсифга эга бўлиб, элементар dA юзалар йигиндисига тенгdir, яъни: $A = \int_0^A dA$



8-расм.

Эгилиш, буралиш ва мураккаб деформацияланиш ҳолатларida конструкция қисмларининг мустаҳкамлиги ва бикрлиги, айнан уларнинг кесим юзаларига эмас, балки мураккаб геометрик тавсифларига (статик момент, инерция момент, қаршилик момент ва инерция радиуси) боғлиқ булади.

1.1. СТАТИК МОМЕНТ ВА ИНЕРЦИЯ МОМЕНТЛАРИ

Статик момент, деб. элементар юза dA билан тегишли үқ орасидаги масофа күпайтмасининг аниқ интегралига айтилади:

$$S_x = \int_A y \cdot dA; S_y = \int_A x \cdot dA \quad (1.1)$$

Статик момент узунлик ўлчовининг учинчи даражаси билан ўлчанади. Турли үқларга нисбатан статик моментларни қўшиб бўлмайди. Танланган кесимнинг X ва Y ўқларига нисбатан статик моментлари мусбат ва манфий бўлиши мумкин.

X ва Y ўқларга параллел ўtkазилган, элементар dA юзадан $x = x - b$ ва $y = y - a$ масофада жойлашган X_1 ва Y_1 ўқларга нисбатан статик моментни топамиз:

$$S_{y1} = \int_A x_1 dA = \int_A (x - b) dA = \int_A x dA - b \int_A dA = S_y - bA$$

ва

$$S_{x1} = \int_A y_1 dA = \int_A (y - a) dA = \int_A y dA - a \int_A dA = S_x - aA$$

Статик моментлари нолга teng бўлган ҳолатга тўғри келувчи X_1 ва Y_1 ўқларининг координаталарини топамиз:

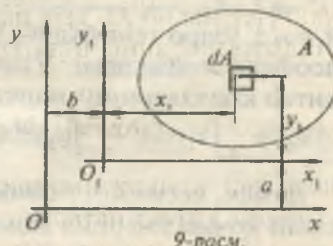
$$S_{y1} = S_y - x_c A = 0; \quad S_{x1} = S_x - y_c A = 0$$

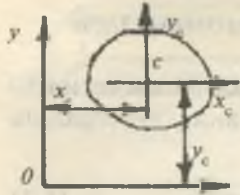
Бу ердан:

$$X_c = \frac{S_y}{A}; \quad Y_c = \frac{S_x}{A} \quad (1.2)$$

С нуқта кесимнинг оғирлик маркази дейилади. Оғирлик марказидан ўтувчи X_0 ; Y_0 ўқлар марказий ўқлар дейилади.

Ҳар қандай оғирлик марказидан ўтувчи ўқларга нисбатан кесимнинг статик моменти нолга teng.





10-расм.

Агар, элементар юза dA ни ундан ўққача бўлган масофанинг квадратига кўпайтириб интегралласак, ўқларга нисбатан инерция моменти деб аталадиган геометрик катталикини топамиз (3-расм):

$$I_x = \int y^2 dA \text{ ва } I_y = \int x^2 dA \quad (1.3)$$

Марказдан қочма инерция моменти элементар юза dA билан иккала ўқ орасидаги масофа кўпайтмаларининг интегралига тенг:

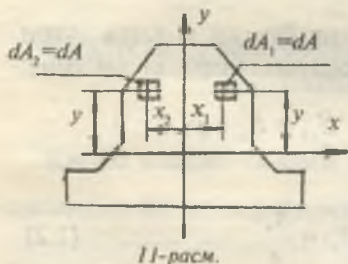
$$I_{xy} = \int xy dA \quad (1.4)$$

Кутб инерция моменти:

$$I_\rho = \int \rho^2 dA \quad (1.5)$$

Инерция моментлари узунлик ўлчовининг тўртинчи даражаси билан ўлчанади. Кутб инерция моменти ўқларга нисбатан инерция моментларининг йифиндисига тенг:

$$I_\rho = \int (y^2 + x^2) dA = I_x + I_y \quad (1.6)$$



11-расм.

I_x ; I_y ва I_ρ лар ҳамиша мусбатdir.

Марказдан қочма инерция моменти мусбат ёки манфий булиши мумкин. Битта ёки иккита ўқи симметрик бўлган кесимнинг марказдан қочма инерция моментини топамиз (11-расм).

Кесим юзасидан ажратилган элементар юзачалар У масофада жойлашган. Ўзаро симметрик жойлашган элементар юзачаларнинг марказдан қочма инерция моменти:

$$I_{xy} = \int x_1 y dA_1 + \int x_2 y dA_2 = - \int x_2 y dA + \int x_2 y dA = 0$$

Демак, кесимнинг симметрия ўқларига нисбатан марказдан қочма инерция моменти нолга тенг экан.

1.2. ПАРАЛЛЕЛ ЎҚЛАРГА НИСБАТАН ИНЕРЦИЯ МОМЕНТЛАРИ

Танланган кесим юзаси XOY координата системасида жойлашган. OY ва OX ўқларига параллел янги O_1Y_1 ва O_1X_1 ўқларини оламиз. Элементар юзанинг $X_1O_1Y_1$ координата системасидаги координаталари $x_1 = x + b$, $y_1 = y + a$. Янги ўқларга нисбатан кесимнинг инерция моментларини ёзамиш:

$$\begin{aligned} I_{x_1} &= \int_A y_1^2 \cdot dA = \int_A (y+a)^2 dA \\ I_{y_1} &= \int_A x_1^2 \cdot dA = \int_A (x+b)^2 dA \end{aligned} \quad (1.7)$$

$$I_{x_1y_1} = \int_A x_1 y_1 \cdot dA = \int_A (x+b)(y+a) dA$$

Қавсларни очиб чиқиб ҳосил бўлган тенгламани интегралласак, қуйидаги формуулалар ҳосил бўлади:

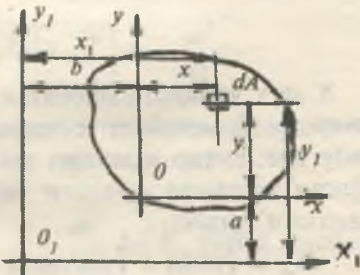
$$\begin{aligned} I_{x_1} &= I_x + 2aS_x + a^2 A & I_{y_1} &= I_y + 2bS_y + b^2 A \\ I_{x_1y_1} &= I_{xy} + aS_y + bS_x + abA \end{aligned} \quad (1.8)$$

S_y ва S_x кесим юзасининг Y ва X ўқларига нисбатан статик моментлари. Агар Y ва X ўқлари кесим юзасининг оғирлик марказидан ўтса, яъни марказий ўқлар бўлса: $S_y = 0$ ва $S_x = 0$.

У ҳолда:

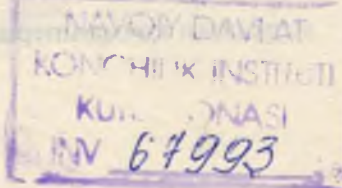
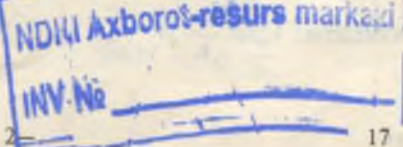
$$\begin{aligned} I_{x_1} &= I_x + a^2 A \\ I_{y_1} &= I_y + b^2 A \\ I_{x_1y_1} &= I_{xy} + abA \end{aligned} \quad (1.9)$$

Кутб инерция моменти:



12-расм.

$$I_{\rho_1} = I_\rho + (a^2 + b^2)A \quad (1.10)$$



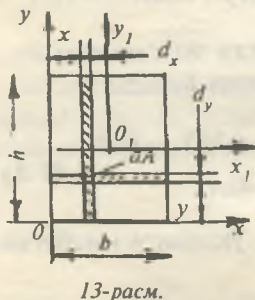
1.3. ОДДИЙ КЕСИМ ЙОЗАЛАРИНИНГ ГЕОМЕТРИК ТАВСИФЛАРИ

Тұртбурчак (13-расм) кесим юзасининг асосидан үтган X үқига нисбатан инерция моментини топамиз. Бунинг учун тұртбурчак кесим юзасидан элементар юзачани ажратамиз:

$$dA = \sigma dy$$

$$\text{У ҳолда: } I_x = \int_A y^2 dA = \int_A y^2 \sigma dy = \sigma \frac{y^3}{3} \Big|_0^h = \frac{\sigma h^3}{3}$$

хосил бўлади.



Тұғри тұртбурчакнинг марказий үқи X₁га нисбатан инерция моментини параллел үқларга нисбатан инерция моменти формулаларидан фойдаланиб топамиз:

$$I_{x1} = I_x + a^2 A = \frac{\sigma h^3}{3} - \left(\frac{h}{2}\right)^2 \sigma h = \frac{\sigma h^3}{12}$$

Кесимнинг У үқига нисбатан инерция моменти:

$$I_y = \frac{\sigma h^3}{3} \quad \text{ва} \quad I_{y1} = \frac{\sigma h^3}{12}$$

X ва Y үқларига нисбатан кесимнинг марказдан қочма инерция моментини топамиз. Бунинг учун кесимда $dA = dx dy$ элементар юзачани танлаймиз. Ўлчамлари h ва dx бўлган вертикаль юзанинг марказдан қочма инерция моментини топамиз:

$$dI_{xy} = \int_0^h y x dA = \int_0^h y x dy dx = x dx \int_0^h y dy = x dx \cdot 0,5h^2$$

Энди dI_{xy} ифодани $0 \leq x \leq b$ оралиқда интеграллаймиз:

$$I_{xy} = \int_0^b 0,5h^2 x dx = 0,5h^2 \int_0^b x dx = 0,25h^2 b^2 \quad \text{ёки кесимнинг марказдан қочма инерция моменти: } I_{xy} = \frac{\sigma h}{4} \cdot A$$

Учбуручак (14-расм) нинг статик моментини аниқлаш.
Учбуручакнинг X_1 ўқидан Y_1 масофада жойлашган A_0 юзасининг статик моментини ёзамиш:

$$S_{x1}^0 = A_0 \cdot y_0$$

$$\text{Бу ерда: } A_0 = \frac{1}{2} \sigma_y \left(\frac{2h}{3} - y_1 \right) \text{ ва } y_0 = y_1 + \frac{1}{3} \left(\frac{2h}{3} - y_1 \right)$$

$$\text{У ҳолда: } S_{x1} = \frac{1}{2} \sigma_y \left(\frac{2h}{3} - y_1 \right) \cdot \frac{2}{3} \left(\frac{h}{3} + y_1 \right) = \frac{\sigma_y}{3} \left(\frac{2h}{3} - y_1 \right) \left(\frac{h}{3} + y_1 \right)$$

$$\text{Ёки: } S_x = \frac{\sigma_y}{27} \left(2h^2 + 3hy_1 - 9y_1^2 \right)$$

Инерция моментини аниқлаш.

Асосидан үтган X ўқига нисбатан инерция моментини топиш учун учбуручакнинг кесим юзасидан $dA = b_y \cdot dy$ элементар юзачани танлаймиз.

$$\text{Бу ерда: } \sigma_y = \sigma \left(1 - \frac{y}{h} \right)$$

элементар юзачанинг эни.

$$\text{У ҳолда: } I_x = \int_A y^2 dA = \int_0^h y^2 \sigma \left(1 - \frac{y}{h} \right) dy = \frac{\sigma h^3}{12}$$

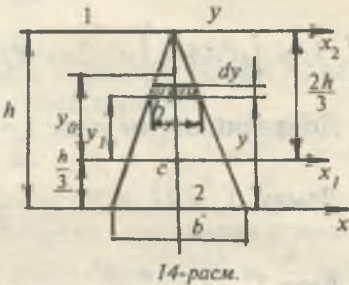
Учбуручакнинг марказий ўқига нисбатан инерция моменти:

$$I_{x1} = I_x + a^2 A = \frac{\sigma h^3}{12} - \left(\frac{h}{3} \right)^2 \frac{\sigma h}{2} = \frac{\sigma h^3}{36} \text{ ва } X_2 \text{ ўқига нисбатан}$$

инерция моменти: $\sigma_y = -\sigma y \mid h; \quad dA = \sigma_y dy = -\frac{\sigma y}{h} dy$

$$I_{x2} = \int_A y^2 dA = \int_h^0 y^2 \left(\frac{\sigma y}{h} \right) dy = \frac{\sigma h^3}{4}$$

$$\text{Ёки: } I_{x2} = \frac{\sigma h^3}{4}$$



14-расм.

Топилган инерция моменти формулаларидан куриниб турибдики, кесим ўқдан қанча узоқлашса, инерция моменти катталашар экан. Учбурчакнинг У ўқига нисбатан инерция моменти:

$$I_y = \int_A x^2 dA = \int_A x^2 \sigma_x dx = \int_0^{\frac{b}{2}} x^2 \cdot 2 \frac{h}{b} \left(\frac{b}{2} - x \right) dx = \frac{hb^3}{48}$$

Доиралык кесим (15-расм). Кесимнинг оғирлик марказидан ўтувчи ихтиёрий ўққа нисбатан инерция моментини топиш учун аввал доирадан ажратилган ҳалқа күринишидаги $dA = 2\pi\rho \cdot d\rho$ элементар юзанинг кесим марказига нисбатан қутб инерция моментини топамиз:

$$I_\rho = \int_A \rho^2 dA = \int_0^R \rho^2 \cdot 2\pi\rho \cdot d\rho = \frac{2\pi \cdot \rho^4}{4} \Big|_0^R = \frac{\pi \cdot R^4}{2} = \frac{\pi \cdot D^4}{32}$$

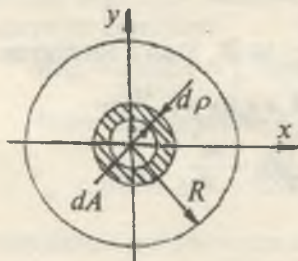
Доиралык кесим учун: $I_x = I_y$, ва $I_\rho = I_y + I_x$

$$\text{Демак, } I_\rho = 2I_x = 2I_y = \frac{\pi \cdot D^4}{32}$$

$$\text{Ёки: } I_x = I_y = \frac{\pi \cdot D^4}{64}$$

Ҳалқасимон кесимнинг инерция моменти ташқи ва ички доиралар инерция моментларининг айрмасига тенг (16-расм):

$$I_y = I_x = \frac{\pi \cdot D^4}{64} - \frac{\pi \cdot d^4}{64} = \frac{\pi \cdot D^4}{64} \left[1 - \left(\frac{d}{D} \right)^4 \right]$$



15-расм.



16-расм.

Қутб инерция моменти:

$$I_p = \frac{\pi \cdot D^4}{32} \left[1 - \left(\frac{d}{D} \right)^4 \right]$$

1.4. ОДДИЙ КЕСИМ ЮЗАЛАРИНИНГ ҚАРШИЛИК МОМЕНТЛАРИ

Кесим юзаларининг қаршилик моментларини топиш учун:

$$W_x = \frac{I_x}{y_{\max}}; \quad W_y = \frac{I_y}{x_{\max}} \text{ ва} \quad W_p = \frac{I_p}{\rho_{\max}}$$

формулалардан фойдаланамиз.

Тұғри түртбұрчак кесимнинг марказий үқлари X_1 ва Y_1 га нисбатан қаршилик моментини топамиз:

$$W_{x_1} = \frac{bh^3}{12} \cdot \frac{2}{h} = \frac{bh^2}{6} \text{ ва} \quad W_{y_1} = \frac{h\sigma^3}{12} \cdot \frac{2}{\sigma} = \frac{h\sigma^2}{6}$$

Учбұрчак. Учбұрчакнинг оғирлик марказидан үтүвчи X_1 үқи кесим юзасининг 1 ва 2 нүкталаридан $\frac{2h}{3}$ ва $\frac{h}{3}$ масофада жойлашган. Шунинг учун учбұрчакнинг X_1 марказий үқидан энг узоқда жойлашган 1 ва 2 нүкталаригача бүлган масофаши:

$$y_1 = \frac{2h}{3} \text{ ва} \quad y_2 = \frac{h}{3} \text{ га тенг.} \quad W_{x_1}^I = \frac{bh^3}{36} \cdot \frac{3}{2h} = \frac{bh^2}{24};$$

$$W_{x_1}^{II} = \frac{bh^3}{36} \cdot \frac{3}{h} = \frac{bh^2}{12}; \quad W_y = \frac{h\sigma^3}{48} \cdot \frac{2}{\sigma} = \frac{h\sigma^2}{24}$$

$$\text{Доиравий кесим: } W_x = W_y = \frac{I_x}{y_{\max}} = \frac{\frac{64}{D}}{\frac{2}{D}} = \frac{\pi \cdot D^3}{32}$$

$$\text{Қутб қаршилик моменти: } W_p = \frac{\frac{32}{D}}{\frac{2}{D}} = \frac{\pi \cdot D^3}{16}$$

Халқасимон кесим:

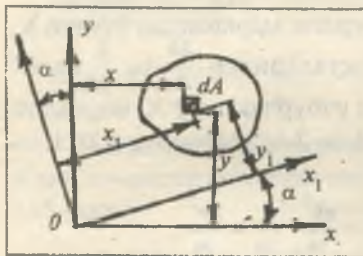
$$W_x = W_y = \frac{\pi \cdot D^4 \left[1 - \left(\frac{d}{D} \right)^4 \right]}{64 \cdot \frac{D}{2}} = \frac{\pi \cdot D^3}{32} \left[1 - \left(\frac{d}{D} \right)^4 \right]$$

Кутб қаршилик моменти: $W_\rho = \frac{\pi \cdot D^3}{16} \left[1 - \left(\frac{d}{D} \right)^4 \right]$

1.5. КООРДИНАТА ЎҚЛАРИНИ АЙЛАНТИРГАНДА ИНЕРЦИЯ МОМЕНТЛАРИ

ХОУ координата ўқларининг О нуқта атрофида айланниши натижасида янги X_1OY_1 ҳолатга ўтади. dA элементар ўзанинг янги X_1OY_1 координатага системасидаги координаталари:

$$x_1 = x \cos \alpha + y \sin \alpha; \quad y_1 = y \cos \alpha - x \sin \alpha$$



17-расм.

Танланган кесимнинг янги ўқларга нисбатан инерция моментларини топамиз.
ОХ₁ ўқига нисбатан инерция моменти:

$$I_{x1} = \int_A y_1^2 dA = \int_A (y \cos \alpha - x \sin \alpha)^2 dA$$

Интеграл остидаги қавсни очиб, ҳосил бўлган тенгламани интеграллаймиз:

$$I_{x1} = I_x \cos^2 \alpha + I_y \sin^2 \alpha - I_{xy} \sin 2\alpha \quad (1.11)$$

ОҮ₁ ўқига нисбатан инерция моменти:

$$I_{y1} = \int_A x_1^2 dA = \int_A (x \cos \alpha + y \sin \alpha)^2 dA \text{ ёки}$$

$$I_{y1} = I_x \cos^2 \alpha + I_y \sin^2 \alpha + I_{xy} \sin 2\alpha \quad (1.12)$$

Марказдан қочма инерция моменти:

$$I_{x_1y_1} = \int_A x_1 y_1 dA = \int_A (x \cos \alpha + y \sin \alpha)(y \cos \alpha - x \sin \alpha) dA$$

ёки

$$I_{x_1y_1} = \frac{I_x - I_y}{2} \cdot \sin 2\alpha + I_{xy} \cos 2\alpha \quad (1.13)$$

Юқоридаги формулалардан күриниб турибдики, ихтиёрий үққа нисбатан инерция моменти α бурчакка боялиқ экан.

Координата үқларини айлантириш давомида оғиш бурчагининг $\alpha = \alpha_0$ қийматини топиш мумкинки, бунда $I_{x_1y_1} = 0$ ва қолган инерция моментлари экстремал қийматга эришади.

$I_{x_1y_1} = I_{x_0y_0} = 0$ ёки $I_{x_0y_0} = 0$ ҳолатта түғри келувчи координата үқига **бош инерция үқи** дейилади (18-расм). Бош инерция үқининг йұналиши: $\operatorname{tg} 2\alpha_0 = -\frac{2I_{xy}}{I_x - I_y}$ (1.14)

Олинган формула α бурчак учун α'_0 ва $\alpha''_0 = \alpha'_0 + 90^\circ$ иккита қийматни беради. α'_0 ва α''_0 бурчаклар остида үза-ро перпендикуляр иккита үқ чизилади, уларга нисбатан инерция моментлари экстремал қийматларга эришади.

Бош инерция үқларига нисбатан кесимнинг инерция моментларыга бош инерция моментлари дейилади:

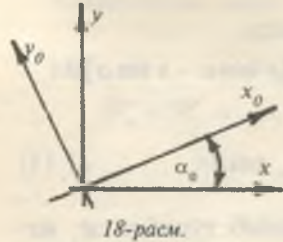
$$I_{x_1} = I_{x_0} = I_x \cos^2 \alpha_0 + I_y \sin^2 \alpha_0$$

$$I_{y_1} = I_{y_0} = I_y \cos^2 \alpha_0 + I_x \sin^2 \alpha_0; I_{x_1y_1} = \frac{I_x - I_y}{2} \sin 2\alpha \quad (1.15)$$

Бу бош инерция моментларидан биттаси максималь, иккінчisi әса минималь қийматта эришади:

$$I_{\min}^{\max} = \frac{1}{2} \left[(I_x + I_y) \pm \sqrt{(I_x - I_y)^2 + 4 \cdot I_{xy}^2} \right] \quad (1.16)$$

Айрим шаклларда оғирлик марказидан үтувчи үқларга нисбатан марказдан қочма инерция моменти нолга teng:



18-расм.

$I_{xy} = 0$. Шунинг учун бу ўқлар марказий бош инерция ўқлари дейилади.

Масалан, құштавр, швеллер, доиравий ёки түгри тұртбурчак-ли кесимлар.

Прокатли бурчаклар учун марказдан қочма инерция моментини топамиз:

$$\text{а) Тенг томонли бурчак: } I_{xy} = \frac{I_{x_0} - I_{y_0}}{2} \sin 2\alpha_0 \quad (\text{а})$$

Бу ерда: $I_{x_0}; I_{y_0}$ — бурчак кесимининг марказий бош инерция моментлари:

$$\alpha_0 = \frac{\pi}{4}, \text{ демек, } \sin 2\alpha_0 = 1.$$

$$\text{б) Тенг томонли бүлмаган бурчак: } I_{xy} = \frac{I_y - I_x}{2} \operatorname{tg} 2\alpha_0 \quad (\text{б})$$

Бу ерда: $I_x; I_y$ — бурчак кесимининг марказий X ва Y ўқларига нисбатан инерция моментлари;

α_0 — марказий бош инерция ўқларини X ва Y ўқларига нисбатан оғишган бурчаги.

Тенг томонли бурчак учун (б) формулани татбиқ этиб бүлмайды, чунки тенг томонли бурчакларда ($I_x = I_y$) $I_x - I_y = 0$ ва

$$\operatorname{tg} 2\alpha_0 = \operatorname{tg} 2 \frac{\pi}{4} = \infty$$

(а) ва (б) формулалар кесимнинг координата ўқларини айлантирганда ҳосил бүлган марказдан қочма инерция моментидан келиб чиқади: $I_{x_0, y_0} = I_{xy} \cos 2\alpha_0 + \frac{I_x - I_y}{2} \sin 2\alpha_0 \quad (\text{в})$

Бу ерда: X_0 ва Y_0 кесимнинг X ва Y ўқларини соат стрелкасининг ҳаракат йұналишига тескари айлантирганда ҳосил бүлган ўқлар. Бунда α_0 бурчак мусбатдир.

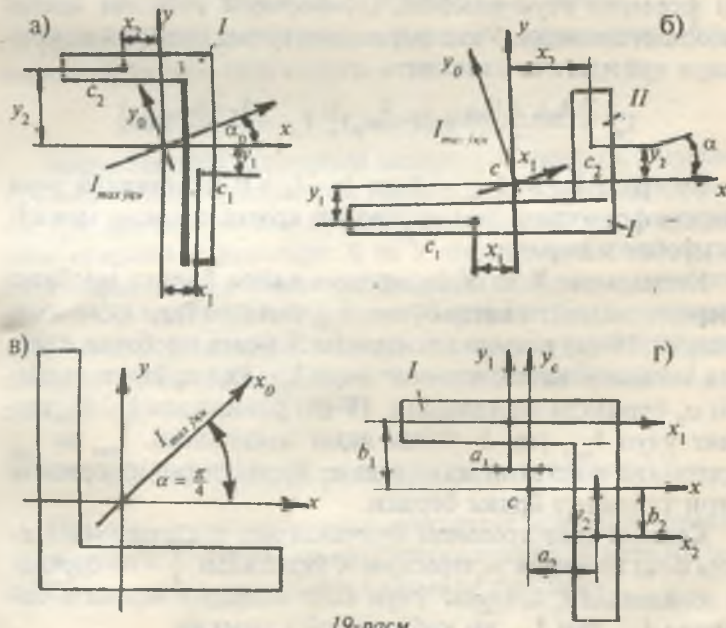
Демак, X ва Y ўқларнинг тескари томонга, яғни соат стрелкасининг ҳаракат йұналиши буйича айлантирганда (в) формулани күйидегіча ёзишимиз мүмкін экан:

$$I_{xy} = I_{x_0, y_0} \cos 2\alpha_0 + \frac{I_{x_0} - I_{y_0}}{2} \sin 2\alpha_0 \quad (\text{г})$$

Бу ерда: α_0 бурчак манфий бўлиши керак.

Агар X_0 ва Y_0 бош инерция ўқлари бўлса, марказдан қочма инерция моменти $I_{xoy_0} = 0$. У ҳолда (в) формуладан (б) формулани ҳосил қиласиз: (г) формуладан эса (а) формулани. α_0 бурчак тенг томонсиз бурчак учун $\frac{\pi}{4}$ қийматдан кичик; тенг томонли бурчак учун $\frac{\pi}{4}$ га тенг. Кесимнинг берилиш схемасига, яъни XOY координатасига жойлашишига кўра, α_0 бурчак биринчи ҳолатда I_{\min} ўқи бўлса, иккинчи ҳолатда I_{\max} ўқи бўлиши мумкин (19-расм).

19 а-расмда кўрсатилган тенг томонсиз бурчак учун X_0 ўқи I_{\max} ўқи бўлади; (а) формула учун α_0 бурчакни минус ишораси билан оламиз, чунки X ва Y ўқлари X_0 ва Y_0 ўқларига нисбатан соат стрелкасининг йўналиши бўйича айлантирилганда ҳосил бўлади.



19-расм.

У ҳолда (а) формула қўйидагича ёзилади:

$$I_{xy} = \frac{I_{\max} - I_{\min}}{2} \sin(-2\alpha_0)$$

C₁ нуқтанинг координаталари
 $(+x_1; -y_1)$ $(-x_1; -y_1)$

C₂ нуқтанинг координаталари
 $(-x_2; +y_2)$; $(+x_2; +y_2)$

Шу бурчакни (б) формула учун мусбат ишорали оламиз, чунки X_0 ва Y_0 ўқлари X ва Y ўқларига нисбатан соат стрелкасининг ҳаракат йўналишига тескари айлантирилди. (б) формула қўйидагича ёзилади: $I_{xy} = \frac{I_y - I_x}{2} \operatorname{tg} 2\alpha_0$. Бу ерда: $I_y < I_x$ бўлганлиги учун I_{xy} манфий ишорали. 19-(б) расмда кўрсатилган кесим учун X_0 ва I_{\min} ўқи α_0 бурчак (а) формула учун манфий, (б) формула учун эса мусбат ишорали олинади. Унда марказдан қочма инерция моментлари қўйидагича ёзилади:

$$I_{xy} = \frac{I_{\min} - I_{\max}}{2} \sin(-2\alpha_0); \quad I_{xy} = \frac{I_y - I_x}{2} \operatorname{tg} 2\alpha_0$$

Бу ерда: $I_{\min} - I_{\max} < 0$ ва $I_y - I_x > 0$ бўлганлиги учун иккита формулада ҳам марказдан қочма инерция моменти мусбат ишорали.

Кесимнинг X ва Y ўқларидан қайси бирига нисбатан инерция моменти катта бўлса, I_{\max} ўқи ўша ўқса яқин жойлашади. 19-(а) расмда кесимнинг X ўқига нисбатан инерция моменти катта, шунинг учун I_{\max} ўқи x_0 ўқига нисбатан α_0 бурчакда жойлашади. 19-(б) расмда эса $I_y > I_x$, шунинг учун I_{\max} ўқи Y ўқига яқин жойлашган. I_{\max} ва I_{\min} ўқларнинг ҳолатини аниқлаш α_0 бурчакнинг ишорасини тўғри танлашга ёрдам беради.

Кесими тенг томонли бурчакларни текширамиз. Иккита бош инерция ўқлари ҳам X ўқи билан $\frac{\pi}{4} = \alpha_0$ бурчакда жойлашади, шунинг учун бош инерция моменти сифатида I_{\max} ёки I_{\min} ни қабул қилиш мумкин.

Агар $I_{x_0} = I_{\max}$ қабул қилинса, бурчак α манфий ишорали (X ўқи X_0 га нисбатан соат стрелкасининг йўналиши

бўйича айланади); $I_{x_0} = I_{\min}$ қабул қилинса, бурчак α_0 мусбат ишорали (ўқларнинг айланиши соат стрелкасининг йўналишига тескари). Унда (а) формула қуидагида ёзилади:

$$\text{Биринчи ҳол: } (I_{x_0} = I_{\max}) I_{xy} = \frac{I_{\max} - I_{\min}}{2} \sin 2\left(-\frac{\pi}{4}\right)$$

Иккинчи ҳол:

$$(I_{x_0} = I_{\min}) I_{xy} = \frac{I_{\min} - I_{\max}}{2} \sin 2\frac{\pi}{4} = \frac{I_{\min} - I_{\max}}{2}$$

Иккала ҳолда ҳам Y_{xy} манфий ишорали. Юқоридаги формулаларнинг тўғри эканлигини текшириш мумкин. Бунинг учун тенг томонли бурчакни 1 ва 2 элементларга ажратамиз. Ҳар бир элементнинг ўз марказий ўқлари ($X_1 Y_1 C_1$ ва $X_2 Y_2 C_2$) параллел ўқларга нисбатан инерция моментлари формуласидан фойдаланиб кесимнинг марказдан қочма инерция моментини топамиз:

$$I_{xy} = I_{xy}^I + I_{xy}^{II} = I_{x1y1}^I - a_1 b_1 A_1 + I_{x2y2}^I - a_2 b_2 A_2$$

X_1 ва Y_1 ; X_2 ва Y_2 ўқлари бурчак супачаларини бош марказий ўқлари бўлганлиги учун:

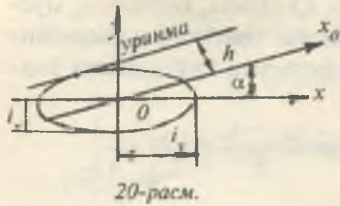
$$I_{x1y1} = 0; \quad I_{x2y2} = 0; \quad I_{xy} = -(a_1 b_1 A_1 + a_2 b_2 A_2)$$

Марказдан қочма инерция моменти — манфий. Умуман, I_{xy} моментининг ишорасини танлаш учун қуидаги қоидани ўринли деб топсак бўлади: агар бурчак супачалари нинг оғирлик марказлари X ва Y координата системасининг биринчи ва учинчи чоракларида жойлашса, марказдан қочма инерция моменти — мусбат (бу чоракларда координаталар мусбат); агар супачаларнинг оғирлик марказлари иккинчи ва тўртинчи чоракларда жойлашса, I_{xy} — манфий (19-расм, а, б, в, г).

1.6. ИНЕРЦИЯ ЭЛЛИПСИ ҲАҚИДА ТУШУНЧА

Инерция эллипси асосан шаклнинг инерция моментини график усулда топишда қўлланилади. Инерция эллипси инерция радиуслари ёрдамида тузилади:

$$i_x = \sqrt{\frac{I_x}{A}} \quad \text{ва} \quad i_y = \sqrt{\frac{I_y}{A}} \quad (1.17)$$



i_x ва i_y инерция радиуслари тегишли ХОУ координата ўқларига жойлаштирилди (20-расм.).

Координата бошидан α_0 бурчак остида бош инерция ўқи — X_0 ни ўтказамиз. OX_0 ўқига параллел қилиб эллипс-

га ўтказилган уринма билан OX_0 ўқи орасидаги масофа — h ни топамиз:

$$h^2 = i_x^2 \cos^2 \alpha_0 + i_y^2 \sin^2 \alpha_0 \quad (1.18)$$

h масофани линейкада ўлчаб ҳам топиш мумкин. Шаклнинг инерция моменти қуидаги тенгликдан топилади:

$$I_{x0} = h^2 A \quad (1.19)$$

Демак, h масофа инерция радиусига тенг экан.

Савол ва топшириқлар

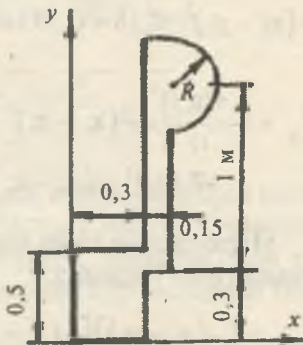
1. Статик момент деб нимага айтилади?
2. Инерция моменти деб нимага айтилади?
3. Инерция моментларининг турларини айтинг.
4. Мураккаб шаклли кесим юзасининг оғирлик марказининг координаталарини аниқлаш формуласини ёзинг.
5. Кесим юзанинг параллел ўқларга нисбатан инерция моменти.
6. Координата ўқларини айлантирганда кесим инерция моментининг ўзгариши.
7. Бош инерция ўқлари деб қандай ўқларга айтилади?
8. Бош инерция моментлари деб қандай моментларга айтилади?
9. Бош инерция моментларини аниқланг.
10. Инерция радиуси нима?
11. Тўғри тўртбурчак шаклли кесим юзанинг инерция моментларини аниқланг.
12. Учбурчаксимон кесим юзанинг инерция моментларини аниқланг.
13. Кесим юзанинг қаршилик моменти нима?

Мураккаб шаклларнинг инерция моментларини ҳисоблаш

1-масала. Берилган кесим юзаси учун инерция моментларни аниқланг. Амалий ҳисоблар учун мураккаб шаклни оддий шаклларга бўламиз (21-расм). Ҳисоблаш мураккаб шаклнинг ихтиёрий ўқлар системасида оғирлик марказини топишдан бошланади:

$$x_c = \frac{A_1 x_1 + A_2 x_2 + A_3 x_3}{A_1 + A_2 + A_3}$$

$$y_c = \frac{A_1 y_1 + A_2 y_2 + A_3 y_3}{A_1 + A_2 + A_3}$$



21-расм.

Бу ерда (22-расм):

$$A_1 = 0,3 \cdot 0,5 = 0,15 \text{ м}^2; \quad A_2 = 1,2 \cdot 0,15 = 0,18 \text{ м}^2$$

$$A_3 = \frac{\pi R^2}{2} = \frac{3,14(0,2)^2}{2} = 0,0628 \text{ м}^2$$

$$\sum A = A_1 + A_2 + A_3 = 0,3928 \text{ м}^2$$

$$x_1 = \frac{0,3}{2} = 0,15 \text{ м}; \quad y_1 = \frac{0,5}{2} = 0,25 \text{ м}$$

$$x_2 = 0,3 + \frac{0,15}{2} = 0,375 \text{ м}; \quad y_2 = \frac{1+R}{2} + 0,3 = 0,9 \text{ м}$$

$$x_3 = 0,3 + 0,15 + \frac{4R}{3\pi} = 0,535 \text{ м}; \quad y_3 = 0,3 + 1 = 1,3 \text{ м}$$

У ҳолда:

$$x_c = 31,467 \text{ см} = 0,31467 \text{ м}; \quad y_c = 71,474 \text{ см} = 0,71474 \text{ м}$$

Параллел ўқларга нисбатан инерция моментлари формуласидан фойдаланиб кесимнинг X_c ва Y_c ўқларга нисбатан инерция моментларини топамиз (22-расм):

$$I_{x_c} = \frac{0,3(0,5)^3}{12} + (y_c - y_1)^2 \cdot 0,3 \cdot 0,5 + \frac{0,15(1,2)^3}{12} +$$

$$+ (y_2 - y_c)^2 \cdot 0,18 + 0,393R^4 + (y_3 - y_c)^2 + \frac{3,14R^2}{2} = 0,085455 m^4$$

$$I_{y_c} = \frac{0,5(0,3)^2}{12} + (x_c - x_1)^2 \cdot 0,15 + \frac{1,2(0,15)^3}{12} + (x_2 - x_c)^2 \cdot 0,18 +$$

$$+ 0,11R^4 + (x_3 - x_c)^2 \cdot 0,0628 = 0,01246 m^4$$

Марказий ўқларга нисбатан марказдан қочма инерция моментини топамиз:

$$I_{x_c y_c} = [-(y_c - y_1)][-(x_c - x_1)] \cdot 0,15 + (y_2 - y_c)(x_2 - x_c) \cdot 0,18 +$$

$$+ (y_3 - y_c)(x_3 - x_c) \cdot 0,0628 = 0,02154 m^4$$

Бош инерция моментларини топамиз:

$$I_{\max} = \frac{I_{xc} + I_{yc}}{2} \pm \frac{1}{2} \sqrt{(I_{xc} - I_{yc})^2 + 4 \cdot I_{x_c y_c}^2} = \frac{0,08545 + 0,01246}{2} \pm$$

$$\pm \frac{1}{2} \sqrt{(0,08545 - 0,01246)^2 + 4 \cdot (0,02154)^2}$$

$$I_{\max} = 0,0934 m^4; \quad I_{\min} = 0,006575 m^4$$

$$I_{xc} + I_{yc} = I_{\max} + I_{\min}; \quad 0,0854 + 0,01246 = 0,0934 + 0,006575$$

Бош инерция ўқларининг оғишган бурчагини топамиз:

$$\operatorname{tg} 2\alpha_0 = - \frac{2I_{x_c y_c}}{I_{xc} - I_{yc}} = - \frac{2 \cdot 0,02154}{0,08545 - 0,01246} = -0,59 \text{ rad}$$

$$2\alpha_0 = -30^\circ \text{ ёки } \alpha_0 = -15^\circ$$

$I_{xc} > I_{yc}$ бўлганлиги учун x ўқса нисбатан инерция моменти максимал қийматга эришади. α_0 бурчаги манфий ишорали бўлгани учун қийматини x_c ўқидан соат стрелкасининг ҳаракат йўналиши бўйлаб жойлаштирамиз. α_0

$$CK = CB = CD = R = \sqrt{(CH)^2 + (DH)^2}$$

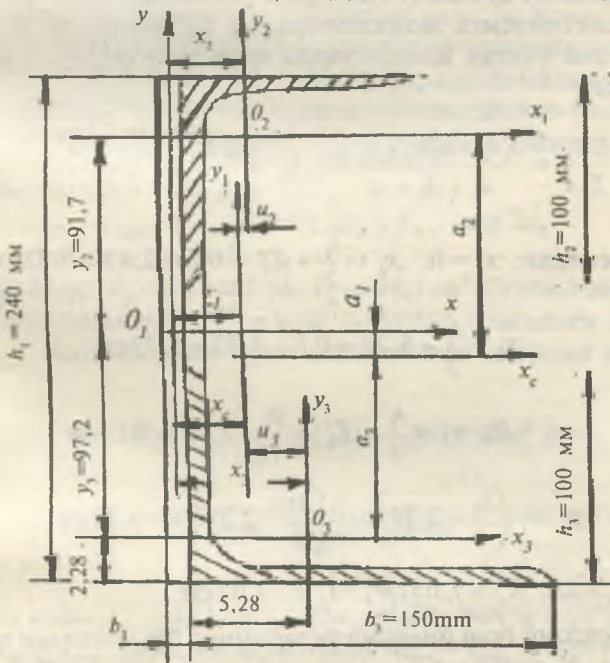
$$CH = \frac{HH_1}{2} = \frac{OH - OH_1}{2} = \frac{I_{x_c} - I_{y_c}}{2}; \quad DH = I_{x_c y_c}$$

У ҳолда: $I_{\max} = \frac{I_{x_c} + I_{y_c}}{2} \pm \sqrt{\left(\frac{I_{x_c} - I_{y_c}}{2}\right)^2 + I_{x_c y_c}^2}$

2-масала. 24-расмда күрсатилган кесим учун бош инерция моментлари топилсин. Берилган кесим үлчамлари 240x10 (мм) бўлган тўғри тўртбурчак; 100x100x10мм томонли ва 160x100x10 мм teng томонсиз бурчаклардан ташкил топган.

Берилган элементларнинг геометрик тавсифларини ёзамиш:

1. Тўғри тўртбурчак: $A_1 = h_1 b_1 = 24 \cdot 1 = 24 \text{ см}^2, I_{x_1 y_1} = 0$



24-расм.

$$I_{x_1} = \frac{A_1 h_1^3}{12} = \frac{1 \cdot (24)^3}{12} = 1152 \text{ cm}^4, \quad I_{y_1} = \frac{h_1^3 h_1}{12} = \frac{24 \cdot 1^3}{12} = 2 \text{ cm}^4$$

2. 100x100x10 мм ўлчамли тенг томонли бурчак:

$$A_2 = 19,2 \text{ cm}^2; \quad I_x = I_y = 179 \text{ cm}^4; \quad Z_0^y = 2,83 \text{ cm}$$

$$I_{x_0} = 284 \text{ cm}^4; \quad I_{y_0} = 74,1 \text{ cm}^4$$

3. 160x100x10 мм ўлчамли тенг томонсиз бурчак:

$$A_3 = 25,3 \text{ cm}^2; \quad I_x = 667 \text{ cm}^4; \quad I_y = 204 \text{ cm}^4$$

$$y_0 = 5,23 \text{ cm}; \quad x_0 = 2,28 \text{ cm}; \quad \operatorname{tg} \alpha = 0,390 \text{ rad}$$

$$I_{\min} = I_{y_0} = 121 \text{ cm}^4$$

Ечиш. Кесимнинг оғирлик марказини топамиз.

Берилган кесимни ихтиёрий танланган ХОУ координата системасига жойлаштирамиз ва кесимдан X ва Y ўқларгача бўлган масофаларни қўйидаги формула билан топамиз:

$$x_c = \frac{\sum S_i x_i}{\sum A} = \frac{A_1 x_1 + A_2 x_2 + A_3 x_3}{A_1 + A_2 + A_3}, \quad y_c = \frac{\sum S_i y_i}{\sum A} = \frac{A_1 y_1 + A_2 y_2 + A_3 y_3}{A_1 + A_2 + A_3}$$

$$\text{Схемадан: } x_1 = 0; \quad x_2 = \frac{h_1}{2} + Z_0^y = 0,5 + 2,83 = 3,33 \text{ cm}$$

$$x_3 = \frac{h_1}{2} + 5,23 = 0,5 + 5,23 = 5,73 \text{ cm}$$

$$y_1 = 0; \quad y_2 = \frac{h_1}{2} - Z_0^y = \frac{24}{2} - 2,83 = 9,17 \text{ cm}$$

$$2. 100 y_3 = \left(\frac{h_1}{2} - 2,28 \right) = - \left(\frac{24}{2} - 2,28 \right) = -9,72 \text{ cm}.$$

$$\text{У ҳолда: } X_c = 3,05 \text{ cm}; \quad Y_c = -1,02 \text{ cm}$$

Марказий бош инерция ўқларининг йўналишини аниқлаймиз. Кесимнинг топилган оғирлик маркази О нуқтадан X_c ва Y_c ўқларини ўтказамиз. Параллел ўқларга нис-

батан инерция моментлари формулаларидан фойдаланиб кесимнинг X_c ва Y_c ўқларга нисбатан ва марказдан қочма инерция моментларини топамиз. Ҳисоблаш формулаларини ва натижаларини қуийдаги жадвалда киритамиз (1-жадвал). Схемадан (24-расм):

$$a_1 = -y_c = -1,02 \text{ см}$$

$$a_2 = y_2 + y = 9,17 + 1,02 = 10,19 \text{ см}$$

$$a_3 = -(y_3 - y_c) = -(9,72 - 1,02) = -8,7 \text{ см}$$

$$U_1 = -x_c = -3,05 \text{ см}$$

$$U_2 = x_2 - x_c = 3,33 - 3,05 = 0,28 \text{ см}$$

$$U_3 = x_3 - x_c = 5,73 - 3,05 = 2,68 \text{ см}$$

Жадвални тұлдиришда бурчакларнинг марказдан қочма инерция моментларини топишга түгри келади. Бурчакларнинг оғирлик марказларидан үтүвчи x_2 , y_2 , x_3 ва y_3 ўқлар бош инерция ўқлари эмас. Шунинг учун бу ўқларга нисбатан бурчакларнинг марказдан қочма инерция моментлари нолга тенг эмас. Координата ўқларини айлантирганда марказдан қочма инерция моментларининг ўзгариши формуласидан фойдаланиб $I_{x_2y_2}$; $I_{x_3y_3}$ ларни төпамиз, яъни:

$$I_{x_3y_3} = \frac{I_{x_0} - I_{y_0}}{2} \cdot \sin 2\alpha_0 + I_{x_0y_0} \cdot \cos 2\alpha_0$$

Бу ерда: $I_{x_0} = 284 \text{ см}^4$ ва $I_{y_0} = 74,1 \text{ см}^4$ бурчакнинг бош инерция моментлари; $\alpha = 45^\circ$ — ўқлар орасидаги бурчак x_0 ва y_0 бош инерция ўқларига нисбатан инерция моменті:

$$I_{x_3y_3} = \frac{284 - 74,1}{2} (-1) = -104,95 \text{ см}^4$$

$$I_{x_3y_3} = \frac{I_{x_0} - I_{y_0}}{2} \cdot \sin 2\alpha$$

Бу ерда: $I_{y_0} = 121 \text{ см}^4$; $\operatorname{tg}\alpha = 0,39$ ёки $\alpha = 21^\circ 30'$

$I_{x_0} = I_{\max}$ инерция моментини $I_{\max} + I_{\min} = I_x + I_y$, формуладан топамиз: $I_{\max} = I_x + I_y - I_{\min}$, демек:

T/p	Эле- мент-- лар- нинг кесим юзала- ри	Координата- лар, см		Инерция моментлари, см ⁴									
		A, см ²	a	u	I _x	a ² A	I _{xz}	I _y	H ² A	I _z	I _{xy}	auA	I _{yz}
1	24	-1,02	-3,05	1152	24,96	1176,96	2	223,26	225,26	0	50,2	50,2	
2	19,2	10,19	0,28	179	1993,6	2172,6	179	1,5	180,5	-104,95	54,78	-50,2	
3	25,3	-8,7	2,68	204	1915	2118	667	181,7	848,7	-214,49	-590	-804,4	
				1535	3393,6	5467,6	848	406,5	1254,5	-319,4	-485	-804,4	

$$I_{x_0y_0} = \frac{I_x + I_y - 2 \cdot I_{y_0}}{2} \cdot \sin 2\alpha =$$

$$= \frac{204 + 667 - 2 \cdot 121}{2} \cdot \sin 2(-21^{\circ}30') = -214,49 \text{ cm}^4$$

Тенг томонсиз бурчакнинг марказдан қочма инерция моментини қуидагича ҳам топиш мумкин:

$$I_{x_0y_0} = \frac{I_x - I_y}{2} \sin 2\alpha_0 + I_{x_0y_0} \cdot \cos \alpha = 0$$

Бу ерда:

$$I_{x_0y_0} = -\frac{I_x - I_y}{2} \operatorname{tg} 2\alpha = -\frac{667 - 204}{2} \operatorname{tg} 2(21^{\circ}30') = -215,8 \text{ cm}^4$$

Бош инерция ўқларининг йўналиши:

$$\operatorname{tg} 2\alpha_0 = -\frac{2 \cdot I_{x_0y_c}}{I_{x_c} - I_{y_c}} = -\frac{2(-804,4)}{5467,6 - 1254,5} = 0,381 \text{ ёки } \alpha = 10^{\circ}30'$$

Бош инерция моментларини топамиз:

$$I_{\max} = \frac{1}{2} \left[(5467,6 + 1254,5) \pm \sqrt{(5467,6 - 1254,5)^2 + 4(804,4)^2} \right] =$$

$$= 0,5(6721 \pm 4509)$$

Бу ерда: $I_{\max} = 5615 \text{ cm}^4$ ва $I_{\min} = 1106 \text{ cm}^4$

Текшириш: $I_{\max} + I_{\min} = I_{x_c} + I_{y_c}$ ёки

$$5615 + 1106 = 5466 + 1254,5 \quad 6721 = 6722 \text{ см}$$

З-масала. Иккита 20-номерли швейлер, иккита $100 \times 100 \times 10$ мм тенг томонли бурчак ва 20-номерли қўштаврдан ташкил топган кесимнинг оғирлик маркази; оғирлик марказидан ўтувчи x_c ва y_c ўқларига нисбатан инерция моментларини; бош инерция ўқларининг йўналишини ва бош инерция моментларини топинг.

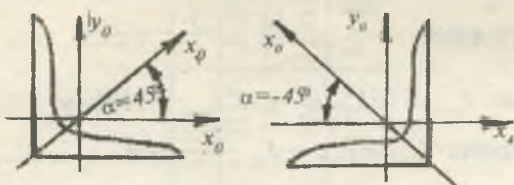
Ечиш. Масалани ечиш учун кесимни ташкил қилган элементларнинг геометрик тавсифларини ёзамиз (2-жадвал).

Элемент-нинг номи	Баландлиги h , см	Эни b , см	Кесим юзаси A , см^2	Инерция моменти I_x	Оғирлик маркази I_y	
Швеллер	$h_{ш} = 20$	$b_{ш} = 7,6$	$A_{ш} = 23,4$	1520	113	2,07
Тенг томонли бурчак	$h_b = 10$	$b_b = 10$	$A_b = 19,2$	179	179	2,83
Құштавр	$H_k = 20$	$b_k = 10$	$A_k = 26,8$	1840	115	—

Тенг томонли бурчакнинг X_0 ва Y_0 үқларга нисбатан инерция моментлари $I_{x_0} = 284 \text{ см}^4$ ва $I_{y_0} = 74,1 \text{ см}^4$ ёрдамда марказдан қочма инерция моментини топамиз: чунки, учинчи ва түртінч элементларда X_0 үқи тенг томонли бурчакнинг X_3 ва X_4 үқларини, тегишилича манфий ва мусбат томонларida жойлашган.

$$I_{xy}^{II} = \frac{I_{x_0} - I_{y_0}}{2} \cdot \sin 2\alpha_0 = \frac{284 - 74,1}{2} \cdot 1 = 104,95 \text{ см}^4$$

$$I_{xy}^{IY} = -104,95 \text{ см}^4$$



α бурчак абсциссага нисбатан соат стрелкасининг йұналишига қарама-қарши томонға жойлаштирилса, ишораси мусбат, акс ҳолда манфий бўлади.

Кесимни M: 1:1 ёки M 1:2 масштабда чизамиз (25-расм). Ҳар бир элементнинг оғирлик марказларини белгилаймиз: O_1 ва O_2 нуқталар 20-номерли швеллернинг оғирлик марказлари; O_3 ва O_4 нуқталар тенг томонли бурчакнинг оғирлик марказлари; O_5 нуқта 20 номерли құштаврнинг

ОФИРЛИК маркази. Элементларнинг ОФИРЛИК марказларидан $x_1o_1y_1$; $x_2o_2y_2$; $x_3o_3y_3$; $x_4o_4y_4$ ва $x_5o_5y_5$ ўқларини ўтказамиз. Кесимни ихтиёрий танланган координата ўқига жойлаштирамиз. Унда x ўқи x_1 ва x_2 ўқларининг устига, y ўқи эса y_5 ўқининг устига тушади. x ўқи билан x_1 ; x_2 ; x_3 ; x_4 ва x_5 ўқлари ва y билан y_1 ; y_2 ; y_3 ; y_4 ва y_5 ўқлари орасидаги масо-фаларни белгилаймиз (25-расм):

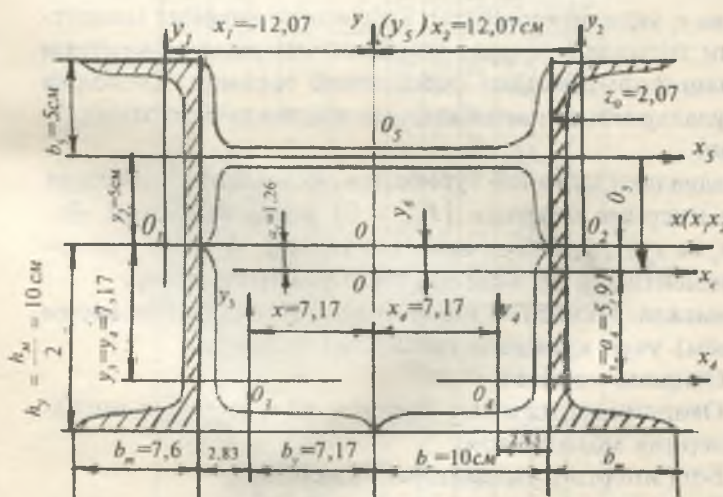
$$x_1 = -\left(\frac{h_k}{2} + z_{\phi}^w\right) = -\left(\frac{20}{2} + 2,07\right) = -12,07 \text{ см}, \quad x_2 = 12,07 \text{ см}$$

Чунки:

$$OO_1 = OO_2; \quad x_3 = -\left(\frac{h_k}{2} - z_{\phi}^w\right) = -\left(\frac{20}{2} - 2,83\right) = -7,17 \text{ см},$$

$x_4 = 7,17 \text{ см}; \quad OO_3 = OO_4, \quad x_5 = 0$; y ва y_5 ўқлари устма-уст тушган $y_1 = y_2 = 0$; O , O_1 ва O_2 нүкталари битта ўқ устида, яъни устма-уст тушган x , x_1 ва x_2 ўқларида жойлашган:

$$y_3 = y_4 = -\left(\frac{h_w}{2} - z_{\phi}^{\delta}\right) = -\left(\frac{20}{2} - 2,83\right) = -7,17 \text{ см}$$



25-расм.

$$y_5 = \frac{h_{\kappa}}{2} = \frac{b_{\kappa}}{2} = 0,5(20 - 10) = 5 \text{ см}.$$

Кесимнинг оғирлик марказининг координаталарини топамиз:

$$x_c = \frac{A_{\mu}x_1 + A_{\mu}x_2 + A_5x_3 + A_6x_4 + A_{\kappa} \cdot x_5}{2A_{\mu} + 2A_6 + A_{\kappa}} = 0.$$

Чунки кесим ўқига нисбатан симметрик:

$$\begin{aligned} y_c &= \frac{A_{\mu}y_1 + A_{\mu}y_2 + A_5y_3 + A_6y_4 + A_{\kappa} \cdot y_5}{2A_{\mu} + 2A_6 + A_{\kappa}} = \\ &= \frac{-2 \cdot 19,2 - 7,17 + 26,8 - 5}{2 \cdot 23,4 + 2 \cdot 19,2 + 26,8} = -1,26 \text{ см} \end{aligned}$$

$x_c = 0$ ва $y_c = -1,26$ см координаталар билан кесимнинг оғирлик маркази — С нүктани топамиз ва x_c y_c ва координата ўқларини чизамиз. x_c ўқи билан x_1 ; x_2 ; x_3 ; x_4 ва x_5 ўқлари орасидаги масофаларни топамиз: $a_1 = a_2 = y_c = 1,26$ см

$$a_3 = a_4 = -(y_3 - y_c) = -(7,17 - 1,26) = -5,91 \text{ см}$$

$$a_5 = y_5 + y_c = 5 + 1,26 = 6,26 \text{ см}$$

x_c ва y_c ўқларига нисбатан кесимнинг инерция моментларини параллел ўқларга нисбатан инерция моментини аниқлаш формуласидан фойдаланиб топамиз. Ҳисоблаш формулаларини ва натижаларини жадвалда бажарамиз (3-жадвал).

Жадвалдан күриниб турибдики, кесимнинг марказдан қочма инерция моменти ($I_{x,y} = 0$) нолга тенг экан. Демак, x_c ва y_c ўқлари бош инерция ўқлари, I_x ва I_y инерция моментлари эса бош инерция моментларидир.

4-масала. Иккита 12 швеллердан ташкил топган кесим (26-расм) учун қўйидаги тавсифлар топилсин:

1. Оғирлик маркази.
2. Оғирлик марказидан ўтувчи x_c ва y_c ўқларига нисбатан инерция моментлари.
3. Бош инерция ўқларининг йўналиши.
4. Бош инерция моментлари.

3-жадвал

Кесим элементларининг №	Элементларнинг кесим юзалари A , см 2	Юзаларнинг оғирлик марказлари-нинг координаталари, см	Юзаларнинг инерция моменлари, см 4									
			Үқларга нисбатан инерция моментлари							Марказдан қочма инерция моменти		
			$I_x = I + a^2 A$			$I_y = I_y + x^2 A$			$I_{x'y'} = I_{xy} + axA$			
<i>a</i>	<i>x</i>	I_x	$a^2 A$	I_{x_c}	I_y	$x^2 A$	I_{y_c}	I_{xy}	axA	$I_{x'y'_c}$		
1.	23,4	1,26	-12,07	1520	37,15	1557,15	113	3409	3522	0	-355,9	-355,9
2.	23,4	1,26	12,07	1520	37,15	1557,15	113	3409	3522	0	355,9	355,9
3.	19,2	-5,91	-7,17	179	670,6	849,6	179	987	1166	104,95	813,6	918,5
4.	19,2	-5,91	7,17	179	670,6	849,6	179	987	1166	-104,95	-813,6	-918,5
5.	26,8	6,26	0	115	1050,2	1165,2	1840	0	1840	0	0	0
	Жами:			3513	2465,7	5978,7	2424	8792	11216	0	0	0

5. Кесимни 1:2 масштабда чизиб, ҳамма ўқлари ва ўлчамлари күрсатилсан.

Ечиш. Кесимни масштабда чизиб оламиз, ҳар бир кесимнинг оғирлик марказидан $x_1o_1y_1$ ва $x_2o_2y_2$ ўқларини ўтказамиз. Кесимларни 1 ва 2 рақамлар билан белгилаб оламиз ва тавсифларни ёзиб оламиз:

$$\begin{aligned} h &= 12 \text{ см}; & b &= 52 \text{ см}; \\ A &= 13,3 \text{ см}^2; & I_x &= 304 \text{ см}^4; \\ I_y &= 31,2 \text{ см}^4; & Z_0 &= 1,54 \text{ см}. \end{aligned}$$

Кесимни ихтиёрий xy координата ўқига жойлашишиб, x_c ва y_c оғирлик маркази координаталарини топамиз:

$$x_c = \frac{A_1 x_1 + A_2 x_2}{A_1 + A_2}; \quad y_c = \frac{A_1 y_1 + A_2 y_2}{A_1 + A_2}$$

$$\text{Чизмадан } x_1 = \frac{h}{2} = \frac{12}{2} = 6 \text{ см}; \quad x_2 = h - z_0 = 12 - 1,54 = 10,46 \text{ см};$$

$$y_1 = h + z_0 = 12 + 1,54 = 13,54 \text{ см}; \quad y_2 = \frac{h}{2} = \frac{12}{2} = 6 \text{ см} \text{ ни ҳосил қиласиз, } x = 8,23 \text{ см} \text{ ва } y = 9,77 \text{ см} \text{ ни топамиз.}$$

Чизма (26-расм) да О нүктадан $x = 8,23$ см ва $y = 9,77$ см масштабда ўлчаб қўйиб С нүктани — кесимнинг оғирлик марказини топамиз. Агар x ва y тўғри топилган бўлса, С нүкта O_1 ва O_2 нүкталардан ўтказилган чизиқ устида жойлашади.

Шаклларнинг марказий ўқлари $x_1o_1y_1$; $x_2o_2y_2$; x_c ва y_c ўқлари орасидаги масофаларни топамиз (26-расм):

$$a_1 = -(x_c - x_1) = -(8,23 - 6) = -2,23 \text{ см}$$

$$a_2 = x_2 - x_c = 10,46 - 8,23 = 2,23 \text{ см}$$

$$b_1 = y_1 - y_c = 13,54 - 9,77 = 3,77 \text{ см}$$

$$b_2 = -(y_c - y_2) = -(9,77 - 6) = -3,77 \text{ см}$$

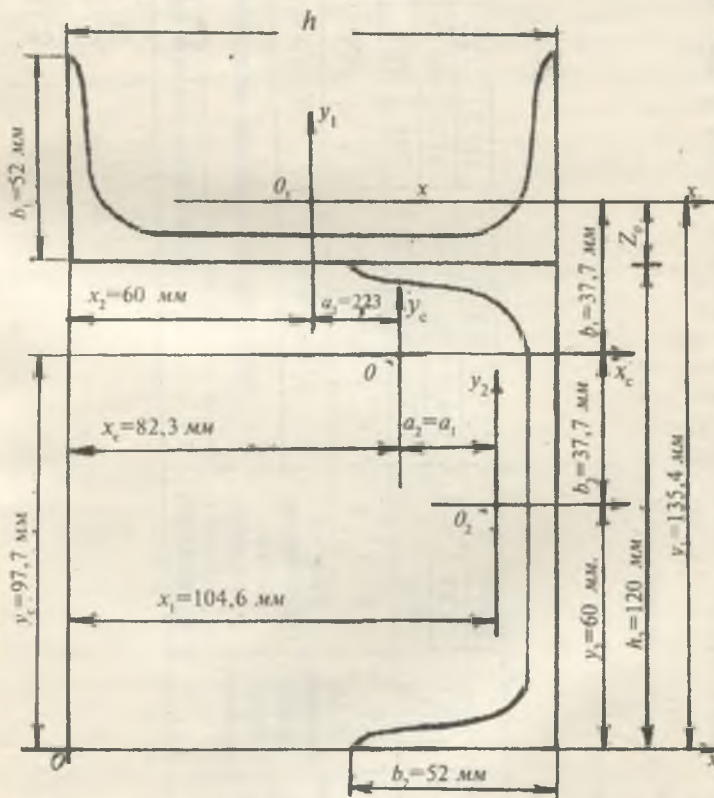
x_c ва y_c ўқларига нисбатан кесимнинг инерция моментларини параллел ўқларга нисбатан инерция моментини аниқлаш формуласидаған фойдаланиб топамиз.

Ҳисоблашни 4-жадвал бўйича бажариш қулай. $x_1o_1y_1$ ва $x_2o_2y_2$ ўқлари 1 ва 2-элементларнинг марказий ва бош

инерция үқлары ҳисобланади. Шунинг учун 1 ва 2-элементларни марказий үқларига нисбатан марказдан қочма инерция моментлари нолга тенг бўлади.

Кесимнинг марказий үқларидан биттаси ёки иккитаси симметрия ўқи бўлса, бу үқлар бош инерция үқларидир. Масалан, тенг томонли бурчакни марказий үқларни симметрия ўқи эмас. Шунинг учун бу үқлар бош инерция үқлари деб ҳисобланмайди. Агар чизмадаги иккита элементдан биттаси юқорида айтилган бурчак элементи бўлса, марказдан қочма инерция моменти қуидагича топилади:

$$I_{xy} = \frac{I_{x_0(\max)} - I_{y_0(\min)}}{2} \sin 2\alpha = \frac{I_{x_0} - I_{y_0}}{-2} \quad (\alpha = 45^\circ)$$



26-расм.

Кесим бош инерция ўқларининг йўналишини топамиз:

$$\lg 2\alpha_0 = - \frac{2 \cdot 223,6}{467,4 - 713,2} = 1,819 \text{ rad}$$

Бу ерда: $2\alpha = 61^0$; $\alpha_0 = 30^030'$

Бош инерция моментларини аниқлаймиз:

$$I_{\max} = \frac{1}{2} \left[(713,2 + 467,4) \pm \sqrt{(713,2 - 467,4)^2 + 4(223,6)^2} \right] = \\ = 0,5(1180,6 \pm 510,3) \text{ cm}^4 \quad I_{\max} = 845,45 \text{ cm}^4 \\ I_{\min} = 335,15 \text{ cm}^4$$

Кесим элементларининг №	Элементларнинг кесим юзалари $A, \text{ см}^2$	Юзаларнинг оғирлиқ марказлари-нинг координаталари, см	Юзаларнинг инерция моментлари, см^4									
			Үқларга нисбатан инерция моментлари						Марказдан қочма инерция моменти			
			$I_x = I + b^2 A$			$I_y = I + a^2 A$			$I_{x,y} = I_{xy} + abA$			
a	b	I_x	$b^2 A$	I_x	I_y	$a^2 A$	I_y	$I_{x,y}$	I_{xy}	abA	$I_{x,y}$	
1	13,3	-2,23	3,77	31,2	189	220,2	304	66,1	370,1	0	-111,8	-111,8
2	13,3	2,23	-3,77	304	189	493	31,2	66,1	97,3	0	-111,8	-111,8
		Жами:		335,2	378	713,2	335,2	132,2	467,4	0	-223,6	223,6

Текшириш:

$$I_{x_0y_0} = \frac{I_{x_c} - I_{y_c}}{2} \sin 2\alpha_0 + I_{x_c y_c} \cos 2\alpha_0 = 0$$

$$I_{x_0y_0} = \frac{713,2 - 467,4}{2} \sin 2(30^\circ 30') - 223,6 \cos 2(30^\circ 30') = 122,9 \cdot 0,875 - 223,6 \cdot 0,484 = 0,7 \text{ см}^4$$

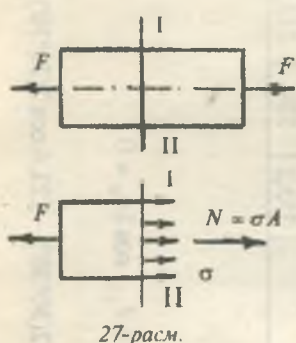
муобат ишорали бўлади. Агар N кучни кесимга қараб мусбат йўналган бўлса сиқувчи бўйлама куч бўла-
И Б О Б сораси манфий олинади.

Чўзилиш ва сиқилиш

Кесиш усулини номаълум бўлса, мусбат ишорани олиш мак-
садга мувофиқидир. Стерженьниң узунлиги бўйлама кучни сиқишини олиш мак-
сади. Чўзилиш ва сиқилиш машина элементларида ва конструкция қисмларида кўп учрайдиган ҳолдир. Масалан, зан-
жирлар, трослар, фабрика-заводларнинг трубалари, бино томини ушлаб турувчи колонкалар ва ҳ.к.лар чўзилиш ёки сиқилиш деформациясига учрайди. Иншоот ёки конструкция қисмлари маҳкамланиш турига ёки юк ва ташқи кучларнинг таъсири қилиш тавсифига қараб марказий ёки мар-
казлашмаган чўзилиш ёки сиқилишда бўлади.

Марказий чўзилиш ёки сиқилиш деб, бир-бирига тенг ва ўки бўйлаб қарама-қарши томонларга йўналган кучлар таъсиридаги стерженинг деформациясига айтилади (28-расм).

2.1. БЎЙЛАМА КУЧ. КУЧЛАНИШ ВА ДЕФОРМАЦИЯ



Марказий чўзилиш ва сиқилиша стерженинг кўндаланг кесимида фақат бир хил ички куч омили – бўйлама куч N ҳосил бўлади. Бўйлама куч кесиш усули орқали топилади. N кучи кесимдан йўналган бўлса чўзувчи бўйлама куч деб қабул қилинади ва мусбат ишорали бўлади. Агар N кучи кесимга қараб йўналган бўлса сиқувчи бўйлама куч бўла-
ди ва ишораси манфий олинади.

Кесиш усулидан фойдаланиб N кучни топишда, унинг йўналиши номаълум бўлса, мусбат ишорани олиш максадга мувофиқидир. Стержень бир қанча ташқи кучлар таъсирида бўлса, стерженинг узунлиги бўйлаб ички кучларнинг графигини чизиш керак. Стержень ўки бўйлаб N кучининг ўзгариш графигига бўйлама куч эпюраси дейилади. N кучни топиш учун мувозанат тенгламаларидан фойдаланамиз. Бўйлама куч N стержень кўндаланг кесимининг

чексиз кичик юзасига (dA) таъсир этувчи сідА ички күчларнинг тенг таъсир этувчиси ҳисобланади:

$$N = \int_A \sigma \cdot dA \quad (2.1)$$

Тажриба шуни курсатадики, марқазий чўзилиш ёки сиқилишда стерженнинг кўндаланг кесимлари бошлангич ҳолатига нисбатан параллел кўчади, яъни деформацияга-ча текис бўлган кесимлар деформациядан кейин ҳам текислигича қолади. Шунинг учун стержень кесим юзасининг ҳар бир нуқтасига қўйилган кучланиш бир хил бўла-ди, яъни: $\sigma = \text{const}$

Демак, (2.1) формулани қўйидагича ёзиш мумкин экан:

$$N = \sigma \cdot A \quad \text{ва} \quad \sigma = \frac{N}{A} \quad (2.2)$$

Бу ерда: σ — стержень кесим юзасининг нормал кучланиши; A — стерженнинг кўндалант кесим юзаси, m^2 .

Чўзилиш ва сиқилишга ишлайдиган деталларнинг мустаҳкамтигини ҳисоблашда нормал кучланиш — σ нинг қайси қиймати хавфли эмас, деган савол туғилади. Албатта, бу кучланиш детални емирилиш ёки уни ноқулай шароитда ишлаш ҳолатига тўғри келувчи хавфли кучланиш — σ_0 дан кичик бўлиши керак. Конструкция қисмларининг хавфсиз ҳолатини таъминловчи кучланишга рухсат этилган кучланиш дейилади. Бу кучланишни $[\sigma]$ орқали ифодалаймиз. $[\sigma]$ нинг қиймати тажрибалар орқали топилади.

Демак, конструкция қисмida ҳосил бўлган энг катта нормал кучланиш $\sigma = \sigma_{\max}$, шу конструкция материали учун танланган рухсат этилган кучланишдан катта бўлмаса, конструкциянинг мустаҳкамлиги таъминланган бўла-ди, яъни:

$$\sigma_{\max} = \frac{N_{\max}}{A} \leq [\sigma] \quad (2.3)$$

(2.3) формула чўзилиш ёки сиқилишдаги мустаҳкамлик шарт дейилади. $[\sigma]$ нинг қиймати хавфли нормал кучланишнинг бир қисмiga тенг деб қабул қилинади:

$$[\sigma] = \frac{\sigma_0}{n} \quad \text{стержень кесим} \quad (2.4)$$

Бу ерда: σ_0 — материалнинг мустақамлик чегараси; n — эҳтиётлик коэффициенти.

Эластик жисмлар деформацияси тажрибалар асосида кузатилганда таъсир қилувчи нормал кучланишлар нисбий деформацияга тўғри пропорционал эканлигини аниқлаш мумкин:

$$\sigma = E \cdot \varepsilon \quad (2.5)$$

Бу шарт Гук қонуни дейилади. (2.5) формуладаги ε — нисбий узайиш. Нисбий узайиш бруснинг абсолют узайиши — Δl нинг бошлангич узунлиги нисбатига тенгдир:

$$\varepsilon = \frac{\Delta l}{l} \quad (2.6)$$

Кўндаланг деформациянинг нисбий миқдори:

$$\varepsilon' = \frac{\Delta a}{a} \quad (2.7)$$

Агар (2.5) формулага (2.2) ва (2.6) ларни келтириб қўйсак, Гук қонунинг бошқа кўринишини топамиз:

$$\Delta l = \frac{N \ell}{E A} \quad (2.8)$$



Е катталиги пропорционаллик коэффициенти бўлиб, у эластиклик модули дейилади. E — физик константа, тажриба асосида топилади, N/m^2 ; kN/m^2 ларда ўлчанади. Е материалнинг турига қараб ўзгаради ва унинг физик-механик хоссасига боғлиқ бўлади. $E A$ бруснинг чўзилиш ёки сиқилишдаги бикрлиги дейилади.

Чўзилиш ва сиқилишдаги кўндаланг нисбий деформация ε' нинг бўйлами нисбий деформация — ε га нисбати ўзгармас сон бўлиб, у Пуассон коэффициенти дейилади:

$$\mu = \frac{\varepsilon'}{\varepsilon} \quad (2.9)$$

Пуассон коэффициенти — μ ҳам Е га үшаб материалнинг хоссасини аниқловчи катталиқдир. μ нинг қиймати 0 дан 0,5 оралиқда материалнинг турига қараб ўзгариади.

I-жадвал

Материал	Эластик-лик модули E , мПа	Пуассон коэффициенти μ	Рухсат этилган кучланиш мПа	Ҳароратдан чизиқли кенгайиш коэффициенти $\alpha^{\circ}\text{C}^{-1}$	Солишини тирма оғирлик ρ , $\text{Н}/\text{м}^3$
Пўлат	$2 \rightarrow 10^5$	0,30	160	$125 \rightarrow 10^{-7}$	78
Чўян	$1,2 \rightarrow 10^5$	0,25	130	$104 \rightarrow 10^{-7}$	75
Мис	$1 \rightarrow 10^5$	0,32	60	$165 \rightarrow 10^{-7}$	83
Бронза	$1 \rightarrow 10^5$	0,35	90	$170 \rightarrow 10^{-7}$	82
Шиша	$0,56 \rightarrow 10^5$	0,25			

2.2. ҲАРОРАТ ТАЪСИРИДА КУЧЛANIШ ВА ДЕФОРМАЦИЯ

Техникада кўпгина конструкция қисмлари ҳарорат таъсирида ишлайди (газ трубина, реактив двигатель қисмлари). Ҳарорат таъсирида ҳосил бўлган ички бўйлама куч N материалнинг эластиклик модули E , қиздирилиш ҳарорати t° таъсиридаги чизиқли кенгайиш коэффициенти α ва стерженнинг кўндаланг қесим юзаси A га боғлиқ булади, яъни:

$$N = \alpha \cdot \Delta t \cdot E \cdot A \quad (2.10)$$

$$\text{Ҳароратли кучланиш: } \sigma_t = \frac{N}{A} = \alpha \cdot \Delta t \cdot E$$

Текис қиздирилган бир жинсли стерженнинг абсолют узайиши қуйидаги формула билан топилади:

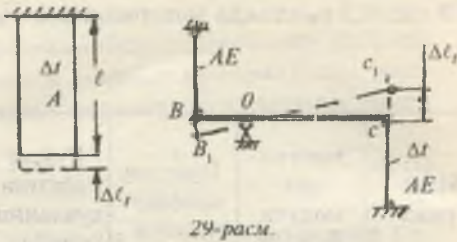
$$\Delta \ell_t = \alpha \cdot \Delta t \cdot \ell \quad (2.11)$$

(2.6) формуладан стерженнинг нисбий узайишини топиш мумкин:

$$\varepsilon = \alpha \cdot \Delta t$$

(2.12)

Агар стерженга ташқи чүзувчи күч F ҳам таъсир қилса, (2.11) ва (2.12) формулаларни қуидагида ёзиш мүмкін:

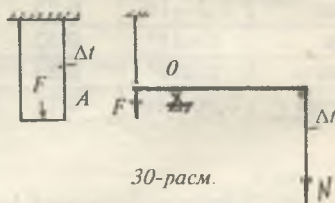


29-расм.

$$\Delta\ell = \alpha \cdot \Delta t \cdot l + \frac{Nl}{EA} \quad (2.13)$$

$$\text{ва } \varepsilon = \alpha \cdot \Delta t + \frac{\alpha}{E}$$

Ташқи күч F ва ҳарорат таъсиридаги деформациялар мустақил күренишга эга ва у стерженнинг умумий деформациясini ташкил қиласы.



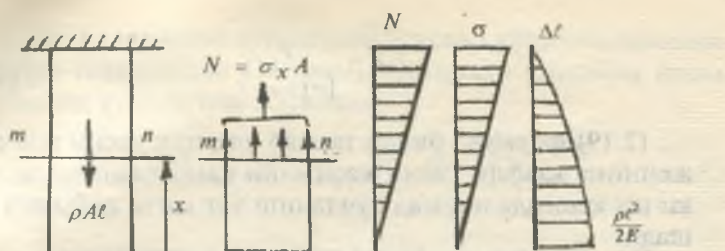
30-расм.

2.3. ХУСУСИЙ ОФИРЛИК ТАЪСИРИДАГИ СТЕРЖЕННИНГ ЧҮЗИЛИШ ЕКИ СИҚИЛИШИНІ ҲИСОБЛАШ

Узунлиги ℓ га тенг бўлган стержень хусусий оғирлик таъсирида узайди. Стерженнинг пастки учидан X масофада жойлашган m — n кесимининг ички кучи ва кучланишини аниқлаймиз. Бунинг учун кесиш усулидан фойдаланамиз. Стерженни икки қисмга ажратиб, пастки бўлагини олиб қоламиз. Стерженнинг ажратиб олинган пастки қисми ўзининг хусусий оғирлиги ρAx ва стерженнинг ташлаб юборилган қисмининг пастки қисмга қўйилган таъсири σ_x остида бўлади. Агар σ_x стерженнинг m — n кесимида тенг тарқалган бўлса, $N = \sigma_x A = \rho \cdot Ax$ ва $\sigma_x = \rho \cdot x$ ҳосил бўлади.

Демак, хусусий оғирлик таъсирини ҳисобга олганда нормал кучланиш — материалнинг солиштирма оғирлиги ρ ва стерженнинг узунлиги ℓ га боғлиқ бўлади. Нормал кучланиш $X = \ell$ кесимда, яъни таянч кесимда энг катта қийматга эришади:

$$\sigma_{\max} = \rho \cdot \ell \quad (2.15).$$



31-расм.

Стерженning хавфли кесими учун мустақкамлик шарти қуидагида ёзилади:

$$\sigma_{\max} = \rho \cdot \ell \leq [\sigma] \quad (2.16)$$

Агар, стерженning пастки учиға F күч құйилған бұлса, мустақкамлик шартиның күриниши ўзгаради (32-расм):

$$\sigma_{\max} = \frac{F}{A} + \rho \cdot \ell \leq [\sigma] \quad (2.17)$$

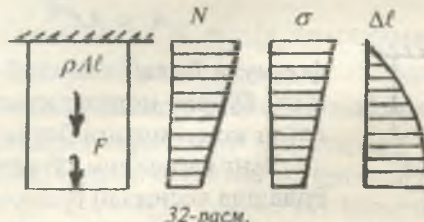
(2.16) ва (2.17) формулалардан фойдаланиб стерженning мустақкамлигини таъминладырып критик узунлик:

$$\ell_k = \frac{[\sigma]}{\rho}; \quad \ell_k = \frac{[\sigma] A - F}{\rho A}$$

Бруснинг хусусий оғирлик таъсирида узайишини тошип учун Гук қонунидан фойдаланамиз (31-расм):

$$\Delta \ell = \int_x^{\ell} \frac{N dx}{EA} = \int_x^{\ell} \frac{\rho \cdot A \cdot x \cdot dx}{EA} = \frac{\rho}{2E} (\ell^2 - x^2) \quad (2.18)$$

ва кесим юзасини аниқлаш мүмкін:



32-расм.

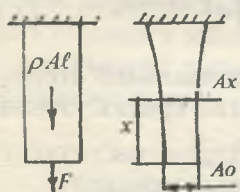
$$A \geq \frac{F}{[\sigma] - \rho \cdot \ell} \quad (2.19)$$

(2.19) формула билан танлаб олинган кесим юза стерженнинг хавфли таянч кесимини қаноатлантиради, чунки шу кесимда нормал кучланиш энг катта қийматга эришади.

Стерженнинг узунлиги бўйлаб кесим юзани (2.19) формула ёрдамида танлаш мумкин эмас, чунки $X = 0$; $\sigma = 0$ ва $X = \ell$ бўлса, $\sigma = \sigma_{\max}$ га асосан, нормал кучланиш стерженнинг узунлиги бўйлаб барча кесимларда тўғри чизиқли қонуният билан ўзгарувчандир. Бу ҳолат стерженнинг узунлиги бўйлаб барча кесимлар нормал кучланиши билан бир хил юкланмаганлигини ва ортиқча материал сарфланганлигини билдиради.

Стерженнинг узунлиги бўйлаб кесимни шундай танлаш керакки, унинг барча кесим юзаларида σ бир хил қийматга эга бўлсин. Бундай стерженлар тенг қаршилик кўрсатувчи бруслар дейилади.

Агар, стержень ташқи F куч билан ҳам юкланган бўлса (33-расм):



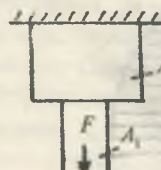
33-расм.

$$\Delta \ell = \int_x^{\ell} \frac{(F + \rho Ax)dx}{EA} = \frac{N(\ell - x)}{EA} + \frac{\rho}{2E} (\ell^2 - x^2) \quad (2.20)$$

ҳосил бўлади.

Тенг қаршилик кўрсатувчи брусларнинг кўндаланг кесим юзаси

$$A_x = A_0 e^{\frac{\rho}{[\sigma]} x} \quad (2.21)$$



34-расм.

формула билан топилиб, брусларнинг узунлиги бўйлаб нормал кучланишининг тарқалиши қонуниятига боғлиқ бўлади.

Тенг қаршилик кўрсатувчи бруслар тайёрлашда кесимдан рационал фойдаланганлиги учун ортиқча материал сарфланмай-

ди. Тенг қаршилик курсатувчи бруслар күпинча поғонали қилиб тайёрланади (34-расм). Поғонали бруснинг кесим юзлари қуидагида топилади:

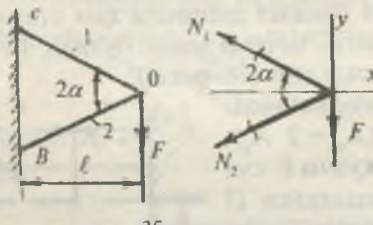
$$A_1 = \frac{F}{[\sigma] - \rho \cdot \ell_1} \quad \text{ва} \quad A_2 = \frac{F + \rho A_1 \ell_1}{[\sigma] - \rho \ell_2}$$

2.4. ЧҮЗИЛИШ ВА СИҚИЛИШДА СТАТИК НОАНИҚ СИСТЕМАЛАР

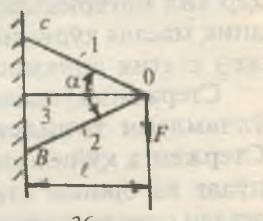
Амалиётда учрайдиган конструкция қисмларининг күпчилиги кўндаланг кесимда ҳосил бўладиган ички чўзувчи ёки сиқувчи бўйлама кучлари ва кучланишларини кесиш усулидан фойдаланиб, системанинг ажратилган бўлагини мувозанат шартини тузиш билан топиш мумкин.

Масалан, С ва В кесимлари таянчга таянган ва О кесимида F куч билан юклangan стерженлар системасининг ички бўйлама кучларини топайлик (35-расм).

Системанинг мувозанат шартини таъминловчи иккита тенглама тузамиз:



35-расм.



36-расм.

$$\sum x = -N_1 \cos \alpha - N_2 \cos \alpha = 0 \quad (2.22)$$

$$\sum y = N_1 \sin \alpha - N_2 \sin \alpha - F = 0 \quad (2.23)$$

(2.22) ни тенгламадан $N_1 = -N_2$ тенгликни (2.23) шартга келтириб қўйсак, $N_2 = \frac{-F}{2 \sin \alpha}$ ҳосил бўлади.

Агар системага яна битта стержень жойлаштирсан, ундаги ички кучларни мувозанат шартлардан фойдаланиб топиб бўлмайди, чунки ажратилган қисмдаги ички кучларнинг сони шу қисмнинг мувозанат ҳолатини таъминловчи тенгламалар сонидан кўп бўлади (36-расм):

$$\sum x = -N_1 \cos \alpha - N_3 - N_2 \cos \alpha = 0 \quad (2.24)$$

$$\sum y = N_1 \sin \alpha - N_2 \sin \alpha - F = 0 \quad (2.25)$$

(2.24) ва (2.25) тенгламаларда учта N_1 , N_2 ва N_3 номаълум кучлар булиб, бу кучларни юқорида тузилган шартлар ёрдамида 10пиб бўлмайди. N_1 , N_2 ва N_3 ларни топиш ноаниқликка келиб қолади. Бундай системалар статик ноаниқдир.

(2.24) ва (2.25) тенгламалардан номаълум N ички кучларни топиш учун қўшимча тенгламалар тузилиши керак. Қўшимча тенгламалар — системанинг деформациясини ифодалайдиган геометрик боғланишлар — деформация тенгламалари мувозанат тенгламалари билан биргаликда ечилади ва номаълум ички кучлар топилади.

Икки томони бикр маҳкамланган ва F куч билан юқланган стержень ҳам статик аниқмас масаладир, чунки R_A ва R_B таянч реакциялари битта мувозанат шартидан топилиши мумкин эмас (37-расм): $\sum y = 0; R_A + R_B = F$

Демак, бу системани ечиш учун қўшимча деформация тенгламасидан фойдаланиш керак. Конструкция элементи ҳар хил материаллардан ташкил топганда ҳам статик ноаниқ масала кўринишидаги система ҳосил бўлади. Бу стержен статик аниқмас масаладир (38-расм).

Стержен кўндаланг кесимининг ўлчамлари топилсан (А_n = 2 А₆). Стерженга қўйилган сикувчи F куч пўлат ва бронза стерженларига П детали орқали таъсир қиласди. F кучнинг ҳар қайси стерженга таъсирини топиш учун битта тенглама тушиб мумкин: $F_6 + F_n = F \quad (a)$

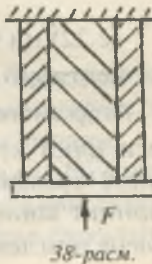
Бу тенгламада иккита номаълум куч бор.

F_6 ва F_n кучларни топиш учун қўшимча деформация тенгламасини тузамиз. Ташқи сикувчи куч таъсирида ҳар иккала стержен ҳам бир хил масофага сиқилади. Гук қонунига асосан:

$$\Delta\ell = \frac{F_6 \ell}{E_6 A_6} = \frac{F_n \ell}{E_n A_n} \quad (b)$$



37-расм.



38-расм.

Бу ерда: $F_n = F_6 \frac{E_n A_n}{E_6 A_6}$ ни (а) тенгламага келтириб қойсак:

$$F_6 \left(1 + \frac{E_n A_n}{E_6 A_6}\right) = F \text{ келиб чиқади.}$$

У ҳолда: $F_6 = \frac{F}{1 + \frac{E_n A_n}{E_6 A_6}}$ ва $F_n = \frac{F}{1 + \frac{E_6 A_6}{E_n A_n}}$

Хар қайси материалдаги кучланиш:

$$\sigma_6 = \frac{F_6}{A_6} \text{ ва } \sigma_n = \frac{F_n}{A_n}$$

У ҳолда (б) тенгламадан: $\frac{\sigma_n}{\sigma_6} = \frac{E_n}{E_6}$, агар $E_n = 2 \cdot 10^5 \text{ мПа}$ ва $E_6 = 1 \cdot 10^5$ бұлса, $\sigma_n = 2\sigma_6$ ҳосил бўлади, яъни пўлатдаги кучланиш бронзадаги кучланишдан икки баробар катта экан. Лекин бронза учун рухсат этилган кучланиш пўлат учун рухсат этилган кучланишдан уч баробар кичик. Шунинг учун стерженнинг ўлчамлари бронза учун танланиши керак: $\sigma_6 = \frac{F}{A_6 \left(1 + \frac{E_n A_n}{E_6 A_6}\right)} \leq [\sigma]_6$

$$\text{Бу ерда: } A_6 \geq \frac{5[\sigma]_6}{F}$$

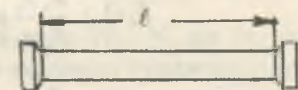
2.5. МАТЕРИАЛЛАРНИ ЧЎЗИЛИШ ВА СИҚИЛИШГА СИНАШ

Конструкция қисмларини чўзилиш ва сиқилишга мустаҳкамлигини, бикрлигини ҳисоблашда рухсат этилган кучланиш $[\sigma]$, эластиклик модули E ва Пуассон коэффициенти μ , материалнинг эластиклик ва пластиклик хоссаларини ҳисобга олиш керак бўлади. Юқорида келтирилган материалларнинг механик ва пластиклик хоссалари конструкция қисмларининг ишлаш шароитларига, уларни тайёrlаш технологиясига боғлиқ бўлади. Турли шароитларда (юқори ва паст ҳароратда, ҳар хил деформация

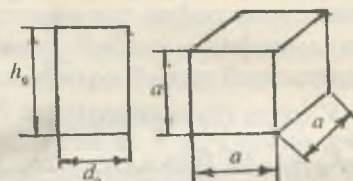
тезлигидаги, механик ва термик ишлов беришда...) материалларнинг хоссаларини ұрганиш, чүзилиш ва сиқилишга синашнинг асосий мақсадидир.

Чүзилиш ва сиқилишга синаш махсус машиналар билан жи-хозланган лабораторияларда үтказилади. Синашда қатнашадиган намунанинг шакли ва геометрик үлчами стандартлаштирилган булиши керак:

Чүзилишда синаладиган намунанинг асосий хусусияти, унинг кучайтирилган ушлагич қисмидан d_0 диаметрига деформациянинг силлиқ үтишидидir. Сиқилишга синаладиган намуналар цилиндрик (металл) ва кубик (ёғоч, бетон) шаклида тайёрланади.



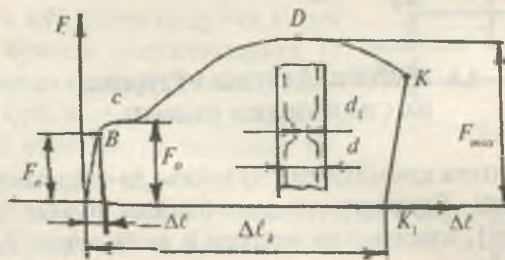
39-расм.



40-расм.

2.5.1. ЮМШОҚ ПҮЛАТНИНГ ЧҮЗИЛИШ ДИАГРАММАСИ

Чүзилишга синашда куч билан намунанинг узайиши орасидаги боғланиш машинадан диаграмма (41-расм) күришишида олинади.



41-расм.

Диаграмманинг тавсифли нұқталари қуйидагыча номланади:

ОВ чизиқ пропорционаллик чегараси дейилади. ОВ чегарада материал Гук қонунига бўйсунади, чунки намуна нинг узайиши ($\Delta\ell$) чўзувчи кучга пропорционал ўзгарди. Бу қонуният В нуқтагача сақланади:

$$\Delta\ell = \frac{F\ell_0}{EA_0}$$

Гук қонуни бўйсунмайдиган ҳолат бошланишига тўғри келувчи кучланиш σ_n — материалнинг пропорционаллик чегараси дейилади. В нуқтадан сезилар-сезилмас баландроқда жойлашган B_0 нуқта материалнинг эластиклик чегараси дейилади. Нисбатан камроқ (0,001...0,003) % қолдиқ деформация ҳосил қиласидиган кучланиш σ_e , эластиклик чегараси дейилади. Агар, ОВ оралиқда синовни тұхтатиб, намунадан кучни олсак, намуна нинг узайиши йўқолади (сўнади). Сўнувчан деформация — эластик деформация, дейилади.

Чўзувчи кучни орттириб борсак, силлиқ қилиб тайёрланган намуна нинг юзида стерженнинг симметрия ўқига нисбатан 45° бурчакда жойлашган чизиқлар ҳосил бўлади. Намуна нинг юзи хиралашади ва унинг узайиши учун кучнинг орттирилиши талаб қилинмайди. Материал оқади.

Ўзгармас кучда намуна деформациясининг ўсиши — материалнинг оқувчанлик чегараси, дейилади. Материалнинг оқишига сабаб бўлувчи кучланиш σ_o га оқувчанлик чегараси дейилади. Д нуқтагача намуна нинг ℓ_0 узунлиги чўзилади (деформацияланади). Д нуқтада намуна энг катта кучни қабул қиласи ва унинг бутун узунлиги узайишдан тұхтаб, маълум бир бўлаги узаяди. Маҳаллий узайиш ҳосил бўлади. Намуна нинг маҳаллий узайишида қатнашган кўндаланг кесими қисқаради (диаметр кичиклашади), ингичка бўйин ҳосил бўлади. Қисқарган кесимни узиш учун кам куч сарф қилинади ва намуна ингичка бўйиндан К нуқтада узилади.

Энг катта куч F_{max} таъсирида ҳосил бўлган кучланиш материални мустаҳкамлик чегараси ёки вақтинчалик қаршилик дейилади:

$$\sigma_n = \frac{F_n}{A_0}; \quad \sigma_s = \frac{F_s}{A_0}; \quad \sigma_{ok} = \frac{F_{ok}}{A_0}; \quad \sigma_{max} = \frac{F_{max}}{A_0} \quad (2.26)$$

(2.26) формулада топилган $\sigma_n, \sigma_s, \sigma_{ok}$ ва σ_{max} кучланишлар материалнинг механик хоссаларини ташкил қилади. $OK_1 = \frac{\Delta\ell_s}{\ell_0}$ намунанинг узилишидаги қолдиқ деформацияси. $K_1 U$ — намунанинг узилишидан кейин сўнган деформацияси (41-расм).

$$\text{Намунанинг нисбий узайиши: } \delta = \frac{\Delta\ell_s}{\ell_0} \cdot 100 \% \quad (2.27)$$

Кўндаланг кесимнинг нисбий қисқариши:

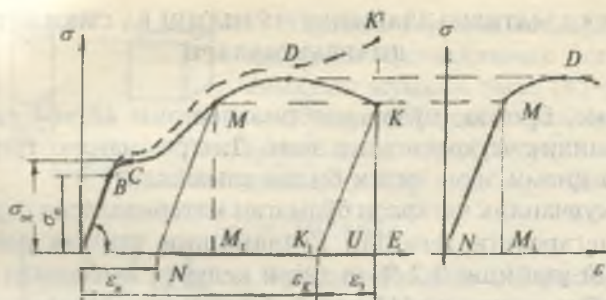
$\psi = \frac{A_0 - A_1}{A_0} \cdot 100\%$ намуна материалининг пластиклик хоссасини белтилайди. Масалан, агар $\delta > 5\%$ бўлса, материал пластик ва $\delta < 5\%$ бўлса, материал мурт бўлади. Пластик материаллар учун ψ катта бўлади. Ст.2 маркали пўлат учун $\psi = 55\dots65\%$, $\delta = 28\dots33\%$.

Материалнинг емирилмасдан катта деформация ҳосил қила олиш қобилияти пластиклик дейилади. Пластиклининг ўлчови — нисбий узайишдир. Муртлик — материалнинг пластиклик хоссасига тескаридир.

$\sigma - \varepsilon$ координатасида чўзилиш диаграммаси.

Бунинг учун F кучни A_0 га ва $\Delta\ell$ ни намуна узунлигига бўламиз (42-расм). $\sigma - \varepsilon$ координатадаги чўзилиш диаграммасини шартли диаграмма деб қабул қилсак ҳам бўлаверади. Чунки намунанинг чўзилишдаги турли ҳолатига тўғри келувчи кучланишларини ($\sigma; \sigma_o; \sigma_{max}$) топишида чўзувчи куч — F ни намунанинг бошланғич кесим юзаси — A_0 га бўлдик.

Агар намунанинг узайишида кўндаланг ўлчамнинг қисқаришини ҳисобга олсан, (2.26) формула орқали топилган кучланишлар ҳақиқий кучланишлардан фарқли бўлиб чиқади. Ҳақиқий кучланишлар ёрдамида қурилган чўзилиш диаграммасининг ординатаси $\sigma - \varepsilon$ координатасида ОВСМДК чизиқ билан чегараланган чўзилиш диаграммасининг ординатасидан баланддир (42-расм, пунктир чизик).



42-расм.

$\sigma - \epsilon$ диаграммадан $\operatorname{tg} \alpha = \frac{\sigma}{\epsilon} = E$ ни ҳосил қилиш мүмкін. Материалнинг эластиклик модули Е диаграмманинг тұғри чизиқтари қисмиден абсциссага нисбатан оғиштеган бурчагининг тангенсига теңгедір.

Пухталаниш. Намунанинг чүзилишини М нүктада тұхтатсак, диаграмма ОВ чизиққа параллел MN чизик билан орқага қайтади. Намунада ϵ_N қолдиқ деформация ҳосил бұлады. Агар намунага қайта F кучни юкласақ, чүзилиш диаграммаси, намунанинг узайиши N нүктадан бошланади ва NM чизиқ устидан давом этади. Диаграмманинг қолган қисми МДК чизиги билан устма-уст тушади. Демек, намуна қайта юкланганда олдинги қолдиқ деформация ϵ_N ҳисобға олинмас экан. Такрорий (қайта) юклашда (чүзишда) материалнинг қолдиқ деформациясыз катта кучни қабул қилиш қобилияти яхшиланды.

Бу ҳолат MN чизиқда яққол күринади. MN чизиқ такрорий юклашдаги пропорционаллық чегараси бұлиб, материалнинг эластиклик хоссасини аниқлады. Пластик деформация таъсирида материал эластиклик хоссасининг яхшиланиши пухталаниш дейилади.

Пухталаниш техникада күп учрайдиган технологик жараёндир. Масалан, ремен, занжир, трассларни совук қолатыда бошланғич чүзилиши, пресслаш, валикларда про-катка қилиш ва ҳ.к.

2.5.2. МАТЕРИАЛЛАРНИНГ ЧҮЗИЛИШ ВА СИҚИЛИШ ДИАГРАММАЛАРИ

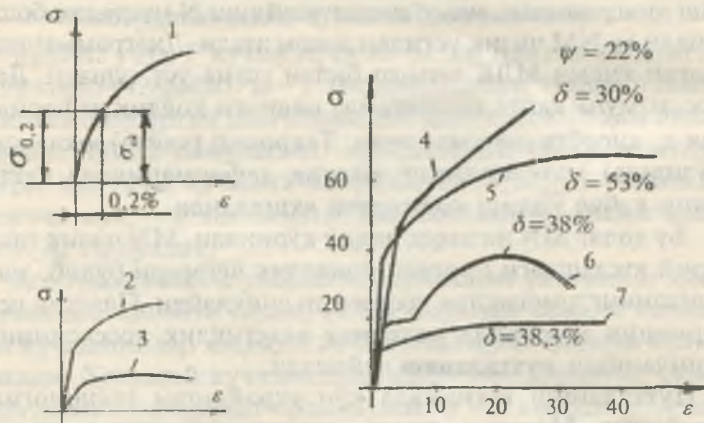
Мис, бронза, пўлат материалларнинг айрим навлари оқувчанлик чегарасига эга эмас. Диаграмманинг тўғри чизиқли қисми эгри чизиқ билан алмашади.

Оқувчанлик чегараси бўлмаган материалларда оқувчанлик чегарасига тегишли кучланишни шартли равища нисбий узайиши 0,2 % га тўғри келувчи кучланишга тенг деб қабул қилинади (43-расм). Бундай материалларда пропорционаллик чегара сифатида намунанинг умумий деформациясининг 0,002 % га тегишли кучланиш қиймати қабул қилинади. Диаграмманинг шу қисми тўғри чизиқ билан алмаштирилади ва Гук қонуни ишлатилади.

Пластик ва мўрт материалларни сиқилишга синаш учун намуналар тайёрланади (44-расм).

Ёғоч: $35 \times 35 \times 35$; бетон: $100 \times 100 \times 100$; керамика: $10 \times 10 \times 10$ мм.

Юмшоқ пўлат сиқилишда ҳам чўзилишдаги каби катта қолдиқ деформация ҳосил қилиш хусусиятига эга. Сиқилиш диаграммаси фақат ўсувчан бўлади.



43-расм.

1—дюралюмин; 2—юқори сифатли легирланган пўлат; 3—алюмин ва пўлат; 5—никелли пўлат; 6—куйма пўлат; 7—бронза.



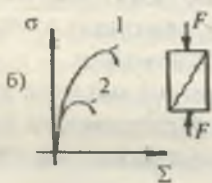
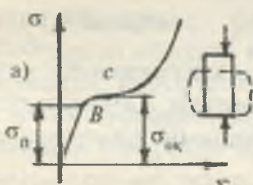
44-расм.



Шунинг учун юмшоқ пўлатни сиқилишда мустаҳкамлик чегарасини аниқлаш мумкин эмас (45-расм, а).

Юмшоқ пўлатни чўзиши ва сиқилишдаги σ_n , σ_{∞} кучланишлари тахминан бир хил: $\sigma_n = 200$ мГа ва

$$\sigma_{\infty} = 240 \text{ мПа.}$$

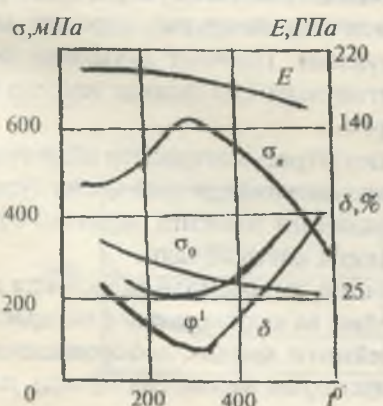


45-расм.

Чўянда чўзиши (45-расм, б 1) ва сиқилиш диаграммалари (45-расм, б 2) бир хил эмас. Чунки чўян чўзувчи кучга кам қаршилик курсатиб, жуда кичик қолдиқ деформация ҳосил қилиб емирилади.

Чўянни чўзишида узилиш бўйни сезилмайди, сиқилишда эса намуна F куч чизигига 45° бурчак остида емирилади. Умуман, материалнинг хоссалири синов ишларини ўтказиш шаротига, материалларнинг олиниш технологиясига, термик ва механик ишлов бериш усулига, ҳарорат ва ташқи куч қўйилиш тавсифига боғлиқ.

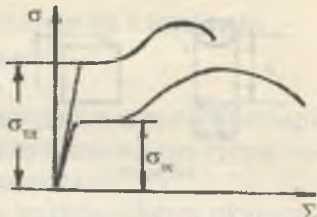
Масалан, ҳарорат 30° С га қадар кўтарилиганда юмшоқ



46-расм.

пўлатнинг мўртлиги намоён бўлади, эластик модули E тахминан ўзгармайди, оқувчанлик чегараси кичраяди, мустаҳкамлиги ортади. Ҳарораг $35^\circ \dots 40^\circ$ га қадар кўтарилиганда юмшоқ пўлатнинг хоссаси ноаниқликка яқинлашади. Унинг механик хусусиятлари ёмонлашади, пластиклик тикланади (46-расм). Бу ҳолат фақат юмшоқ пўлатга хосdir.

Легирланган пўлат ва рангли металларда ҳарорат кўтарилиши билан σ_{st} ва σ_s , бир хил камайиб борса, д эса ошиб боради. Юкланиш тезлиги ортиши билан пластик материалнинг хоссалари мўрт материал хоссасига яқинлашади (47-расм, 1—статик куч, 2—динамик куч).



47-расм.

Юкланиш тезлиги ортиши билан материалнинг оқувчанлик ва мустаҳкамлик чегаралари ортади. Динамик чўзилишнинг диаграммаси статик чўзилишнинг диаграммасидан баланд жойлашади.

Динамик чўзилишнинг диаграммаси σ ўқи томонга силжиган ҳолатда жойлашади. Динамик юкланишда юмшоқ пўлатнинг эластик модули тахминан ўзгармайди.

Пластмасса ва органик материалларнинг механик хоссалари деформация тезлигига боғлиқ. Пластмассага узоқ муддат куч таъсир қилиб турса, унинг мустаҳкамлик чегараси камаяди.

Конструкция элементлари тайёрланадиган конструкцион пўлат қўйма, қолиплаш, прокатлаш, судраб чўзиш усуллари билан олинади. Турли хил усуллар билан олинган бир хил таркибли пўлатнинг механик хоссалари ҳар хил бўлади. Қўйма усул билан олинган пўлатда конструкциянинг мустаҳкамлигини камайтирувчи ҳар хил ички нуқсон ҳосил бўлиши мумкин. Шунинг учун материалларни рентгенли, ультратовушли ёки бошқа усуллар билан текшириб кўриш керак.

Прокатлаш пўлатни анизатроп материалга айлантиради. Прокатлаш йўналишида материалда тола ҳосил бўлади. Агар деталнинг ўқи материалнинг толасига параллел бўлса, материалнинг мустаҳкамлиги катта бўлади.

Материалнинг оқувчанлик чегарасидан ташқарида пухталаниши унинг оқувчанлик ва мустаҳкамлик чегарасини орттиради, узилишдан кейинги қолдик деформациясини камайтиради. Материал мустаҳкам ва эластик бўлади, пластиклиги камаяди.

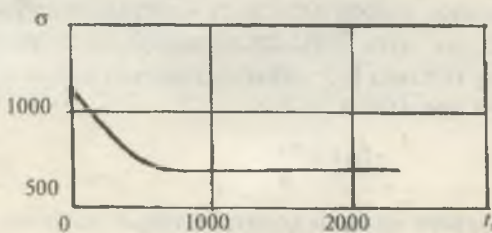
Материалларнинг механик ва пластик хоссаларини ўзгаририш учун уларга термик ишлов берилади: юмшатиш, тоблаш ва бўшатиш.

Пўлат маълум ҳароратгача қиздирилиб ушлаб турилади, сўнгра аста-секин совитилади. Юмшатиш натижасида пўлатнинг мустаҳкамлик тавсифи камаяди, пластиклик хусусияти ортади. Натижада, унинг бошланғич ички кучланиши йўқотилади, қирқиб ишлаш осонлашади.

Тобланган пўлатда мустаҳкамлик ортади, пластиклик эса камаяди. Бўшатилган пўлатда пластиклик ортади, мустаҳкамлик хусусиятлари камаяди.

Юқори ҳароратда материал хоссасининг ўзгаришида сурилиш аҳамиятлидир. Юқори ҳароратда ўзгармас кучланиш таъсирида вақт ўтиши билан деформациянинг ўсишига сурилиши дейилади. Кўргошин, латунъ, бронза, алюминий ва бошқа рангли металларда сурилиш кичик ҳароратда ҳам содир бўлиши мумкин. Ҳарорат қанча катта бўлса, сурилиш шунча тез ҳосил бўлади.

Айрим ҳолларда жуда катта вақт оралиғида кучланиши пропорционаллик чегарасидан кичик бўлган материалнинг юқори ҳароратда деформациянинг тез ўсиши —емирилишига сабаб бўлиши мумкин. Сурилиш натижасида пластик деформациянинг ўсиши кучланишнинг деталь кесимида қайта тақсимланиши ёки камайишига олиб келади. Пластиклик деформациясининг ўсиши натижасида кучланишнинг камайиши релаксация ҳодисаси, дейилади (48-расм).

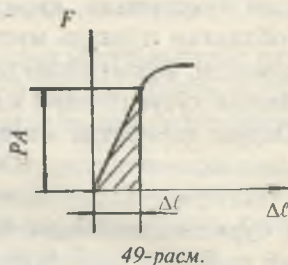


48-расм.

2.5.3. ЧҮЗИЛИШ ВА СИҚИЛИШДА ПОТЕНЦИАЛ ЭНЕРГИЯ

Намунани чүзишда ёки сиқишида машина иш бажаради. Бу иш миқдор жиҳатдан материалда түпланган потенциал (T) ва кинетик (K) энергиялар йиғиндисидан ибограт бўлади, яъни: $A_{иш} = T + K$.

Намунага қўйилган ташқи куч статик куч бўлганлиги учун кинетик энергия нолга teng. Демак, ташқи $A_{иш} = T$ кучнинг бажарган иши намуна нинг деформацияси натижасида материалда түпланган потенциал энергияга teng экан. Иккинчи томондан, пропорционаллик чегарасида тўлиқ иш диаграммада штрихланган учбуручакнинг юзаси билан топилади (49-расм):



49-расм.

$$A_{иш} = \frac{F \Delta \ell}{2} = \frac{F^2 \ell}{2 E A_0} \quad \text{ёки} \quad T = \frac{F^2 \ell}{2 E A_0}$$

Деформациянинг солиштирма потенциал энергияси:

$$U = \frac{T}{V_0} = \frac{T}{A_0 \ell} = \frac{F^2}{2 E A_0^2} = \frac{\sigma^2}{2 E} = \frac{\sigma \epsilon}{2}$$

2.6. РУХСАТ ЭТИЛГАН КУЧЛАНИШНИ ТАНЛАШ

Конструкцияларни мустаҳкамликка ҳисоблаш асосан унинг айрим нуқталарида ҳосил бўладиган энг катта кучланиш σ_{max} бўйича олиб борилади. σ_{max} кучланиш, конструкциянинг ишлаш шароитидаги ва материали учун хос бўлган кучланишдан катта бўлмаслиги керак. Бу кучланиш, рухсат этилган кучланиш [σ], дейилади ва материални синаш усули билан топилади, яъни:

$$[\sigma] = \frac{\sigma_0}{n}$$

σ_0 — материалнинг хавфли ҳолатига тўгри келувчи кучланиш.

Пластик материал учун $\sigma_0 = \sigma_{ok}$ ва мұрт материал учун $\sigma = \sigma_n$ деб қабул қилинади.

σ_{ok} — оқувчанлик чегарасидаги күчланиш;

σ_n — мустақамлиқ чегарасидаги күчләниш;

n — әхтиётлик коэффициенти.

Сқұвчанлик чегарасида пластик материалда қолдиқ деформация ҳосил бўлса, мұрт материаллар мустақамлиқ чегарасида емирилади.

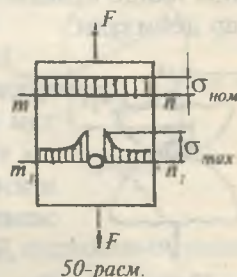
Пластик материаллар учун: $n = 1,2 \dots 1,8$; бетон учун: $n = 3$, тош учун: $n = 10$; чүян учун: $n = 2,5 \dots 3$ га тенг.

Умуман әхтиётлик коэффициентини танлашда машиналинг аҳамияти ва ишлаш муддатига эътибор берилади. Масалан, қурилиш соҳасида $n = 2 \dots 5$ ва авиация техникасида $n = 1,5 \dots 2$.

2.7. КҮЧЛАНИШЛАР КОНЦЕНТРАЦИЯСИ

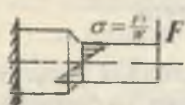
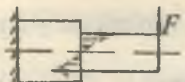
Турли нотекисликлар, тешиклар ва канавкалар ҳисобига кўндаланг кесимнинг (заифлашиши) ўзгариши күчланишнинг нотекис тақсимланишига, күчланишлар концентрациясининг ҳосил бўлишига олиб келади (50-расм).

F куч таъсирида чўзилаётган стерженниң m — n кесимида меъёрий күчланиш тенг тарқалади. m_1 — n_1 кесимида тешик ёнида күчланиш тўплами ҳосил бўлади. Күчланишнинг бундай тўпланиши маҳаллий күчланиш ёки күчланишлар концентрацияси дейилади. Маҳаллий күчланишни келтириб чиқарган нотекисликларнинг турига күчланишлар концентратори дейилади. Максимал күчланиш σ_{nom} ни (50-расм) күчланиш σ_n га нисбати күчланишлар концентрациясининг коэффициенти дейилади.



$$\alpha = \frac{\sigma_m}{\sigma_{nom}} \quad (2.28)$$

$$\sigma_{nom} = \frac{F}{A_0} \quad (2.29)$$



51-расм.

α_k нинг қиймати нотекисликнинг шакли ва ўлчамига боғлиқ ва эксперимент орқали топилади.

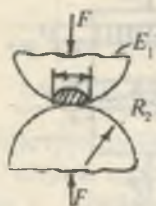
A_0 — стерженнинг заифлашмаган кундаланг кесими юзаси.

Мұрт материалларда лак қопламасини ёки сеткасини ҳосил қилиш усули билан маҳаллий кучланиш аниқланиши мүмкін. Айрим ҳолларда кесими ўзгарувчан стерженларда α_k нинг қиймати материалнинг мустаҳкамлик чегарасини аниқлаш билан топилади:

$$\alpha_k = \frac{\sigma_{\infty}}{\sigma}$$

2.8. КОНТАКТ КУЧЛАНИШЛАР ҲАҚИДА ТУШУНЧА

Подшипниклар, тишли узатмалар, күпrikларнинг таянч қысмларидаги шар ва цилиндрик фидиракларнинг иш жараёнида контактлы кучланишлар ҳосил бўлади. Демак, иккита ўзаро тегиб турадиган жисмни таъсирлашув юзасида пайдо бўладиган кучланишлар контактлы кучланишлар дейилади.



52-расм.

Контактлы кучланишларни кўпинча маҳаллий кучланишлар ҳам дейилади. Контактлы кучланишларнинг ва деформацияларни тақсимланиш қонунияти ва аниқланишининг айрим усуллари, назарияси эластиклик назариясида келтирилган.

Диаметрлари d_1 ва d_2 бўлган иккита эластик шар марказий куч билан сиқилганда уларнинг ўзаро тегиб турган жойларида радиуси:

$$a = 0,88 \sqrt{\frac{\frac{1}{E_1} + \frac{1}{E_2}}{\frac{1}{d_1} + \frac{1}{d_2}}}$$

бўлган доира ҳосил бўлади.

Контакт майдончасидағи нормал күчланиш нотекис тақсимланади. Энг катта күчланиш контакт доирасининг марказида булиб, күчланишнинг ўртача қийматидан 1,5 марта каттадир: $\sigma_{\max} = 1,5 \frac{F}{\pi d^2}$

Агар шарларнинг материаллари бир хил бўлса, яъни: $E_1 = E_2$ бўлса:

$$\sigma_{\max} = 0,62 \cdot \sqrt{FE^2 \left(\frac{d_1 + d_2}{d_1 d_2} \right)}$$

Контактли күчланишлар майдончасида ҳажмий күчланиш содир булади. Материал ҳар томонлама сиқилишга яқин шароитда ишлади. Шунинг учун маҳаллий эзилиш учун рухсат этилган күчланиш оддий сиқилишдагига қарангандан анча катта олинади. Контактли күчланишларни аниқлаш учун келтирилган формулалар контактдаги жисмларнинг шаклига ва ўлчамига боғлик.

2.9. ҚАТТИҚЛИК

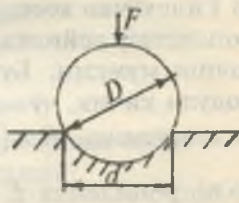
Сиртига механик тарзда киритилган деталга қаршилик кўрсата олиш қобилияти материалнинг қаттиқлиги дейилади.

Қаттиқлик ёрдамида материалнинг мустаҳкамлик чегарасини аниқлаш мумкин. Материалнинг қаттиқлигини аниқлаш учун унинг сиртига шарик маълум куч билан таъсир қилдирилади.

Д — шарикнинг диаметри, см; d — шарикнинг материал сиртидаги изи диаметри, см.

Агар, $HB \geq 400 \text{ кг} / \text{мм}^2$ бўлса, материалнинг қаттиқлиги шарик ёрдамида топилмайди, чунки материалнинг деформацияси сезиларли булади. Бринель сони ва материалнинг мустаҳкамлик чегараси боғланишда: қаттиқлик Бринель сони:

$$HB = \frac{2F}{\pi D \left(D - \sqrt{D^2 - d^2} \right)} \quad \text{бўйича топилади.}$$



53-расм.

Кам углеродли пұлат учун: $\sigma = 0,36 \text{ НВ}$.

Кул ранг چұян учун: $\sigma_s = \frac{HB - 40}{6}$

2.10. ЯНГИ МАТЕРИАЛЛАРНИҢ МЕХАНИК ТАВСИФЛАРИ

Кейинги йилларда пластмассалар, резиналар, елимелар, локлар ва бошқа синтетик материаллар техникада кенг құлланиляпты. Бу турдаги барча материалларнинг асосини полимерлар ташкил этади. Курилишда түрли пластмассалар ишлатылмоқда. Пластмассаларни қолиплаш ҳарорати 20° дан (эпоксидопласт, эфириопласт) $250 - 350^\circ\text{C}$ гача (полипропилен, фторопласт) этади. Пластмассаларнинг эластиклик модули катта бўлиб, құзилувчанлиги кичикдир. Масалан:

фенопласт $E = (3...25) \cdot 10^3 \text{ мН/м}^2$; $\delta = (0,1...1,5)\%$;

эпоксидопласт $E = (3...4) \cdot 10^3 \text{ мН/м}^2$; $\delta = (2,5...8)\%$.

Қотиш жараёнида үзгармайдиган хоссаларга эга бўлган пластмассалар реактопластлар дейилади. Қотиш жараёнида үзгарувчан хоссаларга эга бўлган пластмассалар — термоластлар дейилади. Уларни қайта қиздириб, яна қолипга солиши мумкин. Бундай пластмассаларнинг эластиклик модули кичик, құзилувчанлиги каттадир. Масалан: полиэтиленда $E = (1,5...2,5) \cdot 10^3 \text{ мН/м}^2$; $\delta = 150...600)\%$; полипропиленда $E = (9...12) \cdot 10^3 \text{ мН/м}^2$; $\delta = (500...700)\%$.

Баъзи пластмассаларнинг мустаҳкамлик чегаралари Ст.3 пұлатникига қараганда юқори, пластиклик тавсифлари унча катта эмас, узилишдаги қолдик деформацияси $\delta = (1...2)\%$. Пластмассаларнинг солиштирма оғирлиги ($\rho = 1,3...1,9 \text{ кг/см}^3$) пұлатникига нисбатан 3—4 марта, дюралюминийникига қараганда таҳминан 1,5 марта кичик. Шунинг учун конструкция оғирлигини камайтиришда бу материалдан фойдаланиш мумкин.

Техникада резина катта аҳамиятга эга. Резинанинг юмшоқ, ўртаса қаттиқ, қаттиқ, иссиққа ва ёғ таъсирига қидамли, протектор каби турлари мавжуд. Резинанинг элас-

тиклик модули ва Пуассон коэффициенти ўзгарувчандир. Масалан, $E = (0,4...8) \text{ мН/м}^2$; $\mu = 0,11 - 0,45$, соф каучук учун: $\mu = 0,5$, протектор резина учун: $E = (8,5...11) \text{ мН/м}^2$; $\delta = 40...45\%$, эбонит учун: $E = 40...70 \text{ мН/м}^2$; $\delta = 0,8...1,2\%$.

САВОЛ ВА ТОПШИРИҚЛАР

1. Марказий чўзилиш ёки сиқилиш деб нимага айтилади?
1. Абсолют узайиш деб нимага айтилади?
3. Нисбий узайиш деб нимага айтилади?
4. Гук қонунин таърифлаб беринг.
5. Материалларнинг механик хоссаларини айтиб беринг.
6. Материалларнинг пластиклик хоссаларини айтиб беринг.
7. Юмшоқ пўлатнинг чўзилиш диаграммасини чизиб беринг.
8. Юмшоқ пўлатнинг сиқилиш диаграммасини чизиб беринг.
9. Пропорционаллик чегара деб нимага айтилади?
10. Оқувчанлик чегара деб нимага айтилади?
11. Мустаҳкамлик чегара деб нимага айтилади?
12. Эластиклик чегара деб нимага айтилади?
13. Муртлик деб нимага айтилади?
14. Пластиклик нима?
15. Рухсат этилган кучланиш нима?
16. Чўзилиш ва сиқилишда мустаҳкамлик шартини ёзинг?
17. Статик ноаниқ масала деб нимага айтилади?
18. Пухталаниш нима?

МАСАЛАЛАР

1-масала. Пўлатдан тайёрланган поғонали бруслари $F_1 = 30 \text{ кН}$, $F_2 = 30 \text{ кН}$, $F_3 = 50 \text{ кН}$ ташқи кучлар билан юкланган. Погонали брус учун ички бўйлама куч — N ; нормал кучланиш — σ ва абсолют узайиш — Δl эпюралари қурилсин.

Ечиш. Бутун системанинг мувозанат тенгламасидан номаълум реакция кучи — Вни топамиш:

$$\sum y = B + F_3 - F_2 - F_1 = 0 \quad \text{ёки} \quad B = 30 + 30 - 50 = 10 \text{ кН}$$

Берилган масала статик аниқ ёки статик аниқмас система бўлишидан қатъи назар бўйлама кўчишни топиш таянч нуқтадан бошланиши керак, чунки бу нуқта жойлашган кесимнинг кўчиши ($\Delta\ell_B = 0$) нолга тенгдир. Шунинг учун бўйлама куч — N ни топишни ҳам стерженнинг таянч нуқтасидан бошлаймиз.

Кесиш усулидан фойдаланиб бруслни юқори поғонасидан фикран икки қисмга ажратамиз ва пастки қисмни ташлаб юборамиз. Ажратиб қолдирилган қисмнинг кесилган юзасига пастки ташлаб юборилган қисмнинг таъсирини алмаштирадиган N кучни кўямиз ва мувозанат тенгламасини тузамиз:

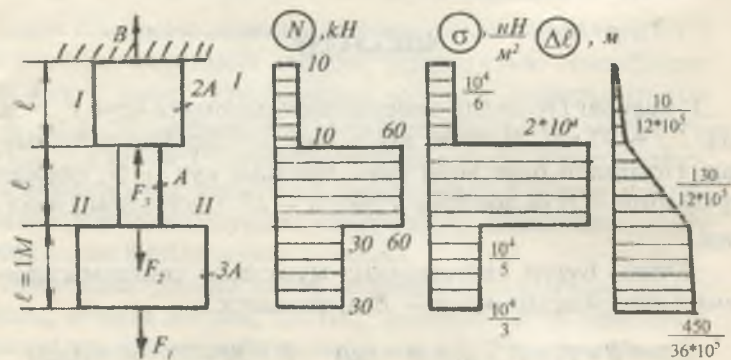
$$\Sigma y = B - N_1 = 0 \quad \text{ёки} \quad B = N_1 = 10 \text{ кН}$$

Текширилаётган поғонанинг узунлиги бўйлаб N_1 куч ўзгармас бўлиб, миқдор жиҳатдан реакция кучи — B га тенг. Нормал кучланишни топамиз:

$$\sigma_1 = \frac{N_1}{2A} = \frac{10}{2 \cdot 3 \cdot 10^{-3}} = \frac{10^4}{6}, \frac{\text{kH}}{\text{м}^2}$$

Бруслинг ℓ узунлиги бўйлаб тўлиқ кўчишни топамиз:

$$\Delta\ell_1 = \int_0^{\ell} \frac{N_1 dy}{E2A} = \frac{N_1 y_1}{E2A}$$



54-расм.

Агар, $y = 0$ бўлса, $\Delta\ell_1 = 0$ ва $y = 1 \text{ м}$ бўлса, $\Delta\ell_1 = \frac{10}{12 \cdot 10^5} \text{ м}$.

Демак, бруснинг юқори поғонасида бўйлама деформация тўғри чизиқли қонуният билан ўзгариб, нолдан $\Delta\ell_1 = \frac{10}{12 \cdot 10^5}$ гача ортиб боради.

II – II қирқим (ўрта поғона).

Ажратилган системанинг мувозанат тенгламасига асосан $\sum y = 0$. $B + F_3 - N_2 = 0$ ва $N_2 = 60 \text{ кН}$,
нормал кучланиш: $\sigma_2 = \frac{N_2}{A} = \frac{60}{3 \cdot 10^{-3}} = 2 \cdot 10^4 \frac{\text{kH}}{\text{m}^2}$

Брус ажратилган қисмининг тўлиқ узайишини топиш учун иккинчи оралиқ узайишига биринчи оралиқнинг тўлиқ узайишини қўшиб ёзамиш, яъни:

$$\Delta\ell_2 = \frac{10}{12 \cdot 10^5} + \frac{N_2 \cdot y_2}{EA}$$

Агар $y_2 = 0$ бўлса, $\Delta\ell_2 = \frac{10}{12 \cdot 10^5} \text{ м}$ ва $y_2 = 1 \text{ м}$, $\Delta\ell = \frac{65}{6 \cdot 10^5} \text{ м}$

III – III қирқим (пастки поғона).

Бўйлама куч – N_3 ни топиш учун стерженнинг ажратилган қисмининг мувозанат тенгламасини тузамиш:

$$\sum y = B + F_3 - F_2 - N_3 = 0$$

Бу ерда: $N_3 = 30 \text{ кН}$.

Бўйлама куч ажратилган қисмга таъсир қилаётган кучларни алгебраик йигиндисига тенг бўлади.

Нормал кучланиш: $\sigma_3 = \frac{N_3}{3A} = \frac{30}{3 \cdot 3 \cdot 10^{-3}} = \frac{10^4}{3} \frac{\text{kH}}{\text{m}^2}$.

Бруснинг тўлиқ узайиши:

$$\Delta\ell_3 = \Delta\ell_2 + \frac{N_3 y_3}{E3A} \text{ бўлади.}$$

$y_3 = 0$ бўлса, $\Delta\ell_3 = \frac{130}{12 \cdot 10^5} \text{ м}$ ва $y_3 = \ell = 1 \text{ м}$.да $\Delta\ell_3 = \frac{450}{36 \cdot 10^5} \text{ м}$.

N , σ ва $\Delta\ell$ эпюралари 54-расмда кўрсатилган.

2-масала. Тақсимланган күч интенсивлиги q_x ва F_1, F_2, F_3 күчлар билан юкландын бруснинг N , σ ва $\Delta\ell$ эпюралари қурилсин. Тақсимланган күч интенсивлиги — q_x түгри чизиқти қонуният билан үзгәради. Бруснинг күндалант кесим юзаси $A = 2 \cdot 10^{-4} m^2$, ташқи күчлар $F_1 = F$, $F_2 = 3F$, $F_3 = 3,5F$ ва $F = 10 kN$. Бруснинг материалы пұлат.

Бруснинг түлиқ үзайишини құзғалмас кесимдаги M нүктадан бошлаб аниқлаш керак. Шунинг учун N , σ ва $\Delta\ell$ ни аниқлашни ҳам таянч нүктасидан бошлаймиз:

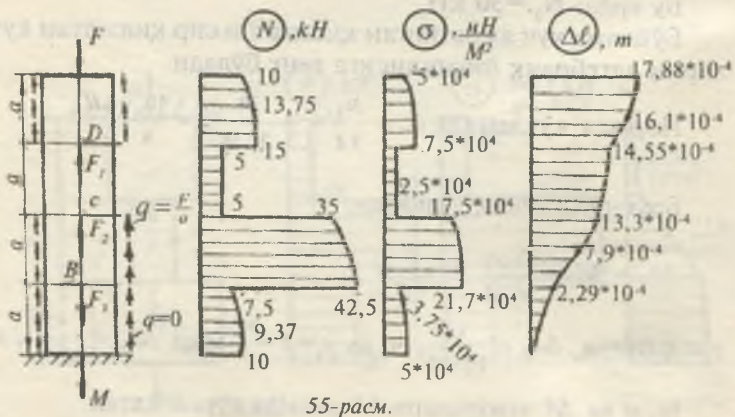
$$\sum x = -M - F_3 + F_2 + F_1 + \frac{1}{2} q_x \cdot 2a + \frac{1}{2} q_x a - F = 0.$$

Бу ерда: $M = 10 kN$

Тақсимланган күч интенсивлиги q_x брусни оралиқ ма-соғаларида түгри чизиқ қонуни билан үзгәради. Шунинг учун q_x ларнинг тенг таъсир қылувчиси тақсимланган күч интенсивлигини максимал ва минимал қийматларидан қурилған учбұрчакнинг юзаси билан үлчанади.

$$\text{У ҳолда: } \frac{q_x}{x} = \frac{q}{2a} \text{ ёки } q_x = q \frac{x}{2a} = \frac{Fx}{2a^2}$$

$$\text{Агар } x = 0 \text{ бўлса, } q_x = 0 \text{ ва } x = 2a \text{ бўлса, } q_x = \frac{F}{a}$$



55-расм.

Берилган брусни узунлиги бүйлаб МВ; ВС; СД ва ДК чегаралари орқали түртта оралиқта бўламиз.

I—I қирқим. Бруснинг М ва В нуқталари оралиғидан I—I қирқим билан иккига булиб, пастки қисмнинг мувозанат тенгламасини тузамиз:

$$\sum x = 0 \text{ ёки } N_1 + \int_0^a q_x dx - M = 0$$

$$N_1 = M - \int_0^a q_x dx = M - \int_0^a q \frac{x dx}{2a} = M - q \frac{x^2}{4a} = M - F \frac{x^2}{4a^2}$$

$$x_1 = 0 \text{ да } N_1 = M 10 \text{ кН}$$

$$\text{Нормал қучланиш: } \sigma_1 = \frac{N_1}{A} = \frac{10}{2 \cdot 10} = 5 \cdot 10^4 \frac{\text{kH}}{\text{m}^2}$$

$$x_1 = 0,5 \text{ м} \quad N_1 = 9,375 \text{ кН}, \quad \sigma_1 = 4,6875 \cdot 10^4 \frac{\text{kH}}{\text{m}^2}$$

$$x_1 = 1 \text{ м} \quad N_1 = 7,5 \text{ кН}, \quad \sigma_1 = 3,75 \cdot 10^4 \frac{\text{kH}}{\text{m}^2}$$

Бруснинг тақсимланган куч интенсивлиги билан юқланган оралиғида N ва σ лар эгри чизик қонуни билан ўзгаради. Узайиш:

$$\Delta \ell_1 = \int_0^a \frac{N_1 dx}{EA} = \int_0^a \frac{\left(M - F \frac{x_1^2}{4a^2} \right) dx}{EA} = \frac{1}{EA} \int_0^a M dx - \frac{F}{4a^2 EA} \int_0^a x_1^2 dx$$

Ҳосил бўлган тенгламани интегралласак,

$$\Delta \ell_1 = \frac{Mx_1}{EA} - \frac{Fx_1^3}{12a^2 EA} \text{ келиб чиқади. } x = 0 \text{ да } \Delta \ell_1 = 0, \text{ яъни}$$

кузгалмас M кесимнинг узайиши нолга тенг бўлади:

$$x_1 = 0,5 \text{ м} \quad \Delta \ell_1 = 1,224 \cdot 10^{-4} \text{ м}$$

$$x_1 = 1 \text{ м} \quad \Delta \ell_1 = \Delta \ell_B = 2,291 \cdot 10^{-4} \text{ м}$$

II — II қирқим (ВС оралиқ). $a \leq x_2 \leq 2a$

Кўзгалмас кесимдан X₂ масофадаги кесимнинг бўйлама кучи қуйидагича топилади:

$$\sum x = 0. N_2 = M + F_3 - \int_0^2 q_x dx = M + 3,5F - \int_0^2 q \frac{x dx}{2a} = \\ = M + 3,5F - F \frac{x^2}{4a^2}$$

Нормал күчланиш: $\sigma_2 = \frac{N_2}{A}$

$$x_2 = 1 \text{ м} \quad N_2 = 42,5 \text{ кН} \quad \sigma_2 = 21,25 \cdot 10^4 \frac{\text{kH}}{\text{m}^2}$$

$$x_2 = 2 \text{ м} \quad N_2 = 35 \text{ кН}; \quad \sigma_2 = 17,5 \cdot 10^4 \frac{\text{kH}}{\text{m}^2}$$

I поғонадан II поғонага ўтиш В нүқтасида бўйлама кучни қиймати $F_3 = 3,5F = 35 \text{ кН}$ га фарқ қиласди. Шунинг учун В нүқта жойлашган кесимни N эпюрасида 35 кН га тенг сакраш бўлади. Брусли 2а узунлигининг тўлиқ узайишини топамиз.

$$\Delta\ell_2 = \Delta\ell_B + \int_0^{1,5} \frac{N_2 dx}{EA} = 2,291 \cdot 10^{-4} + \frac{Mx_2}{EA} + \frac{3,5Fx_2}{EA} - F \frac{x_2^3}{12a^2 EA}$$

$$x_2 = 0, \Delta\ell_2 = 2,291 \cdot 10^{-4} \text{ м}, x_2 = 0,5 \text{ м}, \Delta\ell = 7,9 \cdot 10^{-4} \text{ м}, \\ x_2 = 1 \text{ м}, \Delta\ell_2 = \Delta\ell_c = 13,3 \cdot 10^{-4} \text{ м} \text{ брусл АС узунлигининг тўлиқ узайишидир.}$$

III – III қирқим (CD оралиқ). $0 \leq x_3 \leq 1 \text{ м}$

Оралиқ узунлиги бўйича тақсимланган қуч интенсивлигини тенг таъсир қилувчиси $\frac{1}{2}q \cdot 2a = qa = \frac{F}{a} \cdot a = F$ га тенг.

Бруслинг ажратилган қисмининг мувозанат тенгламаси қўйидагича ёзилади: $\sum x = N_3 + F_2 + F - F_3 - M = 0$ ёки $N_3 = 5 \text{ кН}$

Нормал күчланиш: $\sigma = 2,5 \cdot 10^4 \frac{\text{kH}}{\text{m}^2}$

Оралиқ узунлиги бўйлаб N_3 ва σ_3 тенг тарқалган, абсолют узайиш $\Delta\ell_3$ эса x_3 масофага пропорционал боғланишда бўлиб, тўғри чизикли қонуният билан ўзгаради. Шунинг учун MD оралиқнинг узайиши:

$$\Delta\ell_D = \Delta\ell_c + \frac{N_3 l}{EA} = 13,3 \cdot 10^{-4} + \frac{5 \cdot 1}{2 \cdot 10^8 \cdot 2 \cdot 10^{-4}} = 14,55 \cdot 10^{-4} \text{ м}$$

IV — IV қирқим. $0 \leq x_4 \leq 1 \text{ м}$

Бруснинг ажратилган қисмининг мувозанат шарти:

$$\sum x = N_4 + F_1 + \int_0^A q_x dx + F_2 - F_3 - \frac{1}{2} q 2a - M = 0 \quad \text{ёки}$$

$$N_4 = -F - q \frac{x^2}{2a} - 3F + 3,5F + \frac{F}{a} \cdot a + F = 1,5F - F \frac{x_4^2}{2a}$$

Нормал кучланиш: $\sigma_4 = \frac{N_4}{A}$ ва абсолют узайиши:

$$\begin{aligned} \Delta\ell_4 &= \Delta\ell_D + \int_0^1 \frac{N_4 dx}{EA} = 14,55 \cdot 10^{-4} + \int_0^1 \left(1,5F - F \frac{x_4^2}{2a} \right) \frac{dx}{EA} = \\ &= 14,55 \cdot 10^{-4} + \frac{1,5Fx_4}{EA} - F \frac{x_4^3}{6a^2 EA} \end{aligned}$$

$$x_4 = 0 \quad N_4 = 15 \kappa H; \quad \sigma_4 = 7,5 \cdot 10^4 \frac{\kappa H}{m^2}; \quad \Delta\ell_4 = 14,55 \cdot 10^{-4} \text{ м}$$

$$x_4 = 0,5 \text{ м} \quad N_4 = 13,875 \kappa H; \quad \sigma_4 = 6,937 \cdot 10^4 \frac{\kappa H}{m^2};$$

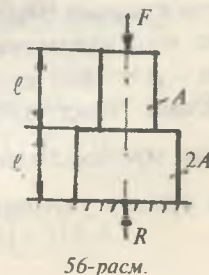
$$x_4 = 1 \text{ м} \quad N_4 = 10 \kappa H; \quad \sigma_4 = 5 \cdot 10^4 \frac{\kappa H}{m^2}; \quad \Delta\ell_4 = 17,88 \cdot 10^{-4} \text{ м}$$

Бруснинг тўлиқ узайиши: $\Delta\ell = 17,88 \cdot 10^{-4} \text{ м}$ га teng.

З-масала. F куч ва хусусий оғирлиги билан юкланган поғонали бруснинг тўлиқ қисқариши топилсин. Брус материалининг ҳажмий оғирлиги — ρ ва эластиклик модули — E.

Ечиш. Брус ҳар бир поғонасининг хусусий оғирлиги $\sigma_1 = \rho A \ell$ ва $\sigma_2 = \rho 2A \ell$.

F куч таъсиридан таянч кесимида В реакция кучи ҳосил бўлади.



Реакция кучини топамиз: $\sum x = B - F - \rho A\ell - \rho 2A\ell = 0$
 ёки $B = F + 3\rho A\ell$

Брусни пастки поғонасидаги ички бўйлама кучни кесиш усулидан фойдаланиб топамиз: $0 \leq x_1 \leq \ell$

$$\sum x = N_1 + B - \rho 2Ax_1 = 0 \quad \text{ва} \quad N_1 = \rho 2A \cdot x_1 - F - 3\rho A\ell$$

Бруснинг ажратилган қисмининг деформациясини Гук қонуидан фойдаланиб топамиз:

$$\Delta\ell_1 = \int_0^{\ell} \frac{N_1 dx}{E2A} = \int_0^{\ell} \frac{(\rho 2Ax_1 - F - 3\rho A\ell) dx}{E2A} = \left[\frac{\rho x_1^2}{2E} - \frac{(F + 3\rho A\ell)x_1}{E2A} \right]_0^{\ell}$$

Агар $x_1 = 0$ бўлса, $\Delta\ell_1 = \Delta\ell_B = 0$, яъни таянч кесимида деформация нолга тенг: $x_1 = \ell$; $\Delta\ell_1 = -\frac{F\ell}{E2A} - \frac{\rho\ell^2}{E}$

II – II қирқим.

Бўйлама кучни топамиз: $\sum x = N_2 + B - \rho 2A\ell - \rho Ax_2 = 0$

Бу ерда: $N_2 = -F - \rho A\ell + \rho Ax_2$

Ажратилган қисмнинг тўлиқ кўчишини топамиз:

$$\begin{aligned} \Delta\ell_2 &= \Delta\ell_1 + \int_0^{\ell} \frac{N_2 dx}{EA} = \Delta\ell_1 + \int_0^{\ell} \frac{(-F - \rho A\ell + \rho Ax_2) dx}{EA} = \\ &= \Delta\ell_1 + \left[\frac{\rho Ax_2^2}{2EA} - \frac{(F + \rho A\ell)x_2}{EA} \right]_0^{\ell} \end{aligned}$$

$$x_2 = 0, \quad \Delta\ell_2 = \Delta\ell_1 \quad \text{ва} \quad x_2 = \ell, \quad \Delta\ell_2 = -\frac{3F\ell}{2EA} - \frac{3\rho \cdot \ell^2}{2E}$$

4-масала.

Верикал осилган пўлатдан тайёрланган стержень қанча хусусий оғирликда емирилади. Пўлат материалининг мустаҳкамлик чегараси $50 \text{ кг}/\text{мм}^2$, хусусий оғирлиги $-\rho = 7800 \text{ кг}/\text{м}^3$.

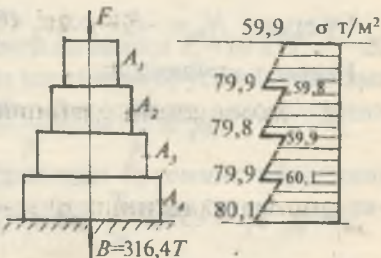
Ечиш. Фақат хусусий оғирлиги билан юклangan стерженни мустаҳкамлик шартини ёзамиш: $\sigma_{\max} = \rho\ell \leq \sigma_B$. Бу ерда критик узунлик: $\ell_k = \frac{\sigma_B}{\rho} = \frac{50 \cdot 10^6}{7800} = 6410 \text{ м}$

5-масала.

Үзүнлиги 40 м бўлган поғонали бруслари F = 100 т куч ва хусусий оғирлиги билан юкланган. Поғонали бруслари тўртта бир хил узунликдаги оралиқдан иборат. Поғонали бруслари материалининг солиштирма оғирлиги 2 т/м³ ва руҳсат этилган кучланиш: $[\sigma] = 80 \frac{T}{m^2}$

Ечиш. Поғонали брусларининг юқори қисмининг кесим юзасини топамиз:

$$A_1 = \frac{F}{[\sigma] - \rho \ell_1} = \frac{100}{80 - 2 \cdot 10} = 1,67 \text{ m}^2$$



57-расм.

A₁ кесимга ташқи F куч ва юқори қисмнинг хусусий оғирлиги таъсир қиласи:

$$A_2 = \frac{F + \rho \ell_1 A_1}{[\sigma] - \rho \ell_2} = \frac{100 + 2 \cdot 1,67 \cdot 10}{80 - 2 \cdot 10} = 2,23 \text{ m}^2$$

Поғонали брусларининг учинчи қисми — F куч, биринчи ва иккинчи поғоналарни хусусий оғирликлари таъсирида:

$$A_3 = \frac{A + \rho \ell (A_1 + A_2)}{[\sigma] - \rho \ell_3} = \frac{100 + 2 \cdot 10 (1,67 + 2,23)}{80 - 2 \cdot 10} = 2,97 \text{ m}^2$$

Поғонали брусларининг энг пастки қисми — F куч ва ундан юқори қисмларининг хусусий оғирликлари таъсирида бўлади:

$$A_4 = \frac{F + \rho \ell (A_1 + A_2 + A_3)}{[\sigma] - \rho \ell_4} = \frac{100 + 2 \cdot 10 (3,9 + 2,97)}{80 - 2 \cdot 10} = 3,95 \text{ m}^2$$

Поғонали брусларининг таянч кучини топамиз:

$$\Sigma x = -F - \rho \cdot \ell (A_1 + A_2 + A_3 + A_4) + B = 0$$

Бу ерда:

$$B = 100 + 2 \cdot 10 (1,67 + 2,23 + 2,97 + 3,95) = 316,4 \text{ т.}$$

Погонали бруснинг узунлиги бўйлаб кучланиш эпурасини қуриш учун уни ҳар бир погонасидаги ички бўйлама кучларини кесиш усулидан фойдаланиб топамиз.

I – I қирқим. N_1 кучни топиш учун бруснинг ажратиб олинган (A_1 – кесим) қисмининг мувозанат тенгламаси ни тузамиз:

$$\sum x = -F - A\rho x_1 - N_1 = 0$$

Бу ерда: $N_1 = -F - \rho A_1 x_1$ (бўйлама куч – сиқувчи)

Нормал кучланиш:

$$\sigma_1 = \frac{N_1}{A_1} = \frac{-F - \rho A_1 x_1}{A_1} = -\frac{F}{A_1} - \rho x_1$$

$$x_1 = 0, \quad \sigma_1 = -59,9 \frac{T}{m^2} \quad \text{ва} \quad x_1 = 10 \text{ м} \quad \sigma_1 = -79,9 \frac{T}{m^2}$$

II – II қирқим. $0 \leq x_2 \leq 10 \text{ м}$ оралиқдаги (A_2 – кесим) брус сиқувчи куч F бруснинг юқори қисмининг хусусий оғирлиги ва бўйлама куч таъсирида бўлади. Бу ерда:

$$-F - \rho A_1 l - \rho A_2 x_2 - N_2 = 0; \quad N_2 = -133,4 - 4,46 x_2$$

$$\text{Нормал кучланиш: } \sigma_2 = \frac{N_2}{A_2} = -\frac{133,4 + 4,46 x_2}{2,23}$$

$$x_2 = 0 \quad \sigma_2 = -59,8 \frac{T}{m^2} \quad \text{ва} \quad x_2 = 10 \text{ м} \quad \sigma_2 = -79,82 \frac{T}{m^2}$$

III – III қирқим. $0 \leq x_3 \leq 10 \text{ м}$ (A_3 – кесим)

Бўйлама куч N_3 ни топамиз: $N_3 = -F - \rho A_1 l - \rho A_2 l - \rho A_3 x_3$ ёки $N_3 = -178 - 5,94 x_3$

$$\text{Нормал кучланиш: } \sigma_3 = \frac{N_3}{A_3} = -\frac{178 + 5,94 x_3}{2,97}$$

$$x_3 = 0 \quad \sigma_3 = -59,93 \frac{T}{m^2}, \quad x_3 = 10 \text{ м} \quad \sigma_3 = -79,93 \frac{T}{m^2}$$

IV – IV қирқим $0 \leq x_4 \leq 10 \text{ м}$ (A_4 – кесим)

Бўйлама куч $N_4 = -F - \rho A_1 l - \rho A_2 l - \rho A_3 l - \rho A_4 x_4$ ёки

$$N_4 = -237,4 - 7,9 x_4$$

$$\text{Нормал күчланиш: } \sigma_4 = \frac{N_4}{A_4} = -\frac{237,4 + 79x_4}{3,95}$$

$$x_4 = 0 \quad \sigma_4 = -60,1 \frac{T}{m} \quad \text{ва} \quad x_4 = 10 \text{ м} \quad \sigma_4 = -80,1 \frac{T}{m}$$

Погонали бруснинг ҳамма кесим юзаларида нормал күчланиш рухсат этилган күчланиш $\sigma = 80 \frac{T}{m^2}$ дан катта эмас.

6-масала. Хусусий оғирлиги ва ташқи $F_1 = 10 \text{ кН}$; $F_2 = 20 \text{ кН}$; $F_3 = 0,5 \text{ кН}$ күчлар билан юкланган бруснинг бўйлама куч, нормал күчланиш ва абсолют узайиш эпюраларини қуиринг.

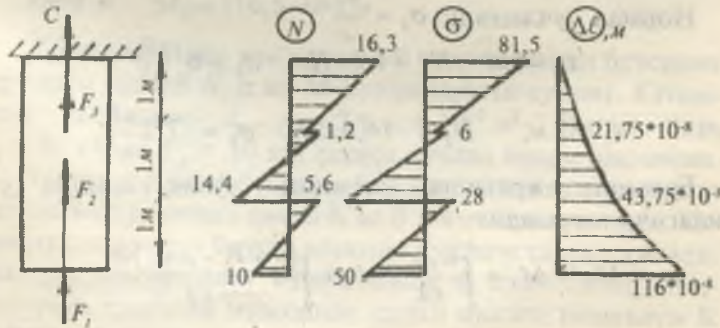
Пўлат материалдан тайёрланган бруснинг кўндаланг кесим юзаси $0,2 \text{ м}^2$, материалнинг солишишим оғирлиги: $\rho = 78 \frac{\text{kH}}{\text{м}}$

Ечиш: Бруснинг мувозанат шартидан фойдаланиб реакция кучини топамиш:

$$\sum x = -c + F_1 + F_2 + F_3 - \rho A \cdot 3 = 0 \quad \text{ёки} \quad C = -16,3 \text{ кН}$$

Демак, реакция кучи тескари, яъни юқорига йўналар экан. Ташқи кучларнинг таъсир қилиш тавсифига кура брусли учта оралиқقا бўлиб, ажратилган қисмларни узунлиги бўйлаб N , σ ва $\Delta\ell$ ларнинг тарқалиш қонуниятини ўрганамиз.

I – I қирқим. Бруснинг ажратилган қисмининг кесилган кўндаланг кесимига ташлаб юборилган қисмининг



оғирлигини ва ташқи күчларнинг таъсирини N_1 куч сифатида келтириб қоямиз. Натижада бруснинг ажратиб олиб қолдирилган қисми реакция кучи C , узунлиги X_1 бўлган қисмининг хусусий оғирлиги ρAx_1 ва ички куч N_1 таъсирида бўлар экан. Мувозанат шарт қўйидагича ёзилади:

$$\Sigma x = 0; \quad C - \rho Ax_1 - N_1 = 0 \quad \text{ёки} \quad N_1 = C - \rho Ax_1$$

$$\text{Нормал кучланиш: } \sigma_1 = \frac{N_1}{A} = \frac{C}{A} - \rho \cdot x_1$$

$$x_1 - \text{узунликнинг узайиши: } \Delta\ell_1 = \int_0^{x_1} \frac{N_1 dx}{EA} = \int_0^{x_1} \frac{(C - \rho Ax_1) dx}{EA}$$

$$\text{ёки } \Delta\ell_1 = \frac{Cx_1}{EA} - \frac{\rho \cdot x_1^2}{2E}$$

Юқоридаги тенгламаларга асосан $0 \leq x_1 \leq 1 \text{ м}$ оралиқда N ва σ түғри чизиқли ва $\Delta\ell$ эгри чизиқ қонунияти билан ўзгаради.

$$x_1 = 0 \quad \text{бўлса} \quad N_1 = 16,3 \text{ кН}; \quad \sigma_1 = 81,5 \frac{\text{кН}}{\text{м}^2}; \quad \Delta\ell_1 = 0$$

$$x_1 = 1 \text{ м} \quad N_1 = 0,7 \text{ кН} \quad \sigma_1 = 3,5 \frac{\text{кН}}{\text{м}^2} \quad \Delta\ell_1 = 21,25 \cdot 10^{-8} \text{ м}$$

II – II қирқим. Бруснинг қўзғалмас кесимидағи x_2 ма софада жойлашган 2–2 кесими учун бўйлама куч:

$$N_2 = c + F - \rho Ax_2$$

$$\text{Нормал кучланиш: } \sigma_2 = \frac{N_2}{A}$$

$$x_2 = 1 \text{ м} \quad N_2 = 1,2 \text{ кН} \quad \sigma_2 = 6 \frac{\text{кН}}{\text{м}^2}$$

$$x_2 = 2 \text{ м}; \quad N_2 = -14,4 \text{ кН} \quad \sigma_2 = -7,2 \frac{\text{кН}}{\text{м}^2}$$

Бруснинг ажратилган қисмининг тўлиқ узайиши қўйидагича топилади:

$$\Delta\ell_2 = \Delta\ell_1 + \int_0^{x_2} \frac{N_2 dx}{EA} = \Delta\ell_1 + \int_0^{x_2} \frac{(C + F_3 - \rho Ax_2) dx}{EA}$$

Ҳосил бўлган тенгламани интегралласак:

$$\Delta\ell_2 = \Delta\ell_1 + \frac{(C + F_3)x_2}{EA} - \frac{\rho x_2^2}{2E}$$

Бу ерда:

$x_2 = 0$ бўлса, $\Delta\ell_2 = 21,25 \cdot 10^{-8} \text{ м}$ ва $x_2 = 1 \text{ м}$ бўлса,

$$\Delta\ell_2 = 43,75 \cdot 10^{-8} \text{ м}$$

III – III қирқим. Узунлиги x_3 га тенг бўлган брусли мувозанат тенгламаси қуйидагича ёзилади: $\sum x = 0$.

$$N_3 = C + F_3 + F_2 - \rho Ax_3$$

Нормал кучланиш: $\sigma_3 = \frac{N_3}{A}$

Агар: $x_3 = 2 \text{ м}$ бўлса, $N_3 = 5,6 \text{ кН}$ $\sigma_3 = 28 \frac{\text{kH}}{\text{м}^2}$

$x_3 = 3 \text{ м}$ бўлса, $N_3 = -10 \text{ кН}$ $\sigma_3 = -50 \frac{\text{kH}}{\text{м}^2}$

Бруслинг тўлиқ узайишини топамиш:

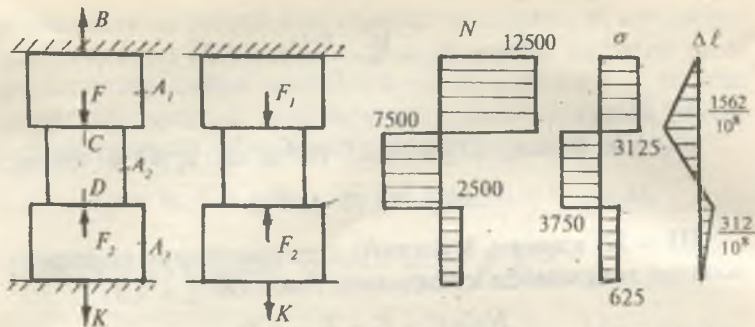
$$\begin{aligned} \Delta\ell_3 &= \Delta\ell_2 + \int_0^{N_3 dx} \frac{dx}{EA} = \Delta\ell_2 + \int_0^{(C + F_3 + F_2 - \rho Ax_3) dx} \frac{dx}{EA} = \\ &= 43,75 \cdot 10^{-8} + \frac{36,8x_3}{EA} - \frac{\rho x_3^2}{2E} \end{aligned}$$

$x_3 = 0$ $\Delta\ell_3 = 43,75 \cdot 10^{-8} \text{ м}$ ва

$x_3 = 1 \text{ м}$ $\Delta\ell_3 = 116,5 \cdot 10^{-8} \text{ м}$

7-масала. Икки учи қистириб маҳкамланган бруслинг узунлиги бўйлаб N , σ ва $\Delta\ell$ эпюраларини қуринг. Кўндаланг кесимлари $A_1 = A_3 = 2A_2 = 4 \cdot 10^{-3} \text{ м}^2$ бўлган брус $F_1 = 20 \text{ кН}$ ва $F_2 = 10 \text{ кН}$ ташқи кучлар билан юкланган.

Ташқи кучлар таъсирида брус узайишга ва сиқилишга қаршилик кўрсатади ҳамда К ва В таянчларга таянади. Таънч нуқталаридан бруслга реакция кучлари таъсир қилади. Реакция кучларининг йўналишини ва қийматини аниқлаш учун тузилган мувозанат шарти иккита номаълум К ва В ни беради, яъни:



59-расм.

$$\sum x = B + K - F_1 + F_2 = 0$$

Системадаги номаълумлар сони статикани мувозанат тенгламаларидан ортиқча. Шунинг учун конструкция статик аниқмас масалаларга киради. Бундай масалалар қўшимча деформация (деформацияни таққослаш) тенгламаларини тузиш усули билан ечилади. Деформацияни таққослаш тенгламасини тузиш ташқи кучлар таъсирида таянчлар оралиғи масофаси ўзгармасдан (бруснинг тұлық деформацияси нолға тенг бўлади), фақат брушнинг погоналари узунлиги ўзгариши, яъни системани ташқи кучлар таъсиридаги тұлық узайишининг абсолют қиймати K реакция кучи таъсиридаги тұлық қисқаришнинг абсолют микдо-рига тенглигига асослангандир.

Бу ерда: $\Delta\ell_K = \Delta\ell_{F_1} - \Delta\ell_{F_2}$ ва

$$\Delta\ell_{F_1} = \frac{F_1 \cdot 1}{EA}; \quad \Delta\ell_{F_2} = \frac{F_2 \cdot 1}{EA_2} + \frac{F_2 \cdot 1}{EA_1}$$

$$\Delta\ell_K = K \left[\frac{1}{EA_1} + \frac{1}{EA_2} + \frac{1}{EA_3} \right] = \frac{2K}{EA_2}$$

Демак, $\frac{2K}{EA_2} = \frac{F_1 \cdot 1}{E2A} - F_2 \left(\frac{1+1}{EA_2} \right)$ ёки $K = -\frac{F_2}{4} = -2500 \text{ H}$

Минус ишораси K реакция кучининг йўналиши нотўғри қабул қилинганигини билдиради. Демак, K реакция кучи йўналишини тескарига йўналтирамиз ва кейинги тенгламаларда минус (-) ишорасини ҳисобга олмаймиз.

K таянч кучининг қийматини системанинг мувозанат тенгламасига келтириб қўйсак, яъни: $-\frac{F_3}{4} + B - F_1 + F_2 = 0$

Бу ерда: $B = 12,5 \text{ кН}$.

Статик аниқмаслик йўқотилгандан кейин брус оралиқ поғоналарида N ; с ва $\Delta\ell$ ларнинг ўзгаришини топамиз ва эпюрасини қурамиз. Бунинг учун бруслари оралиқларга бўламиз. Қирқимлар чегаралари ташки кучлар қўйилган нуқтадардан ва бруслари кесим юзаси ўзгариши оралиқларидан ўтган.

I – I қирқим. (КД – оралиқ)

Ажратилган брусларни мувозанат тенгламасини тузамиз:

$$\Sigma y = N_1 - K = 0$$

Бу ерда: $N_1 = K = 2500 \text{ Н}$ (чўзилиш).

Нормал кучланиш: $\sigma_1 = \frac{N_1}{A_1} = \frac{2500}{2 \cdot 2 \cdot 10^{-3}} = 625 \cdot 10^3 \frac{\text{Н}}{\text{м}^2}$

II – II қирқим. (ДС – оралиқ)

Схемадан $N_2 = K - F_2 = 2500 - 10000 = -7500 \text{ Н}$

$$\sigma_2 = \frac{N_2}{A_2} = -\frac{7500}{2 \cdot 10^{-3}} = -3750 \cdot 10^3 \frac{\text{Н}}{\text{м}^2}$$

III – III қирқим. (СВ – оралиқ) Брусларни ажратилган қисми F_1 ; F_2 ; K ва N_3 кучлари таъсирида. Мувозанат тенгламаси қуйидагича ёзилади:

$$\Sigma y = N_3 - F_1 + F_2 - K = 0 .$$

Бу ерда $N_3 = 12500 \text{ Н}$

Нормал кучланиш: $\sigma_3 = \frac{N_3}{A_1} = \frac{12500}{2 \cdot 2 \cdot 10^{-3}} = 3125 \cdot 10^3 \frac{\text{Н}}{\text{м}^2}$

Брусларни тулиқ узайишини топиш учун оралиқларнинг чегараларидаги N ўзгармас бўлганлиги учун $\Delta\ell$ билан бўйлама куч орасидаги боғланиш түғри чизиқдли қонуният билан ўзгариади. К кесим қўзғалмас, демак, $\Delta\ell_K = 0$. Д нуқтанинг кучиши КД оралиқнинг узайишига тенгдир, яъни:

$$\Delta \ell_B = \frac{N_1 \cdot y_1}{EA_1}$$

$$y_1 = 0 \quad \Delta \ell_B = \Delta \ell_K = 0 \text{ ва}$$

$$y_1 = 1 \text{ м} \quad \Delta \ell_B = 312,5 \cdot 10^{-8} \text{ м}$$

С нүктанинг тұлиқ күчиши КД ва ДС масофаларнинг узайиши йигиндисига тенгдир, яғни:

$$\Delta \ell_c = 312,5 \cdot 10^{-8} + \frac{N_2 \cdot y_2}{EA_2}$$

$$y_2 = 0 \quad \Delta \ell_c = \Delta \ell_B = 312,5 \cdot 10^{-8} \text{ м}$$

$$y_2 = 1 \text{ м} \quad \Delta \ell_c = -1562,5 \cdot 10^{-8} \text{ м}$$

В нүктанинг күчиши бруснинг КВ оралиғи тұлиқ узайишига тенгдир, яғни:

$$\Delta \ell_B = -1562,5 \cdot 10^{-8} + \frac{N_3 \cdot y_3}{EA_1}$$

$$y_3 = 0 \quad \Delta \ell_3 = -1562,5 \cdot 10^{-8} \text{ м}$$

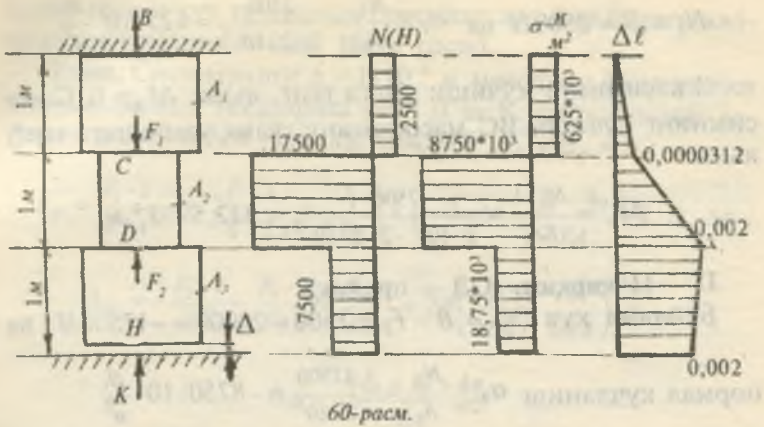
$$y_3 = 1 \text{ м} \quad \Delta \ell_B = -1562,5 \cdot 10^{-8} + \frac{12500 \cdot 1}{2 \cdot 10^{11} \cdot 2 \cdot 2 \cdot 10^{-3}} = 0$$

В нүқта жойлашған кесимнинг күчиши нолға тенг, чунки бу кесим бикр маңкамланған.

8-масала. Брус ташқи күчлар билан юкландырылғанда параллель кесимнің күчиши $\Delta = 0,002$ м масофа ҳосил қылған. Бруснинг ДС оралиқ узунлиғи $\Delta t = 20^\circ$ гача қыздырылған. Агар бруснинг ташқи күчлары қарорат таъсиридегі тұлиқ узайиши натижасыда Δ масофа ёпилиб, брус билан таянч орасыда үзаро таъсир күчлари ҳосил бўлса, система статик аниқмас системага айланади; Δ масофа ёпилмаса ёки ёпилиб брус билан таянч орасыда үзаро таъсир күчлари ҳосил бўлмаса, система статик аниқ бўлиб қолади.

Берилған система қайси ҳолатга тұғри келишини аниқлаш учун "Н" кесимнинг тұлиқ узайишини топамиз:

$$\Delta_u = \Delta F_1 - \Delta F_2 + \Delta_t = \frac{F_1 \cdot 1}{EA_1} - \frac{F_2 \cdot 1}{EA_2} - \frac{F_2 \cdot 1}{EA_1} + \alpha \cdot \Delta t \cdot 1 = 0,002375 \text{ м}$$



Демак, $\Delta_H > \Delta$ ёки $0,002375 > 0,002$ м, натижада Н ва К кесимлар туташади ва К таянчда реактив куч ҳосил бўлиб, система статик ноаниқ бўлади. Масалани очиш учун системанинг мувозанат тенгламасини тузамиш:

$$\Sigma y = K + B + F_2 - F_1 = 0 \text{ ёки } K + B = F_1 - F_2$$

Системанинг аниқмаслик даражасини очиш учун кўшимча деформация тенгламасини тузамиш: $\Delta_H - \Delta = \Delta_A$

$$\Delta_K = K \frac{1}{EA_1} + \frac{K \cdot 1}{EA_2} + \frac{K \cdot 1}{EA_3}$$

Бруснинг К реакция кучи таъсиридан узайиши:

$$0,002375 = K \left(\frac{1}{EA_1} + \frac{1}{EA_2} + \frac{1}{EA_3} \right) + \Delta \text{ ёки}$$

$$K = \frac{(0,002375 - 0,002) \cdot 2 \cdot 10^{11} \cdot 2 \cdot 10^{-3}}{2} = 7500 H$$

$$B = F_1 - F_2 - K = 20000 - 10000 - 7500 = 2500 H$$

Брусни оралиқларга бўлиб, N , σ ва $\Delta\ell$ эпюраларни курамиз.

I — I қирқим. (BC — оралиқ)

$$N_1 = B = 2500 \text{ H} \quad \text{ва} \quad \sigma_1 = \frac{N_1}{A_1} = \frac{2500}{2 \cdot 2 \cdot 10^{-3}} = 625 \cdot 10^3 \frac{\text{H}}{\text{м}^2}$$

В кесимнинг кучиши нолга тенг, яъни: $\Delta\ell_B = 0$. С кесимнинг кучиши ВС масофанинг тўлиқ узайишига тенг, яъни:

$$\Delta\ell_c = \frac{N_1 \cdot 1}{EA_1} = \frac{2500 \cdot 1}{2 \cdot 10^{11} \cdot 2 \cdot 2 \cdot 10^{-3}} = 312,5 \cdot 10^{-8} \text{ м}$$

II – II қирқим. (СД – оралиқ)

Бўйлама куч $N_2 = B - F_1 = 2500 - 20000 = -17500 \text{ H}$ ва

$$\text{нормал кучланиш } \sigma_2 = \frac{N_2}{A_2} = -\frac{17500}{2 \cdot 10^{-3}} = -8750 \cdot 10^3 \frac{\text{H}}{\text{м}^2}$$

ВД оралиқ масофасининг тўлиқ узайиши қуидагича топилади:

$$\begin{aligned} \Delta\ell_B &= 312,5 \cdot 10^{-8} + \frac{N_2 \cdot 1}{EA_2} + \alpha \cdot \Delta t \cdot 1 = 312,5 \cdot 10^{-8} - \\ &- \frac{17500 \cdot 1}{2 \cdot 10^{11} \cdot 2 \cdot 10^{-3}} + 125 \cdot 10^{-7} \cdot 20 \cdot 1 = 0,00209375 \text{ м} \end{aligned}$$

III – III қирқим. (ДН – оралиқ)

$N_3 = B - F_2 + F_1 = 2500 - 20000 + 10000 = -7500 \text{ H}$

$$\sigma_3 = \frac{N_3}{A_3} = -\frac{7500}{2 \cdot 2 \cdot 10^{-3}} = -1875 \cdot 10^3 \frac{\text{H}}{\text{м}^2}$$

Н кесимнинг кучиши ёки бруснинг тўлиқ узайиши:

$$\begin{aligned} \Delta\ell_H &= 0,00209375 + \frac{N_3}{EA_3} = 0,00209375 - \\ &- \frac{7500 \cdot 1}{2 \cdot 10^{11} \cdot 2 \cdot 2 \cdot 10^{-3}} = 0,002 \text{ м} \end{aligned}$$

9-масала. Бруснинг пастдан биринчи ва иккинчи (8-масалада берилган қийматлардан фойдаланамиз) погоналари орасида $\Delta = 0,001 \text{ м}$ масофа бор. Δ масофа ёпилгунга

қадар ташқи күч таъсирида бруснинг ҳар бир булаги ало-
ҳида деформацияланади (61-а расм).

Ечиш. Системанинг $\Delta = 1 \cdot 10^{-4} \text{ м}$ масофаси ёпилиш ёки
ёпилмаслигини текшириш учун Δ ва K нуқталарнинг де-
формациясини Δ га тенглаштирамиз: $\Delta_K + \Delta_D = \Delta$.

$$\Delta_K = \frac{F_1 \cdot 2}{EA} - q \cdot 2 \left(\frac{2}{E2A} + \frac{2}{2EA} \right) + \alpha \cdot 2 \cdot \Delta t = \frac{F_1 - 4q}{EA} + 2 \cdot \alpha \cdot \Delta t$$

$$\Delta_D = -\frac{F_3 \cdot 2}{EA} - \frac{F_3 \cdot 2}{E2A} + \frac{F_2 \cdot 2}{E2A} + 2q \left(\frac{2}{2EA} + \frac{2}{E2A} \right) \text{ ёки}$$

$$\Delta_D = \frac{-3F_3 + F_2 + 4q}{EA}$$

$$\text{У ҳолда: } \frac{F_1 - 4q}{EA} + 2 \cdot \alpha \cdot \Delta t + \frac{F_2 - 3F_3 + 4q}{EA} = \Delta \text{ ёки}$$

$$F_1 - 4q + 2EA\alpha \cdot \Delta t + F_2 - 3F_3 + 4q = \Delta EA ; 80 > \Delta EA$$

Демак, погонали бруснинг пастки ва юқори қисмлари деформацияларининг йиғиндиси погоналар орасидаги Δ дан катта экан. D ва K нуқталар орасидаги масофа ёпила-ди. Система статик ноаниқ системага айланади, C ва H гаянчлардаги реакция күчлари системага қўйилган барча гашки кучларга боғлиқ бўлади.

Системанинг мувозанат тенгламасини тузамиз (61-
а расм):

$$\sum x = c + F_1 - 2q + F_3 - F_2 - 2q + H = 0$$

Тенгламадаги номаълум C ва H реакция күчларини то-
лиш учун асосий системани танлаймиз. Асосий система —
ёрилган системанинг K ва D нуқталарига погонали бру-
снинг Δ масофаси ёпилгандан кейин бир-бирларига ўза-
ю таъсирларини алмаштирувчи X кучини номаълум қий-
мати кўрсатилган схемасидир (61-б расм). Асосий систе-
манинг K ва D нуқталарининг кучишлиарини $F_1; F_2; F_3; q; x$
кучлари ва Δt ҳарорати фарқи орқали ифодалаймиз:

$$\Delta_{DX} = -\frac{F_3 \cdot 2}{EA} - \frac{F_3 \cdot 2}{E2A} - x \left(\frac{2}{EA} + \frac{2}{E2A} \right) + \frac{F_2 \cdot 2}{E2A} + 2q \left(\frac{2}{E2A} + \frac{2}{E2A} \right)$$

$$\Delta_{KX} = \frac{F_1 2}{2EA} + \alpha \cdot \Delta t \cdot 2 - 2q \left(\frac{2}{2EA} + \frac{2}{2EA} \right) - x \left(\frac{2}{EA} + \frac{2}{2EA} \right)$$

К ва Д нүқталар күчишларининг йиғиндисини Δ масоғага тенглаштирамиз: $\Delta_{KX} + \Delta_{DX} = \Delta$ ёки

$$\frac{F_1 2}{2EA} + \alpha \cdot \Delta t \cdot 2 - 2q \left(\frac{2}{2EA} + \frac{2}{E2A} \right) - x \left(\frac{2}{EA} + \frac{2}{2EA} \right) - \frac{2F_3}{EA} - \frac{2F_3}{E2A} -$$

$$-x \left(\frac{2}{EA} + \frac{2}{E2A} \right) + \frac{2F_2}{E2A} + 2q \left(\frac{2}{E2A} + \frac{2}{E2A} \right) = \Delta$$

Бу ерда:

$$F_1 + 2EA \cdot \alpha \cdot \Delta t - 4q - 3x - 3F_3 - 3x + F_2 + 4q = \Delta EA$$

ёки

$$-6x + 40 - 120 + 80 + 2 \cdot 2 \cdot 10^8 \cdot 2 \cdot 10^{-4} \cdot 125 \cdot 10^{-7} \cdot 80 = \Delta EA$$

$$6x = 80 - \Delta EA \text{ ва } x = \frac{80 - 1 \cdot 10^{-4} \cdot 2 \cdot 10^8 \cdot 2 \cdot 10^{-4}}{6} = \frac{76}{6} \text{ кН}$$

Системанинг ҳар иккала қисмларининг мувозанат шартларидан фойдаланиб С ва Н реакция кучларини топамиз (61-б расм):

$$\Sigma x = 0; C + F_1 - 2q - x = 0 \text{ ёки } C = \frac{316}{6}, \text{ кН}$$

$$\Sigma x = 0; H + x + F_3 - F_2 - 2q = 0 \text{ ёки}$$

$$H = -\frac{76}{6} - 40 + 80 + 80 = \frac{644}{6} \text{ кН}$$

Топилган реакция кучларининг тўғри аниқланганлигини текширамиз: $\Sigma x = C + F_1 - 2q + F_3 - F_2 - 2q + H = 0$ ёки

$$\frac{316}{6} + 40 - 80 + 40 - 80 - 80 + \frac{644}{6} = 0 ; 960 - 960 = 0.$$

Энди системани оралиқларга булиб, ҳар бир поғона-даги ички бўйлама куч N , нормал кучланиш σ , бўйлама деформация Δl ларни топамиз.

I—I қирқим. (С — таянч поғонаси)

$$\Sigma x = C + N_1 = 0 \text{ ёки } N_1 = -\frac{316}{6} \kappa H \text{ (сиқувчи)}$$

$$\sigma_1 = \frac{N_1}{2A} = -\frac{316}{6 \cdot 2 \cdot 2 \cdot 10^{-4}} = -13,167 \cdot 10^4 \frac{\kappa H}{m^2}$$

x_1 оралиқдаги брус С реакция қуци ва Δt ҳароратлар фарқи таъсирида деформацияланади: $\Delta \ell_1 = \frac{N_1 x_1}{E2A} + \alpha \cdot \Delta t \cdot x_1$

$$x_1 = 0 \quad \Delta \ell_1 = 0 \quad \text{ва} \quad x_1 = 2 \text{ м} \quad \text{бұлса,} \quad \Delta \ell_1 = 6,83 \cdot 10^{-4} \text{ м}$$

II — II қирқим. Ажратилған қисмнинг мувозанат шартидан: $\Sigma x = c + N_2 + F_1 - qx_2 = 0$;

$$\text{бүйлама күч: } N_2 = -c - F_1 + qx_2$$

$$\text{Нормал күчланиш: } \sigma_2 = \frac{N_2}{A}; \quad \text{бүйлама деформация:}$$

$$\Delta \ell_2 = \Delta \ell_1 + \int_0^2 \frac{N_2 dx}{EA} = \Delta \ell_1 + \int_0^2 \frac{(-C - F_1 + qx_2) dx}{EA} =$$

$$\Delta \ell_1 - \frac{(c + F_1)x_2}{EA} + q \frac{x_2^2}{2EA};$$

$$x_2 = 0; \quad N_2 = -92,7 \kappa H; \quad \sigma_2 = -46,3 \cdot 10^4 \frac{\kappa H}{m^2}$$

$$\Delta \ell_2 = 6,83 \cdot 10^{-4} \text{ м}$$

$$x_2 = 2 \text{ м}; \quad N_2 = -\frac{76}{6} \kappa H; \quad \sigma_2 = -6,3 \cdot 10^4 \frac{\kappa H}{m^2};$$

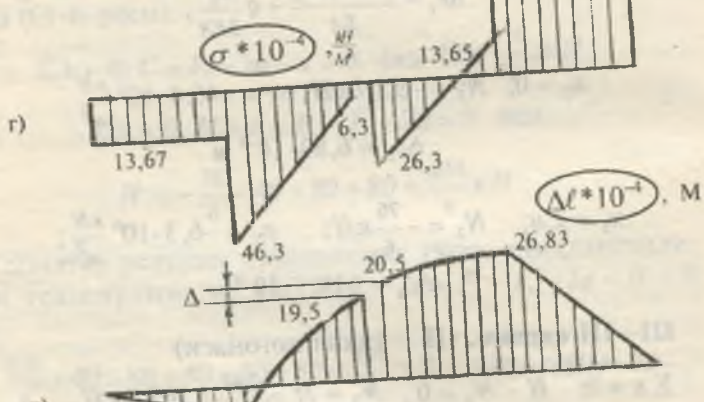
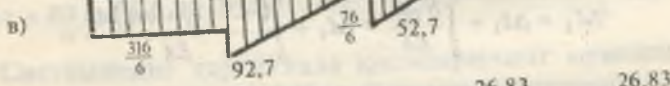
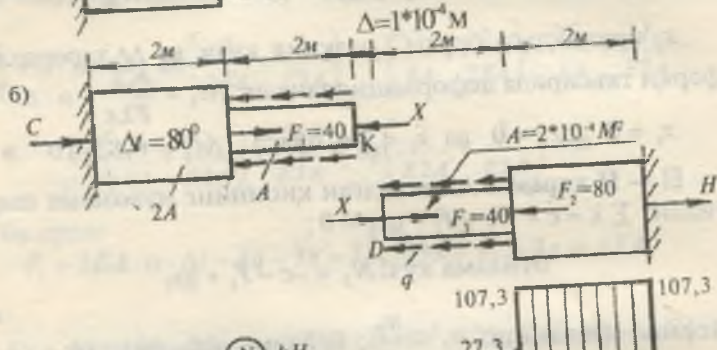
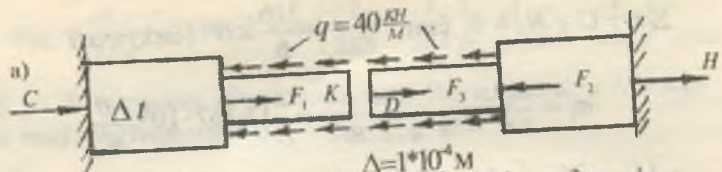
$$\Delta \ell_2 = -19,5 \cdot 10^{-4} \text{ м}$$

III—III қирқим. (H — таянч поғонаси)

$$\Sigma x = 0; \quad H - N_3 = 0, \quad N_3 = H = \frac{644}{6} = 107,3 \kappa H$$

Нормал күчланиш:

$$\sigma_3 = \frac{N_3}{2A} = \frac{644}{6 \cdot 2 \cdot 2 \cdot 10^{-4}} = 26,83 \cdot 10^4 \frac{\kappa H}{m^2}$$



6J-расм.

$$\text{Бүйлама деформация: } \Delta\ell_3 = \frac{N_3 x_3}{E 2A}$$

$$x_3 = 0 \quad \text{бұлса,} \quad \Delta\ell_3 = \Delta\ell_H = 0$$

$$x_3 = 2 \text{ м} \quad \text{бұлса,} \quad \Delta\ell_3 = 26,83 \cdot 10^{-4} \text{ м}$$

IV-IV қирқим. Ички күчни топамиз:

$$\sum x = -N_4 - qx - F_2 + H = 0$$

Тенгламадан:

$$N_4 = H - F_2 - qx = 107,3 - 80 - qx = 27,3 - 40x$$

$$\text{Нормал күчланиш: } \sigma_4 = \frac{N_4}{A} = \frac{27,3 - 40x}{A}$$

Бүйлама деформация:

$$\Delta\ell_4 = \Delta\ell_3 + \int_0^2 \frac{N_4 dx}{EA} = \Delta\ell_3 + \int_0^2 \frac{(27,3 - 40x) dx}{EA} =$$

$$= \Delta\ell_3 + \frac{27,3x}{EA} - 40 \frac{x^2}{2EA}$$

$$x_4 = 0; \quad N_4 = 27,3 \text{ кН}; \quad \sigma_2 = 13,65 \cdot 10^4 \frac{\text{кН}}{\text{м}^2}$$

$$\Delta\ell_4 = 26,83 \cdot 10^{-4} \text{ м}$$

$$x_4 = 2 \text{ м} \quad N_4 = -52,7 \text{ кН}; \quad \sigma_4 = -26,3 \cdot 10^4 \frac{\text{кН}}{\text{м}^2}$$

$$\Delta\ell_4 = 20,5 \cdot 10^{-4} \text{ м}$$

Погонали бруснинг К ва Д нүқталари орасида $\Delta = 1 \cdot 10^{-4} \text{ м}$ масофа бор. Погонали брус томонлари түлиқ күчишларининг фарқи Δ га тенг булиши керак (61-б расм).

$$\Delta = \Delta\ell_4 - \Delta\ell_2 = (20,5 - 19,5) \cdot 10^{-4} = 1 \cdot 10^{-4} \text{ м}$$

10-масала. Пулатдан тайёрланган стержень схемада (62-расм) күрсатилганидек F күч билан юкланган. F күчнинг іайси іийматида δ_1 ва δ_2 оралиқтар ёпилади?

$$E_n = 2 \cdot 10^2 \frac{kH}{mm^2}$$

Ечиш. С бўртиқнинг ҳалқасимон таянчга таяниш ҳолатига тўғри келувчи $F = F_1$ кучни аниқлаймиз. Бунинг учун стерженнинг юқори қисмини $F = F_1$ куч таъсиридан абсолют узайишини δ_1 масофага тенглаштирамиз:

$$\Delta\ell_1 = \frac{F_1 \ell_1}{E_n \cdot A} = \delta_1$$

$$\text{Бу ерда: } F_1 = \frac{\delta_1 E_n A}{\ell_1} = \frac{0,1 \cdot 2 \cdot 10^2 \cdot 100}{600} = 3,33 \text{ kH}$$

δ_1 масофа ёпилгандан кейин, $F = F_2$ куч таъсирида стерженнинг (900 — 600 мм) узунлиги ортади. Унда стерженнинг уни пастки таянчга таяниши учун

$$\Delta\ell_B = \delta_1 + \frac{F_2 \cdot 300}{E_n \cdot A} = \delta_2$$

масофани босиб ўтади, яъни:

$$\frac{F_2 \cdot 300}{E_n \cdot A} = \delta_2 - \delta_1 = 0,25 - 0,1 = 0,15 \text{ mm}$$

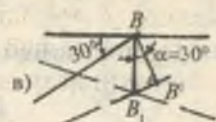
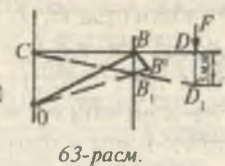
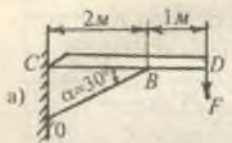


11-масала. СД брус 63-чизмада кўрсатилғанидек юкланган ва ОВ ёғочга таянади. Ташқи F куч таъсирида D нуқта 3 мм пастга кўчади. ОВ ёғоч стерженнинг кўндаланг кесим юзаси улчамлари $0,2 \times 0,2$ метр булиб, квадратдир. Ёғоч стерженнинг кесимидаги кучланиш ва F кучнинг қиймати топилсин.

Ечиш. ОВ ёғоч стерженнинг деформациясини топамиз:

$$\Delta DD_1 C \approx \Delta BB_1 C \text{ дан (63-б расм)} \quad \frac{DD_1}{DC} = \frac{BB_1}{BC} \text{ ёки}$$

$$BB_1 = \frac{DD_1}{DC} \cdot BC = 3 \cdot 10^{-3} \cdot \frac{2}{3} = 2 \cdot 10^{-3} \text{ м; } \Delta BB_1 B^1 \text{ дан (63-в расм)}$$



б3-расм.

$$\frac{B_1 B^1}{BB_1} = \sin 30^\circ \text{ ёки } B_1 B^1 = BB_1 \cdot \sin 30^\circ, \quad B_1 B^1 = \frac{N \ell_{OB}}{EA}$$

Ёғоч стерженнинг узайишини ҳисобга олсақ,

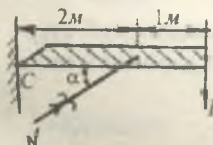
$$B_1 B^1 = \Delta \ell = 2 \cdot 10^{-3} \cdot \frac{1}{2} = \frac{N \ell_{OB}}{EA} \text{ ёки } \frac{N \ell_{OB}}{EA} = 1 \cdot 10^{-3} \text{ м}$$

Тенгламадан ички күч N ни топамиз:

$$N = \frac{1 \cdot 10^{-3} EA}{\ell_{OB}} = \frac{1 \cdot 10^{-3} \cdot 10^7 \cdot 0,2 \cdot 0,2}{\cos 30^\circ} = 0,0173 \cdot 10^4 \text{ кН}$$

$$\text{ОВ стержень сиқилади: } \sigma = \frac{N}{A} = -0,433 \cdot 10^4 \frac{\text{кН}}{\text{м}^2}$$

Системанинг мувозанат шартидан фойдаланиб ташқи F күчни топамиз:



$$\sum M_c = F \cdot 3 - N \cdot \sin \alpha \cdot 2 = 0$$

$$F = \frac{2}{3} N \cdot \sin \alpha = \frac{2}{3} \cdot 0,0173 \cdot \frac{10^4}{2} \cdot \frac{1}{2} = 57 \text{ кН}$$

12-масала.

Берилган стерженлар системасидаги С нүктанинг тұлиқ күчиши Δ горизонтал Δ_a ва вертикаль күчишлари Δ_b топилсин. Узунліктері ℓ₁ = 2,5 м ва ℓ₂ = 4 м бўлган стерженларни мустаҳкамлиги бир хил, материалларининг эса биринчиси алюминий, иккинчиси пўлат.

Ечиш. Стерженлардаги ички күчларни кесиш усулидан фойдаланиб кўрсатамиз:

$$\Sigma x = -N_1 \cos 45^\circ + N_2 \cos 60^\circ = 0$$

$$\text{Бу ерда: } N_1 = N_2 \frac{\cos 60^\circ}{\cos 45^\circ} = \frac{N_2}{\sqrt{2}} \quad (\text{a})$$

$$\sum y = N_1 \cos 45^\circ + N_2 \cos 30^\circ - F = 0$$

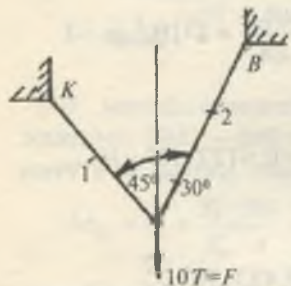
Ёки (а) тенгламани ҳисобга олсак:

$$N_2 \cdot \frac{1}{\sqrt{2}} \cdot \frac{\sqrt{2}}{2} + N_2 \frac{\sqrt{3}}{2} = F$$

Бу ерда: $N_2 = 73, \text{kH}$ ва $N_1 = 51,8 \text{kH}$

Биринчи ва иккинчи стерженларнинг мустаҳкамлик шартларидан фойдаланиб кесим юзаларини аниқлаймиз:

$$\sigma_{\max}^I = \frac{N_1}{A_1} \leq [\sigma]$$



Бу ерда:

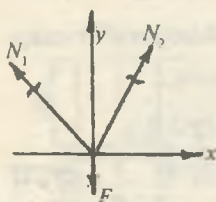
$$A_1 = \frac{N_1}{[\sigma]} = \frac{51,8}{150 \cdot 10^3} = 0,345 \cdot 10^{-3} \text{ m}^2$$

$$\sigma_{\max}^{II} = \frac{N_2}{A_2} \leq [\sigma]$$

Бу ерда:

$$A_2 = \frac{N_2}{[\sigma]} = \frac{73}{150 \cdot 10^3} = 0,487 \cdot 10^{-3} \text{ m}^2$$

Гук қонунидан фойдаланиб стерженларнинг абсолют узайишларини топамиз:



64-расм.

$$\Delta \ell_1 = \frac{N_1 l_1}{E_{st} \cdot A_1} = \frac{51,8 \cdot 2,5}{0,7 \cdot 10^8 \cdot 0,345 \cdot 10^{-3}} = 536,2 \cdot 10^{-5} \text{ m}$$

$$\Delta \ell_2 = \frac{N_2 l_2}{E_{st} \cdot A_2} = \frac{73 \cdot 4}{2 \cdot 10^8 \cdot 0,487 \cdot 10^{-3}} = 299,8 \cdot 10^{-5} \text{ m}$$

С нүктанинг тұлық күчишини қыйидагича топамиз (65-расм). Стерженларнинг абсолют узайишлари $\Delta \ell_1$ ва $\Delta \ell_2$ ларни стерженларни үқи бүйлаб ҳар хил масштабда жойлаштириб, C_1 ва C_2 нүкталарни ҳосил қиласыз. C_1 ва C_2 нүкталардан CC_1 ва CC_2 ларға перпендикуляр үтказамиз.

Перпендикулярнинг туташган нуқтаси C_3 билан C нуқтани бирлаштириб Δ йўналишни топамиз. Тўлиқ кўчиши Δ вертикаль чизиқ билан β бурчакни ташкил қиласди. Ҳосил бўлган схемадан қўйида-ги тенгламани келтириб чиқарамиз:

$$\frac{\Delta\ell_1}{\cos(\alpha_1 - \beta)} = \frac{\Delta\ell_2}{\cos(\alpha_2 + \beta)}$$

Бу ерда:

$$\cos(\alpha_1 - \beta) = \cos\alpha_1 \cos\beta + \sin\alpha_1 \cdot \sin\beta$$

$$\cos(\alpha_2 + \beta) = \cos\alpha_2 \cos\beta - \sin\alpha_2 \cdot \sin\beta$$

$$\text{У ҳолда: } \frac{\Delta\ell_1}{\Delta\ell_2} = \frac{\cos 45^0 \cos\beta + \sin 45^0 \cdot \sin\beta}{\cos 30^0 \cos\beta - \sin 30^0 \cdot \sin\beta}$$

$$\frac{\Delta\ell_1}{\Delta\ell_2} = \frac{0,707 + 0,707 \frac{\sin\beta}{\cos\beta}}{0,866 - 0,5 \frac{\sin\beta}{\cos\beta}} = \frac{0,707 + 0,707 \cdot \operatorname{tg}\beta}{0,866 - 0,5 \operatorname{tg}\beta}$$

Бу ерда:

$$\operatorname{tg}\beta = \frac{0,866\Delta\ell_1 - 0,707\Delta\ell_2}{0,707\Delta\ell_2 + 0,5\Delta\ell_1}; \quad \operatorname{tg}\beta = 0,525; \quad \beta = 27^0$$

Схемадан:

$$\Delta = \frac{\Delta\ell_1}{\cos(\alpha_1 - \beta)} = \frac{536,2 \cdot 10^{-5}}{\cos(45 - 27)^0} = 563,8 \cdot 10^{-5} \text{ м}$$

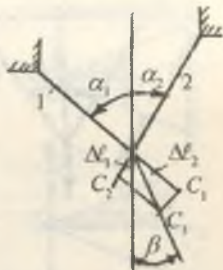
С нуқтанинг горизонтал текисликда кўчиши:

$$\Delta_e = \Delta \cdot \sin\beta = 563,8 \cdot 10^{-5} \cdot \sin 27^0 = 255,7 \cdot 10^{-5} \text{ м}$$

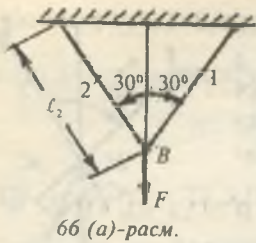
ва вертикаль кўчиши:

$$\Delta_b = \Delta \cdot \cos\beta = 563,8 \cdot 10^{-5} \cdot \cos 27^0 = 501,8 \cdot 10^{-5} \text{ м}$$

13-масала. Берилган стерженлар системасидаги B нуқтанинг тўлиқ кўчишини топинг. Берилган:



65-расм.



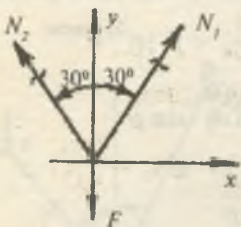
66 (a)-расм.

$$\ell_1 = \ell_2 = 3 \text{ м}, \quad A_1 = A_2 = 1 \cdot 10^{-4} \text{ м}^2,$$

$$F = 10 \text{ кН}, \quad E = 1 \cdot 10^8 \frac{\text{кН}}{\text{м}^2}$$

Ечиш. Стерженлардаги ички күчларни топиш учун системанинг мұвозанат тенгламаларини тузасиз:

$$\sum x = N_1 \sin 30^\circ - N_2 \sin 30^\circ = 0$$



66 (б)-расм

$$\text{Бу ерда: } N_1 = N_2$$

$$\sum y = N_1 \cos 30^\circ + N_2 \cos 30^\circ - F = 0$$

$N_1 = N_2$ тенгликни ҳисобга олсак,

$$N_1 = \frac{F}{2 \cdot \cos 30^\circ} = \frac{10}{2 \cdot 0.866} = 5,77 \text{ кН}$$

F күч таъсиридан стерженлар узаяды, B нүктә B₁ нүктега күчади.

Схемадаги ΔBB_1B^1 дан

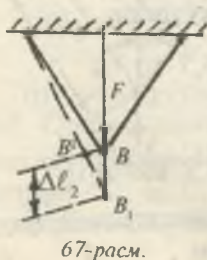
$$\frac{B_1B^1}{BB_1} = \cos 30^\circ \text{ ба } BB_1 = \frac{B_1B^1}{\cos 30^\circ}$$

$B_1B^1 = \Delta\ell_2$ — иккинчи стерженнинг абсолют узайишини Гүк қонуни орқали ифодалаймиз:

$$\Delta\ell_2 = \frac{N_2 \cdot \Delta}{EA} = \frac{5,77 \cdot 3}{1 \cdot 10^8 \cdot 1 \cdot 10^{-4}} = 17,31 \cdot 10^{-4} \text{ м}$$

$$\text{У ҳолда: } BB_1 = \Delta = \frac{17,31 \cdot 10^{-4}}{0,866} \approx 20 \cdot 10^{-4} \text{ м}$$

14-масала.



67-расм.

Берилған стерженлар системасидаги С нүктәнинг түлиқ күчиши топилсин (68-расм).

Берилған:

$$E = 2 \cdot 10^8 \frac{\text{кН}}{\text{м}^2}$$

$$[\sigma]^{(1)} = 100 \text{ мПа}; [\sigma]^1 = 160 \text{ мПа}$$

Биринчи стержень иккита N12 швеллердан, иккинчиси N24 құштаврдан ташкил топган.

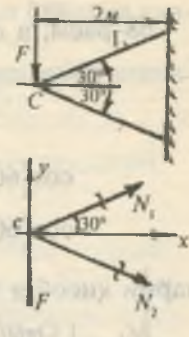
У ҳолда:

$$A_1 = 13,3 \cdot 10^{-4} \text{ м}^2; A_2 = 34,8 \cdot 10^{-4} \text{ м}^2$$

Ечиш. Системадаги ички күчлар ёрдамда стерженларға құйилиши мүмкін бўлган ташқи F күчни топамиз:

$$\sum x = N_1 \cos 30^\circ + N_2 \cos 30^\circ = 0 \quad (a)$$

$$\sum Y = -F + N_1 \sin 30^\circ - N_2 \sin 30^\circ = 0 \quad (b)$$



68-расм.

(a) тенгламадан $N_1 = -N_2$ ни ҳисобга олсак,

$$N_1 = -\frac{F}{2 \cdot \sin 30^\circ} = -F$$

Биринчи стерженнинг мустаҳкамлик шартидан фойдаланиб F күчни топамиз:

$$\sigma' = \frac{N_1}{2A_1} \leq [\sigma] \quad \text{ва} \quad N_1 = F = 2 \cdot 13,3 \cdot 10^{-4} \cdot 160 \cdot 10^3 = 425 \text{ кН}$$

Иккинчи стерженнинг мустаҳкамлик шартига кура F күчни топамиз:

$$\sigma'' = \frac{N_2}{A_2} \leq [\sigma]$$

$$\text{У ҳолда: } F = A_2 [\sigma]'' = 34,8 \cdot 10^{-4} \cdot 100 \cdot 10^3 = 348 \text{ кН}$$

Системага құйилиши мүмкін бўлган куч $F = 348 \text{ кН}$ ни қабул қиласиз. Стерженларнинг узайишини топамиз:

$$\Delta \ell_1 = \frac{N_1 \ell_1}{E 2 A_1} = \frac{348 \cdot 2,31}{2 \cdot 10^8 \cdot 2 \cdot 13,3 \cdot 10^{-4}} = 15,11 \cdot 10^{-4} \text{ м}$$

$$\Delta \ell_2 = \frac{N_2 \ell_2}{E A_2} = \frac{348 \cdot 2,31}{2 \cdot 10^8 \cdot 34,8 \cdot 10^{-4}} = 11,55 \cdot 10^{-4} \text{ м}$$

С нүктанинг тўлиқ кўчишини топиш учун қуйидаги схемани тузамиз (68-расм, а).

68-расм, а га асосланиб:

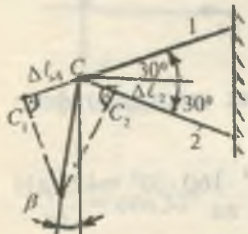
$$\Delta = \frac{\Delta \ell_1}{\cos(60^\circ - \beta)} = \frac{\Delta \ell_2}{\cos(60^\circ + \beta)}$$

$$\cos(60^\circ - \beta) = \cos 60^\circ \cos \beta + \sin 60^\circ \sin \beta$$

$$\cos(60^\circ + \beta) = \cos 60^\circ \cos \beta - \sin 60^\circ \sin \beta$$

ларни ҳисобга олиб, айрим үзгаришлардан кейин

$$\frac{\Delta \ell_1}{\Delta \ell_2} = \frac{1 + \operatorname{tg} 60^\circ \operatorname{tg} \beta}{1 - \operatorname{tg} 60^\circ \operatorname{tg} \beta} \text{ ни ҳосил қиласиз.}$$



68-расм.

$$\text{Бу ерда: } \frac{\Delta \ell_1}{\Delta \ell_2} = \frac{15,11 \cdot 10^{-4}}{11,55 \cdot 10^{-4}} = 1,3$$

У ҳолда:

$$\operatorname{tg} \beta = \frac{0,3}{3,9836} = 0,0753 \quad \text{ва} \quad \beta = 4^\circ 30'$$

С нүктанинг тұлиқ күчиши:

$$\Delta = \frac{\Delta \ell_1}{\cos(60^\circ - \beta)} = \frac{15,11 \cdot 10^{-4}}{\cos 55^\circ 30'} = 27 \cdot 10^{-4} \text{ м}$$

15-масала. Абсолют қаттиқ брус құзғалуыштан шарнирли таянчга таяниш ёрдамида узунлиғи $\ell = 1 \text{ м}$ пұлатдан тайёрланған, кесим өзаси $A_1 = A_2 = A = 2 \cdot 10^{-4} \text{ м}^2$ бүлган 1 ва 2 стерженларға мақамланған.

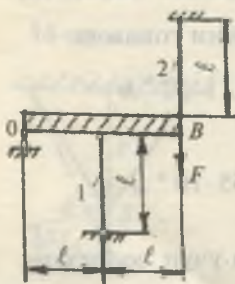
1) Системага қойилиши мүмкін бүлган рухсат этилған

$P_{\text{рux}}$ юкнинг стерженлардаги энг катта кучланишини

$$[\sigma] = 160 \text{ мПа} \text{ га}$$

тәнглаштириб топилсін.

2) Оқувшанлик чегарасыда $\sigma_{\text{ок}} = 240 \text{ мПа}$ дан фойдаланыб чекли юқ $F_{4\text{ок}}$ то-пилсін. Ташқи F күч таъсирида ОВ брус О шарнир атрофида айланади. Натижада 1-стержень сиқилади, 2-стержень үзилади.



69-расм.

Ечиш: Кесиш усулидан фойдаланиб ички бўйлама кучларни аниқлаймиз (70-расм).

Системанинг мувозанат ҳолатини ифодаловчи статиканинг тенгламаларини тузамиз:

$$\sum x = H_o = 0 \quad (a)$$

$$\sum y = R_o + N_1 + N_2 = 0 \quad (b)$$

$$\sum M_o = -N_1 \cdot \ell - N_2 \cdot 2\ell + F \cdot 2\ell = 0 \quad (c)$$

(a), (b) ва (в) тенгламалардан маълумки, стерженлардаги номаълум ($N_1 : N_2$) ички кучлари ва таянч кесимидағи реакция кучлари (R_o ва H_o) статиканинг тенгламаларидан кўп экан. Демак, берилган система статик аниқ эмас.

Схемадаги номаълум R_o ва H_o реакция кучларини топиш масаланинг шартида кўрсатилмаган ва умуман R_o ва H_o реакциялар ички бўйлама кучлар ва стерженлардаги кучланишларга таъсири йўқ. Шунинг учун реакция кучларини топмаймиз.

Системанинг аниқмаслик даражаси: $S = n - 1 = 2 - 1 = 1$

Бу ерда: n — номаълум (N_1 ва N_2) кучлар сони;

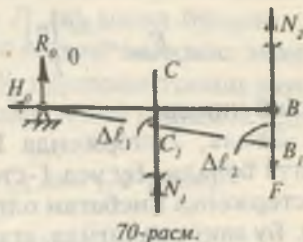
1 — статиканинг тенгламалар сони.

Номаълум ички куч N_1 ва N_2 ларни топиш учун системанинг деформациясидан фойдаланиб кўшимча тенглама тузамиз.

ОВ бруслар түгрилигича қолиб, F куч таъсирида О нуқта атрофида кичик бурчакка айланади. Натижада С ва В нуқталар F куч йўналишида кучади ва 1- ва 2-стерженлар тегишлича $\Delta\ell_1$ ва $\Delta\ell_2$ масофага деформацияланади. $\Delta\ell_1$ ва $\Delta\ell_2$ ларни материалнинг пропорционаллик чегарасидан ортиб кетмайди, деб қаралади ва Гук формуласи билан ифодаланади.

Схемада: $\frac{BB_1}{BO} = \frac{CC_1}{CO}$ ёки $\frac{\Delta\ell_2}{2a} = \frac{\Delta\ell_1}{a}$; $\Delta\ell_2 = 2\Delta\ell_1$, агар

$$\Delta\ell_1 = \frac{N_1 \ell}{EA} \text{ ва } \Delta\ell_2 = \frac{N_2 \ell}{EA} \text{ бўлса, } \frac{N_2 \ell}{EA} = 2 \frac{N_1 \ell}{EA} \text{ ёки } N_2 = 2N_1$$



70-расм.

келиб чиқади. $N_2 = 2N_1$ тенгламаси мувозанат тенгламаси билан биргаликда ечиб: $N_1 = \frac{F}{5}$ ва $N_2 = \frac{2}{5}F$ ни топамиз. $N_2 > N_1$ бўлганлиги учун $\sigma_2 > \sigma_1$.

Иккинчи стерженниң мустаҳкамлик шарти:

$$\sigma_2 = \frac{N_2}{A} \leq [\sigma] \text{ ёки } \frac{2F}{5A} \leq [\sigma] \text{ дан}$$

$$F_{\text{пук}} = \frac{5F[\sigma]}{2} = \frac{5 \cdot 2 \cdot 10^{-4} \cdot 160 \cdot 10^3}{2} = 80 \text{ кН}$$

келиб чиқади.

Демак, 2-стерженда 1-стерженга нисбатан кучланиш катта бўлади. Бу эса 1-стерженда оқувчанлик чегарасини 2-стерженга нисбатан олдинроқ бошланишига олиб келади. Бу вақт оралиғида, агар кучни кўпайтирсак ҳам 1-стержен кучланиши ўсмайди (катталашмайди) ва система Q ва $N_1 = \sigma_{\text{ок}} \cdot A$ куч билан юкланган статик аниқ системага айланниб қолади. Кучни янада орттирилган 2-стерженда ҳам оқувчанлик чегараси бошланади: $N_2 = \sigma_{\text{ок}} \cdot A$

Энди N_1 ва N_2 куч ифодаларини мувозанат тенгламасига келтириб қўямиз: $\sigma_{\text{ок}} \cdot A + 2 \cdot \sigma_{\text{ок}} \cdot A = F$ ёки

$$3\sigma_{\text{ок}} A = F$$

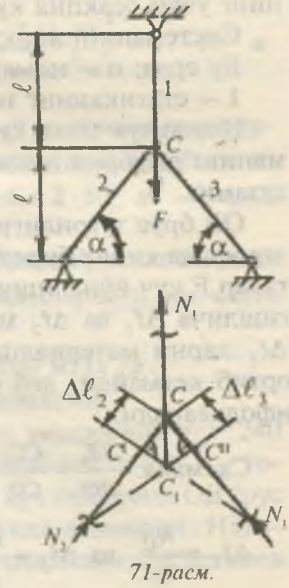
Бу ерда:

$$F = F_{\text{тек}} = 3 \cdot 240 \cdot 10^3 \cdot 2 \cdot 10^{-4} = 144 \text{ кН}$$

16-масала. Бир хил диаметрли пўлатдан тайёрланган стерженлар схемадагидек (71-расм) $F = 20$ кН куч билан юкланган. Мустаҳкамлик шартига кўра стерженларнинг диаметрлари топилсин.

Берилган: $\ell = 1 \text{ м}$, $\alpha = 45^\circ$

$$E = 2 \cdot 10^8 \frac{\text{кН}}{\text{м}^2}; [\sigma] = 160 \text{ мПа}$$



71-расм.

Ечиш. F күч таъсирида 1-стержень узаяди; 2—3-стерженлар сиқилади. Текис системада жойлашган күчлар учун статиканинг иккита тенгламаси түғри келади:

$$\sum x = -N_3 \cos \alpha + N_2 \cos \alpha = o(a)$$

$$\sum y = N_1 - F + N_2 \sin \alpha + N_3 \sin \alpha = 0 \quad (б)$$

Биринчи тенгламадан $N_2 = N_3$ ни иккинчи тенгламага келтириб қўйсак, $N_1 + 2N_2 \sin \alpha = F$ (в) ҳосил бўлади.

Демак, система бир маротаба статик аниқмас экан, (в) тенгламадан номаълум N_1 ва N_2 күчларни топиш учун системанинг деформациясидан фойдаланиб қўшимча тенглама тузамиз.

Түғри бурчакли учбуручак СС₁ С₁ дан (71-расм)

$$\Delta\ell_2 = \Delta\ell_1 \sin \alpha \quad (г)$$

$$\text{Бу ерда: } \Delta\ell_1 = \frac{N_1 \ell_1}{EA} \text{ ва } \Delta\ell_2 = \frac{N_2 \ell_2}{EA}; \ell_1 = \ell; \ell_2 = \frac{2\ell}{\sqrt{2}}.$$

У ҳолда (г) тенглик қўйидаги ҳолатга келади:

$$N_2 = N_1 \frac{\sqrt{2} \cdot \ell}{2\ell} = N_1 \frac{\sqrt{2}}{2} \quad (д)$$

системани деформациясидан ҳосил бўлган қўшимча тенглама бўлиб, уни (в) тенглама билан биргаликда ечиб, N_1 ва N_2 ларни топамиз:

$$N_2 = \frac{F}{3 \cdot \sin \alpha} = \frac{20}{3 \cdot \frac{\sqrt{2}}{2}} = \frac{40}{4,23} \kappa H \quad \text{ва}$$

$$N_1 = \frac{N_2}{\sin \alpha} = \frac{40}{4,23 \cdot \frac{\sqrt{2}}{2}} = \frac{80}{5,9643} \kappa H$$

Энг катта бўйлама күч ва күчланиш 1-стержендада ҳосил бўлади. Шу стержень учун мустаҳкамлик шартини тузамиз:

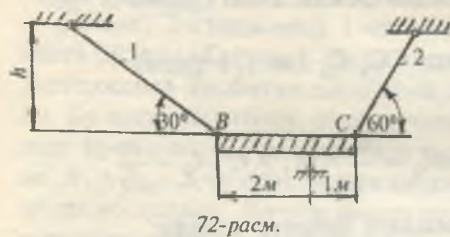
$$\sigma_1 = \frac{N_1}{A} \leq [\sigma] \text{ ёки } \sigma_1 = \frac{N_1 \cdot 4}{\pi \cdot d_i^2} \leq [\sigma]$$

Бу ерда:

$$d_1 = \sqrt{\frac{4N_1}{\pi [\sigma]}} = \sqrt{\frac{4 \cdot 80}{3,14 \cdot 160 \cdot 10^3 \cdot 5,96}} = 0,0103 \text{ м}$$

17-масала. Күндаланг кесим юзалари ўзаро тенг бўлган ($A_1 = A_2 = 40 \cdot 10^{-4} \text{ м}^2$) 1- ва 2-стерженлар (72-расм) $\Delta t = 2^\circ$ га қиздирилган. Стерженлардаги кучланишлар топилсин.

Ечиш. Стерженларнинг қиздирилиши натижасида ВС брусларни атрофида айланиб B_1 , C_1 ҳолатга ўтади, 1-стержень N_1 куч таъсирида сиқилади ва Δt ҳарорат таъсирида узаяди, деб қабул қилсак, 2-стержень сиқилади.



72-расм.

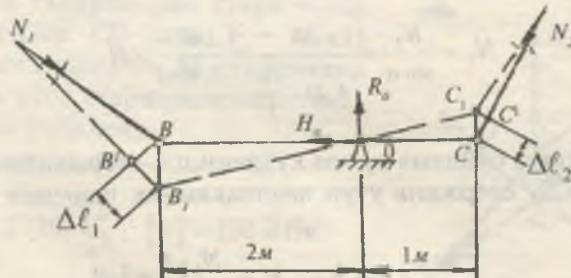
R_0 ва H_0 реакцияларнинг таъсирини ҳисобга олмаслик учун системани мувозанат тенгламаси сифатида О шарнирга нисбатан моментлар тенгламасини тузамиз, яъни:

$$\sum M_0 = -2N_1 \cos 60^\circ + N_2 \cos 30^\circ = 0$$

ёки

$$N_2 = 2N_1 \frac{\cos 60^\circ}{\cos 30^\circ} = 1,1547 N_1 \quad (a)$$

(а) тенгламадан кўринишича, системадаги номаълумлар сони N_1 ва N_2 статиканинг мувозанат шартидан кўп экан. Масала статик ноаниқ.



73-расм.

Масалани ечиш учун құшимча деформация тенгламасын тузамиз. Схемадан (73-расм) күринишича, 1- ва 2-стерженларнинг деформациялари қуйидаги нисбатда бөліктири:

$$BB_1 = 2CC_1 \quad \text{ёки} \quad \frac{\Delta\ell_1}{\cos 60^\circ} = 2 \frac{\Delta\ell_2}{\cos 30^\circ}$$

$$\text{Бу ерда: } \Delta\ell_1 = 1,1547\Delta\ell_2 \quad (6)$$

Стреженларнинг деформацияларини Гук қонуни билан ифодалаймиз:

$$\Delta\ell_1 = -\frac{N_1 h}{EA \sin 30^\circ} + \alpha \cdot \Delta t \frac{h}{\sin 30^\circ};$$

$$\Delta\ell_2 = -\left(\frac{N_2 h}{EA \sin 60^\circ} + \alpha \cdot \Delta t \frac{h}{\sin 60^\circ} \right)$$

У ҳолда (б) тенглама қуйидагича ёзилади:

$$\frac{h}{\sin 30^\circ} \left(-\frac{N_1}{EA} + \alpha \cdot \Delta t \right) = 1,1547 \frac{h}{\sin 60^\circ} \left[-\frac{N_2}{EA} - \alpha \cdot \Delta t \right]$$

ёки

$$-\frac{N_1}{EA} + \alpha \cdot \Delta t = 1,1547 \frac{\sin 30^\circ}{\sin 60^\circ} \left(-\frac{N_2}{EA} - \alpha \cdot \Delta t \right)$$

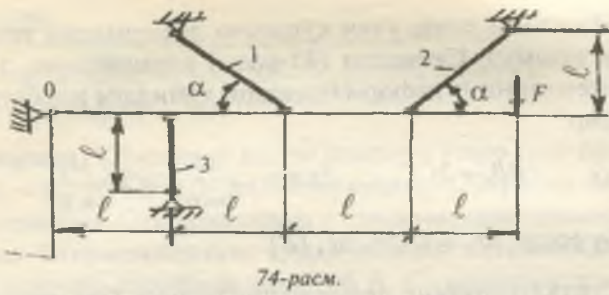
$$\text{Бу ерда: } -N_1 + 0,6667 N_2 = EA(-0,667\alpha \cdot \Delta t - \alpha \cdot \Delta t)$$

(а) тенгламани ҳисобга олсак, $1,7698N_1 = 1,667\alpha EA\Delta t$ ҳосил бўлади, у ҳолда $N_1 = 18834 \text{ кг}$ ва $N_2 = 21747 \text{ кг}$

$$\text{1-стержендаги кучланиш: } \sigma_1 = \frac{N_1}{A_1} = \frac{18834}{40} = 470 \frac{\text{кг}}{\text{см}^2}$$

$$\text{2-стержендаги кучланиш: } \sigma_2 = \frac{N_2}{A_2} = \frac{21747}{40} = 543 \frac{\text{кг}}{\text{см}^2}$$

18-масала. Од балка кесим юзалари $A = 1 \cdot 10^{-3} \text{ м}^2$ бўлган пўлатдан тайёрланган стреженлар билан боғланган. Системага қўйилиши мумкин бўлган рухсат этилган куч [F] нинг стреженлардаги энг катта кучланишини $[\sigma] = 160 \text{ мПа}$ га тенглаштириб топилсин.



74-расм.

Оқувчанлик чегарасидаги күчланишдан $\sigma_{\infty} = 240$ мПа фойдаланиб чекли юк $F_{\text{тек}}$ топилсін:

$$l = 1 \text{ м}; \quad \alpha = 45^\circ; \quad E_1 = E_2 = E_3 = E$$

Ешиш. ОД балка F күч таъсирида О шарнир атрофида айланады, 1- ва 2-стерженларни құзилишга ва 3-стержень сиқилишга қаршилик күрсатады, деб қабул қиласыз. Стерженларнинг деформациядан кейинги ҳолати ва ҳисоблаш схемаси 75-расмда күрсатылған.

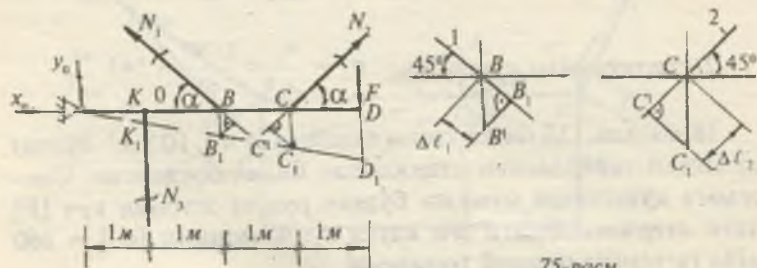
Системанинг мувозанат ҳолатини ифодаловчи статиканың тенгламаларини тузамиз:

$$\sum x = 0; \quad x_0 - N_1 \cos \alpha + N_2 \cos \alpha = 0 \quad (a)$$

$$\sum y = 0; \quad y_0 + N_3 + N_1 \sin \alpha + N_2 \sin \alpha - F = 0 \quad (b)$$

$$\sum M_0 = 0; \quad 2N_1 \sin \alpha + 3N_2 \sin \alpha + N_3 - 4F = 0 \quad (c)$$

(a), (b) ва (c) тенгламалардан күринишича, стерженлардаги номағым ($N_1; N_2; N_3$) ички күчләри ва таянч кесимидағы реакция күчләри ($x_0; y_0$) статиканың тенглалары:



75-расм.

малари сонидан күп экан. Демак, берилген система статик ноаниқ.

Системанинг аниқмаслик даражасини топамиз:

$$S = n - 3 = 5 - 3 - 2$$

Бу ерда: n — номаълум кучлар сони;

3 — статиканинг тенгламалар сони;

S — системанинг аниқмаслик даражаси.

Система икки маротаба аниқмас. Масалани ечиш учун системанинг геометрик боғланишларидан фойдаланиб иккита құшимча деформация тенгламаларини тузамиз (75-расм).

Схемадан: $\Delta BB_1O \approx \Delta KK_1O$ ва $\Delta CC_1O \approx \Delta KK_1O$ дан

$$\frac{KK_1}{KO} = \frac{BB_1}{BO} \quad \text{ва} \quad \frac{KK_1}{KO} = \frac{CC_1}{CO} \quad \text{хосил қиласиз.}$$

$$\text{Бу ерда: } BB_1 = \frac{BB^1}{\cos \alpha} \quad \text{ва} \quad CC_1 = \frac{CC^1}{\cos \alpha}$$

Схемадан $KK_1 = \Delta \ell_3$; $BB^1 = \Delta \ell_1$ ва $CC^1 = \Delta \ell_2$ ларни ҳисобга олсак, юқоридаги нисбаттар қуйидагича ёзилади:

$$\frac{\Delta \ell_1}{2 \cos \alpha} = \frac{\Delta \ell_3}{1} \quad \text{ва} \quad \frac{\Delta \ell_2}{3 \cos \alpha} = \frac{\Delta \ell_3}{1} \quad \text{ёки}$$

$$\Delta \ell_1 = 2 \Delta \ell_3 \cos \alpha \quad \text{ва} \quad \Delta \ell_2 = 3 \Delta \ell_3 \cos \alpha \quad (z)$$

(z) құшимча деформация тенгламаларини Гүк қонуни орқали ички кучлар билан ифодалаймиз:

$$\frac{N_1 \ell_1}{E_1 A_1} = 2 \frac{N_3 \ell_3}{E_3 A_3} \cos \alpha \quad \text{ва} \quad \frac{N_2 \ell_2}{E_2 A_2} = 3 \frac{N_3 \ell_3}{E_3 A_3} \cos \alpha \quad (d)$$

Схемадан

$$E_1 = E_2 = E_3 = E; \quad \ell_3 = 1 \text{ м} \quad \text{ва} \quad \ell_1 = \ell_2 = \frac{1}{\cos \alpha} \quad \text{ларни}$$

ҳисобга олсак, айрим ўзgartиришлардан кейин (d) қуйидагича ёзилади:

$$N_1 = 2N_3 \cos^2 \alpha = N_3 \quad (e)$$

$$N_2 = 3N_3 \cos^2 \alpha = 1,5N_3 \quad (ж)$$

(e) ва (ж) тенгламаларини (в) га келтириб құядында ички күчни топамиз: $N_3 = 0,72F$.

У ҳолда: $N_1 = 0,72F$ ва $N_2 = 1,08F$

Энди ҳар қайси стерженнинг мустақамлық шартини ёзамиз:

$$\sigma_1 = \frac{N_1}{A_1} = \frac{0,72F}{A} \leq [\sigma]$$

$$\sigma_2 = \frac{N_2}{A_2} = \frac{1,08F}{A} \leq [\sigma]; \quad \sigma_3 = \frac{N_3}{A_3} = \frac{0,72F}{A} \leq [\sigma]$$

Мустақамлық шартига құра энг катта нормал күчланиш 2-стерженде қосыл бўлди. Системага қўйилиши мумкин бўлган күчнинг рухсат этилган қиймати:

$$[F] = \frac{A[\sigma]}{1,08} = \frac{1 \cdot 10^{-3} \cdot 160 \cdot 10^3}{1,08} = 148,1 \text{ kN}$$

Учта стерженда ҳам оқувчанлик чегараси бошланиши учун $N_1 = \sigma_{ok} A_1$; $N_2 = \sigma_{ok} A_2$ ва $N_3 = \sigma_{ok} A_3$ шартлар ба жарилиши керак. У пайтда (в) тенглама қўйидагича күренишга келтирилади: $2\sigma_{ok} A \sin \alpha + 3\sigma_{ok} A \sin \alpha + \sigma_{ok} A = 4F$.

Охирги тенгламадан оқувчанлик чегарасига тўғри келувчи чекли юқ топилади:

$$F_{tek} = \frac{\sigma_{ok} A (1 + s \cdot \sin \alpha)}{4} = \frac{240 \cdot 10^3 \cdot 1 \cdot 10^{-3} (1 + 5 \cdot 0,7)}{4} = 270 \text{ kN}$$

19-масала. Бикр брус, кўндаланг кесим юзалари $A = 20 \cdot 10^{-4} \text{ m}^2$ бўлган учта стерженларга осилган. Ўрта стержень лойиҳа ўлчамидан $\delta = 0,5 \text{ mm}$ калта тайёрланган. Конструкция йигилгандан кейин стерженлардаги күчланиш топилсин. Стерженларнинг материаллари бир хил.

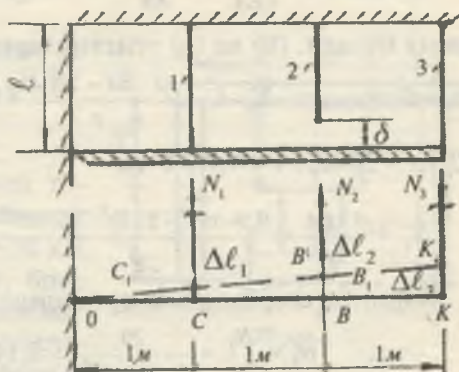
Ечиш. Конструкциядаги δ масофани йўқотиш учун 1-ва 3-стерженларни сиқиши, 2-стерженни чўзиши керак. Натижада учта стерженда ҳам ички бўйлама күчлар қосыл бўлади. Ички күчларни топиш учун кесиш усулидан фойдаланамиз.

Конструкция ажратилган қисмининг мувозанат ҳолатини қаноатлантирувчи $\sum M_0 = 0$ тенгламани тузамиз.

$$\sum M_0 = N_1 \cdot 1 - N_2 \cdot 2 + N_3 \cdot 3 = 0$$

Битта тенгламада учта $N_1; N_2$ ва N_3 маълум ички кучлар бор экан. Номаълумлар сони мувозанат тенгламалар сонидан иккита кўп.

Шунинг учун танланган масала икки маротаба ноаниқ. Масаланинг аниқмаслик даражасини очиш учун иккита қўшимча деформация тенгламарини тузиш керак (76-расм). Конструкциянинг деформациясини ўрганамиз. 1- ва 3-стерженларнинг сиқилишда, биринчи стержень $CC_1 = \Delta\ell_1 = \frac{N_1\ell}{EA}$ масофага, учинчи стержень $KK_1 = \Delta\ell_3 = \frac{N_3\ell}{EA}$ масофага қисқаради. Натижада В нуқта B_1 га кўчади. 2-стерженни бруслан туташтириш учун уни $\Delta\ell_2 = \frac{N_2\ell}{EA}$ масофага узайтириш керак.



76-расм.

Конструкциядаги стерженларнинг деформацияси натижасида учбурчаклар ҳосил бўлади:

$$\Delta KK_1 O \infty \Delta BB_1 O \infty \Delta CC_1 O$$

$$\text{У ҳолда: } \frac{KK_1}{KO} = \frac{CC_1}{CO} \quad \text{ёки} \quad \frac{\Delta\ell_3}{3} = \frac{\Delta\ell_1}{1} \quad \text{ва} \quad \Delta\ell_3 = 3\Delta\ell_1$$

$$\text{Бу ерда: } \frac{N_3\ell}{EA} = 3 \frac{N_1\ell}{EA}; \quad N_3 = 3N_1 \quad (6)$$

$$\frac{BB_1}{BO} = \frac{CC_1}{CO} \quad \frac{\delta - \Delta\ell_2}{2} = \Delta\ell_1 \quad \text{ва} \quad \delta - \Delta\ell_2 = 2\Delta\ell_1$$

$$\text{Бу ерда: } \delta - \frac{N_2\ell}{EA} = 2 \frac{N_1\ell}{EA} \quad \text{ва} \quad N_2 = \frac{\delta EA - 2N_1\ell}{\ell} \quad (a)$$

ҳосил бўлади. (б) ва (в) тенгликларни (а) тенгламага келтириб қўямиз: $N_1 \cdot 1 - 2 \frac{\delta \cdot EA - 2N_1\ell}{\ell} + 9N_1 = 0$;

$$10N_1\ell - 2\delta \cdot EA + 4N_1\ell = 0 \quad \text{ва}$$

$$N_1 = \frac{\delta \cdot EA}{7\ell} = \frac{0,5 \cdot 10^{-4} \cdot 2 \cdot 10^8 \cdot 20 \cdot 10^{-4}}{7} = \frac{20}{7} \kappa H$$

Биринчи стержендаги кучланиш:

$$\sigma_1 = \frac{N_1}{A} = \frac{20}{7 \cdot 20 \cdot 10^{-4}} = 0,143 \cdot 10^4 \frac{\kappa H}{m^2}$$

$$(в) \text{ тенгликтан } N_2 \text{ ни топамиз: } N_2 = \frac{100}{7} \kappa H$$

Иккинчи стержендаги кучланиш:

$$\sigma_2 = \frac{N_2}{A} = \frac{100}{7 \cdot 20 \cdot 10^{-4}} = 0,715 \cdot 10^4 \frac{\kappa H}{m^2}$$

$$(б) \text{ тенгликтан } N_3 \text{ ни топамиз: } N_3 = \frac{60}{7} \kappa H$$

$$\text{Кучланиш: } \sigma_3 = \frac{N_3}{A} = \frac{60}{7 \cdot 20 \cdot 10^{-4}} = 0,429 \cdot 10^4 \frac{\kappa H}{m^2}$$

20-масала. Погонали брус кесим юзаси А ва асоси қўзғалмас бўлган пўлатдан тайёрланган иккита стерженларга бикр маҳқамланган:

1) қўзғалмас таянч билан погонали бруслар орасидаги масофа $\Delta = 1 \cdot 10^{-4} m$ куч қанча қийматида ёпилади;

2) ўрта стерженнинг пастки асосидаги реакция кучи В берилган куч Н орқали аниқлансан ва бўйлама куч N эпураси курилсин.

Ечиш. Биринчи саволга жавоб бериш учун погонали бруслни Н кучдан деформациясини Δ масофага тенглаштирамиз (77-расм).

$$\Delta = \frac{HC}{4EA} + \frac{HC}{4EA} + \frac{HC}{2EA} + \frac{H2C}{EA} = \frac{3HC}{EA} \quad (a)$$

$$\Delta = \frac{3H}{2 \cdot 10^8 \cdot 2 \cdot 10^{-3}} \text{ ёки } H = \frac{40}{3} \text{ кН}$$

Бу ерда: $E = 2 \cdot 10^8 \frac{\text{kH}}{\text{м}^2}$ ва

$$A = 2 \cdot 10^{-3} \text{ м}^2$$

(а) тенглама асосида то-
пилган H күч масаланинг
шартида берилган $H = 50$ кН
күчдан кичик. Демак, брус
билин таянч оралиғидаги ма-
софа ёпилади. Масофа ёпили-
шини аниқлаш учун берил-
ган $H = 50$ кН күч таъсирида (а) тенглама асосида топил-
ган погонали бруснинг тұлық деформацияси Δ_k ни
 $\Delta = 1 \cdot 10^{-4}$ м билан таққослаймиз:

$$\Delta_k = \frac{3HC}{EA} = \frac{3 \cdot 50 \cdot 1}{2 \cdot 10^8 \cdot 2 \cdot 10^{-3}} = 3,75 \cdot 10^{-4} \text{ м ёки } \Delta_k > \Delta$$

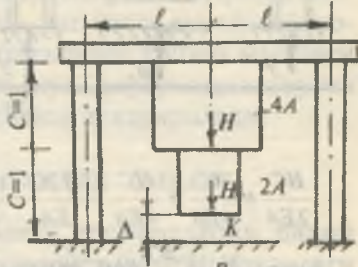
Демак, Δ масофа ёпилади. Бруснинг К кесими В таянч-
га келиб таянади. Системани ҳисоблаш схемаси 78-расмда
күрсатылған. Реакция күчлари Y_A ва В ларни системанинг
мувозанат шартидан топамиз:

$$\sum Y = 2Y_A + B - 2H = 0 \quad (b)$$

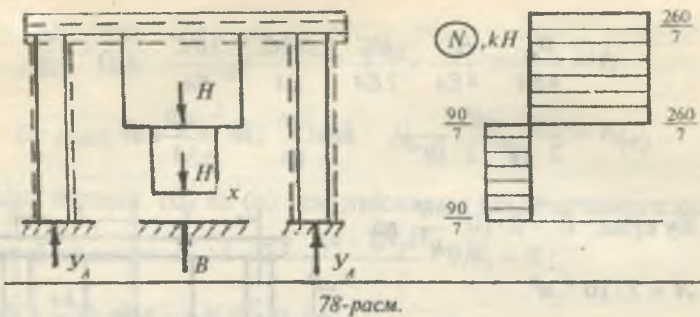
(б) тенгламадан күринишича, системада номаълум
реакция күчлари статикани мувозанат тенгламасидан ик-
китага күп. Демак, система бир маротаба статик аниқмас
экан.

Номаълум Y_A ва В реакция күчларини топиш учун (б)
тенглама ёнига құшимча деформация тенгламасини тузи-
шимиз керак.

Бунинг учун икки погонали брусни ва иккита четки
стерженлардан биттасини берилған H күчдан деформаци-
ясини реакция күчлари таъсиридаги деформацияга тенг-
лаштирамиз:



77-расм.



78-расм.

$$\frac{HC}{2EA} + \frac{HC}{4EA} + \frac{HC}{4EA} + \frac{H2C}{EA} - \frac{BC}{4EA} - \frac{BC}{E2A} - \frac{Y_A 2C}{EA} = \Delta \quad (\text{в})$$

Агар, $Y_A = \frac{B}{2}$ деб қаралса, (в) тенгламани

$$12HC - 7BC = 4\Delta EA \text{ күрнишшага келтирамиз.}$$

Бу ерда:

$$B = \frac{12HC - 4\Delta EA}{7C} = \frac{12 \cdot 50 \cdot 1 - 4 \cdot 10^{-4} \cdot 2 \cdot 10^8 \cdot 2 \cdot 10^{-3}}{7 \cdot 1} = \frac{440}{7} \text{ kN}$$

В реакция кучини (б) тенгламага келтириб, Y_A реакция кучини топамиз:

$$Y_A = \frac{2H - B}{2} = H - \frac{B}{2} = 50 - \frac{440}{2 \cdot 7} = \frac{130}{7} \text{ kN}$$

Пояснали брусли оралиқтарга бўлиб, ички бўйлама куч N ни топамиз:

$$\text{1-1 қирқим. } \sum Y = N_1 - H + B = 0 \text{ ёки}$$

$$N_1 = H - B = 50 - \frac{440}{7} = -\frac{90}{7} \text{ (сикувчи куч)}$$

$$\text{2-2 қирқим. } \sum Y = N_2 - 2H + B = 0$$

$$N_2 = 2H - B = 2 \cdot 50 - \frac{440}{7} = \frac{260}{7} \text{ kN} \text{ (чўзувчи куч)}$$

III БОБ

КУЧЛАНГАНЛИК ҲОЛАТЛАРИ ВА МУСТАҲКАМЛИК НАЗАРИЯЛАРИ

Кучларнинг таъсир қилиш ҳолатларига қараб конструкция ёки иншоот қисмидаги энг катта кучланишларни ва улар пайдо бўладиган юзачаларни топиш масаласи мураккаброқ. Бу масалани ечиш учун деформацияланувчи жисм нуқтасидаги кучланиш ҳолати текширилади.

3.1. ЧИЗИҚЛИ КУЧЛАНГАНЛИК ҲОЛАТИ

Чизиқли кучланганлик ҳолати элементларни оддий чўзилиш ва сиқилиш деформациясига учраган вақтидаги кўндаланг кесими юзасига қия жойлашган юзаларидаги кучланишларнинг тарқалиш қонуниятини ўрганади.

F куч таъсирида чўзилаётган брусли m -е кўндаланг кесим юзасидаги кучланиш $\sigma = \frac{F}{A}$ формула билан топилишини кўриб ўтган эдик. Энди брусли m -е кўндаланг кесим юзасига қия ҳисобланган m -н юзасидаги кучланишни аниқлайлик.

m -н текисликнинг қиялиги брусни ўқи ва n_a нормали орасидаги ўтқир бурчак α билан аниқланади. Кесиш услуби орқали ажратиб

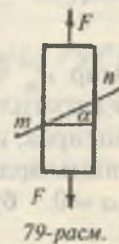
олинган кесимни қия юзасида P_a кучланиш тенг тарқалади ва $P_a = \frac{F}{A_0} = \frac{F}{A} \cos \alpha = \sigma_0 \cos \alpha$

формула билан топилади. P_a нинг қия текислик нормали ва m -н кесим текислигига проекциялаб.

$$\sigma_a = P_a \cos \alpha = \sigma_0 \cos^2 \alpha \quad (3.1)$$

$$\tau_a = P_a \sin \alpha = \frac{\sigma_0}{2} \sin 2\alpha \quad (3.2)$$

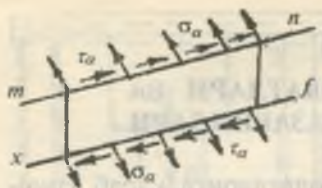
қия текисликнинг нормал σ_a ва уринма τ_a кучланишларни топамиз.



79-расм.

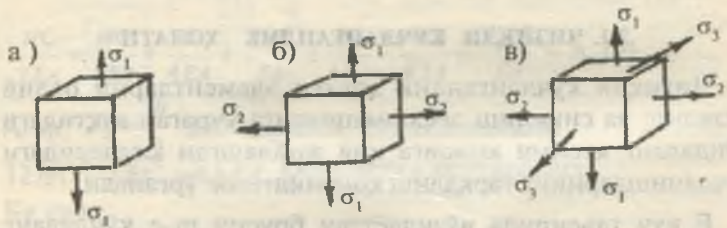


80-расм.



Бруснинг m - n қия текислигига параллел бўлган $e - f$ чизиқ билан кесиб, бу қия юзада ҳам нормал ва уринма кучланишларнинг ҳосил булишини кўрамиз.

σ_a нормал кучланиш таъсирида m - n ва $e - f$ қия кесим юзалари орасидаги масофа узаяди; τ_a уринма кучланиши таъсирида эса силжиш деформацияси ҳосил бўлади.



81-расм.

Агар σ_a чўзувчи бўлса, ишораси — мусбат; τ_a бруснинг ажратилган қисмини соат стрелкаси йуналиши буйлаб айлантирса, ишораси — мусбат деб қаралади. (3.1) ва (3.2) тенгламалардан:

$$\alpha = 0 \text{ бўлса, } \tau_a = 0 \text{ ва } \sigma_a = \sigma_0$$

$$\alpha = 45^\circ \text{ да } \tau_a = \frac{\sigma_0}{2} \text{ ва } \sigma_a = \frac{\sigma_0}{2}$$

$$\alpha = 90^\circ \text{ да } \tau_a = 0 \text{ ва } \sigma_a = 0$$

келиб чиқади.

Демак, 1) брус ўқига перпендикуляр ва параллел кесимларида $\tau_a = 0$ булар экан. Шунинг учун бу юзалар бош юзалар дейилади; 2) брус ўқига параллел юзаларида $\sigma_a = 0$; $\tau_a = 0$ бўлади, яъни σ ва τ ташқи кучга боғлиқ бўлмайди.

Бош юзаларга қўйилган кучланишлар бош кучланишлар бўлади. Кучланганлик ҳолатларини σ_1 ; σ_2 ва σ_3 ларнинг қиймати нолдан фарқли булишига қараб аниқланиши мумкин (81-расм):

1) Агар, биш күчланишлардан биттаси нолдан фарқли, қолган иккитаси нолга тенг бўлса — чизиқли күчланганлик ҳолати (81-а расм) оддий чўзишида: $\sigma_1 = \sigma_0; \sigma_2 = \sigma_3 = 0$ ва сиқилишда $\sigma_1 = \sigma_2 = 0; \sigma_3 = -\sigma_a$ бўлади.

2) Агар, иккита биш күчланишлар нолдан фарқли ва биттаси нолга тенг бўлса — текис күчланганлик ҳолати (81-б расм).

3) Агар, учта биш күчланишлар ҳам нолдан фарқли бўлса — ҳажмий күчланганлик ҳолати бўлади (81-в расм)

4) $\sigma_1; \sigma_2; \sigma_3$ лар биш күчланишлар ва $\sigma_1 > \sigma_2 > \sigma_3$, деб қабул қиласиз.

3.2. ТЕКИС КҮЧЛАНГАНЛИК ҲОЛАТИ

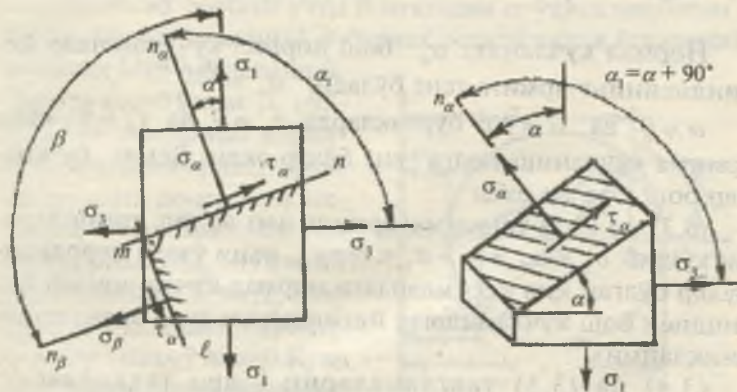
Текис күчланганлик ҳолати қия кесимдаги күчланиш (3.1) ва (3.2) формулаларга асосланиб топилади.

Бруснинг т-п қия кесимидағи нормал σ_a ва уринма τ_a күчланишларини топамиш:

$$\sigma_a = \sigma_1 \cos^2 \alpha + \sigma_3 \cos^2 \alpha_1 = \sigma_1 \cos^2 \alpha + \sigma_3 \cos^2(\alpha + 90^\circ)$$

ёки

$$\sigma_a = \sigma_1 \cos^2 \alpha + \sigma_3 \sin^2 \alpha \quad (3.3)$$



82-расм.

$$\tau_a = \frac{\sigma_1}{2} \sin 2\alpha + \frac{\sigma_3}{2} \sin 2\alpha = \frac{\sigma_1}{2} \sin 2\alpha + \frac{\sigma_3}{2} \sin 2(\alpha + 90^\circ)$$

ёки $\tau_a = \frac{\sigma_1 - \sigma_3}{2} \sin 2\alpha$ (3.4)

Агар, т-н қия кесимига перпендикуляр ҳолатдаги бруснинг иккинчи т-е қия кесимини танлаб олсак, бу қия кесимдаги σ_β ва τ_β кучланишлари (3.3) ва (3.4) формулалар асосида топилади.

$$\sigma_\beta = \sigma_1 \cos^2 \beta + \sigma_3 \sin^2 \beta = \sigma_1 \cos^2(\alpha + 90^\circ) + \sigma_3 \sin^2(\alpha + 90^\circ)$$

ёки $\sigma_\beta = \sigma_1 \sin^2 \alpha + \sigma_3 \cos^2 \alpha$ (3.5)

$$\tau_\beta = \frac{\sigma_1 - \sigma_3}{2} \sin 2\beta = \frac{\sigma_1 - \sigma_3}{2} \sin 2(\alpha + 90^\circ)$$

ёки $\tau_\beta = -\frac{\sigma_1 - \sigma_3}{2} \sin 2\alpha$ (3.6)

(3.3), (3.4), (3.5) ва (3.6) формулалардан кўриниб турибдики, қия кесимларининг нормал ва уринма кучланишлари $\alpha = 45^\circ$ да уринма кучланиш максимал қийматга эришади, яъни:

$$\tau_a = \tau_{\max} = \frac{\sigma_1 - \sigma_3}{2}$$
 (3.7)

Нормал кучланиш σ_a бош нормал кучланишлар йиғиндисининг ярмига тенг бўлади: $\sigma_a = \frac{\sigma_1 + \sigma_3}{2}$

$\alpha = 0$ ва $\alpha = 90^\circ$ бурчакларда $\tau_a = 0$ ва $\tau_\beta = 0$, яъни уринма кучланиш нолга тенг бўлар экан. Демак, бу юзалар бош юзалар экан.

(3.3) ва (3.5) тенгламаларнинг чап ва ўнг томонларини кўшиб $\sigma_a + \sigma_\beta = \sigma_1 + \sigma_3 = \text{const}$, яъни ўзаро перпендикуляр бўлган қия кесимлардаги нормал кучланишлар йиғиндиси бош кучланишлар йиғиндисига тенг эканлигини аниқлаймиз.

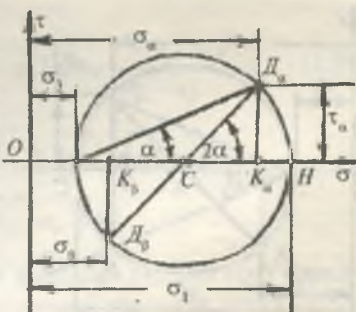
(3.4) ва (3.5) тенгламаларни ўзаро таққосласак, $\tau_a = -\tau_\beta$, ўзаро перпендикуляр жойлашган қия кесимлар-

даги уринма күчланишлар бир-бирига тенг ва ишораси ҳар хил бўлишини кўрамиз. $\tau_a = -\tau_b$ уринма күчланишларнинг жуфтлик аломати дейилади.

3.3. КҮЧЛАНИШЛАРНИ ГРАФИК УСУЛДА ТОПИШ

Берилган бош нормал күчланишлар орқали текис күчланганлик ҳолатидаги кубикни қия кесимидағи нормал σ_a ва уринма τ_a күчланишларни Мор доирасини (күчланишлар доираси) қуриш билан график усулда ҳам топиш мумкин. Бу усулни масалада кўрамиз. σ_1 ва σ_3 бош нормал күчланишлар берилган бўлсин (83-расм, а). сот координата ўқларини танлаб, σ_1 ва σ_3 бош нормал күчланишларнинг қийматларини бир хил масштабда σ — ўқида $OH = \sigma_1$ ва $OB = \sigma_3$ масофада жойлаштирамиз.

У ҳолда Мор доирасининг маркази координатада боши О нуқтадан $OC = \frac{OH + OB}{2} = \frac{\sigma_1 + \sigma_3}{2}$ масофада жойлашади. Ҳосил бўлган С нуқтадан радиуси (83-расм, а) $R = CH = CB = \frac{OH - OB}{2} = \frac{\sigma_1 - \sigma_3}{2}$ бўлган доира чизамиз. Қия кесимни σ_a — нормал ва τ_a — уринма күчланишлари Мор доирасида жойлашиб, қия кесимни жойлашиши α бурчагига боғлиқ равишда ўзгаради. σ_a ва τ_a күчланишларни аниқлаш учун қия кесимнинг ҳолатини Мор доирасида ифодалаймиз. Бунинг учун В нуқтадан σ ўқига нисбатан τ ўқини мусбат томонида α бурчак остида чизиқ ўтказамиз. Бу чизиқ Мор доирасини D_a нуқтада кесиб ўтади. D_a нуқта билан доиранинг маркази С нуқтани бирлаштирувчи чизиқни доиранинг иккинчи қисми билан туташтириб D_b нуқтани ҳосил қиласиз. D_a ва D_b нуқталардан σ ўқига перпендикуляр чизиқ ўтказиб K_a ва K_b нуқталарни топамиз. Күчланишлар масштабига



83-расм, а.

асосан $OK_a = \sigma_a$; $K_a D_a = \tau_a$; $OK_b = \sigma_b$ ва $K_b D_b = \tau_b$ кучланишларини аниқлади.

σ_1 ва σ_3 бош нормал кучланишлар чўзувчи бўлса, Мор доираси σ_1 ўқининг мусбат томонида жойлашади.

Ҳақиқатан ҳам $\sigma_a = OK_a$ эканлигини исботлаймиз:

$$OK_a = OB + BC + CK$$

Лекин:

$$OB = \sigma_3; \quad CB = \frac{\sigma_1 - \sigma_3}{2}$$

$$\text{ва} \quad CK_a = CD_a \cos 2\alpha \quad (\text{бу ерда} \quad CB = CD_a)$$

У ҳолда:

$$\begin{aligned} OK_a &= \sigma_3 + \frac{\sigma_1 - \sigma_3}{2} + \frac{\sigma_1 - \sigma_3}{2} \cos 2\alpha = \sigma_3 + \frac{\sigma_1 - \sigma_3}{2} (1 + \cos 2\alpha) = \\ &= \sigma_3 + (\sigma_1 - \sigma_3) \frac{1}{2} \cdot 2 \cos^2 \alpha = \sigma_3 + \sigma_1 \cos^2 \alpha - \sigma_3 \cos^2 \alpha = \\ &= \sigma_1 \cos^2 \alpha + \sigma_3 (1 - \cos^2 \alpha); \quad \sigma_a = \sigma_1 \cos^2 \alpha + \sigma_3 \sin^2 \alpha \end{aligned}$$

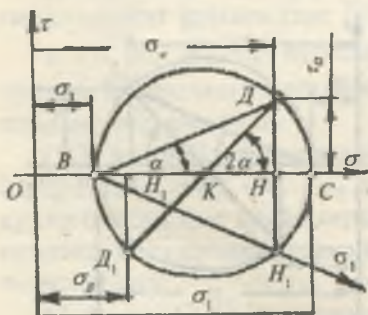
Мор доирасидаги учбурчак $CD_a K_a$ дан:

$$\frac{D_a K_a}{CD_a} = \sin 2\alpha \quad \text{ёки} \quad D_a K_a = \tau_a = \frac{\sigma_1 - \sigma_3}{2} \sin 2\alpha$$

Агар қия кесимнинг ҳолати ва ундаги $\sigma_a; \sigma_b; \tau_a = -\tau_b$ кучланишлар берилган бўлса, кубикка таъсир қиласидаги

бош кучланишларни ва уларнинг йўналишини топиш мумкин. Бундай тескари масалани ҳам Мор доирасини қуриш (83-расм, б) усули билан ечилади. Бунинг учун $\sigma - \sigma - \tau$ координата ўқларига маълум масштабда $\sigma_a; \sigma_b$ ва τ_a кучланишлар жойлаштирилади (83-расм, б).

Д ва D_1 нуқталарни бирлаштириб кучланишлар дои-



83-расм, б.

расининг маркази К нүктани топамиз. ДК ва Д₁ радиуслар билан чизилган доира σ ўқини С ва В нүқталарда кесиб ўтади. Кучланишлар масштабида OC = σ₁ ва OB = σ₃. Мор доирасини қуришда қуйидаги белгилашлардан фойдаландик:

$$\sigma_{\alpha} = OH; \sigma_{\beta} = OH_1; HD = \tau; H_1D_1 = \tau_{\beta}$$

83-б расмдаги чизмадан қуйидаги масофаларни топамиз:

$$OC = OK + KC \text{ ва}$$

$$OB = OK - KB$$

Бу ерда:

$$OK = \frac{OH + OH_1}{2} = \frac{\sigma_{\alpha} + \sigma_{\beta}}{2} \text{ ва}$$

$$KC = KB = KD = \sqrt{(KH)^2 + (HD)^2} = \sqrt{\left(\frac{\sigma_{\alpha} - \sigma_{\beta}}{2}\right)^2 + \tau_{\alpha}^2}$$

Демак,

$$\begin{aligned} OC &= \sigma_1 = \\ OB &= \sigma_3 = \\ \sigma_{13} &= \frac{1}{2} \left[(\sigma_{\alpha} + \sigma_{\beta}) \pm \sqrt{(\sigma_{\alpha} - \sigma_{\beta})^2 + 4\tau_{\alpha}^2} \right] \end{aligned} \quad (3.8)$$

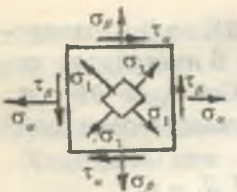
Бош нормал кучланиш σ₁; σ₃ ларнинг йўналишлари ни топиш учун Мор доирасидаги КНН¹ бурчагидан фойдаланамиз:

$$\operatorname{tg} 2\alpha = \frac{HD}{KH}; \quad \operatorname{tg} 2\alpha = -\frac{2\tau_{\alpha}}{\sigma_{\alpha} - \sigma_{\beta}} \quad (3.9)$$

ёки бурчак ВНН¹ дан:

$$\operatorname{tg} \alpha = \frac{HD}{BH} = -\frac{\tau_{\alpha}}{\sigma_{\alpha} - \sigma_{\beta}}$$

α бурчак мусбат бўлса, уни абсцисса ўқидан соат стрелкасининг йўналишига қарама-қарши томонга жойлаштирилади; манфий бўлса, тескари йўналишда жойлаштирилади.

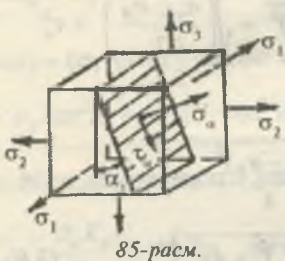


84-расм.

α бурчакнинг қийматига боғлиқ равишда σ_1 ва σ_3 бош нормал кучланишлар қўйилиши керак бўлган бош юзаларнинг ҳолатлари, оғиши бурчаклари топилади (84-расм).

3.4. ҲАЖМИЙ КУЧЛАНГАНЛИК ҲОЛАТИ

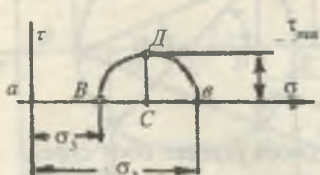
Ҳажмий кучланганлик ҳолатидаги элементнинг қия кесимидаги кучланишни топиш учун (85-расм) қия юзанинг бош кучланишларидан бирортасининг йўналишига параллел қилиб олинади, бу юзадаги нормал ва уринма кучланишлар қолган иккита бош кучланишга боғлиқ бўлиб қолади.



85-расм.

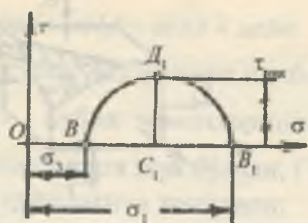
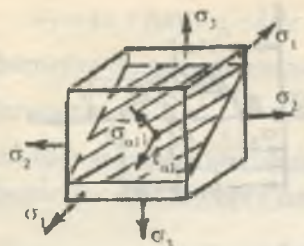
Масалан, қия кесимни σ_1 бош нормал кучланишига параллел қилиб оламиз. Демак, штрихланган қия юзадаги $\sigma_{\alpha 1}$ ва $\tau_{\alpha 1}$ лар фақат σ_2 ва σ_3 бош нормал кучланишларга боғлиқ экан. σ_1 бош нормал кучланиш таъсиридаги нормал ва уринма кучланишлар нолга teng булади.

Демак, ҳажмий кучланганлик ҳолатида бўлган кубикдан ажратилган қия текислик текис кучланганлик ҳолатида бўлар экан. Қия кесимдаги нормал кучланиш $\sigma_{\alpha 1}$ ва уринма кучланиш $\tau_{\alpha 1}$ ларни топиш учун Мор доирасидан фойдаланамиз. (86-расм) координата системасида σ_2 ва σ_3 бош нормал кучланишларни жойлаштирамиз ва кучланишлар доирасини қурамиз.

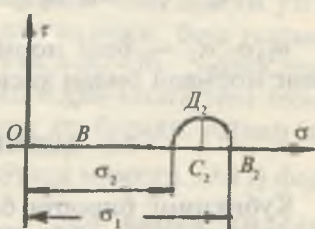
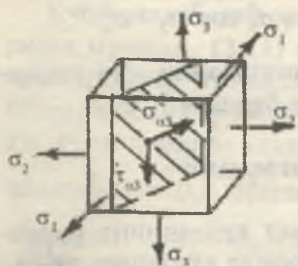


86-расм.

Биз қидираётган $\sigma_{\alpha 1}$ ва $\tau_{\alpha 1}$ кучланиш ВВ, нуқталар билан чегараланган доира ичида жойлашади. Уринма кучланишнинг максимал қиймати кучланишлар доирасининг радиусига teng бўлади, яъни:



87-расм.



88-расм.

$$\tau_{2 \max} = \frac{\sigma_2 - \sigma_3}{2}$$

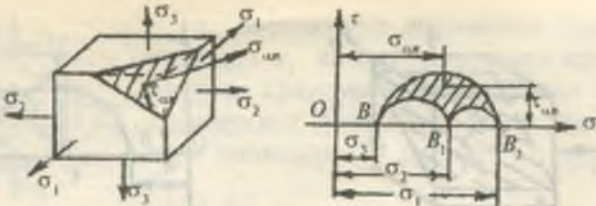
Шу усулда қия кесимни навбати билан σ_2 ва σ_3 бош нормал кучланишларга параллел қилиб оламиз ва нормал ва уринма кучланишларни топамиз.

Қия кесимдаги σ_{a2} ва τ_{a2} кучланишлар фақат σ_1 ва σ_3 бош нормал кучланишларга бөглиқ. Энг катта уринма кучланиш:

$$\tau_{1 \max} = \frac{\sigma_1 - \sigma_3}{2}$$

Қия кесимнинг шундай ҳолатини танлаш мумкинки, бунда қия кесим ҳамма бош нормал кучланишларнинг йўналишини кесиб ўтади (89-расм). σ_{a1} ва τ_{a1} кучланишлар Мор доираси билан чегараланган эгри чизиқли мураккаб юзада жойлашади ва қуйидаги формула билан топилади:

$$\sigma_a = \sigma_1 \cos^2 \alpha_1 + \sigma_2 \cos^2 \alpha_2 + \sigma_3 \cos^2 \alpha_3$$



89-расм.

$$\tau_\alpha = \sqrt{\sigma_1^2 \cos^2 \alpha_1 + \sigma_2^2 \cos^2 \alpha_2 + \sigma_3^2 \cos^2 \alpha_3 - \sigma_\alpha^2}$$

$\alpha_1; \alpha_2; \alpha_3$ — бош нормал күчланишларни қия кесимнинг нормали билан ҳосил қилган бурчаги.

3.5. ҲАЖМИЙ ДЕФОРМАЦИЯ

Кубикнинг бирорта бош нормал күчланишга паралел қирраси чўзилади. Шу бош нормал күчланиш таъсирида кубикнинг қолган қирралари сиқилади. Натижада, битта қирранинг деформацияси мураккаб бўлиб, бир йўналишда чўзилишдан ва иккита йўналишда сиқилишдан иборатdir.

Ҳажмий кучланганлик ҳолатида элементнинг деформацияси Гукнинг умумлашган қонуни бўйича топилади:

$$\varepsilon_1 = \frac{1}{E} [\sigma_1 - \mu(\sigma_2 + \sigma_3)]$$

$$\varepsilon_2 = \frac{1}{E} [\sigma_2 - \mu(\sigma_1 + \sigma_3)] \quad (3.10)$$

$$\varepsilon_3 = \frac{1}{E} [\sigma_3 - \mu(\sigma_1 + \sigma_2)]$$

(3.10) формуладан чизиқли ва текис кучланганлик ҳолатларидаги элементларнинг деформациюсини топишда фойдаланиш мумкин.

Бошлангич ҳажми $V_0 = a \cdot b \cdot c$ бўлган кубикнинг деформациясидан кейинги ҳажми:

$$V_1 = (a + \Delta a)(b + \Delta b)(c + \Delta c) = abc + ab\Delta c + bc\Delta a + ac\Delta b$$

формула билан топилади. Үнда кубик ҳажмининг нисбий ўзгариши $\varepsilon_0 = \frac{V_1 - V_0}{V_0} = \varepsilon_1 + \varepsilon_2 + \varepsilon_3$ кубик томонларининг нисбий деформацияларининг йиғиндисига тенг бўлади. Гук формуласини ҳисобга олсак, ε_0 қўйидагича топилади:

$$\varepsilon_0 = \frac{1-2\mu}{E} (\sigma_1 + \sigma_2 + \sigma_3) \quad (3.11)$$

Кубикнинг деформацияда ҳажми ёки шакли ўзгариши мумкин. (3.11) формуладан аниқки, бош нормал кучланишлар йиғиндиси ($\sigma_1 + \sigma_2 + \sigma_3 = 0$) нолга тенг бўлса, ҳажмининг нисбий ўзгариши ҳам нолга тенг бўлади, яъни кубикда шакл ўзгариши юз беради. Айнан шу ҳолатни $\mu = 0,5$ бўлганда ҳам куриш мумкин. (3.11) формуладан: $\sigma_1 = \sigma_2 = \sigma_3 = \sigma_{yp}$ деб қабул қиласак,

$$\varepsilon_0 = \frac{1-2\mu}{E} \cdot 3\sigma_{yp} \text{ ҳосил бўлади.}$$

Бу ерда: $\frac{1-2\mu}{E} = K$ ўзгармас сон ҳажмий эластиклик модули дейилади. Үнда $\varepsilon_0 = \frac{\sigma_{yp}}{K}$ формула Гукнинг ҳажмий қонуни бўлади.

Гук ҳажмий қонунига асосан кубикнинг томонларига қиймати ўртача бош кучланишларга тенг кучланишлар билан таъсир қилинса, кубикда ҳажмий ўзгариш содир бўлар экан.

3.6. ДЕФОРМАЦИЯНИНГ ПОТЕНЦИАЛ ЭНЕРГИЯСИ

Ҳажмий кучланганлик ҳолатида деформациянинг тўлиқ потенциал энергияси қўйидагича топилади:

$$U = \frac{1}{2} (\sigma_1 \varepsilon_1 + \sigma_2 \varepsilon_2 + \sigma_3 \varepsilon_3) \quad \text{ёки}$$

$$U = U_x + U_w =$$

$$= \frac{1}{2E} [\sigma_1^2 + \sigma_2^2 + \sigma_3^2 - 2\mu \cdot (\sigma_1 \sigma_2 + \sigma_2 \sigma_3 + \sigma_3 \sigma_1)] \quad (3.12)$$

U_x — кубик ҳажм ўзгаришидаги деформациянинг потенциал энергияси булиб, қуйидаги формула билан топилади: $U_x = \frac{3}{2} \sigma_{yp} \cdot \varepsilon_{yp}$.

Бу ерда: $\varepsilon_{yp} = \frac{\sigma_{yp}}{E}$ ҳажмий эластиклик модули $K = \frac{E}{3(1-2\mu)}$ ва $\sigma_{yp} = \frac{\sigma_1 + \sigma_2 + \sigma_3}{3}$ ларни ҳисобга олсак, ҳажмий ўзгаришдаги деформациянинг потенциал энергияси $U_x = \frac{1-2\mu}{6E} (\sigma_1 + \sigma_2 + \sigma_3)^2$.

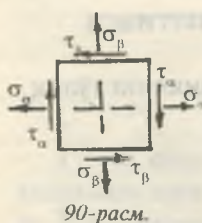
Шакл ўзгаришидаги деформациянинг потенциал энергиясини топиш учун (3.12) формуладан U_x ни топамиз.

$$\text{У ҳолда: } U_w = \frac{1+\mu}{3E} (\sigma_1^2 + \sigma_2^2 + \sigma_3^2 - \sigma_1\sigma_2 - \sigma_1\sigma_3 - \sigma_2\sigma_3)$$

1-масала. Кўндаланг кесим ўлчамлари $0,2 \times 0,2 \times 0,2$ м бўлган кубикнинг емирилиш вақтидаги ташқи сиқувчи кучнинг таъсир қилиш чизигига 45° бурчак билан қия кесим юзасидаги нормал кучланиш $\sigma_n = 40$ мПа эди. Кубик қанча сиқувчи куч таъсирида емирилади?

Ечиш. Кубик чизиқди кучланганлик ҳолатида бўлганлиги учун, унинг қия кесимидағи нормал кучланиш формуласи қуйидагича ёзилади: $\sigma_n = \sigma \cos^2 \alpha = \frac{F}{A} \cos^2 \alpha = 40$ мПа.

$$\text{Бу ерда: } F = \frac{40A}{\cos^2 \alpha} = \frac{40 \cdot 10^3 \cdot 0,2 \cdot 0,2}{(0,707)^2} = 3,2 \cdot 10^3 \text{ кН}$$



2-масала. Пўлатдан тайёрланган кубик текис кучланганлик ҳолатида (90° -расм):

1) бош кучланишлар ва бош юзалар йўналиши; 2) энг катта уринма бош кучланиш; 3) нисбий деформация ва ҳажмнинг нисбий ўзгариши; 4) тулиқ потенциал энергия топилсин.

Берилган:

$$\sigma_a = 40 \text{ MPa}; \quad \sigma_b = 10 \text{ MPa}; \quad \tau_2 = 10 \text{ MPa}$$

Бош кучланишларни (3.8) формула ёрдамида топамиз:

$$\sigma_{1,3} = \frac{1}{2} [(40 + 10) \pm \sqrt{(40 - 10)^2 + 4(10)^2}] = \frac{1}{2} (50 \pm 36,05).$$

Бу ердан:

$$\sigma_1 = 43,025 \text{ MPa} \quad \text{ва}$$

$$\sigma_3 = 6,975 \text{ MPa}$$

Бош юзаларнинг жойлашиш бурчагини (3.9) формуладан аниқлаймиз:

$$\operatorname{tg} 2\alpha = -\frac{2 \cdot 10}{40 - 10} = -0,667 \text{ радиан.}$$

$$2\alpha = -34^0; \quad \alpha = -17^0$$

91-расм.

α — бурчак ишораси ($-$) минус бўлганлиги учун σ_i йўналишини σ_a текислигидан соат стрелкаси йўналиши бўйича жойлаштиридик. Энг катта уринма кучланиш:

$$\tau_{\max} = \frac{\sigma_1 - \sigma_3}{2} = \frac{43,025 - 6,975}{2} = 18,025 \text{ MPa}$$

Кубик томонларининг нисбий чўзилиши:

$$\varepsilon_1 = \frac{1}{2 \cdot 10^{-8}} (43025 - 0,3 \cdot 6975) = 20,466 \cdot 10^{-5} \quad (\text{чўзилиш})$$

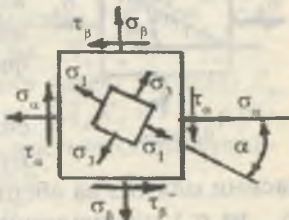
$$\varepsilon_2 = -\frac{0,3}{2 \cdot 10^{-8}} (43025 + 6975) = -7,5 \cdot 10^{-5} \quad (\text{сиқилиш})$$

$$\varepsilon_3 = \frac{1}{2 \cdot 10^{-8}} (6975 - 0,3 \cdot 43025) = -2,97 \cdot 10^{-5} \quad (\text{сиқилиш})$$

Ҳажмнинг нисбий ўзариши:

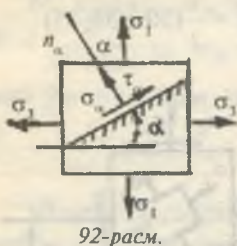
$$\varepsilon_0 = (20,466 - 7,5 - 2,97) \cdot 10^{-5} = 10 \cdot 10^{-5}$$

Тўлиқ потенциал энергияни (3.12) формуладан топамиз:



$$U = \frac{1}{2 \cdot 2 \cdot 10^8} [(43025)^2 + (6975)^2 - 2 \cdot 0,3 \cdot 43025 \cdot 6975]$$

$$U = 24,95 \cdot 10^{-5} \text{ Дж}$$

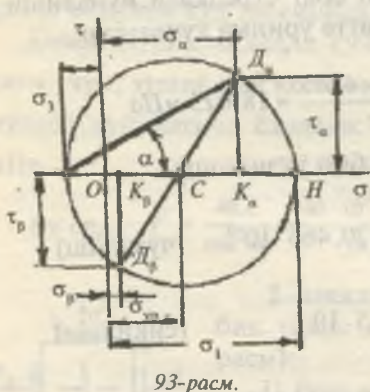


92-расм.

3-масала. Берилган $\sigma_1 = 50 \text{ МПа}$ ва $\sigma_3 = -10 \text{ МПа}$ бош күчланишлари таъсиридаги $\alpha = 30^\circ$ бурчак остида жойлашган қия юзанинг (92-расм) нормал ва уринма күчланишлари график усулда топилсин.

Ечиш. Масалани график усулда ечиш учун Мор доирасини құрамиз. Бунинг учун σ - τ координата системини оламиз ва абсцисса ўқи бүйлаб бош күчланишлар (σ_1 ва σ_3) ни күчланишлар масштабида жойлаштирамиз (93-расм). $\mu_\sigma = 1 \text{ мм} = 1 \text{ мПа}$, яғни 1 мм масофада 1 мПа күчланиш жойлашган деб қабул қылдик.

Демак, $OH = \sigma_1 = 50 \text{ мПа}; \quad OB = \sigma_3 = 10 \text{ мПа}$



93-расм.

σ_1 бош күчланиши чүзувчи бұлғанлиги учун абсцисса ўқининг координата боши О нүктасидан (ұнг) мусбат томонига; σ_3 сикувчи күчланиш бұлғанлиги учун координата ўқини манфий томонига жойлаштирамиз. Натижада Н ва В нүкталар ҳосил бўлади. Қия текисликнинг нормал ва уринма күчланишлари Н ва В нүкталари оралигида топилганлиги учун

күчланишлар доираси ҳам шу нүкталардан ўтади. Доира марказини қўйидагича топамиз:

$$OC = \frac{OH + OB}{2} = \frac{\sigma_1 - \sigma_3}{2} = \frac{50 - 10}{2} = 20 \text{ мПа}$$

Доиранинг радиуси:

$$CH = CB = \frac{HB}{2} = \frac{OH - OB}{2} = \frac{\sigma_1 + \sigma_3}{2} = \frac{50 + 10}{2} = 30 \text{ МПа}$$

С нуқтадан $CH = CB = R = 30$ МПа радиус билан айланы чизамиз. В нуқтадан $\alpha = 30^\circ$ бурчак остида қия кесимни тасвирловчи чизик үтказиб D_a нуқтани топамиз. D_a нуқтадан абсциссага перпендикуляр тушириб K_a нуқтани аниқлаймиз. σ_{α} координата системасида $OD_a = \sigma_{\alpha}$ қия текисликнинг нормал кучланишини ва $D_a K_a = \tau_{\alpha}$ уринма кучланишни беради. CD_a чизигини давом эттириб D_{β} ва кейин K_b нуқталарни, $OK_b = \sigma_{\beta}$ ва $D_b K_b = -\tau_{\beta}$ кучланишларни топамиз. Мор доирасидан топилган кучланишларнинг тұғрилигини текширамиз:

$$\sigma_{\alpha} = \sigma_1 \cos^2 \alpha + \sigma_3 \sin^2 \alpha = 50 \left(\frac{\sqrt{3}}{2} \right)^2 - 10 \left(\frac{1}{2} \right)^2 = 35 \text{ МПа}$$

$$\tau_{\alpha} = \frac{\sigma_1 - \sigma_3}{2} \sin 2\alpha = \frac{50 - (-10)}{2} = \sin 2 \cdot 30^\circ = 30 \frac{\sqrt{3}}{2} = 26 \text{ МПа}$$

$$\sigma_{\beta} = \sigma_1 \sin^2 \alpha + \sigma_3 \cos^2 \alpha = 50 \left(\frac{1}{2} \right)^2 - 10 \left(\frac{\sqrt{3}}{2} \right)^2 = 5 \text{ МПа}$$

3.7. МУСТАҲКАМЛИК НАЗАРИЯЛАРИ [4]

Турли конструкция ва машиналарни ҳисоблашда ёки лойиҳалашда уларнинг элементлари ва деталларида ҳосил бўладиган энг катта кучланиш рухсат этилган кучланишдан ошиб кетмаслиги таъминланиши лозим. Рухсат этилган кучланишни белгилаш учун материалнинг ташқи куч билан юклангандан то емирилиш деформациясигача бўлган оралиқдаги хоссасини үрганиш керак.

Бир ўқли чўзилиш ва сиқилиш, яъни чизиқли кучланиш ҳолатида үтказилган кўп тажрибаларнинг узоқ муддат тўпланган натижалари турли материаллар учун рухсат этилган кучланишлар ҳақида етарли даражада аниқлик билан фикр юритиш имконини беради.

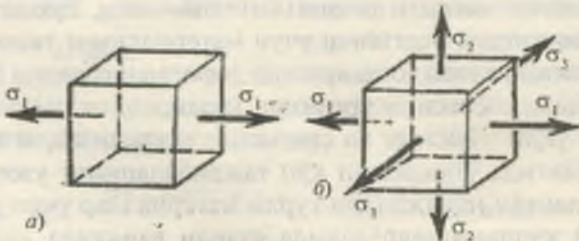
Текис ва ҳажмий кучланиш ҳолатларида бундай фикр юритиб бўлмайди. Бунда деформациянинг ўсиши ва материалнинг емирилиши иккита ёки учта бош кучланишларнинг таъсирида рўй беради, амалда учрайдиган бош кучланишлар сонининг нисбати ҳамда ишоралари чекланмаган даражада хилма-хил бўлиши мумкин. Шунинг учун хавфли ҳолатдаги чегаравий кучланишларни аниқлаш учун тажрибалар ўтказиш жуда қийин.

Мураккаб кучланиш ҳолатини тажриба йўли билан текшириш учун мўлжалланган ҳозирги мавжуд техника во-ситалари бош кучланишларнинг бальзи хусусий нисбатла-ри учунгина тажриба ўтказиш имконини беради.

Юқоридагиларга асосан оддий чўзилиш ва сиқилишда ўтказилган тажрибалар натижаларига асосланниб бирор материал исталган кучланиш ҳолатининг хавфлилик да-ражасини баҳолаш имконини берадиган ҳисоблаш усулини яратиш зарурлигини тақозо қилади.

Бу масала мустаҳкамлик назариялари ёрдамида амалга оширилади. Бу назарияларнинг барчаси куйидаги шартга асосланган: иккита кучланиш ҳолатига тегишли бош кучланишлар пропорционал равишда бир хил миқдорда оширилган, иккаласи бир вақтда чегаравий ҳолатга ўтса, бундай кучланиш ҳолатлари тенг кучланишли ва тенг хавфли ҳисобланади, иккала кучланиш ҳолати учун мустаҳкамликнинг эҳтиёт коэффициенти бир хил.

Тенг хавфли кучланиш ҳолатларидан бири сифатида тажриба йўли билан асосланган чизиқли чўзилиш (94-а расм) бошқаси сифатида хавфли ҳолатни аниқлаш керак бўлган кучланиш ҳолатни (94-б расм) олинади.



94-расм.

Бу иккала ўрганилаётган ҳол учун материалнинг емирилиш ёки чегаравий кучланиш ҳолатига ўтиш сабаби аниқ бўлсагина мумкин бўлади. Лекин материал емирилишининг ҳақиқий сабабини аниқлаш жуда қийин ва у охиригача ҳал қилинмаган масала ҳисобланади. Бу ҳол ягона мустаҳкамлик назариясини яратишга имкон бермайди, на-тижада ҳар бири ўзининг чегаравий кучланиш ҳолатининг пайдо бўлиш сабаби ҳақидаги гипотезасига эга бўлган кўп назариялар юзага келади. Бундай гипотезага асосан зарур ҳисоблаш шартлари ва ўрганилаётган кучланиш ҳолатининг бош кучланишларини чизиқли кучланишдаги бош кучланишлар билан боғловчи формуулалар тузилади.

Биринчи, иккинчи ва учинчи классик мустаҳкамлик назариялари. [4] Энг қадимги назарияларда бўлмиш биринчи мустаҳкамлик назарияси чегаравий қучланиш ҳолати пайдо бўлишига энг катта нормал кучланиш сабаб бўлади деган гипотезага асосланади.

Қабул қилинган гипотезага кўра қуйидаги шарт бажарилиши керак:

$$\sigma_{\max} = \sigma_1 < \sigma_0 \quad (3.13)$$

Бу ерда: σ_1 — текширилаётган кучланиш ҳолати учун бош кучланишлардан энг каттаси; σ_0 — чизиқли чўзиш учун тажрибадан олинган чегаравий кучланиш.

Энг катта нормал кучланиш назариясининг бош камчилиги шундан иборатки, унда бошқа иккита кучланишлар σ_2 , σ_3 ҳисобга олинмайди. Амалда эса бу кучланишлар материал мустаҳкамлигига катта таъсир кўрсатади. Масалан, ҳар томонлама (гидростатик) сиқилишда бўлган цемент кубик мустаҳкамлик чегарасидан бир неча марта катта бўлган кучланишга емирилмасдан чидаш бера олади. Бундай шароитда бошқа материаллар ҳам шундай чидамли бўлади.

Бу назария мўрт материалларни чўзишга синашда тасдиқланади. Мўрт материални чўзганда сезиларли пластик деформация ҳосил бўлмасдан, бир бўлаги қолган бўлагидан ажралади.

Ҳозирги пайтда биринчи назариядан фойдаланилмайди, у фақат тарихий аҳамиятга эга.

Иккинчи мустаҳкамлик назарияси материалда чегаравий кучланиш ҳолати пайдо бўлишига энг катта чўзилиш сабаб бўлади деган гипотезага асосланган.

Бош деформациялар $\varepsilon_1 > \varepsilon_2 > \varepsilon_3$ бўлганида ҳажмий кучланиш ҳолати учун қабул қилинган гипотезага жавоб берувчи умумий шарт қўйидагича ёзилади:

$$\varepsilon_{\max} = \varepsilon_1 < \varepsilon_0 \quad (3.14)$$

Бу ерда: ε_1 — текширилаётган кучланиш ҳолати учун энг катта чўзилишнинг ҳисобий қиймати; ε_0 — бир ўқли чўзилишга синаш тажрибасидан олинган нисбий чўзилишнинг чегаравий қиймати.

ε_1 ва ε_0 ларни аниқлашда маълум Гук қонуни формулалидан фойдаланилади:

$$\varepsilon_1 = \frac{1}{E} [\sigma_1 - \mu(\sigma_2 + \sigma_3)] \text{ (a)} \qquad \varepsilon_0 = \frac{\sigma_0}{E} \text{ (б)}$$

Бунда шартли равишда (а) ва (б) боғланишлар чегаравий кучланиш ҳолати пайдо бўлгунча кучга эга бўлади ва материалнинг сезиларли пластик деформацияларсиз мўрт емирилишига жавоб беради деб ҳисобланади, (а) ва (б) ифодаларни (3.14) шартга қўйиб қўйидаги ифодани ҳосил қиласиз: $\sigma_1 - \mu(\sigma_2 + \sigma_3) < \sigma_0$ (в).

(в) тенгсизлик чап қисми мусбат бўлгандагина кучга эга, бунда у энг катта чўзилишга мос келади, қабул қилинган гипотеза билан бир хил бўлади.

Иккинчи назариянинг биринчисидан афзаллиги шундаки, унда барча бош кучланишлар таъсири ҳисобга олинади.

Мурт материаллар(бетон, тош) нинг босим бериладиган торециларига ёф ёки парафин суртиб, оддий сиқилишда емирилишини бу назария ёрдамида тушунтириш мумкин. Материалда сиқувчи кучларга параллел дарзлар пайдо бўлади ва у емирилади. Бу намуна ўқига перпендикуляр йўналишда материалнинг кенгайишига имкон берувчи чизиқли деформацияларнинг ўсиши билан тушунтирилади.

Биринчи назария каби иккинчиси ҳам тажриба натижалари билан етарли даражада тасдиқланмайди, мўрт ма-

териаллар учун күпроқ қўл келади.

Учинчи мустаҳкамлик назарияси чегаравий кучланиш ҳолати пайдо бўлишига энг катта уринма кучланишлар сабаб бўлади деган гипотезага асосланади. Шунинг учун у энг катта уринма кучланиш назарияси деб аталади.

Пластик деформациялар жараёнида силжиш ва унга мос келувчи уринма кучланишлар ҳам пайдо бўлиши тажриба асосида тасдиқланган, шунинг учун қабул қилинган гипотезани сезиларли пластик деформациялар билан боғлаш мумкин.

Ушбу назариянинг умумий шарти қўйидаги қўринишга эга:

$$\tau_{\max} < \tau_0 \quad (3.15)$$

Бу ерда: τ_{\max} – текширилаётган кучланиш ҳолати учун энг катта уринма кучланишнинг чегаравий қиймати.

Маълумки, ҳажмий кучланишда $\sigma_1 > \sigma_2 > \sigma_3$, бўлганда энг катта уринма кучланиш максимал ва минимал бош кучланишлардаги фарқнинг ярмиси қўйидагича топиласди: $\tau = \max \frac{\sigma_1 - \sigma_3}{2}$ (а).

τ_0 кучланиш қўйидаги тенглиқдан топиласди: $\tau_0 = \frac{\sigma_0}{2}$ (б)

Шундай қилиб (3.15)шартни қўйидагича ёзиш мумкин: $\sigma_1 - \sigma_3 < \sigma_0$ (в).

Учинчи назариянинг асосий камчилиги шундан иборатки, ҳажмий кучланиш ҳолатида σ_2 бош кучланишнинг таъсири ҳисобга олинмайди. Энг катта уринма кучланиш назарияси чўзилишга ҳам, сиқилишга ҳам бир хил қаршилик кўрсатадиган пластик материаллар билан үтказилган тажриба натижаларига мос келади. Бу назария уларнинг мустаҳкамлигини баҳолашда жуда кенг қўлланилади.

Мустаҳкамликнинг энергетик назарияси. Энергетик назария қўйидаги тахминга асосланади: материалнинг чегаравий кучланиш ҳолати пайдо бўладиган пайтда тўпландиган деформация солиштирма потенциал энергиясининг миқдори исталган мураккаб кучланиш ҳолатида ҳам, оддий чўзилишда ҳам бир хилдир.

Бу назариянинг яратилишида даставвал чегаравий кучланиш ҳолати пайдо бўлишига тўла солиштирма потенциал энергиясининг энг катта қиймати сабаб бўлади деган гипотеза асос қилиб олинган ва қуйидагича ёзилади:

$$U < U_0 \quad (3.16)$$

Бу ерда: U — тўла солиштирма энергия, у ҳажмий кучланиш ҳолати учун умумий ҳолда қуйидаги формуладан топилади:

$$U = \frac{1}{2E} [\sigma_1^2 + \sigma_2^2 + \sigma_3^2 - 2\mu(\sigma_1\sigma_2 + \sigma_1\sigma_3 + \sigma_2\sigma_3)] \quad (a)$$

U_0 энергиянинг чегаравий қиймати бўлиб, оддий чўзилишга ўтказилган тажрибадан топилади. Уни топиш формуласи (а) дан унинг ўнг томонини $\sigma_2 = \sigma_3 = 0$ га тенглаб, σ_1 ўрнига чўзилишдаги чегаравий кучланиш қийматини, яъни σ_0 ни қўйиб келтириб чиқарилади.

$$\text{Шундай қилиб, } U_0 = \frac{\sigma_0^2}{2E} \quad (b)$$

(а) ва (б) ларни ҳисобга олганда (2.16) шарт қуйидагича ёзилади:

$$\sqrt{[\sigma_1^2 + \sigma_2^2 + \sigma_3^2 - 2\mu(\sigma_1\sigma_2 + \sigma_1\sigma_3 + \sigma_2\sigma_3)]} < \sigma_0 \quad (v)$$

Лекин юқорида қайд қилинган гипотеза тажрибада тасдиқланмаган, шунинг учун унга асосланган назария амалда қўлланилади.

Бу назария, масалан, ҳар томонлама бўладиган гидростатик босим билан ўтказилган тажрибада тасдиқланмаган, бунда юқорида айтиб ўтилганидек, емирилиш бўлмайди.

Шундай қилиб, ҳар томонлама сиқилиш натижасида ҳажм ўзгаришига мос келувчи энергия мустаҳкамликни белгиловчи критерия бўлмайди.

Таклиф қилинган янги энергетик назарияда чегаравий кучланиш ҳолати пайдо бўлишига барча солиштирма энергия эмас, балки қирраси бирга тенг бўлган куб шаклининг ўзгариши натижасида тўпланадиган солиштирма энергиянинг бир қисми сабаб бўлади деган гипотеза асос

қилиб олинади. Күриниб турибдики, янги энергетик назария фақат пластик деформацияларнинг ўсиши билан боғланади. Матьлумки, пластик деформация жисмнинг шакл ўзгариши билан боғланади. Унинг ҳажм ўзгариши билан боғланмайди.

Ушбу назариядан фойдаланган риоя қилиниши керак бўлган шарт қуидаги тенгизлиқ билан ифодаланади:

$$U_w < U_{ueg} \quad (3.17)$$

Бу ерда: U_w — текширилаётган кучланиш ҳолатида куб шакл ўзгариши билан боғлиқ бўлган энергиянинг ҳисоб қиймати.

U_{ueg} — ушбу энергиянинг оддий чўзилишга ўтказилган тажриба натижасида олинган чегаравий қиймати.

Кучланишнинг умумий ҳоли учун шакл ўзгаришига кетадиган энергияни ҳисоблаш бирмунча қийинчилик туғдиради. Шунинг учун U_w қуидаги ифодадан топилади:

$$U = U_v + U_w \quad (3.18)$$

Унда:

$$U_w = U - U_v \quad (3.19)$$

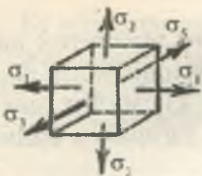
Бу ерда: U — тўла энергия; U_v — ҳажм ўзгаришига сарфланадиган энергия.

Ҳажмий кучланишнинг умумий ҳоли учун деформацияни иккига бўламиш: 1) ҳажм ўзгариши билан боғлиқ бўлган деформация; 2) шакл ўзгаришига мос келувчи деформация.

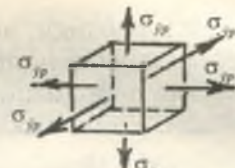
Бунинг учун берилган кучланиш ҳолатини (95-расм) кучланишлар билан аниқланадиган иккита кучланиш ҳолати (96, 97-расм) йифиндиси кўринишида тасаввур этамиз. Дейлиқ, улардан бири гидростатик чўзилишга (сиқилишга) мос келади, бунда кубнинг барча томонларига бир хил ўртача кучланиш таъсир этади:

$$\sigma_{sp} = \frac{\sigma_1 + \sigma_2 + \sigma_3}{3} \quad (r)$$

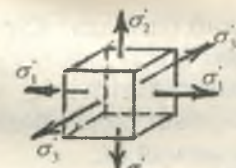
Бунда кубнинг барча қирралари бир хил қийматга ўзгарганлигидан куб шакли ўзгармайди, балки унинг ҳажмигина ўзгаради.



95-расм.



96-расм.



97-расм.

Иккинчи кучланиш ҳолатининг кучланишларини $\sigma'_1, \sigma'_2, \sigma'_3$ лар орқали белгилаймиз. Улар қўйидаги тенгликлардан топилади:

$$\sigma'_1 = \sigma_1 - \sigma_{yp}; \quad \sigma'_2 = \sigma_2 - \sigma_{yp}; \quad \sigma'_3 = \sigma_3 - \sigma_{yp} \quad (\text{д})$$

$\sigma_1, \sigma_2, \sigma_3$ кучланишларда ҳажмнинг ўзгариши нолга тенглигини исботлаш қийин эмас.

Ҳақиқатан ҳам (г) ни ҳисобга олган ҳолда (д) тенглиқдан бу кучланишларнинг қийматларини ҳажмий деформация формуласига қўйиб қўйидагини ҳосил қиласмиз:

$$\begin{aligned} \frac{1-2\mu}{E} (\sigma'_1 + \sigma'_2 + \sigma'_3) &= \\ \frac{1-2\mu}{E} \left(\sigma_1 + \sigma_2 + \sigma_3 - 3 \frac{\sigma_1 + \sigma_2 + \sigma_3}{3} \right) &= 0 \end{aligned} \quad (\text{е})$$

Шунинг учун $\sigma'_1, \sigma'_2, \sigma'_3$ кучланишлардан жисмнинг фақат шакли ўзгаради.

U_v энергияни аниқлаш учун (а) формулага $\sigma_1, \sigma_2, \sigma_3$, U_v кучланишлар ўрнига σ_{yp} ни қўямиз.

У ҳолда $U_v = \frac{1-2\mu}{2E} \cdot 3\sigma_{yp}^2$ (ж) ҳосил бўлади. (ж) ифодага σ_{yp} ўрнига (г) тенглиқдан унинг қийматини қўйиб қўйидаги формулани ҳосил қиласмиз: $U_v = \frac{1-2\mu}{6E} (\sigma_1 + \sigma_2 + \sigma_3)^2$ (з)

(а) ва (з) формулалардан U ва U_v ларнинг қийматларини (3.19)га қўйиб, баъзи ўзgartиришлардан сўнг қўйидагини топамиз:

$$U_u = \frac{1+\mu}{3E} [\sigma_1^2 + \sigma_2^2 + \sigma_3^2 - (\sigma_1\sigma_2 + \sigma_1\sigma_3 + \sigma_2\sigma_3)] \quad (3.20)$$

(3.20) формулани қуйидаги күринишга келтирамиз:

$$U_w = \frac{1+\mu}{6E} \left[(\sigma_1 - \sigma_2)^2 + (\sigma_1 - \sigma_3)^2 + (\sigma_2 - \sigma_3)^2 \right] \quad (3.21)$$

Оддий чұзилиш учун $\sigma_2 = \sigma_3 = 0$ бўлганда (3.21), формулаға биноан қуйидагига эга бўламиз:

$$U_w = \frac{1+\mu}{6E} \cdot 2\sigma_1^2 \quad (3.22)$$

(3.21) ва (3.22) формулаларни ҳисобга олганда (3.17) шарт қуйидагича ёзилади:

$$\left[(\sigma_1 - \sigma_2)^2 + (\sigma_1 - \sigma_3)^2 + (\sigma_2 - \sigma_3)^2 < 2\sigma_0^2 \right] \quad (и)$$

Бу ерда: σ_0 — оддий чұзилишда тажрибада топилган чегаравий кучланиш.

Ушбу назарияда σ_0 — оқувчанлик чегараси σ_{ok} га тенг деб қабул қилинади.

(и) шартга жавоб берадиган ҳисоблаш формуласи қуйидагича ёзилади:

$$\sigma_{wic} = \sqrt{\frac{1}{2} \left[(\sigma_1 - \sigma_2)^2 + (\sigma_1 - \sigma_3)^2 + (\sigma_2 - \sigma_3)^2 \right]} \leq R \quad (3.23)$$

Бу ерда: R — чұзилишдаги ҳисобий қаршилилк.

Текис кучланиш ҳолатида (2.23) формуласидан бош кучланишларни σ_z, σ_y ва τ_{zy} лар орқали ифодалаб қуйидагича ёзамиз:

$$\sigma_{wic} = \sqrt{\left(\frac{\sigma_z + \sigma_y}{2} \right)^2 + 3 \left(\frac{\sigma_z - \sigma_y}{2} \right)^2 + 3\tau_{zy}^2} \leq R \quad (3.24)$$

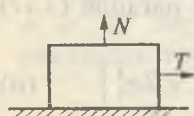
$\sigma_v = 0$ бўлган хусусий ҳол учун $\sigma_z = \sigma$; $\tau_{zy} = \tau$ десак, қуйидагига эга бўламиз:

$$\sigma_{wic} = \sqrt{\sigma^2 + 3\tau^2} \leq R \quad (3.25)$$

Учинчи назария каби энергетик назария ҳам пластик материаллар билан ўтказилган тажрибаларда яхши исботланади ва амалда кенг қулланилади. Юқорида қайд қилинган назариялар материалда пластик деформациялар пайдо бўлиш шароитини белгиловчи критерияларни белги-

лаб беради. Шунинг учун бу назарияларга асосланган (3.15) ва (3.17) тенгсизликлар баъзан пластиклик шартлари деб аталади.

Мор мустаҳкамлик назарияси [4]. Барча материаллар ҳам чўзилиш ва сиқилиш деформациясига бир хил қаршилик кўрсатмаслигини Мор назарияси ҳисобга олади. Бу назария 1882 йилда таклиф этилиб, 1900 йилда ривожлантирилган.



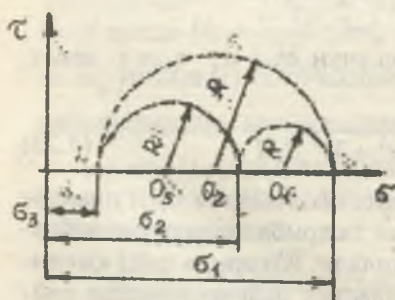
98-расм.

Ички ишқаланиш $T = fN$ материалнинг эластиклик чегарасидан кейин силжиш натижасида содир бўлади. Демак, силжишга кўрсатилган қаршилик фақатгина уринма кучланиш каби нормал кучланишга ҳам боғлиқ бўлади.

Демак, уринма кучланишдан ҳосил бўлган қаршилик кучи жисмнинг сиқувчи нормал кучланиш мавжуд бўлган нуқталарида каттароқ бўлиб, чўзилиш мавжуд бўлган нуқталарида паст бўлдаи. Юқоридаги фикрлаш Мор назариясининг асосини ташкил этади. Уринма кучланишлар, биринчидан, материалнинг ўзаро боғланиши натижасида, иккинчидан эса, биринчи силжиш боғланишдаги емирилиш сабабига боғлиқ.

Юқоридаги хulosаларга асосланниб, умуман, ҳажмий кучланганлик ҳолатини Мор доираси ёрдамида шундай кўрсатиш мумкин ($\sigma_1; \sigma_2; \sigma_3$). Уринма кучланишлар эса штрихланган юзанинг бирорта нуқтасида ифода этилади. Яна шу нарса аниқки, материаллар сиқилиш деформациясига кўрсатадиган қаршилиги чўзилишдаги қийматидан каттароқ бўлади. Мор доирасига кўра мустаҳкам қаршилик кўрсатувчи соҳа қуйидагича бўлади.

Чўзилиш деформациясидан сиқилишга ўтганда қаршилик кўрсатувчи соҳа катталашиди. Демак, Мор назариясига кўра мустаҳкам қаршилик кўрсатувчи соҳа-



99-расм.

ни белгилаш учун сиқилиш соҳасида R_c радиуси билан, чўзилиш соҳасида R радиуси билан айланалар ўтказиб, уларни умумий уринмалар билан туташтирамиз, натижада АМКГД-НА мустаҳкам қаршилик кўрсатувчи соҳа ҳосил бўлади. Демак, Мор назарияси I, II, III мустаҳкамлик назарияларида гидек, $\sigma, \varepsilon, \tau$ (бита) омилга боғлиқ бўлмасдан бир вақтда нормал (σ) ва уринма (τ) кучланишлар таъсирини содир эта олади.

Мор мустаҳкамлик назариясига кўра шарт қўйидагича бўлади.

$$\sigma_1 - v\sigma_3 = (1-v)\frac{\sigma}{2} + (1+v)\sqrt{\frac{\sigma^2}{4} + \tau^2} < \sigma_0^I$$

$$\sigma_3 - v\sigma_1 = (1-v)\frac{\sigma}{2} - (1+v)\sqrt{\frac{\sigma^2}{4} + \tau^2} < \sigma_0^I ; \quad v = \frac{\sigma_0^I}{\sigma_0^{II}}$$

Бу ҳолда: σ_0^I — чўзилишдаги мустаҳкамлик чегараси;

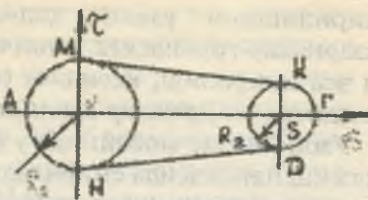
σ_0^{II} — сиқилишдаги мустаҳкамлик чегараси.

Бирлашган мустаҳкамлик назарияси [4]. Ушбу назарияда материалнинг икки хил емирилиши бир-биридан фарқ қилинади: мурт емирилиш — материалнинг узилиши билан содир бўлади, қовушқоқ емирилиш — кесилиш (силжиш) орқали рўй беради.

Узилиш содир бўладиган кучланишни σ_y силжишда рўй берадиган емирилишга мос қелувчи кучланишни τ_{cm} орқали белгилаймиз.

Чўян стерженning буралишдаги емирилиши мурт емирилишга мисол бўла олади. Бунда узилиш бош чўзувчи кучланишлар майдончаси бўйлаб рўй беради. Пластик пўлатдан ясалган валнинг буралишдаги емирилиши қовушқоқ емирилишга мисол бўла олади.

Юқорида айтилганлар асосида биринчи ва иккинчи чегаравий кучланиш ҳолати назарияларини материалнинг



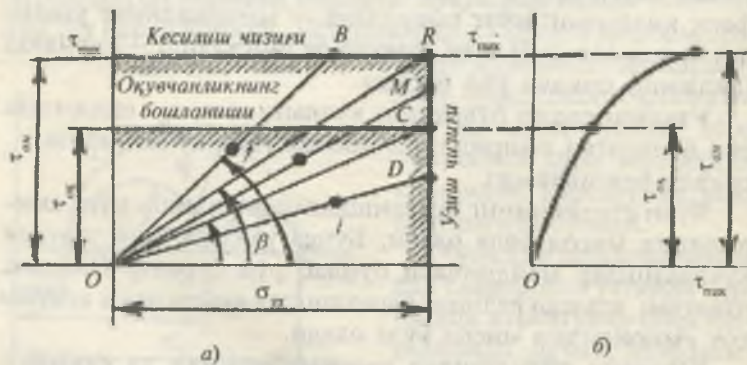
100-расм.

емирилишини узишиш ҳодисаси орқали тушунтирувчи назариялар группасига, учинчи ва энергетик назарияларни эса емирилиш, кесилиш (силжиш) йўли билан содир бўладиган назариялар группасига киритиш мумкин.

Узоқ йиллар мобайнида у ёки бу материал ё узишиш, ё силжиш натижасида емирилади деган тахмин ҳукмрон эди. Бирлашган мустаҳкамлик назариясига кўра бир хил материал узишиш йўли билан ҳам, кесилиш йўли билан ҳам емирилиши мумкин, бу унинг иш шароитига ва кучланиш ҳолатига боғлиқ. Шу гипотеза асосида иккинчи ва учинчи назариялар бирлаштирилади.

Иккита назарияни бундай бирлаштириш механик ҳолат диаграммаси деб аталадиган диаграмма ёрдамида ўрнати-лаётган материалнинг узишишга ҳам, қирқилишга ҳам мустаҳкамлигини текшириш ва мумкин бўлган емирилиш турини аниқлаш имконини беради.

График мазкур диаграмманинг асосий элементи ҳисобланади. Бу графикда τ_{\max} ва σ_{\max} ўқлар системасида тўғри тўртбурчак қурилади, тўртбурчак эса ушбу материал мустаҳкам ҳолатларини чегаралаб туради (101-расм). Бу графикни қуриш тажрибадан аниқланадиган σ_{\max} ва τ_{\max} қийматлар ҳар бир материал учун ўзгармас бўлиб, кучланиш ҳолати турига боғлиқ эмас деган чекланишга асосланади. Бундан ташқари, мазкур графикда материал оқувчанлик ҳолатининг бошланишига мос келувчи тўғри чизиқ ҳам



101-расм.

келтириллади. Бу тұғри чизиқ ҳолати оқувчанлик чегараси $\tau_{\text{ик}}$ б билан белгиланади. У мустаҳкамлық ҳолати соҳасини икки қисмга бұлади, чизиқдан пастда жойлашған қисми эластик деформацияларға, юқори қисми эса пластик деформацияларға тегишли бұлади. 101-б расмда тажриба на-тижалари асосида τ_{max} ва σ_{max} үқлар системасыда қурил-ған эгри чизиқ күрсатылған. Мазкур эгри чизиқда оқув-чанлик чегарасында, яғни пластик деформациялар бошла-нишига ва материалнинг емирилишига мос келувчи нұқталар қайд қилинади. Бу характеристикалардан 101-а расмда күрсатылған графикни куришда фойдаланилади. Би-рор кучланиш ҳолатини текширишда σ_{max} үқи бүйлаб әңг катта чүзүвчи кучланишнинг ҳисобий қиймати қўйи-лади, бу қиймат эса иккінчи назарияга кура қуидаги формуладан аниқланади:

$$\sigma_{\text{max}} = Es_1 = \sigma_1 - \mu(\sigma_2 + \sigma_3) \quad (\text{a})$$

τ_{max} үқи бүйлаб учинчи назарияга мувофиқ

$$\tau_{\text{max}} = \frac{\sigma_1 - \sigma_3}{2} \quad (\text{б})$$

формула асосида аниқланадиган әңг катта уринма кучла-нишнинг ҳисобий қиймати қўйилади. Шундай қилиб, ҳар бир кучланиш ҳолати графикда маълум $m = \frac{\tau_{\text{max}}}{\sigma_{\text{max}}}$ координа-талар нисбатига teng нұқта билан, 1,2 ёки 1 нұқталар билан тасвирланади (101-а расм). Мазкур нисбат m кучланиш ҳола-тининг асосий характеристикаси ҳисобланади, $m = \text{const}$ бўлганда кучланиш интенсивлигини ўзгартириб, координа-та үқлари бошидан чиқувчи ҳамда σ_{max} үқига α бурчак ости-да оғган (бу бурчакнинг тангенси m га teng) нур оламиз. Бу нурни ўтқазишида у пластик деформациялар соҳасига ўтган-да ҳам, яғни материал емириладиган пайтгача түғрилигича қолади, деган иккінчи чекланишга асосланилади.

Савол ва топшириқлар

1. Кучланғанлик ҳолатларининг турларини айтинг.
2. Чизиқли кучланғанлик ҳолатида нормал кучланиш фор-муласини ёзинг.

3. Чизиқли кучланганлик ҳолатида уринма кучланиш формуласини ёзинг.

4. Уринма кучланишларнинг жуфтлик аломати нима?

5. Текис кучланганлик ҳолатида нормал кучланиш формуласини ёзинг.

6. Текис кучланганлик ҳолатида уринма кучланиш формуласини ёзинг.

7. Ҳажмий кучланганлик ҳолатида Гук қонунини ёзинг.

8. Қачон кубикнинг ҳажм үзгариши содир бўлади?

9. Қачон кубикнинг шакл үзгариши содир бўлади?

10. Гук ҳажмий қонунини ёзинг.

11. Биринчи мустаҳкамлик назариясини таърифланг.

12. Иккинчи мустаҳкамлик назариясини таърифланг.

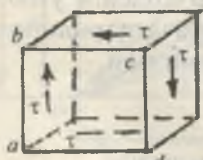
13. Учинчи мустаҳкамлик назариясини таърифланг.

14. Туртинчи мустаҳкамлик назариясини таърифланг.

IV БОБ СИЛЖИШ

Амалиётда болтли, парчин михли, пайвандли бирикмалар ва ҳ.к.лар силжиш деформациясига учрайди. Оддий чўзилиш ёки сиқилишда бўлган стерженнинг қия текислигига нормал ва уринма кучланишлар ҳосил бўлиб, бу кучланишлар таъсирида стерженда узайиш ёки силжиш содир булишини кўриб чиқсан эдик. Силжиш деформациясини ўрганиш учун шундай юзаларни танлаш керакки, бу юзаларда нормал кучланишлар нолга teng бўлиб, фақат уринма кучланишлар таъсир қилсин.

Фақат уринма кучланишлар таъсирида бўлган элементнинг кучланганлик ҳолатига соғ силжиш дейилади.



Соғ силжишга ишлайдиган кубикнинг қирралари уринма кучланишлар таъсирида шу кучланишлар йўналиши бўйича деформацияга учрайди.

102-расм.

4.1. Соф силжишда кучланиш ва деформация

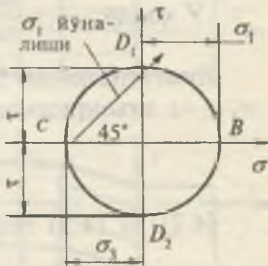
Үзаро перпендикуляр ab ва bc қирраларга тeng va қара-ма-қарши томонларга йұналған уринма кучланишлар таъсиридаги кубикни ўрганайлик (102-расм). Кубикнинг $abcd$ фасад юзасида нормал va уринма кучланишлар таъсир қилмасин. Унда $abcd$ юза бош юза булиб, бу юзадаги бош нормал кучланиш нолга тeng. Демак, кубикнинг учта үзаро перпендикуляр юзаларидан иккитаси кучланишлар таъсирида, битта фасад юзаси эса ҳар қандай кучланишлар таъсиридан озод экан. Шунинг учун кубикнинг кучланғанлик ҳолати текис кучланғанлик ҳолатига тұғри келади.

Кубикнинг вертикал қиррасига $\sigma_a = 0$; $\tau_a = \tau$; горизонтал қиррасига $\sigma_b = 0$ va $\tau_b = -\tau$ таъсир қилаётгандык кучланиш ёрдамида Мор доирасидан фойдаланыб $abcd$ бош юзадан бошқа юзадаги бош кучланишларни топамиз. σ - τ координата системасида $OD_1 = \tau_a = \tau$ кучланишни τ үқи бүйлаб юқорига ва $OD_2 = \tau_b = -\tau$ кучланишни τ үқи бүйлаб пастта жойлаштирамиз.

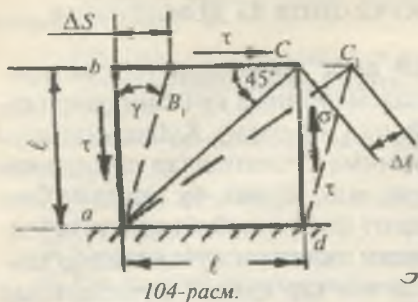
D_1 va D_2 нүкталар координата маркази О нүктадан бир хил масофада жойлашғанлиги учун Мор доирасининг радиуси $OD_a = \tau$ таңг бұлади. Мор доираси абсцисса үқини $OB = \tau$ va $OC = -\tau$ масофаларда кесиб үтади. Шунинг учун $OB = \tau = \sigma_1$ va $OC = -\tau = \sigma_3$; $\sigma_2 = 0$

Бош нормал кучланиш σ , нинг йұналиши доирада CD_1 чизик билан күрсатилған va bc юзанинг нормали билан 45° бурчак остида жойлашған (103-расм). Кубикдан ажратилған элемент σ_1 таъсирида bd диагонал бүйлаб чүзилади; σ_3 таъсирида эса ac диагонал бүйлаб сиқилади. Демак, соф силжиш үзаро тенг құзувчи va сиқувчи бош нормал кучланишларға эквивалент экан. Шунинг учун силжиш деформациясыда материал құзилиш ва сиқилишта ҳам учрайди (104-расм).

Силжишда деформацияни ўрганиш учун $abcd$ қирралы кубикнинг ad қиррасини таянчға тираб қўямиз (104-расм).



103-расм.



Уринма күчланиш таъсирида bc қирра ΔS масофага силжиди. ΔS — абсолют силжиш. $abcd$ элемент қийшик бўлади, ab ва cd қирралар γ бурчакка огади, γ бурчак нисбий силжиш. Элементнинг деформацияси эластик бўлганлиги учун γ бурчак кичик миқдордир.

Схемадан:

$$\operatorname{tg} \gamma = \gamma = \frac{\Delta S}{\ell} \quad (4.1)$$

ac диагоналнинг абсолют узайиши:

$$C_1 C_2 = \Delta \ell = \Delta S \cdot \cos 45^\circ$$

Нисбий узайиши: $\varepsilon = \frac{\Delta \ell}{\ell} \sin 45^\circ$

$$\text{У ҳолда: } \varepsilon = \frac{\Delta S}{a} \cos 45^\circ \cdot \sin 45^\circ \text{ ёки } \varepsilon = \frac{\gamma}{2} \quad (4.2)$$

Диагоналнинг бош нормал күчланишлар $\sigma_1 = \tau$ ва $\sigma_3 = -\tau$ таъсиридаги нисбий узайиши қуидагича топилади:

$$\varepsilon = \varepsilon_1 = \frac{\sigma_1}{E} - \mu \frac{\sigma_3}{E} = \frac{\tau}{E} (1 + \mu) \quad (4.3)$$

(4.2) ва (4.3) тенгликларни ўзаро солиштириб:

$$\tau = \frac{E}{2(1 + \mu)} \cdot \gamma$$

формулани ҳосил қиласиз. Бу ерда:

$$G = \frac{E}{2(1 + \mu)} \quad (4.4)$$

силжиш модули деб қабул қилинса, формула

$$\tau = \gamma G \quad (4.5)$$

силжишда Гук қонунини ҳосил қиласи. Шундай қилиб, нисбий узайиш ва уринма күчланиш силжишда ўзаро про-

порционал боғланишда бўлади. Кўндаланг кесим юзаси А бўлган бруслар F силжитувчи куч таъсирида бўлсин (105-расм). Бруслар силжиши чизмада кўрсатилган. Агар, брусларни m — таъсилик билан кесиб, бир бўлагини ташлаб юборсак, ажратиб қолдирилган қисмининг мувозанати бузилади. Бруслар ташлаб юборилган қисмининг ажратиб олинган бўлагига таъсирини τ_{xy} куч интенсивлиги билан белгилаймиз. Бу кучларнинг тенг таъсир қилувчисини кўндаланг куч Q_y билан алмаштирасак, брусларни ажратиб олинган бўлагининг мувозанат шарти қўйидагича ёзилади:

$$\sum Y = Q_y - F = 0 \quad \text{ёки} \quad Q_y = \tau_{xy} \cdot A = F$$

$$\tau_{xy} = \frac{F}{A}$$

Бу ердан силжишда уринма кучланиш формуласини хосил қиласиз. Силжишда Гук қонуни элементнинг ўлчамлари билан ифодаланиши мумкин:

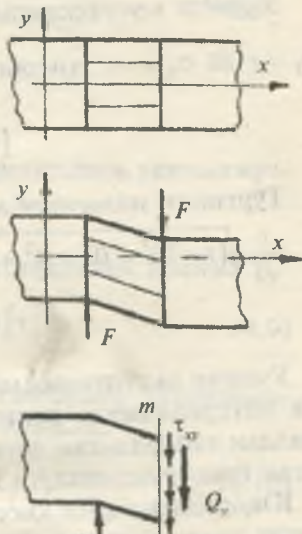
$$\Delta S = \frac{Q\ell}{GA} \quad (4.6)$$

Эластик силжишда кўндаланг куч Q нинг бажарган иши қўйидаги формула билан топилади:

$$A_{int} = \frac{Q \cdot \Delta S}{2} = \frac{Q^2 \ell}{2GA} = \frac{\tau^2 A \ell}{2G} \quad (4.7)$$

Силжитувчи куч статик характеристда бўлса, бажарилган иш миқдор жиҳатдан силжиш деформациясининг потенциал энергиясига тенг бўлади:

$$A_{int} = U = \frac{Q^2 \ell}{2GA} \quad (4.8)$$



105-расм.

4.2. СОФ СИЛЖИШДА РУХСАТ ЭТИЛГАН КУЧЛАНИШ

Лаборатория шароитида соф силжишни ҳосил қилиш мураккаб бўлганлиги учун рухсат этилган кучланиши турли мустаҳкамлик назариялари асосида танлаймиз.

Биринчи мустаҳкамлик назарияси бўйича, $\sigma_1 \leq [\sigma]$, шартга кўра, $\sigma_1 = \tau$ бўлса, соф силжишда $[\tau] = [\sigma]$ ҳосил бўлади.

Иккинчи мустаҳкамлик назарияси:

$$\sigma_1 - \mu(\sigma_2 + \sigma_3) \leq [\sigma]$$

Бу ерда: $\sigma_1 = \tau$ ва $\sigma_3 = -\tau$; $\sigma_2 = 0$

У ҳолда: $\tau - \mu(-\tau) \leq [\sigma]$, ёки $\tau \leq \frac{\sigma}{1 + \mu}$

Бу ерда: $[\tau]^{\prime\prime} = \frac{\sigma}{1 + \mu}$

Учинчи мустаҳкамлик назарияси: $\sigma_1 - \sigma_3 \leq [\sigma]$. Агар $\sigma_1 = \tau$ ва $\sigma_3 = -\tau$ ҳисобга олинса, $\tau + \tau \leq [\sigma]$ ёки

$$[\tau]^{\prime\prime\prime} = \frac{[\sigma]}{2}$$

Тўртинчи назарияга асосан:

$$\frac{1}{\sqrt{2}} \sqrt{(\tau - 0)^2 + (0 + \tau)^2 + (\tau + \tau)^2} = 3\sqrt{\tau} \leq [\sigma] \quad \text{ёки}$$

$$[\tau]^{\prime\prime\prime} = \frac{[\sigma]}{3}$$

Учинчи ва тўртинчи назариялар бўйича ҳисоблаш плас-тик материалларга: иккинчи назария бўйича мўрт материалдан тайёрланган деталлар учун ва силжишга ишлайдиган конструкцияларга татбиқ этилади.

Юқоридагиларни ҳисобга олиб умумий ҳолда уринма рухсат этилган кучланиш қўйидагича қабул қилинади.

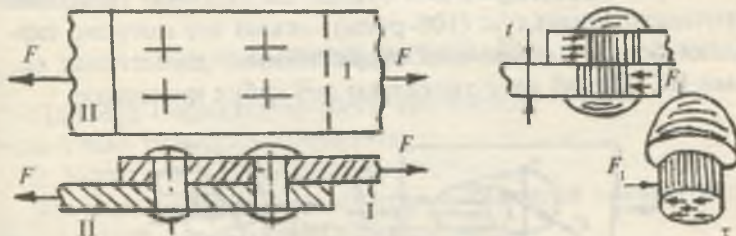
Мўрт материаллар учун: $[\tau] = (0,8 \dots 1,0)[\sigma]$

Пластик материаллар учун: $[\tau] = (0,5 \dots 0,6)[\sigma]$

4.3. ПАРЧИН МИХЛИ БИРИКМАЛАРНИ ҲИСОБЛАШ

Оддий парчин михли бирикмани ўрганайлик (106-расм).

Хар бир парчин михга ўзаро тенг ва қарама-қарши йўналган кучлар таъсир қиласди: $F_1 = \frac{F}{n}$ кучлари парчин михни қирқишига ҳаракат қиласди. Қирқувчи куч F_1 қирқиши юзаси $A_{k1} = \pi d^2 / 4$ га параллел йўналади. Шунинг учун қирқилиши юзасида уринма кучланишлар ҳосил бўлади. т парчин михни қирқилиш юзасида тенг тарқалади.



106-расм.

У ҳолда: $\tau = \frac{F_1}{\pi \cdot d^2} = \frac{4F}{n \cdot \pi \cdot d^2}$ қирқилишдаги уринма кучланиш формуласи ҳосил бўлади.

Парчин михни қирқилишга мустаҳкамлик шарти:

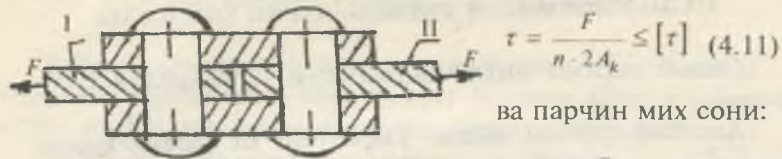
$$\tau = \frac{F}{nA_k} = \frac{4F}{n \cdot \pi \cdot d^2} \leq [\tau] \quad (4.9)$$

Парчин михни диаметри берилган бўлса, бирикмадаги парчин михлар сони топилиши мумкин:

$$n \geq \frac{4F}{\pi \cdot d^2 [\tau]} \quad (4.10)$$

Агар I ва II элементлар устқўйма орқали бириктирилса, бундай бирикма учма-уч бирикма дейилади.

Бу ҳолатда парчин мих икки қирқимли бўлади. Икки қирқимли парчин мих учун мустаҳкамлик шарти:



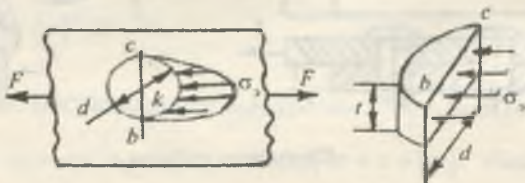
107-расм.

$$\tau = \frac{F}{n \cdot 2A_k} \leq [\tau] \quad (4.11)$$

ва парчин мих сони:

$$n \geq \frac{F}{2A_k \cdot [\tau]} \quad (4.12)$$

Уланувчи I ва II элементларни парчин михга босими таъсирида парчин мих ўрнининг деворида ярим цилиндрик юза бўйлаб эзилиш бўлади. Элементларнинг парчин михга ярим цилиндрик юза бўйлаб босимининг тарқалиш қонунияти номаълум (108-расм), лекин шу ҳотекис тарқалган босим парчин мих стерженининг диаметриал кесими ВС бўйлаб тенг тарқалган деб қабул қилинади.



108-расм.

ВС диаметриал кесимда ҳосил бўлган эзилишдаги нормал кучланиш тахминан К нуқтадаги кучланишга тенг ва қўйидагича топилади: $\sigma_s = \frac{F}{ntd}$ ва мустаҳкамлик шарти:

$$\sigma_s = \frac{F}{ntd} \leq [\sigma], \quad (4.13)$$

$[\sigma]_s = [2...2,5] \cdot [\sigma]$ — эзилишга рухсат этилган кучланиш.

(4.13) шартидан парчин михлар сони топилиши мумкин:

$$n \geq \frac{F}{dt[\sigma]_s} \quad (4.14)$$

Уланувчи элементларда парчин мих ўрнининг (тешик) тайёрланиши уларнинг кўндаланг кесимини заифлашти-

ради. Натижада элементларни чўзи-
лиш ва сиқилишга мустаҳкамлиги
пасаяди.

Элементни заифлашмаган кеси-
мининг эни b бўлса, чўзилиш ёки
сиқилишга мустаҳкамлик шарти
қўйидагича ёзилади:

$$\sigma = \frac{F}{t(b - md)} \leq [\sigma] \quad (4.15)$$

t — заифлашган кўндаланг кесимдаги парчин мих ўрни
сони.

4.4. ПАЙВАНД БИРИКМАЛАР

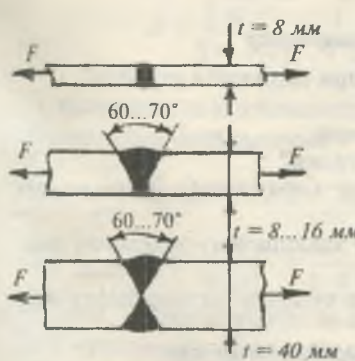
Пайванд бирикмалар икки хил бўлади:

1. Учма-уч пайванд бирикма.
2. Устма-уст пайванд бирикма.

Учма-уч пайванд бирикмалар уланадиган элементлар
қалинлигига қараб ҳар хил бўлади.

Учма-уч пайванд бирикма чўзилиш ёки сиқилишга
ишлайди. Чокнинг мустаҳкамлиги қўйидагича ҳисобланади:

$$\sigma = \frac{F}{t \cdot \ell} \leq [\sigma]_{r.c} \quad (4.16)$$



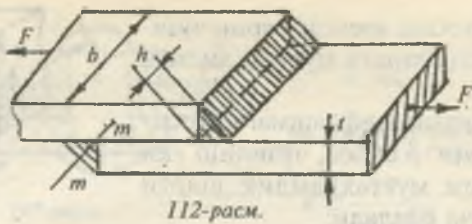
110-расм.

Бу ерда:
 $[\sigma]_r = (0,6...0,8)(\sigma)$ — чок ма-
териали учун чўзилишга рух-
сат этилган кучланиш;

$[\sigma] = (0,75...0,9)(\sigma)$ — чок
материали учун сиқилишга
рухсат этилган кучланиш. ℓ —
чокнинг узунлиги.



111 -расм



Устма-уст пайвандлашда чок валик шаклида бўлади (112-расм.).

Валикли чок $m - m$ кесим бўйича емирилиши мумкин, чунки бу текисликда уринма кучланиш энг катта қийматга эришади. Устма-уст пайвандлашда ташқи куч — F пастки ва юқори чокларга таъсир қиласди.

У ҳолда уринма кучланиш қўйидагича топилади: $\tau = \frac{F}{2A_m}$

Бу ерда: $A_m = h\ell = 0,7t \cdot \ell$ — чокнинг юзаси. Устма-уст пайвандлашда мустаҳкамлик шарти:

$$\tau = \frac{F}{1,4t \cdot \ell} \leq [\tau] \quad (4.17)$$

(4.17) формуладан пайвандланадиган деталнинг қалинлиги (t) ёки пайванд бирикманинг узунлиги — (ℓ) аниқланиши мумкин.

$$t = \frac{F}{1,4\ell[\tau]}$$

Савол ва топшириқлар

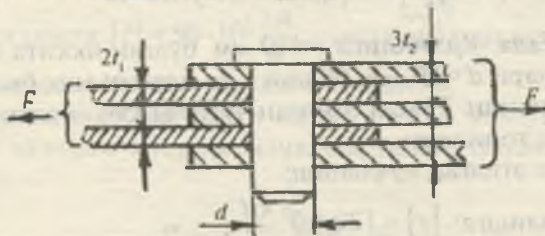
1. Қандай конструкция қисмлари силжишга учрайди?
2. Соф силжиш нима?
3. Силжишда Гук қонунини ёзинг.
4. Силжиш модули қандай катталик?
5. Парчин михли бирикманинг қирқилишга мустаҳкамлик шартини ёзинг.
6. Парчин михли бирикманинг эзилишга мустаҳкамлик шартини ёзинг.
7. Парчин михли бирикманинг чўзилиш ва сиқилишга мустаҳкамлик шартини ёзинг.
8. Пайванд бирикмаларнинг турларини айтинг.
9. Устма-уст пайвандлашда чокни мустаҳкамлик шартини ёзинг.

1-масала. Болтли бирикмадаги пұлатдан тайёрланған валик орқали 480 кН күч узатилади. Валикнинг қирқилишга ва эзилишга мустаҳкамлик шартидан фойдаланиб, унинг диаметрини ва уланувчи элементлари үлчамлари топилсін.

Рухсат этилган күчләниш: қирқилишга — $[\tau] = 95 \cdot 10^3 \frac{\text{кН}}{\text{м}^2}$; эзилишга — $[\sigma] = 95 \cdot 10^3 \frac{\text{кН}}{\text{м}^2}$ ва чўзилишга — $[\sigma] = 160 \cdot 10^3 \frac{\text{кН}}{\text{м}^2}$

Ечиш. Болтли бирикмани мустаҳкамлик шартидан фойдаланиб валикнинг диаметрини топамиз:

$$\tau = \frac{F}{4A} \leq [\tau]$$



113-расм.

Бу ерда: $A = \frac{\pi \cdot d^2}{4}$ — валикнинг битта қирқилиш юзаси, 4 — қирқилиш юзалари сони.

У ҳолда валикнинг диаметри:

$$d = \sqrt{\frac{4 \cdot F}{4 \cdot \pi [\tau]}} = \sqrt{\frac{480}{3,14 \cdot 95 \cdot 10^3}} = 40 \text{ мм}$$

t_1 қалинликдаги элементларнинг эзилишга мустаҳкамлик шартидан фойдаланиб t_1 қалинликни топамиз:

$$\sigma_s = \frac{F}{nd} \leq [\sigma]$$

Бу ерда: $t_1 = \frac{F}{2d[\sigma]} = \frac{480}{2 \cdot 0,04 \cdot 250 \cdot 10^3} = 0,024 \text{ м}$. Иккита

бир хил t_1 қалинликдаги ва эни бир хил бўлган элементларни чўзилишга мустаҳкамлик шартидан фойдаланиб b ни топамиз:

$$\sigma = \frac{F}{2t_1(\sigma - md)} \leq [\sigma], \text{ бу ерда: } m = 1$$

$$\text{У ҳолда: } b = \frac{F}{2t_1[\sigma]} + d = \frac{240}{160 \cdot 10^3 \cdot 0,024} + 0,04 = 0,1025 \text{ м}$$

Бирикмадаги қолган 3 та элементтинг қалинлиги $-t_2$ ни топамиз:

$$\sigma = \frac{F}{3t_2(\sigma - md)} \leq [\sigma]$$

Бу ерда:

$$t_2 = \frac{F}{3(b-d)[\sigma]} = \frac{480}{3(0,1025 - 0,04) \cdot 160 \cdot 10^3} = 0,016 \text{ м}$$

2-масала. Қалинлиги $t=10 \text{ мм}$ бўлган иккита элемент диаметрлари $d=20 \text{ мм}$ бўлган 6 та парчин мих билан устма-уст уланган. Рухсат этилган чўзувчи куч ва элементларнинг эни топилсин.

Рухсат этилган кучланиш:

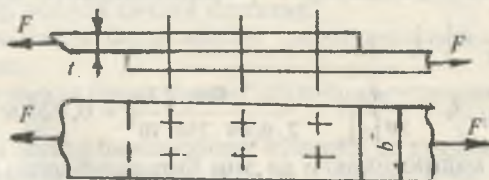
$$\text{қирқилишга: } [\tau] = 120 \cdot 10^3 \frac{\kappa H}{m^2};$$

$$\text{эзилишга: } [\sigma] = 320 \cdot 10^3 \frac{\kappa H}{m^2} \text{ ва}$$

$$\text{чўзилишга: } [\sigma] = 160 \cdot 10^3 \frac{\kappa H}{m^2}$$

Ечиш. Қирқилишга мустаҳкамлик шартидан рухсат этилган куч:

$$[F] = \frac{n\pi \cdot d^2 [\tau]}{4} = \frac{6 \cdot 3,14 \cdot 4 \cdot 10^{-4} \cdot 120 \cdot 10^3}{4} = 226 \kappa H$$



114-расм.

Эзилишга мустақамлик шартидан рухсат этилган күч: $[F] = ntd[\sigma] = 6 \cdot 0,01 \cdot 0,02 \cdot 320 \cdot 10^3 = 384 \text{ kN}$. Рухсат этилган күчлардан бириңисини қабул қиласыз, чунки парчин михли бирикмани иккала мустақамлик шарти ҳам бажарилади. Уланувчи элементларнинг энини топамиз.

$$b = \frac{F}{[\sigma] \cdot t} + md = \frac{226}{160 \cdot 10^3 \cdot 0,01} + 2 \cdot 0,02 = 0,18 \text{ m}$$

3-масала. Кесимнинг ўлчамлари 10×80 ва 10×100 мм бўлган иккита листлар устма-уст пайвандланган. Пайванд бирикма F күч билан чўзилади. Чўзилишга $[\sigma] = 160 \cdot 10^3 \frac{\text{kH}}{\text{m}^2}$ ва қирқилишга $[\tau] = 90 \cdot 10^3 \frac{\text{kH}}{\text{m}^2}$ рухсат этилган кучланишлар ёрдамида чокнинг узунлиги топилсин.

Кўндаланг кесим юзаси кичик бўлган уланувчи элементни чўзишга мустақамлик шартидан чўзувчи кучни топамиз:

$$\sigma_{\max} = \frac{F}{b \cdot t} \leq [\sigma] \text{ ва}$$

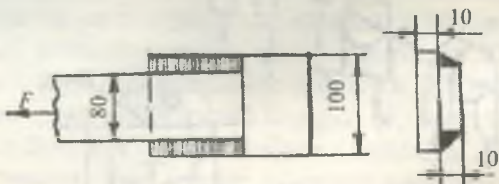
$$F = b \cdot t [\sigma] = 0,08 \cdot 0,01 \cdot 160 \cdot 10^3 = 128 \text{ kN}$$

Пайванд бирикманинг қирқилишга мустақамлик шартидан чокнинг узунлигини топамиз:

$$\ell_p = \frac{F}{1,4t[\tau]} = \frac{128}{1,4 \cdot 0,01 \cdot 90 \cdot 10^3} = 0,102 \text{ m}$$

Чокнинг тўлиқ узунлиги:

$$\ell = \ell_p + 5 \cdot 10^{-3} \cdot 2 = 0,112 \text{ m}$$



115-расм.

В БОБ БУРАЛИШ

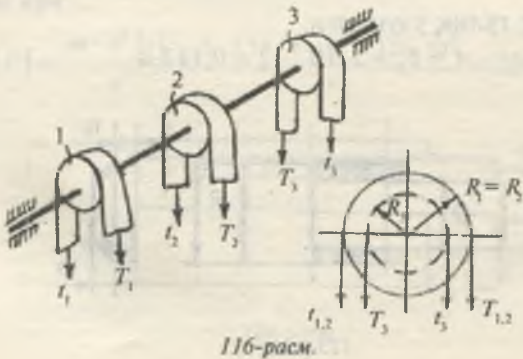
Стерженнинг бўйлама ўқига перпендикуляр текисликда жуфт куч моменти таъсир қилса, буралиш деформацияси ҳосил бўлади.

Буралиш деформацияси турли вал ва ўқларнинг, фазовий конструкцияларнинг, элементларнинг ишлаш жараёнида учрайди. Буралиш, асосан, буровчи момент таъсирида келиб чиқади.

Буралиш деформациясининг тавсифи кўп жиҳатдан бураладиган конструкция кесим юзасининг шаклига боғлиқ. Техникада кўпинча кесим юзаси доиравий ёки ҳалқасимон бўлган элементлар учрайди.

5.1. БУРОВЧИ МОМЕНТ ҲАҚИДА ТУШУНЧА

Ременлар ўрнатилган шкивлар билан юклangan доиравий кесимли стерженнинг мувозанат ҳолатини текширамиз (116-расм). Шкивлар билан стерженнинг айланиши натижасида ременларда тортишиш кучлари (t_1 , ва T_1 ; t_2 , ва T_2 ; t_3 , ва T_3) ҳосил бўлади. Етакловчи ременнинг тортишиш кучи T етакланувчи ременни тортишиш кучидан t икки баробар катта бўлади, яъни $T=2t$. Тортишиш кучларининг стержень кесимининг марказига нисбатан моментлари: $M_1 = T_1 R_1 - t_1 R_1 = t_1 R_1$, $M_2 = t_2 R_2$ ва $M_3 = t_3 R_3$ билан ифодаланган схема 117-расмда кўрсатилган.



R_1 , R_2 ва R_3 — тегишили I, 2 ва 3 шкивларнинг радиуслари.

M_1 , M_2 ва M_3 — стерженга қўйилган ташқи моментлар.

Ихтиёрий кесимдаги буровчи моментни топиш учун стерженни шу кесимдан икки булакка қирқамиз ва ҳар бир булакка $M_x = M_\delta$ буровчи моментларини қўямиз. Масалан, 117-расмда кўрсатилган ҳол учун (II-II кесим) чап қисмнинг мувозанат тенгламасидан қўйидаги ифодани топамиз:

$$\Sigma M_x = M_1 - M''_1 = 0 \quad \text{ёки } M''_1 = M_1$$

III-III кесимдаги буровчи моментни топамиз:

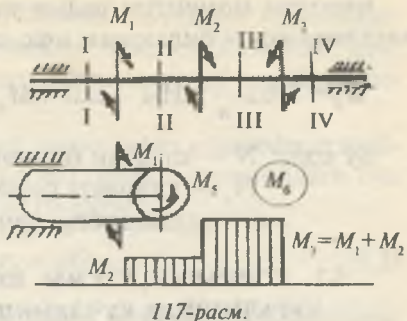
$$\Sigma M_x = M_1 + M_2 - M''_\delta = 0 \quad \text{ёки } M''_\delta = M_1 + M_2$$

IV-IV кесимдаги буровчи момент:

$$\Sigma M_x = M_1 + M_2 - M_3 - M''_{\delta IV} = 0$$

$$\text{ёки } M''_{\delta IV} = M_1 + M_2 - M_3$$

Демак, стержень кесим юзасида ҳосил буладиган буровчи момент M_δ кесилган кесим юзасига нисбатан бир томонда жойлашган ташқи моментларнинг алгебраик йиғиндисига тенг экан. Стерженning ажратиб олинган булагидаги ташқи момент, кесилган кесим юзасининг марказига нисбатан соат стрелкаси йўналиши бўйича ҳаракат қиласа, M_δ ишораси мусбат қабул қилинади. Юқоридаги ҳисобларга кўра стерженнинг узунлиги бўйлаб буровчи моментнинг қиймати ўзгариб боради. M_δ нинг бу ўзгариш графикаси буровчи момент эпюраси дейилади. (117-расм). Буровчи моментнинг мусбат ишорали қиймати 0 — 0 чизиқнинг юқори томонига, манфийлари паст томонига қўйилади.



Буровчи моментни вални узатаётган қуввати ва айланышлари сони билан ҳам ифодалаш мумкин:

$$M_{\delta} = 7162 \frac{N}{n} \text{ Нм} \quad \text{ёки} \quad M_{\delta} = 9736 \frac{N}{n} \text{ Нм} \quad (5.1)$$

Бу ерда: N — от кучи бирлигидаги қувват;

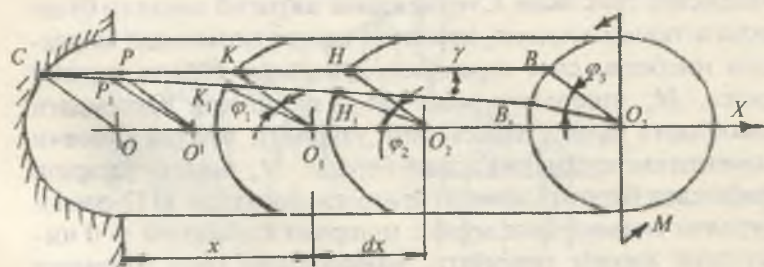
N — киловатт бирлигидаги қувват;

n — валнинг бир минутдаги айланышлари сони.

5.2. ДОИРАВИЙ КЕСИМ ЮЗАЛИ БРУСЛАРНИНГ БУРАЛИШИДА КУЧЛАНИШ ВА ДЕФОРМАЦИЯ

Бир учи қистириб маҳкамланган, эркин учига M - жуфтукч моменти қўйилган бруснинг буралишини кўриб чиқамиз. Буровчи момент таъсирида бруснинг сиртига ўтказилган СВ тўғри чизиқ, бруснинг бурилишида СВ, ҳолатини эгаллайди. СВ тўғри чизиқдаги K; H ва B нуқталар K₁, H₁ ва B₁ ҳолатларга ўтади. Натижада бруснинг қистириб қўйилган кесимидан X масофадаги кесими φ₁ бурчакка, кейинги кесими φ₂ = φ₁ + dφ бурчакка ва жуфтукч моменти қўйилган кесим φ₃ = φ₂ + dφ бурчакка буралади (118-расм).

Тажрибалар шуни кўрсатадики, брус буралганидан кейин кўндаланг кесим юзалари текислигича қолади, улар орасидаги масофа деярли ўзгармайди; исталган кесим юзасида ўтказилган радиус эгринаммайди. Бундай буралиш брус кўндаланг кесим юзаларининг бир-бирига нисбатан силжишлари натижаси деб қаралади. Бунинг натижасида брус кўндаланг кесим юзаларида фақат уринма



118-расм.

кучланиш пайдо (119-расм) бўлади. Бруснинг буралишида бўйлама толалар чузилмайди ҳам, сиқилмайди ҳам. Шунинг учун бруснинг кўндаланг кесимида нормал кучланишлар пайдо бўлмайди.

Брус ихтиёрий кесимнинг марказидан ρ масофада жойлашган нуқталарнинг уринма кучланиши силжишдаги Гук қонунига асосан топилади (119-расм):

$$\tau_{\rho} = \gamma G \quad (5.2)$$

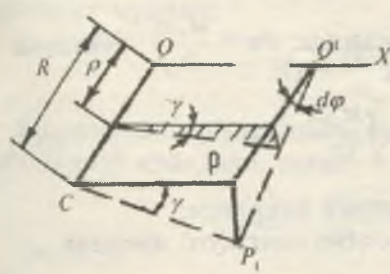
Бу ерда: $\gamma = \frac{\rho \cdot d\varphi}{dx}$ (119-расм) брус кесим юзасининг марказидан ихтиёрий (ρ) масофада ётувчи толаси учун силжиш бурчаги бўлиб, брус сиртида ётувчи толанинг силжиш бурчаги $\gamma = \frac{PP_1}{PO} = \frac{Rd\varphi}{dx}$ асосида топилади. Унда кесим юзасининг иккита нуқтаси учун:

$$\tau_{\rho} = G\rho \frac{d\varphi}{dx} \quad (5.3)$$

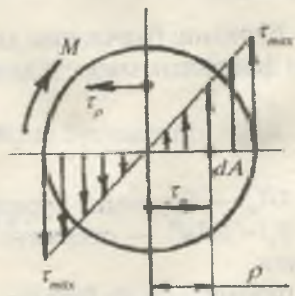
ва $\tau_{\max} = GR \frac{d\varphi}{dx}$ уринма кучланиш формулалари ҳосил бўлади.

Демак, кесим юзасининг нуқталаридаги кучланишлар шу нуқталардан брус ўқигача бўлган масофага пропорционал ўзгарар экан. Ҳосил бўлган формуладан $G \frac{d\varphi}{dx} = \text{const}$ бўлса, кучланиш фақат ρ масофага боғлиқ бўлади.

Агар: $\rho = 0$ бўлса, $\tau_{\rho} = 0$ ва $\rho = \rho_{\max}$ бўлса, $\tau = \tau_{\max}$ бўлади.



119-расм.



120-расм.

Бу уринма күчланишларнинг брус ўқига нисбатан моменти миқдор жиҳатдан (M_δ) буровчи моментига тенгдир:

$$M_\delta = \int_A \tau_\rho dA \rho \quad (5.4)$$

(5.3) формуладаги τ_ρ нинг қийматини (5.4) формулаға келтириб қўйсак: $M_\delta = \int_A G \rho \frac{d\varphi}{dx} dA \cdot \rho = G \frac{d\varphi}{dx} \int_A \rho^2 dA$ ҳосил бўлади.

$I_\rho = \int \rho^2 dA$ — брус кесимининг кутб инерция моментини ҳисобга олсак: $\frac{d\varphi}{dx} = \frac{M_\delta}{G I_\rho}$ келиб чиқади ва бу ифодани (5.3) формулаға қўйиб, буралишдаги уринма күчланишни топамиз:

$$\tau_\rho = \frac{M_\delta \rho}{I_\rho} \quad (5.5)$$

Бу ерда: агар $\rho = 0$ бўлса, $\tau = 0$ ва $\rho = R$ бўлса,

$$\tau = \tau_{\max} = \frac{M_\delta \cdot R}{I_\rho} = \frac{M_\delta}{W_\rho} \quad (5.6)$$

Бу ерда $W_\rho = \frac{\pi \cdot d^3}{16}$ — стержень кесимининг кутб қаршилик моменти уринма күчланиш стержень кесимининг диаметри бўйлаб тўғри чизиқли қонуният билан ўзгаради (120-расм), чунки (5.5) формулада ρ масофа биринчи даражада.

Буралиш бурчагини аниқлашда: $d\varphi = \frac{M_\delta dx}{G I_\rho}$ тенгламадан фойдаланамиз. У ҳолда:

$$\varphi = \int_0^l \frac{M_\delta dx}{G I_\rho} \quad (5.7)$$

$G I_\rho$ — бруснинг буралишдаги бикрлиги;

$I_\rho \approx 0,1 d^4$ — стержень кесимининг кутб инерция моменти.

Формулани dx бўйича интеграллаб стерженниң тўлиқ буралиш бурчагини топамиз:

$$\varphi = \frac{M_{\delta} \ell}{G I_p} \quad (5.8)$$

5.3. БУРАЛИШДА МУСТАҲКАМЛИК ВА БИКРЛИК ШАРТЛАРИ

Юқоридаги формулалардан маълумки, стержень кесимининг марказидан энг узоқда жойлашган нуқталарида уринма кучланиш энг катта қийматга эришар экан, яъни:

$$r_{\max} = \frac{M_{\delta}}{W_p}$$

Агар, r_{\max} стерженниң материали учун рухсат этилган кучланишдан катта бўлмаса, стерженниң буралишдаги мустаҳкамлиги таъминланган бўлади:

$$r_{\max} = \frac{M_{\delta}}{W_p} \leq [\tau] \quad (5.9)$$

Бу ерда: $[\tau] = (0,5...0,6)[\sigma]$. (5.9) формула буралишдаги мустаҳкамлик шарти.

Агар стерженга таъсир қилувчи буровчи момент ва стерженниң материали маълум бўлса, унинг диаметрини (5.9) формула ёрдамида танлаш мумкин:

$$d \geq \sqrt{\frac{16 M_{\delta}}{\pi [\tau]}} \quad (5.10)$$

Агар стерженниң диаметри ва материали берилган бўлса, унга қўйилиши мумкин бўлган буровчи момент топилиши мумкин:

$$M_{\delta} = \frac{\pi d^3}{16} [\tau]$$

Кўпгина валлар учун тўлиқ буралиш бурчагининг қиймати чеклаб қўйилади, яъни:

$$\varphi_{\max} = \frac{M_{\delta} \cdot \ell}{G I_p} \leq [\varphi] \quad (5.11)$$

Бу ерда: $[\varphi] = 0,15 \dots 0,3^\circ$ буралиш бурчагининг рухсат этилган қиймати. (5.11) формула буралишдаги бикрлик шарти дейилади.

$$I_p = \frac{\pi d^4}{32} \approx 0,1d^4 \text{ қутб инерция моментини ҳисобга олиб,}$$

бикрлик шартидан стерженнинг диаметрини топишимиз мумкин:

$$d \geq \sqrt{\frac{32 M_{\delta} \ell}{\pi G [\varphi]}} \quad (5.12)$$

Агар валнинг диаметри d ва унинг бир минутдаги айланишлари сони (n), вал материалининг рухсат этилган кучланиши (τ) берилган бўлса, узатилаётган қувват — N топилиши мумкин:

$$N = \frac{\pi \cdot n \cdot d^3 [\tau]}{155776} \text{ кВт} \quad \text{ва} \quad N = \frac{\pi \cdot n \cdot d^3 [\tau]}{114592} \text{ от кучи.}$$

5.4. БУРАЛИШДА СТАТИК АНИҚМАС МАСАЛА

Икки учи бикр маҳкамланган таянчга таянган доираий кесимли стерженнинг буровчи моментини аниқлайлик (121-расм).

Берилган масалани ечиш учун стерженнинг мувозанат тенгламасини тузамиз: $\sum M_x = -M_a + M - M_c = 0$

Бу ерда M_a ва M_c таянч моментлари.

Берилган стерженнинг битта мувозанат тенгламаси булиб, унда иккита номаълум моментлар қатнашяпти. Демак, масала статик ноаниқ булиб, бундай масалалар қўшимча деформациялар тенгламалари ёрдамида ечилади. Қўшимча деформация тенгламасини тузиш учун асосий системани танлаймиз. Асосий системани тузишда битта таянч таъсирини шу таянчда ҳосил бўлган номаълум реактив момент билан алмаштирамиз. Берилган система-дагидек асосий системада ҳам ташлаб юборилган таянч кесимнинг буралиш бурчаги нолга тенг бўлиши керак, яъни $\varphi_c = 0$, чунки ҳақиқий берилган системада бу кесим бикр (қўзгалмас) маҳкамланган. Кучларнинг таъсир

қилишида халал бермаслик тамойилига асосан $\varphi_c = \varphi_{cm} - \varphi_{cmc} = 0$ тенгламани ҳосил қиласиз:

Бу ерда: φ_{cm} — ташқи момент таъсирида С кесимнинг буралиш бурчаги;

φ_{cmc} — реактив момент M_c таъсирида С кесимнинг буралиш бурчаги.

(5.8) формулаға асосан

$$\varphi_{cm} = \frac{M \cdot b}{G \cdot I_p}$$

ва $\varphi_{cmc} = \frac{M_c(a+b)}{G I_p}$ ни ҳисобга олсак, деформация тенгламасини қўйидагича ёзиш мумкин:

$$\frac{M \cdot b}{G I_p} - \frac{M_c(a+b)}{G I_p} = 0 \text{ ёки } M_c = M \frac{b}{a+b}$$

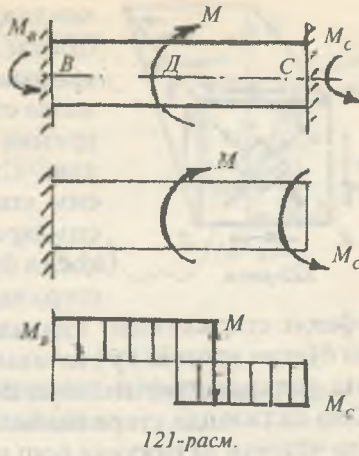
Энди мувозанат тенгламасидан M_B моментни топамиз:

$$M_B = M - M_c = M - M \frac{b}{a+b} = M \frac{a}{a+b}$$

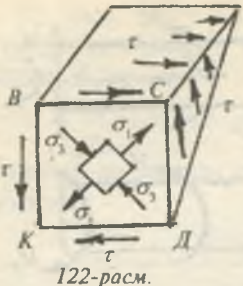
M_B ва M_c топилгандан кейин буровчи момент эпюрасини қуриш мумкин.

5.5. БУРАЛИШДА КУЧЛАНИШ ҲОЛАТИНИНГ ТАҲЛИЛИ

Буралишда доиравий кесимли стерженнинг кўндаланг кесимида уринма кучланишлар ҳосил бўлади. Бу кучланишлар стержень кесим юзасининг марказида нолга тенг ва стерженнинг сиртида энг катта қийматга эга. Уринма кучланиш стержень материалининг ҳар бир нуқтасида шу нуқтадан ўтган радиусга перпендикуляр йўналади. Уринма кучланишларнинг жуфтлик аломатига кўра стерженнинг кўндаланг кесимига перпендикуляр бўлган бўйлама



12J-расм.



122-расм.

юзада ҳам уринма кучланиш ҳосил булади. Кесимнинг радиуси бўйлаб уринма кучланиш бўлмайди. Акс ҳолда стерженнинг ён сиртида ҳам уринма кучланишлар ҳосил бўлар эди. Стерженнинг кўндаланг кесим юзаларида ҳам, бўйлама кесимларида ҳам нормал кучланиш ҳосил бўлмайди. Шундай қилиб, стержендан ажратилган элементар

юза фақат стерженнинг кўндаланг ва бўйлама юзаларида ҳосил бўлган уринма кучланишлар таъсирида. Бундай кучланиш ҳолатига соф силжиш дейилади (122-расм).

Соф силжишда стерженнинг бўйлама ўқига 45° бурчак остида чўзувчи ва сиқувчи бош нормал кучланишлар ҳосил булади.

Стерженнинг барча нуқталарида бош кучланишларнинг экстремал қийматлари уринма кучланишларга тенг булади, яъни:

$$\sigma_{\max} = -\sigma_{\min} = \tau_{\max} = -\tau_{\min} = \frac{M_c}{W_c} \quad (5.13)$$

Мурт материаллар буралишда σ_i йўналишида емирилади. Умуман, стерженнинг марказига яқин жойлашган материали буралишда деярли қатнашмайди, чунки бу юзада жуда т кичик қийматга эга. Демак, бу юзадаги материалини ортиқча сарфланган деб қарашиб мумкин экан. Шунинг учун бу юзадаги материал олинса, стерженнинг кесим юзаси ҳалқасимон кесимга айланади. Агар, стерженнинг марказий кесимидағи материалини олиб, унинг оғирлигини 16% камайтирсак, ҳосил бўлган ҳалқасимон кесимнинг сиртидаги энг катта кучланиш 2,6 % ошар экан. Радиуси $R = 350$ мм бўлган ҳалқасимон вал радиуси $R = 300$ мм бўлган валдан 53,4 % га енгилдир.

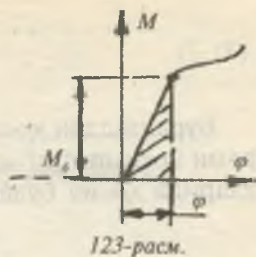
5.6. БУРАЛИШДА ПОТЕНЦИАЛ ЭНЕРГИЯ

Стерженнинг буралиши унинг материали эластиклик чегарасидан ошиб кетмайди, деб қаралади.

Унда буровчи моментнинг бажарған иши буралиш диаграммасининг юзига тенг бўлади:

$$A_{uu} = U = \frac{M_s \cdot \varphi}{2} \text{ ёки}$$

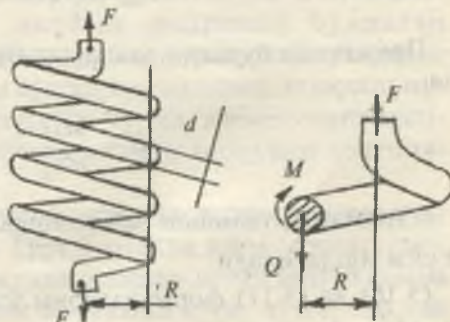
$$U = \frac{M_s^2 \ell}{2G I_p} \quad (5.14)$$



5.7. ВИНТСИМОН ЦИЛИНДРИК ПРУЖИНАЛАРНИ ҲИСОБЛАШ

Вагонларнинг рессорлари ўрнида, ички ёнув двигатели ва ҳ.к. механизмларда винтсимон пружиналар ишлатилади. Бу пружиналар чўзувчи ёки сиқувчи кучлар таъсирида бўлади. Пружинанинг деформацияси ташқи кучни юмшатади ёки мувозанатлади. Пружинадаги ички кучларни аниқлаш учун уни кесиш усулидан фойдаланиб икки қисмга ажратамиз (124-расм). Пастки қисмини ташлаб юборамиз ва унинг юқори қисмга таъсирини (кўндаланг куч) кесувчи куч Q ва буровчи момент M_s билан алмаштирамиз. Пружинанинг ажратиб олинган қисми мувозанат шартига кўра $Q = F$ ва $M_s = F \cdot R$ ҳосил бўлади. Пружина ўрамининг қирқилган кесим юзасида кесувчи куч Q таъсиридан қирқилишдаги уринма кучланиш τ_1 ва буровчи момент таъсиридаги τ_2 уринма кучланиши ҳосил бўлади.

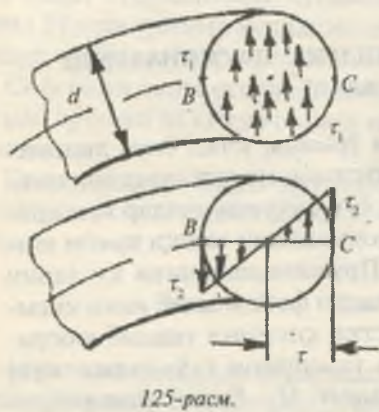
Қирқилишдан ҳосил бўлган уринма кучланиш пружина ўрамининг кесим юзасида текис тақсимланган деб қабул қиласиз:



$$\tau_1 = \frac{F}{A} = \frac{F}{\pi r^2} \quad (5.15)$$

Буралишдан ҳосил бўлган уринма кучланиш пружина ўрами кесимининг марказидан энг узоқда жойлашган нуқтадаридан ҳосил бўлади:

$$\tau_2 = \frac{M_\delta}{W_p} = \frac{2FR}{\pi r^3} \quad (5.16)$$



Кесимнинг В ва С нуқталари хавфли ҳолатда бўлади. Чунки бу нуқталардаги тўлиқ кучланиш τ_1 ва τ_2 кучланишларнинг йиғиндисига тенгdir, яъни:

$$r = \frac{F}{\pi r^2} + \frac{2FR}{\pi r^3}$$

Пружинанинг деформациясида ўрамлари буралишга учрайди деб ҳисоблаб, F куч таъсиридаги пружинанинг чўзилишини топамиз.

Пружинанинг λ миқдорга кўчишида F кучнинг бажарган ишини ёзамиш:

$$A_{\text{ин}} = \frac{1}{2} F \lambda$$

Пружинада буралишдан ҳосил бўлган потенциал энергия:

$$U = \frac{M_\delta \ell}{2G I_p} \quad (5.17)$$

п ўрамли пружинани тайёрлашда $\ell = 2\pi R n$ узунликдаги сим ишлатилади.

(5.16) ва (5.17) формулаларни ўзаро тенглаб, $I_p = \frac{\pi r^4}{2}$ пружина ўрами кесимининг қутб инерция моментини ҳисобга олсак:

$$\lambda = \frac{4FR^3n}{Gr^4} \quad (5.18)$$

ҳосил бўлади.

$\lambda = \frac{4FR^3n}{Gr^4} \leq [\lambda]$ — пружинанинг бикрлик шарти.

5.8. КЕСИМИ ДОИРАВИЙ БЎЛМАГАН СТЕРЖЕНЛАРНИНГ БУРАЛИШИ

Муҳандислик амалиётида кесими доиравий бўлмаган кесимлар, юпқа деворли ва прокатли элементлар ҳам буралишга учраши кўрилган. Бундай элементларнинг буралишида кўндаланг кесимнинг нуқталари кесим юзасини текислигидан чиқиб кетади, натижада кесим юзаси ва бутун элементнинг шакли ўзгаради.

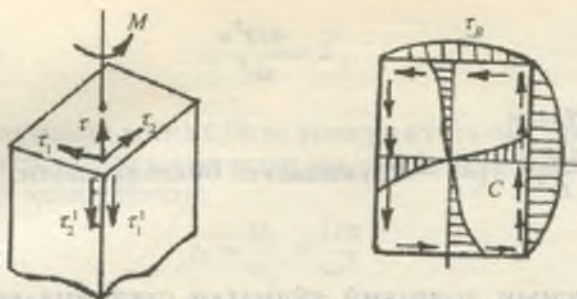


126-расм.

Бу ҳолга депланация дейилади. Лекин буралаётган элемент толаларининг узунлиги ўзгармайди. Демак, кўндаланг кесимда нормал кучланиш ҳосил бўлмайди. Бундай буралишга соғ ёки эркин буралиш дейилади. Агар буралиш элементи толаларининг узунлиги ўзариши билан содир бўлса, мажбурий буралиш, дейилади.

Юқорида айтилган барча мулоҳазалар кесими доиравий бўлмаган элементларнинг буралишида уларнинг кўндаланг кесими ҳосил бўлган кучланишини аниқлаш мурракаб эканлигини билдиради. Чунки, элементнинг кесими эгриланиши билан кучланишнинг тарқалиш қонунияти ҳам ўзгаради.

Бурчаксимон кесимларнинг бурчакларида уринма кучланиш нолга айланади. Тўрт бурчакли элементнинг сиртида τ_1' ва τ_2' уринма кучланишлари нолга teng. Уринма кучланишларни жуфтлик аломатига кўра: $\tau_1 = \tau_1' = 0$ ва $\tau_2 = \tau_2' = 0$



127-расм.

Демак, $\tau = 0$, яни ташқи бурчак яқиниде уринма күчланиш нолга тенг. Энг катта уринма күчланиш қесимнинг С нуқтасида ҳосил бўлади:

$$\tau_c = \tau_{\max} = \frac{M_\delta}{\alpha a \beta^2} \quad (5.19)$$

В нуқтадаги уринма күчланиш: $\tau_\beta = \eta \tau_{\max}$

Кесими доиравий бўлмаган элементларнинг буралиш бурчаги:

$$\varphi = \frac{M \epsilon}{G \beta \beta^3 a} \quad (5.20)$$

Бу ерда: α, η ва β — элемент кесими томонлари (ўлчамларини) нисбати.

Савол ва топшириқлар

1. Қандай конструкция қисмлари буралишга учрайди?
2. Буровчи момент деб нимага айтилади?
3. Стерженнинг буралишида қандай күчланиш ҳосил бўлади?
4. Уринма күчланиш стержень кесим юзасида қандай қонуният билан тарқалади?
5. Буралишда мустаҳкамлик шарти формуласини ёзинг.
6. Буралиш бурчаги формуласини ёзинг.
7. Буралишда бикрлик шарти формуласини ёзинг.

- Буралишда мустақамлик шартидан фойдаланиб доиравий кесимли стерженниң диаметрини топинг.
- Винтсимон пружинанинг кесим юзасида қандай күчланиш ҳосил бўлади?
- Винтсимон пружинанинг деформациясини топинг.

1-масала.

Пўлатдан тайёрланган стерженга $M_1 = 40 \text{ Нм}$; $M_2 = 20 \text{ Нм}$; $M_3 = 40 \text{ Нм}$; $M_4 = 30 \text{ Нм}$ моментлари қўйилган.

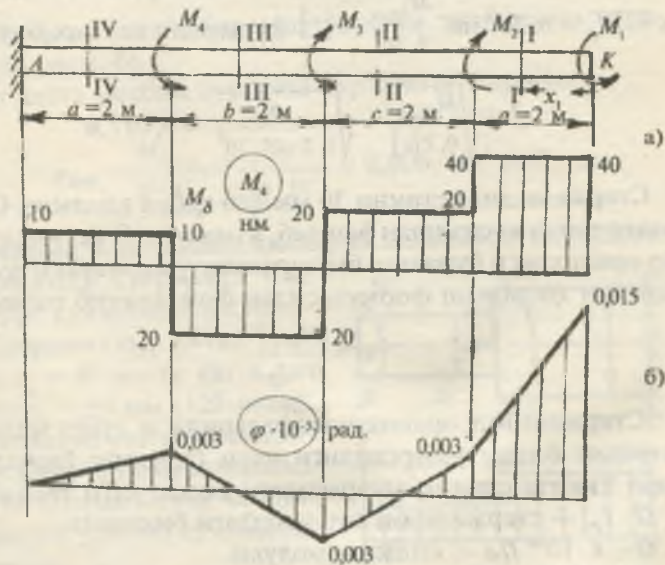
1. Буровчи момент эпюрасини қуинг.

2. Берилган $[\tau] = 40 \text{ МПа}$ қийматдан фойдаланиб буралишдаги мустақамлик шартига асосан стерженниң диаметрини топинг.

3. Буралиш бурчаги эпюрасини қуинг.

4. Энг катта нисбий буралиш бурчагини топинг.

Ечиш. Ички буровчи моментни топиш учун стерженин қирқимларга бўламиз (128-расм). Ҳар қайси қирқимдаги буровчи момент шу қирқимга қўйилган барча моментларнинг алгебраик йиғиндисига тенгdir.



128-расм.

Узунлиги x_1 га тенг бўлган (КД — оралиқ) қирқимнинг I—I кесимига нисбатан M_1 моментининг йўналиши соат стрелкаси йўналишига тескаридир. Шунинг учун бу оралиқдаги ички буровчи момент M_6 ишорасини мусбат оламиз. Агар кесим марказига нисбатан момент йўналиши соат стрелкасининг йўналиши билан бир хил бўлса, ички буровчи момент ишорасини манфий деб қабул қиласиз.

$$M_6 = M_1 = 40 \text{ Hm}$$

$$\text{Демак, } M_6^{II} = M_1 - M_2 = 40 - 20 = 20 \text{ Hm} \quad (\text{ДС — оралиқ})$$

$$M_6^{III} = M_1 - M_2 - M_3 = 40 - 20 - 40 = -20 \text{ Hm} \quad (\text{СВ — оралиқ})$$

$$M_6^{IV} = M_1 - M_2 - M_3 + M_4 = -20 + 30 = 10 \text{ Hm} \quad (\text{ВА — оралиқ})$$

Топилган қийматлар ёрдамида M_6 эпюраси қурилади. Ихтиёрий масштабда танланган буровчи момент мусбат ишорали қиймати чизиқни юқори томонига, манфий ишорали қиймати эса пастки томонга чизилади (128-расм, а).

Доиравий кесимли стерженни кутб қаршилик моменти $-W_p = 0,2d^3$ ни $\frac{M_{6_{\max}}}{0,2d^3} \leq [\tau]$ формулага келтириб қўйсак:

$$d = \sqrt[3]{\frac{M_{6_{\max}}}{0,2[\tau]}} = \sqrt[3]{\frac{40}{0,2 \cdot 40 \cdot 10^6}} = 0,017 \text{ m}$$

Стржень диаметрини 30 мм деб қабул қиласиз. Стерженни таянч кесимидан бошлаб, яъни $\varphi_A = 0$ кесимдан ҳар бир оралиқдаги буралиш бурчагининг ўзгаришини деформацияни ҳисоблаш формуласидан фойдаланиб топамиз:

$$\varphi = \frac{M_6 \cdot \ell}{G \cdot I_p}$$

Стрженнинг оралиқ масофаларида φ тўғри чизиқли қонуният билан ўзгарганлиги учун буралиш бурчагини фақат иккита оралиқ чегарасидаги кесим учун топамиз.

$G \cdot I_p$ — стрженнинг буралишдаги бикрлиги.

$G = 8 \cdot 10^{10} \text{ Pa}$ — силжиш модули.

IV—IV қирқим охирги кесимида: (AB — оралиқ)

$$I_p = \frac{\pi \cdot d^4}{32} = 0,1d^4 = 0,1(0,30)^4 = 81 \cdot 10^{-5} \text{ м}^4$$

Стерженъ кесимининг қутб инерция моменти:

$$\varphi_B = \frac{M_6^{IV} \cdot b}{G \cdot I_p} = \frac{10 \cdot 2}{8 \cdot 10^{10} \cdot 81 \cdot 10^{-5}} = 0,003 \cdot 10^{-5} \text{ rad}$$

III—III қирқим охирги кесимида: (ВС — оралиқ)

$$\varphi_c = \varphi_B + \frac{M_6^{III} \cdot b}{G \cdot I_p} = 0,003 \cdot 10^{-5} - \frac{20 \cdot 2}{648 \cdot 10^{-5}} = -0,003 \cdot 10^{-5} \text{ rad}$$

II—II қирқим охирги кесимида: (СД — оралиқ)

$$\varphi_D = \varphi_c + \frac{M_6^{II} \cdot c}{648 \cdot 10^{-5}} = -0,003 \cdot 10^{-5} + \frac{20 \cdot 2}{648 \cdot 10^{-5}} = -0,003 \cdot 10^{-5} \text{ rad}$$

I—I қирқим охирги кесимида: (ДК — оралиқ)

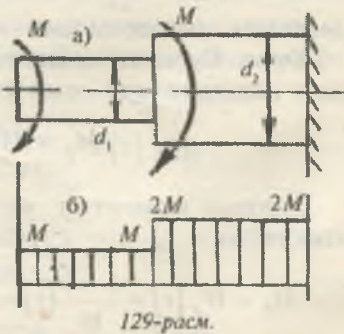
$$\varphi_K = \varphi_D + \frac{M_6 \cdot a}{648 \cdot 10^{-5}} = -0,003 \cdot 10^{-5} + \frac{40 \cdot 2}{648 \cdot 10^{-5}} = -0,015 \cdot 10^{-5} \text{ rad}$$

φ_B , φ_c , φ_D ва φ_K ларнинг ихтиёрий масштабда 0—0 чизикда жойлаштириб, буралиш бурчаги эпюрасини қурамиз (128-расм, б).

Энг катта нисбий буралиш бурчагини топамиз:

$$\varphi_{\max} = \frac{M_{\delta_{\max}}}{G \cdot I_p} = \frac{40}{648 \cdot 10^{-5}} = 0,006 \cdot 10^{-5} \text{ rad}$$

2-масала. Бир томони қистириб маҳкамланган ўзгарувчан кесимли стерженга бир хил жуфт куч моменти кўйилган. Стерженнинг кичик диаметри $d_1 = 40$ мм ва катта диаметри $d_2 = 60$ мм (129-расм). Стерженнинг ўнг поғонасидағи энг катта уринма кучланиш 80 мПа. Стерженнинг чап поғонасидаги уринма кучланишни топинг.



Ечиш. Стерженнинг ўнг погонасидаги энг катта уринма кучланиш формуласини ёзамиш:

$$\tau_2 = \frac{M_6^H}{W_p^H} = 80 \text{ МПа}$$

Буровчи моментни топамиз:

$$M_6^H = 800 \cdot W_p = 800 \frac{\pi \cdot d_2^3}{16} = 800 \frac{3,14(6)^3}{16} = 33912 \text{ кНм}$$

Демак, стерженнинг чап погонасига қўйилган буровчи момент 33912 кГ см. Стерженнинг узунлиги бўйлаб буровчи момент эпюрасини қурамиз (129-расм, б). Стерженning II-II қирқим билан ажратиб олинган қисмида буровчи момент ташки моментларнинг йигиндисига тенг, яъни $M_6^H = 2M$. У ҳолда, I-I қирқимдаги, яъни стерженнинг чап погонасидаги буровчи момент миқдор жиҳатдан ташки моментга тенг: $M_6^I = M$.

Чап погонадаги энг катта уринма кучланишни топамиз:

$$\tau_1 = \frac{M_6^I}{W_p^I} = \frac{33912}{2 \cdot 12,56} = 1350 \frac{\text{кН}}{\text{см}^2}$$

$$\text{Бу ерда: } W_p^I = \frac{\pi \cdot d_1^3}{16} = \frac{3,14(4)^3}{16} = 12,56 \text{ см}^3$$

З-масала. Диаметри $d = 90$ мм бўлган вал 90 от куч қувватини узатади. Вал материалининг рухсат этилган кучланиши $[\tau] = 60 \frac{\text{кН}}{\text{см}^2}$ бўлса, валнинг бир минутдаги айланышлари сони топилсан.

Ечиш. Буровчи момент, узатилаётган қувват N ва валнинг айланышлари сони ўзаро боғланишда:

$$M_6 = 71620 \frac{N}{n}, \text{ кНм}$$

Буровчи моментни валнинг мустаҳкамлик шартидан аниқлаймиз:

$$M_6 = W_p [\tau] = \frac{\pi \cdot d^3}{16} [\tau] = \frac{3,14(9)^3}{16} \cdot 600 = 85839,7 \text{ кНм}$$

У ҳолда валнинг бир минутдаги айланишлари сони:

$$n = 71620 \frac{N}{M_6} = 71620 \frac{90}{85839,7} = 75 \frac{\text{аил}}{\text{мин}}$$

4-масала. Автомобилнинг кардонли вали икки хил режимда бир хил қувватни узатади ($N = 23$ от кучи). Вални бир минутдаги айланишлари сони биринчи ҳолатда $n_1 = 108$ айл/мин; иккинчи ҳолатда — $n = 60$ айл/мин.

Вал материалининг рухсат этилган кучланиши $\tau = 400$ $\text{кг}/\text{см}^2$ бўлса, валнинг ташқи ва ички диаметрларини ($d_0 = 0,9 d$) топинг.

Ечиш. Кардонли валнинг икки режимига тўғри келувчи буровчи моментни топамиз:

$$M_6^1 = 71620 \frac{23}{108} = 15252,4 \text{ кГсм}$$

$$M_6^{11} = 71620 \frac{23}{60} = 27454,3 \text{ кГсм}$$

Валнинг диаметри ўзгармас бўлса, энг катта кучланиш M_6^1 моменти таъсирида ҳосил бўлади. Вал кесимининг кутб инерция моментини ҳалқасимон кесимлар учун қутб инерция моменти формуласидан фойдаланиб ёзамиз:

$$\begin{aligned} I_\rho &= \frac{\pi \cdot d^4}{32} - \frac{\pi \cdot d_0^4}{32} = \frac{\pi \cdot d^4}{32} - \frac{\pi (0,9d)^4}{32} = \\ &= \frac{\pi \cdot d^4}{32} (1 - 0,656) = 0,033755d^4 \end{aligned}$$

Уринма кучланиш ва кесимининг четки нуқтасида, яъни кесим марказидан $0,5 \cdot d$ масофада жойлашган нуқтасида ҳосил бўлади:

$$\tau_{\max} = \frac{M_6^{11} \cdot 0,5d}{I_\rho} = \frac{M_6^{11} d}{2 \cdot 0,033755d^4} \leq [\tau] \text{ ёки}$$

$$d = \sqrt[3]{\frac{M_6^{11}}{0,06751[\tau]}} = \sqrt[3]{\frac{27454,3}{0,0675 \cdot 400}} = 10 \text{ см}$$

У ҳолда валнинг ички диаметри — $d_0 = 9$ см.

5-масала. Пұлатдан тайёрланған ҳалқасимон кесимли вал 100 айл/мин тезлик билан айланиб, $N = 75$ кВт күватни узатади. Вал кесими деворининг қалинлиги үртача диаметрининг $1/50$ қисмини ташкил этади. Валнинг 3 м узунлигига тұғри келувчи буралиш бурчаги $\varphi = 1^\circ$ дан ошмаслик шарти билан унинг үртача диаметрини топинг. Уринма кучланиш нимага тенг:

Ечиш. Валнинг ташқи ва ички диаметрлари унинг деворининг қалинлигига боғлиқ:

$$d = d_y + t = d_y + \frac{d_y}{50} = \frac{51d_y}{50}; \quad d_0 = d_y - t = d_y - \frac{d_y}{50} = \frac{49d_y}{50}$$

Вал кесимининг қутб инерция моментини аниқлаймиз:

$$I_\rho = \frac{\pi}{32} [d^4 - d_0^4] = \frac{\pi}{32} \left[\left(\frac{51d_y}{50} \right)^4 - \left(\frac{49d_y}{50} \right)^4 \right] = 0,0157d_y^4$$

Валнинг буралишдаги бикрлик шартини ёзамиз:

$$\varphi = \frac{M_6 \cdot \ell}{G \cdot I_\rho} \leq [\varphi]; \quad \frac{M_6 \cdot \ell}{G \cdot 0,0157d_y^4} = 1^\circ \quad \text{Бу ерда: } G = 8 \cdot 10^5 \frac{\text{кг}}{\text{см}^2}$$

$$M_6 = 97360 \frac{N}{n} = 97360 \frac{75}{100} = 73020 \text{ кГсм}$$

Үртача диаметрни топамиз:

$$d_y = \sqrt[4]{\frac{M_6 \ell}{G \cdot 0,0157 \cdot 1^\circ}} = \sqrt[4]{\frac{73020 \cdot 300}{8 \cdot 10^5 \cdot 0,0157 \cdot \frac{3,14}{180}}} = 17,8 \text{ см}$$

$$\text{У ҳолда: } d = \frac{51 \cdot 17,8}{50} = 18,156 \text{ см; } d_0 = \frac{49 \cdot 17,8}{50} = 17,45 \text{ см}$$

Кесимнинг қутб инерция моменти:

$$I_\rho = 0,0157d_y^4 = 0,0157(17,8)^4 = 1576 \text{ см}^4$$

Әнг катта уринма кучланишни топамиз:

$$\tau_{\max} = \frac{M_6 \cdot 0,5d}{I_\rho} = \frac{73020 \cdot 9}{1576} = 417 \frac{\text{кг}}{\text{см}^2}$$

6-масала. Икки томони бикр мақкамланган доиравий кесимли бир хил йұналишдаги иккита момент билан юқланған. Стерженнинг диаметри — $d = 10$ см. Стерженнинг аниқмаслик даражасини ечинг ва II-II кесимнинг айлашиш бурчагини топинг.

Ечиш. Ташқы моментлар таъсирида стерженнинг таянч кесимларида реактив моментлар ҳосил бұлади. Стерженнинг мувозанат тенгламасини тузамиз (130-расм).

$$\sum M_x = -M_c + 2M - M_B = 0$$

Битта тенгламада иккита номағлум реактив (таянч) моментлар бор, яғни стерженнинг мувозанат шартидан ундағы номағлумлар сони күп экан. Шунинг учун бу масала ноаниқ. Стерженнинг ноаниқлық даражасини очиш учун құшимча деформация тенгламасини тузамиз. Құшимча тенгламалар сони стерженнинг аниқмаслик даражасига тенг бұлади, яғни:

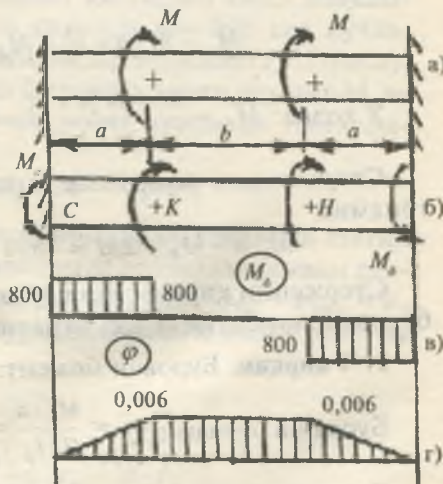
$$S = n - 1 = 2 - 1 = 1$$

Бу ерда: n — стержендеги номағлумлар сони;

1 — стерженнинг мувозанат шарти.

Демак, стерженни аниқмаслик даражаси бирга тенг. Құшимча деформация тенгламасини тузиш учун берилған стержендан асосий стерженни танлаб оламиз. Асосий стержень — бу таянч таъсири, таянч моменттер таъсири билан алмаштирилған стерженнинг күринишидір (130-расм, б).

Асосий стерженде ұам, берилған стерженлардагидек, жоғарылған



130-расм.

таянч кесимнинг буралиш бурчаги нолга тенг, яъни $\varphi_B = 0$, чунки берилган стерженда бу кесим қўзғалмасдир.

В кесимнинг буралиш бурчагини, кучларнинг мустақиллик тамойилига асосан, ҳар қайси моментлар таъсиридан ҳосил бўлган буралиш бурчакларининг йифиндиси кўринишида ёзамиш:

$$\varphi_B = \varphi_{BM} + \varphi_{BM_B} = 0$$

$$\text{Бу ерда: } \varphi_{BM} = \frac{M \cdot a}{G \cdot I_p} + \frac{M(a+b)}{G \cdot I_p}$$

φ_{BM} — стерженнинг В кесимини иккита ташқи моментлар таъсиридан буралиш бурчаги; $\varphi_{BM_B} = -\frac{M_B(2a+b)}{G \cdot I_p}$ стерхень В кесимининг таянч моменти M_B таъсиридан буралиш бурчаги.

$$\text{У ҳолда: } \varphi_B = \frac{M \cdot a}{G \cdot I_p} + \frac{M(a+b)}{G \cdot I_p} - \frac{M_B(2a+b)}{G \cdot I_p} = 0$$

Бу ерда $\frac{1}{G \cdot I_p} \neq 0$, шунинг учун

$$M_a + M(a+b) - M_B(2a+b) = 0$$

$$\text{У ҳолда: } M_B = \frac{Ma + M(a+b)}{2a+b} = \frac{800 \cdot 0,6 + 800 \cdot 1,4}{2} = 800 \text{ кГм}$$

Стерженнинг мувозанат тенгламасидан M_c моментни топамиш:

$$M_c = -M_B + 2M = -800 + 1600 = 800 \text{ кГм}$$

Стерженни қирқимларга бўламиш. Ҳар бир қирқимдаги буровчи моментнинг вал буралиш бурчагини топамиш:

I—I қирқим. Буровчи момент: $M_6^1 = M_c = 800 \text{ кГм}$

$$\text{Буралиш бурчаги: } \varphi_K = \frac{M_6^1 \cdot a}{G \cdot I_p} = \frac{80000 \cdot 60}{8 \cdot 10^5 \cdot 10^3} = 0,006 \text{ rad}$$

Стерхень кесимининг қутб инерция моменти:

$$I_p = \frac{\pi d^4}{32} = \frac{3,14 \cdot (10)^4}{32} = 10^3 \text{ см}^4$$

II-II қирқим.

Буровчи момент $M_c^{II} = M_c - M = 800 - 800 = 0$

Буралиш бурчаги: $\varphi_H = \varphi_K + \frac{M_6^{II} \cdot b}{G \cdot I_p} = 0,006 \text{ rad}$

III-III қирқим.

Буровчи момент:

$$M_6^{III} = M_c - 2M = 800 - 1600 = -800 \text{ кГсм}$$

Буралиш бурчаги:

$$\varphi_B = \varphi_K + \frac{M_6^{III} \cdot a}{G \cdot I_p} = 0,006 - \frac{80000 \cdot 60}{8 \cdot 10^5 \cdot 10^3} = 0$$

Топилган қийматлар ёрдамида стерженнинг узунлиги бўйлаб унинг буровчи моменти ва буралиш бурчаги эпурасини қурамиз.

7-масала. Умумий узунлиги $a + b = 3,3 \text{ м}$, чап қисмининг диаметри $d_1 = 6 \text{ см}$, ўнг қисмининг диаметри $d_2 = 5 \text{ см}$ бўлган стержень учи билан қистириб, бикр маҳкамланган. Стерженнинг икки қисмида ҳам бир хил кучлашиб ҳосил бўлса, a ва b узунликлар топилсин (131-расм).

Ечиш. Стерженнинг С ва В таянчларидағи реактив M_c ва M_a моментларни топиш учун унинг мувозанат тенгламасини тузамиз:

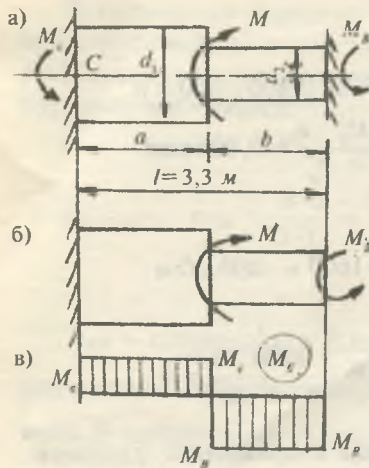
$$\sum M_x = -M_c + M - M_B = 0$$

Мувозанат тенгламадан кўринишича, стержень статик ноаниқ система экан. Шунинг учун асосий системани танлаймиз ва қўшимча тенглама тузамиз: $\varphi_B = \varphi_{BM} + \varphi_{BM_B} = 0$, яъни В таянч қесимини буралиш бурчаги нолга тенг. Бу

ерда: $\varphi_{BM} = \frac{M \cdot a}{G \cdot I_{p_1}}$ ва

$$\varphi_{BM_B} = -M_B \left(\frac{a}{G \cdot I_{p_1}} + \frac{b}{G \cdot I_{p_2}} \right)$$

В кесимнинг тегишили M ва M_B моментлари таъсиридан буралиш бурчаклари.



131-расм.

У ҳолда:

$$\frac{M \cdot a}{G \cdot I_{\rho_1}} = M_B \left(\frac{a}{G \cdot I_{\rho_1}} + \frac{b}{G \cdot I_{\rho_2}} \right)$$

$$\text{ва } M_B = \frac{Ma}{a + b} \frac{I_{\rho_1}}{I_{\rho_2}} \text{ момент-}$$

ни стерженниң мувозанат тенгламасига келтириб қойсак, M_c таянч моментни топамиз:

$$M_c = M - M_B = \frac{M \cdot b}{a + b} \frac{\frac{I_{\rho_1}}{I_{\rho_2}}}{\frac{I_{\rho_1}}{I_{\rho_2}}}$$

Стерженнинг узунлиги бўйлаб буровчи момент эпюрасини қурамиз (131-расм, в) ҳамда чап ва ўнг қисмларини кўндаланг кесимидағи уринма кучланишларни топамиз:

$$\tau_1 = \frac{M_c}{W_{\mu_1}} = \frac{M \cdot b \cdot \frac{I_{\rho_1}}{I_{\rho_2}}}{\left(a + b \cdot \frac{I_{\rho_1}}{I_{\rho_2}} \right) \frac{\pi \cdot d_1^3}{16}} \text{ ва } \tau_2 = \frac{M_B}{W_{\mu_2}} = \frac{M \cdot a}{\left(a + b \cdot \frac{I_{\rho_1}}{I_{\rho_2}} \right) \frac{\pi \cdot d_2^3}{16}}$$

Масаланинг шартига кўра: $\tau_1 = \tau_2$

$$\text{У ҳолда: } \frac{M \cdot b \cdot \frac{I_{\rho_1}}{I_{\rho_2}}}{\left(a + b \cdot \frac{I_{\rho_1}}{I_{\rho_2}} \right) \frac{\pi \cdot d_1^3}{16}} = \frac{M \cdot a}{\left(a + b \cdot \frac{I_{\rho_1}}{I_{\rho_2}} \right) \frac{\pi \cdot d_2^3}{16}} \text{ ёки}$$

$\frac{1}{I_{\rho_1}} \cdot bd_1^3 = a \cdot d_1^3$ ҳосил бўлади. Бу ерда:

$$I_{\rho_1} = \frac{\pi \cdot d_1^4}{32} = \frac{\pi (6)^4}{32} = \frac{\pi \cdot 1296}{32} \quad \text{ва} \quad I_{\rho_2} = \frac{\pi \cdot d_2^4}{32} = \frac{\pi (5)^4}{32} = \frac{\pi \cdot 625}{32}$$

Стержень чап ва ўнг қисмларининг кесим юзаларининг кутб инерция моментларини ҳисобга олсак, $b = \frac{6}{5}a$ ҳосил бўлади. 131-расмдан $a + b = 3,3 \text{ м}$ масофага $a = \frac{6}{5}b$ ни келтириб қўйсак, $b = 1,5 \text{ м}$ ва $a = 1,8 \text{ м}$ ни топамиз.

8-масала. 132-расмда кўрсатилган диаметри $d = 20 \text{ мм}$ бўлган, бир қирқимли парчин михли бирикма $F = 35 \text{ кН}$ куч таъсирида. Энг хавфли парчин михдаги уринма қучлашишни топинг.

Ечиш. F кучни парчин михли бирикманинг маркази С нуқтага кўчирамиз. Битта чизиқчали кучлар $M_b = Fl$ буровчи моментини ҳосил қиласди. Парчин михли бирикма M_b моменти таъсирида бўлади. F куч таъсири бешта парчин мих орасида тенг тарқалади. Ҳар бир парчин мих марказида F_k куч С нуқтадан ўтган тўғри чизиқقا перпендикуляр йўналади. 132-расмдан $\frac{F_{k_1}}{15} = \frac{F_{k_2}}{7,5}$ ва $F_{k_1} = 2F_{k_2}$ ни ҳосил қиласмиш ҳамда $F_{k_1} = F_{k_3}$ ва $F_{k_2} = F_{k_4}$ эканлигини аниқлаб оламиш. Бирикмани буровчи момент:

$$3500 \cdot 22,5 = 2F_{k_1} \cdot 15 + 2F_{k_2} \cdot 7,5; \quad 78750 = 4F_{k_2} \cdot 15 + 2F_{k_2} \cdot 7,5$$

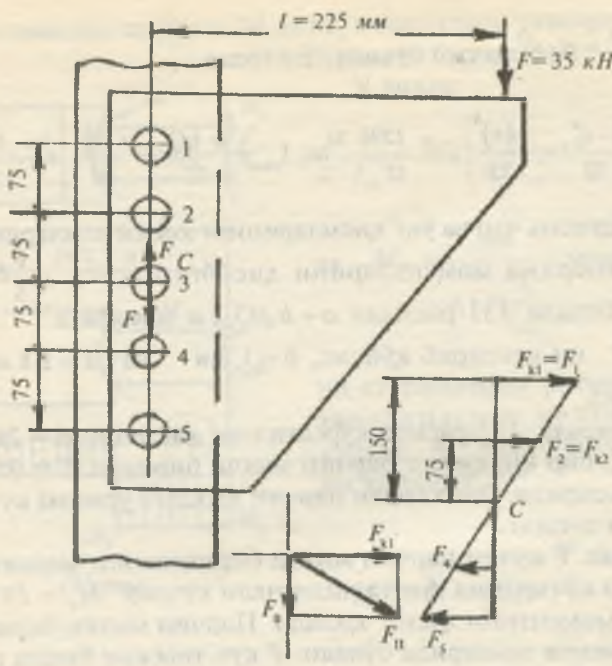
Бу ерда: $F_{k_2} = 1050 \text{ кг}$ кучни ҳосил қиласмиш.

$$F_{k_1} = 2F_{k_2} = 2 \cdot 1050 = 2100 \text{ кг}$$

Демак, бирикмани четки, парчин михлари кўпроқ хавфли ҳолатда бўлар экан.

1 ва 5 парчин михлардаги тўлиқ кучни топамиш (132-расм).

$$F_{s_T} = F_{l_T} = \sqrt{F_{k_1} + F_0} = \sqrt{(2100)^2 + (700)^2} = 2213 \text{ кг}$$



132-расм.

Четки парчин михларда ҳосил буладиган уринма кучланишларни топамиз:

$$\tau_{\max} = \frac{F_T}{A_K} = \frac{2213}{3,14 \frac{d^3}{4}} = \frac{2213}{3,14 \frac{(2)^3}{4}} = 704 \frac{\text{kN}}{\text{cm}^2}$$

9-масала. Пўлатдан тайёрланган вал тўртта ҳар қайсиси 2 кНм бўлган момент билан юкланган (133-расм).

1. К кесимнинг буралиш бурчаги нолга тенг бўлган ҳолатга тўғри келувчи X моментнинг қиймати топилсин.

2. Буровчи момент эпюралари қурилсин ва валнинг мустаҳкамлик шартига асосан диаметри топилсин.

3. Буралиш бурчаги эпюралари қурилсин.

Ечиш. К кесимига номаълум x моменти қўйилган ва А кесими бикр маҳкамланган статик аниқ система статик ноаниқ масалага эквивалентдир.

Масаланинг шартига кўра номаълум момент — x нинг топиладиган қайсиидир қийматида К кесимнинг буралиш бурчаги ($\varphi_K = 0$) нолга teng бўлиши керак.

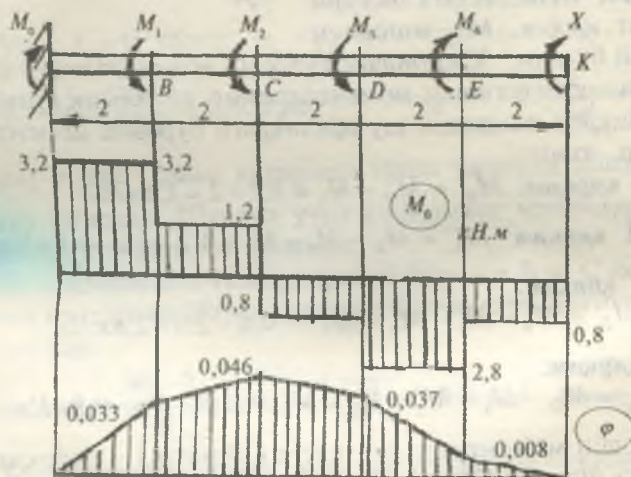
Кучларнинг таъсир қилишдаги ва қўшишдаги халал бермаслик тамойилига асосан К кесимнинг тўлиқ буралиш бурчаги қўйилган ҳар қайси моментлар таъсиридаги буралиш бурчакларининг йифиндисига teng деб қараймиз, яъни:

$$\varphi_K = \varphi_{KM_1} + \varphi_{KM_2} + \varphi_{KM_3} + \varphi_{KM_4} + \varphi_{KX} = 0 \quad (a)$$

Фақат M_1 моментнинг таъсирида К кесимнинг буралиш бурчаги ОВ оралиқнинг буралиш бурчагига tengдир, яъни:

$$\varphi_{M_1} = \frac{M_1 \cdot 2}{G \cdot I_p} \quad \text{ва қолган моментлар таъсиридаги } \varphi_{M_2} = \frac{M_2 \cdot 4}{G \cdot I_p}$$

$$\varphi_{M_3} = \frac{M_3 \cdot 6}{G \cdot I_p}; \quad \varphi_{M_4} = \frac{-M_4 \cdot 8}{G \cdot I_p} \quad \text{ва } \varphi_{KX} = \frac{-x \cdot 10}{G \cdot I_p}$$



133-расм.

Буралиш бурчакларини (а) тенгламага келтириб құйсак,

$$\frac{1}{G \cdot I_p} (M_1 \cdot 2 + M_2 \cdot 4 + M_3 \cdot 6 - M_4 \cdot 8 - x \cdot 10) = 0 \text{ ёки}$$

$x = 0,8 \text{ кНм}$ ҳосил бұлади.

Системанинг мувозанат қолати тенгламасидан О кесимдеги реактив момент M_o ни топамиз:

$$\Sigma M_o = -M_1 - M_2 - M_3 + M_4 + x + M_o = 0 \text{ ёки } M_o = 3,2 \text{ кНм}$$

Валниң О кесимидан үнгга қараб оралиқтарға бұламиз ва буровчи момент қийматларини топамиз.

I—I қирқим оралиғидеги валга M_o реактив ва M_{δ_1} буровчи моментлари таъсир қиласы.

Демек, валниң I—I қирқимида мувозанат содир бұлиши учун, $M_o = M_{\delta_1}$ шарт бажарылышы керак, яғни ажратылған оралиққа қойилған ташқи момент миқдор жиҳатдан валниң ички күч моментларининг йиғиндисига тенг бўлиши керак.

$$M_A = M_{\delta_1} = 3,2 \text{ кНм}$$

Агар ташқи момент кесим марказига нисбатан соат стрелкасининг йұналишига тескари ҳаракат қиласа, M_{δ_1} ишораси манфий бұлади. Юқоридаги хulosага асосан валниң ҳар бир оралиқдеги ташқи моментларнинг алгебраик йиғиндиси миқдор жиҳатдан шу оралиқдеги буровчи моментга тенгдир, яғни:

$$\text{II-II қирқим: } M_{\delta_2} = M_o - M_1 = 3,2 - 2 = 1,2 \text{ кНм}$$

$$\text{III-III қирқим: } M_{\delta_3} = M_o - M_1 - M_2 = 1,2 - 2 = -0,8 \text{ кНм}$$

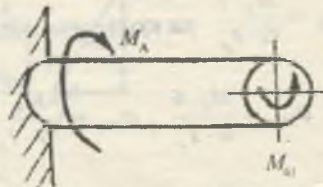
IV-IV қирқим:

$$M_{\delta_4} = M_o - M_1 - M_2 - M_3 = -0,8 - 2 = -2,8 \text{ кНм}$$

V-V қирқим:

$$M_{\delta_5} = M_o - M_1 - M_2 - M_3 + M_4 = -2,8 + 2 = -0,8 \text{ кНм}$$

Буровчи моменттің эң катта қиймати I—I қирқимда ҳосил бұлади. Буралишда мустаҳкамлық шартыга асосан валниң диаметрини топамиз:



$$\tau_{\max} = \frac{M_{\delta_{\max}}}{W_{\rho}} \leq [\tau];$$

Вал кесимининг қутб қаршилик моменти: $W_{\rho} = \frac{\pi d^3}{16}$

$$d = \sqrt[3]{\frac{16 M_{\delta_{\max}}}{\pi (\tau)}} = \sqrt[3]{\frac{16 \cdot 3,2}{3,14 \cdot 60 \cdot 10^3}} = 0,065 \text{ м}$$

$d = 70 \text{ мм}$ қабул қиласиз $[\tau] = 60 \text{ МПа}$ — вал учун кучланишнинг рухсат этилган қиймати.

Валниң ҳар оралиқдаги буралиш бурчагини $\varphi = \int_0^{M_{\delta}} \frac{M_{\delta} \cdot dx}{G \cdot I_{\rho}}$ формула ёрдамида құзғалмас таянчдан бошлиаб топамиз.

Бу ерда: $I_{\rho} = 0,1 \cdot d^4 = 0,1(0,01)^4 = 24 \cdot 10^{-7} \text{ м}^4$

1—1 қирқим. $0 \leq x_1 \leq 2 \text{ м}$

$$\varphi_1 = \frac{M_{\delta_1} x_1}{8 \cdot 10^7 \cdot 24 \cdot 10^{-7}} = \frac{3,2 x_1}{192}$$

Агар $x_1 = 0$ бўлса, $\varphi_1 = \varphi_0 = 0$, агар $x_1 = 2 \text{ м}$

$$\varphi_1 = \varphi_B = \frac{3,2 \cdot 2}{192} = 0,033 \text{ rad}; \quad \varphi_B = 0,033 \frac{\pi}{180} = 2^0 31^1$$

бўлса, φ ҳар қайси қирқимда тўғри чизиқди қонуният билан ўзгариади. Шунинг учун қирқимлар чегаралардаги буралиш бурчакларни топамиз.

С — кесимниң тўлиқ буралиш бурчаги В ва С кесимларни нуқтага нисбатан буралиш бурчаклари йиғиндисига тенгдир:

$$\varphi_c = \varphi_B + \frac{M_{\delta_2} \cdot 2}{192} = 0,033 + \frac{1,2 \cdot 2}{192} = 0,046 \text{ rad} \quad \text{ёки } \varphi_c = 3^0$$

Колган қирқимларда ҳам шу ўсуlda φ қийматни топамиз:

$$\varphi_D = 0,046 + \frac{M_{\sigma_3} \cdot 2}{192} = 0,046 - \frac{0,8 \cdot 2}{192} = 0,037 \text{ rad}$$

$$\varphi_E = 0,037 + \frac{M_{\sigma_4} \cdot 2}{192} = 0,037 - \frac{2,8 \cdot 2}{192} = 0,0083 \text{ rad}$$

$$\varphi_K = 0,0083 + \frac{M_{\sigma_5} \cdot 2}{192} = 0,0083 - \frac{0,8 \cdot 2}{192} = 0,0083 - 0,0083 = 0 \text{ rad}$$

10-масала. Ўртача радиуслари $R = 10$ см ўрамнинг диаметри $d = 2$ см бўлган пўлатдан тайёrlанган иккита пружиналар С ва В нуқталарда таянчларга таянган. Юқори пружинада $n_1 = 4$ та ва пастки пружинада $n_2 = 5$ та ўрамлари бор. Иккала пружиналар ўртасига $F = 450$ кг куч қўйилган плита ўрнатилган.

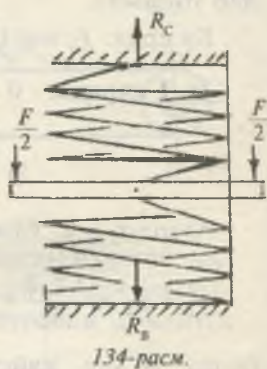
Пружиналарга тақсимланган кучнинг миқдори, юқ ўрнатилган плитанинг вертикал кўчиши, пружина стерженида ҳосил бўлган уринма кучланиш топилсан.

Ечиш. F куч таъсирида юқори пружина чўзилади, пастки пружина сиқилади.

С ва В таянчларда R_c ва R_b реакция кучлари ҳосил бўлади. R_c реакция кучи миқдор жиҳатдан юқори пружинадаги чўзувчи кучга, R_b реакция кучи пастки пружинадаги сиқувчи кучга тенг бўлади. R_c ва R_b кучларни топиш учун системанинг мувозанат тенгламасини тузамиз:

$$\Sigma y = R_c - F - R_b = 0$$

Битта тенгламада иккита номаълум куч бор. Демак, масала статик ноаниқ. Шунинг учун қўшимча деформация тенгламасини тузамиз. F куч таъсирида юқори пружинанинг чўзилиши пастки погонанинг сиқилишига тенг, яъни $\lambda_1 = \lambda_2$.



134-расм.

$$\text{Бу ерда: } \lambda_1 = \frac{4R_c R^3 n_1}{G \cdot r^4} \quad \text{ва} \quad \lambda_2 = \frac{4R_B R^3 n_2}{G \cdot r^4}$$

У ҳолда:

$$\frac{4R_c R^3 n_1}{G \cdot r^4} = \frac{4R_B R^3 n_2}{G \cdot r^4} \quad \text{ёки} \quad R_c = R_B \frac{n_2}{n_1} \quad \text{ва} \quad R_c = R_B \frac{5}{4} \quad \text{ифодани}$$

мұвозанат тенгламасын көлтириб қүйсак, R_B күчни топамиз:

$$R_B = \frac{F \cdot 4}{9} = \frac{450 \cdot 4}{9} = 200 \text{ кГ}; \quad R_c = \frac{4F}{9} \cdot \frac{5}{4} = \frac{450 \cdot 4}{9} = 250 \text{ кГ}$$

Плитанинг вертикал қүчишини топамиз:

$$\lambda = \frac{4R_c R^3 n_1}{G \cdot r^4} = \frac{4 \cdot 250 \cdot 10^3 \cdot 4}{8 \cdot 10^5 \cdot 1^3} = 5 \text{ см}$$

Юқори пружина стерженидаги күчланиш:

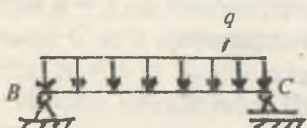
$$r_1 = \frac{R_c \cdot 4}{\pi \cdot d^2} + \frac{2R_c \cdot R}{\pi \cdot r^3} = \frac{250 \cdot 4}{\pi \cdot (2)^2} + \frac{2 \cdot 250 \cdot 10}{\pi \cdot 1^3} = 1672 \frac{\text{кг}}{\text{см}^2}$$

Пастки пружина стерженидаги күчланиш:

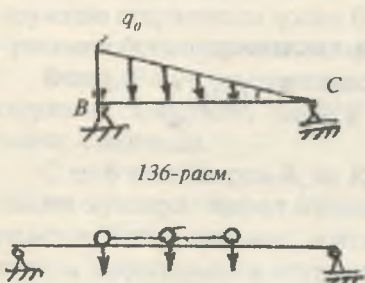
$$r_2 = \frac{R_c \cdot 4}{\pi \cdot d^2} + \frac{2R_B \cdot R}{\pi \cdot r^3} = \frac{200 \cdot 4}{\pi \cdot (2)^2} + \frac{2 \cdot 200 \cdot 10}{\pi \cdot 1^3} = 1338 \frac{\text{кг}}{\text{см}^2}$$

VI БОБ ЭГИЛИШ

Амалиётда кўприкларнинг рамалари, иморатларнинг айрим қисмлари, вагоннинг ўқлари ва ҳ.к. эгилиш деформациясига учрайди. Икки таянчга таянган ва эгилиш деформациясига учрайдиган брус балка дейилади. Айрим балкаларнинг кўринишларини келтирамиз:



135-расм.



136-расм.



137-расм.

ўқи бор.

2. Барча ташқи кучлар балканинг симметрия ўқи текислигига жойлашган.

3. Балкага таъсир этувчи барча кучлар, шу жумладан реакция кучлари ҳам симметрия ўқи текислигига ётганлиги учун балканинг эгилган ўқи ҳам шу текисликда ётади.

Бундай эгилиш текис эгилиш дейилади.

6.1. ТАЯНЧ ВА ТАЯНЧ ТУРЛАРИ

Уч хил таянч турлари мавжуд:

1. Күзғалувчи шарнирли таянч стерженнинг таянч кесими шарнир үқи атрофида айланиш бурчагини ва стерженнинг горизонтал текисликдаги ҳаракатини чекламайди. Шунинг учун құзғалувчи — шарнирли таянчда фақат вертикал реакция күчи ҳосил бўлади (138-расм).

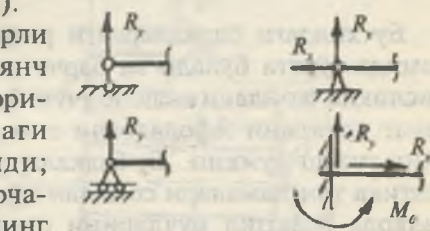
2. Күзғалмас шарнирли таянч стерженнинг таянч кесимини вертикал ва горизонтал текисликлардаги ҳаракатини чегаралайди; кесимнинг айланиш бурчагини чекламайди. Шунинг учун бу хил таянчда вертикал ва горизонтал реакция кучлари ҳосил бўлади.

3. Күзғалмас бикр маҳкамланган таянч (138-в расм) стерженнинг таянч кесимининг барча ҳаракатларини чегаралайди. Шунинг учун бу таянчда вертикал, горизонтал реакция кучлари билан биргаликда реактив момент ҳам ҳосил бўлади.

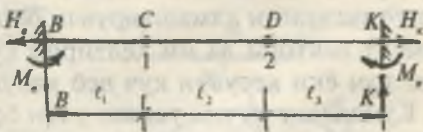
Реакция кучларини аниқлаш учун статиканинг мувоззанат шартларини тузамиз:

$$\sum x = 0; \quad \sum y = 0 \text{ ва} \quad \sum M_0 = 0 \quad (6.1)$$

Статиканинг тенгламалари орқали реакция кучларни топиш мумкин бўлган балкалар статик аниқ системаларга киради.



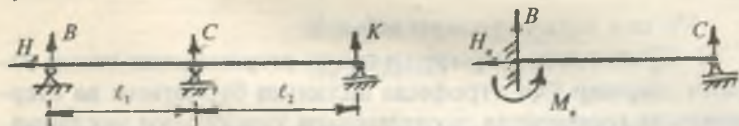
138-расм.



139-расм.

Бундай масалаларга кўп пролётли ва оралиқ шарнирли балкалар ҳам мисол бўлади (139-расм).

Айрим ҳолларда балка бир нечта таянчларга таяниши мүмкін.



140-расм.

Бу хилдаги балкалардаги реакция күчларининг сони камида түрттә бўлади ва барча реакция күчлари бир текисликда жойлашганлиги учун бутун системанинг мувозанат ҳолатини ифодаловчи статиканинг учта тенгламасини тузиш мүмкін. Бу балкаларда реакция күчлари сони статика тенгламалари сонидан кўп. Шунинг учун бу балкаларда реакция күчларини статиканинг тенгламалари билан топиб бўлмайди.

Бундай балкалар статик ноаниқдир. Статик ноаниқ масалаларни ечиш усули кейинроқ маҳсус мавзу сифатида кўриб чиқилади.

6.2. ЭГИЛИШДА ИЧКИ КҮЧЛАРНИ АНИҚЛАШ

Түртта ўзаро тенг бўлган F куч таъсирида мувозанатда бўлган брусли ўрганамиз (141-расм). Бруслинг ВС оралиғидан ихтиёрий танланган $m - m$ кесимнинг ички күчларини кесиш методидан фойдаланиб топамиз. Бруслинг ажратиб олинган кесимиининг мувозанатини таъминлаш учун унинг кесилган юзасига ташлаб юборилган қисмиининг таъсирини алмаштирувчи бош куч вектори Q ва бош момент вектори M ни келтириб қўямиз. Q кучни кундаланг куч ёки кесувчи куч деб қабул қиласиз.

Кўндаланг кучни топиш учун бруслинг ажратиб олинган қисмидаги ташқи кучни $m - m$ текисликка проекциялаймиз: $F - Q = O$ ёки $Q = F$.

Брусли ВК оралиғидаги ихтиёрий танланган $n - n$ кесимиидаги кўндаланг куч Q ни топиш учун шу оралиқдаги барча ташқи күчларни $n - n$ текисликка проекцияла-

рининг алгебраик йиғиндисини топамиз: $F - F - Q = 0$ ёки $Q = 0$.

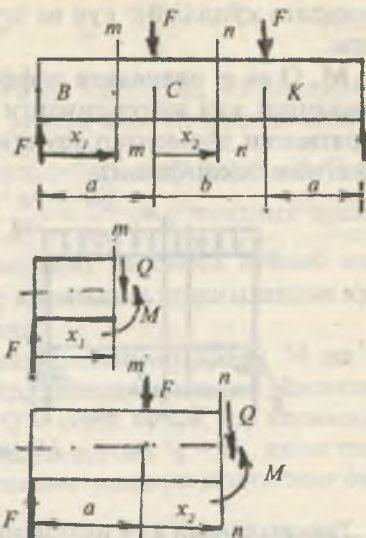
Демак, Q күндаланг күч бруснинг ажратиб олинган қисмидаги ташқи кучларни алгебраик йиғиндисига тенг экан.

Бруснинг кесилган кесимига нисбатан ташқи кучнинг йўналиши соат стрелкасининг ҳаракат йўналиши билан мос тушса, күндаланг кучнинг ишораси мусбат, тескари ҳолатда эса манфий қабул қилинади.

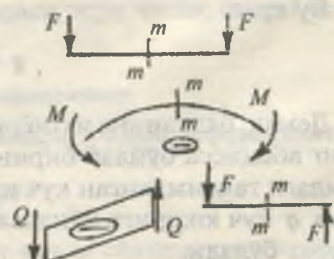
Бош момент вектори M эгувчи момент дейилади. Эгувчи моментни топиш учун бруснинг ажратиб олинган кесимидаги ташқи кучдан кесилган кесим юзасининг марказига нисбатан момент оламиз: ВС оралиқдаги x масофа учун $M = Fx$ ва ВК оралиқдаги $(a + x)$ масофа учун $M = F(a + x) - Fx$ тенгламаларни ҳосил қиласиз.

Демак, эгувчи момент брусли ажратиб олинган қисмидаги ташқи кучларнинг, шу оралиқ кесилган кесим юзасининг марказига нисбатан моментларининг алгебраик йиғиндисига тенг экан. Агар ташқи күч брусли юқорига эгилтирилса, эгувчи момент ишораси мусбат, пастга эгилтирилса манфий қабул қилинади.

Юқоридаги күндаланг күч ва эгувчи момент тенгламаларидан кўринишича, бруснинг узунлиги бўйлаб Q ва M ўзгариб борар экан. Q ва M нинг брус ўқи бўйлаб ўзгариш гра-



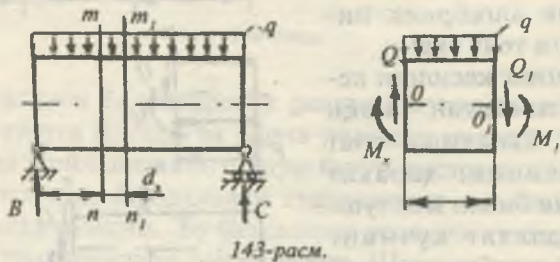
141-расм.



142-расм.

Фикасига күндаланг күч ва эгувчи момент эпюраси дейилади.

M, Q ва q орасидаги дифференциал боғланишлар. Тақсимланган күч интенсивлиги таъсирида бўлган балкадан ажратилган элементар узунликдаги бўлакнинг мувозанат ҳолатини текширамиз.



Тақсимланган күч интенсивлиги q таъсиридаги элементар dx узунликдаги ажратилган элемент балкани ташлаб юборилган қисмлари таъсирини алмаштирувчи күндаланг күчлар Q , $Q_1 = Q + dQ$ ва моментлар M_x , $M_1 = M_x + dM_x$ таъсирида бўлади (143-расм). Ажратилган элементнинг мувозанат шарти қуидагича ёзилади:

$$\sum Y = 0 \text{ ёки } Q - qdx - (Q + dQ) = 0 \quad (6.2)$$

$$\sum M_0 = 0 \text{ ёки } M_x + Qdx - qdx \frac{dx}{2} - (M_x + dM_x) = 0 \quad (6.3)$$

(6.2) тенгламадан $qdx - dQ = 0$ тенгликни ҳосил қиласиз.

Бу ерда:

$$q = -\frac{dQ}{dx} \quad (6.4)$$

Демак, балканинг ихтиёрий кесимидағи күндаланг күчнинг абсцисса бўйлаб биринчи тартибли ҳосиласи шу кесимдаги тақсимланган күч интенсивлиги — q га тенг экан. Агар q күч юқорига йўналса (6.4), тенгламанинг ишораси мусбат бўлади.

(6.3) тенгламадан

$$Qdx - dM_x = 0 \quad \text{ва} \quad Q = \frac{dM_x}{dx} \quad (6.5)$$

хосил бүлади, яъни балканинг ихтиёрий кесимидағи кўндаланг куч шу кесимдаги эгувчи моментнинг абсцисса бўйича биринчи тартибли ҳосиласига тенг экан. (6.4) ва (6.5) тенгламалар асосида $\frac{d^2 M_x}{dx^2} = \frac{dQ}{dx} = -q$ тенглик ҳосил бўлади, яъни эгувчи моментнинг абсцисса бўйлаб иккинчи тартибли ҳосиласи шу кесимдаги тақсимланган куч интенсивлиги — q га тенг экан.

Юқоридаги дифференциал боғланишлардан M ва Q эпюраларини қуришда фойдаланиш мумкин. Масалан, балканинг бирор кесимида $Q = \text{const}$ бўлса, шу кесимида (6.4) дифференциал боғланишга асосан $q = 0$, яъни тақсимланган куч интенсивлигининг таъсири нолга тенг ёки q куч таъсири қилмас экан.

Тақсимланган куч интенсивлиги таъсири қилган оралиқда кўндаланг куч тўғри чизиқли қонуният билан ўзгаради. Q нинг эпюраси абсцисса ўқини кесиб ўтади, яъни абсциссага оғишган бурчак билан жойлашади.

(6.5) дифференциал боғланишга асосан агар балканинг бирор кесимида эгувчи момент ўзгармас бўлса, яъни $M = \text{const}$, шу кесимдаги кўндаланг куч нолга тенг булар экан. Эгувчи момент балка узунлигининг бирор қисмида тўғри чизиқли қонуният билан ўзгарса, яъни M графикаси тўғри чизиқ бўйлаб абсциссага бирор бурчак билан жойлашса, шу кесимдаги кўндаланг куч ўзгармас ва Q нинг эпюраси абсциссага параллел чизиқ бўлар экан.

Балканинг тақсимланган куч интенсивлиги — q таъсири қилган оралиқда M эпюраси эгри чизиқ билан чегараланади.

Савол ва топшириқлар

1. Қандай конструкция қисмлари эгилиш деформациясига учрайди?
2. Балка деб нимага айтилади?
3. Таянч турларини айтинг.
4. Эгувчи момент, кўндаланг куч ва ёйилган куч интенсивлиги билан дифференциал боғланишларни ёзинг?

5. Күндаланг күч деб нимага айтилади?
6. Күндаланг күч ишораси қачон мусбат булади?
7. Эгувчи момент деб нимага айтилади?
8. Эгувчи момент ишораси қачон мусбат булади?

1-масала. Балканинг эгувчи момент (M) ва күндаланг күч (Q) эпюралари курилсин (144-расм).

Ечиш. Реакция кучларини балканинг мувозанат шартларидан фойдаланиб топамиз:

$$\begin{aligned}\sum M_A &= -M_1 + 4q\left(\frac{4}{2} + 1\right) + F_1 \cdot 4 + F_2 \cdot 6 - M_2 + q \cdot 2\left(\frac{2}{2} + 8\right) + \\ &+ M_3 - B \cdot 8 = 0; \quad B = 12,125 \text{ кН} \\ \sum M_B &= -M_1 - q4\left(\frac{4}{2} + 3\right) - F_1 \cdot 4 - F_2 \cdot 2 - M_2 + \\ &+ q2 \cdot \frac{2}{2} + M_3 + K \cdot 8 = 0; \quad K = \frac{63}{8} \text{ кН}\end{aligned}$$

Балкани оралиқ қирқимларга бўлиб эгувчи момент M ва күндаланг күч тенгламаларини тузамиз (144-расм).

I—I қирқим. $0 \leq x_1 \leq 1 \text{ м}$

$$M_{x_1} = Kx_1 - M_1 \quad \text{ва} \quad Q_1 = K = \frac{63}{8} \text{ кН}$$

$$x_1 = 0, \quad M_{x_1} = -2 \text{ кНм}, \quad x_1 = 1 \text{ м}, \quad M_{x_1} = \frac{47}{8} \text{ кНм}$$

II—II қирқим. $0 \leq x_2 \leq 3 \text{ м}$

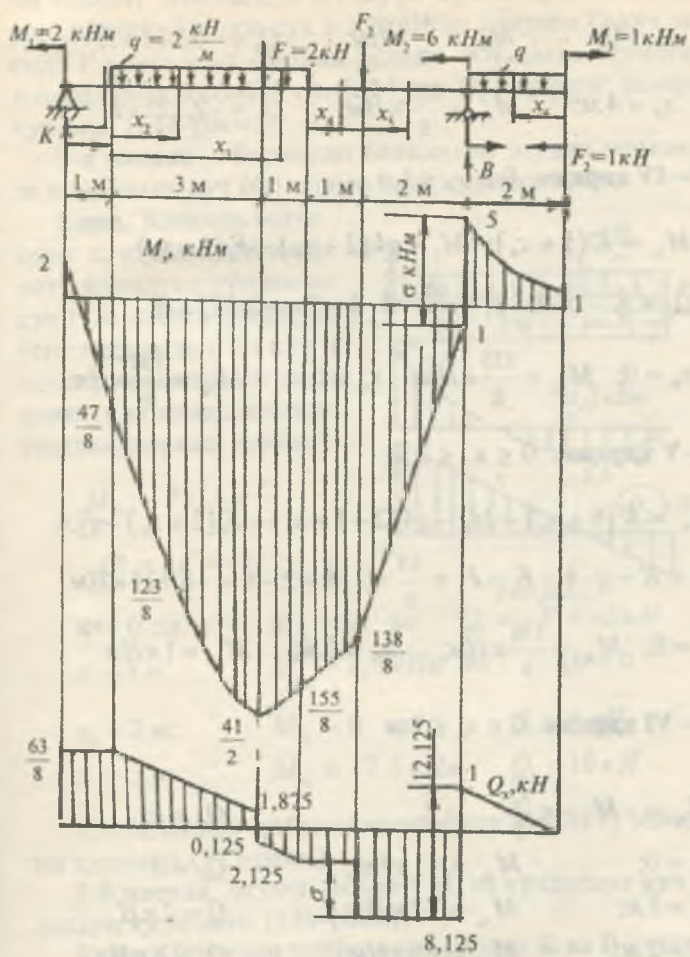
$$M_{x_2} = K(1 + x_2) - M_1 - q \frac{x_2^2}{2} \quad \text{ва} \quad Q_2 = K - qx_2$$

$$x_2 = 0; \quad M_{x_2} = \frac{47}{8} \text{ кНм}; \quad Q_2 = \frac{63}{8} \text{ кН}$$

$$x_2 = 1 \text{ м}; \quad M_{x_2} = \frac{123}{8} \text{ кНм}; \quad Q_2 = \frac{39}{8} \text{ кН}$$

$$x_2 = 3 \text{ м}; \quad M_{x_2} = \frac{41}{2} \text{ кНм}; \quad Q_2 = 1,875 \text{ кН}$$

III—III қирқим. $3 \leq x_3 \leq 4 \text{ м}; \quad Q_3 = K - qx_3 - F_1$



144-расм.

$$M_{x3} = K(1 + x_3) - M_1 - q \frac{x_3^2}{2} - F_1(x_3 - 3)$$

$$x_3 = 0; \quad M_{x_3} = \frac{41}{2} \kappa Hm; \quad Q_3 = -0,125 \kappa H$$

$$x_3 = 4 \text{ м}; \quad M_{x_3} = \frac{155}{8} \kappa Hm; \quad Q_3 = -2,125 \kappa H$$

IV—IV қирқим. $0 \leq x_4 \leq 1 \text{ м}$

$$M_{x_4} = K(5 + x_4) - M_1 - q4(2 + x_4) - F_1(1 + x_4)$$

$$Q_4 = K - q \cdot 4 - F_1 = \frac{63}{8} - 2 \cdot 4 - 2 = -2,125 \kappa H$$

$$x_4 = 0; \quad M_{x_4} = \frac{155}{8} \kappa Hm; \quad x_4 = 1 \text{ м}; \quad M_{x_4} = \frac{138}{8} \kappa Hm$$

V—V қирқим. $0 \leq x_5 \leq 2 \text{ м}$

$$M_{x_5} = K(6 + x_5) - M_1 - q4(2 + 1 + x_5) - F_1(2 + x_5) - 7F_2 x_5$$

$$Q_5 = K - q \cdot 4 - F_1 - F_2 = \frac{63}{8} - 2 \cdot 4 - 2 - 6 = -8,125 \kappa Hm$$

$$x_5 = 0; \quad M_{x_5} = \frac{138}{8} \kappa Hm; \quad x_5 = 2 \text{ м}; \quad M_{x_5} = 1 \kappa Hm$$

VI—VI қирқим. $0 \leq x_6 \leq 2 \text{ м}$

$$M_{x_6} = -M_3 - q \frac{x_6^2}{2}; \quad Q_6 = qx_6$$

$$x_6 = 0; \quad M_{x_6} = -1 \kappa Hm; \quad Q_6 = 0$$

$$x_6 = 1 \text{ м}; \quad M_{x_6} = -2 \kappa Hm; \quad Q_6 = 2 \kappa H$$

$$x_6 = 2 \text{ м}; \quad M_{x_6} = -5 \kappa Hm; \quad Q_6 = 4 \kappa H$$

Балканинг оралиқ қирқимларида күндаланг күч $Q > 0$ бўлса, эгувчи момент M_x ўсувчи, агар $Q < 0$ бўлса, M_x камаювчи бўлади. Тарқалган күч интенсивлиги $-q$ таъсир қилган қирқимларда эгувчи момент эгри чизиқ (парабола) қонуни билан ўзгаради. Q күч мусбат ишорадан манфий ишорага ўтиш нуқтасида эгувчи момент тах қийматига эришади. Жуфт күч M таъсир қилиш нуқтасида эгув-

чи момент эпюрасида шу жуфт күч миқдорига тенг сакраш бўлади. Ташқи күч F қўйилган нуқтада Q күч эпюрасида F кучга тенг сакраш бўлади. Юқорида айтилган мулоҳазаларни ҳисобга олиб M_x ва Q_x ларнинг эпюрасини қурамиз (144-расм).

2-а масала. Берилган балканинг эгувчи момент (M_{x_1}) ва кўндаланг күч (Q_1) эпюралари қурилсин.

Ечиш. Консоль балканнинг x_1 узунлигига юқорига йўналган тўпланма күч F ва пастга йўналган тенг тақсимланган күч q таъсир қиласди. Эгувчи момент ва кўндаланг күч тенгламаларини тузамиз:

$$M_{x_1} = Fx_1 - q \frac{x_1^2}{2}$$

$$Q_1 = -F + qx_1$$

$$x_1 = 0 \text{ да}$$

$$M_{x_1} = 0 \text{ ва } Q_1 = -F = -5 \text{ kH}$$

$$x_1 = 1 \text{ m};$$

$$M_{x_1} = 2,5 \text{ kNm} \text{ ва } Q_1 = 0$$

$$x_1 = 2 \text{ m};$$

$$M_{x_1} = 0 \text{ ва } Q_1 = 5 \text{ kH}$$

$$x_1 = 3 \text{ m};$$

$$M_{x_1} = -7,5 \text{ kNm} \quad Q_1 = 10 \text{ kH}$$

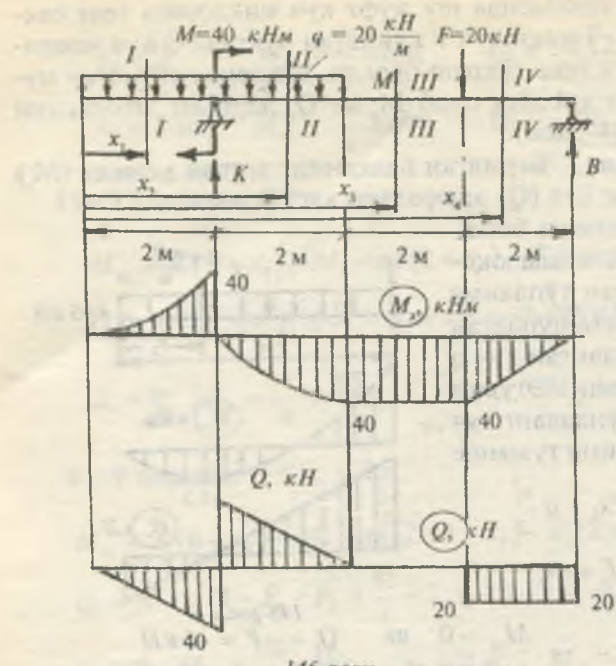
Ҳисобланган қийматлар асосида M_{x_1} ва Q_1 эпюралари ни қурамиз (145-расм).

2-б масала. Эгувчи момент M_x ва кўндаланг күч Q эпюралари қурилсин (146-расм).

Ечиш. Пўлатдан тайёрланган балка К ва В нуқталарида таянчга таяниб турган. К ва В реакция кучларини топиш учун системанинг мувозанат ҳолатини қаноатлантирувчи статиканинг момент тенгламасидан фойдаланамиз:

$$\sum M_K = M + F \cdot 4 + q \frac{4}{2} - q \frac{4}{2} - B \cdot 6 = 0$$

$$\text{Бу ерда: } B = 20 \text{ kH}$$



146-расм.

$$\sum M_B = K \cdot 6 + M - F \cdot 2 - q \cdot 4 \left(\frac{4}{2} + 4 \right) = 0$$

Бу ерда: $K = 80 \text{ kH}$

Текшириш: $\sum y = K + B - F - 4q = 0$

$$80 + 20 - 20 - 4 \cdot 20 = 0 \quad \text{ва} \quad 80 - 80 = 0$$

Энди балкани оралиқларга бүлиб, эгувчи момент ва күндаланг күч эпюрасини қурамиз. I—I ва II—II қирқимлар оралиқларида М тақсимланган күч интенсивлигі билан иккинчи даражали боғланишда.

I—I қирқим. $0 \leq x_1 \leq 2 \text{ m}$

$$M_{x_1} = -q \frac{x_1^2}{2}; \quad Q_1 = -qx_1$$

Агар $x_1 = 0$ бўлса, $M_{x_1} = 0$ ва $Q_1 = 0$
 Агар $x_1 = 1 \text{ м}$ бўлса, $M_{x_1} = -10 \text{ кНм}$ ва $Q_1 = -20 \text{ кН}$
 Агар $x_1 = 2 \text{ м}$ бўлса, $M_{x_1} = -40 \text{ кНм}$ ва $Q_1 = -40 \text{ кН}$

II-II қирқим. $2 \leq x_2 \leq 4 \text{ м}$

$$M_{x_2} = q \frac{x_2^2}{2} + K(x_2 - 2) + M; \quad Q_2 = K - qx_2$$

$$x_2 = 2 \text{ м}; \quad M_{x_2} = 0; \quad Q_2 = 40 \text{ кН}; \quad x_2 = 3 \text{ м}; \quad M_{x_2} = 30 \text{ кНм}$$

$$Q_2 = 20 \text{ кН}; \quad X_2 = 4 \text{ м}; \quad M_{x_2} = 40 \text{ кНм}; \quad Q_2 = 0$$

Эгувчи момент тенгламасида жуфт куч М қатнашганлиги учун M_{x_2} эпюрасида $x_2 = 2 \text{ м}$ кесимда $M = 40 \text{ кНм}$ қийматга тенг сакраш бўлади.

III-III қирқим. $4 \leq x_3 \leq 6 \text{ м}$

$$M_{x_3} = -q \cdot 4(x_3 - 2) + K(x_3 - 2) + M$$

$Q_3 = -4q + K = -4 \cdot 20 + 80 = 0$, яъни кўндаланг куч III-III қирқим оралиғида нолга тенг экан. Демак, M_x нинг қиймати $4 \leq x_3 \leq 6 \text{ м}$ оралиқда ўзгармас ва абсциссага параллел жойлашади.

$$x_3 = 4 \text{ м}; \quad M_{x_3} = 40 \text{ кНм} \quad \text{ва} \quad x_3 = 6 \text{ м}; \quad M_{x_3} = 40 \text{ кНм}$$

IV-IV қирқим. $6 \leq x_4 \leq 8 \text{ м}$

Эгувчи момент тенгламасини тузамиз:

$$M_{x_4} = -4q(x_4 - 2) + K(x_4 - 2) - F(x_4 - 6)$$

Кўндаланг куч тенгламасини тузамиз:

$$Q_4 = -4q + K - F = -4 \cdot 20 + 80 - 20 = -20 \text{ кН}$$

$$x_4 = 6 \text{ м}; \quad M_{x_4} = 40 \text{ кНм}; \quad x_4 = 8 \text{ м}; \quad M_{x_4} = 0$$

Энг катта эгувчи момент $M_{x_4} = 40 \text{ кНм}$

Эгилишда нормал кучланиш буйича мустаҳкамлик шартига асосан қўштаврли кесим танлаймиз:

$$W_x = \frac{M_{x_{\max}}}{[6]} = \frac{40 \cdot 10^3}{160 \cdot 10^6} = 0,25 \cdot 10^{-3} \text{ м}^3$$

$W_T = 0,254 \cdot 10^{-3} \text{ м}^3$ га асосан қўштавр № 22 ни қабул қиласиз.

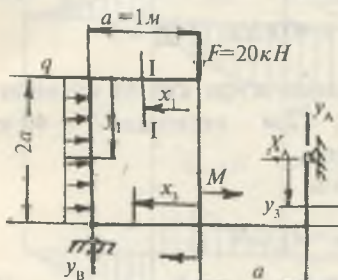
3-масала. Берилган рама учун М ва Q энзоралари қурилсін.

Ечиш. Реакция күчларини топамиз.

$$\sum x = -x_A + q \cdot 2a = 0 \text{ ёки } x_A = 2qa = 40 \text{ кН}$$

$$\sum M_B = 0$$

$$F \cdot a + q \cdot 2a \cdot \frac{2a}{2} + M - y_A \cdot 2a - x_A \cdot a = 0$$



147-расм.

Бұрында:

$$y_A = \frac{Fa + 2qa^2 + M - x_A a}{2a} =$$

$$= \frac{20 + 2 \cdot 20 \cdot 1^2 + 20 - 40 \cdot 1}{2 \cdot 1}$$

$$\text{ёки } y_A = 20 \text{ кН}$$

$$\sum M_A = y_B \cdot 2a + M - F \cdot a = 0$$

$$\text{ва } y_B = 0$$

M үзүүлгілердің түзімдерін түзәмиз:

I—I қирким. $0 \leq x_1 \leq 1 \text{ м}$

$$M_{x_1} = F \cdot x_1 \quad \text{ва} \quad Q_1 = F = 20 \text{ кН}$$

$$x_1 = 0; \quad M_{x_1} = 0 \quad \text{ва} \quad x_1 = 1 \text{ м}; \quad M_{x_1} = 20 \text{ кНм}$$

II—II қирким. $0 \leq y_1 \leq 2 \text{ м}$

$$M_{x_2} = F \cdot 1 + q \frac{y_1^2}{2} \quad \text{ва} \quad Q_2 = qy_1; \quad N_2 = -F = -20 \text{ кН}$$

$$y_1 = 0; \quad M_{x_2} = 20 \text{ кНм}; \quad Q_2 = 0$$

$$y_1 = 1 \text{ м}; \quad M_{x_2} = 30 \text{ кНм}; \quad Q_2 = 20 \text{ кН}$$

$$y_1 = 2 \text{ м}; \quad M_{x_2} = 60 \text{ кНм}; \quad Q_2 = 40 \text{ кН}$$

III—III қирким. $0 \leq y_2 \leq 1 \text{ м}$

$$M_{x_3} = x_A \cdot y_2; \quad Q_3 = -x_A = -40 \text{ кН} \quad \text{ва} \quad N_2 = 20 \text{ кН}$$

$$y_2 = 0; \quad M_{x_3} = 0 \quad \text{ва} \quad y_2 = 1 \text{ м}; \quad M_{x_3} = 40 \text{ кНм}$$

IV—IV қирқим. $0 \leq x_2 \leq 1\text{ м}$

$$M_{x_4} = x_A \cdot 1 + y_A x_2; \quad Q_4 = -y_A = -20 \text{ кН}; \quad N_4 = -x_A = -40 \text{ кН}$$

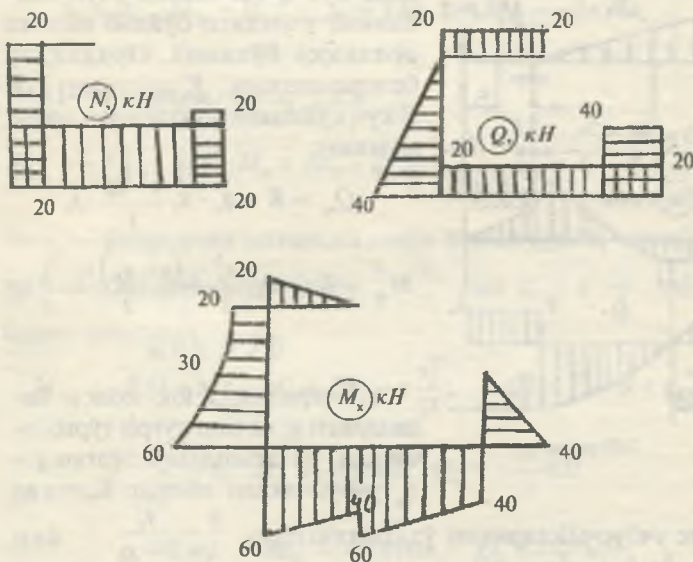
$$x = 0; \quad M_{x_4} = 40 \text{ кНм} \quad \text{ва} \quad x_4 = 1 \text{ м}; \quad M_{x_4} = 60 \text{ кНм}$$

V--V қирқим. $0 \leq x_3 \leq 1\text{ м}$

$$M_{x_5} = x_A \cdot 1 + y_A(x_3 + 1) - M \quad \text{ва} \quad Q_5 = -y_A = -20 \text{ кН}$$

$$N_5 = -x_A = -40 \text{ кН}; \quad x_3 = 0; \quad M_{x_5} = 40 \text{ кНм}$$

$$x_3 = 1 \text{ м}; \quad M_{x_5} = 60 \text{ кНм}$$



148-расм.

4-масала. Схема (в) (149-расм).

Ечиш. Тақсимланған күч интенсивлигі q балка узунлигі бүйірчы тұғри чизик қонунияти билан үзгаради. q — күчларни тенг таъсир қылувчиси учбұрчак юзаси билан үлчанади ва К нүктадан $\left(\frac{t}{3}\right) = 1$ м масофада жойлады.

$$\sum M_K = F \cdot 4 + M_0 - B \cdot 3 + q \cdot 3 \cdot \frac{1}{2} \cdot \frac{1}{3} \cdot 3 = 0 \quad \text{ва} \quad B = \frac{16}{3} \kappa H$$

$$\sum M_B = K \cdot 3 - \frac{q \cdot 3}{2} \cdot \frac{2}{3} \cdot 3 + M_0 + F \cdot 1 = 0 \quad \text{ва} \quad K = \frac{8}{3} \kappa H$$

Текшириш: $\sum y = K - q \cdot \frac{3}{2} + B - F = 0$

$$\frac{8}{3} - 4 \cdot \frac{3}{2} + \frac{16}{3} - 2 = 0$$

Эгувчи момент M_x ва күндаланг куч Q ни топиш учун балканинг узунлиги бўйлаб иккита оралиқга бўламиз. Оралиқлар бошлинишини K нуқтадан ёки F куч қўйилиш нуқтасидан олиш мумкин:

$$Q_{x_1} = K - q_x \cdot x_1 \frac{q - q_x}{2} \cdot x_1$$

$$M_{x_1} = Kx_1 - q_x \frac{x_1^2}{2} - \frac{(q - q_x)x_1}{2} \cdot \frac{2}{3} x_1$$

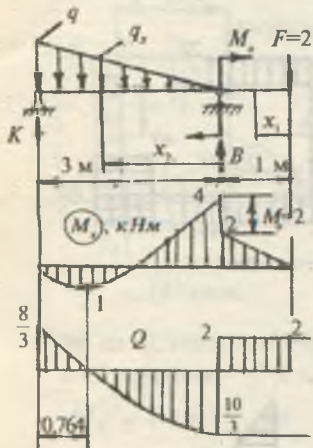
$$0 \leq x_1 \leq 3 \text{ м}$$

x_1 — оралиқда юк юзаси баландлиги q_x га тенг тўғри тўртбурчакдан ва баландлиги бўлган $q - q_x$ учбурчакдан иборат. Катта ва

кичик учбурчакларнинг ўхшашлигидан $\frac{q}{3} = \frac{q_x}{3 - x_1}$ ёки $q_x = q - \frac{3 - x_1}{3} = q \left(1 - \frac{x_1}{3}\right)$ ифодани ҳисобга олсак,

$$M_{x_1} = Kx_1 - q \left(1 - \frac{x_1}{3}\right) \frac{x_1^2}{2} - \left[\frac{q - q \left(1 - \frac{x_1}{3}\right)}{2} \right] x_1 \cdot \frac{2}{3} x_1 = Kx_1 - q \frac{x_1^2}{2} +$$

$$+ q \frac{x_1^3}{6} - q \frac{x_1^3}{9} = Kx_1 - q \frac{x_1^3}{2} + q \frac{x_1^3}{18}$$



149-расм.

$$Q_1 = K - qx_1 + q \frac{x_1^2}{3} - \left[\frac{q - q \left(1 - \frac{x_1}{3} \right)}{2} \right] x_1 = K - qx_1 + q \frac{x_1^2}{6}$$

Эгувчи момент ва күндаланг күч тенгламаларини балканинг күч қўйилган нуқтасидан бошлаб ҳам тузиш мумкин.

I—I қирқим. $0 \leq x_1 \leq 1 \text{ м}$

$$M_{x_1} = -Fx_1; \quad Q_1 = F_1 = 2\kappa H;$$

$$x_1 = 0; \quad M_{x_1} = 0; \quad x_1 = 1 \text{ м}; \quad M_{x_1} = -2\kappa H \text{м}$$

II—II қирқим. $0 \leq x_2 \leq 3 \text{ м}$

$$M_{x_2} = -F(1+x_2) - M_0 + Bx_2 - q_x \frac{x_2}{2} \cdot \frac{x_2}{3}; \quad Q_2 = F - B + q_x \cdot \frac{x_2}{2}$$

q_x — ўзгарувчан интенсив юкни В таянчдан x_2 масофада жойлашган қиймати бўлиб, $\frac{q}{3} = \frac{q_x}{x_2}$ ёки $q_x = q \cdot \frac{x_2}{3}$ ифода билан топилади.

$$M_{x_2} = -F(1+x_2) - M_0 + Bx_2 - q \frac{x_2^3}{18}; \quad Q_2 = F - B + q \frac{x_2^2}{6}$$

$$x_2 = 0; \quad M_2 = -4\kappa H \text{м}; \quad Q_2 = -\frac{10}{3}\kappa H$$

$$x_2 = 1 \text{ м}; \quad M_{x_2} = -\frac{8}{9}\kappa H \text{м}; \quad Q_2 = -\frac{16}{6}\kappa H$$

$$x_2 = 3 \text{ м}; \quad M_{x_2} = 0; \quad Q_2 = -\frac{8}{3}\kappa H; \quad Q = F - B + q \cdot \frac{x_2^2}{6} = 0$$

ёки $x_2^2 = 5$, демак, $x_2 = 2,236 \text{ м}$ бўлса,

$$Q_2 = 0; \quad M_{x_2} = M_{\max} = 1\kappa H \text{м}$$

6.3. ЭГИЛИШДА НОРМАЛ КУЧЛАНИШНИ АНИҚЛАШ

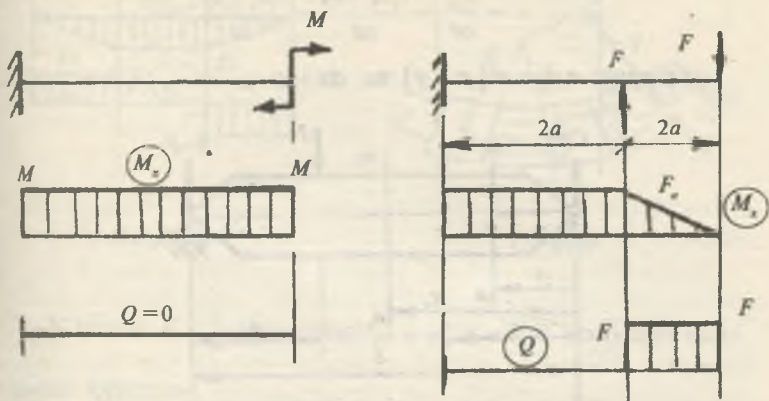
Эгилишда бруснинг кўндаланг кесим юзасида эгувчи момент ва кўндаланг куч ҳосил бўлади. Ўзаро тенг F кучлар билан юқланган балкани m — п кесимида пастга йўналган ички куч — Q таъсир қиласи. Кўндаланг куч Q балкани кесилган юзасига m — п текисликка уринма бўлиб йўналган. Шунинг учун бу юзада уринма кучланиш τ ҳосил бўлади (150-расм).

Вертикал текисликда жойлашган C ва Q кучлари балкани X оралиқда $M = CX$ жуфт куч моментини ҳосил қиласи. Жуфт куч моменти M балкани m — п текислигидаги кесим юзасида нормал кучланишлар σ ни келтириб чиқаради.

Демак, балкани C таянчидан X масофада жойлашган кесим юзасида τ ва σ кучланишлари ҳосил бўлиб, бу кучланишлар балканинг бир кесимидан иккинчи кесимига узатилади (150-расм).

Берилган балканинг m — п кесимидан нормал кучланиш σ ни топиш учун шу кесимдаги уринма кучланишнинг қийматини, унинг кесим юзасидаги тарқалиш хусусиятини билишимиз керак. Кесим юзасидаги τ номаълум бўлганлиги учун нормал кучланишни балканинг бу кесимида кучланганлик ҳолатидан фойдаланиб топа олмаймиз, чунки σ ва τ ўзаро боғланишда. Демак, иккита кучланишдан биттасини топиш учун уларнинг биттаси берилган бўлиши ёки нолга тенг бўлиши керак. Балканинг X , оралиғидаги m — п кесимида $Q = C - F = F - F = 0$ ёки $\tau = 0$ бўлганлиги учун бу кесимда фақат $M = Fa$ эгувчи момент ёки нормал кучланишлар — σ таъсир қиласи. Эгилишдаги кучланиш ҳолатининг кўндаланг куч нолга тенг бўлган хусусий ҳоли соф эгилиш дейилади. Соф эгилиш оралиқда эгувчи момент ўз қийматини ўзгартирмайди. Фақат $M = Fa$ эгувчи момент (нормал кучланишлар — σ) таъсир қиласи. Эгилишдаги кучланиш ҳолатини кўндаланг куч нолга тенг бўлган хусусий ҳоли соф эгилиш дейилади. Соф эгилишда эгувчи момент ўз қийматини ўзгартирмайди ($M = \text{const}$), кўндаланг куч эса нолга

тенг ($Q = 0$). Демак, уринма кучланиш нолга тенг бўлиб, фақат нормал кучланишлар таъсиридаги балканинг дефор-



мацияси соф эгилиш экан. Куйидаги балкалар соф эгилишда:

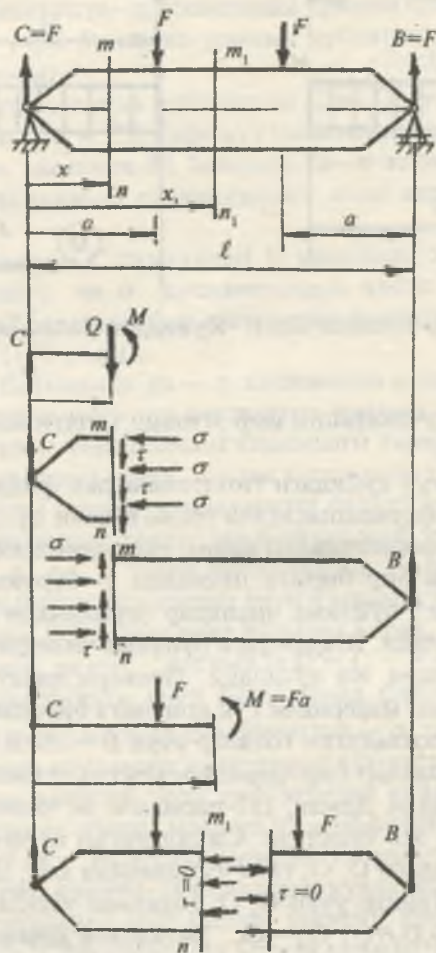
Нормал кучланишни соф эгилиш ҳолатидан фойдаланиб топамиз.

Бунинг учун қуйидаги гипотезалардан фойдаланамиз: балканинг деформациясигача текис бўлган кўндаланг кесим юзаси деформациядан кейин ҳам текислигича қолади (151-расм) ва бир-бирига нисбатан θ бурчакка оғади: ўзаро параллел бўйлама чизиқлар эгриланади ва параллелигича қолади. Юқоридаги бўйлама чизиқлар сиқилади, пастдагилари эса чўзилади (тескари ҳолат ҳам мавжуд); балканинг материали Гук қонунига бўйсунади; чўзиладиган ва сиқиладиган толалар учун $E = \text{const}$ деб қабул қилинади; толалар бир-бирига вертикал текисликда босим кўрсатмайди. Демак, 152-расмдаги ав чизиқ сиқилади, сиқиладиган толалар орасидаги $O_1 O_2$ тола чўзилмайди ҳам, сиқиладиган толалар орасидаги $O_1 O_2$ тола чўзилмайди ҳам. Шунинг учун $O_1 O_2$ толанинг узунлиги ўзгартмайди, яъни $O_1 O_2 = O_1^1 O_2^1 = dx$. Балканинг деформациялашишида ўз узунлигини ўзгартирмайдиган тола нейтрал тола дейилади. Нейтрал тола билан кўндаланг кесимнинг кешишидан ҳосил бўлган чизиқ нейтрал ўқ дейилади. 152-

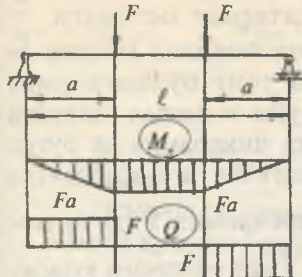
расмдан сd толанинг нисбий узайишини топамиз:

$$\varepsilon = \frac{\Delta_{cd}}{cd} = \frac{c_1 d_1 - cd}{cd} = \frac{c_1 d_1 - dx}{dx}$$

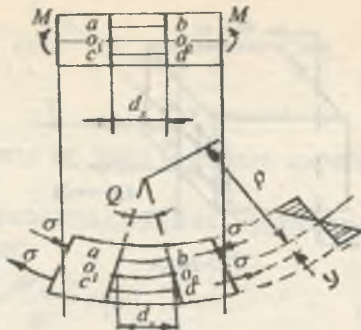
Бу ерда: $c_1 d_1 = \theta(\rho + y)$ ва $dx = \theta \cdot \rho$



150-расм.



151-расм.



152-расм.

У ҳолда: $\varepsilon = \frac{y}{\rho}$ ифодани $\sigma = \varepsilon \cdot E$ — Гук қонунинг келтириб қўйилса,

$$\sigma = \frac{y}{\rho} E \quad (6.6)$$

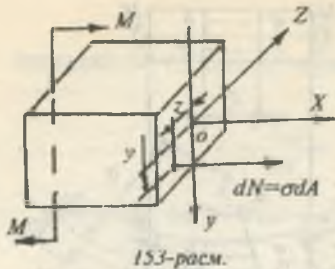
(6.6) формула ёрдамида нормал кучланиш кесим юзанинг баландлиги бўйлаб ўзгариш қонуниятини аниқлаш мумкин:

$$y = 0 \text{ бўлса, } \sigma = 0 \quad \text{ва} \quad y = y_{\max} \text{ бўлса, } \sigma = \sigma_{\max}$$

Демак, нормал кучланиш кесимининг марказида, яъни нейтрал ўқда нолга teng ва кесимнинг сиртида, яъни кесимнинг нейтрал ўқдан энг узоқда жойлашган нуқтасида катта қийматга эришар экан. Нормал кучланишнинг бундай ўзгариш графикаси тўғри чизиқdir (152-расм).

(6.6) формуладан σ ни топиш учун уни ташқи куч ёки эгувчи момент билан боғлашимиз керак. Бунинг учун балкадан ажратиб олинган d_x узунликдаги кесимини ташқи куч моменти M ва ички бўйлама куч dN таъсиридаги мувозанатини статиканинг тенгламалари ёрдамида текширамиз. Соф эгилишда кесим юзасидаги элементар dN бўйлама кучларининг таъсир этувчиси нолга teng бўлади:

$$\sum X = N = \int_A \sigma \cdot dA = 0 \quad \text{ва} \quad \int_A \frac{E}{\rho} y dA = 0$$



153-расм.

Интеграл остидаги қиймат ўзгармас миқдор ва нолга тенг бұлмаганлығы учун уни интеграл ишораси олдига чиқарамиз ва бутун тенгликни шу қийматта қисқартирамиз. Унда интеграл $\int ydA = 0$ кесим юзасининг нейтрал үқ OZ га нисбатан статик моменти нолга тенгdir. Шунинг учун OZ үқ кесим юзасининг оғирлик марказидан үтади.

Ички бүйлама күч ва момент M кесим юзаси y ва Z ўқларига проекция бермайды. Шунинг учун $\sum Z = 0$; $\sum y = 0$ тенгламаларидан фойдаланмаймиз. Шунингдек, dN ва M кесим юзасини OX ва OY ўқларига нисбатан моментлари ҳам айниятта айланғанлығы учун $\sum M_x = 0$ ёки $\sum M_y = 0$ тенгламаларидан фойдаланмаймиз. У ҳолда $\sum M_z = 0$ тенгламани тузамиз:

$$M_z = \int_A dN \cdot y = \int_A \sigma \cdot dA \cdot y = \int_A \frac{E}{\rho} y^2 dA = \frac{E}{\rho} \int_A y^2 dA$$

Бу ифодадаги интеграл балка кесим юзасининг огз үкқа нисбатан инерция моментини билдиради — $I_z = \int_A y^2 dA$. У ҳолда: $M_z = \frac{E}{\rho} \cdot I_z$ ни ҳосил қиласымиз. Бу тенглиқдан $\frac{1}{\rho} = \frac{M_z}{EI_z}$ — нейтраң қатлам эгрилигини (6.6) формулага қўйиб эгилишда нормал кучланиш формуласини топамиз:

$$\sigma = \frac{M_z \cdot y}{I_z} \quad (6.7)$$

(6.7) формула балка күндаланг кесим юзасида нейтраң үқдан у масофадаги горизонтал чизикда ётувчи исталған нүктадаги кучланишни топиш учун ишлатилади. Агар, $y = y_{\max}$ ва $M_z = M_{\max}$ бўлса,

$$\sigma = \sigma_{\max} = \frac{M_{\max} \cdot y_{\max}}{I_z} \quad \text{ёки} \quad \sigma_{\max} = \frac{M_{\max}}{\frac{I_z}{y_{\max}}} = \frac{M_{\max}}{W_z} \quad (6.8)$$

Бу ерда: W_z — кесимнинг оз ўққа нисбатан қаршилик моменти.

Эгилишда нормал кучланиш бўйича мустаҳкамлик шарти қуидагича ёзилади:

$$\sigma_{\max} = \frac{M_{\max}}{W} \leq [\sigma] \quad (6.9)$$

(6.9) формула асосида, материаллар қаршилигида уч хил масала ечилиши мумкин:

1. Конструкцияга қўйилиши мумкин бўлган юкнинг қиймати топилади: $M_{\max} = [\sigma] \cdot W \text{ кН} \cdot \text{м}$

2. Конструкциянинг кесими танланади: $W \geq \frac{M_{\max}}{[\sigma]}$; м^3

3. Конструкциянинг мустаҳкамлик шарти текширилади:

$$\sigma_{\max} = \frac{M_{\max}}{W} \leq [\sigma]$$

Агар балканинг материали чўзилиш ва сиқилишга ҳар хил қаршилик кўрсатса, яъни $[\sigma]_v \neq [\sigma]_c$ бўлса, у ҳолда:

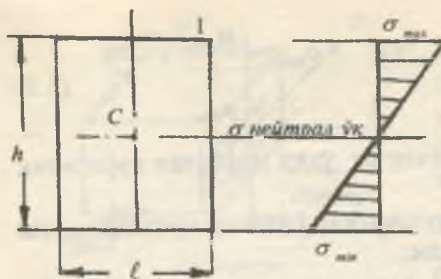
$$\sigma_{\max,v} = \frac{M_{\max}}{W_1} \leq [\sigma]_v \quad \text{ва} \quad \sigma_{\max,c} = \frac{M_{\max}}{W_2} \leq [\sigma]_c \quad (6.10)$$

6.3.1. ТУРЛИ КЕСИМЛАР УЧУН НОРМАЛ КУЧЛANIШ ЭПЮРАСИ

1. Тўғри тўртбурчак (С нуқта кесимининг оғирлик маркази).

Мустаҳкамлик шарти:

$$\sigma_{\max} = \frac{M_{\max}}{W_x} \leq [\sigma]; \quad W_x = \frac{bh^2}{6}$$



154-расм.

У ҳолда:

$$\frac{6M_{\max}}{bh^2} \leq [\sigma]$$

2. Доира. Кесимнинг қаршилик моменти:

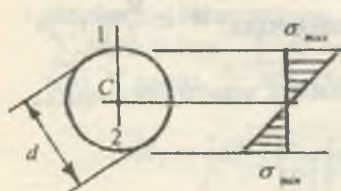
$$W_x = W_y = \frac{\pi \cdot d^3}{32}$$

Мустаҳкамлик шарти:

$$\text{ти } \frac{\sigma_{\max}}{\min} = \frac{32M_{\max}}{\pi \cdot d^3} \leq [\sigma]$$

3. Учбурчак. Кесимнинг 1 ва 2-нуқталари нейтрал ўқдан энг узокда жойлашган.

Қаршилик моментлар:



155-расм.

$$W_x^1 = \frac{bh^2}{24} \text{ ва } W_x^{11} = \frac{bh^2}{12}$$

Мустаҳкамлик шарти:

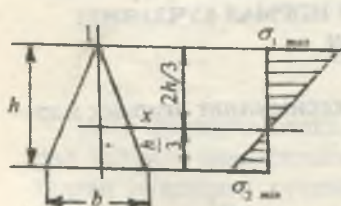
$$\sigma_{1\max} = \frac{M_{\max}}{W_x^1} \leq [\sigma]$$

$$\sigma_{2\min} = \frac{M_{\max}}{W_x^{11}} \leq [\sigma]$$

4. Тўғри бурчакли кўштавр.

Оғирлик маркази координатаси:

$$y_1 = y_2 = \frac{H}{2}$$



156-расм.

$$W_x = \frac{dh^3}{6H} + \frac{b}{H} (H^3 - h^3),$$

$$W_y = \frac{d^3 h}{6b} + \frac{b^2}{6} (H - h)$$

$$\sigma_{1\max} = -\sigma_{2\max} = \frac{M_{\max}}{W_x} \leq [\sigma]$$

$$A = bC_1 + d(h + h_1) + BC$$

$$b_1 = b - d \quad B_1 = B - d;$$

$$y_1 = \frac{dH^2 + B_1 C^2 + b_1 C_1 (2H - C_1)}{dH + B_1 C + b_1 C_1}$$

$$I_y = \frac{1}{12} [B^3 C + b^3 C_1 + d^3 (h + h_1)]$$

$$I_x = \frac{1}{3} (By_1^3 - B_1 h^3 + by_1^3 - b_1 h_1^3);$$

5. Трапеция.

Мустақамлар шарты:

$$\sigma_{1\max} = \frac{M_{\max}}{W_x^1} \leq [\sigma]$$

$$\sigma_{2\max} = \frac{M_{\max}}{W_x^{11}} \leq [\sigma]$$

Тенг томонли бүлмаган трапеция учун қаршилик

моменти ва С нүкта координаталари:

$$W_x^1 = \frac{h^2(b^2 + 4bb_1 - b_1^2)}{12(2b + b_1)}, \quad W_x^{11} = \frac{h^2(b^2 + 4bb_1 + b_1^2)}{12(2b + b_1)}$$

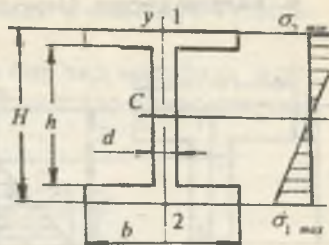
Биринчи ва иккинчи нүкта координаталари:

$$y_1 = \frac{2b + b_1}{3(b + b_1)}$$

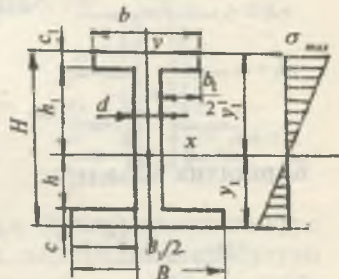
$$y_2 = \frac{b + 2b_1}{3(b + b_1)}$$

Юқори асоси b_1 ва пастки асоси $b = b_1 + b_0$ бүлганса тенг томонли трапеция учун қаршилик моменти:

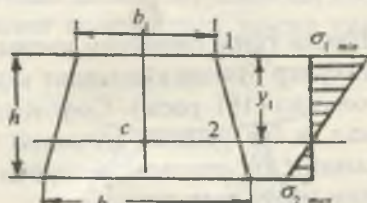
$$W_{x1} = \frac{h^2(6b_1^2 + 6b_1 b_0 + b_0^2)}{12(3b_1 + 2b_0)}; \quad y_1 = \frac{3b_1 + 2b_0}{3(2b_1 + b_0)} \cdot h$$



157-расм.

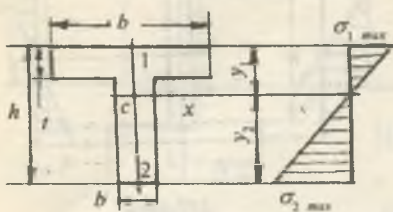


158-расм.



159-расм.

6. Таврли кесим. Оғирлік марказининг координаталари:



160-расм.

$$y_1 = \frac{1}{2} \frac{(B-b)t^2 + bh^2}{(B-b)t + bh}$$

$$y_2 = h - y_1$$

$$A = (B-b)t + bh$$

Мустақамлиқ шарти:

$$\sigma_{1\max} = \frac{M_{\max}}{W_{x1}} \leq [\sigma] \quad \text{ва}$$

$$\sigma_{2\max} = \frac{M_{\max}}{W_{x2}} \leq [\sigma]$$

Қаршилик моменти:

$$W_{x1} = \frac{\frac{1}{3} [(B-b)t^3 + bh^3]}{y_1} - y_1 [(B-b)t + bh]$$

$$W_{x2} = \frac{\frac{1}{3} [(B-b)t^3 + bh^3] - y_1^2 A}{y_2}$$

6.4. ЭГИЛИШДА УРИНМА КУЧЛАНИШНИ АНИҚЛАШ

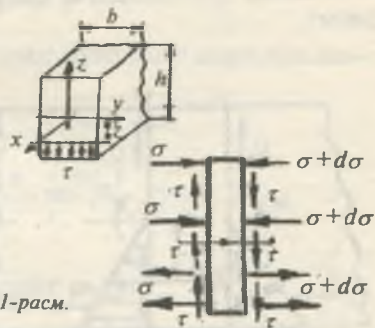
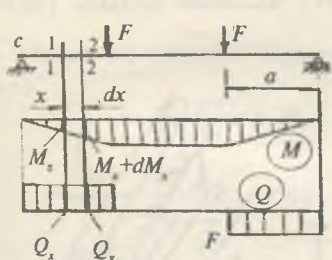
Шакли түғри бурчакли кесимнинг бүйлама үқига перпендикуляр бұлған күндаланг юзадаги уринма кучланишни топамиз (161-расм). Соф эгилишдан фарқли бу юзада нормал σ ва уринма кучлаништегі τ ҳосил бўлади, чунки балканинг шу оралиғида эгувчи момент ҳам, күндаланг куч ҳам нолга teng эмас.

Уринма кучланиш түғрисида қуйидаги фикрларни юритамиз:

1. Күндаланг куч Q барча ички уринма кучланишларнинг teng таъсир қилувчиси. Уринма кучланишларнинг

йұналиши күндаланг күч йұналиши билан мос тушади. (161-расм).

2. Кесимнинг нейтрал үқидан бир хил масофада жойлашган юзалардаги уринма күчланишлар үзаро тенгдир (161-расм).



161-расм.

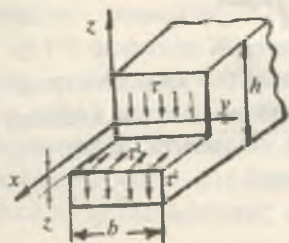
3. Уринма күчланишларнинг жуфтлик аломатига күра балканинг күндаланг кесимида перпендикуляр бўлган бўйлама кесимида уринма күчланишлар ҳосил бўлади (162-а расм), яъни: $\tau = -\tau'$.

Демак, балканинг бўйлама үқи йұналишида ҳам уринма күчланишлар — τ' ҳосил бўлар экан, улар балка толаларини бир-бирига нисбатан силжитади.

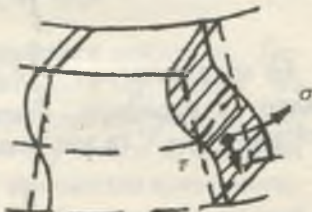
4. Текис күндаланг эгилиш гипотезасига асосан деформациягача текис бўлган күндаланг кесим юзалар деформациядан кейин қисман эгриланади (162-б расм).

Күндаланг кесимнинг бундай қисман эгриланиши нормал күчланишнинг тарқалиш қонуниятiga таъсир қил-

а)

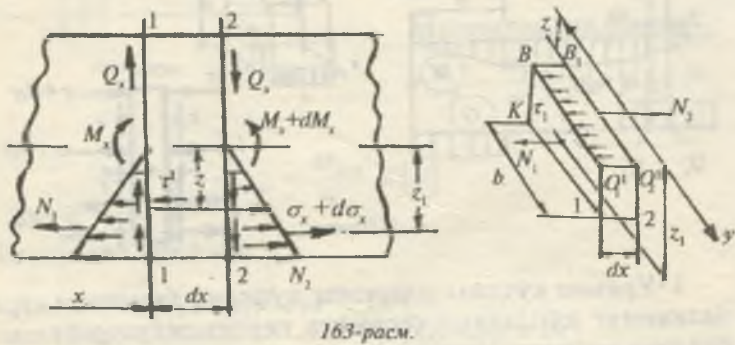


б)



162-расм.

майди, шунинг учун эгилишда уринма кучланишни топишда толаларнинг силжиши гипотезаси ҳисобга олинмайди. Эгилишда уринма кучланиш формуласини келтириб чиқариш учун, балкани С таянч нуқтасидан X ва кесимнинг нейтрал қатламидан Z масофада жойлашган dx элементар узунликдаги қисмини ажратиб оламиз (163-расм).



163-расм.

Ажратиб олинган түғри бурчакли элементнинг горизонтал $BB_1O'_1O'_2$ юзаси τ' уринма кучланишлари; вертикаль BKO'_1 юзаси N_1 ва унга параллел юзада N_2 ички бүйлама кучлари таъсирида бўлади (163-расм). $BB_1O'_1O'_2$ юзадаги τ' уринма кучланишларнинг тенг таъсир қилувчиси $dT = \tau' b dx$ балкани бўйлама ўқига параллел йўналади. BO'_1 қиррага таъсир қилаётган N_1 бўйлама куч BKO'_1 юзадаги σ_x нормал кучланишларнинг тенг таъсир қилувчиси, яъни:

$$N_1 = \int_0^A \sigma_x dA = \frac{M_x}{I_y} \int_0^A Z_1 dA$$

Бу ерда интеграл $\int_0^A Z_1 dA$ балканинг нейтрал қатламидан Z масофада ажратиб олинган BKO'_1 юзанинг нейтрал ўқ — Y га нисбатан статик моменти, яъни:

$$S_y^0 = \int_0^A Z_1 dA$$

У ҳолда $N_1 = \frac{M_x}{I_y} \cdot S_y^0$ ҳосил булади. $B_1O'_2$ қиррага таъсир қилаётган N_2 ички бўйлама куч $\sigma_x + d\sigma_x$ нормал кучланишларнинг тенг таъсир қилувчиси, яъни:

$$N_2 = \int (\sigma_x + d\sigma_x) dA = \frac{M_x + dM_x}{I_y} \int Z_1 dA = \frac{M_x + dM_x}{I_y} S_y^0$$

Ажратиб олинган элементнинг мувозанат шартини ёзамиш:

$$\sum x = N_1 + dT - N_2 = 0 \text{ ёки}$$

$$\frac{M_x}{I_y} \cdot S_y^0 + \tau^1 b dx - \frac{(M_x + dM_x)}{I_y} \cdot S_y^0 = 0$$

Айрим соддалаштиришлардан кейин: $\tau = \frac{dM_x}{dx} \cdot \frac{S_y^0}{I_y b}$ ҳосил бўлади. Агар, $\frac{dM_x}{dx} = Q_x$ дифференциал боғланиши ҳисобга олсак, эгилишда уринма кучланиш формуласи келиб чиқади:

$$\tau = \frac{Q_x \cdot S_y^0}{I_y b} \quad (6.11)$$

Бу ерда: S_y^0 — ажратиб олинган элементнинг BKO'_1 юзасини, яъни балканинг нейтрал ўқидан Z масофадан пастда ва балка кесимининг четки 1 нуқтасидан юқорида қолган BKO'_1 юзасини нейтрал ўқ — Уга нисбатан статик моменти;

b — кучланиши текширилаётган нуқта жойлашган кесим юзасининг эни;

I — балка кесим юзасининг нейтрал ўқ — Уга нисбатан инерция моменти.

(6.11) формула Журавский формуласи дейилади. Демак, эгилишда уринма кучланиш ($Q_x = const$ ва $I_y = const$) кесимнинг баландлиги бўйлаб кучланиши текширилаётган нуқтанинг ўрнига ва шу нуқта жойлашган кесимнинг эни — b га боғлиқ экан. Амалиётда ҳамма конструкция қисмларининг кесими ҳам баландлиги бўйлаб

ўзгармас энли бўлавермайди. Ўзгарувчан энли кесимларда т кесим энининг ўзариш нуқтасида икки хил қийматга эга бўлади.

(6.11) формулага асосан т кесимнинг баландлиги бўйлаб эгри чизиқли қонуният билан ўзгаради. 164-расмдан кўринишича, Z масофа қанчалик кичик бўлса, BKO_1^I юза шунча катталашади. Демак, кучланиши текширилаётган нуқта нейтрал ўққа яқинлашса, ундаги уринма кучланиш т ҳам катталашар экан. Агар, кучланиши текширилаётган нуқта B ёки O_1^I нуқталар нейтрал ўқдан энг узоқда жойлашса, яъни B нуқта 1 нуқта билан устма-уст тушса, унда ажратилган элементнинг юзаси нолга teng бўлади, BKO_1^I юзани У ўқига нисбатан статик моменти ҳам нолга teng бўлади. Демак, $Z = Z_{\max}$ нуқтада, яъни кесимнинг четки нуқтасида уринма кучланиш нолга teng бўлар экан.

Юқоридаги фикрларга асосан уринма кучланиш кесимнинг нейтрал қатламида зинг катта қийматга ва кесимнинг четки нуқталарида ноль қийматга эришар экан.

6.4.1. ЖУРАВСКИЙ ФОРМУЛАСИННИ ТУРЛИ КЕСИМЛАРГА ТАТБИҚ ЭТИШ

1. Тўғри тўртбурчак.

Уринма кучланишнинг тарқалиш қонуниятини аниқлаш учун Журавский формуласидан фойдаланамиз:

$$\tau = \frac{QS_y^0}{I_y b}$$

Бу ерда: S_y^0 — тўғри тўртбурчакнинг кесим юзасидан ажратилган ВКСД штрихланган юзанинг У ўқига нисбатан статик моменти, яъни:

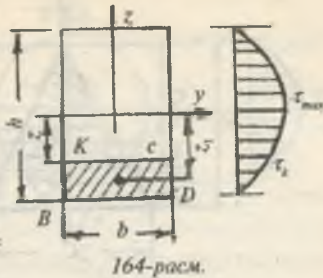
$$S_y^0 = A_{VKSD} \cdot Z_1$$

$A_{VKSD} = \sigma \left(\frac{h}{2} - Z \right)$ — ажратилган ВКСД штрихланган юза.

$$Z_1 = \frac{h}{2} - \frac{1}{2} \left(\frac{h}{2} - Z \right) - \text{ажра-}$$

тилган ВКСД юзанинг оғирлик марказидан нейтрал ўқигача бўлган масофа. У ҳолда:

$$S_y^0 = b \left(\frac{h}{2} - Z \right) \left[\frac{h}{2} - \frac{1}{2} \left(\frac{h}{2} - Z \right) \right] = \\ = \frac{b}{2} \left(\frac{h^2}{4} - Z^2 \right)$$



164-расм.

$I_y = \frac{bh^3}{12}$ — тўғри тўртбурчакнинг марказий ўқига нисбатан инерция моменти.

$$\text{У ҳолда: } \tau = Q \cdot \frac{\frac{b}{2} \left[\frac{h^2}{4} - Z^2 \right]}{\frac{bh^3}{12} \cdot b} = \frac{6Q \left[\frac{h^2}{4} - Z^2 \right]}{bh^3} \quad (6.12)$$

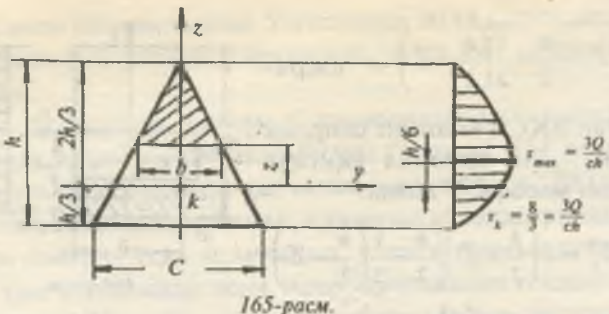
Бу ерда: $0 \leq Z \leq \frac{h}{2}$. Агар $Z = 0$ бўлса, $\tau = \tau_{\max} = \frac{3Q}{2bh}$ ва $Z = \frac{h}{2}$ бўлса, $\tau = 0$.

(6.12) формулада Z масофа иккинчи даражада, шунинг учун тўғри тўртбурчакнинг баландлиги бўйлаб парабола қонунияти билан ўзгаради, тўғри тўртбурчакнинг четки нуқталарида τ ноль қийматга ва нейтрал қатламида энг катта қийматга эришади.

2. Учбурчак. Учбурчақдан ажратилган (штрихланган) юзанинг Y ўққа нисбатан статик моментини ёзамиш:

$$S_y^0 = \frac{b}{3} \left(\frac{2h}{3} - Z \right) \left(\frac{h}{3} + Z \right)$$

Учбурчакнинг оғирлик марказидан ўтган ўқ Y га нисбатан инерция моменти — $I_y = \frac{ch^3}{36}$ ни ва статик моментни Журавский формуласига келтириб қуямиз:



165-расм.

$$\tau = \frac{QS_y^0}{I_y b} = \frac{Q \cdot \frac{b}{3} \left(\frac{2h}{3} - Z \right) \left(\frac{h}{3} + Z \right)}{\frac{ch^3}{36} b} = \frac{12Q \left(\frac{2h}{3} - Z \right) \left(\frac{h}{3} + Z \right)}{ch^3}$$

Бу ерда: $-\frac{h}{3} \leq Z \leq \frac{2h}{3}$

Агар: $Z = -\frac{h}{3}$ бўлса, $\tau = 0$ (пастки четки нуқта)

$Z = \frac{2h}{3}$ бўлса, $\tau = 0$ (юқори четки нуқта)

$$Z = 0 \text{ бўлса, } \tau = \frac{8}{3} \cdot \frac{Q}{ch} = \tau_k$$

$$Z = \frac{h}{6} \quad \text{масофада } \tau = \tau_{\max} = \frac{3Q}{ch}$$

Демак, учбурчаксимон кесимларда уринма кучланиш нейтрал қатламдан $\frac{h}{6}$ масофада жойлашган нуқтада максималь қийматга эришар экан.

3. Доиравий кесим. Нейтрал қатламдан Z масофада (166-расм) жойлашган B, K нуқталардаги уринма кучланиши топамиз. Бу нуқталардаги уринма кучланишлар доиравий кесимнинг шу нуқтасидаги уринма текислик билан бир хил йўналишда бўлади ва Z ўқи билан C нуқтада кесишади.

B ва *K* нүқталардаги τ уринма кучланишларни τ_1 ва τ_2 кучланишларига ажратиш мүмкін. Кесимнинг *B* ва *K* нүқталаридаги горизонтал уринма кучланишлари (τ_2) ўзаро мувозанатлашади, τ_1 уринма кучланишларининг йигиндиси эса күндаланг куч — Q га тенглашади.

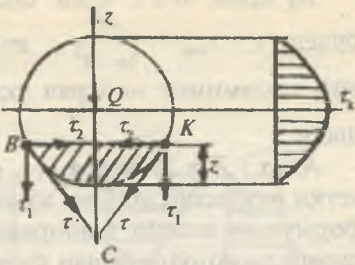
Демак, доиравий кесимдаги τ_1 уринма кучланишлари түғри бурчаклы кесимдаги тулиқ уринма кучланиш — τ билан бир хил функцияда бұлар экан. Шунинг учун доиравий кесимлардаги уринма кучланишни топиш учун ҳам Журавский формуласыдан фойдаланамыз, яъни:

$$\tau = \frac{QS_y^0}{I_y b} \quad (6.13)$$

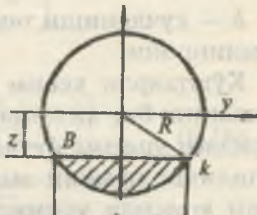
Бу ерда: S_y^0 — доиравий кесимнинг *Z* масофа ва кесимнинг четки нүқтаси билан чегараланған ажратилған юзасининг нейтрал үққа нисбатан статик моменти.

$$S_y^0 = \frac{2}{3} (R^2 - Z^2)^{\frac{3}{2}} \quad \text{ва} \quad b = 2\sqrt{(R^2 - Z^2)}$$

Доиравий кесимнинг нейтрал үққа нисбатан инерция моменти:
 $I_y = \frac{\pi \cdot R^4}{4}$ ажратилған юзанинг статик моменти S_y^0 ва кесимнинг эни b ни (6.13) формулага келтириб құйымыз:



166-расм.



167-расм.

$$\tau = \frac{Q \frac{2}{3} (R^2 - Z^2)^{\frac{3}{2}}}{\frac{1}{4} \pi \cdot R^4 \cdot 2\sqrt{(R^2 - Z^2)}} = \frac{4Q}{3\pi \cdot R^4} (R^2 - Z^2) \quad (6.14)$$

Бу ерда: $0 \leq Z \leq \pm R$ оралиқда үзгаради. Агар, $Z = 0$ бұлса, $\tau = \tau_{\max} = \frac{4Q}{3\pi \cdot R^2}$, янын уринма күчланиш доиралыңынан кесимнинг нейтрал үқида максимал қийматтаға әришаади.

Агар, $Z = R$ бұлса, $\tau = 0$, янын доиралыңынан кесимнинг четки нүктасида уринма күчланиш нолға тенг бўлади. (6.14) формулага асосан τ доиралыңынан кесимни диаметри бўйлаб парабола қонуни билан үзгарап экан (168-расм).

4. Қўштаврли кесим. Қўштаврли кесим оддий тўғри тўртбурчаклардан ташкил топган деб қаралса ҳам бўлади. Шунинг учун қўштаврли кесимнинг нейтрал үқидан Z масофада жойлашган нүктасининг уринма күчланишини ҳам Журавский формуласи билан аниқлаш мумкин:

$$\tau = \frac{QS_y^0}{I_y b(d)} \quad (6.15)$$

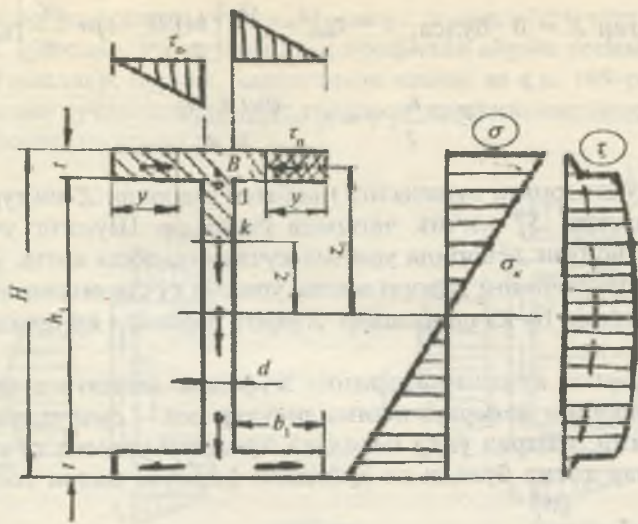
Бу ерда: S_y^0 — нейтрал үқидан Z ва қўштаврли кесимнинг четки нүқталари оралиғида қолган юзанинг нейтрал үқ — Y га нисбатан статик моменти (168-расм):

$$\tau_B = \frac{Qr(h-t)}{2I_y}; \quad \tau_1 = \frac{Qr(h-t)b}{2I_y \cdot d}$$

b — күчланиши текширилаётган нүқта жойлашган кесимнинг эни.

Қўштаврли кесим супачасининг эни бўйлаб уринма күчланиш бир хил эмас. Шунинг учун қўштаврнинг супачасидаги уринма күчланиш Журавский формуласи билан топилиши мумкин эмас. Қўштавр супачасининг Z үқига яқин юзасида уринма күчланиш тахминан эгри чизик қонуни билан тарқалади деб қабул қилиш мумкин (τ — эпюрасидаги пункттир чизик).

Қўштаврнинг супачаси нейтрал үқидан узоқ масофада жойлашганлиги учун бу юза асосан нормал күчланишлар таъсирида бўлади (168-расм, σ — эпюраси). Қўштавр деворий қисмидан нейтрал үқида яқинлашган сайин нормал күчланиш кичиклашиб келади ва нейтрал үқ устида $\sigma = 0$.



168-расм.

Құштавр деворининг K нүқтасидаги уринма күчланиши топиш учун штрихланган (168-расм) юзанинг статик моментини ёзамиз:

$$S_y^0 = bt \left(\frac{H-t}{2} \right) + \frac{d}{2} \left(\frac{h_1^2}{4} - Z^2 \right)$$

Уринма күчланиш:

$$\tau = \frac{Q}{2I_y d} \left[bt(H-t) + d \left(\frac{h_1^2}{4} - Z^2 \right) \right] \quad (6.16)$$

Бу ерда: $I_y = \frac{dh_1^3}{12} + 2 \left[\frac{bt^3}{12} + bt \left(\frac{H-t}{2} \right)^2 \right]$ — құштавр кесимнинг нейтрал үқ — Y га нисбатан инерция моменті;

d — күчланиш текширилаёттан нүқта жойлашган кесимнинг эни.

(6.16) формулага асосан құштавр деворининг баландлиги бүйлаб τ парабола қонунияты билан үзгараар экан (168-расм, τ эпюраси).

Агар $Z = 0$ бўлса, $\tau = \tau_{\max} = \frac{Q}{2I_y d} \left[bt(H - t) + \frac{dh_1^2}{4} \right]$ ва

$$Z = \frac{h_1}{2}; \tau = \tau_1 = \frac{Qbt(H - t)}{2I_y d}$$

Қўштаврнинг супачасига нисбатан деворида Z ни турли қийматида S_y^0 кичик чегарада ўзгаради. Шунинг учун қўштаврнинг деворида уринма кучланиш жуда катта. Демак, қўштаврнинг девори асосан уринма кучланишлар таъсиридадир. Бу кучланишлар Z ўқига параллел йўналишда бўлади.

Уринма кучланишларнинг жуфтлик аломатига кўра қўштаврнинг деворига перпендикуляр юза — супачада ҳам кесимни нейтрал ўққа параллел йўналган уринма кучланишлар ҳосил бўлади ва қуйидаги формула билан топилиди: $\tau_n = \frac{QS_y^0}{I_y I_n}$.

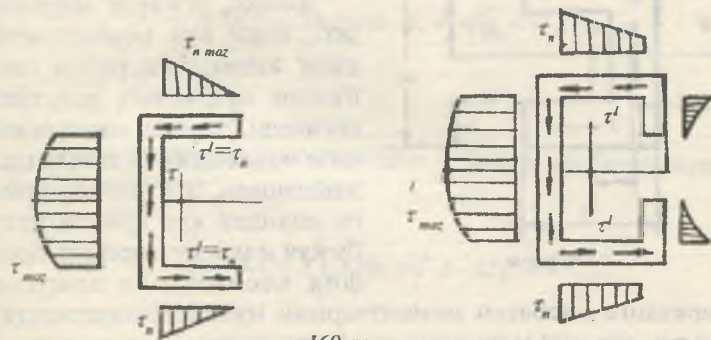
Қўштавр супачасидан ажратиб олинган у узунликдаги штрихланган юзанинг статик моментини топамиз (168-расм): $S_y^0 = yt \frac{H - t}{2}$.

$$\text{Шунинг учун: } \tau_n = \frac{Qyt(H - t)}{2I_y} \quad (6.17)$$

(6.17) формулада у биринчи даражада бўлганлиги учун τ_n супачанинг узунлиги бўйлаб туфри чизиқли қонуният билан ўзгаради. $y = 0$ бўлса, $\tau = 0$ ва $y = b_1$; $\tau_{n\max} = \frac{Qb_1(H - t)}{2I_y}$. Демак, τ_n қўштавр супачасининг Z ўққа яқин юзасида энг катта қийматга эга экан (168-расм, τ_n эпюраси). Айрим кесимлар учун уринма кучланиш эпюраси 169-расмда кўрсатилган.

Олдинги мавзуда турли кесимларда уринма кучланишлар тўпламишининг ҳосил бўлишини кўриб чиқдик. Айрим профилларда уринма кучланишларнинг оқими кесим юза-

сининг марказидан утади. Масалан: доира, түрги түртбұрчак, құштавр, учбурчак. Очиқ профилли айрим кесимларда (швеллер, бурчак, ұлқасимон кесим ва ҳ.к. 169-расм) уринма кучланишларнинг түплами профилнинг оғирлик марказидан үтмайды.



169-расм.

ӘГИЛИШ МАРКАЗИ

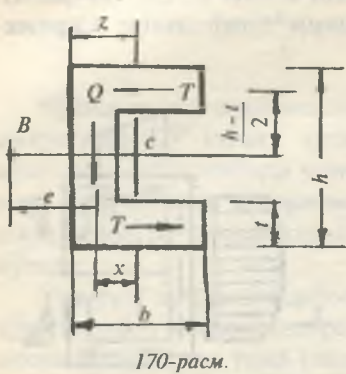
Кучланишлар түплами кесимнинг оғирлик марказига нисбатан M_b момент ҳосил қиласы: $M_b = QX + T(h-t)$, бу ерда: $x = Z_0 - \frac{d}{2}$

$$T = \frac{\tau_{\max} + 0}{2} th_1 = \frac{Qh^2(h-t)}{4I_y} t$$

M_b — буровчи момент таъсирида очиқ профилли элемент буралади. Натижада элемент әгалиш билан бирга буралишга ҳам учрайди. Очиқ профилли элементнинг кучланғанлық ҳолати мураккаблашади. Агар уринма кучланишларнинг тенг таъсир құлувчилари Q — күндалаңг куч ва T — тангенциал күчларнинг кесимдан ташқаридаги би-рор нүктеге нисбатан моментларини нолга тенглаштириб, M_b буровчи моментни мувозанатлаштирилса, очиқ профилли элементнинг буралишини чеклаб қўйиш мумкин:

$$\sum M_b = Q\ell - T(h-t) = 0, \text{ бу ерда:}$$

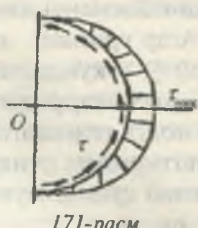
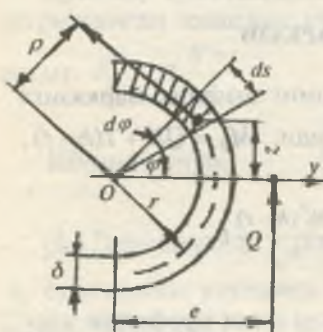
$$\ell = \frac{T(h-t)}{Q} = \frac{\frac{h^2}{4}(h-t)(h-t)}{4I_y} t \quad (6.18)$$



Бу нүкта эгилиш маркази дейилади ва Q күндаланг кучдан ℓ масофада жойлашади.

Демак, эгилиш маркази деб, ички куч моментларининг йиғиндиси нолга тенг бўлган нүктанинг ҳолатига айтилади. Эгилиш маркази кесим юзасидан ташқарида жойлашади. Эгилиш марказига шундай куч кўйилади, бу куч ички кучларнинг профил кесимининг оғирлик

марказига нисбатан моментларини мувозанатлаштиради. Демак, эгилиш марказига нисбатан ташқи ва ички кучлар моментларининг йигиндиси нолга тенг бўлар экан.



Масала. Вертикал текислика эгилишга учрайдиган юпқа деворли ҳалқасимон кесимли балканинг оғирлик марказини топинг. Ярим ҳалқасимон кесимнинг радиуси $r = 25$ см, қалинлиги $\delta = 0,25$ см. $Q = 70$ кН күндаланг куч таъсиридан кесимнинг уринма кучланиш эпюрасини куинг (171-расм).

Ечиш. Кесимдаги барча уринма кучларнинг тенг таъсир қилувчисини күндаланг куч Q деб қабул қиласиз. Ярим ҳалқасимон кесимдан ажратилган элементар юзачадаги уринма куч: $dT = \tau \cdot dA = \tau \cdot \delta \cdot dS$ ни O нүктага нисбатан моменти Q кучнинг шу нүктага нисбатан моментаига тенг бўлади, яъни:

$$Q\ell = \int dT \cdot \rho = \int \tau \cdot \delta \cdot dS \rho = \int \frac{QS_y^0}{I_y \delta} \delta \cdot \rho \cdot dS$$

Чизмадан $\rho = r$; $dS = rd\varphi$ ва ажратилган элементар юзанинг у ўқига нисбатан статик моменти:

$$S_y^0 = \int_{A_0}^{A_0} ZdA = \int_0^{\frac{\pi}{2}} r \sin \varphi \cdot \delta \cdot r \cdot d\varphi = r^2 \delta \cos \varphi$$

ва $\ell = \frac{1}{I_y} \int_y S_y^0 \rho \cdot dS$.

Ярим ҳалқасимон кесимнинг у ўқига нисбатан инерция моменти:

$$I_y = \int Z^2 dA = 2 \int_0^{\frac{\pi}{2}} (r \sin \varphi)^2 \delta \cdot rd\varphi = \frac{\pi \cdot r^3 \delta}{2}$$

$$\text{У ҳолда: } \ell = \frac{1}{I_y} \int_y S_y^0 \rho dS = \frac{2}{I_y} \int_0^{\frac{\pi}{2}} r^2 \delta \cos \varphi \cdot r \cdot rd\varphi = \frac{2r^4 \delta}{I_y} = \frac{4r}{\pi}$$

Демак, ярим ҳалқасимон кесимнинг эгилиш маркази O нуқтадан $\ell = \frac{4r}{\pi}$ масофада жойлашган С нуқтада бўлади.

Кесимнинг исталган нуқтасидаги уринма кучланиши топамиз: $\tau = \frac{QS_y^0}{I_y \delta} = \frac{Q \cdot r^2 \cos \varphi}{I_y} = \frac{2Q \cos \varphi}{\pi \cdot r \delta}$

Энг катта уринма кучланиш:

$$\tau_{\max} = \frac{2Q}{\pi \cdot r \delta} = \frac{2 \cdot 7000}{3,14 \cdot 25 \cdot 0,25} = 715 \text{ кг/см}^2$$

Кесилган ҳалқа учун ℓ ни топамиз:

$$S_y = r^2 \delta (1 - \cos \varphi)$$

$$I_y = \pi \cdot r^3 \delta$$

У ҳолда: $\ell = 2r$ ҳосил бўлади.



172-расм.

6.5. БАЛКАЛАР МУСТАҲКАМЛИГИНИ БОШ КУЧЛАНИШЛАР БҮЙИЧА ТЕКШИРИШ

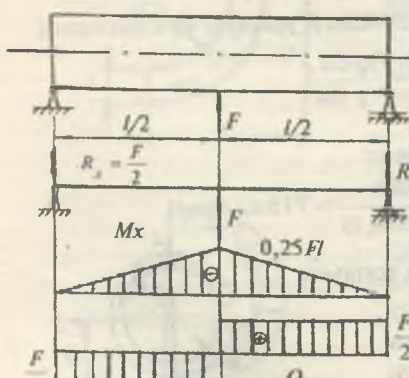
Эгилаётган балканинг күндаланг кесим юзасида нормал σ ва уринма кучланиш т ҳосил бўлишини кўриб ўтган эдик. Нормал кучланишнинг энг катта қиймати балка кесимининг нейтрал ўқидан энг узоқда жойлашган нуқтадаридан, яъни кесимнинг четки нуқталаридан ҳосил бўлади. Бу нуқталарда уринма кучланиш нолга тенг. Уринма кучланиш энг катта қийматга эришган балканинг нейтрал қатламида жойлашган материалида нормал кучланиш нолга тенг. Шунинг учун кесимнинг нейтрал ўқидан энг узоқда жойлашган толаларининг мустаҳкамлиги нормал кучланишлар бўйича таъминланади:

$$\sigma_{\max} = \frac{M_{\max}}{W} \leq [\sigma]$$

Балка кесимининг нейтрал қатламида жойлашган материалининг мустаҳкамлиги эса уринма кучланишлар бўйича таъминланади:

$$\tau_{\max} = \frac{Q_{\max} \cdot S_{\max}}{I_y d} \leq [\tau]$$

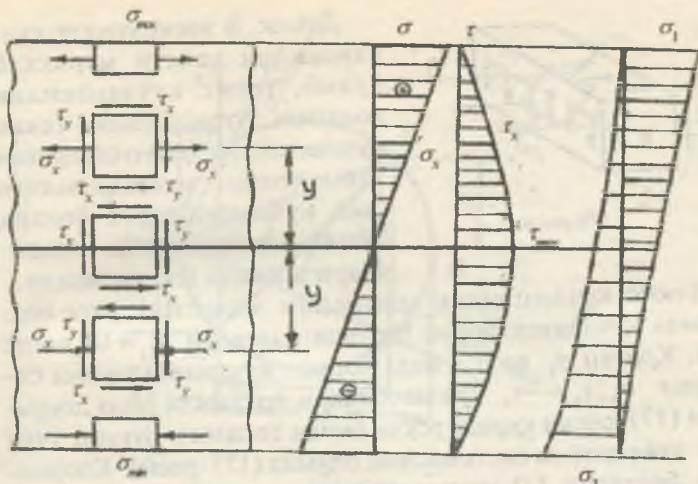
Балка кесимининг нейтрал ўқидан Y масофада жойлашган материалининг (ажратилган В элемент, 174-расм)



173-расм.

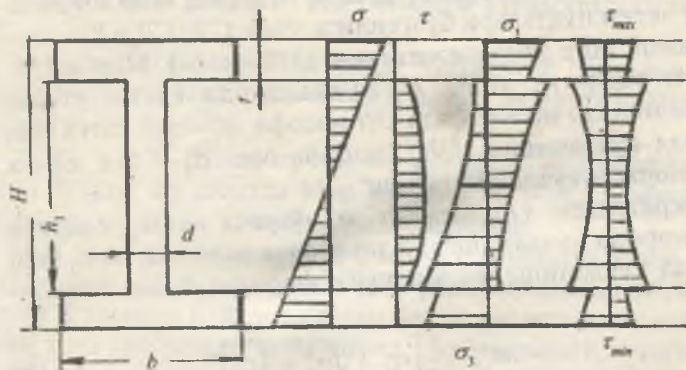
мустаҳкамлигини нормал кучланишлар бўйича ҳам, уринма кучланишлар бўйича ҳам таъминлаш мумкин эмас.

Чунки В элементда σ ва τ лар нолдан фарқли бўлганлиги учун бу элементнинг мустаҳкамлиги юқорида келтирилган эгилишдаги нормал ва уринма кучланишлар бўйича мустаҳкамлик шартларига бўйсунмайди.

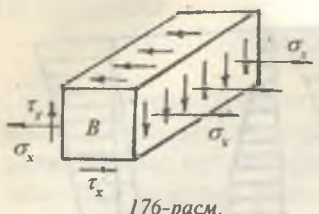


174-расм.

Ажратилган *B* элементнинг олд қисми — балканинг ён сиртига устма-уст тушади ва бу юза нормал ва уринма кучланишлардан озод, шунинг учун бу юзача бош юза. *B* элементнинг вертикал юзалари σ_x ва τ_y кучланишлари, горизонтал юзаси эса фақат τ_x уринма кучланиши таъсисирида бўлади.



175-расм.



176-расм.

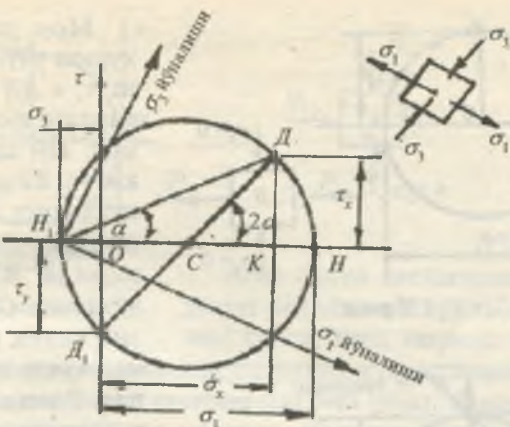
Демак, В элементнинг кучланганлик ҳолати мураккаб бўлиб, текис кучланганлик ҳолатига тўғри келади. Текис кучланганлик ҳолатида бўлган элементнинг мустаҳкамлиги бош кучланишларга боғлиқ бўлиб, мустаҳкамлик назаријалари асосида текширилади.

Текис кучланганлик ҳолатидаги элементда учта бош нормал кучланишлардан биттаси (масалан, $\sigma = 0$) нолга тенг. Қолган σ_1 ва σ_3 бош нормал кучланишларини берилган $\sigma_x; \tau_x = -\tau_y$ кучланишлари ёрдамида Мор доирасини (177-расм) қуриш усули билан топамиз. Бунинг учун σ_{tot} координата системасини оламиз (177-расм). Координата бошидан (O нуқтадан) кучланишлар масштабида $\sigma_x = OK$ масофа, K нуқтадан σ ўқига перпендикуляр текисликда мусбат ишорали уринма кучланиш $\tau_x = KD$ жойлаштирилади. В элементнинг горизонтал юзадаги нормал кучланиш $\sigma_y = 0$ бўлганлиги учун бу нормал кучланиш σ_{tot} координата системасининг нуқтасида жойлашади.

О нуқтадан τ ўқининг манфий томонига $\tau_y = OD$, кучланишини жойлаштириб, D нуқтани ҳосил қиласиз. D ва D_1 нуқталарни бирлаштиrsак, Мор доирасининг маркази С нуқта ҳосил бўлади. D ва D_1 нуқталар Мор доирасининг четки нуқталари бўлганлиги учун $CD = CD_1 = R$ радиуси билан Мор доираси чизилади (177 - расм). Мор доираси σ ўқининг H ва H_1 нуқталарида кесиб ўтади. Кучланишлар масштабида OH масофа σ_1 — энг катта бош нормал кучланишга, OH_1 масофа эса σ_3 — энг кичик бош нормал кучланишга тенг.

Ажратилган (B) элемент σ_1 чўзувчи ва σ_3 сиқувчи бош нормал кучланишлари таъсирида экан. σ_1 ва σ_3 бош нормал кучланишлари қўйидаги формула билан топилади:

$$\sigma_{1,3} = \frac{1}{2} \left[\sigma_x \pm \sqrt{\sigma_x^2 + 4\tau_x^2} \right] \quad (6.19)$$



177-расм.

(6.19) формуладан күринишича, σ_1 ва σ_3 бош нормал күчланишлари σ_x ва $\tau_x = -\tau_y$ күчланишларининг қийматларига боғлиқ экан. σ_x нормал ва $\tau_y = -\tau_x$ уринма күчланишлари эса $-B$ - элемент балка кесимининг нейтрал қатламидан қандай масофада (у) жойлашишига боғлиқ.

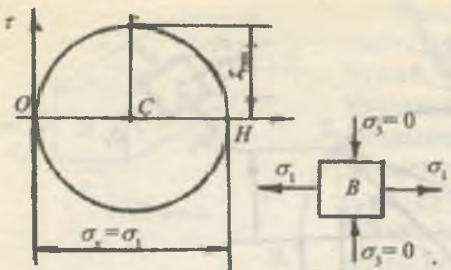
Агар, $y = y_{\max}$ бўлса, $\sigma_x = \sigma_{\max}$ ва $\tau_x = 0$

У ҳолда Мор доираси 178-расмдаги күринишда бўлади.

Ажратилган (B) элемент фақат чўзувчи σ_1 бош нормал күчланиши таъсирида бўлади, чунки бу нуқта сиқилмайди, яъни: $\sigma_3 = 0$.

Агар, $y = 0$ бўлса, $\sigma_x = 0$ ва $\tau_x = \tau_{\max}$ соф силжиш ҳосил бўлади. Бу ҳолатда Мор доираси $\tau_x = -\tau_y$ уринма күчланишларининг қийматларида чизилади.

Мор доирасининг маркази C нуқта координата боши O нуқта билан устма-уст тушади (179-расм). Балкадан ажратилган B элемент нейтрал қатлам билан энг четки сиқиладиган тола оралиғида жойлашсин. Бу нуқтадаги нормал күчланиш манфий, уринма күчланиш эса мусбат ишорали (180-расм).



178-расм.

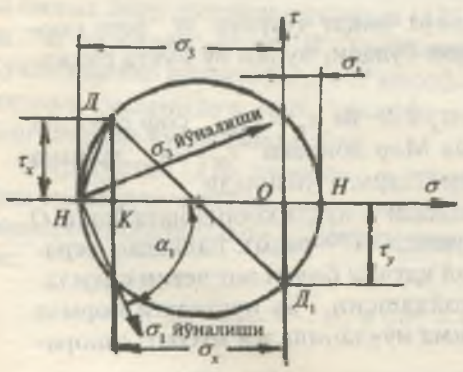
Мор доирасини қуриш учун $\sigma_x = OK$ ва $\tau_x = KD$ масофалардан фойдаланамиз. OH масофа энг катта бош нормал күчланиш σ_1 га тенг. сбош күчланиш таъсирида B элемент чўзилади. OH_1 масофа энг кичик бош нормал күчланиш σ_3 га тенг. B элемент σ_3 бош күчланиш таъсирида сиқилади. $\sigma = \sigma_{\min}$ ва $\tau_x = 0$ бўлган нуқта атрофида ажратилган элементга таъсир қилаётган бош нормал күчланишларни топамиз.

Бу элемент сиқиладиган толаларда жойлашганлиги учун нормал күчланиш манфий ишоралидир.

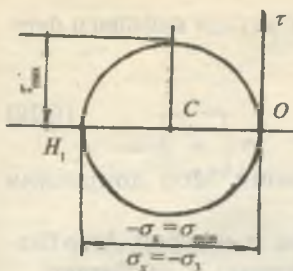
Шунинг учун Мор доираси σ -т координата ўқининг тўлиқ чап, яъни манфий томонида чизилади. (6.19) формула асосида ёки Мор доираси ёрдамида топилган бош күчланишлар балка кесимининг баландлиги бўйлаб ўзгариш графикаси қурилади (182-расм).



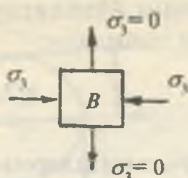
179-расм.



180-расм.



181-расм.



Агар балка кесимининг эни унинг баландлиги бўйлаб ўзгар-
мас бўлса, бош нормал кучла-

нишларнинг эпюраси силлик ўзгарувчи эгри чизикдан ибо-
рат бўлади. Агар балка кесимининг эни унинг баландлиги
бўйлаб ўзгарувчан бўлса, масалан, қўштавр, швеллер, бур-
чаксимон элемент ва ҳ.к. кесим энининг ўзариш нуқта-
сида σ_1 ва σ_3 эпюраларида сакраш бўлади (175-расм).
Юқорида келтирилган балканинг юқори толалари чўзи-
лишга, пастки толалари эса сиқилишга учрайти. Шунинг
учун мусбат ишорали нормал кучланиш ва σ_1 бош нормал
кувланиш эпюралари вертикал чизикнинг (174-расм) ўнг
томонида жойлашади. Агар, балка кесимининг юқори то-
лалари чўзилса, Мор доираси σ ўқининг мусбат томони-
да жойлашади. Бу нуқта фақат σ_1 бош нормал кучланиш
таъсирида бўлиб, бу нуқтада $\sigma_3 = 0$. Кучланиши текшири-
лаётган нуқта чўзиладиган толадан сиқиладиган толалар
томонга ҳаракат қиласерса, Мор доираси ҳам σ ўқининг
мусбат томонидан манфий ишорали томонига ўта бош-
лайди. Бу ҳолатда σ_1 бош кучланиш камайиб боради, σ_3
бош кучланиш эса катталашади (182-расм).

Балканинг юқори толалари чўзиладиган оралиғида эгув-
чи моментнинг ишораси манфий бўлади. Лекин, эгувчи
моментнинг ишораси нормал кучланишнинг ишораси ёки
йўналишига таъсир қилмайди. 182-расмда балканинг хав-
фли кўндаланг кесимининг баландлиги бўйлаб бир чизик
устида ётган бир нечта нуқталар учун Мор доирасини
куриш усули билан бош кучланишларнинг қиймати ва
йўналиши курсатилган. 183-расмда эса, балканинг бўйла-
ма кесимидағи бир нечта нуқталар учун бош нормал куч-
ланишларнинг қиймати ва йўналиши курсатилган. Бош куч-

ланишларнинг йўналиши аналитик усулда қўйидаги формула билан топилади:

$$\operatorname{tg} 2\alpha = - \frac{2\tau_x}{\sigma_x} \quad (6.20)$$

Бош кучланишларнинг йўналиши Мор доирасини куриш усули билан ҳам топилади.

Балкани юқори толалари чўзилса, α манфий. Агар балканинг юқори толалари сиқилса, бурчак α мусбатдир.

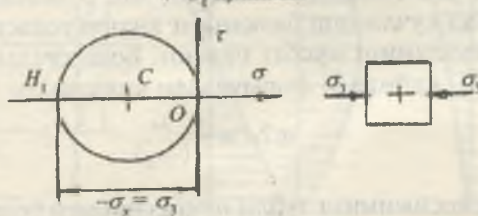
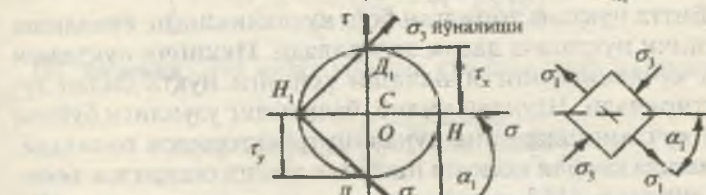
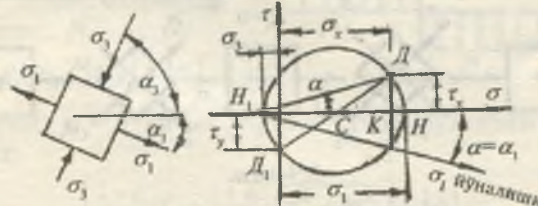
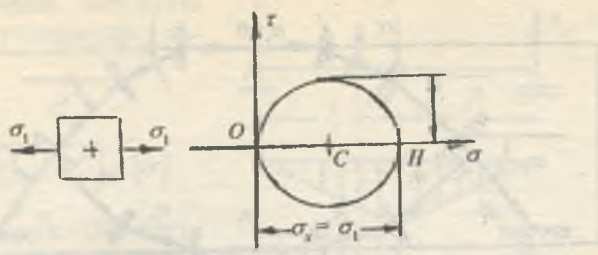
Агар α бурчак манфий бўлса, энг катта бош нормал кучланишнинг (σ_1) йўналиши абсцисса ўқидан соат стрелкасининг ҳаракат йўналиши бўйлаб жойлаштирилади.

Балка кесимининг I нуқтаси (182-расм) фақат σ_1 бош нормал кучланиш таъсирида ($\sigma_3 = 0$) уринма кучланиш нолга тенг. Шунинг учун (6.20) формулага асосан, $\alpha_1 = 0$. Демак, чўзувчи σ_1 бош нормал кучланиш абсциссанинг устига тушади.

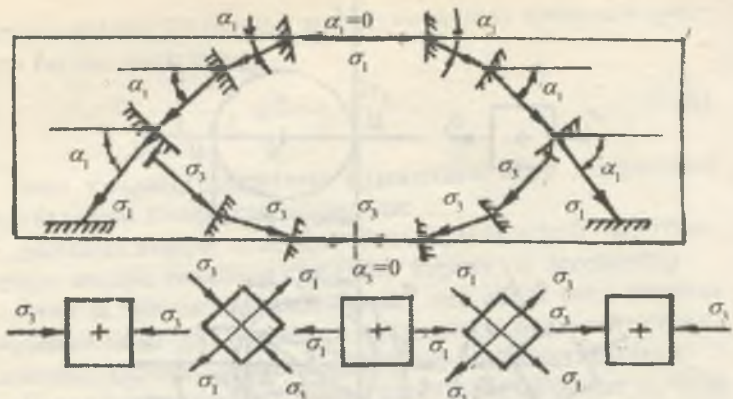
II нуқтадаги бош нормал кучланишнинг йўналишини топиш учун Мор доирасидаги H_1 ва D нуқталар тўғри чизик билан туташтирилади. H_1D чизик абсцисса билан а бурчакни ҳосил қиласди. (6.20) формулага асосан α бурчакнинг ишораси манфий. Шунинг учун α бурчакни абсцисса ўқидан соат стрелкасининг ҳаракат йўналишига мос жойлаштирилади.

Ҳосил бўлган чизик II нуқтадаги σ_1 бош нормал кучланишнинг йўналишидир. σ_3 бош нормал кучланиш σ_1 нинг йўналишига перпендикуляр юзада таъсир қиласди. Демак, II нуқта атрофидан ажратиб олинган элемент соат стрелкасининг ҳаракат йўналишига мос айланар экан.

III ва IV нуқталарда ҳам σ_1 бош нормал кучланишнинг йўналиши шу усулда топилади. III нуқтада (6.20) формулага асосан $\alpha_1 = 90^\circ$ ҳосил бўлади. Бу нуқтада фақат σ_1 бош нормал кучланиш таъсир қиласди. σ_3 нинг абсциссага нисбатан жойлашиш бурчаги $\sigma_3 = 0$ бўлади. Балканинг узунлиги бўйлаб σ_1 ва σ_3 бош нормал кучланишларининг траекториясини аниқлаш мумкин (183-расм). Бунинг учун балканинг узунлиги бўйлаб бир нечта нуқталарнинг ўринлари танлаб олинади. Нуқталар нейтрал қатламдан тури масофаларда жойлашиши керак.



182-расм.



183-расм.

Битта нуқтада топилган бош кучланишнинг йўналиши иккинчи нуқтагача давом эттирилади. Иккинчи нуқтадаги бош кучланишнинг йўналиши кейинги нуқта билан туаштирилади. Шундай қилиб, балканинг узунлиги бўйича бош кучланишларнинг йўналиш траекторияси топилади. Бу масала хавфли кесимга нисбатан амалга оширилса осонроқ ечилади (183-расм).

Энди юқори толалари сиқиладиган ва пастки толалари чўзиладиган балканинг хавфли кесими баландлиги бўйлаб бош кучланишларнинг қийматларини Мор доираси ёрдамида топамиз ва эпюрасини қурамиз. Балканинг юқори толасида манфий ишорали нормал кучланиш, пастки чўзиладиган толасида эса мусбат ишорали кучланиш ҳосил бўлади. Уринма кучланишнинг ишораси кўндаланг куч Q нинг ишорасига мос равишда топилади. Уринма кучланишнинг ўнг томонида манфий, чап томонида мусбат.

Нормал кучланиш балканинг юқори толасида манфий, уринма кучланиш мусбат бўлсин. Бош кучланишларнинг йўналиши қўйидаги формуладан аниқланди:

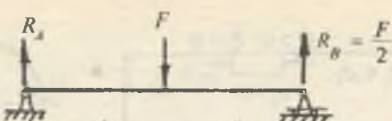
$$\operatorname{tg} 2\alpha = - \frac{2r}{(-\sigma_x)}$$

Балка кесимининг турли нуқталаридаги бош кучланишларни аниқлаб, мустаҳкамлик назариялари асосида мустаҳкамлик шартларини тузамиз:

I назария. Энг катта нормал күчланишлар назарияси:

$$\sigma_1 \leq [\sigma];$$

$$\frac{1}{2} \left[\sigma_x + \sqrt{\sigma_x^2 + 4\tau^2} \right] \leq [\sigma]$$



184-расм.

II назария. Энг катта нисбий деформациялар назарияси:

$$[\sigma_1 - \mu(\sigma_2 + \sigma_3)] \leq [\sigma]$$

Бу ерда: $\sigma_2 = 0$ ва σ_1, σ_3 бош күчланишларни ҳисобга олсак:

$$\left[\frac{1-\mu}{2} \sigma_x + \frac{1+\mu}{2} \sqrt{\sigma_x^2 + 4\tau^2} \right] \leq [\sigma]$$

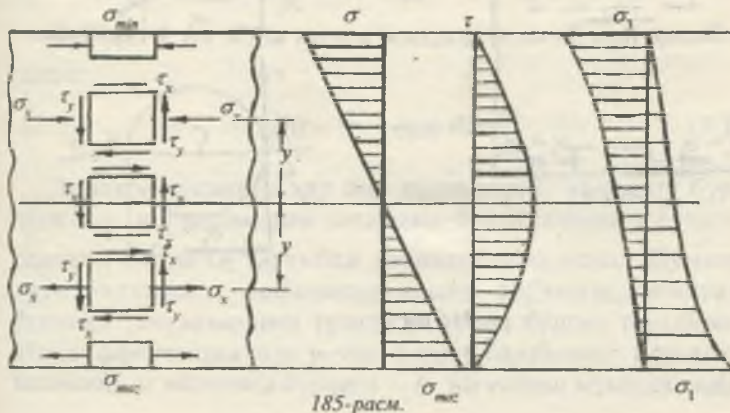
III назария. Энг катта уринма күчланишлар назарияси:

$$\sigma_1 - \sigma_3 \leq [\sigma] \text{ ёки } \left[\sqrt{\sigma_x^2 + 4\tau^2} \right] \leq [\sigma]$$

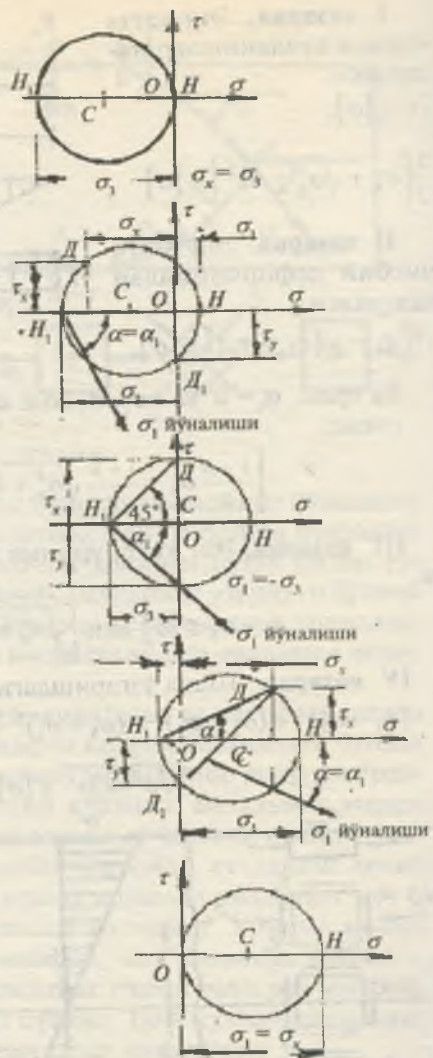
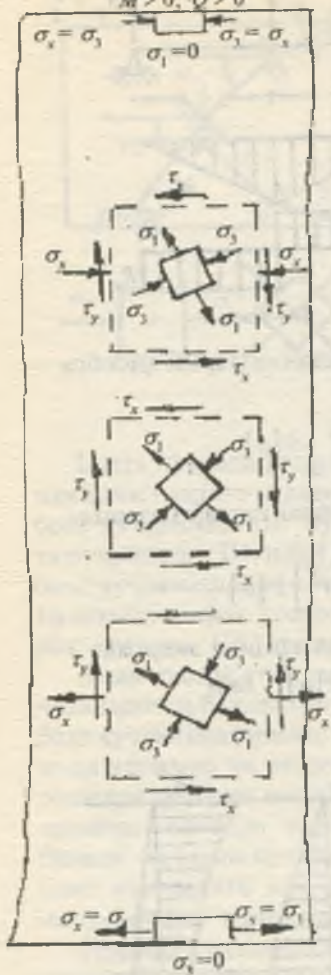
IV назария. Шакл үзгаришдаги потенциал энергия:

$$(\sigma_1 - \sigma_2)^2 + (\sigma_2 - \sigma_3)^2 + (\sigma_3 - \sigma_1)^2 = 2[\sigma]^2 \text{ ёки}$$

$$\sqrt{\sigma^2 + 3\tau^2} \leq [\sigma]$$



185-расм.



186-расм.

VII БОБ

ЭГИЛИШДА БАЛКАЛАРНИНГ КЎЧИШИНИ АНИҚЛАШ

7.1. САЛҚИЛИК ВА КЕСИМНИНГ АЙЛANIШ БУРЧАГИ

Балкани бирор инерция ўқи текислигига ташқи куч билан юкланса, унинг ўқи шу инерция ўқи текислигига эгри булади, яъни текис эгилиш содир булади. Унда B нуқта B , ҳолатга кучади (187-расм). Бу кўчиш F куч йўналишида содир бўлиб, балканинг салқилиги дейилади. Салқилик Y ҳарфи билан белгиланади. Балка эгри ўқининг тенгламаси $Y = f(x)$. Эгилишгача текис бўлган балканинг кесими деформациядан кейин ҳам текислигича қолиб, ўзининг бошланғич ҳолатига нисбатан θ бурчакка айланади. Шунинг учун бурчак балка θ кесимининг айланиш бурчаги дейилади. Ува θ абсциссанинг функциясидир. Балканинг ҳар бир кесими учун Y билан θ орасида математик боғла-ниш бор:

$$\operatorname{tg}\theta = \frac{dy}{dx}$$

Бурчак θ ни жуда кичик миқдор эканлигини ҳисобга олсак:

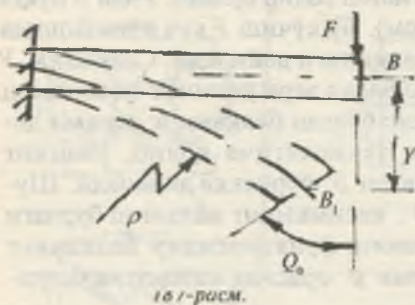
$$\operatorname{tg}\theta = \theta \quad \text{ёки} \quad \theta = \frac{dy}{dx} \quad (7.1)$$

Демак, балканинг ҳар бир кесимининг айланиш бурчаги — θ шу кесимдаги салқилик Y дан абсцисса бўйича олинган биринчи тартибли ҳосилага тенг экан. Шунинг учун балканинг деформациясини ўрганиш, эгилган ўқининг тенгламасини тузиш ва ҳосил бўлган тенгламадан дифференциялаш усули билан балканинг исталган кесимининг айланиш бурчаги — θ ни топиш мумкин экан.

7.2. БАЛКА ЭГИЛИШ ҮҚИНИНГ ДИФФЕРЕНЦИАЛ ТЕНГЛАМАСИ

Салқилик — Y ни абсцисса функцияси қўринишида ҳосил қилиш учун балканинг деформациясини ташқи куч билан боғлаш керак. Шундай боғланиш, биринчидан, балканинг эгрилик радиуси билан эгувчи момент, балка материалининг эластиклик модули ва балка кесимининг инерция моменти орасидаги боғланиш ва иккинчидан, эгрилик радиуси ρ билан унинг X ва Y координаталари орасидаги боғланишдир, яъни:

$$\frac{1}{\rho} = \pm \frac{M}{EI}$$



16 /-расм.

$$\frac{1}{\rho} = \pm \sqrt{\frac{d^2 y}{dx^2}} \quad \left[1 + \left(\frac{dy}{dx} \right)^2 \right]^{3/2}$$

У ҳолда:

$$\frac{M}{EI} = \pm \frac{d^2 y}{dx^2} \quad \left[1 + \left(\frac{dy}{dx} \right)^2 \right]^{3/2} \quad (7.2)$$

(7.2) формула балка эгилган үқининг дифференциал тенгламаси. Амалиётда бурчак $\theta = \frac{dy}{dx}$ кичик миқдордир, шунинг учун унинг квадрати, яна ҳам кичик бўлади. Демак, (7.2) формуладаги $\left(\frac{dy}{dx} \right)^2$ ифодани бирга нисбатан ҳисобга олмасак ҳам бўлади.

У ҳолда:

$$\pm \frac{d^2 y}{dx^2} = \frac{M}{EI} \quad \text{ёки} \quad EI \frac{d^2 y}{dx^2} = \pm M \quad (7.3)$$

Бу формула балка эгилган үқининг тақрибий дифференциал тенгламаси дейилади. (7.3) тенгламанинг ишораси M эгувчи моментнинг ишорасига боғлиқ. Балка эгилган үқининг дифференциал тенгламасидан салқилик тенгламаси $y = f(x)$ ни ҳосил қилиш учун (7.3) тенгламани интеграллаш керак.

(7.3) тенгламанинг биринчи интеграли:

$$EI \frac{dy}{dx} = \int M dx + C \quad \text{ва иккинчи тартибли интеграли:}$$

$EI \cdot y = \int dx \int M dx + CX + D$ кўринишда бўлади. Шундай қилиб, кесимнинг айланиш бурчаги:

$$\theta = \frac{1}{EI} \left[\int M dx + C \right] \quad (7.4)$$

ва салқилик $y = \frac{1}{EI} \left[\int dx \int M dx + CX + D \right]$ тенгламаларини ҳосил қиласиз.

Бу ерда C ва D интеграллаш доимиийларни.

Агар, $M = -FX$ бўлса, айланиш бурчаги ва салқилик тенгламалари қўйидагича кўринишга келади:

$$\text{а)} \theta = \frac{1}{EI} \left[-F \frac{x^2}{2} + C \right] \quad \text{ва} \quad \text{б)} y = \frac{1}{EI} \left[-F \frac{x^3}{6} + CX + D \right]$$

Интеграллаш доимиийлари C ва D ни топиш учун балка учларининг таяниш шартларидан фойдаланамиз: агар, $X = 0$ бўлса, (а) тенгламадан $\theta = \theta_B = \theta_0 = \frac{C}{EI}$ ёки $C = \theta_0 EI$ (в).

Демак, интеграллаш доимииси C балка бошлангич кесимининг (187-расм) айланиш бурчаги θ_0 ни балканинг бикрлиги EI га кўпайтмасига тенг экан. (в) тенгламадан θ_0 бурчак номаълум бўлмаганлиги учун C ҳам номаълумлигича қолади. (б) тенгламадан $y = y_B = y_0 = \frac{D}{EI}$ ёки $D = I_0 EI$ (г).

Демак, интеграллаш доимииси D балка бошлангич нуқтасининг салқилиги y_0 нинг балка бикрлиги EI га кўпайтмасига тенг экан. Агар, $x = \ell$ бўлса (187-расм), (а) тенгламадан $\theta = \theta_k = 0$ ва (б) тенгламадан $y = y_k = 0$ ҳосил бўлади. У ҳолда $C = \frac{F\ell}{2}$ ифодани ҳисобга олсак,

$D = \frac{F\ell^3}{6} - \frac{F\ell^2}{2} \cdot \ell = -\frac{F\ell^3}{3}$. С ва \mathcal{D} интеграллаш доимийларини (а) ва (б) тенгламаларга келтириб құйсак:

$$\theta = \frac{1}{EI} \left[-F \frac{x^2}{2} + F \frac{\ell^2}{2} \right] \quad (7.5)$$

$$y = \frac{1}{EI} \left[-F \frac{x^3}{6} + F \frac{\ell^2}{2} x - \frac{F\ell^3}{3} \right] \quad (7.6)$$

хосил бўлади. Бу тенгламалардан X нинг турли қийматларида балканинг узунлиги бўйлаб θ ва y лар топилади.

7.3. БОШЛАНГИЧ ПАРАМЕТРЛАР УСУЛИ

Узунлиги бўйлаб бир нечта оралиқлардан иборат бўлган ҳар қандай балка учун ҳам θ ва y ларни аниқлашда тақрибий дифференциал тенгламани татбиқ этиш фойдали бўлавермайди. Чунки, n та оралиқдан иборат балканинг деформациясини аниқлаш учун n та тақрибий дифференциал тенглама тузиш керак. Бу тенгламаларни интеграллаш натижасида $2n$ та интеграллаш доимийликлари хосил бўлади ва масалани ечиш мураккаблашади. Шунинг учун узунлиги бўйлаб иккита ва ундан кўпроқ оралиқлардан иборат балкаларда эластик эгилган ўқнинг дифференциал тенгламасини татбиқ этиш ва ундаги доимийларни аниқлаш анча мураккаб ва ноқулайдир.

Агар балканинг деформациясига таъсир қилмаган ҳолда унинг схемасини ўзgartиришда ва эластик эгилган ўқнинг дифференциал тенгламасини интеграллашда айрим чекланишларни қабул қылсақ, дифференциал тенгламалардаги $2n$ та номаълумни 2 тага қадар камайтириш мумкин. Бунинг учун қуйидаги чекланишларни қабул қиласиз:

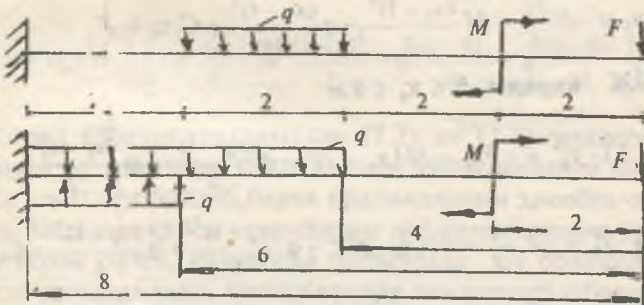
- 1) балкани XOY координата системасига жойлаштирамиз ва балканинг бошлангич нуқтасини аниқлаймиз;
- 2) балканинг оралиқ масофаларини координата бошидан маълум тартибда жойлаштирамиз;
- 3) балканинг бирор оралиқдаги тақсимланган куч интенсивлигини таъсири, балканинг охиригача давом этмаса, балканинг шу оралиқларини ўзаро тенг ва қарама-қар-

ши йұналған тәсімләнгән күч интенсивлигі билан түлдірамыз;

4) жуфт күш моментини $M^* X^0$ күринищда ёзамиз;

5) дифференциал тәнгламаны интеграллашда қавсларни очмаймыз. Интеграллашни қуйидагича бажарамыз:

$$\int (x-a)^n dx = \frac{(x-a)^{n+1}}{n+1}$$



188-расм.

Балканинг қырқымын берілген оралиқтардың арасындағы деформацияның дифференциал тәнгламасын тузамыз және интеграллаймыз:

OB қырқым. $0 \leq x_1 \leq 2 \text{ м}$

$$EI \cdot y_1'' = -Fx_1; \quad EI \cdot y_1' = -F \frac{x_1^2}{2} + C_1$$

$$EI \cdot y_1 = -F \frac{x_1^3}{6} + C_1 x_1 + D_1$$

OK қырқым. $2 \leq x_2 \leq 4 \text{ м}$

$$EI \cdot y_2'' = -Fx_2 - M(x_2 - 2)^0;$$

$$EI \cdot y_2' = -F \frac{x_2^2}{2} - M(x_2 - 2)^1 + C_2$$

$$EI \cdot y_2 = -F \frac{x_2^3}{6} - M \frac{(x_2 - 2)^2}{2} + C_2 x_2 + D_2$$

ОН қирқим. $4 \leq x_3 \leq 6$ м

$$EI \cdot y_3'' = -Fx_3 - M(x_3 - 2)^0 - q \frac{(x_3 - 4)^3}{2}.$$

$$EI \cdot y_3' = -F \frac{x_3^2}{2} - F(x_3 - 2)^1 - q \frac{(x_3 - 4)^3}{6} + C_3,$$

$$EI \cdot y_3 = -F \frac{x_3^3}{6} - M \frac{(x_3 - 2)^2}{2} - q \frac{(x_3 - 4)^4}{24} + C_3 x_3 + D_3,$$

ОЖ қирқим. $6 \leq x_4 \leq 8$ м

$$EI \cdot y_4'' = -Fx_4 - M(x_4 - 2)^0 - q \frac{(x_4 - 4)^2}{2} + q \frac{(x_4 - 6)^2}{2}$$

$$EI \cdot y_4' = -F \frac{x_4^2}{2} - M(x_4 - 2)' - q \frac{(x_4 - 4)^3}{6} + q \frac{(x_4 - 6)^3}{6} + C_4$$

$$EI \cdot y_4 = -F \frac{x_4^3}{6} - M \frac{(x_4 - 2)^2}{2} - q \frac{(x_4 - 4)^4}{24} + q \frac{(x_4 - 6)^4}{24} + C_4 x_4 + D_4$$

Интеграллаш доимийликларини аниқлағыз:

$X_1 = 2$ м ва $X_2 = 2$ м бұлса, $y_1' = y_2'$ ва $y_1 = y_2$ ҳосил бўлади, яъни OB оралиқдан KB оралиққа ўтъ ш кесимидағи айланиш бурчаклари ва салқиликлари тенг:

$$-F \frac{4}{2} + C_1 = -F \frac{4}{2} + C_2 \text{ ва}$$

$$-F \frac{8}{6} + C_1 \cdot 2 + D_1 = -F \frac{8}{6} + C_2 \cdot 2 + D_2$$

Шунинг учун $C_1 = C_2$ ва $D_1 = D_2$ шу усул билан $x_1 = 4$ м = $= x_3$, да $y_1' = y_3'$ ва $y_1 = y_3$ тенгликлар асосида $C_3 = C_2$ ва $D_3 = D_2$ лар; $x_3 = 6$ м = x_4 да $y_3' = y_4'$ ва $y_3 = y_4$, шунинг учун $C_3 = C_4$ ва $D_3 = D_4$ тенгликлар ҳоссил қилинади.

Демак, $C_1 = C_2 = C_3 = C_4 = C$ ва $D_1 = D_2 = D_3 = D_4 = D$ күри- нишда ҳамма интеграллаш доимийликлари ўзаро тенг экан- лиги келиб чиқади. Тұртта оралиқдан иборат балканинг дифференциал тенгламаларини интеграллашда ҳосил бўлган саккизта номаълум интеграллаш доимийликлари иккитага келтирилади. Бу доимийликларни: $C = EI \cdot \theta_0$

ва $D = EI \cdot y$ күринишда, яъни балканинг бошланғич кесимини айланиш бурчаги θ_0 ва салқилиги Y_0 орқали ифодалаш мумкин. Барча интеграллаш доимиilikлари тенглигидан фойдаланиб балканинг охирги оралиқлари учун дифференциал тенгламани қуидагича күринишда ёзамиш:

$$\theta = \theta_0 + \frac{1}{EI} \left[-F \frac{x^2}{2} - M(x-2)' - q \frac{(x-4)^3}{6} + q \frac{(x-6)^3}{6} \right] \quad (7.7)$$

$$y = y_0 + \theta_0 x + \frac{1}{EI} \left[-F \frac{x^3}{6} - M \frac{(x-2)^2}{2} - q \frac{(x-4)^4}{24} + q \frac{(x-6)^4}{24} \right] \quad (7.8)$$

Хосил бўлган тенгламалар (7.7) ва (7.8) универсал формулалар дейилади. Формуланинг универсаллиги унинг балка узунлиги бўйлаб барча оралиқларини ҳисобга олишида. Балкани қайси оралиқнинг деформациясини ўрганиш керак бўлса, универсал формулада шу оралиқдаги кучлар қолдирилади; бошқа кучлар эса ташлаб юборилади. Балканинг барча оралиқлари учун θ_0 ва Y_0 лар умумийдир.

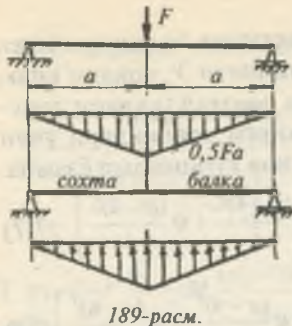
7.4. ЭГИЛИШДА КЎЧИШНИ ТОПИШНИНГ ГРАФОАНАЛИТИК УСУЛИ

Графо әналитик усул билан балкани танланган кесимининг салқилиги ва айланиш бурчагини аниқлаш мумкин. Бу учуннинг аналитик томони балка эгилган ўқининг тақриби: дифференциал тенгламасига асосланган, яъни:

$$\frac{d^2(EI \cdot y)}{dx^2} = EI \frac{d^2y}{dx^2} = M \quad (7.9)$$

Бу ёт да: M — берилган балканинг эгувчи моменти (189-расм).

Масаланинг график томонини ёритиш учун сохта балка ва сохта куч тушунчаларини киритамиз. Сохта балка ҳақиқи ўз балкадан фарқ қиласи ва у сохта куч интенсивлиги q , яъни ҳақиқий балка эгувчи моментининг эпюраси билан юклаймиз. Демак, сохта куч миқдор жиҳатдан эгувчи моментга тенг экан, яъни: $M = q$. Сохта куч интенсивлиги — q , ҳақиқий балканинг эгувчи моменти қонунияти билан ўзгаради.



189-расм.

лани ҳосил қиласыз:

$$\frac{d^2(EI \cdot y)}{dx^2} = \frac{d^2M_f}{dx^2} \quad (7.11)$$

(7.11) формуланы интеграллаб, ихтиёрий үзгартмас чап ва ўнг томон интеграллаш доимийларини үзәро тенгламаларни солишириб қой 1 әғи формуланы ҳосил қиласыз:

$$\frac{d(EI \cdot y)}{dx} = EI\theta \frac{dM_f}{dx} \text{ ва } EI \cdot y = M_f$$

Берилган ташқи күч таъсирида ҳақиқий бұлка ихтиёрий кесимининг айланиш бурчаги — θ сохта балканинг шу кесимидағы күндаланғ күчнинг ҳақиқий балканинг бикрлигига бүлинмасига тенг:

$$\theta = \frac{Q_f}{EI} \quad (7.12)$$

ҳақиқий балка	ҳақиқий балка	ҳақиқий тәсеккүлтүр
$y = 0$ $Q = 0$	$y \neq 0$ $Q \neq 0$	$y = 0$ $Q \neq 0$
$M_y = 0$ $Q_y = 0$	$M_y \neq 0$ $Q_y \neq 0$	$M_y = 0$ $Q_y \neq 0$
сохта балка	сохта балка	сохта балка
$M_y = 0$ $Q_y \neq 0$	$M_y \neq 0$ $Q_y \neq 0$	$M_y = 0$ $Q_y \neq 0$

190-расм.

Берилган ташқи куч таъсирида ҳақиқий балканинг ихтиёрий нуқтасининг салқилиги — Y , сохта балканинг шу нуқтасидаги эгувчи момент M , нинг ҳақиқий балканинг бикрлиги бўлинмасига teng:

$$y = \frac{M_f}{EI} \quad (7.13)$$

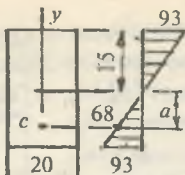
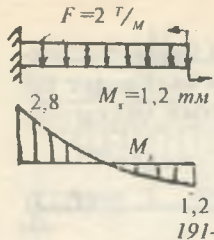
Ҳақиқий балканинг танланган кесимининг айланиш бурчаги ва салқилигини аниқлаш учун сохта балканинг шу кесимидағи сохта кўндаланг куч ва сохта эгувчи моментини аниқлаш керак экан. Сохта балкани танлаш шартлари 190-расмда кўрсатилган.

Савол ва топшириқлар

1. Соф эгилиш деб нимага айтилади?
2. Соф эгилишга мисоллар келтириңг.
3. Нейтрал қатлам деб қандай материалга айтилади?
4. Эгилишда нормал кучланиш формуласини ёзинг.
5. Эгилишда нормал кучланиш балка кесимининг юзасида қандай қонуният билан ўзгаради?
6. Эгилишда уринма кучланиш формуласини ёзинг?
7. Эгилишда уринма кучланиш балка кесимининг юзасида қандай қонуният билан ўзгаради?
8. Эгилишда нормал кучланиш буйича мустаҳкамлик шарти формуласини ёзинг.
9. Эгилишда уринма кучланиш буйича мустаҳкамлик шарти формуласини ёзинг?
10. Тенг қаршилик кўрсатувчи балкалар деб нимага айтилади?
11. Балка кесимининг айланиш бурчаги ва салқилиги нима?
12. Эгилиш деформацияси қандай усуллар билан топилади?
13. Балка эгилган ўқининг тақрибий дифференциал тенгламасини ёзинг.
14. Универсал формулани ёзинг.

1-масала. Берилган балка учун эгувчи момент эпюраси қурилсин; хавфли кесимдаги энг катта нормал кучланиш ва шу кесимдаги С нуқтанинг кучланиши топилсин.

Ечиш. $M_x = M_0 - q \frac{x_2}{2}$ тенгламадан $x = 0$ да $M_x = 1,2$ тм,



191-расм.

$x = 1,09 \text{ м}$, $M_x = 0$ ва
 $x = 2 \text{ м}$; $M_x = 2,8 \text{ тм}$
 ҳосил қиласиз. Кесимиңг х ўқига нисбатан
 қаршилик моментини топамиз:

$$W_x = \frac{bh^2}{6} = \frac{0,2(0,3)^2}{6} = 3 \cdot 10^{-3} \text{ м}^3$$

Энг катта эгувчи момент балканиң таянч кесимида ҳосил бўлади:

$$M_{\max} = 2,8 \text{ тм} = 28 \text{ кНм} \text{ ва}$$

$$\sigma_{\max} = \frac{M_{\max}}{W_x} = \frac{28}{3 \cdot 10^{-3}} = 9,3 \cdot 10^3 \frac{\text{kH}}{\text{м}^2}$$

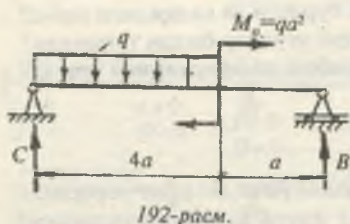
С нуқта балка кесимининг ўқидан

$$y - a = \frac{h}{2} - 4 = 11 \text{ см} = 0,11 \text{ м} \quad \text{масофада жойлашган.}$$

$$\sigma_c = -\frac{M_{\max}}{I_x} \cdot 0,11 = \frac{28 \cdot 0,11}{4,5 \cdot 10^{-4}} = -0,684 \cdot 10^{11} \frac{\text{kH}}{\text{м}^2}$$

$$\text{Бу ерда: } I_x = \frac{bh^3}{12} = \frac{0,2(0,3)^3}{12} = 4,5 \cdot 10^{-4} \text{ м}^4$$

2-масала.



192-расм.

Узунлиги $\ell = 3 \text{ м}$ бўлган тўғри бурчакли кесимили балка 192-расмда кўрсатилгандек юкланган.

Ўлчамлари $h = 0,2 \text{ м}$, $b = 0,12 \text{ м}$ бўлган балканиң хавфли кесимдаги энг катта нормал кучланиши $\sigma_{\max} = 1,21 \frac{\text{kH}}{\text{м}^2}$ дан фойдаланиб, тақсимланган куч интенсивлиги — q топилсин.

192-расм.

Ечиш. Реакция күчларини топамиз:

$$\sum M_c = q4a \cdot \frac{4a}{2} + M_0 - B5a = 0; \quad B = \frac{9}{5}q \cdot a$$

$$\sum M_B = C \cdot 5a - q4a \left(\frac{4a}{2} + a \right) + M = 0; \quad C = \frac{11}{5}q \cdot a$$

M_x ва Q тенгламаларни тузамиз:

$$M_x = c \cdot x - q \frac{x^2}{2} \quad \text{ва} \quad Q = c - qx$$

Балкани $Q = 0$ бўлган нуқтасида $M_x = M_{\max}$. Шунинг учун $Q = 0$ нуқтанинг координатаси — x ни топамиз. $C - qx = 0$ ёки:

$$x = \frac{c}{q} = \frac{11 \cdot q \cdot a}{5q} = \frac{11a}{5}$$

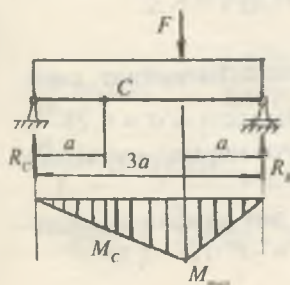
У ҳолда: $M_{\max} = C \cdot \frac{11a}{5} - q \frac{\left(\frac{11}{5}a\right)^2}{2} = 2,42qa^2$

Балка хавфли кесимининг мустаҳкамлик шартини ёзамиш:

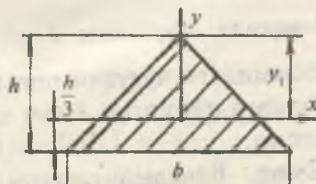
$$\sigma_{\max} = \frac{M_{\max}}{W} = \frac{2,42qa^2}{bh^2} = 1,21 \frac{kH}{m^2}$$

6

Бу ерда: $q = \frac{1,21 \cdot b \cdot h^2}{2,42 \cdot 6 \cdot a^2} = \frac{1,21 \cdot 0,12 \cdot (0,20)^2}{2,42 \cdot 6 \cdot 1} = 4 \cdot 10^{-4} \frac{kH}{m}$



193-расм.



3-масала.

F күч таъсиридан балка кесимининг C нуқтасида ҳосил бўлган нормал кучланиш $\sigma_e = 3 \frac{\kappa H}{m^2}$. Балканинг $M = M_{\max}$ бўлган хавфли кесимидағи абсолют қиймати энг катта бўлган нормал кучланиш топилсин.

Ечиш. Реакция кучлари $R_c = \frac{F}{3}$ ва $R_B = \frac{2F}{3}$

M эпюрасидан $M_c = R_c \cdot a = \frac{Fa}{3}$ ва $M_{\max} = \frac{2}{3} Fa$ ҳосил

қиласиз. Нуқта учун балканинг мустаҳкамлик шарти — $\sigma_c = \frac{M_c}{W}$ дан $M_c = \sigma_c \cdot W$ ни топамиз.

У ҳолда: $M_c = \sigma_c \cdot \frac{I_y}{y} = \sigma_c \frac{bh^3 \cdot 3}{12 \cdot h} = \sigma_c \frac{bh^2}{4} = 0,75bh^2$

M эпюрасидан ва мустаҳкамлик шартидан келиб чиқсан M_c моментларини солиштирсак,

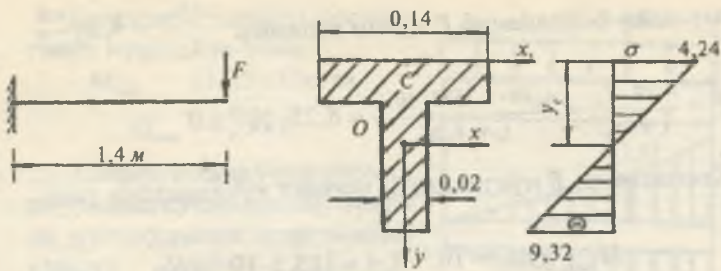
$\frac{Fa}{3} = 0,75bh^2$ ва $F = \frac{2,25bh^2}{a}$ ни ҳосил қиласиз.

У ҳолда: $M_{\max} = \frac{2}{3} \cdot \frac{2,25bh^2 \cdot a}{a} = 1,5bh^2$. Балканинг хавфли кесимидағи энг катта нормал кучланишни топамиз:

$$\sigma_{\max} = \frac{M_{\max} \cdot y_1}{I_x} = \frac{1,5bh^2}{bh^3} \cdot \frac{2}{3}h = \frac{1,5 \cdot \frac{2}{3}}{\frac{1}{12}} = 12 \frac{\kappa H}{m^2}$$

4-масала. Узунлиги $\ell = 1,4 \text{ м}$ консоль балканинг хавфли кесимидағи чўзувчи нормал қучланиши — $\sigma = 4,24 \frac{\kappa H}{m^2}$. Балкага қўйилган F күч ва сиқувчи нормал кучланиш топилсин.

Ечиш. Балканинг таянч кесими энг хавфли ҳисобланади, чунки бу кесимда: $M_x = M_{\max} = -F \cdot \ell = -1,4F$



194-расм.

F күч таъсиридан балканинг эгилишида юқори толалар чўзилади, пастки толалари эса сиқилади. Шунинг учун юқори толалардаги энг катта чўзувчи кучланиш $\sigma_{\max} = 4,24 \frac{kH}{m^2}$. Чўзувчи кучланишлар бўйича балкани хавфли ҳолатидаги материалининг мустаҳкамлик шартини ёзамиш: $\sigma_{\max} = \frac{M_{\max} \cdot y_0}{I_x} = 4,24 \frac{kH}{m^2}$.

Бу ерда: y_0 — балка кесимининг нейтрал ўқидан C нуқтагача бўлган масофа: $y_0 = \frac{\sum Sx}{\sum A}$

I_x — балка кесимининг нейтрал ўққа нисбатан инерция моменти.

S_{xi} — балка кесимининг x_i ўқига нисбатан статик моменти.

$$\sum S_{xi} = 0,14 \cdot 0,02 \cdot 0,01 + 0,14 \cdot 0,02 \left(\frac{0,14}{2} + 0,02 \right) = 2,8 \cdot 10^{-4} m^3$$

$$\sum A = 2 \cdot 0,14 \cdot 0,02 = 5,6 \cdot 10^{-3} m^2$$

$$\text{У ҳолда: } y_0 = \frac{2,8 \cdot 10^{-4}}{5,6 \cdot 10^{-3}} = 0,05 m$$

$$I_x = \frac{0,14(0,02)^3}{12} + 0,14 \cdot 0,02(y_0 - 0,01)^2 + \frac{0,02(0,14)^3}{12} + \\ + 0,02 \cdot 0,14(0,02 + 0,07 - y_0)^2 = 1,3623 \cdot 10^{-5} m^4$$

формуладан фойдаланиб F кучни топамиз: $\frac{1,4Fy_0}{I_x} = 4,24 \frac{\kappa H}{m^2}$

$$\text{ва } F = \frac{4,24 \cdot I_x}{1,4 \cdot y_0} = \frac{4,24 \cdot 1,3623 \cdot 10^{-5}}{1,4 \cdot 0,05} \approx 8,25 \cdot 10^{-5} \kappa H$$

Кесимнинг B нуқтасидаги нормал кучланишни топамиз:

$$M_{\max} = 82,5 \cdot 10^{-5} \cdot 1,4 = 115,5 \cdot 10^{-5} \kappa Hm$$

$$\sigma_B = \frac{115,5 \cdot y_B \cdot 10^{-5}}{1,3623 \cdot 10^{-5}} = -\frac{115,5 \cdot 10^{-5} (0,16 - 0,05)}{1,3623 \cdot 10^{-5}} = 9,32 \frac{\kappa H}{m}$$

5-масала.

Ёғочдан тайёрланган балка учун $h = 1,5b$ нисбатдан фойдаланиб түғри бурчакли кесим танлансин.

$$\text{Берилган: } a = 0,25 m; \quad q = 10 \frac{\kappa H}{m}; \quad F = 10qa = 25 \kappa H$$

$$[\sigma] = 10 \frac{\kappa H}{m^2}; \quad [\tau] = 0,12 \frac{\kappa H}{m^2}$$

Ечиш. Бир томони қистириб маҳкамланган балқанинг хавфли кесимидағи әгувчи момент ва құндаланг кучни топамиз.

I қирқим. $0 \leq x_1 \leq 0,75 m$

$$Mx_1 = -q \frac{x_1^2}{2} \quad \text{ва} \quad Q_1 = -qx_1$$

$$x_1 = 0; \quad Mx_1 = 0 \quad \text{ва} \quad Q_1 = 0$$

$$x_1 = 0,75 m; \quad Mx_1 = -2,81 \kappa Hm$$

$$Q_1 = -7,5 \kappa H$$

II қирқим. $0,75 \leq x_2 \leq 1 m$

$$Mx_2 = -q \frac{x_2^2}{2} - F(x_2 - 0,75); \quad Q_2 = -qx_2 - F$$

$$x_2 = 0,75 m; \quad M_2 = -2,81 \kappa Hm; \quad Q_2 = -32,5 \kappa H$$

$$x_2 = 1 m; \quad M_2 = -11,25 \kappa Hm; \quad Q_1 = -35 \kappa H$$

Балканинг хавфли кесими таянч нүқтасида экан:

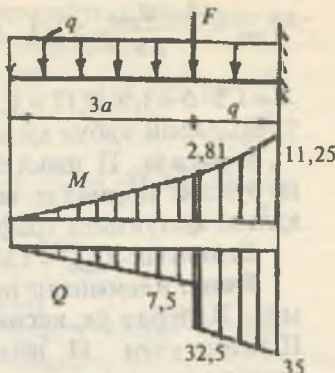
$$M_{\max} = -11,25 \text{ kNm} \text{ ва}$$

$$Q_{\max} = -35 \text{ kN}$$

Хавфли кесим учун нормал ва уринма кучланишлар бўйича мустаҳкамлик шартларини ёзмиз:

$$\sigma_{\max} = \frac{M_{\max}}{W_x} \leq [\sigma] \text{ ва}$$

$$\tau_{\max} = \frac{Q_{\max} \cdot S_x}{I_x \cdot b} \leq [\tau]$$



195-расм.

Бу ерда: $W_x = \frac{bh^2}{6}$ кесимнинг x ўқига нисбатан қаршилик моменти (m^3), $S_x = b \cdot \frac{h}{2} \cdot \frac{h}{4} = \frac{bh^2}{8}$ кесимнинг x ўқига нисбатан статик моменти (m^3), $I_x = \frac{bh^3}{12}$ кесимнинг x ўқига нисбатан инерция моменти, m^2 кесимнинг ўлчамларини нормал кучланиш бўйича мустаҳкамлик шартидан фойдаланиб топамиз. Кесимнинг ўлчамларини нормал кучланиш бўйича мустаҳкамлик шартидан фойдаланиб топамиз.

$$\frac{6M_{\max}}{hb^3} = [\sigma] \text{ ёки } h = 1,5b \text{ ни ҳисобга олсак:}$$

$$b = \sqrt[3]{\frac{6 \cdot M_{\max}}{1,5[\sigma]}} = \sqrt[3]{\frac{6 \cdot 11,25}{1,5 \cdot 10^5}} = 0,165 \text{ m}$$

$$h = 1,5 \cdot b = 1,5 \cdot 0,165 = 0,2475 \text{ m}$$

Кесимнинг ўлчамларини уринма кучланишга боғлаб

$$\text{аниқлаймиз: } \tau_{\max} = \frac{Q_{\max} \cdot \frac{bh}{8}}{\frac{bh^3}{12} \cdot b} \leq [\tau]: h = 1,5b \text{ нисбатни ҳисобга олсак:}$$

$$t_{\max} = \frac{3}{2} \cdot \frac{Q_{\max}}{1,5 \cdot b^2} \leq [\tau] \quad \text{ёки} \quad b = \sqrt{\frac{Q_{\max}}{[\tau]}} = \sqrt{\frac{35}{0,12 \cdot 10^4}} \approx 0,17 \text{ м}$$

$b = 1,5 \cdot b = 1,5 \cdot 0,17 = 0,255 \text{ м}$ $b = 0,17 \text{ м}$, $\Rightarrow h = 0,255 \text{ м}$

6-масала. П шаклли профилнинг деворлари баландлиги бўйлаб нормал σ ва уринма τ кучланишларнинг тарқалиш қонунияти графикасини қуринг.

Берилган: $Q_{\max} = 120 \text{ кН}$; $M_{\max} = 50 \text{ кНм}$

Ечиш. Кесимнинг нейтрал ўқининг ҳолатини аниқлаймиз. Нейтрал ўқ кесимнинг оғирлик марказидан ўтади. Шунинг учун П шаклли кесимнинг оғирлик марказининг координаталарини аниқлаймиз. Кесим Z ўқига нисбатан симметрик бўлганлиги учун:

$$y_c = 0. \quad \text{У ҳолда: } Z_c = \frac{\sum S_{y_1}}{\sum A} = \frac{11,04 \cdot 10^{-4}}{9,6 \cdot 10^{-3}} = 0,115 \text{ м}$$

$\sum S_y$ — кесимнинг y_1 ўқига нисбатан статик моменти, м^3 .

$\sum A$ — шаклнинг кесим юзаси, м^2 .

$$\sum S_y = 0,02 \cdot 0,12 \cdot 0,19 + 2 \cdot 0,18 \cdot 0,02 \cdot 0,09 = 11,04 \cdot 10^{-4} \text{ м}^4$$

$$\sum A = 2 \cdot 0,02 \cdot 0,18 + 0,02 - 0,12 = 9,6 \cdot 10^{-3} \text{ м}^2$$

Параллел ўқларга нисбатан инерция моментлари формуласидан фойдаланиб кесимнинг у ўқига нисбатан инерция моментини топамиз:

$$I_y = 2 \left[\frac{0,02 \cdot [0,18]^3}{12} + (0,025)^2 \cdot 0,02 \cdot 0,18 \right] + \\ + \frac{0,12(0,02)^3}{12} + 0,75^2 \cdot 0,02 \cdot 0,12 \\ I_y = 37,52 \cdot 10^{-6} \text{ м}^4$$

$\sigma = \frac{M_{\max} \cdot Z}{I_y}$ формуладан фойдаланиб кесимнинг баландлиги бўйлаб нормал кучланишнинг ўзгаришини топамиз.

Бу ерда: Z — күчланиш текширилаётган нүктадан кесимнинг нейтрал ўқигача бўлган масофа, м.

$$1-\text{нүкта } (Z_1 = 0,085 \text{ м}); \sigma' = \frac{-50 \cdot 0,085}{37,52 \cdot 10^{-6}} = -113,273 \cdot 10^3 \frac{\kappa H}{\text{м}^2}$$

$$2-\text{нүкта} \quad (Z_2 = 0,065\text{м}); \quad \sigma^H = \frac{-50 \cdot 0,065}{37,52 \cdot 10^{-6}} = -86,62 \cdot 10^3 \frac{\text{Н}\cdot\text{м}}{\text{м}^2}$$

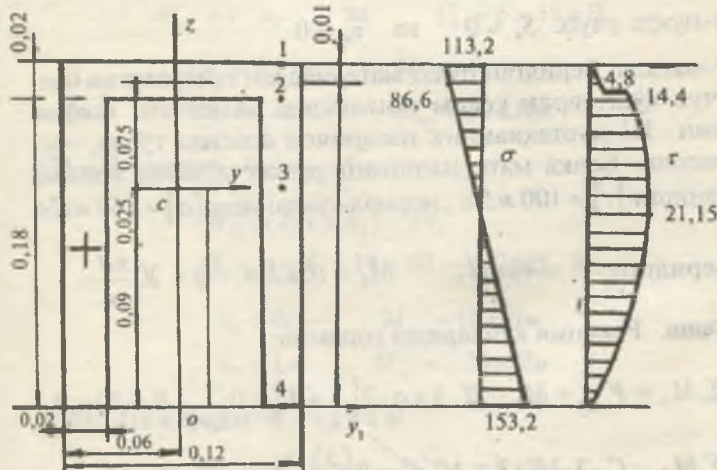
3-нүкта ($Z_3 = 0$); $(\sigma^{III} = 0)$

$$4-\text{нүүцтэй } (Z_4 = 0,115 \text{ м}); \sigma^{IV} = \frac{50 \cdot 0,115}{37,52 \cdot 10^{-6}} = +153,25 \cdot 10^3 \frac{\kappa H}{\text{м}^2}$$

Масаланинг берилишида эгувчи моментнинг ишораси мусбат. Демак, кесимнинг 1- ва 2-нуқталар жойлашган қисми сиқилишга ва 4-нуқта жойлашган томони чўзилишга ишлайди.

Журавский формуласидан фойдаланиб кесим кесими-
нинг баландлиги буйлаб уринма кучланишнинг ўзгари-
шини аниқлаймиз:

$$\tau = \frac{Q_{\max} \cdot S_y}{I_y h(d)}$$



196-расм.

Бу ерда: S — кесимнинг четки нуқтасидан пастда ва кучланиш текшириладиган нуқтадан юқорида жойлашган юзасининг нейтрал ўққа нисбатан статик моменти.

1-нуқта учун: $S_1 = 0$ ва $\tau_1 = 0$

2-нуқта учун: $S_2 = 0,02 \cdot 0,12 \cdot 0,075 = 1,8 \cdot 10^{-4}$, m^3

$$\tau_2 = \frac{120 \cdot 1,8 \cdot 10^{-4}}{37,52 \cdot 10^{-6} \cdot 0,12} = 4,8 \cdot 10^3 \frac{\kappa H}{m^2}$$

Нуқта кесимнинг супачасидан деворига ўтиш қисмида жойлашгани учун кесимнинг эни 0,12 метрдан 0,02 м қадар камаяди.

$$\tau_2^1 = \frac{120 \cdot 1,8 \cdot 10^{-4}}{37,52 \cdot 10^{-6} \cdot 2 \cdot 0,02} = 14,4 \cdot 10^3 \frac{\kappa H}{m^2}$$

3-нуқта учун:

$$S_3 = 1,18 \cdot 10^{-4} + 2 \cdot 0,02 \cdot 0,065 \cdot \frac{0,065}{2} = 26,45 \cdot 10^{-5} m$$

$$\tau_3 = \frac{120 \cdot 2,645 \cdot 10^{-4}}{37,52 \cdot 10^{-6} \cdot 2 \cdot 0,02} = 21,15 \cdot 10^3 \frac{\kappa H}{m^2}$$

4-нуқта учун: $S_4 = 0$ ва $\tau_4 = 0$

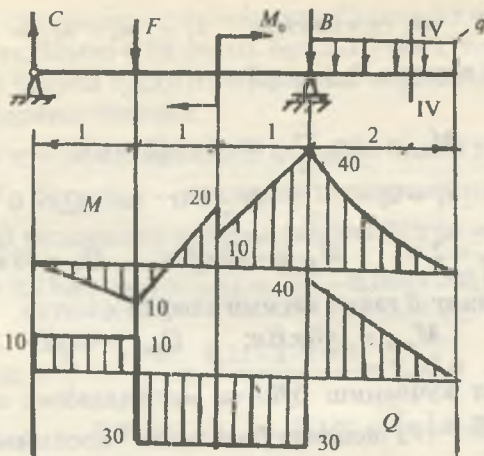
7-масала. Берилган пулат материалдан тайёрланган балка учун құштаврли кесим танлансин. Балканинг хавфли кесими III мустақамлый назарияси асосида түлиқ текширилсін. Балка материалининг рухсат этилган уринма кучланиши $[\tau] = 100 \text{ MPa}$, нормал кучланиши $[\sigma] = 160 \text{ MPa}$

$$\text{Берилған: } F = 40 \kappa H; \quad M_0 = 10 \kappa Hm; \quad q = 20 \frac{\kappa H}{m}$$

Ечиш. Реакция кучларини топамиз:

$$\sum M_c = F \cdot 1 + M_0 - B \cdot 3 + q \cdot 2 \left(\frac{2}{2} + 3 \right) = 0; \quad B = 70 \kappa H$$

$$\sum M_B = C \cdot 3 - F \cdot 2 + M_0 + q \cdot 2 \left(\frac{2}{2} \right) = 0; \quad C = 10 \kappa H$$



197-расм.

Балканинг узунлиги бўйича эгувчи момент M_x ва кўндаланг куч — Q ни топамиз.

I—I қирқим. $0 \leq x_1 \leq 1\text{ м}$

$$M_{x_1} = c \cdot x_1 \quad \text{ва} \quad Q_1 = c = 10 \text{ кН}$$

$$x_1 = 0; \quad M_{x_1} = 0$$

$$x_1 = 1 \text{ м}; \quad M_{x_1} = 10 \text{ кНм}$$

II-II қирқим. $0 \leq x_2 \leq 1\text{ м}$

$$M_{x_2} = c(1 + x_2) - Fx_2$$

$$Q_2 = c - F = 10 - 40 = -30 \text{ кН}$$

$$x_2 = 0; \quad M_{x_2} = 10 \text{ кНм}$$

$$x_2 = 1 \text{ м}; \quad M_{x_2} = -20 \text{ кНм}$$

III-III қирқим. $0 \leq x_3 \leq 1\text{ м}$

$$M_{x_3} = c(2 + x_3) - F(1 + x_3) + M_0$$

$$Q_2 = c - F = 10 - 40 = -30 \text{ кН}$$

$$x_3 = 0; \quad M_{x_3} = -10 \text{ kNm}; \quad x_3 = 1 \text{ m}; \quad M_{x_3} = -40 \text{ kNm}$$

IV—IV қирқүм. $0 \leq x_4 \leq 2 \text{ m}$

$$M_{x_4} = -qx_4 \frac{x_4}{2} \quad \text{ва} \quad Q_4 = qx_4$$

$$x_4 = 0; \quad M_{x_4} = 0 \quad \text{ва} \quad Q_4 = 0$$

$$x_4 = 2 \text{ m}; \quad M_{x_4} = -40 \text{ kNm}; \quad Q_4 = 40 \text{ kH}$$

Балканинг *B* таянч кесими хавфли ҳолатда:

$$M_{\max} = -40 \text{ kNm}; \quad Q_{\max} = 40 \text{ kH}$$

Нормал кучланиш бўйича мустаҳкамлик шарти:

$$\sigma_{\max} = \frac{M_{\max}}{W_x} \leq [\sigma] \quad \text{асосида балканинг кесимини танлаймиз:}$$

$$W_x = \frac{M_{\max}}{[\sigma]} = \frac{40}{160 \cdot 10^3} = 0,25 \cdot 10^{-3} \text{ m}^3$$

$W_T = 0,254 \cdot 10^{-3} \text{ m}^3$ қаршилик моментли N-22a қўштаврни қабул қиласиз. Танланган қўштаврли кесимда нормал кучланиш бўйича мустаҳкамлик шартини текширамиз:

$$\sigma_{\max} = \frac{40}{0,254 \cdot 10^{-3}} = 157,48 \cdot 10^3 \frac{\text{kH}}{\text{m}^2} < [\sigma]$$

Кесимдаги энг катта нормал кучланиш — σ_{\max} балканинг материали учун рухсат этилган кучланишидан кичик экан. Шунинг учун $W_T = 0,254 \cdot 10^{-3} \text{ m}^3$ қаршилик моменти N-22a қўштаврни қабул қиласиз:

$$h = 0,22 \text{ m}; \quad b = 0,12 \text{ m}; \quad d = 0,0054 \text{ m}$$

$$t = 0,0089 \text{ m}; \quad I_x = 2790 \cdot 10^{-5} \text{ m}^4; \quad W_x = 0,254 \cdot 10^{-3} \text{ m}^3$$

$$S_x = 143 \cdot 10^{-6} \text{ m}^3$$

Балканинг мустаҳкамлигини уринма кучланиш бўйича текширамиз:

$$\tau_{\max} = \frac{Q_{\max} \cdot S_x}{I_x \cdot d} = \frac{40 \cdot 143 \cdot 10^{-6}}{2790 \cdot 10^{-5} \cdot 0,0054} = 3,87 \cdot 10^3 \frac{\text{kH}}{\text{m}^2} < [\tau]$$

σ ва τ қўштаврнинг баландлиги бўйича ўзгариш тавсифини аниқлаймиз (198-расм). Бунинг учун қўштаврнинг баландлиги бўйича тўққизта нуқтанинг нормал ва уринма кучланишларини топамиз.

Нормал кучланиш қўйидаги формула билан топилади:

$$\sigma = \frac{M_{\max}}{I_x} \cdot y; \text{ бу ерда: } y - \text{кучланиш текширилаётган нуқтадан қўштавр кесимининг нейтрал ўқигача бўлган масофа, м:}$$

$$y_1 = \frac{h}{2} = 0,11 \text{ м}; \quad y_{2,3} = \frac{h}{2} - t = \frac{0,22}{2} - 0,0089 = 0,101 \text{ м}$$

$$y_4 = \frac{h_0}{4} = \frac{h - 2t}{4} = \frac{0,22 - 2 \cdot 0,009}{4} = 0,05 \text{ м}$$

$$y_5 = 0; \quad y_6 = -0,05 \text{ м}; \quad y_{7,8} = -0,101 \text{ м}; \quad y_9 = -0,11 \text{ м}$$

Уринма кучланиш Журавский формуласи билан топилади:

$$\tau = \frac{Q_{\max} \cdot S_x^0}{I_x b(d)}$$

S^0 — қўштавр кесимининг четки нуқтаси билан кучланиши текширилаётган нуқта орасидаги юзасини нейтрал ўққа нисбатан статик моменти, м;

I_x — қўштавр кесимининг нейтрал ўққа нисбатан инерция моменти, м;

$b(d)$ — кучланиши текширилаётган нуқта жойлашган кесимнинг эни, м.

Қўштаврнинг баландлиги бўйича τ нинг ўзгариши (198-расм) S_x^0 га боғлиқ: $S_x^1 = 0$

$$S_x^{II} = S_x^{III} = b \cdot t \frac{h-t}{2} = 0,12 \cdot 0,0089 \frac{0,22 - 0,0089}{2} = 1,13 \cdot 10^{-4} \text{ м}^4$$

$$S_x^{IV} = 1,13 \cdot 10^{-4} + \frac{d}{2} \left(\frac{h_0^2}{I_4} - y^2 \right) = 1,13 \cdot 10^{-4} + \\ + \frac{0,0054}{2} \left[\frac{(0,2222)^2}{4} - (0,05)^2 \right] = 1,33 \cdot 10^{-4} \text{ м}^3$$

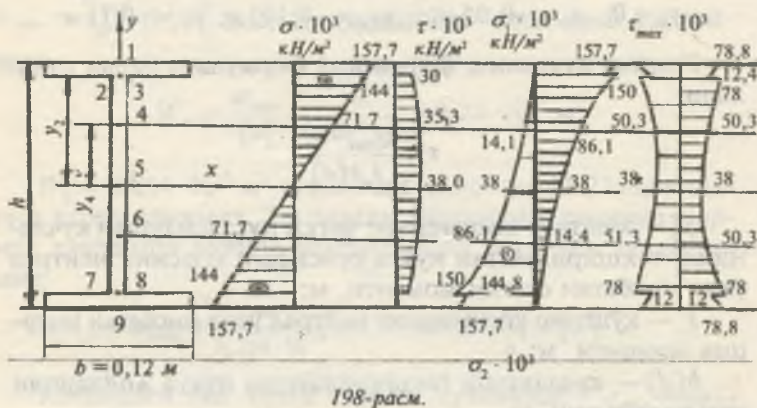
$$S_x^V = 1,33 \cdot 10^{-4} + \frac{0,0054}{2} \cdot \frac{(0,2022)^2}{4} = 1,4 \cdot 10^{-4} \text{ м}^3 \approx S_x$$

σ ва τ — катталикларни ҳисоблашни жадвалда бажа-риш қулай (5-жадвал). Кесимнинг баландлиги буйлаб бош кучланишларни қуидаги формулалар билан аниқлаймиз:

$$\sigma_{1,3} = \frac{1}{2} \left[\sigma \pm \sqrt{\sigma^2 + 4\tau^2} \right] \quad \text{ва} \quad \tau_{\max} = \pm \frac{1}{2} \sqrt{\sigma^2 + 4\tau^2}$$

Бош нормал кучланишларнинг йўналишини қуидаги формуладан топамиз:

$$\operatorname{tg} 2\alpha = - \frac{2\tau}{\sigma}$$



198-расм.

8-масала. Берилган балканинг таянч кесимлари айланиш бурчаклари, С ва Д нуқталарнинг салқиликлари топилсин.

$$EI = 4 \cdot 10^3 \text{ kNm}^2$$

Ечиш. Балканинг реакция кучларини топамиз (199-расм).

$$\sum M_A = -F \cdot 1 - R_B \cdot 4 + F \cdot 5 = 0;$$

$$R_B = F = 40 \text{ kN}$$

$$\sum M_B = -F \cdot 5 - R_A \cdot 4 + F \cdot 1 = 0;$$

$$R_A = 40 \text{ kN}$$

Эгувчи момент тенгламаларини тузамиз ва эпюрасини курамиз.

I—I қирқим. $0 \leq x_1 \leq 1\text{m}$

$$M_{x_1} = -Fx_1; \quad x_1 = 0; \quad M_{x_1} = 0 \\ \text{ва} \quad x_1 = 1\text{m}; \quad M_{x_1} = -40\text{ kNm}$$

II—II қирқим. $1 \leq x_2 \leq 5\text{m}$

$$M_{x_2} = -Fx_2 + R_A(x_2 - 1) \\ x_2 = 1\text{m}; \quad M_{x_2} = -40\text{ kNm}; \quad x_2 = 5\text{m}; \quad M_{x_2} = -40\text{ kNm}$$

III—III қирқим. $5 \leq x_3 \leq 6\text{m}$

$$M_{x_3} = -Fx_3 + R_A(x_3 - 1) + R_B(x_3 - 5) \\ x_3 = 5\text{m} \quad M_{x_3} = -40\text{ kNm}; \quad x_3 = 6\text{m}; \quad M_{x_3} = 0$$

Универсал формулани тузамиз:
Кесимнинг айланиш бурчаги:

$$\theta = \theta_0 + \frac{1}{EI} \left[-F \frac{x^2}{2} + R_A \frac{(x-1)^2}{2} + R_B \frac{(x-5)^2}{2} \right] \quad (\text{a})$$

Салқилик тенгламаси:

$$y = y_0 + \theta_0 x + \frac{1}{EI} \left[-F \frac{x^3}{6} + R_A \frac{(x-1)^3}{6} + R_B \frac{(x-5)^3}{6} \right] \quad (\text{б})$$

Универсал формуладаги номаълум θ_0 ва y_0 ларни то-пиш учун балка учларининг таяниш шартидан фойдала-намиз:

$$x = 1\text{m} \quad \text{бўлса,} \quad \theta = \theta_A \neq 0; \quad y = y_0 = 0, \quad \text{у ҳолда (б)} \\ \text{тенгламадан } y_0 + \theta_0 \cdot 1 - \frac{F \cdot 1^3}{6EI} = 0 \quad (\text{в}) \quad \text{ҳосил бўлади.}$$

$$x = 5\text{m} \quad \text{бўлса,} \quad \theta = \theta_B \neq 0; \quad y = y_B = 0, \quad \text{у ҳолда (б)} \\ \text{тенгламадан } y_0 + 5\theta_0 + \frac{1}{EI} \left[-F \frac{125}{6} + R_A \frac{64}{6} \right] = 0 \quad \text{тенглама} \\ \text{ҳосил бўлади (в) ва (г) тенгламаларни система қилиб} \\ \text{ечамиз:}$$

5-жадвал

T/p	Масофа y(м)	Статик момент $S_x(M^3)$	Кучланишлар,		Бош нормал кучланишлар		$t \frac{\max - \min}{\text{м}} \cdot 10^3 \frac{kH}{m^2}$	Бош кучланишларнинг йўналиши		
			$\frac{kH}{m^2}$	$\frac{kH}{m^2}$	$\sigma \cdot 10^3$	$\tau \cdot 10^3$		$\sigma_1 \cdot 10^3$	$\sigma_3 \cdot 10^3$	α_3
1	0,11	0	157,7	0	157,7	0	-78,85	0	-0	90°
2	0,101	$1,13 \cdot 10^{-4}$	144,8	1,35	144,81	-0,01	-72,41	-0,0186	0°30	89°30
3	0,101	$1,13 \cdot 10^{-4}$	144,8	30,0	160,75	-5,95	-78,36	-0,4143	11°15	78°45
4	0,05	$1,33 \cdot 10^{-4}$	71,7	35,30	86,15	-14,45	-50,3	-0,9846	-22°12	67°48
5	0	$1,43 \cdot 10^{-4}$	0	38,0	38,0	-38,0	-38,0	—	-45°	45°
6	-0,05	$1,33 \cdot 10^{-4}$	-71,7	35,30	14,45	-86,15	-50,3	0,9848	67°12	22°12
7	-0,101	$1,13 \cdot 10^{-4}$	-144,8	30,0	5,95	-150,75	-78,36	0,4143	78°45	11°15
8	-0,101	$1,13 \cdot 10^{-4}$	-144,8	1,35	0,01	-144,81	-72,41	0,0186	89°3	0°3
9	-0,11	0	-157,7	0	0	-157,7	-78,86	0	90°	0

$$y_0 + \theta_0 - \frac{F}{6EI} = 0$$

$$y_0 + 5\theta_0 - \frac{124F}{6EI} + \frac{64R_A}{6EI} = 0$$

Юқоридаги тенгламани 1 га құпайтириб, ҳосил бўлган тенгламани пастки тенгламага қўшамиз:

$$4\theta_0 - \frac{124F}{6EI} + \frac{64R_A}{6EI} = 0$$

$$\text{Бу ерда: } \theta_0 = \frac{124F - 64R_A}{24EI} = \frac{124 \cdot 40 - 64 \cdot 40}{24EI} = \frac{100}{EI}$$

$\theta_0 = \frac{100}{EI}$ ифодани (в) тенгламага қўйиб y_0 ни топамиз:

$$y_0 = \frac{F}{6EI} - \theta_0 = \frac{40}{6EI} - \frac{100}{EI} = -\frac{560}{6EI}$$

Топилган θ_0 ва y_0 ларни универсал формулага келтириб қўямиз:

$$\theta = \frac{100}{EI} + \frac{1}{EI} \left[-F \frac{x^2}{EI} + R_A \frac{(x-1)^2}{2} + R_B \frac{(x-5)^2}{2} \right]$$

$$y = -\frac{560}{6EI} + \frac{100x}{6EI} + \frac{1}{EI} \left[-F \frac{x^3}{6} + R_A \frac{(x-1)^3}{6} + R_B \frac{(x-5)^3}{6} \right]$$

Балканинг A таянч кесимининг айланиш бурчаги:

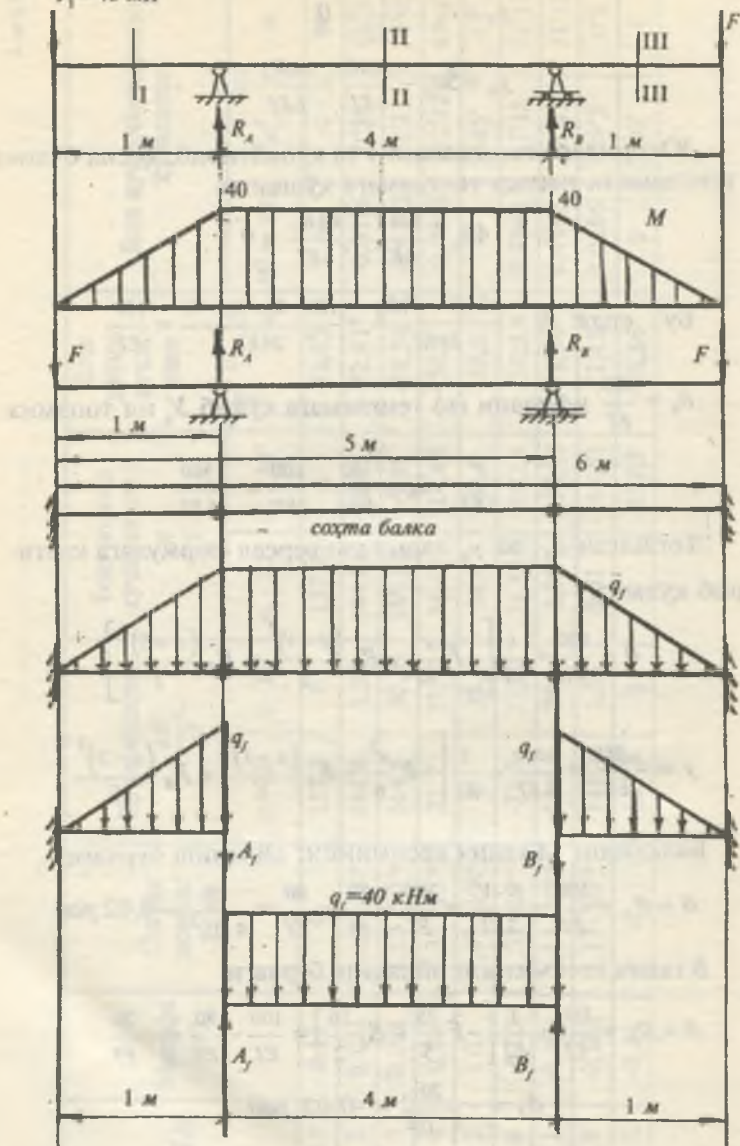
$$\theta = \theta_A = \frac{100}{EI} - \frac{F \cdot 1^2}{2EI} = \frac{100}{EI} - \frac{20}{EI} = \frac{80}{EI} = \frac{80}{4 \cdot 10^3} = 0,02 \text{ rad}$$

B таянч кесимининг айланиш бурчаги:

$$\theta = \theta_B = \frac{100}{EI} + \frac{1}{EI} \left[-F \frac{25}{5} + R_A \frac{16}{2} \right] = \frac{100}{EI} - \frac{80}{EI} = -\frac{20}{EI}$$

$$\theta_B = -\frac{20}{4 \cdot 10^3} = -0,02 \text{ rad}$$

$$F_1 = 40 \text{ kH}$$



199-расм.

С нүктанинг салқилигини топамиз: $X = 3$ м

$$y_C = -\frac{560}{6EI} + \frac{100 \cdot 3}{EI} - \frac{27F}{6EI} + \frac{8R_4}{6EI} = \\ = \frac{-560 + 1800 - 1080 + 320}{6EI} = \frac{480}{24 \cdot 10^3} = 0,02 \text{ м}$$

Д нүктанинг салқилигини топамиз: ($x = 6$ м)

$$y_B = -\frac{560}{6EI} + \frac{100 \cdot 6}{EI} + \frac{1}{EI} \left[-F \frac{216}{6} + R_4 \frac{125}{6} + R_B \frac{1}{6} \right] = \\ = \frac{-560 + 3600 - 8640 + 5000 + 40}{24 \cdot 10^3} = -\frac{560}{24 \cdot 10^3} = -0,0233 \text{ м}$$

Балканинг деформациясини графоаналитик усул билан аниқлаш учун ҳақиқий балкадан сохта балкани танлаймиз (199-расм) ва уни сохта куч билан юклаймиз.

Ҳақиқий консол балканинг таянч нүкталари сохта балкада шарнирлар билан алмаштирилади. Шарнирли кесимларда моменттинг таъсири нолга teng бўлганлиги учун сохта балкани учта оддий балкаларга ажратамиз. Ўрта сохта балканинг реакция кучларини топамиз:

$$\sum M_A = q_f \cdot \frac{4^2}{2} - B_f \cdot 4 = 0 \quad \text{ёки} \quad B_f = 2 \cdot 40 = 80 \text{ kNm}^2$$

$$\sum M_B = -q_f \cdot 8 + A_f \cdot 4 = 0 \quad \text{ёки} \quad A_f = 80 \text{ kNm}^2$$

Балка A кесимнинг айланиш бурчагини топамиз:

$$\theta_A = \frac{\theta_f^A}{EI} = \frac{A_f}{EI} = \frac{80}{4 \cdot 10^3} = 0,02 \text{ rad}$$

B кесимнинг айланиш бурчагини топамиз:

$$\theta_B = \frac{\theta_f^B}{EI} = \frac{B_f}{EI} = \frac{80}{4 \cdot 10^3} = -0,02 \text{ rad}$$

С нүктанинг салқилигини топамиз:

$$y_C = \frac{M_f^c}{EI} = \frac{80}{4 \cdot 10^3} = 0,02 \text{ м}$$

Бу ерда: $M_f^c = A_f \cdot 2 - q_f \frac{2^2}{2} = 80 \cdot 2 - 40 \cdot 2 = 80 \text{ kNm}^3$

Δ нүктанинг салқилигини топамиз.

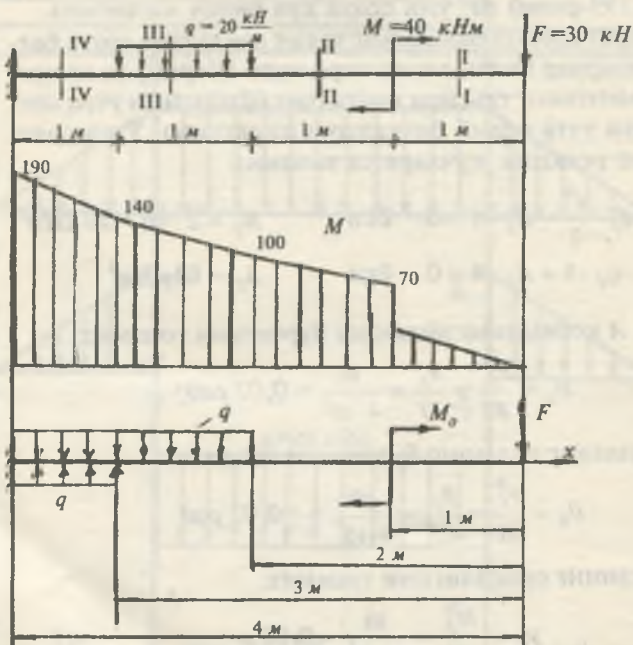
Бунинг учун $B - \Delta$ узунликдаги сохта балкани үрганамиз:

$$y_B = \frac{M_f^D}{EI} = \frac{-\omega \frac{2}{3} \cdot 1 - B_f \cdot 1}{EI} = \frac{-\frac{40}{3} - 80}{4 \cdot 10^3} = -0,023 \text{ м}$$

$$\text{Бу ерда: } \omega = \frac{1}{2} q_f \cdot 1 = \frac{40}{2} = 20 \text{ кНм}^2$$

9-масала. Бир учи қистириб маңкамланган балканинг θ ва B нүкталарининг салқилигини бошланғич параметрлар ва графоаналитик усуллар билан топинг.

Ечиш. Балканинг оралиқтарга бўлиб эгувчи моментнинг тенгламаларини тузамиз ва эпюрасини қурамиз.



200-расм.

I—I қирқим. $0 \leq x_1 \leq 1 \text{ м}$

$$M_{x_1} = -Fx_1; \quad x_1 = 0; \quad M_{x_1} = 0 \quad \text{ва} \\ x_1 = 1 \text{ м}; \quad M_{x_1} = -30 \text{ кНм}$$

II—II қирқим. $1 \leq x_2 \leq 2 \text{ м}$

$$M_{x_2} = -Fx_2 - M; \quad x_2 = 1 \text{ м}; \quad M_{x_2} = -70 \text{ кНм} \quad \text{ва} \\ x_2 = 2 \text{ м}; \quad M_{x_2} = -100 \text{ кНм}$$

III—III қирқим. $2 \leq x_3 \leq 3 \text{ м}$

$$M_{x_3} = -Fx_3 - M - q \frac{(x_3 - 2)^2}{2}; \quad x_3 = 2 \text{ м}; \quad M_{x_3} = -100 \text{ кНм} \\ \text{ва} \quad x_3 = 3 \text{ м}; \quad M_{x_3} = -140 \text{ кНм}$$

IV—IV қирқим. $3 \leq x_4 \leq 4 \text{ м}$

$$M_{x_4} = -Fx_4 - M - q \cdot 1(x_4 - 2,5); \quad x_4 = 3 \text{ м}; \quad M_{x_4} = -140 \text{ кНм} \\ \text{ва} \quad x_4 = 4 \text{ м}; \quad M_{x_4} = -190 \text{ кНм}$$

Балка учун универсал формулани тузамиз:

$$\theta = \theta_0 + \frac{1}{EI} \left[-F \frac{x^2}{2} - M(x-1)^1 - q \frac{(x-2)^3}{6} + q \frac{(x-3)^3}{6} \right] \\ y = y_0 + \theta_0 x + \frac{1}{EI} \left[-F \frac{x^3}{6} - M \frac{(x-1)^2}{2} - q \frac{(x-2)^4}{24} + q \frac{(x-3)^4}{24} \right]$$

Универсал формуладаги θ_0 ва y_0 номаълумларни балка учларининг таяниш шартидан фойдаланиб топамиз. $x = 0$ нуқта ҳар қандай таянчдан озод, яъни эркин бўлганлиги учун бу кесимда: $\theta = \theta_0 \neq 0$ ва $y = y_0 \neq 0$

Шунинг учун $x = 0$ шартдан фойдаланиб бўлмайди. $x = 4$ метр масофадаги таянч кесимнинг барча йўналишдаги ҳаракатлари чегараланган. Шунинг учун $x = 4$ бўлса, θ ва y тенгламаларидан қўйидагини ҳосил қиласиз: $\theta = 0$ ва $y = 0$

$$\theta_0 = \frac{1}{EI} \left[F \frac{16}{2} + M \cdot 3 + q \frac{8}{6} - q \frac{1}{6} \right] = \frac{2300}{6EI}$$

$$y_0 = -\frac{2300 \cdot 4}{6 \cdot EI} + \frac{1}{EI} \left[F \frac{64}{6} + M \cdot \frac{9}{2} + q \frac{16}{24} - q \frac{1}{24} \right] = -\frac{24500}{24EI}$$

Топилган θ_0 ва y_0 ларни универсал формулага келтириб құямыз:

$$\theta = \frac{2300}{6EI} + \frac{1}{EI} \left[-F \frac{x^2}{2} - M(x-1)^1 - q \frac{(x-2)^3}{6} + q \frac{(x-3)^3}{6} \right]$$

$$y = -\frac{24500}{24EI} + \frac{2300}{6EI} \cdot x + \\ + \frac{1}{EI} \left[-F \frac{x^3}{6} - M \frac{(x-1)^2}{2} - q \frac{(x-1)^4}{24} + q \frac{(x-3)^4}{24} \right]$$

O нүктаның салқилигі $x=0$ нүктага тұғри келиб, $y = y_0$ ҳосил бўлади.

$$y_0 = -\frac{24500}{24 \cdot 10^5} = -0,0102 \text{ м}$$

B нүктанинг салқилигини топамиз ($x = 2 \text{ м}$):

$$y_B = -\frac{24500}{24EI} + \frac{2300 \cdot 2}{6EI} - \frac{240}{6EI} - \frac{40}{2EI} \approx -3,14 \cdot 10^{-3} \text{ м}$$

Балканинг деформациясини графоаналитик усул билан аниқтаймиз. Бунинг учун ҳақиқий балкадан сохта балқани танлаймиз. Сохта балқани ҳақиқий балқани әгувчи моменти билан юклаймиз. Сохта балкада нотекис тарқалған сохта кучлар ҳосил бўлади. Сохта балканинг ҳар бир нүктасидаги сохта куч миқдор жиҳатдан ҳақиқий балканинг шу нүктасидаги әгувчи моментта teng бўлади ($q_f = M$), сохта куч интенсивлиги билан юкланған куч юзаларини топамиз:

$$\omega_1 = \frac{1}{2} \cdot 30 \cdot 1 = 15 \text{ кНм}^2; \quad \omega_2 = 70 \text{ кНм}^2$$

$$\omega_3 = \frac{1}{2} (100 - 70) \cdot 1 = 15 \text{ кНм}^2; \quad \omega_4 = 100 \cdot 1 = 100 \text{ кНм}^2$$

$$\omega_5 = \frac{1}{3}(140 - 100) \cdot 1 = \frac{40}{3} \kappa Hm^2; \quad \omega_6 = 140 \cdot 1 = 140 \kappa Hm^2$$

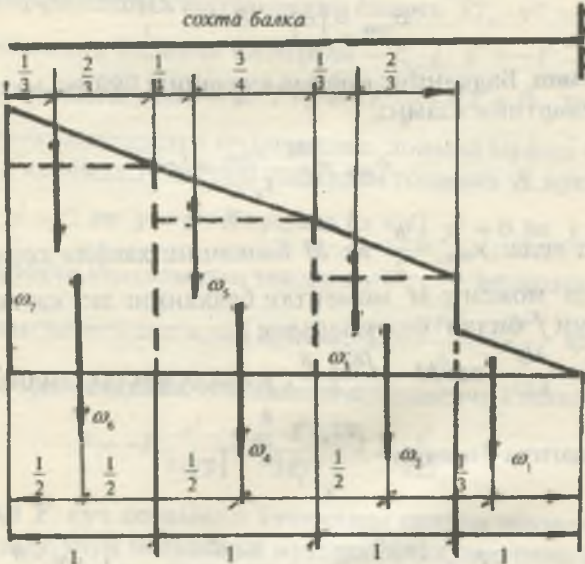
$$\omega_7 = \frac{1}{2}(190 - 140) \cdot 1 = 25 \kappa Hm^2$$

B нүктанинг салқилигини топамиз:

$$M_B^f = -\omega_7 \left(\frac{2}{3} \cdot 1 + 1 \right) - \omega_6 \left(\frac{2}{3} \cdot 1 + 1 \right) - \omega_5 \left(\frac{3}{4} \cdot 1 \right) - \omega_4 \frac{1}{2} \cdot 1 = \\ = -25 \frac{5}{3} - 140 \frac{2}{3} - \frac{40}{3} \cdot \frac{3}{4} - 100 \frac{1}{2} = -\frac{935}{3} \kappa Hm^3$$

$$y_B = \frac{M_B^f}{EI} = -\frac{935}{3 \cdot 10^5} = -3,11 \cdot 10^{-3} m$$

хақиқий балка



201-расм.

С нүктанинг салқилигини топамиз:

$$\begin{aligned}
 M_f^0 = & -\omega_7 \left(\frac{2}{3} \cdot 1 + 3 \right) - \omega_6 \left(\frac{2}{3} \cdot 1 + 3 \right) - \omega_5 \left(\frac{3}{4} \cdot 1 + 2 \right) - \omega_4 \left(\frac{1}{2} \cdot 1 + 2 \right) - \\
 & - \omega_3 \left(\frac{2}{3} \cdot 1 + 1 \right) - \omega_2 \left(\frac{1}{2} \cdot 1 + 1 \right) - \omega_1 \left(\frac{1}{3} \cdot 1 \right) = -25 \frac{11}{3} - 140 \frac{7}{2} - \frac{40}{3} \cdot \frac{11}{4} - \\
 & - 100 \frac{5}{2} - 15 \frac{5}{3} - 70 \frac{3}{2} - 15 \frac{2}{3} = -\frac{3025}{3} \text{ кНм}^3 \\
 y_{\text{ж}} = \frac{M_f^0}{EI} = & -\frac{3025}{3 \cdot 10^5} = -0,0101 \text{ м}
 \end{aligned}$$

10-масала. Иккита шарнирли таянчга таянган, узунлиги $\ell = 1$. Балканинг ўрта кесимида салқилик $f = 6,25$ мм. Балканинг кесими, томонлари $b = 0,06$ м ва $h = 0,04$ м бўлган тўғри бурчаклидир. Балка материалининг эластиклик модули ба бўйлама ўқининг эргиллик радиуси топилсин.

$$\sigma_{\max} = [\sigma] = 10 \cdot 10^3 \frac{\text{kH}}{\text{м}^2}$$

Ечиш. Балканинг нормал кучланиш бўйича мустаҳкамлик шартини ёзамиш:

$$\sigma_{\max} = \frac{M \cdot y_{\max}}{I_x} = [\sigma]$$

Бу ерда: $y_{\max} = \frac{h}{2}$ ва M балканинг хавфли кесимидағи эгувчи момент. M моментли балканинг энг катта салқилигини f билан белгилаймиз:

$$f = \frac{Mc^2}{8EI_x} \text{ ва } M = \frac{fEI_x \cdot 8}{\ell^2}, \text{ у ҳолда мустаҳкамлик шарти}$$

куйидагича ёзилади: $\frac{fEI_x \cdot 8}{I_x \cdot \ell^2} \frac{h}{2} = [\sigma]$

$$By erda: E = \frac{[\sigma] \ell^2}{f \cdot 8 \cdot \frac{h}{2}} = \frac{1 \cdot 10^4}{6,25 \cdot 10^{-3} \cdot 8 \cdot \frac{0,04}{2}} = 1 \cdot 10^7 \frac{\text{kH}}{\text{м}^2}$$

Энди эгрилик радиуси ρ билан M ва балканинг эгилишдаги бикрлиги EI_x орасидаги боғланишни ёзамиш:

$$\frac{1}{\rho} = \frac{M}{EI_x}$$

Бу ерда:

$$\rho = \frac{EI_x}{M} = \frac{EI_x \ell^2}{fEI_x \cdot 8} = \frac{\ell^2}{f \cdot 8} = \frac{l^2}{6,25 \cdot 10^{-3} \cdot 8} = 20 \text{ м}$$

11-масала. Бир томони қистириб маҳкамланган балканинг F куч жойлашган нуқтасини унинг кесими ўлчамлари ва рухсат этилган кучланиши билан ифодаланган салқилигини топинг.

Ечиш. Энг катта эгувчи момент таянч кесимидаги ҳосил бўлади: $M_{max} = -F\ell$. Консол балка эгилган ўқининг тақрибий дифференциал тенгламасини ёзамиш: $EI_x \cdot y'' = -Fx$. Бу тенгламанинг биринчи интеграли $-E \cdot I \cdot y^1 = -F \frac{x^2}{2} + C$ ва иккинчи интеграли $-E \cdot I \cdot y = -F \frac{x^3}{6} + CX + D$. Ҳосил бўлган тенгламалардаги интеграллаш доимийларини балканинг K кесимдаги таяниш шартидан топамиш. B нуқтада ($x = 0$) $y^1 = C$ ва $y = D$. K нуқтада ($x = \ell$) $y^1 = 0$ ва $y = 0$.

Унда биринчи тенгламадан топилган $C = \frac{F\ell^2}{2}$ ифодани иккинчи тенгламага келтириб қўйсак, $D = \frac{2F\ell^3}{6} = \frac{F\ell^3}{3}$ ҳосил бўлади. Унда салқилик тенгламаси қўйидагича ёзилади:

$$y = -F \frac{x^3}{6EI_x} + F \frac{\ell^2}{2EI_x} x + F \frac{\ell^3}{3EI_x}$$

Ташқи F куч кесимини ўлчамлари орқали ифодалаймиз. Бунинг учун балканинг мустаҳкамлик шартини ёзамиш:

$$\sigma_{max} = \frac{M \cdot y_{max}}{I_x} \leq [\sigma] \quad \text{еки} \quad \frac{F\ell \cdot h}{2I_x} = [\sigma] \quad \text{ва} \quad I_x = \frac{F\ell \cdot h}{2[\sigma]}$$

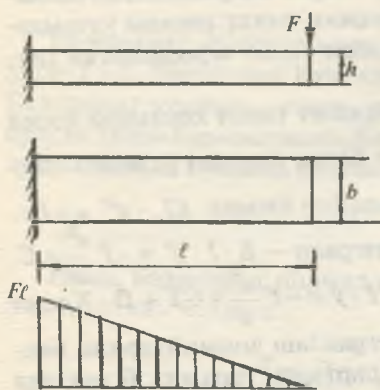
B нүктанинг салқилигини топамиз ($x = 0$):

$$y_B = f_B = F \frac{\ell^3}{3EI_x} = F \frac{\ell^3 \cdot 2[\sigma]}{3E \cdot F\ell h} = \frac{2\ell^2}{3Eh} [\sigma]$$

7.5. ТЕНГ ҚАРШИЛИК КҮРСАТУВЧИ БАЛКАЛАР

Балканинг кесим юзаси эгувчи моменттинг энг катта қийматига эришадиган, яъни хавфли ҳолатдаги кесими бўйича танланади.

Кўпинча балканинг бошқа кесимлари хавфли кесимга тенг қилиб олинади.



Лекин бу кесимларда эгувчи момент кичик бўлганлиги учун нормал кучланиш ҳам хавфли кесимга нисбатан кичик бўлади.

Масалан, $M = 0$ бўлса, $\sigma = 0$.

Балканинг узунлиги бўйлаб кесимларда кучланиш нотекис тарқалади, узунлик бўйлаб материал кучланиш билан тўлиқ юкланмайди. Натижада ортиқча материал сарфланади. Тенг қаршилик кўрсатувчи балкани танлаш учун кесим юзаси тўғри тўртбурчак куринишида ва баландлиги ўзгармас бўлган балканинг хавфли кесими ва эркин учидан X масофада жойлашган кесими учун мустаҳкамлик шартларини ёзамиш:

$$\sigma_{\max} = \frac{M_{\max}}{W} = \frac{F\ell}{bh^2} \leq [\sigma] \quad \text{ва} \quad \sigma_x = \frac{M_x}{W_x} = \frac{Fx}{b_x h^2} \leq [\sigma]$$

$$\text{Бу ерда: } \frac{6F\ell}{bh^2} = \frac{6Fx}{b_x h^2} \quad \text{ёки} \quad b_x = b \cdot \frac{x}{\ell} \quad (6.21)$$

M_{\max} – қистириб маҳкамланган кесимдаги момент;

M_x – балканинг эркин учидан x масофада жойлашган кесимининг моменти;

W – қистириб маҳкамланган кесимнинг қаршилик моменти;

W_x – балканинг X масофадаги кесимининг қаршилик моменти.

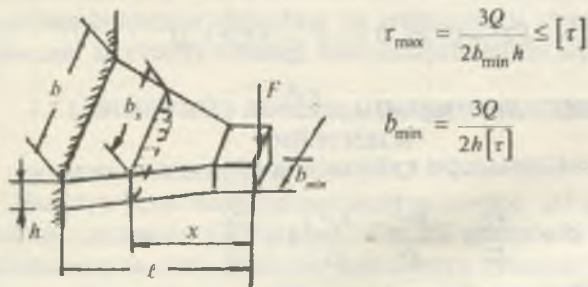
(6.21) формуладаги b_x тенг қаршилик күрсатувчи балканинг узунлиги бўйича кесимнинг эни балканинг узунлиги бўйлаб тўғри чизикли қонуният билан ўзгари; x масофадаги кесимнинг қаршилик моментини топамиз:

$$W_x = \frac{b_x h^2}{6} = \frac{bh^2}{6} \cdot \frac{x}{\ell} = W \frac{x}{\ell}$$

Бу кесимдаги эгувчи момент $M_x = F \cdot x$. Мазкур кесимнинг энг узоқдаги толасида пайдо бўладиган кучланиши текширамиз:

$$\sigma_x = \frac{M_x}{W_x} = \frac{Fx}{W \frac{x}{\ell}} = \frac{F\ell}{W} = \sigma_{\max} = \text{const}$$

Шундай қилиб балканинг барча кесимларида энг катта нормал кучланишлар бир хил. Ташқи юкни кўтарадиган кесимнинг минимал энини уринма кучланиш бўйича мустаҳкамлик шартидан фойдаланиб топамиз.



202-расм.

ЎЗГАРУВЧАН КЕСИМЛИ БАЛКАЛАРДА КҮЧИШЛАРНИ АНИҚЛАШ

Ўзгарувчан кесимли балкаларнинг бикрлиги — X нинг функцияси. Шунинг учун эгилган ўқнинг тақрибий тенгламаси қуидагича ёзилади (202-расм):

$$EI_x \frac{d^2y}{dx^2} = M_x$$

Бу ерда: I_x — ўзгарувчан балка кесимининг инерция моменти, яъни:

$$I_x = \frac{b_x h^3}{12} = \frac{bh^3}{12} \cdot \frac{x}{\ell} = I \frac{x}{\ell}$$

У ҳолда:

$$EI \frac{x}{\ell} \cdot \frac{d^2y}{dx^2} = -Fx \quad \text{ёки} \quad EI \frac{d^2y}{dx^2} = -\frac{Fx\ell}{x} = -F\ell \quad (6.22)$$

(6.22) тенгламани интеграллаймиз:

$$EI \frac{dy}{dx} = -F\ell x + C \quad \text{ва} \quad EIy = -F\ell \frac{x^2}{2} + Cx + D$$

$x = \ell$ бўлса, салқилик $y = 0$ ва айланиш бурчаги:

$$\frac{dy}{dx} = \theta = 0$$

У ҳолда: $0 = -F\ell^2 + C$ ва $0 = -F \frac{\ell^3}{2} + C\ell + D$

Бу ерда: $C = F\ell^2$ ва $D = -\frac{F\ell^2}{2}$

θ ва y тенгламалари қуидагича кўринишга келади:

$$\theta = -\frac{F\ell}{EI} x + \frac{F\ell^2}{EI} = \frac{F\ell^2}{EI} \left(1 - \frac{x}{\ell} \right)$$

$$y = -\frac{F\ell x^2}{2EI} + \frac{F\ell^2 x}{EI} - \frac{F\ell^3}{2EI} = -\frac{F\ell^3}{2EI} \left(1 - 2\frac{x}{\ell} + \frac{x^2}{\ell^2} \right)$$

Энг катта салқилик балканинг эркин учида ҳосил бўлади:

$$X = 0 \text{ бўлса, } y_{\max} = f = -\frac{Ft^3}{2EI}$$

Агар балка узунлиги бўйлаб ўзгармас кесимли бўлса, энг катта салқилик $f = -\frac{Ft^3}{3EI}$ формула билан топилади.

Демак, ўзгарувчан кесимли балкаларнинг эгилувчанилиги катта экан.

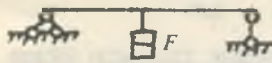
7.6. ЭГИЛИШДА КЎЧИШЛАРНИ ТОПИШНИНГ ЭНЕРГЕТИК УСУЛЛАРИ

Юқорида тўғри стерженнинг кўндаланг эгилишдаги кўчишини аниқлашнинг турли усулларини кўриб ўтдик. Балка эгилган ўқининг тақрибий дифференциал тенгламасини интеграллаш усули бошлангич параметрлар ва ғрофоаналитик усулларни татбиқ этиш усуллари билан балканинг эгилишини оддий кўринишларида аниқлаш ёки ҳисоблаш қуладайди.

Эгилишга учрайдиган конструкция қисмларининг айрим мураккаб шакл ёки кўринишлари мавжудки, бу хилдаги конструкция қисмларининг кўчишларини аниқлаш учун эгилишдаги деформациянинг энергиясига асосланган Мор ёки Верещагин усулларини татбиқ этиш осон. Мор ёки Верещагин усуллари билан тўғри стерженларнинг чўзилиш ёки сиқилиш, буралиш ва эгилишдаги кўчишларини аниқлаш ва статик ноаниқ масалаларни ечиш мумкин.

7.7.1. ЭГИЛИШДА ДЕФОРМАЦИЯНИНГ ПОТЕНЦИАЛ ЭНЕРГИЯСИ

Балкага ўсиб борувчи элементар кичик dF юк билан таъсир қилинсин (203-расм). Юк dF миқдорга ортганда балкага юклangan олдинги юк пастга тушади ва унинг потенциал энергияси (U_p) камаяди, балка деформациясининг энергияси (U_p) эса тегишлича ортади. Балка ҳар бир dF миқдорда юклanganida, заррачаларининг ҳаракат хусусияти ўзгармайди. Шунинг учун ҳар бир юклашда балканинг ҳамма қисмида мувозанат ҳолати содир булади. Де-



203-расм

мак, балканинг деформацияси уни мувозанат ҳолатини бузмасдан ҳосил бўлар экан. Шунинг учун балканинг ҳар бир юкланиш ҳолатида $U_F = U$ тенглик келиб чиқа-

ди, яъни юкнинг потенциал энергияси U_F балка деформациясининг потенциал энергиясига тўлиқ ўтади. Бошқа турга айланган энергиянинг ўлчами сифатида конструкцияга таъсир қилувчи ташқи кучни бажарган иши қабул қилинади. Унда U_F ташқи кучнинг мусбат ишорали иши A_F билан ўлчанади; деформациянинг потенциал энергияси эса ички кучларнинг манфий ишорали иши (A_u) билан ўлчанади. Ички кучлар балка нуқталарининг кучишига тескари томонга йўналганлиги учун (A_u) иш манфийдир. Демак, $A_F = 0$, яъни мувозанат бузилмаган ҳолатдаги кучишида ташқи ва ички кучларнинг бажарган ишларининг йиғиндиси нолга тенг экан. Юқоридаги тенгликка асосан деформациянинг потенциал энергияси U ташқи кучнинг бажарган иши A_u га тенг экан, яъни:

$$U = A_u \quad (7.15)$$

Балканинг соғ эгилишда бўлган қисмидан ажратилган dx узунликдаги бўлагининг деформациясини текширамиз (204-расм).

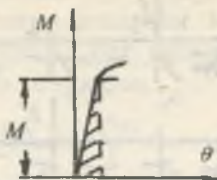
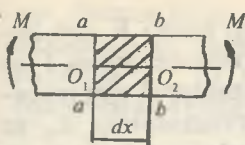
Балка ўқининг эгриланишида унинг кесимлари $d\theta = \frac{dx}{\rho}$ бурчакка айланади. Эгрилик радиуси ρ эгувчи момент билан қыйидагича боғланишда:

$$\frac{1}{\rho} = \frac{M}{EI} \quad . \quad \text{У ҳолда: } d\theta = \frac{Mdx}{EI} \text{ ҳосил бўлади.}$$

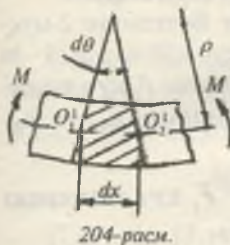
Балка эгилишининг пропорционаллик чегарасида эгувчи моментнинг бажарган иши OBK учбурчакнинг юзаси билан ўлчанади (205-расм), яъни:

$$dA = \frac{Md\theta}{2} = \frac{M^2 dx}{2EI} \quad \text{ёки } dU = dA = \frac{M^2 dx}{2EI}$$

Агар балканинг узунлиги бўйлаб $M = \text{const}$ ва $EI = \text{const}$ бўлса, яъни бир жинсли деб қаралса:



205-расм.



204-расм.

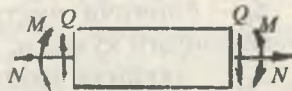
$$U = \int_0^l \frac{M^2 dx}{2EI} = \frac{M^2 l}{2EI} \quad (7.16)$$

хосил бўлади.

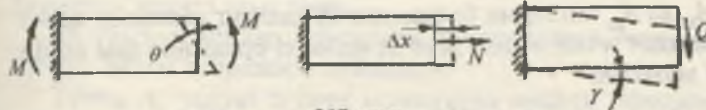
Эгилаётган балканинг кўндаланг кесимида M , Q ва N ички куч омиллари ҳосил бўлади (206-расм).

У пайтда тўлиқ потенциал энергия куйидагича ёзилади:

$$U = \sum \int_0^l \frac{M^2 dx}{2EI} + \sum \int_0^l \frac{N^2 dx}{2EA} + \sum \int_0^l \frac{Q^2 dx}{2GA}$$



206-расм.

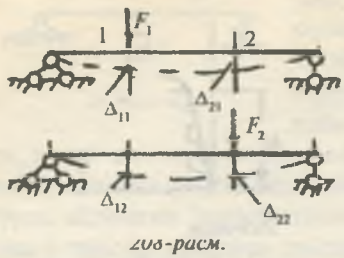


207-расм.

Кўндаланг куч ва бўйлама кучлар таъсиридаги деформациялар эгувчи момент таъсиридаги деформацияга нисбатан кичик миқдор бўлганлиги учун Q ва N таъсиридан ҳосил бўлган ишларни эътиборга олмасак ҳам бўлади.

7.7.2. ИШЛАР ОРАСИДАГИ БОҒЛАНИШЛАР ТЕОРЕМАСИ КЎЧИШЛАР ОРАСИДАГИ БОҒЛАНИШЛАР ТЕОРЕМАСИ

Балканинг ташқи куч билан юкланишида тўрт хил ҳолатни кўриб чиқайлик (208-расм):



I ҳолат. Балка F_1 күч билан 1-нуқтада юкланды. 1- ва 2-нуқталарнинг F_1 күч таъсиридаги күчишларини Δ_{11} ва Δ_{21} билан белгилаймиз.

II ҳолат. Балканинг 2-нуқтасига F_2 күч қўйилади. 1- ва 2-нуқталарнинг F_2 күч таъсиридаги күчишини Δ_{12} ва Δ_{22}

билилаймиз.

Бу ерда: Δ_{11} — биринчи нуқтанинг F_1 күч таъсирида шу күч йўналиши бўйича күчиши.

Δ_{21} — иккинчи нуқтанинг F_1 күч таъсирида F_1 күч йўналишидаги күчиши;

Δ_{12} — биринчи нуқтанинг F_2 күч таъсирида F_2 күч йўналишидаги күчиши;

Δ_{22} — иккинчи нуқтанинг F_2 күч таъсирида шу күч йўналишидаги күчиши.

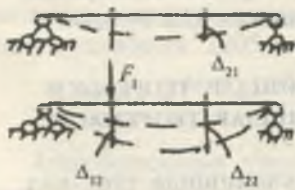
F_1 ва F_2 ташқи күчларнинг бажарган ишларини Клапейрон формуласи билан аниқлаймиз:

$$A_{11} = \frac{F_1 \Delta_{11}}{2} \quad \text{ва} \quad A_{22} = \frac{F_2 \Delta_{22}}{2}$$

A_{11} ва A_{22} ишларни балканинг кўндаланг кесимида ҳосил бўладиган ички омил, эгувчи момент ёрдамида ҳам аниқлаш мумкин:

$$A_{11} = \sum_0' \int \frac{M_1^2 dx}{2EI} \quad \text{ва} \quad A_{22} = \sum_0' \int \frac{M_2^2 dx}{2EI}$$

III ҳолат. Балкани кетма-кетига аввал F_1 күч билан, кейин F_2 күч билан юклаймиз. 208-расмдан 1-нуқтани күчишида F_1 күчнинг бажарган иши A_{11} ни топган эдик.



F_2 күч эгилган балкадаги 2-нуқтага қўйилади. F_2 күч ноль қийматдан энг катта қийматга ўсиши давомида F_1 күч ўзгар-

мас бұлади ва A_{12} миқдорға күчишида $A_{12} = F_1 \Delta_{12}$ ишни бажаради. Бу пайтда F_2 күч A_{22} ишни бажаради. У ҳолда балкани F_1 ва F_2 күч билан кетма-кет юкландында бажарылған тұлиқ иши қуйидагича топилади:

$$A_4 = A_{11} + A_{12} + A_{22} = \frac{F_1 \Delta_{11}}{2} + F_1 \Delta_{12} + \frac{F_2 \Delta_{22}}{2} \quad (7.17)$$

Бошқа томондан тұлиқ ишни F_1 ва F_2 күчларни тегишли күчишларға күпайтмаларини йиғиндисининг ярмуга тенг деб қабул қилиш мүмкін:

$$A_4 = \frac{F_1(\Delta_{11} + \Delta_{12})}{2} + \frac{F_2(\Delta_{21} + \Delta_{22})}{2} \quad (7.18)$$

(7.17) ва (7.18) тенгламаларни үзаро тенглаштирысак, $F_1 \Delta_{12} = F_2 \Delta_{21}$ ҳосил бўлади.

Бу ерда $A_{12} = F_1 \Delta_{12}$ бўлиб, F_2 күч таъсирида 1-нуқтанинг күчишда F_1 күчни ўз йўналишида бажарган ишидир.

У ҳолда, $A_{21} = F_2 \Delta_{21}$ иш F_1 күч таъсирида 2-нуқтанинг күчишида F_2 күчни ўз йўналишида бажарган ишидир (209-расм).

Демак, $A_{12} = A_{21}$ иккинчи күч таъсирида биринчи күч қўйилған нуқтанинг шу күчнинг йўналишидаги күчишида бажарган иши миқдор жиҳатдан биринчи күч таъсиридан иккинчи күч қўйилған нуқта йўналишидаги күчишда бажарган ишига тенг экан.

Бу таъриф ишлар орасидаги боғланишлар теоремаси бўлиб, Бетти теоремаси дейилади.

Тұлиқ A_4 ишни эгувчи моментлар орқали ифодалаймиз:

$$A_4 = \sum_0^l \int \frac{(M_1 + M_2)^2 dx}{2EI} \quad (7.20)$$

Бу ерда: M_1 ва M_2 ички күч омиллари, F_1 ва F_2 таъсирида балканинг кўндаланг кесимида ҳосил бўлган эгувчи моментларидир. Тенгликда A_{12} ишни топамиз:

$$A_{12} = A_4 - A_{11} - A_{22} \text{ ёки}$$

$$A_{12} = \sum_0^l \int \frac{(M_1 + M_2)^2 dx}{2EI} - \sum_0^l \int \frac{M_1^2 dx}{2EI} - \sum_0^l \int \frac{M_2^2 dx}{2EI}$$

$$\text{Бу ерда: } A_{12} = \sum \int_0^L \frac{M_1 M_2 dx}{EI} \quad \text{ва} \quad A_{21} = \sum \int_0^L \frac{M_2 M_1 dx}{EI}$$

IV ҳол. $F_1 = F_2 = 1$ бирлик күч деб қабул қылсак,

$$1 \cdot \Delta_{12} = 1 \cdot \Delta_{21} \quad \text{ёки} \quad \delta_{12} = \delta_{21} \quad (7.21)$$

хосил бұлади, яғни биринчи бирлик күч таъсиридан иккінчи бирлик күч йұналишидаги күчиши δ_{12} миқдор жи-
ҳатдан, иккінчи бирлик күч таъсиридан биринчи бир-
лик күчтің йұналишидаги күчиши δ_{21} га теңгидир. Бу таъриф
Максвелл теоремаси дейилади ва күчишлар орасидаги боғ-
ланишлар теоремаси бұлади.

7.7.3. ЭГИЛИШДА КҮЧИШЛАРНИ АНИҚЛАШНИНГ МОР ИНТЕГРАЛИ

Балка юкланишининг 2 хил ҳолатини кұрамиз:

Биринчи ҳолда балқага F_1 ташқы күч, иккінчи ҳолда
 $F_2 = 1$ бирлик күч қўйилған бўлсин (210-расм).

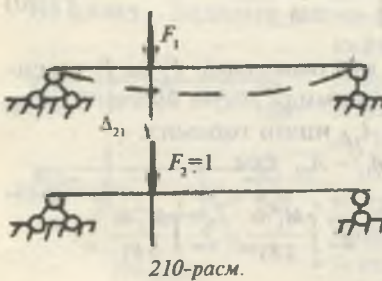
Δ_{21} күчишдә $F_2 = 1$ бирлик күчнинг бажарган иши —
 A_{21} ни аниқлаймиз.

$$A_{21} = F_2 \Delta_{21} = 1 \cdot \Delta_{21} = \Delta_{21}$$

A_{21} иш ички күч омили эгувчи момент билан ифодала-
нади:

$$A_{21} = \Delta_{21} = \int_0^L M_2 \frac{M_1 dx}{EI} \quad (7.22)$$

Бу ерда: M_2 бирлик $F_2 = 1$ күч таъсиридан ҳосил бўлған
момент. (7.22) тенглик Мор интеграли. Демак, Мор ин-
теграли ёрдамида ҳар қандай күчишни ички күч би-
лан ифодалаш мумкин эмас.



Бунинг учун берилған
балқанинг схемаси ёнида
бирлик күч билан юклан-
ган соxта балка схемаси
чизилар экан. Агар чизик-

ли күчиш топилса, сохта балқага $F = 1$ үлчов бирлигисиз тұгланма күч қойылады; агар кесимнинг айланиш бурчаги топилса, сохта балқага $M = 1$ үлчов бирлигисиз момент таъсир қылдырылады. Бирлик күчнинг йұналиши күчишнинг йұналиши билан мос тушиши керак.

7.7.4. ВЕРЕЩАГИН ҚОЙДАСИ

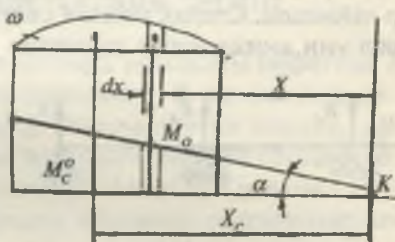
Бирлик күч тұгланма күч ёки момент бўлишидан қатыназар, бу моментнинг эпюраси түғри чизикдир. Ташқи күч моментининг эпюраси түғри чизикли ҳам, эгри чизикли ҳам бўлиши мумкин. Фараз қилайлик, ташқи күч моменти M нинг эпюраси эгри чизикли, бирлик күч моменти

M_0 нинг эпюраси түғри чизикли бўлсин (211-расм). У ҳолда интеграл $\int_0^x MM_0 dx$ — момент M нинг ҳар қандай ҳолатида ωM_0 ифода билан алмаштириш мумкин.

Схемадан: $M = x \cdot \operatorname{tg} \alpha$ бўлса, $\int_0^x MM_0 dx = \int_0^x d\omega \cdot x \cdot \operatorname{tg} \alpha$ келиб чиқади. Бу ерда: $M dx = d\omega$ — эгувчи момент M эпюрасидан ажратилган элементар юза.

$$\int_0^x d\omega \cdot x = \omega \cdot x_c = S_k$$

эгувчи момент эпюрасини K нүктага нисбатан статик моменти. У ҳолда: $\omega \cdot x_c \cdot \operatorname{tg} \alpha = \omega \cdot M_c^0$; бу ерда: $M_c^0 = x_c \cdot \operatorname{tg} \alpha$ бирлик күч моменти M^0 нинг эгувчи момент M эпюрасининг оғирлик марказига түғри келувчи ординатаси.



211-расм.

$$\delta = \frac{\omega \cdot M_c^0}{EI} \quad (7.23)$$

Верещагин усули билан эгилишда күчишларни топиш учун берилған балқа эгувчи моментининг эпюраси остида бирлик күч моменти эпюраси қурилиши керак. Кейин эпюралар үзаро күпайтирилади.

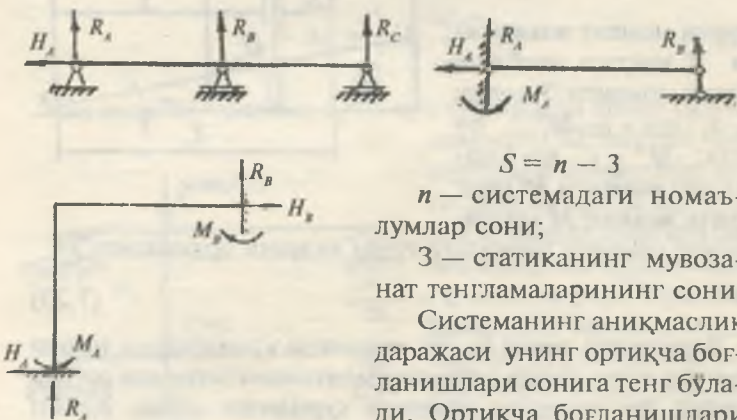
7.8. СТАТИК АНИҚМАС СИСТЕМАЛАР

Айрим конструкцияларнинг иш шароитига кўра, ундаги таянч сонини кўпайтириш керак. Таянч сони айрим конструкция қисмларининг кўчишини чеклаш учун ҳам кўпайтирилади. Бундай ҳолларда системада ортиқча боғланишлар пайдо бўлади (212-расм). Ортиқча боғланишлар системада қўшимча номаълум реакция кучларини келтириб чиқаради ($H_A; R_A; R_B; R_C; H_B; M_A; M_B$). Номаълум реакция кучларини топиш учун статиканинг тенгламаларидан фойдаланамиз:

$$\left. \begin{array}{l} \sum X = 0 \\ \sum Y = 0 \\ \sum M = 0 \end{array} \right\} \quad (7.24)$$

Статиканинг тенгламаларидан ва расмдан кўриниб турибдики, ҳар бир системадаги номаълум реакция кучларининг сони статиканинг тенгламалари сонидан ортиқча экан.

Бундай системалар статик ноаниқ системалар, номаълум реакция кучларини аниқлаш статик ноаниқ системалар дейилади. Статик ноаниқ системаларни ҳисоблаш учун аввал уни аниқмаслик даражаси топилади:



212-расм.

$$S = n - 3$$

n — системадаги номаълумлар сони;

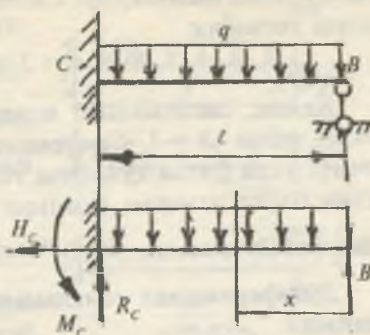
3 — статиканинг мувознат тенгламаларининг сони;

Системанинг аниқмаслик даражаси унинг ортиқча боғланишлари сонига тенг бўлади. Ортиқча боғланишлари йўқотилган ёки статик аниқ-

маслик даражаси очилган ҳар қандай статик ноаниқ система — статик аниқ система дадир. Системанинг аниқ маслик даражаси күшимчалар тенгламалар — системанинг деформация тенгламаси тузилиши билан очилади.

Системанинг деформация тенгламаси қўйидаги усуллардан биттасини татбиқ этиш билан тузилади:

- 1) балка эгилган ўқининг дифференциал тенгламаси;
- 2) кўчишларни таққослаш;
- 3) Мор интеграли ёки Верешагин формуласини татбиқ этиш;
- 4) уч момент теоремасини татбиқ этиш;
- 5) куч усули. Каноник тенглама тузиш.



213-расм.

БАЛКА ЭГИЛГАН ЎҚИНИНГ ДИФФЕРЕНЦИАЛ ТЕНГЛАМАСИНИ ТАТБИҚ ЭТИШ

Ортиқча боғланиш ёки ортиқча номаълум сифатида B таянчдаги реакция кучини танлаймиз. В номаълум реакция кучи ва q билан юкланган система статик ноаниқ система булиб, асосий система дейилади. Асосий система берилган системага эквивалентдир. Номаълум реакция кучларини топиш учун статиканинг мувозанат тенгламаларини тузамиз:

$$\sum X = -H_C = 0 \quad (a)$$

$$\sum Y = -R_v - q\ell + B = 0 \quad (b)$$

$$\sum M_C = -M_C + q \frac{\ell^2}{2} - B\ell = 0 \quad (v)$$

(а), (б) ва (в) тенгламалардан кўриниб турибдики, номаълум реакция кучларининг сони статиканинг мувозанат тенгламаларидан ортиқча экан. Шунинг учун бу ма-

сала статик ноаниқдир. Системанинг аниқмаслик даражасини топамиз:

$$S = n - 3 = 4 - 3 = 1$$

Демак, системанинг аниқмаслик даражаси бирга тенг экан, яъни $S = 1$. Системанинг аниқмаслик даражасини очиш учун битта қўшимча тенглама тузиш керак. Бунинг учун балка эгилган ўқининг дифференциал тенгламасидан фойдаланамиз. $EI \cdot y^{11} = Bx - q \frac{x^2}{2}$

Дифференциал тенгламани икки маротаба интеграллаймиз:

$$EI \cdot y^1 = B \frac{x^2}{2} - q \frac{x^3}{6} + C \quad (\text{г})$$

$$EI \cdot y = B \frac{x^3}{6} - q \frac{x^4}{24} + CX + D \quad (\text{д})$$

Интеграллаш доимийликлари C ва D ҳисобига номаълумлар сони иккитага ортди. Лекин, балка учларининг таянчларга таяниш шартларига кўра: $X = 0$ да $Y = 0$ ва

$$\begin{aligned} X &= \ell \quad \text{да} & y &= 0 \\ y^1 &= 0 \quad \text{ва} & D &= 0 \end{aligned}$$

$$\left. \begin{aligned} B \frac{\ell^2}{2} - q \frac{\ell^3}{6} + C &= 0 \\ B \frac{\ell^3}{6} - q \frac{\ell^4}{24} + C\ell &= 0 \end{aligned} \right\} \quad (\text{е})$$

У ҳолда

(е) тенгламалар системасидан $B = \frac{3}{8}q\ell$ келиб чиқади. B реакциянинг қиймати топилса, статик аниқмас масалани мувозанат шартлари ёрдамида R_c ва M_c номаълум реакция кучларини аниқлаш мумкин.

Кўчишларни таққослаш усули. Асосий системадаги B нуқтанинг салқилиги q ва B кучлари таъсиридаги салқиликларнинг йиғиндисига тенг бўлади, яъни $f_B = f_{Bq} + f_{BB} = 0$

Бу ерда: $f_{Bq} = -\frac{q\ell^4}{8EI}$ В нүктанинг q кучи таъсиридан салқилиги. $f_{BB} = \frac{B\ell^3}{3EI}$ В нүктанинг В реакция кучи таъсиридан күчиши.

У ҳолда: $-\frac{q\ell^4}{8EI} + \frac{B\ell^3}{3EI} = 0$ ёки $B = \frac{3q\ell}{8}$ В реакция кучининг қийматини шундай ҳисоблаб топдикки, бу ҳолатда q ва B кучлар таъсиридаги күчишлар ўзаро тенг бўлди.

Мор интегралини татбиқ этиш. Бу усулда берилган балканинг остида асосий ва бирлик куч билан юкланган соҳта балкалар чизилади. Асосий ва соҳта балкаларнинг X оралиқ масофаси учун момент тенгламалари ёзилади (215-расм).

$M_x = Bx - q \frac{x^2}{2}$ ташқи куч ва но-
маълум реакция кучи B таъсиридаги эгувчи момент тенгламаси:
 $M_o = Fx = 1 \cdot x = x$

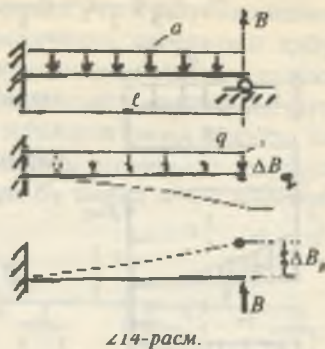
В нүктанинг салқилиги нолга тенг,
яъни: $f_B = 0$ ёки

$$f_R = \int_0^l \frac{M_x M_o dx}{EI} = \int_0^l \frac{\left(Bx - q \frac{x^2}{2}\right) \cdot dx}{EI} = 0$$

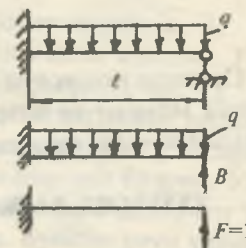
Бу ерда $\frac{1}{EI} \neq 0$, шунинг учун $\int_0^l \left(Bx - q \frac{x^2}{2}\right) \cdot dx = 0$ ёки интеграллашдан кейин: $B = -\frac{q\ell}{8}$

Верешагин формуласини татбиқ этиш. Берилган куч $-q$, номаълум реакция кучи $-B$ ва $F=1$ бирлик кучи таъсиридан ҳосил бўлган эгувчи моменти эпюраларини кўрамиз.

Ҳар қайси эгувчи момент эпюраси юзаларини топамиз:

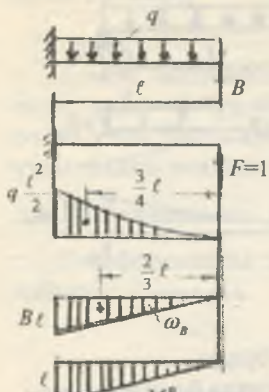


214-расм.



215-расм.

$$\omega_q = \frac{1}{3} q \frac{\ell^2}{2} \ell = q \frac{\ell^3}{6}, \quad \omega_B = \frac{1}{2} B \ell \cdot \ell = \frac{B \ell^2}{2}$$



216-расм.

ω_q ва ω_B юзаларининг оғирлик марказларига тұғри келувчи бирлик кучи моменти эпюрасининг ординатасини топамиз:

$$M_q^o = \frac{3}{4} \ell \quad \text{ва} \quad M_B^o = \frac{2}{3} \ell$$

B нүктаның күчишини ёзамиз:

$$f_B = \frac{\omega_q \cdot M_q^o + \omega_B \cdot M_B^o}{EI} = \\ = \frac{1}{EI} \left(-q \frac{\ell^3}{6} \cdot \frac{3}{4} \ell + \frac{B \ell^2}{2} \cdot \frac{2}{3} \ell \right) = 0$$

$$\text{Бу ерда: } B = \frac{3}{8} q \ell$$

Ортиқча номаълум реакция кучи B топилған балканинг әгувчи момент ва күндаланғ күч эпюралари статик аниқ балқадаги каби қурилади.

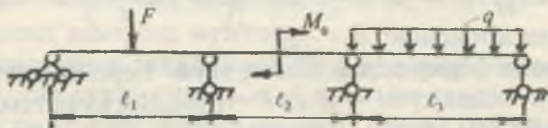
УЗЛУКСИЗ БАЛКАЛАР. ҮЧ МОМЕНТ ТЕОРЕМАСИ

Статик аниқмас конструкцияларнинг асосий күришилділіктеріндең бири узлуксиз балкалардир.

Узлуксиз деб, камидә иккита таянчга таянувчи ва оралиқ шарнирлари бүлмаган балқага айтилади.

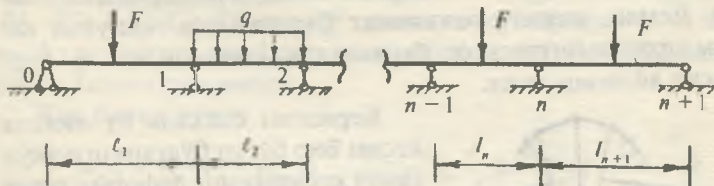
Узлуксиз балканинг чекқа кесимлари шарнирли ёки қистириб маҳкамланған таянчларға таянади.

Бүйлама кучни қабул қилиш учун узлуксиз балканинг биттә таянчи күзгалмас шарнирли бўлиши керак. Ҳарорат



217-расм.

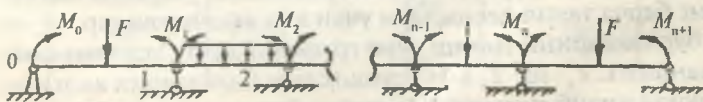
таъсирида узунлигини ўзгартириши учун узлуксиз балканинг қолган таянчларини кўзгалувчан шарнирли қабул қилинади. Агар балка $n + 1$ та шарнирли таянчга таянса, унда горизонтал реакция кучини ҳисобга олмагандан шунча вертикаль йўналган реакция кучлари ҳосил бўлади. Берилган узлуксиз балка учун иккита мувозанат шартини тузиш мумкин бўлганлиги учун бу балка $n - 1$ маротаба ноаниқдир (218-расм).



218-расм.

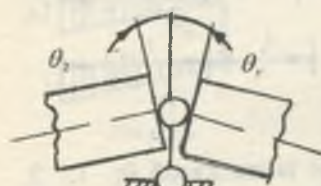
Балканинг таянчлари чапдан ўнгга қараб $0; 1; 2; 3\dots n-1$ ва $n+1$ сонлари билан белгиланиши мумкин. Таянчлар орасидаги масофалар $\ell_1; \ell_2; \ell_3; \dots \ell_n$ ва ℓ_{n+1} билан белгиланади. Ҳар бир оралиқ узунлигининг индекси ўнг таянч номерига тўғри келади. Балканинг узунлиги бўйлаб кесимнинг инерция моменти бир хил бўлсин. Узлуксиз балканинг аниқмаслик даражасини очиш учун уч момент теоремасидан фойдаланамиз. Бунинг учун узлуксиз балканинг асосий системасини танлаймиз. Асосий система оралиқ шарнирли таянчлар устига шарнирлар, номаълум реакция кучлари ўрнига эса номаълум таянч моментлари қабул қилинган.

Бундай асосий системада ҳар бир ташқи куч ўзи қўйилган оралиқта таъсир қиласди, яъни ташқи куч балканинг бошқа оралиқларига таъсири номаълум таянч моментида ифодаланади.



219-расм.

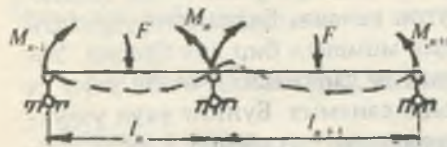
Демак, асосий система — шарнирларга таянган, ташқи күч ва номаълум моментлар билан юкланган оддий балкалар экан. Оддий икки таянчли балкалардаги ҳар бир таянч кесимининг күчиши (айланиш бурчаги) шу оралиқдаги ташқи күчга ва номаълум таянч моментига боғлиқ. Асосий системада ҳар бир оддий икки таянчли балка бошқа балкалардаги күчларга боғлиқ бўлмасдан, ўзига қўйилган ташқи күч таъсирида алоҳида деформацияланади. Демак, иккита балканинг бир таянчга таянувчи кесимларидан биттаси θ_n бурчакка, иккинчиси эса θ_y , бурчакка айланар экан.



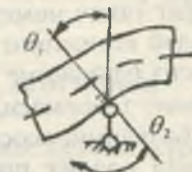
220-расм.

Берилган балкада бу иккита кесим бир бутун бўлганлиги учун таянч кесимининг деформацияси (айланиш бурчаги) қўйидагича бўлади (221-расм):

Бу ерда: θ_n — узунлиги ℓ_n бўлган чап балкани a таянчга таянувчи кесимининг айланиш бурчаги:



221-расм.



θ_n — узунлиги $\ell_n + 1$ бўлган ўнг балканинг n таянчга таянган кесимининг айланиш бурчаги. Бу иккита кесим бир бутун бўлганлиги учун: $\theta_n = \theta_y$, яъни ўзаро қарама-қарши бурчаклар tengdir. n — таянчга таянувчи чап ва ўнг балкалардаги M_{n+1} ; M_n ва M_{n+1} номаълум моментлари фақат (9.2) шарт учун тегишли бўлмасдан, узлуксиз балканинг барча таянч кесимлари учун ҳам аҳамиятлидир. θ_n ва θ_y бурчакларини топиш учун графоаналитик усулдан фойдаланамиз. ℓ_n ва $\ell_n + 1$ узунликдаги балкаларни алоҳида алоҳида чизиб оламиз. Ҳар қайси балкалар учун берилган ташқи күч ва номаълум моментлар таъсиридаги эгувчи моментлар эпюраларини қурамиз.

Учта сохта балкани бир бутун — битта сохта балка деб қараш керак, чунки биз үқувчига F кучи; M_{n-1} ; M_n ва M_{n+1} номаълум моментларининг эгувчи моменти тушунарли бўлсин деб, ҳар бир асосий балка учун уттадан эгувчи момент эпюрасини қурдик.

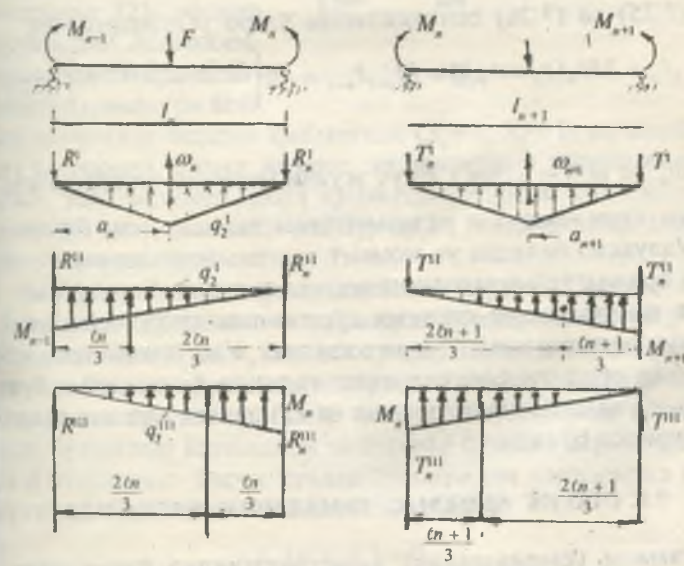
У ҳолда: $R_n = R_n^I + R_n^{II} + R_n^{III}$ ва $T_n = T_n^I + T_n^{II} + T_n^{III}$

R_n ва T_n реакция кучларини топиш учун сохта балкадаги тақсимланган куч интенсивлиги — q_c лардан ҳамда R_n^I ; R_n^{II} ; R_n^{III} ; T_n^I ; T_n^{II} ва T_n^{III} реакция кучларидан $n-1$ ва $n+1$ таянчларга нисбатан моментларининг йигиндисини нолга тенглаштирамиз.

Чап балка учун:

$$\sum M_{n-1} = R_n \cdot \ell_n - \omega_n \cdot a_n - \frac{M_{n-1} \cdot \ell_n}{2} \cdot \frac{\ell_n}{3} - \frac{M_n \cdot \ell_n}{2} \cdot \frac{2\ell_n}{3} = 0$$

$$\text{Бу ерда: } R_n = \frac{M_{n-1} \cdot \ell_n}{6} + \frac{M_n \cdot \ell_n}{3} + \omega_n \frac{a_n}{\ell_n}$$



222-расм.

Ү пайтда чап балка n таянч кесимининг айланиш бурчаги қуидагида топилади:

$$\theta_n = \frac{Q_c''}{EI} = \frac{R_n}{EI} = \frac{1}{EI} \left(\frac{M_{n-1}\ell_n}{6} + \frac{M_n\ell_n}{3} + \frac{\omega_n a_n}{\ell_n} \right) \quad (7.25)$$

Үнг балка учун:

$$\sum M_{n+1} = -T_n \cdot \ell_{n+1} + \omega_{n+1} \cdot a_{n+1} + \frac{M_{n+1} \cdot \ell_{n+1}}{2} \cdot \frac{\ell_{n+1}}{3} + \\ + \frac{M_n \cdot \ell_{n+1}}{2} \cdot \frac{2\ell_{n+1}}{3} = 0$$

Бу ерда: $T_n = \frac{M_{n-1} \cdot \ell_{n+1}}{6} + \frac{M_n \cdot \ell_{n+1}}{3} + \omega_{n+1} \frac{a_{n+1}}{\ell_{n+1}}$ ва

$$\theta_n = \frac{Q_c''}{Ey} = \frac{T_n}{EI} = \frac{1}{EI} \left[\frac{M_{n+1}\ell_{n+1}}{6} + \frac{M_n\ell_{n+1}}{3} + \frac{\omega_{n+1}a_{n+1}}{\ell_{n+1}} \right] \quad (7.26)$$

(7.25) һа (7.26) тенгликларни ўзаро тенглаштирасак:

$$M_{n-1}\ell_n + 2M_n(\ell_n + \ell_{n+1}) + M_{n+1}\ell_{n+1} = -6 \left(\frac{\omega_n a_n}{\ell_n} + \frac{\omega_{n+1} a_{n+1}}{\ell_{n+1}} \right) \quad (7.27)$$

ω_n ва ω_{n+1} — ташқи F күч әгуви моменти эпюрасининг юзаси (күч юзаси) — уч момент тенгламаси ҳосил бўлади.

Узлуксиз балкада уч момент тенгламасининг сони ундаги оралиқ таянчларининг сонига тенгdir. Барча уч момент тенгламалари система кўринишда ҳисобланса, но маълум реакция моментлари топилади. Узлуксиз балканинг ҳар бир оралиғи алоҳида икки таянчли балка деб қабул қилинса ҳамда әгуви момент ва кўндаланг күч эпюралари курилса бўлади.

7.9. СТАТИК АНИҚМАС РАМАЛАРНИ ҲИСОБЛАШ

Рамали (бирикмалар) конструкциялар ўзаро бикр қилиб бириктирилган стерженлардан ташкил топган. Улардан биттасининг деформацияси унга ёндашган бошқала-

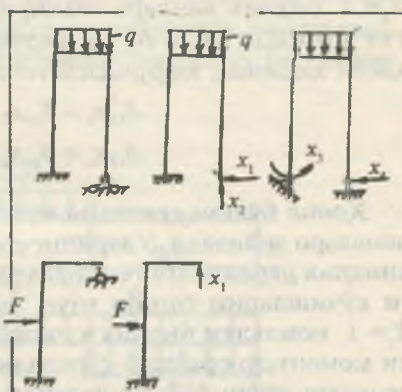
рининг деформациясига сабаб бўлади. Бундай статик ноанқ системаларни куч усули билан ҳисоблашда ҳам асосий система танлаб олиниши керак.

Асосий система бир неча вариантда танлаб олинади. Асосий системани танлашда ортиқча боғланишлар ортиқча номаълумлар — X билан алмаштирилади. Асосий системада статик ноанқ система содда ва статик аниқ кўринишга эга бўлиши, геометрик ўзгартмас бўлиши керак. Икки марта статик ноанқ рама учун асосий системанинг кўрекни таъсирида эгувчи момент эпюраларини қуриш осон бўлса, ўша вариант қабул қилинади. Асосий системани танлашда ҳам чизикли, ҳам бурчакли боғланишлар ташлаб юборилар экан.

Асосий система вариантларидан бири (223-расм) га кўра B таянч қўзғалмас — шарнирли бўлиб, номаълум реакция кучлари X_1 ва X_2 бирлик кучлар билан алмаштирилган. Кучлар таъсирининг мустақиллик аломати асосида ҳар бир куч таъсиридан кўчишлар топилади, сўнгра улар қўшилади, буларнинг йигиндиси нолга teng булиши керак, чунки B нуқтанинг барча кучлар таъсиридан горизонтал ва вертикаль кўчишлари чеклангандир, яъни:

$$\Delta_p(q; x_1, x_2) = 0$$

Деформация тенгламалари бу ҳолда қуйидагича ёзилади:



223-расм.

$$\Delta_{\beta} = \Delta_{\beta x_1} + \Delta_{\beta x_2} + \Delta_{\beta q} = 0 \text{ (горизонтал күчиш)}$$

$$\Delta_{\beta} = \Delta_{\beta x_1} + \Delta_{\beta x_2} + \Delta_{\beta q} = 0 \text{ (вертикаль күчиш)}$$

X_1 ва X_2 номаълумлардан ҳосил бўладиган кўчишларни қўйидагида ёзиш мумкин: $\Delta_{\beta x_1} = \delta_{\beta 1} x_1$ ва $\Delta_{\beta x_2} = \delta_{\beta 2} x_2$

Бу ерда: $\delta_{\beta 1}$ ва $\delta_{\beta 2}$ — асосий система B таянчани $X_1 = 1$, $X_2 = 1$ бирлик кучлари таъсиридан кўчишидир. Горизонтал кўчишда $\Delta_{\beta} = \Delta_1$ ва вертикаль кўчишда $\Delta_{\beta} = \Delta_2$ деб қабул қилинса, юқоридаги тенглама қўйидаги ёзилади:

$$\left. \begin{array}{l} \delta_{11} x_1 + \delta_{12} x_2 + \Delta_{1q} = 0 \\ \delta_{21} x_1 + \delta_{22} x_2 + \Delta_{2q} = 0 \end{array} \right\} \quad (7.28)$$

Ҳосил бўлган тенглама куч усулиниң каноник тенгламалари дейилади. Уларниң сони системанинг статик ноаниқлик даражасига тенг бўлади. Каноник тенгламалардаги кўчишларни топиш учун асосий системада $X_1 = 1$, $X_2 = 1$ номаълум бирлик кучлардан ва ташқи кучдан эгувчи момент эпюралари қурилади. Мор формуласи ёки Ве-решагин усули бўйича керакли эпюралар ўзаро кўпайтирилиб, каноник тенгламанинг бирлик куч ва берилган ташқи куч таъсиридан бўладиган кўчишлари топилади. Каноник тенгламаларни ҳисоблаб X_1 ва X_2 номаълумлар аниқланади. Номаълумлар топилга, балка статик аниқ кўринишга келади.

Савол ва топширикчлар

1. Балка эгилишининг потенциал энергияси нимага тенг?
2. Ишлар орасидаги боғланишлар теоремасини айтинг.
3. Кўчишлар орасидаги боғланишлар теоремасини айтинг.
4. Мор интегралини ёзинг.
5. Верешагин формуласини ёзинг.
6. Статик ноаниқ система деб нимага айтилади?
7. Статик ноаниқ системалар қандай усуллар билан ечилади?
8. Уч момент тенгламасини ёзинг.
9. Каноник тенгламани ёзинг.

1-масала.

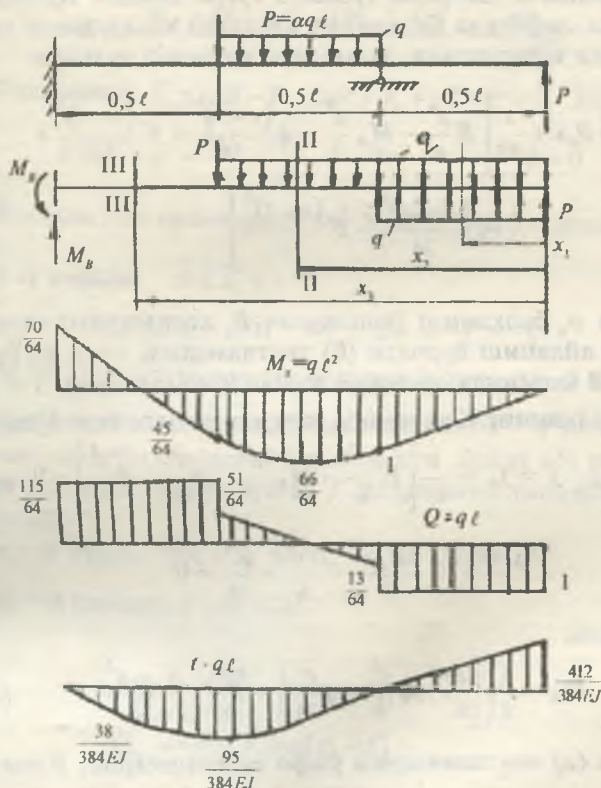
1. Берилган статик аниқмас балканинг B таянчдаги реактив момент M_B топилсан.

2. M_x ва Q_x эпюралари қурилсун.

3. Балканинг узунлиги бўйлаб салқилик эпюраси қурилсун.

$$\alpha = 1,0$$

Ечиш. Берилган системанинг эквивалент схемасини танлаймиз. (224-расм). Агар балканинг Ктаянчдан кейинги оралиғида тақсимланган куч интенсивлиги таъсир қиласа, асосий (эквивалент) схемани танлашда балканинг



224-расм.

шу қисми бир-бирига тенг ва қарама-қарши йўналган — q кучлар билан тўлдирилади. Биринчи саволга жавоб топиш учун барча кучлардан K таянч нуқтага нисбатан олинган моментлар йифиндисини нолга тенглаштирамиз:

$$\sum M_K = -M_B + B \cdot 2\ell - P\ell - P\ell - q\ell^2 + q \frac{\ell^2}{2} = 0 \quad \text{ёки}$$

$$M_B = 2B\ell - 2P\ell - q \frac{\ell^2}{2} \quad (a)$$

(а) тенгламада иккита номаълум бўлиб, B ни топиш учун қўшимча тенглама тузишга тұғри келади. Қўшимча тенглама сифатида балканинг исталган кесимининг салқилигини ифодаловчи универсал формула тузамиз:

$$f = y_0 + \theta_0 x + \frac{1}{EI} \left[B \frac{x^3}{6} - M_B \frac{x^2}{2} - q \frac{(x-\ell)^4}{24} + K \frac{(x-\ell)^3}{6} + q \frac{(x-2\ell)^4}{24} - P \frac{(x-\ell)^3}{6} \right] \quad (b)$$

y_0 ва θ_0 балканинг бошлангич B кесимининг салқилиги ва айланиш бурчаги (б) тенгламадаги $x=0$ ва балканинг B кесимида таянишга асосан нолга тенгдир, $x=2\ell$ бўлса, балканинг K таянчидаги салқилик нолга тенг бўлади:

$$\text{Демак, } f = f_K = \frac{1}{EI} \left[B \frac{8\ell^3}{6} - M_B \frac{4\ell^2}{2} - q \frac{\ell^4}{24} - P \frac{\ell^3}{6} \right] = 0 \quad \text{ёки}$$

$$\frac{8B\ell^3}{6} - \frac{4M_B\ell^2}{2} - \frac{P\ell^3}{6} - \frac{q\ell^4}{24} = 0$$

Бу ерда:

$$M_B = \frac{1}{2} \left(\frac{8B\ell}{6} - q \frac{\ell^2}{6} - q \frac{\ell^2}{24} \right) = \frac{4B\ell}{6} - \frac{5 \cdot q \cdot \ell^2}{48} \quad (b)$$

(а) ва (в) тенгламаларни ўзаро тенглаштириб, B реакция кучини топамиз: $2B\ell - 2P\ell - q \frac{\ell^2}{2} = 4B\ell - \frac{5q\ell^2}{48}$

Бу ерда: $B \frac{115 \cdot 6}{48 \cdot 8} q\ell = \frac{115}{64} q\ell$ ифодани (а) тенгламага күйсак, M_x моментни топамиз:

$$M_B = 2 \cdot \frac{115}{64} q\ell^2 - 2q\ell^2 - q \frac{\ell^2}{2} = \frac{70}{64} q\ell^2$$

Энди барча құчлардан B нүктега нисбатан момент тенгламасини тузамиз ва K таянч кучини топамиз:

$$\Sigma M_B = -M_B + P\ell + q2\ell\left(\frac{2\ell}{2} + \ell\right) - K \cdot 2\ell - P \cdot 3\ell - q\ell\left(\frac{\ell}{2} + 2\ell\right) = 0$$

$$K = \frac{-M_B + P\ell + 4q\ell^2 - 3P\ell - 2,5q\ell^2}{2\ell} = -\frac{102}{128}q\ell$$

Текшириш: $\Sigma y = B - P - 2q\ell + K + q\ell + P = 0$ ёки

$$B + K - q\ell = \frac{115}{64} - \frac{102}{128} - 1 = 0; \quad 0 = 0$$

Балқаны учта оралиққа булиб M_x ва Q_x әпюораларни қурамиз:

I—I қирқим. $0 \leq x_1 \leq \ell$

$$M_{x_1} = Px_1 = q\ell x_1 \quad \text{ва} \quad Q_{x_1} = -P = -q\ell$$

M_x ва Q_x тенгламаларини тузишда балканинг $0 \leq x_1 \leq \ell$ оралиқдаги тақсимланған күч интенсивлигі — q нинг таъсирини мисобта олмадик. Чунки q күч фақат (δ) тенгламани келтириб чиқаришда ва f салқиликни топишда ишлатылади.

$x_1 = 0$ бўлса, $M_{x_1} = 0$ ва $x_1 = \ell$ да $M_{x_1} = q\ell^2$

II-II қирқим. $\ell \leq x_2 \leq 2\ell$

$$M_{x_2} = P \cdot x_2 + K(x_2 - \ell) - q \frac{(x_2 - \ell)^2}{2}$$

$$Q_{x_2} = -P - K + q(x_2 - \ell)$$

$$x_2 = \ell \text{ да } M_{x_2} = q\ell^2 \text{ ва } Q_{x_2} = -P - K = -q\ell + \frac{51}{64}q\ell = -\frac{13}{64}q\ell$$

$$x_2 = 1,5\ell \quad M_{x_2} = q\ell \cdot 1,5\ell - \frac{51}{64}q\ell \cdot 0,5\ell - q \frac{0,2\ell^2}{2} = \frac{133}{128}q\ell^2$$

$$Q_{x_2} = -q\ell + \frac{51}{64}q\ell + 0,5q\ell = \frac{19}{64}q\ell$$

$x_2 = 2\ell$ бўлса:

$$M_{x_2} = q\ell \cdot 2\ell - \frac{51}{64}q\ell \cdot \ell - q \frac{\ell^2}{\ell} = \frac{45}{64}q\ell^2$$

$$Q_{x_2} = -q\ell + \frac{51}{64}q\ell + q\ell = \frac{51}{64}q\ell$$

III—III қирқим. $2\ell \leq x_3 \leq 3\ell$

$$M_{x_3} = P_{x_3} + K(x_3 - \ell) - q\ell \left[x_3 - \left(\ell + \frac{\ell}{2} \right) \right] - P(x_3 - 2\ell)$$

$$Q_{x_3} = -P - K + q\ell + P = \frac{51}{64}q\ell + q\ell = \frac{115}{64}q\ell$$

III—III қирқимда кўндаланг куч ўзгармас қийматга эга:

$$x_3 = 2\ell \text{ бўлса, } M_{x_3} = \frac{45}{64}q\ell^2; \quad x_3 = 3\ell \text{ бўлса, } M_{x_3} = \frac{70}{64}q\ell^2$$

M_{\max} ни II—II қирқимдаги $Q_{x_2} = 0$ кесимдан аниқлаймиз:

$$O = -P - K + q(x_2 - 2) \text{ ёки } O = -q\ell + \frac{51}{64}q\ell + qx_2 - q\ell$$

$$\text{тenglamadan } x_2 = \frac{2q\ell - \frac{51}{64}q\ell}{q} = \frac{77}{64}q \approx 1,2\ell \text{ ҳосил бўлади.}$$

$$M_{x_2} = M_{\max} = q\ell \cdot 1,2\ell - \frac{51}{64}q \cdot 0,2\ell^2 - q \frac{0,04\ell^2}{2} = \frac{65,5}{64}q\ell^2$$

Учинчи саволга жавоб бериш учун (δ) тенгламадан фойдаланамиз:

$$f = \frac{1}{EI} \left[B \frac{x^3}{6} - P \frac{(x-t)^3}{6} - M_B \frac{x^2}{2} - q \frac{(x-t)^4}{24} + K \frac{(x-2t)^3}{6} + q \frac{(x-t)^4}{24} \right]$$

$$x = 0,5t, \quad f = -\frac{38,1q\ell^4}{384EI}; \quad x = \ell; \quad f = -\frac{95q\ell^4}{384EI}$$

$$x = 1,5\ell; \quad f = -\frac{93,37q\ell^4}{384EI}; \quad x = 2\ell; \quad f = 0;$$

$$x = 3\ell; \quad f = \frac{412}{384}q\ell^4$$

2-масала. Икки оралиқли балка схемада күрсатылғанидек юкландырылған. Балканинг статик ноаниқлик даражаси тоғылсын ва реакция күчлари аниқланын: M ва Q эпюралары қурилсын ва $h:b=2$ нисбатдан фойдаланыб балка кесимининг үлчамлари топылсын. Балканинг материали — пұлат $[\sigma] = 160 \text{ МПа}$ (225-расм).

Ечиш. Берилған узлуксиз балка бүлгелігі учун статиканың тенгламаларыдан қуидегиларни ҳосил қиласыз (225-расм).

$$\sum x = -x_0 = 0 \quad (1)$$

$$\sum y = R_0 - F + R_B + R_c - F = 0 \quad (2)$$

$$\sum M_0 = -F \cdot 2 - R_B \cdot 4 + F \cdot 6 - R_c \cdot 8 = 0 \quad (3)$$

Үчта тенгламада түрттә номағым. Демек, узлуксиз балка бир маротаба статик ноаниқ. Узлуксиз балканинг статик ноаниқлик даражасини очиш учун уч момент тенгламасынан фойдаланыз. Узлуксиз балкадаги номағым реакция күчларини номағым таянч моментлари билан алмаштириб, асосий системани ҳосил қиласыз. Асосий системада үрга (1) таянчны ортиқча боғланиш деб шарнир билан алмаштирамыз. Узлуксиз балкани 2 та оддий балкаларга ажратади. Оддий балкалар учун әгувчи момент эпюраларыни қурамыз ва уларни күч юзалари деб қабул қиласыз:

$$\omega_1 = \omega_2 = \frac{1}{2} \cdot 10 \cdot 4 = 20 \text{ кНм}^2$$

ω_1 ва ω_2 дан балкаларнинг четки таянчларигача бўлган масофаларни a , b деб қабул қиласиз.

Уч момент тенгламасини тузамиш (225-расм):

$$M_0 \cdot \ell_1 + 2M_1(\ell_1 + \ell_2) + M_2 \cdot \ell_2 = -6 \left(\omega_1 \frac{a}{\ell_1} + \omega_2 \frac{b}{\ell_2} \right)$$

Уч момент тенгламасида:

$$M_0 = 0; \quad M_2 = 0; \quad \ell_1 = 4 \text{ м}; \quad \ell_2 = 4 \text{ м}$$

$$a = 2 \text{ м}; \quad b = 2 \text{ м}$$

У ҳолда: $M_1 = -7,5 \text{ кНм}$

Оддий балкаларни M_1 моменти билан юклаймиз (225-расм). Ҳар бир оддий балканинг F ташқи кучи ва M_1 моменти таъсиридан реакция кучларини топамиш.

Чап балка (225-расм):

$$\sum M_0 = F \cdot 2 - R_B^y \cdot 4 + M_1 = 0; \quad R_B^y = \frac{27,5}{4} \text{ кН}$$

$$\sum M_B = R_0 \cdot 4 - F \cdot 2 + M_1 = 0; \quad R_0 = \frac{12,5}{4} \text{ кН}$$

Ўнг балка (225-расм):

$$\sum M_B = -M_1 + F \cdot 2 - R_c \cdot 4 = 0; \quad R_c = \frac{12,5}{4} \text{ кН}$$

$$\sum M_c = -M_1 + R_B^y \cdot 4 - F \cdot 2 = 0; \quad R_B^y = \frac{27,5}{4} \text{ кН}$$

Узлуксиз балканинг реакция кучларини ёзамиш:

$$R_0 = \frac{12,5}{4} = 3,125 \text{ кН}; \quad R_c = \frac{12,5}{4} = 3,125 \text{ кН}$$

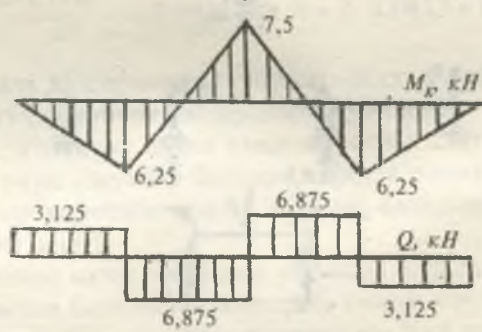
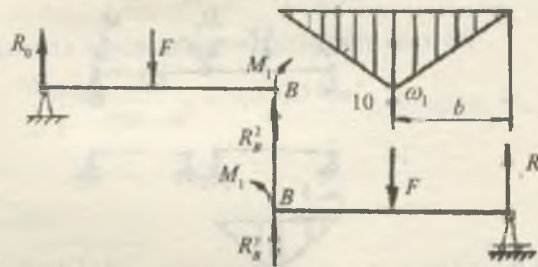
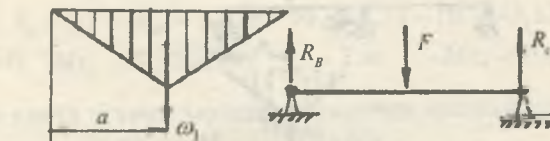
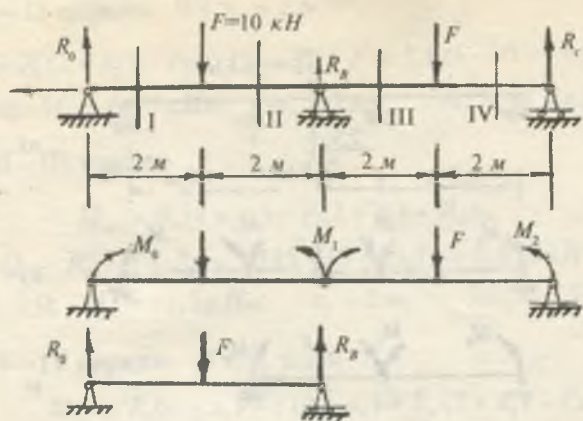
$$R_B = R_B^y + R_B^x = \frac{27,5}{4} + \frac{27,5}{4} = 13,75 \text{ кН}$$

Узлуксиз балкани оралиқларга бўлиб, M ва Q тенгламаларини тузамиш:

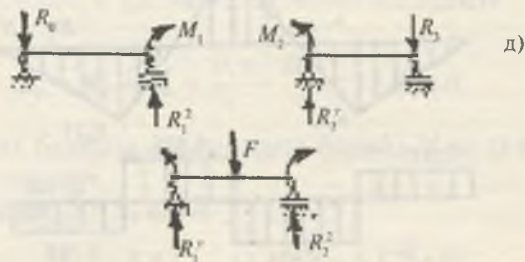
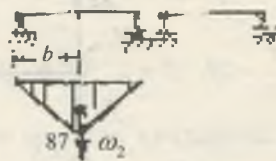
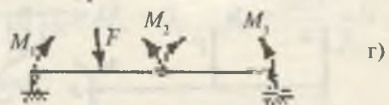
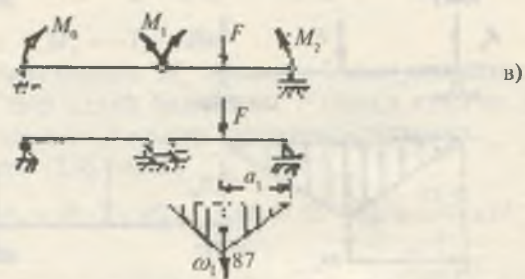
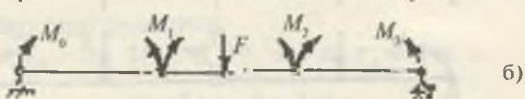
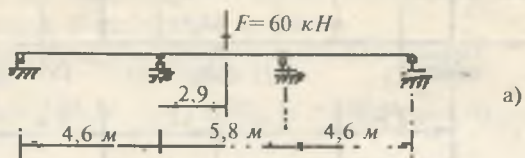
I—I қирқим. $0 \leq x_1 \leq 2 \text{ м}$

$$M_{x_1} = R_0 x_1; \quad Q_1 = R_0 = 3,125 \text{ кН};$$

$$x_1 = 0; \quad M_1 = 0; \quad x_1 = 2 \text{ м}; \quad M_1 = 6,25 \text{ кНм}$$



225-расм.



226-расм.

II-II қирқим. $0 \leq x_2 \leq 2 \text{ м}$

$$M_{x_2} = R_0(2 + x_2) - Fx_2; \quad Q_2 = R_0 - F = 3,125 - 10 = -6,875 \text{ кН}$$

$$x_2 = 0; \quad M_2 = 6,25 \text{ кНм}; \quad x_2 = 2 \text{ м}; \quad Mx_2 = -7,5 \text{ кНм}$$

III-III қирқим. $0 \leq x_3 \leq 2 \text{ м}$

$$M_{x_3} = R_0(4 + x_3) - F(2 + x_3) + R_B x_3$$

$$Q_3 = R_0 - F + R_B = 3,125 - 10 + 13,75 = 6,875 \text{ кН}$$

$$x_3 = 0; \quad M_3 = -7,5 \text{ кНм}; \quad x_3 = 2 \text{ м}; \quad Mx_3 = 6,25 \text{ кНм}$$

IV-IV қирқим. $0 \leq x_4 \leq 2 \text{ м}$

$$M_{x_4} = R_0(6 + x_4) - F(4 + x_4) + R_B(2 + x_4) - Fx_4$$

$$Q_4 = R_0 - 2F + R_B = 3,125 - 10 + 13,75 - 10 = -3,125 \text{ кН}$$

$$x_4 = 0; \quad Mx_4 = 6,25 \text{ кНм}; \quad x_4 = 2 \text{ м}; \quad Mx_4 = 0 \text{ кН}$$

Энг катта эгувчи момент В таянчда ҳосил бўлади:

$$M_{\max} = 7,5 \text{ кНм}$$

Эгилишда мустаҳкамлик шартига асосан:

$$W_s = \frac{M_{\max}}{[\sigma]} = \frac{7,5}{160 \cdot 10^3} = 4,7 \cdot 10^{-5} \text{ м}^3. \quad \text{Бу ерда: } W_s = \frac{bh^2}{6} \text{ ва}$$

$$h = 2b$$

У ҳолда:

$$b = \sqrt{\frac{6 \cdot 4,7 \cdot 10^{-5}}{4}} = 0,0413 \text{ м}; \quad h = 2 \cdot 0,0413 = 0,086 \text{ м}$$

З-масала. Уч оралиқли узлуксиз балка учун эгувчи момент ва кўндаланг куч эпюралари қурилсин.

Ечиш. Узлуксиз балка икки маротаба статик ноаниқ. Шунинг учун узлуксиз балкани иккита оддий икки оралиқли, бир маротаба статик ноаниқ балкаларга ажратамиз (226-б расм).

Ҳар қайси икки оралиқли узлуксиз балкаларни оддий икки таянчли балкаларга ажратиб, ташқи куч таъсиридан эгувчи момент эпюраларини қурамиз. Куч юзаларининг тенг таъсир қилувчиларини топамиз (226-в, г раэм).

$\omega_1 = \omega_2 = \frac{1}{2} \cdot 87 \cdot 5,8 = 252,3 \text{ кНм}^2$; $a_1 = b = 2,9 \text{ м}$. Ҳар қайси икки оралиқли узлуксиз балка учун үч момент тенгламасын тузамиз:

$$M_0 \cdot 4,6 + 2M_1(4,6 + 5,8) + M_2 \cdot 5,8 = -6 \frac{\omega_1 \cdot a_1}{5,8}$$

$$M_1 \cdot 5,8 + 2M_2(5,8 + 4,6) + M_3 \cdot 4,6 = -6 \frac{\omega_2 \cdot b}{5,8}$$

Бу ерда: $M_0 = 0$; $M_3 = 0$

$$\left. \begin{array}{l} 20,8M_1 + 5,8M_2 = -6 \frac{\omega_1 a_1}{5,8} \\ 5,8M_1 + 20,8M_2 = -\frac{\omega_2 \cdot b}{5,8} \end{array} \right\} \begin{array}{l} (-20,3) \\ (5,8) \end{array}$$

$$\left. \begin{array}{l} -432,64M_1 - 120,64M_2 = 124,8 \frac{\omega_1 \cdot a_1}{5,8} \\ 33,64M_1 + 120,64M_2 = -34,8 \frac{\omega_2 \cdot b}{5,8} \end{array} \right\}$$

У ҳолда: $33,64M_1 + 120,64M_2 = -34,8 \frac{\omega_2 \cdot b}{5,8}$

Иккала тенгламани құшсак:

$$-399M_1 = 124,8 \frac{252,3 \cdot 2,9}{5,8} - 34,8 \frac{252,3 \cdot 2,9}{5,8}; M_1 = -28,45 \text{ кНм}$$

$$\text{жосил бўлади ва } 20,8(-28,45) + 5,8M_2 = -6 \frac{252,3 \cdot 2,9}{5,8}; M_2 = -28,45 \text{ кНм}.$$

Оддий икки таянчли балкаларни M_1 ва M_2 моментлари билан юклаймиз (226-расм).

Ҳар бир оддий балканинг реакция кучларини топамиз:

1-балка:

$$\sum M_0 = M_1 - R_1' \cdot 4,6 = 0; R_1' = 6,2 \text{ кН}$$

$$\sum M_1' = -R_0 \cdot 4,6 + M_1 = 0; R_0 = 6,2 \text{ кН}$$

2-балка:

$$\sum M_1'' = F2,9 - M_1 + M_2 - R_2'' \cdot 5,8 = 0; R_2'' = 30 \text{ кН}$$

$$\sum M_2'' = R_1' \cdot 5,8 - M_1 + M_2 - F \cdot 2,9 = 0; R_1' = 30 \text{ кН}$$

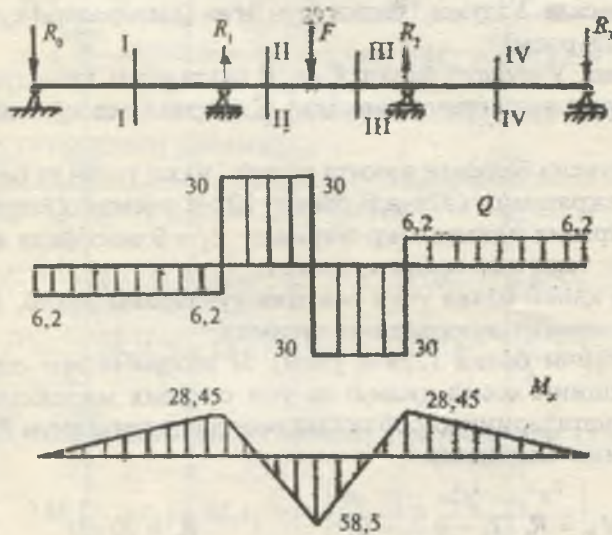
3-балка:
 балкани оралықтарға бүлип күндаланғанда Q жағдайында тенгламаларни тузамыз (227-расм).
 I—I қирқим. $\sum M_2' = R_3 \cdot 5,8 - M_2 = 0; \quad R_3 = 6,2 \text{ кН}$
 $\sum M_3 = R_1' \cdot 5,8 - M_2 = 0; \quad R_1' = 6,2 \text{ кН}$

Узлуксиз балканинг реакция күчлари:

$$R_0 = 6,2 \text{ кН}; \quad R_3 = 6,2 \text{ кН}$$

$$R_1 = R_1' + R_2' = 6,2 + 30 = 36,2 \text{ кН}$$

$$R_2 = R_2' + R_3' = 30 + 6,2 = 36,2 \text{ кН}$$



227-расм.

Узлуксиз балкани оралықтарға бүлип күндаланғанда Q жағдайында тенгламаларни тузамыз (227-расм).

I—I қирқим. $0 \leq x_1 \leq 4,6 \text{ м}$

$$Q_1 = -R_0 = -6,2 \text{ кН}; \quad M_{x_1} = -R_0 x_1$$

II—II қирқим. $4,6 \leq x_2 \leq 7,5 \text{ м}$

$$Q_2 = -R_0 + R_1 = -6,2 + 36,2 = 30 \text{ кН}$$

$$M_{x_2} = -R_0 x_2 + R_1 (x_2 - 4,6)$$

III—III қирқим. $7,5 \leq x_3 \leq 10,4 \text{ м}$

$$Q_3 = -R_0 + R_1 - F = -6,2 + 36,2 - 60 = -30 \text{ кН}$$

$$M_{x_3} = -R_0 x_3 + R_1 (x_3 - 4,6) - F (x_3 - 7,5)$$

IV—IV қирқим. $10,4 \leq x_4 \leq 15 \text{ м}$

$$Q_4 = -R_0 + R_1 - F + R_2 = -6,2 + 36,2 - 60 + 36,2 = 6,2 \text{ кН}$$

$$M_{x_4} = -R_0 x_4 + R_1 (x_4 - 4,6) - F (x_4 - 7,5) + R_2 (x_4 - 10,4)$$

4-масала. Узлуксиз балка учун M ва Q эпюралари қурилсин (228-расм)

Ечиш. Узлуксиз балка K ва B нүкталарда құзғалувчан шарнирли таянчларга таянади; C нүктада эса құзғалмасдир.

Узлуксиз балкани иккита оддий икки таянчли балкаларға ажратамиз (228-а,б расм). 228-б расмда құзғалмас таянч үрнига иккита, бир-биридан $\ell_3 = 0$ масофада жойлашған таянчлар қабул қиласыз.

Хар қайси балка учун реакция күчларини топиб, M — әгуучи момент эпюраларни қурамыз.

Бириңчи балка (228-а расм) M эпюрасининг оддий күринишини ҳосил қилиш ва уни оғирлик марказининг координаталарини ҳисоблашни осонлаштириш учун F күч таъсирини олмаймыз.

$$\sum M_B = R_k \cdot \ell_1 - q \frac{\ell_1^2}{2} = 0; \quad R_k = 20 \text{ кН}$$

$$\sum M_k = -R_B \cdot \ell_1 + q \frac{\ell_1^2}{2} = 0; \quad R_B = 20 \text{ кН}$$

$$M_x = R_k \cdot x_1 - q \frac{x_1^2}{2}; \quad 0 \leq x_1 \leq \ell_1$$

$$x_1 = 0; \quad M_x = 0; \quad x_1 = \ell_1; \quad M_x = 0; \quad x_1 = \frac{\ell_1}{2}; \quad M_x = 10 \text{ кН}$$

Иккінчи балка (228-б расм) иккінчи оралиқнинг узунлиғи бүлгансындағы учун балкада фақат B ва C таянчлар қолади. Демек, иккінчи балка икки таянчли ва M — жуфт күч моменти билан юқланған.

$$\sum M_B = -M_0 + R_c \cdot 2,5 = 0;$$

$$R_c = 16 \kappa H$$

$$\sum M_c = -M_0 + R_B \cdot 2,5 = 0;$$

$$R_B = 16 \kappa H$$

I—I қирқим.

$$M_{x_1} = R_B \cdot x_1; \quad 0 \leq x_1 \leq 1 \text{ м}$$

$$x_1 = 0; \quad M_{x_1} = 0; \quad x_1 = 1 \text{ м}; \quad M_{x_1} = 16 \kappa H \text{м}$$

II-II қирқим.

$$M_{x_2} = -R_c \cdot x_2; \quad 0 \leq x_2 \leq 1,5 \text{ м}$$

$$x_2 = 0; \quad M_{x_2} = 0; \quad x_2 = 1,5 \text{ м}; \quad M_{x_2} = -24 \kappa H \text{м}$$

Иккита оддий балкалардаги куч юзаларининг тенг таъсир этувчилиарини топамиш:

$$\omega_q = \frac{2}{3} \cdot 10 \cdot \ell_1 = \frac{2}{3} \cdot 10 \cdot 2 = \frac{40}{3} \kappa H \text{м}^2; \quad a_q = 1 \text{ м}$$

$$\omega_1^I = \frac{1}{2} \cdot 16 \cdot 1 = 8 \kappa H \text{м}^2; \quad b^I = \frac{1}{3} \cdot 1 + 1,5 = \frac{5,5}{3} \text{ м}$$

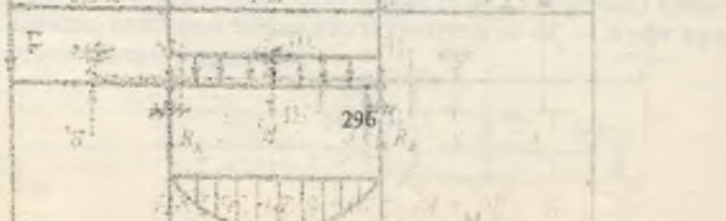
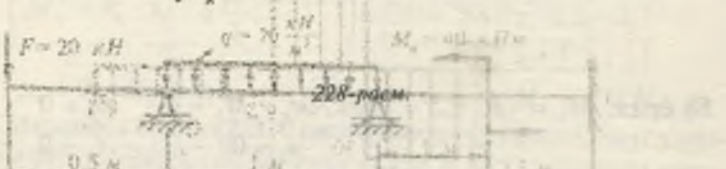
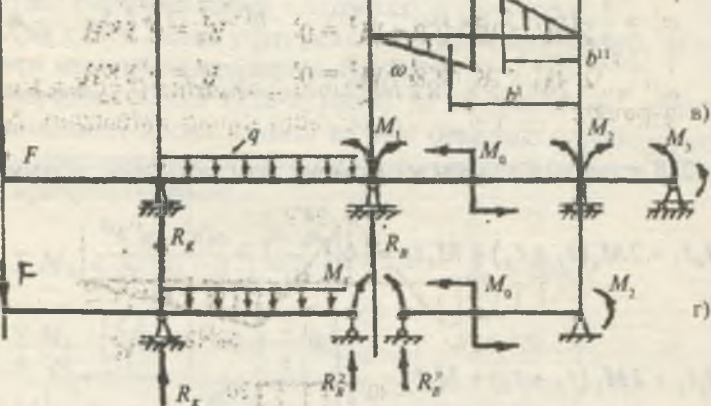
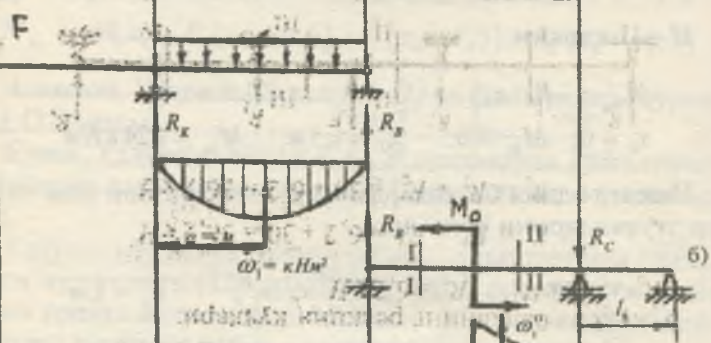
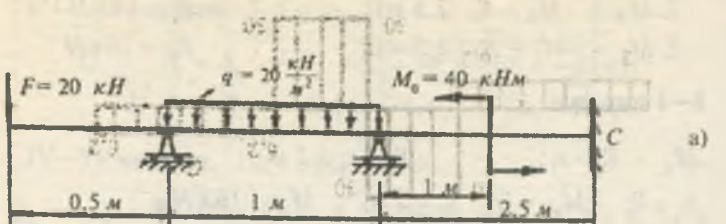
$$\omega_1^{II} = \frac{1}{2} \cdot 24 \cdot 1,5 = 18 \kappa H \text{м}^2; \quad b^{II} = \frac{2}{3} \cdot 1,5 = 1 \text{ м}$$

228-в расмга асосан уч момент тенгламасини тузамиш:

$$\left\{ \begin{array}{l} M_k \ell_1 + 2M_1 (\ell_1 + \ell_2) + M_2 \ell_2 = -6 \left(\frac{\omega_q \cdot a_q}{\ell_1} + \frac{\omega_1^I b_1^I - \omega_1^{II} b^{II}}{\ell_2} \right) \\ M_1 \ell_2 + 2M_2 (\ell_2 + \ell_3) + M_3 \ell_3 = -6 \left(\frac{\omega_1^I \frac{2}{3} \cdot 1 - \omega_1^{II} \left(1 + \frac{1,5}{3} \right)}{\ell_2} + \frac{\omega_3 \cdot a_3}{\ell_3} \right) \end{array} \right.$$

Бу ерда: $M_k = -F \cdot 0,5 = -10 \kappa H \text{м}; \quad M_3 = 0; \quad \omega_3 = 0$

$$a_3 = 0; \quad \ell_3 = 0$$



$$-10,2 + 9M_1 + 2,5M_2 = -6 \quad | \quad \begin{array}{l} 40+1 \\ 6 \end{array} \quad | \quad \begin{array}{l} 5,5 \\ 8 \\ 3 \end{array} \quad | \quad -18,1$$

У холда:

$$M_1 2,5 + S M_2 = -6 \quad | :2,5$$

$$\begin{cases} -20 + 9M_1 + 2,5M_2 = -32 \\ 2,5M_1 + 5M_2 = 52 \end{cases} \quad \text{таки} \quad \begin{cases} 9M_1 + 2,5M_2 = -12 \\ 2,5M_1 + 5M_2 = 52 \end{cases}$$

Иккى номаътумли иккита төңгламалар системаси ҳосил бўлди.

Бу ерда $M_1 = -4,9 \text{ кНм}$ ва $M_2 = 12,84 \text{ кНм}$ ҳосил бўла-
ди. M_1 ва M_2 моментларнинг қийматларини ва йшорала-
рини ҳисобга олиб, оддий иккни таянчли балқаларнинг ре-
акция кучларини топамиш (228-г. расм).

Чап балка:

$$\sum M_k = -F \cdot 0,5 + q \frac{\ell_1^2}{2} + M_1 - R_B^{II} \cdot \ell_1 = 0; \quad R_B^{II} = 17,45 \text{ kN}$$

$$\sum M_B = -F \cdot (0,5 + \ell_1) - q \frac{\ell_1}{2} + M_1 - R_k \cdot \ell = 0; \quad R_k = 42,25 \kappa H$$

Ўнг балка:

$$\sum M_B^y = -M_1 - M_0 - M_2 + R_c \cdot \ell_2 = 0; \quad R_c = 23,096 \text{ kH}$$

$$\sum M_c = -M_1 - M_0 - M_2 + R_s^y \cdot \ell_2 = 0; \quad R_s^y = 23,096 \text{ kH}$$

Узлуксиз балканинг реакция кучлари:

$$R_k = 42,55 \kappa H; \quad R_c = 23,096 \kappa H_c.$$

$$R_B = R_B^H + R_B^I = 17,45 + 23,096 = 40,545 \text{ kH}$$

Узлуксиз балканинг С қўзғалмас таянч нуқтасидаги реакция кучи: $R = 23,096 \text{ kN}$ ва таянч моменти $M_2 = M_c = 12,84 \text{ kNm}$

Балкани (229-расм) оралиқтарга булиб *M* ва *Q* тенгламаларини топамиз.

卷之三

I—I қирқим. $0 \leq x_1 \leq 0,5 \text{ м}$

$$M_{x_1} = -Fx_1; \quad Q_1 = -F = -20 \text{ кН}; \quad x_1 = 0; \quad Mx_1 = 0;$$

$$x_1 = 0,5 \text{ м}; \quad Mx_1 = -10 \text{ кНм}$$

II—II қирқим. $0 \leq x_2 \leq 2 \text{ м}$

$$M_{x_2} = -F(0,5 + x_2) + R_k x_2 - q \frac{x_2^2}{2}; \quad Q_2 = -F + R_k - qx_2$$

$$x_2 = 0 \quad M_{x_2} = -10 \text{ кНм} \quad Q_2 = 22,55 \text{ кН}$$

$$x_2 = 1 \text{ м}; \quad Mx_2 = 2,55 \text{ кНм}; \quad Q_2 = 12,55 \text{ кН}$$

$$x_2 = 2 \text{ м}; \quad Mx_2 = -4,9 \text{ кНм}; \quad Q_2 = -17,45 \text{ кН}$$

Q — күндаланг күч абсцисса үқини кесиб ўтиш нүктасида нолга тенг бўлади. Шу нүктада балканинг иккинчи қирқимдаги чўзиладиган толаларида $M_{x_2} = M_{\max}$, эгувчи момент энг катта қийматга эришади.

$$-F + R_k - qx_2 = 0 \quad \text{ёки} \quad x_2 = \frac{R_k - F}{q} = 1,1275 \text{ м}$$

У ҳолда:

$$M_{x_2} = M_{x_2 \max} = -20 \cdot 1,1275 + 42,55 \cdot 1,1275 -$$

$$-20 \frac{(1,1275)^2}{2} = 2,71 \text{ кНм}$$

III—III қирқим. $0 \leq x_3 \leq 1 \text{ м}$

$$M_{x_3} = -F(2,5 + x_3) + R_k(2 + x_3) - q \cdot 2(1 + x_3) + R_B x_3$$

$$Q_3 = -F + R_k - 2q + R_B =$$

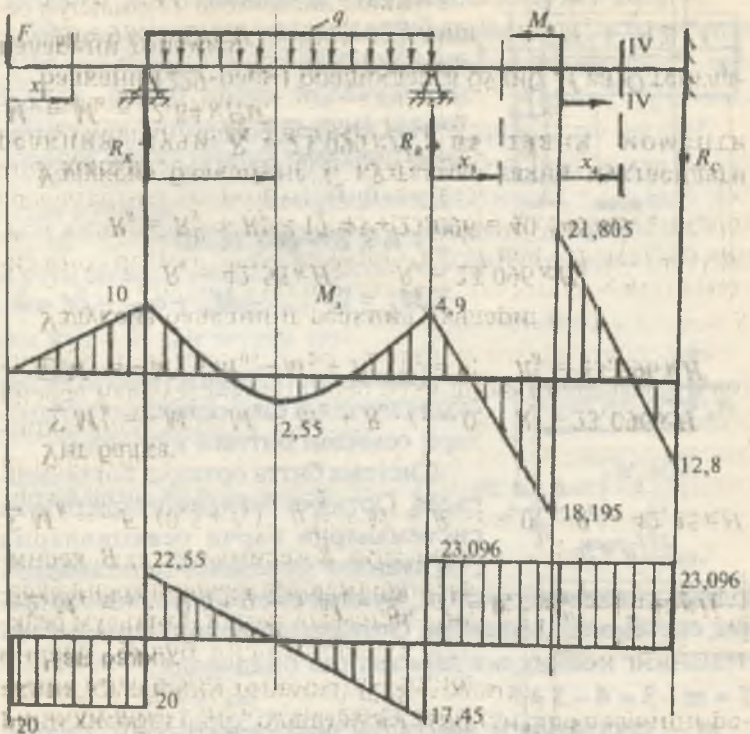
$$= -20 + 42,55 - 2 \cdot 20 + 40,545 = 23,096 \text{ кН}$$

$$x_3 = 0; \quad M_{x_3} = -4,9 \text{ кНм}; \quad x_3 = 1 \text{ м}; \quad M_{x_3} = 18,195 \text{ кНм}$$

IV—IV қирқим. $0 \leq x_4 \leq 1,5 \text{ м}$

$$M_{x_4} = -F(3,5 + x_4) + R_k(3 + x_4) - q \cdot 2(2 + x_4) + R_B(1 + x_4) - M_0$$

$$Q_4 = -F + R_k - 2q + R_B = 23,096 \text{ кН}$$



229-расм.

$$x_4 = 0; \quad M_{x_4} = -21,805 \text{ кНм}; \quad x_4 = 1,5 \text{ м}; \quad M_{x_4} = 12,84 \text{ кНм}$$

5-масала. Статик ноаниқ раманинг M , Q ва N эпюралари қурилсин:

Статик аниқмас рамаларнинг аниқмаслик даражасини топинг;

2) каноник тентдамани тузинг;

3) берилған күч ва бирілік күч эпюраларини қуинг;

4) күчишшларни топинге;

5) ортиқча боғланишларни аниқланг;

6) M , Q ва N эпюраларини қуинг.

Ечиш. Раманинг K кесими бикр маҳкамланган таянчы, B кесими құзғалувчан шарнирли таянчга таянади. Шулай

$$\Sigma W = -W_1 - W_2 - W_3 - W_4 - W_5 - W_6 - W_7 - W_8 - W_9 - W_{10} - W_{11} - W_{12} - W_{13} - W_{14} - W_{15} - W_{16} - W_{17} - W_{18} - W_{19} - W_{20} - W_{21} - W_{22} - W_{23} - W_{24} - W_{25} - W_{26} - W_{27} - W_{28} - W_{29} - W_{30} - W_{31} - W_{32} - W_{33} - W_{34} - W_{35} - W_{36} - W_{37} - W_{38} - W_{39} - W_{40} - W_{41} - W_{42} - W_{43} - W_{44} - W_{45} - W_{46} - W_{47} - W_{48} - W_{49} - W_{50} - W_{51} - W_{52} - W_{53} - W_{54} - W_{55} - W_{56} - W_{57} - W_{58} - W_{59} - W_{60} - W_{61} - W_{62} - W_{63} - W_{64} - W_{65} - W_{66} - W_{67} - W_{68} - W_{69} - W_{70} - W_{71} - W_{72} - W_{73} - W_{74} - W_{75} - W_{76} - W_{77} - W_{78} - W_{79} - W_{80} - W_{81} - W_{82} - W_{83} - W_{84} - W_{85} - W_{86} - W_{87} - W_{88} - W_{89} - W_{90} - W_{91} - W_{92} - W_{93} - W_{94} - W_{95} - W_{96} - W_{97} - W_{98} - W_{99} - W_{100} = 0$$

$$\Sigma W' = -W_1' - W_2' - W_3' - W_4' - W_5' - W_6' - W_7' - W_8' - W_9' - W_{10}' - W_{11}' - W_{12}' - W_{13}' - W_{14}' - W_{15}' - W_{16}' - W_{17}' - W_{18}' - W_{19}' - W_{20}' - W_{21}' - W_{22}' - W_{23}' - W_{24}' - W_{25}' - W_{26}' - W_{27}' - W_{28}' - W_{29}' - W_{30}' - W_{31}' - W_{32}' - W_{33}' - W_{34}' - W_{35}' - W_{36}' - W_{37}' - W_{38}' - W_{39}' - W_{40}' - W_{41}' - W_{42}' - W_{43}' - W_{44}' - W_{45}' - W_{46}' - W_{47}' - W_{48}' - W_{49}' - W_{50}' - W_{51}' - W_{52}' - W_{53}' - W_{54}' - W_{55}' - W_{56}' - W_{57}' - W_{58}' - W_{59}' - W_{60}' - W_{61}' - W_{62}' - W_{63}' - W_{64}' - W_{65}' - W_{66}' - W_{67}' - W_{68}' - W_{69}' - W_{70}' - W_{71}' - W_{72}' - W_{73}' - W_{74}' - W_{75}' - W_{76}' - W_{77}' - W_{78}' - W_{79}' - W_{80}' - W_{81}' - W_{82}' - W_{83}' - W_{84}' - W_{85}' - W_{86}' - W_{87}' - W_{88}' - W_{89}' - W_{90}' - W_{91}' - W_{92}' - W_{93}' - W_{94}' - W_{95}' - W_{96}' - W_{97}' - W_{98}' - W_{99}' - W_{100}' = 0$$

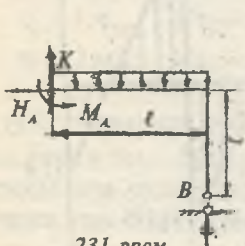
жолати ёки статик номақ системани статик аниқ күришінше көттирилескіндер (231-расм).

Асосий системага номақтың күшінде K кесимдегі түрде $H_A = 0$ мәнде. Асосий системада барлық реакциялардың күштерінде $X = 0$, $H_A = 0$ мәнде. Системада түртін номақтың реакцияларынан күштерінде $H_A = 0$, $K = q \cdot \ell$ мәндерінде. Асосий системада түртін номақтың топишинде $X = 0$, $H_A = 0$ мәнде. Асосий системада түртін номақтың топишинде $X = 0$, $H_A = 0$ мәнде. Асосий системада түртін номақтың топишинде $X = 0$, $H_A = 0$ мәнде.

Асосий системада түртін номақтың топишинде $X = 0$, $H_A = 0$ мәнде. Асосий системада түртін номақтың топишинде $X = 0$, $H_A = 0$ мәнде. Асосий системада түртін номақтың топишинде $X = 0$, $H_A = 0$ мәнде. Асосий системада түртін номақтың топишинде $X = 0$, $H_A = 0$ мәнде. Асосий системада түртін номақтың топишинде $X = 0$, $H_A = 0$ мәнде.

Системада түртін номақтың топишинде $X = 0$, $H_A = 0$ мәнде. Асосий системада түртін номақтың топишинде $X = 0$, $H_A = 0$ мәнде.

$$\Sigma M_K = 0; K - q \cdot \ell = 0$$



230-расм.

Демек, системадаги номақтың реақциялар сони статиканың тенгламалари сонидан биттеге күп экан.

Система биттеге ортиқча боғлаништың эса. Ортиқча боғланишлары бүлгелерде системаларда барча реақцияларни статиканың мувозанат тенгламалари ёрдамида топиб бўлмайди. Бундай системалар статик ноаниқ системалар дейилади. Ортиқча номақтумлар сони системанинг ноаниқлик даражасини билдиради:

$$S = m - 3 = 4 - 3 = 1$$

m — системадаги номақтың реақциялар сони. Статик ноаниқ масалани ечиш учун берилган системадан асосий системага ўтилади. Асосий система, бу номақтың реақцияни номақтың боғланиш күчи X билан алмаштирилган жолати ёки статик ноаниқ системани статик аниқ күришишга көттирилишидир (232-расм).

Асосий системага күйилган номақтың ортиқча боғланиш күчи — X бирлик күч дейилади. Берилган системада q ва B күчлары таъсиридан B нүктесининг күчиши нолга тенг, яни $\Delta_B = 0$ эди.

Асосий системада B нүктесининг күчиши q ва x_1 күчларидан нолга тенг деб қабул қилинади: $\Delta_B = x_1 \delta_{11} + \Delta_{1q} = 0$ ёки $\delta_{11} + \Delta_{1q} = 0$ тенглама каноник тенглама дейилади.

Системанинг ноаниқлик даражаси қанча бўлса, каноник тенгламалар сони ҳам шунча бўлади.

Бу ерда δ_{11} — асосий система B нүктасининг x_1 куч йўналишида $x_1 = 1$ куч таъсиридан кўчиши;

Δ_{1q} — B нүктанинг номаълум x_1 куч йўналишида q куч таъсиридан кўчиши.

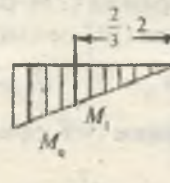
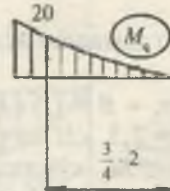
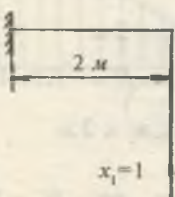
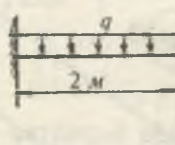
δ_{11} ва Δ_{1q} кўчишларни топиш учун асосий системада номаълум бирлик кучлардан ва ташқи куч — q дан эгувчи момент эпюралари қурилади.

δ_{11} ва Δ_{1q} ларни Мор-Максвелл ёки Верещагин формулалари билан топиш мумкин.

$$\text{Мор-Максвелл формуласи: } \delta_{11} = \int_0^t \frac{M_1^2}{EI} dx, \quad \Delta_{1q} = \int_0^t \frac{M_q M_1 dx}{EI}$$

Бу ерда: M_1 — асосий система учун $x_1 = 1$ кучидан қурилган эгувчи моментнинг эпюраси; M_q — асосий система учун q кучидан қурилган эгувчи момент эпюраси; EI — балканинг бикрлиги.

$$\delta_{11} = \int_0^t \frac{x \cdot x dx}{EI} = \frac{1}{EI} \int_0^t x^2 dx = \frac{t^3}{3EI} = \frac{8}{3EI}$$



233-расм.

$$\Delta_{1q} = - \int_0^{\ell} \frac{q \frac{x^2}{2} x \cdot dx}{EI} = -q \frac{\ell^4}{8EI} = -\frac{20}{EI}$$

δ_{11} ва Δ_{1q} ларни каноник тенгламага қойиб x_1 номаълум кучни топамиз:

$$x_1 \cdot \frac{\ell^3}{3EI} - q \frac{\ell^3}{8EI} = 0 \text{ ёки } x_1 = \frac{3}{8} q \ell ; \quad x_1 = \frac{60}{8} = 7,5 \text{ kH}$$

$$\text{Верешагин формуласи: } \delta_{11} = \frac{\omega_1 \cdot M_1}{EI} \quad \text{ва } \Delta_{1q} = \frac{\omega_q \cdot M_{1q}}{EI}$$

Бу ерда: ω_1 ва ω_q — асосий система учун $x_1 = 1$ ва q кучлардан қурилган M_1 ва M_q эгувчи момент эпюораларининг юзаси;

M_1 — (δ_{11} күчиш учун) — юзанинг оғирлик марказига тұғри келувчи бирлик куч моментининг ординатаси;

M_{1q} — (Δ_{1q} күчиш учун) — ω_q юзанинг оғирлик марказига тұғри келувчи бирлик куч моментининг ординатаси.

$$\delta_{11} = \frac{1}{EI} \left(\frac{1}{2} \cdot 2 \cdot 2 \right) \left(\frac{2}{3} \cdot 2 \right) = \frac{8}{3EI}$$

$$\Delta_{1q} = -\frac{1}{EI} \left(\frac{1}{3} \cdot 20 \cdot 2 \right) \left(\frac{3}{4} \cdot 2 \right) = -\frac{20}{3EI}$$

$$\text{Каноник тенгламадан } x_1 \frac{8}{3EI} - \frac{20}{EI} = 0 \text{ ёки } x_1 = \frac{60}{8} = 7,5 \text{ kH}$$

Демек, $x_1 = B = 7,5 \text{ kH}$ экан.

Энди, $B = 7,5 \text{ kH}$ куч ёрдамида берилған балқа учун эгувчи момент M_1 , күндаланғ куч Q ва бүйлама куч N эпюораларини курамиз (234-расм).

I—I қырқым (BC оралиқ). $0 \leq y_1 \leq 2 \text{ m}$

$$M_{y_1} = 0; \quad Q_1 = 0; \quad N_1 = -B = -7,5 \text{ kH}$$

II-II қырқым (CK оралиқ). $0 \leq x_1 \leq 2 \text{ m}$

$$M_{y_2} = Bx_1 - q \frac{x_1^2}{2}; \quad Q_2 = -B + qx_2 \quad \text{ва} \quad N_2 = 0$$

$x_1 = 0$ бұлса,

$$M_{x_1} = 0 \text{ ва } Q_2 = -7,5 \text{ kH}$$

$x_2 = 2 \text{ м}$ бұлса,

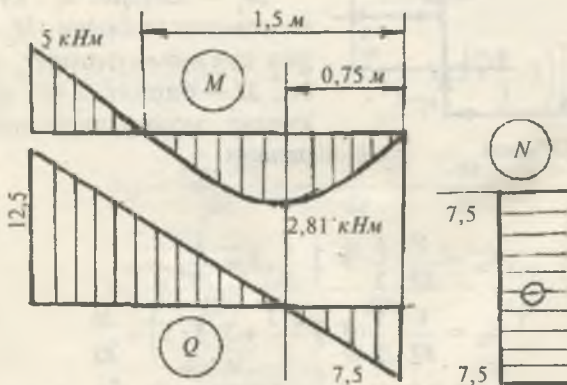
$$M_{x_2} = -5 \text{ kNm} \text{ ва } Q_2 = 12,5 \text{ kH}$$

CK — оралиқда әгувчи момент M_x әгри чизиқли Q_2 түғри чизиқли қонуният билан үзгәради. Q_2 күч C нүктада манфий ишорали, A нүктада мусбат ишорали қийматтаға эга. Күндаланг күч абсцисса үқини кесиб үтиш нүктасида, яғни $Q_2 = 0$ нүктада M_x экстремал қийматтаға әришади: $Q_2 = -B + qx_1 = 0$ ёки $x_1 = \frac{B}{q} = 0,75 \text{ m}$;

$$M_2 = 7,5 \cdot 0,75 - 10 \frac{(0,75)^2}{2} = 2,8125 \text{ kNm}$$

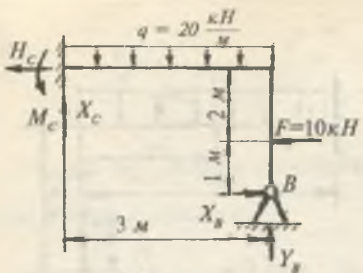
$M_{x_2} = 0$ нүктаны топамиз:

$$M_{x_2} = 7,5x_1 - 10 \frac{x_1}{2} = 0; \quad x_1 = 1,5 \text{ m}$$



234-расм.

235-расм. M , Q үшін эпюралар.



236-расм.

6-масала. Статик ноанық рама учун M , Q ва N эпюралари қурилсін (235-расм).

Ечиш. Раманинг С таянч нүктасида учта ва В нүктасида иккита реакция күчләри ҳосил бўлади. Раманинг аниқмаслик даражаси:

$$S = n - 3 = 5 - 3 = 2$$

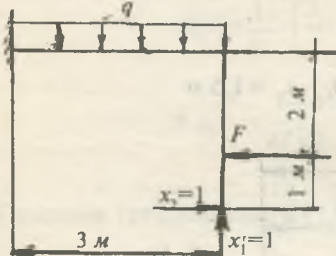
В таянч таъсирини $x_1 = 1$ ва $x_2 = 1$ бирлик күчлар билан алмаштириб асосий системани ҳосил қиласиз (237-расм).

$$x_1 \delta_{11} + x_2 \delta_{12} + \Delta_{1F} + \Delta_{1q} = 0$$

Каноник тенглама: $x_1 \delta_{21} + x_2 \delta_{22} + \Delta_{2F} + \Delta_{2q} = 0$

Каноник тенгламанинг коэффициентларини Верешагин формуласидан фойдаланиб топамиз:

$$\delta_{11} = \sum \frac{M_i^2}{EI} \quad \text{ва} \quad \delta_{ik} = \sum \frac{M_i M_k}{EI}$$



237-расм.

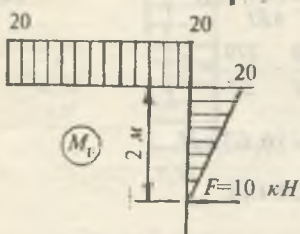
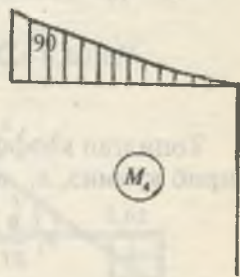
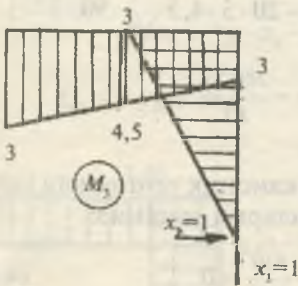
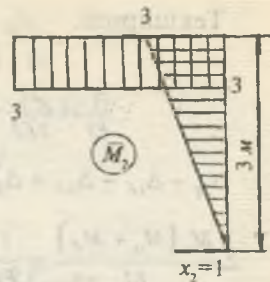
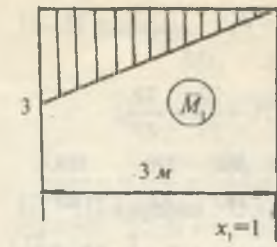
Бирлик ва ташқи күчлар моментларининг эпюраларини қурамиз:

M_1 — бирлик x_1 куч моментининг эпюраси; M_2 — бирлик куч моментининг эпюраси; M_s — бирлик $x_1 = 1$ ва $x_2 = 1$ күчлар моментларининг эпюралари.

$$\delta_{11} = \frac{1}{EI} \cdot \frac{1}{2} \cdot 3 \cdot 3 \cdot \frac{2}{3} \cdot 3 = \frac{9}{EI}$$

$$\delta_{12} = \frac{1}{EI} \left(\frac{1}{2} \cdot 3 \cdot 3 \cdot \frac{2}{3} \cdot 3 + 3 \cdot 3 \cdot 3 \right) = \frac{36}{EI}$$

$$\delta_{12} = \delta_{21} = \frac{1}{EI} \left(\frac{1}{2} \cdot 3 \cdot 3 \cdot 3 \right) = \frac{27}{2EI}$$



238-расм.

$$\delta_s = \frac{1}{EI} \left[\frac{1}{2} 3 \cdot 3 \cdot \frac{2}{3} \cdot 3 + 3 \cdot 3 \cdot 4,5 + \frac{1}{2} \cdot 3 \cdot 3 \left(3 + \frac{2}{3} \cdot 3 \right) \right] = \frac{72}{EI}$$

$$\Delta_{1F} = \frac{\omega_F \cdot \overline{M_1}}{EI} = -\frac{20 \cdot 3 \cdot \frac{3}{2}}{EI} = -\frac{90}{EI}$$

$$\Delta_{1q} = \frac{\omega_q \cdot \overline{M_1}}{EI} = -\frac{\frac{1}{3} \cdot 90 \cdot 3 \cdot \frac{3}{4} \cdot 3}{EI} = -\frac{810}{4EI}$$

$$\Delta_{2q} = \frac{\omega_q \cdot \overline{M_2}}{EI} = -\frac{\frac{1}{3} \cdot 90 \cdot 3 \cdot 3}{EI} = -\frac{270}{EI}$$

$$\Delta_{2F} = \frac{\omega_F \cdot \overline{M_2}}{EI} = -\frac{1}{EI} \left(\frac{1}{2} \cdot 20 \cdot 2 \cdot \frac{7}{3} + 20 \cdot 3 \cdot 3 \right) = -\frac{680}{3EI}$$

Текшириш: $\delta_{11} + \delta_{12} - \delta_{21} + \delta_{22} = \delta_s$

$$\frac{9}{EI} + \frac{27}{2EI} + \frac{27}{2EI} + \frac{36}{EI} = \frac{72}{EI}; \quad \frac{72}{EI} = \frac{72}{EI}$$

$$\Delta_{1q} + \Delta_{1F} + \Delta_{2F} + \Delta_{2q} = -\frac{202,5}{EI} - \frac{90}{EI} - \frac{680}{3EI} - \frac{270}{EI} = -\frac{789,1}{EI}$$

$$\sum \frac{M_s(M_q + M_F)}{EI} = \frac{1}{EI} \left(-\frac{1}{2} \cdot 20 \cdot 2 \frac{7}{3} - 20 \cdot 3 \cdot 4,5 - \frac{1}{3} \cdot 90 \cdot 3 \frac{21}{4} \right)$$

$$\sum \frac{M_s(M_q + M_F)}{EI} = -\frac{789,17}{EI}$$

Топилган коэффициентларни каноник тенгламага келтириб құйымиз, x_1 ға x_2 номағулумларни топамиз:

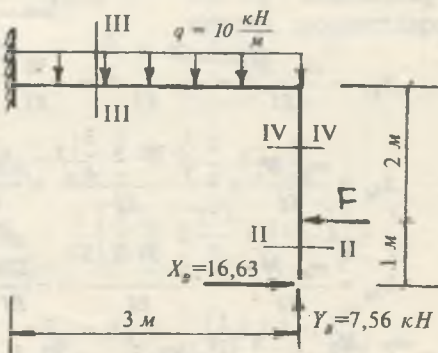
$$\left. \begin{aligned} x_1 \frac{9}{EI} + x_2 \frac{27}{2EI} - \frac{90}{EI} - \frac{810}{4EI} &= 0 \\ -x_1 \frac{27}{2EI} + x_2 \frac{36}{EI} - \frac{680}{3EI} - \frac{270}{EI} &= 0 \end{aligned} \right\}$$

Бу ерда: $x_1 = 7,56 \text{ кН}$ ға $x_2 = 16,63 \text{ кН}$

M_1 , Q ға N тенгламаларни тузамиз:

I—I қырқым. $0 \leq x_1 \leq 1 \text{ м}$

$$Mx_1 = x_B \cdot x_1 \text{ ға}$$



239-расм.

$$Q_1 = -x_B = -16,63 \text{ кН}; \quad N_1 = -y_B = -7,56 \text{ кН}$$

II-II қирқим.

$$Mx_2 = x_a \cdot x_2 - F(x_2 - 1) \quad \text{ва}$$

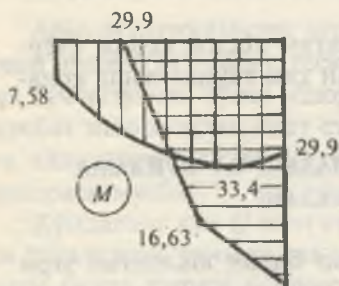
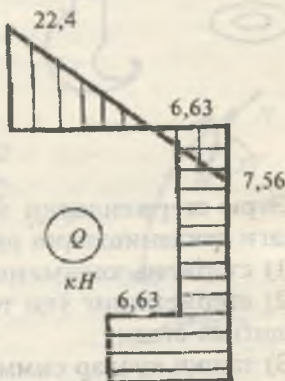
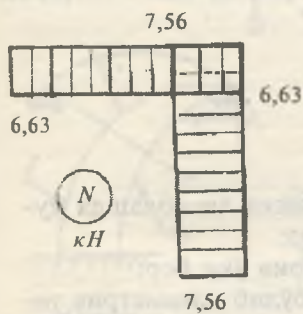
$$Q_2 = -x_B + F = -16,63 + 10 = -6,63 \text{ кН}$$

$$N_2 = -y_B = -7,56 \text{ кН}$$

III-III қирқим. $0 \leq x_3 \leq 3 \text{ м}$

$$Mx_3 = y_B \cdot x_3 - q \frac{x_3^2}{2} + x_B \cdot 3 - 2F \quad \text{ва}$$

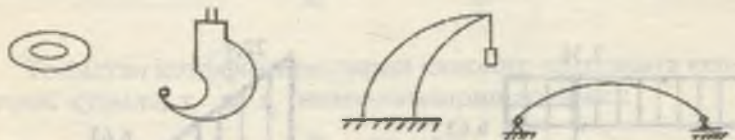
$$Q_3 = -y_B + qx_3; \quad N_3 = x_B - F = 6,63 \text{ кН}$$



240-расм.

ЭГРИ СТЕРЖЕНЛАР

Айрим конструкция ва механизмлардаги элементларда эгрилік марказидан ўтuvчи үқлар эгри бўлади. Масалан, занжирнинг бўғинлари, илгаклар, арклар ва ҳ.к. Бундан ташқари амалиётда учрайдиган барча стерженлар идеал текис бўлмасдан, қандайдир даражада нотекисликларга ёки эгриликларга эга. Шунинг учун эгри ўқли стерженниң кесимида кучланишларнинг тарқалиш қонунияти, эгри стерженларни мустаҳкамликка ҳисоблашни билишимиз керак.



241-расм.

Эгри стерженларни мустаҳкамликка ҳисоблашда куйидаги чекланишларга риоя қиласиз:

- 1) стержень кесимининг симметрия ўқи бор;
- 2) стерженнинг ўқи текис эгри бўлиб, симметрия текислигига ётади;
- 3) ташқи кучлар симметрия текислигига таъсир қиласди;
- 4) деформациягача текис бўлган кесим юзаси стерженниң деформациясидан кейин ҳам текислигича қолади.

8.1. ЭГУВЧИ МОМЕНТ, КЎНДАЛАНГ ВА БЎЙЛАМА КУЧЛАРНИ АНИҚЛАШ

Ташқи F_1 , F_2 , F_3 ва F_4 кучлар билан юкланган эгри стерженни ўрганамиз (242-расм). Эгри стерженнинг кўндаланг кесимида ички куч омилларини аниқлаш учун уни текислик билан кесиб икки булакка ажратамиз. Стерженниң I бўлагини ажратиб олсак, II бўлагининг мувозанат

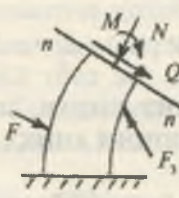
ҳолати бузилади. II қисмнинг мувозанатини таъминлаш учун I қисмнинг таъсирини II қисмнинг кесилган юзасига келтириб қўямиз.

Тўғри стерженларнинг эгилишидан маълумки, ҳар қандай стерженнинг эгилишида бир қисмни иккинчи қисмга таъсири сифатида эгувчи момент M , кўндаланг куч Q ва бўйлама куч N қабул қилинган.

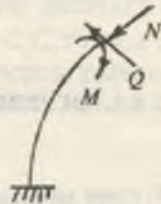
Демак, эгри стерженнинг 1-қисмини 2-қисмига таъсири сифатлари M , Q ва N ички куч омиллари қабул қилинади. Эгувчи момент M , стерженнинг ўрганилаётган қисмидаги ташқи кучлардан унинг кесим юзасининг оғирлик марказига нисбатан олинган моментларининг алгебраик йигиндисига teng.



242-расм.



243-расм.



244-расм.

Агар M стерженнинг эгрилигини катталаштиrsa, ишораси мусбат (243-расм), тескари ҳолатда манфийdir. Бўйлама куч чўзувчан бўлса ишораси мусбат. Бўйлама куч N ни мусбат ишорасидан соат стрелкаси йўналиши бўйича 90° га айлантирганда ҳосил бўлган кўндаланг куч Q нинг ишораси мусбат.

Кўндаланг куч Q эгри стерженнинг кўндаланг кесимига ўтказилган уринма текисликка ўрганилаётган қисмидаги барча ташқи кучлар проекцияларининг алгебраик йигиндисига teng.

8.2. КҮНДАЛАНГ ВА БҮЙЛАМА КУЧЛАР БИЛАН БОГЛИҚ БҮЛГАН КУЧЛАНИШЛАР

Назарий изланишлар, эгри стерженларда уринма кучланишларнинг тарқалиш қонунияти түгри чизиқли стерженлардаги уринма кучланишларнинг тарқалиш қонуниятига яқин булишини кўрсатади. Шунинг учун эгри стерженларда ҳам кесимдаги уринма кучланишни Журавский формуласи билан аниқлаймиз:



$$\tau = \frac{QS_x}{I_x b} \leq [\tau]$$

Эгри стержендан ажратилган элемент оддий чўзилиш ёки сиқилишга учрайди:

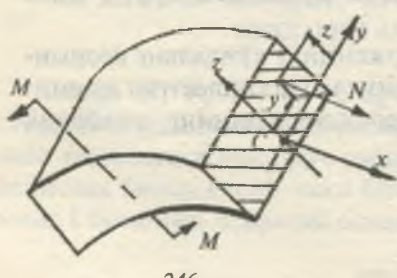
$$V : \delta_N = \frac{N}{A}$$

8.3. ЭГУВЧИ МОМЕНТ БИЛАН БОГЛИҚ БҮЛГАН КУЧЛАНИШНИ АНИҚЛАШ

Эгувчи момент билан боғлиқ бўлган кучланишни аниқлаш учун соф эгилиш ҳолатидан фойдаланамиз (246-расм).

Эгри стерженнинг ажратиб олинган қисми эгувчи момент ва бўйлама куч $N = \sigma \cdot dA$ таъсирида бўлади. Кесим нейтрал қатламишнинг ҳолати бизга аниқ эмас ва кесими эгрилик маркази O нуқтадан ўтмайди, деб фараз қилалими.

Эгри стерженнинг ажратиб олинган қисмининг координата системасига; бошлангич нуқтасини эса C нуқтага жойлаштирамиз, Z ўқи кесимнинг симметрия ўқи. Эгувчи момент XCZ текислигига ётади.



M ва $\sigma \cdot dA$ таъсирида мувозанатда бўлган стержень учун олтита мувозанат шартини ёзиш мумкин:

$$\sum x = 0; \int_A \sigma \cdot dA = 0$$

$$\begin{aligned} \sum z &= 0 & \text{ва} & \sum y = 0 \\ \sum M_x &= 0 & \text{ва} & \sum M_z = 0 \end{aligned} \quad (8.1)$$

$$\sum M_y = M - \int \sigma \cdot dA \cdot z = 0; \quad M = \int_0 \sigma \cdot dA \cdot z$$

Эгри стерженнинг эгилишига асосан нормал кучланишни аниқлаш учун олтита мувозанат шартларидан фаяқат $\sum x = 0$ ва $\sum M_y = 0$ тенгламалардан фойдаланиш мумкин. Лекин, бу тенгламалардан σ ни стерженнинг кесимининг баландлиги бўйлаб ўзгариш қонуниятини аниқлаб бўлмайди. Демак, нормал кучланишни топиш ноаниқликка олиб келади. Шунинг учун эгри стерженнинг деформасиясини ўрганамиз. Стерженнинг эгилишида, кўндаланг кесимда юзалар текислигича қолиб олдинги ҳолатига нисбатан δ бурчакка айланади. Стерженнинг $C_1 C_2$ толаси узунлиги ўзгармайди; KB тола эса BB_1 миқдорга узаяди. KB толанинг узайиши Гук қонунига бўйсунади, яъни (247-расм). $\sigma = \varepsilon_{KB} \cdot E$

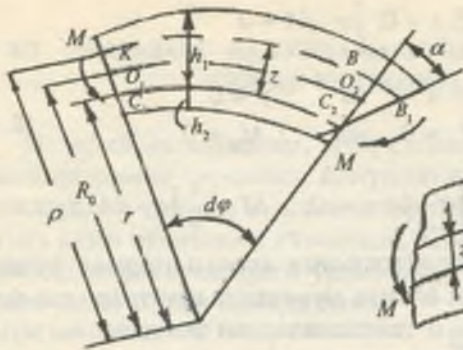
$$\text{Бу ерда: } \varepsilon_{KB} = \frac{BB_1}{KB} = \frac{z\alpha}{\rho \cdot d\phi}; \text{ у ҳолда: } \sigma = \frac{z\alpha}{\rho \cdot d\phi} \cdot E \quad (8.2)$$

Стерженнинг ҳар бир кесими учун $\frac{\alpha}{d\phi}$ ва E ўзгармас бўлганлиги учун:

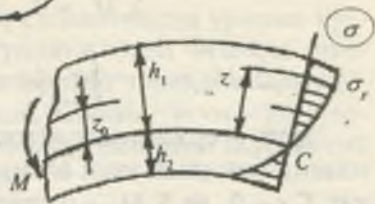
σ нинг қиймати Z ва ρ масофага боғлиқ бўлади;
 ρ — стерженнинг эгрилик радиуси; $\rho = r + z$

r — стержень нейтрал қатламининг эгрилик радиуси (8.2) формулага асосан эгри стерженда кучланиш гипербода қонунияти билан ўзгаради. Эгилишга қадар эгри стержень ташқи толаларининг узунлиги ички толаларининг узунлигидан катта эди; шунинг учун чекка ташқи толадаги нормал кучланиш ички толадаги нормал кучланишдан кичик бўлади (248-расм).

(8.1) формуладан σ нинг ифодасини (8.2) формулага келтириб қўямиз:



247-расм.



248-расм.

$$\int_0^A \sigma \cdot dA = \int_0^A E \frac{z\alpha}{\rho \cdot d\phi} dA = 0$$

Бу ерда: $E \frac{\alpha}{d\phi} \neq 0$. Шунинг учун: $\int_0^A \frac{z}{\rho} dA = 0$ (8.3)

Лекин $z = \rho - r$, у ҳолда: $\int_0^A \frac{\rho - r}{\rho} dA = \int_0^A dA - r \int_0^A \frac{dA}{\rho} = 0$

Бу ерда: $r = \frac{A}{\int_0^A \frac{dA}{\rho}}$ нейтрал қатлам тенгламаси.

(8.2) формуладан σ нинг ифодасини (8.1) формула-
га келтириб құйымыз: $M = E \frac{\alpha}{d\phi} \int_0^A \frac{z}{\rho} \cdot z \cdot dA$, бу ерда интег-
рални алоқида ҳисоблаймыз:

$$\int_0^A \frac{z}{\rho} \cdot z \cdot dA = \int_0^A \frac{\rho - r}{\rho} \cdot z \cdot dA = \int_0^A z \cdot dA - r \int_0^A \frac{z}{\rho} dA$$

Бу ҳисоблашга асосан охирги интеграл: $\int_0^A \frac{z}{\rho} dA = 0$,
бірінчі $\int_0^A z \cdot dA$ интеграл эса стержень кесим юзасининг

нейтрал үққа нисбатан статик моментидир, яғни: $S = A \cdot Z$,

у ҳолда: $M = E \frac{\alpha}{d\varphi} \cdot S$ ва $\frac{\alpha}{d\varphi} = \frac{M}{ES}$ формулани (8.2) га кел-

тириб қўйсак эгри стерженнинг кесимида эгувчи момент таъсиридаги нормал кучланиш формуласи ҳосил бўлади:

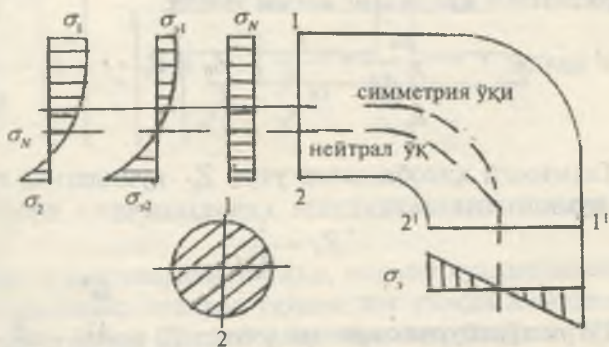
$$\sigma_z = \frac{Mz}{Sz} \quad (8.4)$$

Шундай қилиб, эгри стерженнинг кўндаланг кесимида эгувчи момент таъсиридан ҳосил бўладиган нормал кучланиш σ_z , кесимнинг нейтрал қатламидан кучланиши текширилаётган нуқтагача бўлган масофа — Z га ва стерженнинг эгрилик радиуси — ρ га боғлиқ экан. Кесимнинг нейтрал қатламидан энг узоқда жойлашган четки нуқтадаридаги σ_z , энг катта қийматга эришади (249-расм), яъни:

$$Z = Z_{1,2} \quad \text{ва} \quad \rho = \rho_{1,2} \quad \text{бўлса,} \quad \sigma_z = \sigma_{\max} = \pm \frac{Mz_{1,2}}{Sz_{1,2}}$$

Эгри стерженнинг кўндаланг кесимида ички бўйлама куч N таъсирида ҳам нормал кучланиш ҳосил бўлади. Унда кесимнинг тўлиқ нормал кучланиши эгувчи момент ва бўйлама куч таъсирида ҳосил бўлган нормал кучланишлар йиғиндисидан иборат бўлади:

$$\sigma_{1,2} = \frac{N}{A} \pm \frac{Mz_{1,2}}{Sz_{1,2}} \quad (8.5)$$

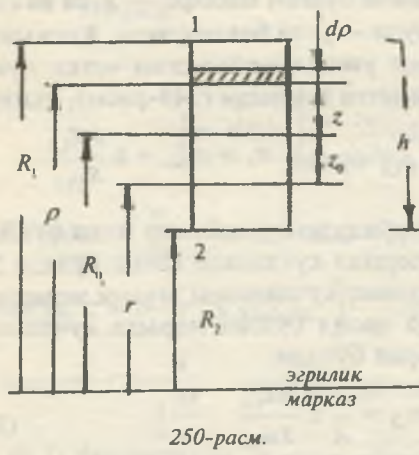


249-расм.

8.4. ЭГРИ СТЕРЖЕНДА НЕЙТРАЛ ҮҚ ҲОЛАТИНИ АНИҚЛАШ

Эгри стерженларда (8.5) формула буйича нормал кучланишини аниқлаш учун нейтрал үқ ҳолатини аниқлаш керак. Бунинг учун нейтрал қатламнинг эгрилик радиуси (r) ёки кесимнинг оғирлик маркази, ёки марказий үқдан нейтрал үққача бўлган масофа — Z_0 ни аниқлаш зарур.

Кўндаланг кесим юзаси тўғри тўртбурчак бўлган эгри стержень нейтрал үқининг эгрилик радиусини топамиш (250-расм).



Нейтрал үқ тенгламасини ёзамиш:

$$r = \frac{A}{\frac{A}{dA} \int_0^A \rho} ; \text{ бу ерда:}$$

$dA = b \cdot d\rho$ — тўғри тўртбурчакли кесимдан ажратилган элементар юза;

ρ — стерженнинг эгрилик марказидан элементар юзагача бўлган масофа;

$$A = bh — эгри$$

стерженнинг кўндаланг кесим юзаси.

$$\text{У ҳолда: } r = \frac{bh}{\frac{R_1}{b} \int_{R_2}^{R_1} \frac{d\rho}{\rho}} = \frac{h}{\ln \frac{R_1}{R_2}} . \quad Z_0 = R_0 - r = R_0 - \frac{h}{\ln \frac{R_1}{R_2}}$$

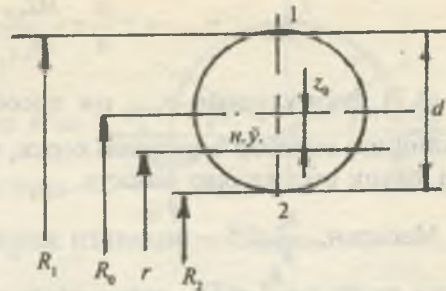
Тахминий ҳисоблашлар учун Z_0 қуидагича топилиши мумкин:

$$Z_0 = \frac{1}{R_0 A} \quad (8.6)$$

$$\text{Тўғри тўртбурчак кесими учун: } Z_0 = \frac{\frac{bh^3}{12}}{R_0 bh} = \frac{h^2}{12 R_0}$$

Доиравий кесим нейтрал ўқнинг эгрилик радиуси:

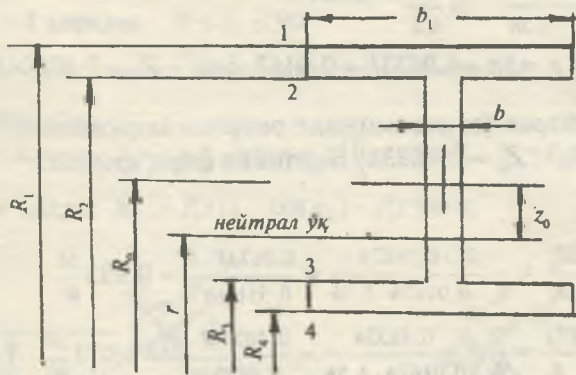
$$r = \frac{d^2}{8 \left(R_0 - \sqrt{R_0^2 - \frac{d^2}{4}} \right)}; \\ Z_0 = \frac{d^2}{16 R_0}$$



Күштаврли кесим учун нейтрал ўқнинг эгрилик радиуси:

$$r = \frac{b_1 h_1 + b_2 h_2 + b_3 h_3}{b_1 \ln \frac{R_1}{R_2} + b_2 \ln \frac{R_2}{R_3} + b_3 \ln \frac{R_3}{R_4}}$$

$$Z_0 = R_0 - r$$



8.5. ЭГРИ СТЕРЖЕНЛАРДА МУСТАҲКАМЛИК ШАРТИ

Олдинги мавзулардан аниқки, нормал кучланиш стержень кесимиининг нейтрал ўқидан энг узоқда жойлашган нуқталарида ҳосил бўлади. Агар эгри стерженнинг материали чўзилиш ва сиқилишга бир хил қаршилик кўрсатса:

$$\sigma_{\max} = \pm \frac{N}{A} \pm \frac{M Z_{1,2}}{S R_{1,2}} \leq [\sigma] \quad (8.7)$$

(8.7) формуладаги σ_{\max} ни ҳисоблашда стерженнинг эгилишига эътибор берилиши керак, чунки эгрилиги катта ёки кичик стерженлар мавжуд.

Масалан, $\frac{R_0}{h} \leq 5$ — эгрилиги катта стерженлар (илгак, ҳалқа ва ҳ.к.); $\frac{R_0}{h} \leq 5$ — эгрилиги кичик стерженлар.

Бу стерженларда $\frac{z}{\rho}$ — нисбатни ҳисобга олмаса ҳам бўлади. Шунинг учун эгри стерженнинг M таъсиридаги нормал кучланиш формуласи тўғри стерженлар учун топилган нормал кучланиш формуласидан кам фарқ қиласди.

$R_0 = 5h$ эгри стерженлар:

$$r = \frac{h}{\ln \frac{R_0 + 0,5h}{R_0 - 0,5h}} = \frac{h}{\ln \frac{5,5}{4,5}} = \frac{h}{0,20067} = 4,9833h$$

$$Z_0 = R_0 - r = 5h - 4,9833h = 0,0167 \text{ ёки } Z_0 = 0,00334R_0$$

Яъни нейтрал ўқ кесимининг оғирлик марказидан: $Z_1 = 0,5167h$, $Z_2 = 0,4833h$ } бирликка фарқ қиласди.

У ҳолда:

$$\sigma_1 = \frac{M Z_1}{S_y R_1} = \frac{M \cdot 0,5167h}{b_n \cdot 0,0167h \cdot 5,5h} = \frac{0,567M \cdot 6}{0,5511bh^2} = 0,935 \frac{M}{W}$$

$$\sigma_2 = \frac{M Z_2}{S_y R_2} = \frac{M \cdot 0,4833h}{b_n \cdot 0,0167h \cdot 4,5h} = \frac{0,4833M \cdot 6}{0,4809bh^2} = 1,071 \frac{M}{W}$$

$R_0 = 5h$ ўртача эгрилиқдаги стерженларда нормал кучланиш тўғри стерженлардаги нормал кучланишдан 7% га фарқ қиласди.

1-масала. Доиравий кесимли эгри стержень хавфли кесимининг нормал кучланишини топинг (251-расм).

Берилган:

$$P = 1100 \text{ H}; \quad d = 5,0 \text{ см}$$

$$r = 16 \text{ см}; \quad P_1 = P_2 = P$$

Ечиш. Эгри стержень K ва B таянчларга таянади.

Реакция күчларини топамиз:

$$\sum x = 0; \quad -H_A + P_1 = 0$$

$$\text{ёки } H_A = P_1 = 1100 \text{ H}; \quad \sum M_A = 0; \quad P_2 \cdot 2r - Br = 0$$

$$\text{Бу ерда: } B = \frac{2P_2 \cdot r}{r} = 2P_2 = 2200 \text{ H}$$

$$\sum M_B = 0; \quad H_A \cdot r - K \cdot r + P_2 \cdot r - P_1 r = 0$$

$$\text{Бу ерда: } K = \frac{H_A \cdot r}{r} = H_A = 1100 \text{ H}. \text{ Текшириш:}$$

$$\sum y = -K - B - P = 0 \quad \text{ёки } -1100 + 2200 - 1100 = 0; \quad 0 = 0$$

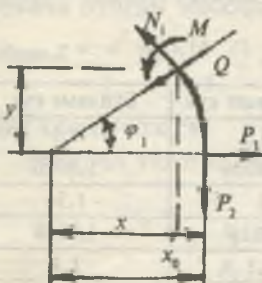
I—I қиркүйм. $0 \leq \varphi_1 \leq 90^\circ$

Этгувчи момент тенгламасини тузамиз: $M_1 = P_2 x_0 - P_1 y$

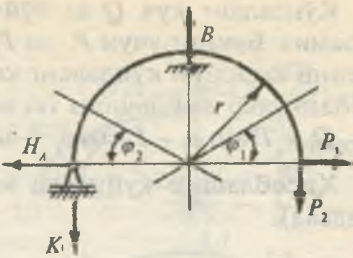
Бу ерда:

$$x_0 = r - x = r - r \cdot \cos \varphi = r(1 - \cos \varphi); \quad y = r \cdot \sin \varphi$$

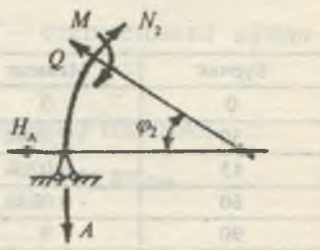
$$\text{У ҳолда: } M_1 = P_2 r(1 - \cos \varphi_1) - P_1 r \sin \varphi_1$$



252-расм.



251-расм.



253-расм.

Күндаланг куч Q ва бўйлама куч N тенгламаларини тузамиз. Бунинг учун P_1 ва P_2 ташқи кучларни эгри стерженни кесилган кўндаланг кесим юзасига уринма ва перпендикуляр жойлашган текисликларга проекциялаймиз:

$$Q_1 = P_2 \sin \varphi_1 - P_1 \cos \varphi_1 \quad \text{ва} \quad N_1 = P_2 \cos \varphi_1 - P_1 \sin \varphi_1$$

Ҳисоблашни қуйидаги жадвалда бажариш қулай (6-жадвал).

6-жадвал

Бурчак	Момент	Кўндаланг куч	Бўйлама куч
0	0	- 1,1	- 1,1
30	- 0,0644	- 0,4026	- 1,5026
45	- 0,0704	0	- 1,54
60	- 0,0644	0,4026	- 1,5026
90	0	1,1	- 1,1

II-II қирқим. $0 \leq \varphi_2 \leq 90^\circ$

$$M_2 = Kr(1 - \cos \varphi_2) - H_A \cdot r \cdot \sin \varphi_2$$

$$Q_2 = -H_A \cdot \cos \varphi_2 + K \cdot \sin \varphi_2$$

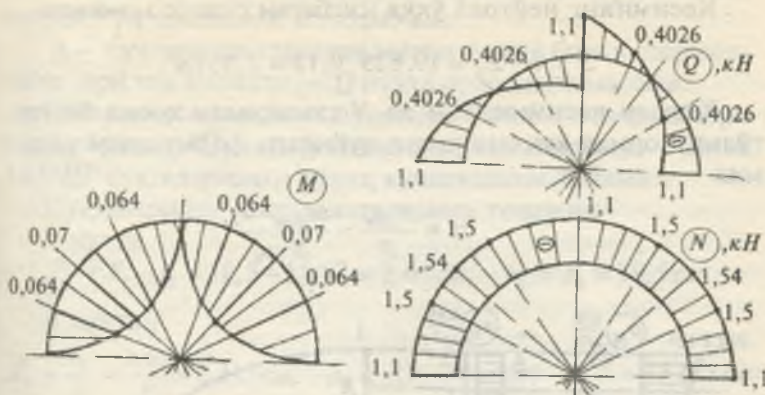
$$N_2 = -K \cos \varphi_2 - H_A \cdot \sin \varphi_2$$

Эгувчи момент эпюрасини эгри стерженнинг чўзиладиган толалари томонига қурилади. Q ва N кучларни мусбат ишорали қиймати стерженнинг ташқи томонига, манфий ишорали қийматини ички томонига жойлаширамиз (254-расм).

Ҳисоблашни қуйидаги жадвалда бажарамиз (7-жадвал).

7-жадвал

Бурчак	Момент	Кўндаланг куч	Бўйлама куч
0	0	- 1,1	- 1,1
30	- 0,0644	- 0,4026	- 1,5026
45	- 0,0704	0	- 1,54
60	- 0,0644	0,4026	- 1,5026
90	0	1,1	- 1,1



254-расм.

Стерженнинг хавфли кесими $\varphi = 45^\circ$ да жойлашади:

$$M_{\max} = 0,07 \text{ кНм}; \quad N_{\max} = 1,54 \text{ кН}$$

Хавфли кесимдаги нормал күчланишни топиш учун куйидаги схемани чизамиз (255-расм). Схемадан:

$$R_1 = r + \frac{d}{2} = 16 + 2,5 = 18,5 \text{ см}; \quad R_2 = r - \frac{d}{2} = 16 - 2,5 = 13,5 \text{ см}$$

R_1 ва R_2 – эгрилик маркази O нүктадан 1 ва 2 нүкта-ларгача бўлган масофа, см:

$$F = \frac{\pi \cdot d^2}{4} = \frac{3,14 \cdot 25}{4} = 19,625 \text{ см}^2 \text{ — стерженнинг кўнда-}$$

ланг кесим юзаси.

Нейтрал ўқнинг эгрилик радиусини топамиз:

$$r_0 = \frac{d}{\frac{R_1}{\ell_n} + \frac{R_2}{\ell_n}} = \frac{5}{\frac{18,5}{0,315} + \frac{13,5}{0,315}} = 15,87 \text{ см}$$

Симметрия ўқи –у билан нейтрал ўқ орасидаги масофа:

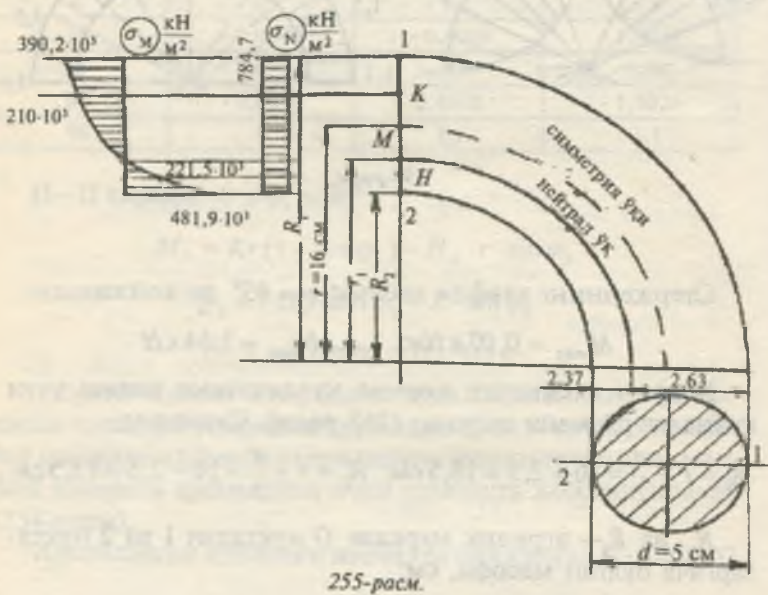
$$Z_0 = r - r_0 = 16 - 15,87 = 0,13 \text{ см}$$

Кесимнинг нейтрал ўққа нисбатан статик моменти:

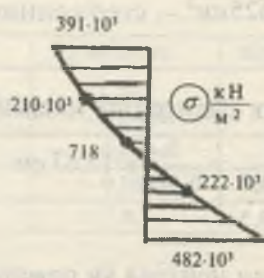
$$S = F \cdot Z_0 = 19,625 \cdot 0,13 \approx 2,55 \text{ см}^3$$

Хавфли кесимнинг M ва N таъсиридан ҳосил бўлган тўлиқ нормал кучланишини қуидаги формуладан топамиз:

$$\sigma = \frac{N_{\max}}{F} - \frac{M_{\max} \cdot Z_i}{S \cdot \rho_i}$$



255-расм.



256-расм.

Бу ерда: Z — күчланиши текширилаётган нүқта билан нейтрал үк орасидаги масофа, см;

ρ — күчланиши текширилаётган нүқта билан стержен-нинг эгрилик маркази — Q нүқта орасидаги масофа.

Стрежень кесимининг диаметри бўйлаб σ эпюорали эгри чизиқ бўлади. Шунинг учун кесимининг диаметри бўйлаб $1KMHG$ нүқталаридағи тўлиқ күчланишни топамиз.

Нүқталарнинг координаталарини топамиз:

1-нүқта:

$$Z_1 = R_1 - r_0 = 18,5 - 15,87 = 2,63 \text{ см}; \quad \rho_1 = R_1 = 18,5 \text{ см}$$

K нүқта:

$$Z_k = \frac{Z_1}{2} = \frac{2,63}{2} = 1,315 \text{ см}; \quad \rho_k = R_1 - \frac{Z_1}{2} = 18,5 - \frac{2,63}{2} = 17,185 \text{ см}$$

M нүқта $Z_M = 0$ (нүқта нейтрал үк устида жойлашган)

$$\rho_M = r_0 = 15,87 \text{ см}$$

2-нүқта:

$$Z_2 = r_0 - R_2 = 15,87 - 13,5 = 2,37 \text{ см}; \quad \rho_2 = R_2 = 13,5 \text{ см}$$

H нүқта:

$$Z_H = \frac{Z_2}{2} = 1,185 \text{ см}; \quad \rho_H = r_0 - \frac{Z_2}{2} = 15,87 - 1,185 = 14,685 \text{ см}$$

Нүқталарнинг күчланишларини топамиз:

$$\sigma_1 = -\frac{1,54}{19,625 \cdot 10^{-4}} - \frac{0,07 \cdot 10^2 \cdot 2,63 \cdot 10^{-2}}{2,55 \cdot 10^{-6} \cdot 18,5 \cdot 10^{-2}} = -391 \cdot 10 \frac{\kappa H}{m^2}$$

$$\sigma_k = -\frac{1,54}{19,625 \cdot 10^{-4}} - \frac{0,07 \cdot 10^2 \cdot 1,315 \cdot 10^{-2}}{2,55 \cdot 10^{-6} \cdot 17,185 \cdot 10^{-2}} = -210,84 \cdot 10^3 \frac{\kappa H}{m^2}$$

$$\sigma_M = -\frac{1,54}{19,625 \cdot 10^{-4}} = -784,7 \frac{\kappa H}{m^2}$$

$$\sigma_A = -\frac{1,54}{19,625 \cdot 10^{-4}} - \frac{0,07 \cdot 10^2 \cdot 1,185 \cdot 10^{-2}}{2,55 \cdot 10^{-6} \cdot 14,685 \cdot 10^{-2}} = -222,3 \cdot 10^3 \frac{\kappa H}{m^2}$$

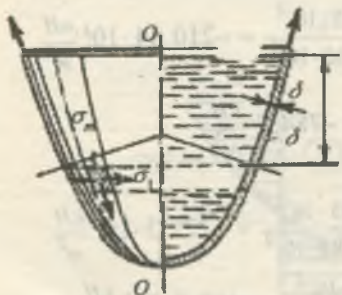
$$\sigma_r = -\frac{1,54}{19,625 \cdot 10^{-4}} - \frac{0,07 \cdot 10^2 \cdot 2,37 \cdot 10^{-2}}{2,55 \cdot 10^{-6} \cdot 13,5 \cdot 10^{-2}} = -482,7 \cdot 10^3 \frac{\kappa H}{m^2}$$

8.6. ЮПҚА ДЕВОРЛИ ИДИШЛАРНИ ҲИСОБЛАШ [4]

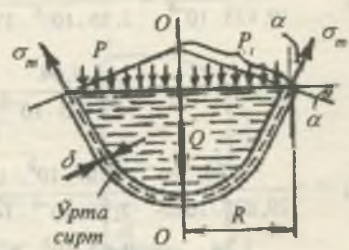
Юпқа деворли идишларни ҳисоблашнинг моментсиз ва моментли назариялари ҳақида тушунча. Сув, буғ ёки газларнинг ички босимлари таъсир этувчи идишларнинг деворлари икки томонлама чўзилиш ҳолатида бўлади. Бундай идишларга буғ қозонлари, газгольдерлар, нефть қуилидиган баклар, сув миноралари ва ҳ.к. киради.

Бундай конструкцияларнинг ўзига хос томонларидан бири уларнинг деворлари қалинлиги — σ нинг иншоот габарит ўлчамларига нисбатан жуда кичиклигидир, шунинг учун улар "юпқа деворли идишлар" деб юритилади. Юпқа деворли идишларнинг ўзига хос белгиларидан бири шуки, улар айланиш жисмлари кўринишида бўлади, яъни уларнинг сиртқи берилган эгри чизиқ — S ни $O-O$ ўқи атрофига айлантириш йўли билан олиниши мумкин (257 - расм). Идишнинг $O-O$ ўқи орқали ўтган текислик билан ҳосил қилинган кесими меридионал кесими деб, меридианларга, яъни S эгри чизиқقا нормал ўтган кесими айланма кесим деб аталади. 258-расмда курсатилган идиш деворининг пастки қисми юқори қисмдан айланма кесим билан ажратилган. Идиш деворининг қалинлигини тенг иккига бўлувчи сиртга ўрта сирт дейилади.

Умумий ҳолда идишга ўқли симметрияга эга бўлган нагрузка (яъни, айланга бўйлаб ўзгармайдиган, фақат меридиан бўйлаб ўзгарадиган нагрузка) таъсир этганида айланма ва меридионал кесимлар билан ажратилган идиш



257-расм.



258-расм.

үрта сиртидаги элемент ўзаро перпендикуляр йуналишларда чўзилади ва эгриланади. Элементнинг томонлама чўзилишига девор қалинлиги σ бўйича нормал кучланишларнинг текис тақсимланиши тўғри келади. Меридионал ва айланма кесимларда элемент эгрилигининг ўзариши оддий балкадагига ўхшаш. Девор қалинлиги чизикли қонунга бўйсунувчи нормал кучланишларни юзага келтиради. Биринчи ҳолда элемент ўқлари бўйлаб нормал кучлар, иккинчи ҳолда эгувчи моментлар таъсир қиласи.

Кўпгина масалаларда нормал кучларнинг миқдори катта бўлганлигидан эглишдан ҳосил бўладиган нормал кучланишларни эътиборга олмаса ҳам бўлади. Бу идиш деворининг шакли ва унга таъсир этувчи нагрузка остида эгувчи момент пайдо бўлмасдан ташки ва ички кучларнинг мувозанати мумкин бўлганда ўринлидир. Масалан, текис тақсимланган нагрузка остида солқиланган ип фақат чўзилишга ишлайди. Лекин худди шундай солқиланган ип тўпланган кучни мувозанатлай олмайди. Бунинг учун кесимида ё эгувчи моментлар пайдо бўлиши, ёки ип ўз шаклини ўзгартириши лозим.

Худди шунга ўхшаш сферик идишнинг юпқа деворлари фақат чўзилишгагина ишлаб, газнинг ички босимини мувозанатлайди, тўпланган куч таъсир қилганида улар интенсив равишда эглишга ишлайди. Эгувчи момент қийматига идиш деворларининг мақкамланиш шарти ва нисбий қалинлиги сезиларли таъсир қиласи (идиш деворининг қалинлиги ортиши билан эгувчи моментларнинг роли ҳам ортади).

Эгувчи моментлар эътиборга олинмайдиган даражада кичик бўлганида идиш деворининг кучланиш ҳолати моментсиз ҳолат деб аталади. Агар идишга кучланиш фақат нормал кучларни ҳисобга олиб топилса, эгувчи моментлар ҳисобга олинмаса, ҳисоблаш моментсиз назария бўйича бажарилади, дейилади. Эгувчи момент ҳисобга олинадиган ҳисоблаш назарияси моментли назария деб аталаади.

Юпқа деворли идишлар қобиқлар деб аталадиган системалар кенг синфининг хусусий ҳолидир, уларнинг ҳисоблаш назарияси (айниқса, моментли назарияси) жуда му-

раккабдир. Бу назария қурилиш механикасининг маҳсус курсларида ўрганилади. Қобиқ қалин бўлганида эгувчи моментларни ҳисобга олиш билан бирга қобиқ қалинлиги бўйича нормал кучланиш тақсимланишининг чизиқли қонунидан воз кечишга тўғри келади. Бу масалани янада мураккаблаштиради, улар қалин деворли қобиқлар назариясида ечилади.

Бу ерда меридионал ва айланма кесимларда пайдо бўладиган кучланишлар статик аниқ бўлган ҳол учун юпқа деворли идишларнинг моментсиз назарияси кўриб чиқилади. Моментли назария элементлари билан цилиндрик қобиқ эгилиши ҳақидаги содда мисолда танишиб ўтамиз.

Идишлар деворидаги кучланишларни моментсиз назария бўйича аниқлаш. Суюқлик оғирлиги ёки газ босими таъсиридаги юпқа деворли, ўққа нисбатан симметрик бўлган идишни кўриб чиқамиз (258-расм). Идиш деворидан иккита меридионал ва иккита айланма кесимлар билан ажратиб олинган чексиз кичик элементнинг мувозанатини текширамиз (259-расм). Идишнинг айланма ёки меридионал кесимлари ўзаро силжишга интилмайди, шунинг учун мазкур кесимларда уринма кучланишлар бўлмайди. Демак, ажратилган элементга фақат бош нормал кучланишларгина таъсир қиласди. Уларни қўйидагича белгилаймиз: σ_m — меридионал кучланиш (у айланма кесимнинг юзачаларига таъсир қиласди); σ , — айланма кучланиш.

Моментсиз назарияга мувофиқ элемент томонларининг юзасига таъсир қиласдиган σ_m ва σ , кучланишлар текис тақсимланган деб ҳисоблаймиз. Бундан ташқари, идишнинг барча ўлчамларини деворининг ўрта сиртидан ҳисоблаймиз.

Идиш ўрта сирти икки хил эгриликка эга бўлган сиртдан иборат. Меридианнинг текширилаётган нуқтадаги эгрилик радиусини ρ_m билан, сиртга ўтказилган нормал ўрта сиртнинг мазкур нуқтасидан $O—O$ ўққача бўлган кесмасига teng бошқа эгрилик радиусини ρ билан белгилаймиз (259-расм).

Элемент томонларига $\sigma_m \delta \cdot dS$, ва $\sigma, \delta \cdot dS_m$ кучлар таъсир қиласди. Ажратилган элементнинг ички сиртига суюқлик босими ρ таъсир қиласди: унинг teng таъсир этувчиси

$pdS_1 dS_m$ га тенг. Айтиб ўтилган кучларни $n-n$ нормалга проекциялаймиз:

$$2\sigma_m \delta \cdot dS_1 \sin \frac{d\alpha_m}{2} + 2\sigma_t \delta \cdot dS_m \sin \frac{d\alpha_t}{2} - p \cdot dS_1 \cdot dS_m = 0$$

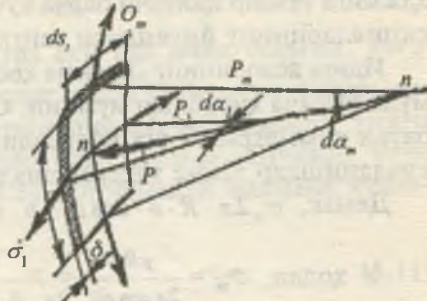
Бу ерда биринчи қүшилувчан элементнинг 259-расмда тасвирланган меридионал текисликдаги проекцияси асосида ёзилган. Иккинчи қүшилувчи аналогия бўйича ёзилган (а) тенгламада бурчак кичик бўлганлигидан синусни унинг аргументи билан алмаштириб ва барча ҳадларни $\sigma dS_1 dS_m$ га булиб қуидагини топамиз:

$$\sigma_m \frac{d\alpha_m}{dS_m} + \sigma_t \frac{d\alpha_t}{dS_t} = \frac{p}{\delta} \quad \text{ёки} \quad \frac{d\alpha_t}{dS_t} = \frac{1}{\rho_t} \quad \text{ва} \quad \frac{d\alpha_m}{dS_m} = \frac{1}{\rho_m}$$

гини ҳисобга олиб, узил-кесил қуидагини оламиз:

$$\frac{\sigma_m}{\rho_m} + \frac{\sigma_t}{\rho_t} = \frac{p}{\delta} \quad (8.8)$$

(8.8) ифода Лаплас тенгламаси дейилади. Уни ўтган асрнинг бошларида суюқлик таъсиридан сиртнинг чўзилишини ўрганишда Лаплас келтириб чиқарган. Бу ерда эътиборни сиртқи чўзилишга ишлаётган суюқликнинг юпқа пардаси билан идиш девори ўртасидаги ўхшашликка жалб қилиш ўринлидир. Аналогия шундан иборатки, парда ҳам, идиш девори ҳам чўзилишга ишлаб, сирти маълум шаклга эга бўлган суюқлик ҳажмини мувозанатда ушлаб туради. Намланмайдиган сиртга тушган суюқлик томчиси сиртқи чўзилиш ҳисобига ёйилиб кетмайди. Шуни айтиб ўтиш керакки, конструкторлар нефть маҳсулотларини сақлаш учун сифим яратишда томчи шаклидан фойдаланганлар; ҳақиқатан ҳам бундай сифимлар бошқаларига нисбатан қатор афзалликларга эга (260-расм).



259-расм

Тенгламада иккита номаълум кучланиш σ_m ва σ , лар бор. Лекин σ_m кучланишни бошқа тенгламадан топса ҳам бўлади, бунда Лаплас тенгламасидан σ , ни топишда фойдаланилади. σ_m ни топиш учун идишнинг қирқиб олинган ҳажмига таъсир қилувчи барча кучларнинг $O-O$ ўқига проекцияларининг йифиндиси тенгламасини тузамиз.

Идиш деворининг айланма кесими юзасини $2\pi R\delta$ формула бўйича ҳисоблаш мумкин. Система $O-O$ ўқига нисбатан симметрияга эга бўлганлигидан бу юза бўйича σ_m кучланишлар текис тақсимланади.

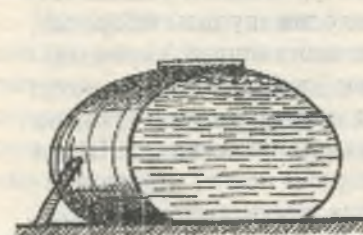
Демак, $\sigma_m 2\pi \cdot R \cdot \delta \cdot \cos \alpha - p \cdot \pi \cdot R^2 - Q = 0$

$$\text{У ҳолда: } \sigma_m = \frac{pR}{2\pi \cos \alpha} + \frac{Q}{2\pi \cdot R \cdot \delta \cdot \cos \alpha} \quad (8.9)$$

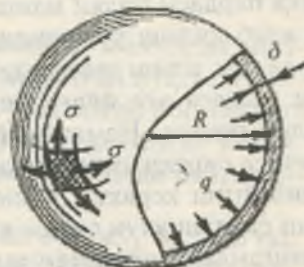
Бу ерда: Q — айланма кесимдан пастда ётувчи идиш бўлагининг ва суюқликнинг оғирлиги; ρ — суюқлик босими бўлиб, Паскал қонуни бўйича барча йўналишларда бир хил ва $\gamma \cdot h$ га тенг; бу ерда h — ўрганилаётган нуқтанинг чуқурлиги, γ — ҳажм бирлигидаги суюқлик оғирлиги. Баъзан суюқлик идишда атмосфера босими q дан ортиқча босим остида сақланади. Бу ҳолда: $p = \gamma \cdot h + q$.

(8.8) тенглама (8.9) формула идиш деворининг ҳар бир нуқтасидаги иккала σ_m ва σ , кучланишларни топиш имконини беради. Конкрет мисолларни кўриб чиқамиз.

Текис тақсимланган ички газ босими таъсир қиладиган сферик идиш (261-расм). Идиш девори ва газнинг ўз оғирлигини ҳисобга олмаймиз. Идишнинг симметрикли-



260-расм.



261-расм.

ги туфайли унинг барча нүқталаридаги σ_m ва σ , кучланишлар бир хил. (8.8) тенгламада $\sigma_i = \sigma_m = \sigma$, $\rho_i = \rho_m = R$, $p = q$ деб қабул қилиб, қуйидагини топамиз:

$$\sigma = \frac{qR}{2\delta} \quad (8.10)$$

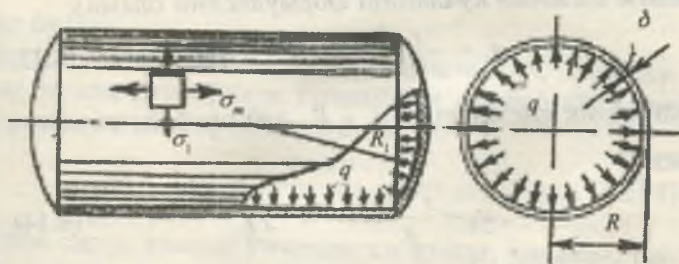
Текис тақсимланган газ ёки буғ ички босими $p = q$ таъсир қиласидиган цилиндрик қозон (262-расм). Қозон цилиндрик қисмининг меридианлари вазифасини унинг ясовчилари ўйнайди, улар учун $\rho_m = \infty$. Шунинг учун $\rho_i = R$, $p = q$ деб олиб, (8.8) тенгламадан айланма кучланишни топамиз:

$$\sigma_i = \frac{qR}{\delta} \quad (8.11)$$

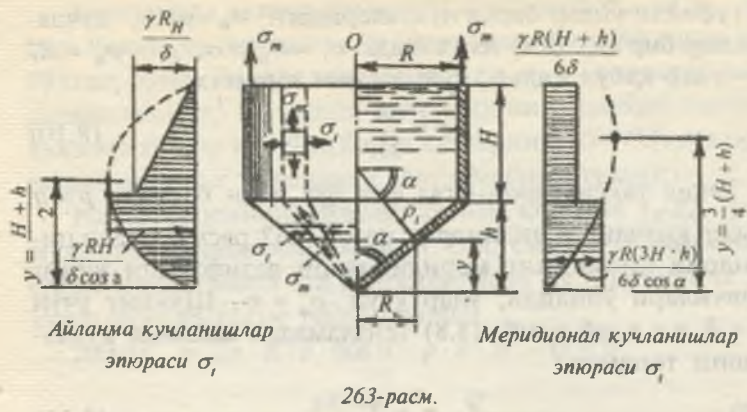
$\cos \alpha = 1$, $Q = 0$ деб олиб, (8.9) формуладан меридионал кучланишни топамиз:

$$\sigma_m = \frac{qR}{2\delta} \quad (8.12)$$

(8.11) ва (8.12) ифодаларни таққослаш қозон деворини айланга бўйича чўзувчи кучланишнинг ясовчиси бўйича таъсир этувчи кучланишдан икки марта катта эканлигини кўрсатади. Радиус сифатида R_i катталикни қабул қилиб, қозоннинг сферик тубидаги кучланишни (8.10) формуладан топиш мумкин.



262-расм.



Суюқлик солинган туби конус күринишидаги цилиндр резервуар (263-расм). Резервуар деворнинг оғирлигини ҳисобга олмаймиз.

Меридианлар (ясовчилар) эгрилигининг радиуси $\rho_m = \infty$. Шунинг учун (8.8) тенгламадан қыйидагини топамиз: $\sigma_r = \frac{p\rho_t}{\delta}$, (б) $H + h - y$ чуқурликдаги босим ρ га тенг бўлади: $\rho = \gamma(H + h - y)$ чуқурлигидаги босим ρ га тенг бўлади: $\rho = \gamma(H + h - y)$ (в). Конуссимон қисми учун қыйидагига эга бўламиз:

$$R_y = \frac{y}{h} R; \quad \rho_t = \frac{R_y}{\cos \alpha} = \frac{yR}{h \cos \alpha} \quad (\text{г})$$

(в) ва (г) ифодаларни (б) формулага қўйиб, конус қисмидаги айланма күчланиш формуласини оламиз:

$$\sigma_r = \frac{\gamma \cdot R}{\delta \cdot h \cos \alpha} (H + h - y) y \quad (8.13)$$

Цилиндрик қисми учун $\rho_t = R$ деб олиб, қыйидагини топамиз:

$$\sigma_r = \frac{\gamma \cdot R}{\delta} (H + h - y) \quad (8.14)$$

σ_r эпюраси 263-расмнинг чап томонида кўрсатилган. Резервуарнинг конус қисми учун бу эпюра параболик

кўринишида. У математик жиҳатдан умумий баландлиги нинг ўртасида, яъни $y = 0,5(H + h)$ бўлганда максимумга эришади. $H > h$ бўлганида у шартли қийматга эга бўлади, $H > h$ да эса у конуссимон қисми чегарасига тўғри келиб,

$$\max \sigma_r = \frac{1}{4} \cdot \frac{\gamma \cdot R(H + h)^2}{\delta \cdot h \cos \alpha} \quad (8.15)$$

га тенг реал қийматга эга бўлади.

Меридионал кучланиш σ_m ларни топишга ўтамиз. Конуссимон қисми учун баландлиги у бўлган конус ҳажмидаги суюқлик оғирлигини топамиз:

$$Q = \gamma \frac{1}{3} y \cdot \pi \cdot R_y^2 = \frac{\gamma}{3} \cdot \frac{\pi \cdot y^2 R^2}{h^3} \quad (d)$$

(в), (г) ва (д) ифодаларни (8.9) формулага қўйиб оламиз:

$$\sigma_m = \frac{\gamma \cdot R}{6\delta \cdot h \cos \alpha} [3(H + h) - 2y] y \quad (8.16)$$

σ_m эпюраси 263-расмнинг ўнг томонида кўрсатилган. Бу эпюра ҳам конуссимон қисми учун параболик кўринишига эга, у $y = 0,5(H + h)$ бўлганда максимумга эришади. У $H \leq \frac{1}{3}h$ бўлгандагина реал қийматга эга бўлиб, конус қисми чегарасига тўғри келади ва

$$\max \sigma_m = \frac{3}{16} \cdot \frac{\gamma \cdot R(H + h)^2}{\delta \cdot h \cos \alpha} \quad (8.17)$$

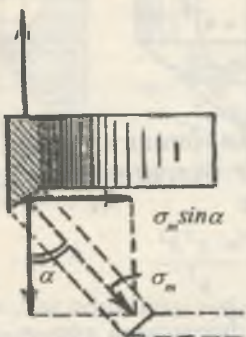
га тенг бўлади.

Идиш цилиндрик қисмдаги кучланиш — σ_m резервурнинг баландлиги бўйича ўзгармайди ва осиб қўйилган юқори қиррасидаги кучланишга тенг:

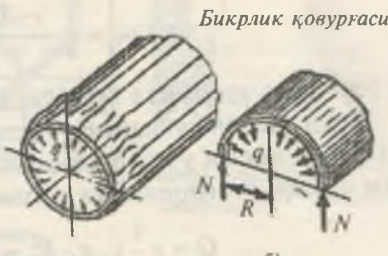
$$\sigma_m = \frac{\gamma \cdot R(H + h)}{6\delta} \quad (8.18)$$

Идиш сирти кескин ўзарарадиган жойда, масалан, цилиндрик қисмининг конуссимон қисми (263-расм) ёки сферик қисми (264-расм) билан туташадиган жойда меридионал кучланишларнинг радиал ташкил этувчиси

$\sigma_m \sin \alpha$ мувозанатлашмаган, бу ҳол 265-расмда күрсатилған. Бу ташкил этувчи ҳалқаның периметри бүйлаб $q = \delta\sigma \sin \alpha$ га тенг радиал юк ҳосил қиласы, у юк цилиндрик қобиқнинг қирраларини ичига әгишга интилади (265-а расм).



264-расм.



265-расм.

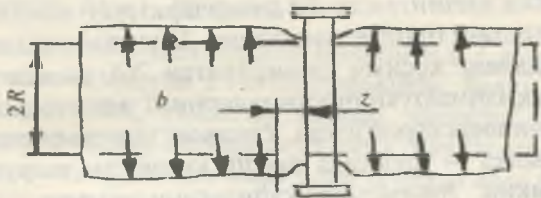
Бундай әгилишга йүл құймаслик учун идиш сирти үзғаридын ерда бурчаклық ёки швеллер күрнишидеги бикрлик қовурғаси қўйилади, у идишни айланаси бўйлаб ўраб олади. Бу қовурға радиал нагрузка q ни 265-б расмда кўрсатилгандек қабул қиласы.

Бикрлик қовурғасини диаметр бўйича қирқиш йўли билан олинган ярим ҳалқанинг мувозанат шартидан қовурғада $N = qR$ сиқувчи куч пайдо бўлишини осонгина исбот қилиш мумкин, бу ҳолда қовурға билан қобиқ бирга ишлаши ҳисобга олинмайди.

Лекин бикрлик қовурғага ёпишиб турган қобиқ ҳалқасининг кенгайишига тўсқинлик қиласы. Натижада қобиқнинг ясовчиси бикрлик ҳалқаси ўкинида эгриланади. Бу ҳодисага чегаравий эфект дейилади. У идиш деворларидаги кучланишларнинг маҳаллий кескин ўсишига олиб келиши мумкин. Чегаравий эфектнинг умумий назарияси қобиқлар ҳисобининг моментли назарияси ёрдамида махсус курсларда ўрганилади. Куйида цилиндрик трубада чегаравий эфектни ҳисобга олишга доир оддий масала кўриб чиқилади.

Цилиндрик қобиқда чегаравий эффект. Цил қобиққа мисол тариқасида 266-расмда ички босим сирида бұлған юпқа деворли узун труба тасвиrlанға бұлаклари үзаро фланецлар ёрдамида бириктирилға нецлар бұлмаганида эди, трубанинг бутун узунлиг ча ички босим q туфайли унинг диаметри бирор қа катталашған бұларди. Фланец шу даражада ϵ унинг диаметри катталашышини ҳисобга олмасда банинг диаметри фланец олдида үзгармайды, деб лаш мүмкін. Лекин фланецдан узоқда труба диамет үзгариши табиийдір.

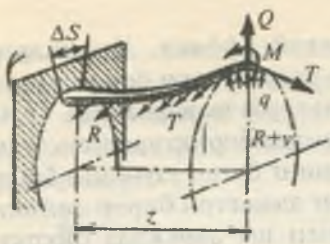
Шунинг учун трубанинг фланец яқинидаги участкаси 266-расмда курсатылғандек эгриланади. нига труба күндаланғ кесим юзларыда бүйлама күч деган тахмин билан труба деворининг эгилишини равий эффектни) текширамиз.



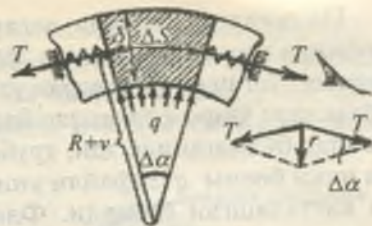
266-расм.

Трубанинг деформациягача бұлған үртаса радиус R , деворининг қалинлигини δ билан белгилаймиз. ма кесимлар билан труба деворидан эни Δs га тенг полоса ажратамиз. 267-расмда шундай полоса таъсир ётган кучлар билан биргаликда тасвиrlанған. Тру формацияланғунга қадар ҳам, деформацияланғандан ҳам айланма жисмдан иборат бұлғанлигидан, барча салар 267-расмдагига үхаш, бир хил шароитда бұл Келгусида $\Delta s = 1$ деб ҳисоблаймиз.

Полосанинг фланецга бириктирилған ерида қис маңкамланған балка деб ҳисоблаб, унинг салқилик радиус орттиrmаларига тенг деб оламиз; радиус оң маларини v билан белгилаймиз. Бу балкага таъсир диган ташқи юк аввало ички босим ҳисобига ҳосил



267-расм.



268-расм.

ди; бу босим полосанинг узунлик бирлигига $\Delta s = 1$ бўлганида $q \cdot 1 \Delta s = q$ юк билан таъсир қиласи. Бундан ташқари, трубанинг бўйлама кесимларига айланма зўрикиш кучлари ҳам таъсир қиласи; бундай кучларнинг полоса узунлик бирлигига таъсир қиласидиган қийматини T билан белгилаймиз. Бу кучларнинг қиймати кўндаланг кесимлар билан ҳосил қилинган труба ҳалқаларининг эластик нисбий чўзилишига пропорционалдир. Шунинг учун полосанинг кўндаланг кесими тасвирланган 268-расмда T кучлар фараз қилинаётган пружиналарнинг эластик реакциялари қўринишида кўрсатилган. Уларнинг тенг таъсир этувчиси — τ ни балка — полосада таъсир қилаётган нагрузка деб қараш мумкин. 268-расмдан қуйидагини топамиз:

$$\tau = 2T \sin \frac{\Delta \alpha}{2} \approx T \frac{\Delta s}{R + v}$$

ёки каср маҳражидаги v қиймати R га нисбатан кичик бўлганлигидан уни инобатга олмасдан, $\Delta s = 1$ деб қабул қиласиз:

$$\tau = \frac{T}{R} \quad (8.19)$$

R радиуснинг нисбий чўзилиши, демак, труба деворининг айланма йўналишдаги нисбий чўзилиши $\varepsilon_1 = \frac{v}{R}$ га тенг бўлади. Унга мос келадиган айланма кучланишлар Гук қонунига кўра $\sigma, = \frac{v}{R} E$ бўлади.

$$\text{Ү ҳолда: } T = \sigma_1 \delta \cdot 1 = \frac{\delta \cdot E}{R} v, \quad \text{демак,} \quad r = \frac{\delta \cdot E}{R^2} v \quad (8.20)$$

Формула r зўриқиши кучини пропорционаллик коэффициенти $k = \frac{\delta \cdot E}{R^2}$ бўлган балка-полосанинг v эгилишларига қаршилик кўрсатувчи эластик асоснинг реакцияси сифатида қарап мумкинлигини кўрсатади.

Шундай қилиб, цилиндрик идишдан ажратиб олинган полоса эгилишининг дифференциал тенгламасини, яхлит эластик асосида ётувчи балка тенгламаси каби ёзиш мумкин:

$$v'' + 4\beta^4 v = \frac{q}{E_1 I} \quad (8.21)$$

Бу ерда: I — полоса кўндаланг кесим юзасининг инерция моменти; $\Delta s = 1$ бўлганда $I = \frac{\delta^3}{12}$.

Полосанинг эгилишга бўлган бикрлиги $E_1 I$ даги E_1 оддий эластиклик модули E ни билдирамайди, балки бошқачароқ маънога эга, чунончи, полоса эгилиши туфайли толалардаги бўйлама деформациялар ε_1 қушни полосалар билан ўзаро таъсирида бўлганлигидан шундай орта борадики, уларга мос келувчи кўндаланг деформациялар ε_2 бўлмайди.

Текис кучланиш ҳолати учун Гук қонунига асосан $\varepsilon_2 = 0$ деб қабул қилиб, кучланиш σ_1 билан чўзиши ε_1 ўртасидаги қуйидаги боғланишни топамиз:

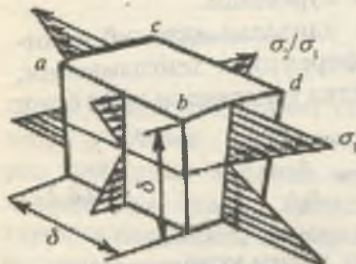
$$\sigma_1 = \frac{\varepsilon_1 E}{1 - \mu^2} = \varepsilon_1 E_1$$

Бу ҳолда $\sigma_2 = \mu \sigma_1$ ва полоса элемент ёқларидағи эгувчи кучланишлар 269-расмда кўрсатилгандек бўлади. Шундай қилиб, бу ҳолда E модули ўрнига $E_1 = \frac{E}{1 - \mu^2}$ модулдан фойдаланиш керак. Айтилганларни ҳисобга олсак, полосанинг эгилишдаги бикрлиги $E_1 I$ қуйидагича:

$$E_1 I = \frac{\delta^3 E}{12(1 - \mu^2)}$$

(8.21) тенгламадаги β коэффициентнинг қиймати k ва E, I лар учун топилган ифодаларни ҳисобга олган ҳолда топилади:

$$\beta = \sqrt[4]{\frac{k}{4E_1I}} = \sqrt[4]{\frac{3(1-\mu^2)}{R^2\delta^2}} \quad (8.22)$$



269-расм.

Энди трубанинг күндаланг кесим юзаларига текис тақсимланган кучланишлар σ_m билан характерланадиган бўйлама зўриқиши кучлари таъсир қиласи, деб тахмин қиласиз. Бунда айланма йўналишдаги нисбий чўзилиш қуидаги тенгликда топилади:

$$\varepsilon_1 = \frac{\nu}{R} = \frac{\sigma_I}{E} - \mu \frac{\sigma_m}{E}$$

Бундан σ , ни, сўнгра T ни топамиз:

$$T = \sigma_I \delta \cdot 1 = \frac{\delta \cdot E}{R} \nu + \mu \cdot \delta \cdot \sigma_m$$

(8.19) формуладан қуидагини топамиз:

$$r = \frac{\sigma \cdot E}{R^2} \nu + \frac{\mu \cdot \delta \cdot \sigma_m}{R}$$

Охирги қўйилувчини полоса-балкага таъсир этувчи текис тақсимланганага нагрузка деб қараш мумкин, уни ташқи нагрузка q та мийус ишора билан кўшиш лозим. Унинг пайдо булиши осонги на шундай тушунтирилади; труба бўйлама йўналишда σ_m кучланиш таъсирида чўзилса, кўндаланг йўналишда торғяди. Кўриниб турибдики, бу манфий босим $\frac{\mu \cdot \delta \cdot \sigma_m}{R}$ қўйилиши билан эквивалентdir. Демак, бўйлама кучланишлар σ_m ни ҳисобга олганда полоса эгилишининг тенгламаси қуидаги кўринишни олади:

$$\nu^{pr} + 4\beta^4 \nu = \frac{1}{E_1 I} \left(q - \frac{\mu \cdot \delta \cdot \sigma_m}{R} \right) \quad (8.23)$$

Шуни қайд қилиш керакки, (8.21) ва (8.23) тенгламалар истаган ўқи симметрияга эга бўлган нагрузка q учун кучга эгадир. $q = const$ ва $\sigma_m = 0$ бўлган масаламизнинг ечимиға қайтамиз. (8.23) тенгламанинг умумий интеграли қўйидаги кўринишда бўлади:

$$\begin{aligned} \nu &= e^{-\beta z} (C_1 \sin \beta \cdot z + C_2 \cos \beta \cdot z) + \\ &+ e^{\beta z} (C_3 \sin \beta \cdot z + C_4 \cos \beta \cdot z) + \frac{q}{4\beta^4 E_1 I} \end{aligned} \quad (8.24)$$

Масаланинг физик маъносига кўра z нинг қиймати ортиши билан ν маълум қийматга интилиши лозим. Лекин (8.24) ечимда $z \rightarrow \infty$ бўлганда $e^{\beta z}$ қиймат ҳам чексизликка интилиши бунга зиддир. Шунинг учун $C_3 = C_4 = 0$ деб оламиз. Қолган иккита ўзгармас C_1 ва C_2 ларни фланецда, яъни $z = 0$ бўлганида $\frac{d\nu}{dz} = 0$ ва $\nu = 0$ бўлиш шартидан топамиз: $C_1 = C_2 = -\frac{q}{4\beta^4 E_1 I} = -\frac{qR^2}{\delta \cdot E}$,

$$\nu = \frac{qR^2}{\delta \cdot E} \left[(1 - e^{-\beta z}) (\sin \beta \cdot z + \cos \beta \cdot z) \right] \quad (8.25)$$

Энди эни $\Delta s = 1$ бўлган полоса учун эгувчи момент M ва кўндаланг куч Q ни топамиз:

$$M = E_1 I \frac{d^2 \nu}{dz^2} = \frac{qR\delta}{2\sqrt{3}(1-\mu^2)} e^{-\beta z} (\cos \beta \cdot z - \sin \beta \cdot z) \quad (8.26)$$

$$Q = \frac{dM}{dz} = -\frac{q\sqrt{R\delta}}{\sqrt{3}(1-\mu^2)} e^{-\beta z} \cos \beta \cdot z \quad (8.27)$$

(8.25) ва (8.26) формуласлар бўйича қурилган ν ва M эпюралари 269-расмда кўрсатилган бўлиб, абсцисса ўқи бўйлаб ўлчовсиз координата $\beta \cdot z$ қўйилган.

v , M , Q ларни солиширсак, улар η_1 , η_2 ва η_3 функциялар орқали ифодаланганлигини куришимиз мумкин. Трубадан ажратиб олинган полоса эгилиши ҳақидаги масалани тұпланған күч таъсир қилувчи эластик асосдаги балка сифатида куришимиз мумкин. Фланецларнинг реакция кучлари тұпланған күч ролини үтайды.

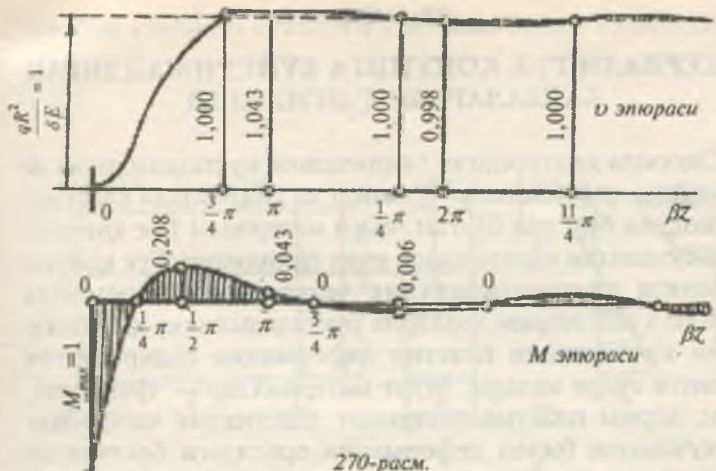
269-расмдаги әпюрадан күриниб турибдики, труба деворлари эгилиш деформациясининг тұлқини фланецдан узоқлашиши билан тез сұнади. Масалан, $\beta \cdot z = \pi$ бүлганида солқилик v нинг қиймати фланец йүқ бүлиб, труба әркин кенгайишидаги радиусининг ортиши $\frac{qR}{\delta \cdot E}$ дан факт 4,3% га фарқ қиласы. Ушбу кесимдеги әгувчи момент ҳам фланецдеги әгувчи моментнинг 4,3% ини ташкил қиласы. $\beta \cdot z = \pi$ қийматга ($\mu = 0,3$ бүлганды) $z = \frac{\pi}{\beta} = \frac{\pi\sqrt{R\delta}}{\sqrt[3]{(1-\mu^2)}} \approx 2,4\sqrt{R\delta}$ мос келади. Масалан, $\delta = 0,1R$ бүлганды $z \approx 0,76R$. Шундай қилиб, чегаравий эффект фланецдан труба радиусига нисбатан кичик масофага тарқалади деб, 5% аниқлик билан ҳисоблаш мумкин. Труба деворининг маҳаллий кескин эгилишига чегаравий эффект дейилади.

Чегаравий эффект туфайли максимал кучланиш жуда катта қийматларга эришиши мумкин. Масалан, бизнинг мисолимизда $z = 0$ бүлганида:

$$M_{\max} = \frac{qR\delta}{2\sqrt{3}(1-\mu^2)}; \sigma_{\max} = \frac{6M_{\max}}{\delta^2} = \frac{3qR}{\delta^3(1-\mu^2)} \approx 1,82 \frac{qR}{\delta} \text{ га эга}$$

бүламиз. Бу ($\mu = 0,3$ бүлганды) моментсиз назариядаги (8.11) формула бүйіча топиладиган максимал кучланишдан 1.82 марта каттадыр.

Агар қобиқнинг материали пластик материалдан, масалан, пластик пұлатдан иборат бүлса, чегаравий эффект туфайли кучланишларнинг ортиши идишнинг умумий мустаҳкамлигини камайтиrmайды, фақат маҳаллий пластик деформациялар пайдо бўлишига олиб келади.



270-расм.

Мұрт материаллар, масалан, темир-бетон резервуарлар учун чегаравий эффектдан ҳосил бүладиган кучланишлар анча хавфли бўлади. Бу кучланишлар резервуарда дарз пайдо бўлишига олиб келади, бу эса унинг герметиклигиги бузади. Бундай ҳолларда чегаравий эффект кучланишларига қарши турли конструктив чоралар воситасида курашилади. Улардан бири темир-бетон резервуар деворларида олдиндан кучланиш пайдо қилишdir. Баъзан резервуар девори билан туби шундай конструкция ёрдамида туташтириладики, деворлар қисман ёки бутунлай эркин кенгайишига йўл қўйилади. Бу чегаравий эффект кучланишини кескин камайтиради ёки бутунлай барта-раф қиласи.

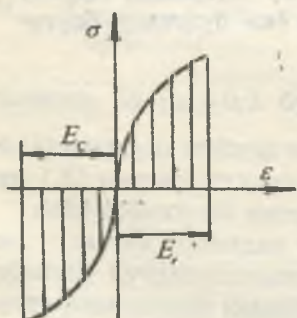
IX БОБ

МАТЕРИАЛИ ГУК ҚОНУНИГА БҮЙСУНМАЙДИГАН БАЛКАЛАРНИНГ ЭГИЛИШИ

Юқорида келтирилган эгилишдаги мустаҳкамликка ва бикрликка ҳисоблашлар чўзилиш ва сиқилишда эластиклик модули бир хил бўлган, яъни материали Гук қонунига бўйсунадиган материаллар учун ўринлидир. Гук қонуни кучланиш пропорционаллик чегарасидан ошмаганда аҳамиятга эга. Айрим ҳолларда мустаҳкамликка ҳисоблаш юқори кучланишли пластик деформация содир бўлган шароитга тўғри келади. Мурт материаллар — чўян, тош, бетон, айрим пластмассаларнинг эластиклик чегарасида ҳам кучланиш билан деформация орасидаги боғланиши тўғри чизиқли эмас, айрим материалларни чўзилиш ва сиқилишдаги эластиклик модуллари бир хил эмас. Шунинг учун материали Гук қонунига бўйсунмайдиган балкаларни эгилишда мустаҳкамликка ҳисоблаш аҳамиятга эга.

Юкланиш даврида материали Гук қонунига бўйсунмайдиган кўндаланг кесим юзаси тўғри тўртбурчакли балканинг эгилишдаги нормал кучланишини аниқлаймиз.

Балка соф эгилишда бўлсин. Агар, куч йўналишида толалар ўзаро бир-бирига босим таъсирини ўтказмаса, балканинг материали оддий чўзилиш ва сиқилишда бўлади. (271-расм). ϵ_u бўйлама узайиш — ϵ_c бўйлама қисқариш



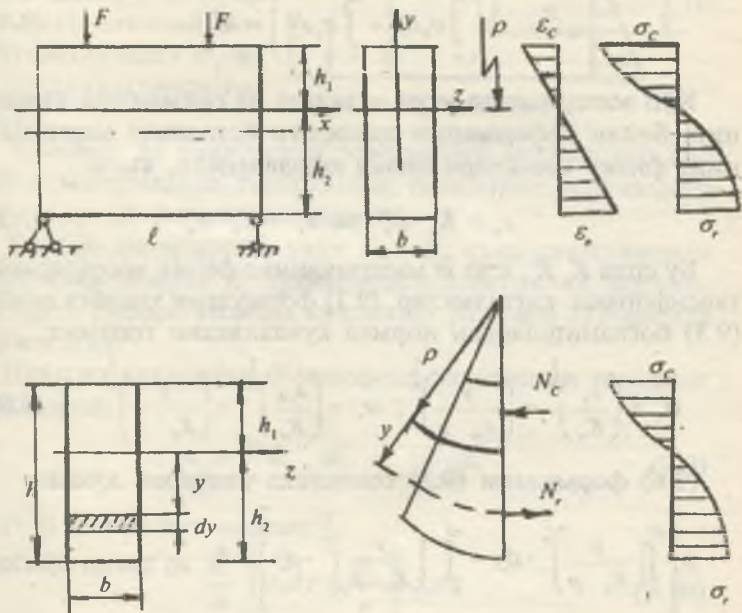
271-расм.

диаграммага асосан, чўзилишда кучланишнинг ўсиши деформациянинг ўсишидан кам экан. Бу ерда: $\epsilon_u > \epsilon_c$.

Бу ҳолат эгилишда балка кесимининг нейтрал қатлами балканинг эгрилик маркази томон силжитади. Агар балканинг эгрилик радиусини ρ ҳарфи билан белгиласак, нейтрал қатламдан у масофада жойлашган қатламнинг

нисбий узайиши қуйидаги тенглама билан топилади:

$$\varepsilon = \frac{y}{\rho} \quad (9.1)$$



272-расм.

Нисбий деформация ва нормал құчланишни анықлаш үчүн нейтрал үқнинг эгрилик радиуси ρ ни топиш ва аналитик усулда күчланиш билан деформация орасидаги бөлланишни ҳосил қилиш керак (272-расм).

Жуфт күч таъсирида эгилаёттан балканинг ихтиёрий кесимидағы ички N_4 чўзуви ва сиқувчи N_c күчлари ҳам жуфт күчни ҳосил қиласы. Унда N_4 ва N_c күчларни X үқига проекциялари ҳам нолга тенг ва уларнинг нейтрал үқ Z га нисбатан моменти эгувчи моментга тенг:

$$\sum x = \int_A \sigma \cdot dA = 0 \quad \text{ва} \quad \sum M_z = \int_A \sigma \cdot y \cdot dA - M = 0 \quad (9.2)$$

Бу ерда:

$$dA = b \cdot dy. \quad \text{У ҳолда} \quad b \left(\int_0^{h_1} \sigma_q dy - \int_0^{h_2} \sigma_c dy \right) = 0 \quad (9.3)$$

$$b \left(\int_0^{h_1} \sigma_q dy + \int_0^{h_2} \sigma_c dy \right) = M \quad (9.4)$$

Кўп материаллар учун чўзилиш ва сиқилишда кучланиш билан деформация орасидаги боғланиш материалнинг физик хоссалари билан ифодаланади, яъни:

$$\varepsilon_q = K_q \cdot \sigma_q^n \quad \text{ва} \quad \varepsilon_c = K_c \cdot \sigma_c^m \quad (9.5)$$

Бу ерда K_q , K_c , n ва m материалнинг физик хоссаларини тавсифловчи катталиклар. (9.1) формулани ҳисобга олиб, (9.5) боғланишлардан нормал кучланишни топамиз:

$$\sigma_q = \left(\frac{\varepsilon_q}{K_q} \right)^{\frac{1}{n}} = \left(\frac{y}{K_q \cdot \rho} \right)^{\frac{1}{n}}; \quad \sigma_c = \left(\frac{\varepsilon_c}{K_c} \right)^{\frac{1}{m}} = \left(\frac{y}{K_c \cdot \rho} \right)^{\frac{1}{m}} \quad (9.6)$$

(9.6) формулани (9.3) тенгликка келтириб қўямиз:

$$b \left[\int_0^{h_1} \left(\frac{y}{K_q \cdot \rho} \right)^{\frac{1}{n}} \cdot dy - \int_0^{h_2} \left(\frac{y}{K_c \cdot \rho} \right)^{\frac{1}{m}} \cdot dy \right] = 0 \quad \text{ва ҳосил бўлган}$$

тенгликни интегралласак,

$$\frac{n}{n+1} \left(\frac{h_1}{K_q \cdot \rho} \right)^{\frac{1}{n}} h_1 - \frac{m}{m+1} \left(\frac{h_2}{K_c \cdot \rho} \right)^{\frac{1}{m}} \cdot h_2 = 0 \quad (9.7)$$

ҳосил бўлади. (9.6) формулани (9.4) тенгликка келтириб

$$\text{қўйсак, } b \left[\int_0^{h_1} \left(\frac{y}{K_q \cdot \rho} \right)^{\frac{1}{n}} y dy + \int_0^{h_2} \left(\frac{y}{K_c \cdot \rho} \right)^{\frac{1}{m}} y dy \right] = M \quad \text{ва интег-}$$

ралласак, қўйидаги натижани ҳосил қиласиз:

$$\frac{n}{2n+1} b \left(\frac{h_1}{K_q \cdot \rho} \right)^{\frac{1}{n}} \cdot h_1^2 + \frac{m}{2m+1} b \left(\frac{h_2}{K_c \cdot \rho} \right)^{\frac{1}{m}} \cdot h_2^2 = M \quad (9.8)$$

Агар, $h_1 + h_2 = h$ эканлигини ҳисобга олсак, (9.7) ва (9.8) формулалардан эгрилик радиуси ρ ва h_1 ва h_2 ларни аниқлаймиз. (9.6) формуладан σ_u ва σ_c кучланишларни топамиз.

Чўзилиш ва сиқилишда эластиклик модули ҳар хил бўлган материалдан тайёрланган балканинг эгилишдаги нормал кучланишини аниқлаймиз.

Бундай материаллар учун $E_u > E_c$, яъни сиқилишдаги эластиклик модули E_u чўзилишдаги эластиклик модулидан катта бўлади. Нормал кучланиш эпюраси 273-расмда кўрсатилган.

Нейтрал қатламдан Y масофада жойлашган толанинг кучланиши:

$$\sigma_u = \frac{y}{\rho} E_u \quad \text{ва} \quad \sigma_c = \frac{y}{\rho} E_c \quad (9.9)$$

(9.3) формулага асосан:

$$\frac{E_u}{\rho} \int_{0}^{h_1} \sigma_u dy = \frac{E_c}{\rho} \int_{0}^{h_2} \sigma_c dy \quad (9.10)$$

Ёки:

$$\frac{E_u}{\rho} \int_{0}^{h_1} y dy = \frac{E_c}{\rho} \int_{0}^{h_2} y dy \quad (9.11)$$

(9.11) ни интеграллаб ва $\frac{1}{2\rho}$ га қисқартириб,

$$E_u h_1^2 = E_c h_2^2 \quad (9.12)$$

ҳосил қиласиз, бу ерда $\frac{h_1^2}{h_2^2} = \frac{E_c}{E_u}$ ни ҳисобга олсак, $h_1 + h_2 = h$ ва

$$h_1 = \frac{h \sqrt{E_u}}{\sqrt{E_u} + \sqrt{E_c}} \quad \text{ва} \quad h_2 = \frac{h \sqrt{E_c}}{\sqrt{E_u} + \sqrt{E_c}} \quad (9.13)$$

нейтрал қатламнинг ҳолатини аниқлаймиз. Чўзилиш ва сиқилиш зонасининг чекка толалардаги тенг таъсир қилувчи бўйлама кучни топамиз. Бунинг учун чўзилаётган ва сиқилаётган толалардаги тенг таъсир қилувчи бўйлама кучни топамиз. Чўзувчи N_q ва сиқувчи N_c кучларни кучланиш эпюрасидан аниқлаймиз:

$$N_q = \frac{\sigma_q b h_1}{2}; \quad N_c = \frac{\sigma_c b h_2}{2} \quad (9.14)$$

$\frac{1}{3} h_1$ ва $\frac{1}{3} h_2$ кучлар балканинг нейтрал қатламдан $\frac{1}{3} h_1$ ва масофада жойлашади. Кўндаланг кесим юзада ички кучлар жуфт кучга келтирилгани учун $N_q = N_c$.

Кучлар орасидаги масофа $\frac{1}{3} h$, унда жуфт куч моменти:

$$M = N_q \frac{2}{3} h \quad \text{ва} \quad M = N_c \frac{2}{3} h$$

(9.13) ва (9.14) боғланишларни ҳисобга олсак,

$$M = \frac{\sigma_q \cdot b \cdot h_1 \cdot h}{3} = \frac{\sigma_q b h^2}{3} \cdot \frac{\sqrt{E_q}}{\sqrt{E_q} + \sqrt{E_c}} \quad (9.15)$$

$$M = \frac{\sigma_c \cdot b \cdot h_2 \cdot h}{3} = \frac{\sigma_c b h^2}{3} \cdot \frac{\sqrt{E_c}}{\sqrt{E_q} + \sqrt{E_c}} \quad (9.16)$$

Бу ерда: $\sigma_q = \frac{3M}{bh^2} \left(1 + \frac{\sqrt{E_q}}{\sqrt{E_c}} \right)$ (9.17);

$$\sigma_c = \frac{3M}{bh^2} \left(1 + \frac{\sqrt{E_c}}{\sqrt{E_q}} \right) \quad (9.18)$$

Агар E_q ва E_c эластиклик модуллари берилган бўлса, (9.17), (9.18) формуласардан энг катта чўзувчи ва сиқувчи кучланишлар топилади. (9.17) ва (9.18) формуласар-

$\frac{\sqrt{E_q}}{\sqrt{E_c}} = \frac{h}{h_l} = \frac{\rho}{\frac{h_l}{\rho}} = \frac{\varepsilon_c}{\varepsilon_q}$ НИ ҲИССЕБГА ОЛСАК,

$$\sigma_v = \frac{3m}{bh^2} \left(1 + \frac{\varepsilon_c}{\varepsilon_q} \right) \quad (9.19)$$

$$\sigma_c = \frac{3m}{bh^2} \left(1 + \frac{\varepsilon_v}{\varepsilon_c} \right) \quad (9.20)$$

Балка чекка толаларининг нисбий деформациялари тензометр билан аниқланса, (9.19) ва (9.20) формулалар уринли.

Демак, валнинг кесимда буралишдаги буровчи момент; эгилишдаги эгувчи момент ва кўндаланг куч ҳосил бўлади.

Буровчи момент таъсирида валнинг кўндаланг кесимда буралишидаги уринма кучланиши ҳосил бўлади:

$$\tau_b = \frac{M_b}{W_p} \quad (10.1)$$

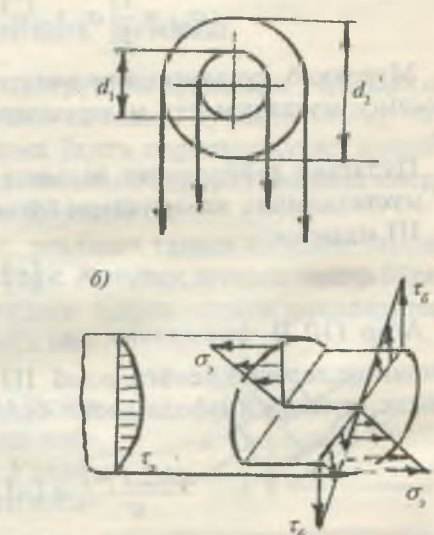
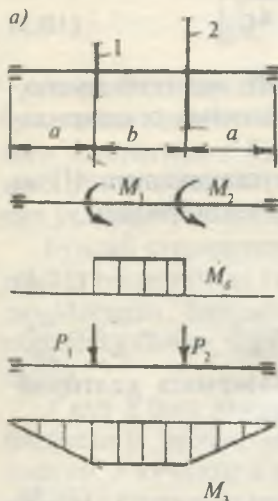
Уринма кучланиш вал кесимининг четки нуқталарида энг катта қийматга эришади (274-а расм).

Кўндаланг куч Q таъсиридаги уринма кучланиш буровчи моментдан ҳосил бўлган уринма кучланишга нисбатан кичикдир.

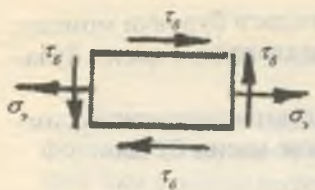
Бу кучланиш вал кесимининг марказида энг катта қийматга эришади. Лекин вални ҳисоблашда бу кучланишнинг таъсири сезиларли эмас.

Эгувчи момент таъсирида валнинг кўндаланг кесимда эгилишида нормал кучланиш ҳосил бўлади (274-б расм):

$$\sigma_s = \frac{M_x}{W_x} \quad (10.2)$$



274-расм.



275-расм.

Нормал күчланиш вал кесимининг четки нүқталарида энг катта қийматга эришади ва кесим марказида нолга тенг (274-б расм).

Демак, вал кесимининг четки нүқтасида $\tau_b = \tau_{b\max}$ ва $\tau_s = \tau_{s\max}$ бўлиб, бу нүқта атрофига ажратилган элементар юза хавфли ҳолатда ва мураккаб кучланганлик ҳолатида экан.

Ажратилган элементнинг олд қисми ва унга параллел бўлган орқа томони ҳар қандай күчланишлар таъсиридан озод. Шунинг учун бу юза бош юза (275-расм) экан ва бу юзадаги бош нормал күчланиш нолга тенг.

Учта бош күчланишлардан биттаси нолга тенг бўлган ҳолатдаги элементнинг кучланганлик ҳолати текис кучланганлик ҳолатидир. Текис кучланганлик ҳолатидаги элементнинг мустаҳкамлиги элементнинг бошқа юзаларидағи бош күчланишларига боғлиқдир.

Бош күчланишлар қуйидаги формула билан топилади:

$$\sigma_{1,3} = \frac{1}{2} \left[\sigma_s \pm \sqrt{\sigma_s^2 + 4\tau_b^2} \right] \quad (10.3)$$

Мураккаб кучланганлик ҳолатидаги валнинг мустаҳкамлиги мустаҳкамлик назариялари асосида текширилади.

Пўлатдан тайёрланган валнинг мустаҳкамлиги III ва IV мустаҳкамлик назариялари бўйича текширилади.

III назария:

$$\sigma_1 - \sigma_3 \leq [\sigma] \quad (10.4)$$

Агар (10.3) формулани ва $\sigma_s = \frac{M_s}{W}$, $\tau_b = \frac{M_b}{W_p} = \frac{M_b}{2W}$ күчланишларни ҳисобга олиб III назарияга келтириб қўйсак, қуйидаги ифода ҳосил бўлади:

$$\frac{\sqrt{M_s^2 + M_b^2}}{W} \leq [\sigma] \quad (10.5)$$

Бу ерда $\sqrt{M_3^2 + M_6^2} = M$ келтирилган момент деб қабул қиласиз.

Вални мустаҳкамлик шарти: $\frac{M_{\text{кел}}}{W} \leq [\sigma]$

Вал кесимнинг ўлчамлари қуидагича топилади:

$$W = \frac{M_{\text{кел}}}{[\sigma]}$$

Агар $W = \frac{\pi \cdot d^3}{32}$ бўлса, валнинг диаметри:

$$d = \sqrt{\frac{32 M_{\text{кел}}}{\pi \cdot [\sigma]}} \quad (10.6)$$

IV назария: $\sqrt{\sigma_s^2 + 3\tau_b^2} \leq [\sigma]$, σ_s , τ_b ларнинг ифодаларини ҳисобга олсак,

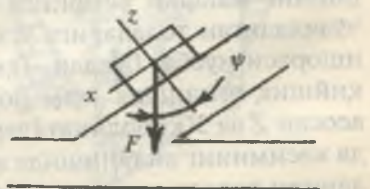
$$\frac{\sqrt{M_3^2 + 0,75M_6^2}}{W} \leq [\sigma] \quad \text{ва} \quad W = \frac{\sqrt{M_3^2 + 0,75M_6^2}}{W} = \frac{M_{\text{кел}}}{[\sigma]} \quad (10.7)$$

10.2. ҚИЙШИҚ ЭГИЛИШ

Амалиётда шундай конструкция қисмлари учрайдики, бу ҳолатда элементга қўйилган ташқи кучнинг таъсир чизиги элементнинг бўйлама ўқига перпендикуляр жойлашиб, унинг кўндаланг кесимининг бирорта ҳам бош инерция ўқлари текислигидан ўтмайди.

Бундай стерженнинг эгилиши ташқи кучнинг таъсир қилиш текислигига ётмайди. Қийшиқ эгилиш содир бўлади. Масалан, бино томидаги тунука остига қоқиладиган тахталар қийшиқ эгилишга ишлайди.

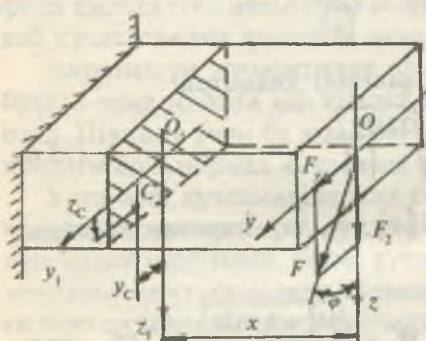
F куч Z бош инерция ўқига нисбатан ϕ бурчак остида жойлашган. F кучнинг Z ва Y ўқларидаги ажратувчиларини топамиз (276 - расм):



$$F_z = F \cos \varphi \quad \text{ва} \quad F_y = F \cdot \sin \varphi$$

Ихтиёрий X масофада жойлашган бош инерция ўқлари (Z_1 ва Y_1) га нисбатан F_z ва F_y кучларининг эгувчи моментлари қўйидагича ёзилади:

$$\begin{aligned} M_{y1} &= -F_z \cdot X = -F \cdot X \cos \varphi \\ M_{z1} &= -F_y \cdot X = -F \cdot X \sin \varphi \end{aligned} \quad (10.6)$$



276-расм.

Ихтиёрий C нуқтаси кучланишининг формуласини ёзамиш:

$$\sigma_c = -\frac{M_y \cdot Z_c}{I_y} - \frac{M_z \cdot Y_c}{I_z} = -M \left(\frac{\cos \varphi \cdot Z_c}{I_y} + \frac{\sin \varphi \cdot Y_c}{I_z} \right)$$

Бу ерда: I_y ва I_z стержень кесимининг Y ва Z ўқларига нисбатан инерция моменти.

Z ва Y стержень кесимидан ажратилган C нуқтанинг координаталари. C нуқта стерженнинг сиқиладиган толалари томонида жойлашганлиги учун σ_c нормал кучланишининг ишораси манфий. Агар, C нуқтани координата ўқларининг манфий томонига ёки стержень материалининг чўзиладиган толаларига ўтказсан, нормал кучланишнинг ишораси мусбат бўлади. Текис кўндаланг эгилишдагидек, қийшиқ эгилишда ҳам нормал кучланишнинг қиймати асосан Z ва Y координаталарига боғлиқ. Қийшиқ эгилишда кесимнинг айланишида нейтрал ўқдан энг узоқда жойлашган толаси энг катта деформацияга учрайди. Шунинг

Агар $M = F_x$ деб қабул қиласак, $M_y = M \cos \varphi$ ва $M_z = M \sin \varphi$ ҳосил бўлади. Демак, стерженнинг кўндаланг кесимида иккита эгувчи момент пайдо бўлар экан ва бу моментлар стерженни иккита бош инерция текисликларида эгади.

Стреженнинг кесим юзасидан танланган

учун қийшиқ әгилишда хавфли ҳолатдаги нүктаны аниклаш учун аввало стерженнинг кесимида нейтрал ўқнинг ҳолати ва ундан энг узоқда жойлашган нүқта топилади. Текис күндаланг әгилишдан маълумки, нормал кучланиш нейтрал қатламда нолга тенг, яъни:

$$O = -M \left(\frac{\cos\varphi \cdot Z_o}{I_y} + \frac{\sin\varphi \cdot Y_o}{I_z} \right) \text{ ёки}$$

$$\frac{\cos\varphi \cdot Z_o}{I_y} + \frac{\sin\varphi \cdot Y_o}{I_z} = 0 \quad (10.9)$$

Бу ерда: Z_o ва Y_o нормал кучланиши нолга тенг бўлган ҳолатга тўғри келувчи нүктанинг координаталари. (10.9) формулага асосан нейтрал ўқ координата бошидан утувчи тўғри чизиқдир. Нейтрал ўқ Y ўқига α бурчак остида жойлашган (277-расм).

(10.9)формуладан

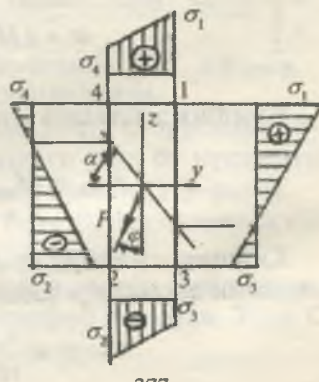
$$\left[\frac{Z_o}{Y_o} \right] = \operatorname{tg} \alpha \quad (10.10)$$

ҳосил қиласиз. 277-расмдан қўринишича, $\left[\frac{Z_o}{Y_o} \right] = \operatorname{tg} \alpha$, у ҳолда (10.10) формулани қўйидагича ёзамиш:

$$\operatorname{tg} \alpha = \operatorname{tg} \varphi \frac{I_y}{I_z} \quad (10.11)$$

ёки $\operatorname{tg} \varphi = \operatorname{tg} \alpha \cdot \frac{I_z}{I_y}$ (10.11) формуладан қийшиқ әгилишда кесим нейтрал ўқининг ҳолати ташқи кучнинг қийматига эмас, балки кучнинг Z ўқига оғишган бурчаги φ га ва кесимнинг шаклига боғлиқ экан.

Масалан, инерция моментлари иккала ўқга нисбатан бир-бирига тенг бўлган доира-вий, квадрат — кесимларда



277-расм.

нейтрал ўқ ташқи кучнинг таъсир чизигига перпендикуляр жойлашади, яъни $\operatorname{tg}\alpha = \operatorname{tg}\varphi$ қолган барча кесимларда нейтрал ўқ куч чизигига перпендикуляр бўлмайди. Томонлари h ва b бўлган тўғри тўртбурчак кесим учун кучнинг таъсир чизиги кесимнинг диагонали бўйича жойлашса, нейтрал ўқ кесимнинг иккинчи диагоналидан ўтади.

$$\operatorname{tg}\varphi = \frac{bh^3 \cdot 12}{b^3 h \cdot 12} \cdot \frac{b}{h} = \frac{h}{b}$$

Шундай қилиб, қийшиқ эгилишда нормал кучланиш қўйидаги формула билан топилади:

$$\sigma = \pm M \left(\frac{\cos \varphi \cdot z}{I_y} + \frac{\sin \varphi \cdot y}{I_z} \right) \quad (10.13)$$

Кесимнинг нейтрал ўқда жойлашган I ва II нуқталарида кучланиш максимал қийматга, нейтрал ўқ устидаги барча нуқталарида нолга teng ва нейтрал ўқка яқин жойлашган нуқталарда (3 ва 4) минимал бўлади. Кесимнинг турли нуқталари учун топилган кучланишларнинг қийматлари ёрдамида қийшиқ эгилишдаги кучланиш эпюрасини куриш мумкин. (10.13) формулада купинча $\frac{y}{z_{\max}} = W_y$, $\frac{z}{y_{\max}} = W_z$ ифода билан алмаштирилади ва қўйидаги формула ҳосил бўлади:

$$\sigma = \pm M \left(\frac{\cos \varphi}{W_y} + \frac{\sin \varphi}{W_z} \right) \quad (10.14)$$

Қийшиқ эгилишда мустаҳкамлик шарти:

$$\sigma_{\max} = M_{\max} \left(\frac{\cos \varphi}{W_y} + \frac{\sin \varphi}{W_z} \right) \leq [\sigma] \quad (10.15)$$

Қийшиқ эгилишда кўчишни аниқлаш. Кучларнинг мустақиллик аломатига асосан:

$$f_z = \frac{F_z \ell^3}{3EI_y} \quad \text{ва} \quad f_y = \frac{F_y \ell^3}{3EI_z} \quad (10.16)$$

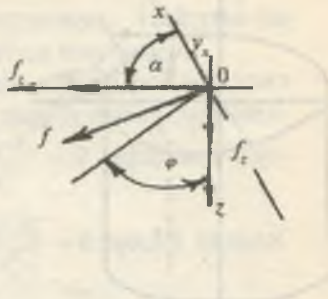
Унда тұлиқ күчиш:

$$f = \sqrt{f_x^2 + f_y^2} = \frac{F\ell^3}{3E} \sqrt{\frac{\cos^2 \varphi}{I_y^2} + \frac{\sin^2 \varphi}{I_z^2}}$$

Юқоридаги формулалардан күринардың, стерженниң әгилиши унинг бикрлигига боғлиқ.

$$\frac{f_y}{f_z} = \operatorname{tg} \alpha = \operatorname{tg} \cdot \varphi \cdot \frac{I_y}{I_z} \quad \text{ва}$$

$$f = \frac{f_y}{\sin \alpha} = \frac{f_z}{\sin \alpha} \quad \text{ни ҳосил қила-}$$



миз. Агар $\alpha = \varphi$ бўлса, стержен-
нинг әгилиши нейтрал ўққа перпендикуляр текислиғ 3
садир бўлади.

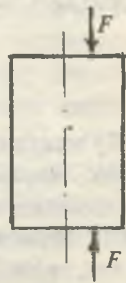
10.3. МАРКАЗЛАШМАГАН СИҚИЛИШ (ЧЎЗИЛИШ)

Марказлашмаган сиқилиш (278-расм) қурилишда бино устунларини ҳисоблашда кўп учрайди. XOY ўқларига нисбатан X_F ва Y_F ма-софаларда жойлашган F куч таъсиридаги бруснинг марказлашмаган сиқилишини куриб чиқайлик. F куч таъсирида бруснинг исталган кесимида $N = -F$ сиқувчи бўйлама куч ва $M_x = -FY$ ва $M_y = -FX$ эгувчи моментлари ҳосил бўлади.

Брус M_y эгувчи моменти таъсирида OY нейтрал ўқи атрофида OX текислигига эгилади. Кесимдан ажратилган ихтиёрий нуқта С бруснинг сиқиладиган толаларида жойлашганлиги учун бу нуқтадаги нормал кучланиш манфий ишорали бўлади (279-расм).

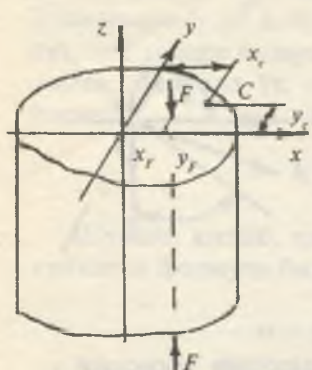
$M = FY$ моменти таъсиридан брус OY текислигига OX нейтрал ўқи атрофида эгилади (279-расм).

С нуқта бруснинг сиқиладиган толаларида жойлашган. Шунинг учун нормал кучланиш манфий ишорали. Унда С нуқтадаги кучланиш қуйидагича топилади:



278-расм.

$$\sigma_c = -\frac{F}{A} - \frac{FY_F \cdot Y_c}{I_x} - \frac{FX_F \cdot X_c}{I_y} = -F \left(\frac{1}{A} + \frac{Y_F Y_c}{I_x} + \frac{X_F X_c}{I_y} \right) \quad (10.17)$$



279-расм.

Агар $\frac{I_x}{A} = i_x^2$ ва $\frac{I_y}{A} = i_y^2$ брус кесимининг X ва Y ўқларига нисбатан инерция радиусларини ҳисобга олсак:

$$\sigma_c = -\frac{F}{A} \left(1 + \frac{Y_F Y_c}{i_x^2} + \frac{X_F X_c}{i_y^2} \right) \quad (10.18)$$

(10.18) формуладан кўринишича, сиқилган брус исталган нуқтасининг кучланишини топиш мумкин. Бунинг учун нуқтанинг координаталари X ва Y ишораларини ҳисобга олиш керак.

Масалан, координаталари X_B ва Y_B бўлган кесимдан ихтиёрий танланган В нуқтадаги кучланишнинг ишораси мусбатдир, чунки:

$$\sigma_B = -\frac{F}{A} \left(1 - \frac{Y_F Y_B}{i_x^2} - \frac{X_F X_B}{i_y^2} \right) \quad (10.19)$$

Бу нуқта бруснинг чўзиладиган толаларида жойлашган. Демак, марказлашмаган сиқилишда ҳам оддий кўндаланг ёки қийшиқ эгилишдаги каби нормал кучланиш нуқтанинг қайси чорагида ёки қайси толаларида жойлашганлигига боғлиқ экан. Марказлашмаган сиқилишда бруснинг хавфли ҳолатидаги материални аниқлаш учун, аввало, брус кесимининг нейтрал ўқининг ҳолати ва ундан энг узоқда жойлашган нуқтасини топамиз. Кўндаланг эгилишдан маълумки, нейтрал ўқда нормал кучланиш нолга teng, яъни:

$$\sigma = -\frac{F}{A} \left(1 + \frac{X_F X_o}{i_y^2} + \frac{Y_F \cdot Y_o}{i_x^2} \right) = 0$$

Бу ерда X_o ва Y_o — нейтрал ўқ устида жойлашган нуқтанинг координаталари. $\frac{F}{A} \neq 0$ бўлмаганлиги учун:

$$1 + \frac{X_F X_o}{i_y^2} + \frac{Y_F \cdot Y_o}{i_x^2} = 0 \quad (10.19)$$

ҳосил бұлади

(10.19) тенглама нейтрал үқ тенгламаси. Нейтрал үқ координата бошидан үтмайдыган тұғри чизиқдір.

Бу тенгламадан XOY координата бошидан нейтрал үққача бұлган масофалар — X_o ва Y_o ларни топиш мүмкін.

$Y_o = 0$ бўлса, (10.19) дан $1 + \frac{X_F X_o}{i_y^2} = 0$ ифодани оламиз.

Шунингдек, $X_o = 0$ бўлса, $1 + \frac{Y_F \cdot Y_o}{i_x^2} = 0$ ҳосил бұлади. Бу тенгламаларни ечиб,

$$X_o = -\frac{i_y^2}{X_F} \text{ ва } Y_o = -\frac{i_x^2}{Y_F} \quad (10.20)$$

нейтрал үқ координата үқларининг кесишидан ҳосил бўлган кесмаларни топамиз.

Демак, нейтрал үқ X ва Y үқларини X_o ва Y_o масофалардан кесиб үтар экан (280-расм). Нейтрал үқ кесим юзасини икки қисмга, чўзиладиган ва сиқиладиган толаларга ажратади. Агар кесимнинг контурига нейтрал үққа паралел қилиб уринмалар үтказсак, брус кесимининг нейтрал үқдан энг узоқда жойлашган нуқталарини (ДК) аниқлаймиз. Кесимдаги энг катта чўзувчи ва сиқувчи нормал кучланишлар D ва K нуқталарда ҳосил бўлади (280-расм). D нуқта бруснинг чўзилган толасида жойлашганлиги учун нормал кучланиш мусбат, K нуқтада эса манфий:

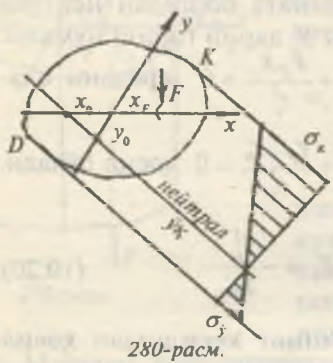
$$\sigma_{D,K} = \pm \frac{F}{A} \left(1 \pm \frac{X_F \cdot X_{D,K}}{i_y^2} \pm \frac{Y_F \cdot Y_{D,K}}{i_x^2} \right) \quad (10.21)$$

Нормал кучланиш кесим юзасида тұғри чизиқли қонуният билан ўзгаради ва кесимнинг контурида энг катта қийматга эришади.

Кесим юзаси тұғри тұртбурчакдан иборат бўлган бруснинг марказлашмаган сиқилишида, кесимнинг нейтрал үқини турли ҳолларда ўзgartириб кўрамиз (282-расм).

Күч OY ўқи бўйлаб ($X_A = e$; $Y_F = 0$) йўналган (10.18) формуладан қуидагини топамиз:

$$\sigma = -\frac{F}{A} \pm \frac{M_y}{W_y} = -\frac{F}{A} \pm \frac{Fe}{\frac{hb^2}{6}} = -\frac{F}{A} \left(1 + \frac{6e}{b} \right) \quad (10.22)$$

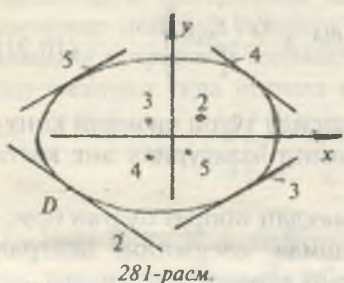


га мувофик эмас.

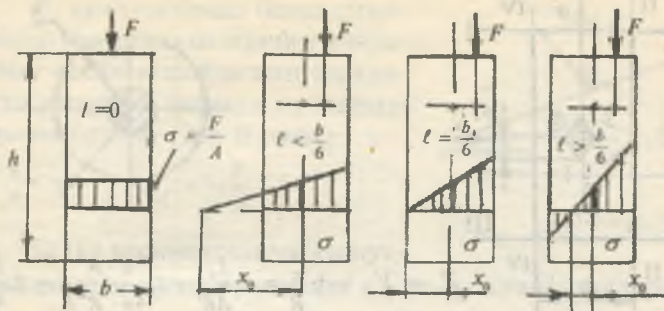
Масалан, мұрт материаллар сиқилишга нисбатан құзилишда тез емирилади. Шунинг учун мұрт материалдан тайёрланған брус марказлашмаган сиқилишга учраса, күндаланг кесим юзасида бир хил ишорали күчланиш (сиқувчи) ҳосил бұлғани маъқул. Бунинг учун кесимнинг нейтрал үқининг әгаллаган үрнини үзгартыриш керак. Масалан, (10.20) формулага ассосан X_0 ва Y масофаларни шундай танлаш мүмкінки, бу ҳолатда нейтрал үқ кесимнинг контурига D нүктада уринма бўлиб қолади. Унда

Бу формуладан күриниб турибдики, $e = 0$ булганда кесимнинг барча нұқталарыда бир хил күчланиш пайдо булади.

Кесим ядроси. Техникада ва курилишда учрайдиган айрим материаллар (бетон, фишт, ёғоч, чўян, шиша) чўзилиш ва сиқилишга бир хил қаршилик курсат олмайди. Бундай материалларнинг кесим юзасида икки хил ишорали кучланиш ҳосил бўлиши ноқулай, яъни мақсад-



F күч кесимнинг марказига яқинлашади ва 2 нуқтада жойлашади. Худди шундай 3,4,5 нуқталарни кесимнинг маркази атрофида айлантирасак, бу нуқталарга мос равишда 3,4,5 чизиқлар, яъни нейтрал ўқларнинг ҳолатлари тўғри келади. Нейтрал



282-расм.

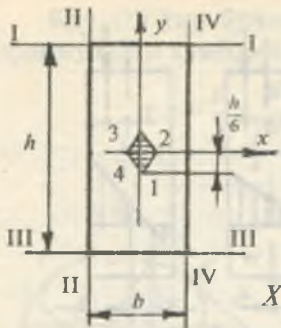
ўқлар кесимнинг сиртига уринма бўлиб жойлашади. Нейтрал ўқларнинг бу ҳолатларига тўғри келадиган чексиз куч нуқталарни кесимнинг маркази атрофида айлантирилишида ҳосил бўлган эгри чизиқли соҳа кесим ядроси дейилади.

Кесим ядроси ичига қўйилган ҳар қандай ташқи куч кесим юзасида бир хил ишорали кучланишни юзага келтиради.

Масалан, томонлари b ва h бўлган тўғри тўртбурчакли кесим учун кесим ядросини топамиз. Бунинг учун кесимнинг томонларига уринмалар ўтказамиз, I—I уринмани XOY координата системасидаги координаталари: $X_o = -\frac{l^2}{x_u}$ ва $Y_o = -\frac{l^2}{y_u}$ формулаларидан фойдаланиб кесим ядросининг координаталарини топамиз:

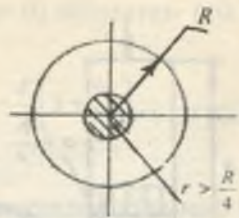
$$X_F = X_s = -\frac{l^2}{\infty}; \quad Y_F = Y_s = -\frac{l^2}{\frac{h}{2}} = -\frac{2I_x}{hA} = -\frac{2bh^3}{12bh^2} = -\frac{h}{6}$$

Шундай қилиб, I—I уринмага тўғри келувчи кесим ядросининг 1 нуқтаси OY ўқида OX ўқидан $Y_s = -\frac{h}{6}$ масофада жойлашади. III—III уринмага тўғри келадиган кесим ядросининг 3 нуқтаси ҳам OY ўқида OX ўқидан $Y_s = \frac{h}{6}$ масофада жойлашади. II-II ва IV-IV уринмалар учун $Y_s = 0$



$$X_s = Y_s = \pm \frac{l_x^2}{R} = \pm \frac{l_x}{AR} = \pm \frac{\pi \cdot R^4}{4\pi \cdot R^2 R} = \pm \frac{R}{4}$$

283-расм.



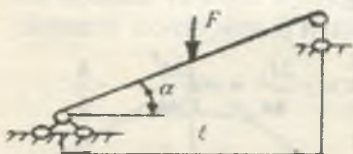
ва $X_s = Y_s = \pm \frac{h}{6}$ ҳосил бўлади. 1, 2, 3, 4 нуқталарни тўғри чизиқлар билан туташтирасак, ромб ҳосил бўлади (283-расм). Доиравий кесим учун кесим ядроси доиранинг маркази атрофида жойлашган ва радиуси $r = \frac{R}{4}$ бўлган доира бўлади (283-расм).

10.4. ЭГИЛИШ БИЛАН ЧЎЗИЛИПНИ ЁКИ СИҚИЛИШНИНГ БИРГАЛИКДАГИ ТАЪСИРИ

Ташқи F куч билан юкланган балка шарнирли таянчга таянган ва горизонтга нисбатан α бурчакда жойлашган

(284-расм) F кучни балка кесимининг бўйлама ўқига ва нормалига проскциялаш мумкин (285-расм):

$$F_y = F \cos \alpha \text{ ва } F_x = F \sin \alpha$$



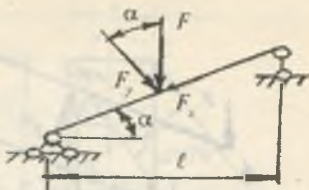
284-расм.

F куч таъсирида балка оддий кўндаланг эгилишда бўлади.

Натижада балканинг кўндаланг кесимида эгилишдаги, яъни эгувчи момент таъсиридаги нормал кучланиш ҳосил бўлади (286-а расм).

F_x күч таъсирида балка сиқилади. Натижада балканинг кўндаланг кесим юзасида тенг тарқалган сиқувчи нормал кучланиш ҳосил бўлади (286-б расм):

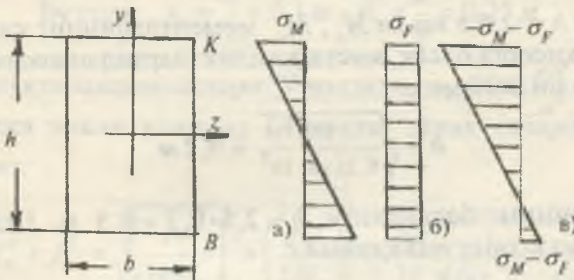
$$\sigma_F = -\frac{F}{A}$$



285-расм.

Балка кесимининг четки нуқталаридағи тўлиқ кучланиш σ_M ва σ_F кучланишларининг йифиндисига тенг бўлади (286-в, расм):

$$\sigma = \pm \frac{M}{W_z} \pm \frac{F}{A} \quad \text{ёки} \quad \sigma_k = -\frac{M}{W_z} - \frac{F}{A} \quad \text{ва} \quad \sigma_B = \frac{M}{W_z} - \frac{F}{A}$$



286-расм.

1-масала. Берилган $F = 15 \text{ kH}$; $\ell = 2 \text{ м}$; $h : b = 2,5$

Балка кесимининг ўлчамлари аниқлансан ин ва хавфли нуқталардаги кучланишлар топилсан ин (287-расм).

Балканинг таянч кесимидағи M_x ва M_y эгувчи моментларни аниқлаймиз ва эпюрасини қурамиз:

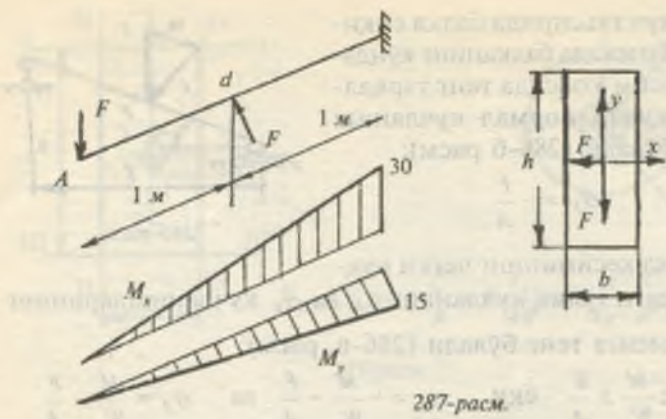
$$M_x = 2F = 30 \text{ кНм}$$

$$M_y = F = 15 \text{ кНм}$$

Балканинг мустаҳкамлик шартини ёзамиш:

$$\sigma_{\max} = \frac{M_x}{W_x} + \frac{M_y}{W_y} \leq [\sigma]$$

$$\text{ва} \quad \frac{6M_x}{bh^2} + \frac{6M_y}{b^2h} \leq [\sigma]$$



Агар $h = 2,5 b$ ни ва M_x , M_y моментларининг қийматларини ҳисобга олсақ, мустаҳкамлик шартидан кесимнинг эни — b ни топамиз:

$$b = \sqrt{\frac{405}{6,25 \cdot 8 \cdot 10^3}} \approx 0,2 \text{ м}$$

Кесимнинг баландлиги $h = 2,5 \cdot 0,2 = 0,5$ м. Нейтрал ўқнинг ҳолатини аниқлаймиз:

$$|\operatorname{tg} \varphi| = \left| \frac{M_y}{M_x} \cdot \frac{I_x}{I_y} \right| = \operatorname{tg} \beta \frac{I_x}{I_y}$$

Бу ерда $I_x = \frac{bh^3}{12}$ ва $I_y = \frac{b^3h}{12}$ кесимнинг X ва Y ўқлагрига нисбатан инерция моментлари; $\operatorname{tg} \beta = \frac{M_y}{M_x} = \frac{15}{30} = 0,5$ — нейтрал ўқнинг бурчак коэффициенти.

$$I_x = \frac{0,2 \cdot (0,5)}{12} = 2,1 \cdot 10^{-3} \text{ м}^4; \quad I_y = \frac{0,5 \cdot (0,2)^3}{12} = 3,4 \cdot 10^{-4} \text{ м}^4$$

$$\operatorname{tg} \varphi = \frac{2,1 \cdot 10^{-3}}{3,4 \cdot 10^{-4}} \cdot 0,5 = 4,242 \quad \text{ёки} \quad \varphi = 76^0$$

Агар куч таъсир чизиги I—III чораклардан ўтса, нейтрал ўқ II—IV чораклардан ўтиши керак; агар кучнинг

таъсир чизиги II-IV чораклардан ўтса, нейтрал чизиқ I-III чораклардан ўтиши керак. Кесимнинг C ва K нуқталари нейтрал ўқдан энг узоқда жойлашганлиги учун нормал кучланиш катта қийматга эришади. Иккита нуқтадан C нуқта энг хавфли ҳолатда, чунки бу нуқтада чўзувчи кучланиш ҳосил бўлади.

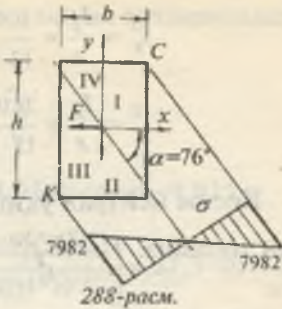
$$\sigma_c = \frac{M_x}{I_x} \cdot y_c + \frac{M_y}{I_y} \cdot x_c$$

$$\text{Бу ерда: } x_c = \frac{b}{2} = 0,1 \text{ м}, \quad y_c = \frac{h}{2} = 0,25 \text{ м}$$

C нуқта координатлари. У ҳолда: $\sigma_c = -7982 \frac{\text{kH}}{\text{m}^2}$

Балка эркин учининг (A нуқта) тўлиқ салқилигини топамиз:

$$f = \sqrt{f_x^2 + f_y^2} = \sqrt{\left(\frac{F\ell^3}{3EI_y}\right)^2 + \left(\frac{Fc^3}{3EI_x}\right)^2} = \frac{F\ell^3}{3E} \sqrt{\frac{1}{(8I_y)^2} + \frac{1}{(I_x)^2}} = \\ = \frac{15 \cdot 8}{3 \cdot 2 \cdot 10^9} \sqrt{\frac{1}{(8 \cdot 0,00034)^2} + \frac{1}{(0,0021)^2}} = 33,34 \cdot 10^{-5} \text{ м}$$

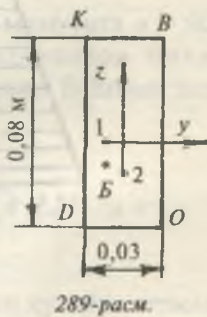


2-масала. Узунлиги $\ell = 1,5 \text{ м}$ бўлган пўлат стержень $F = 60 \text{ кН}$ куч таъсирида чўзилади. Тўгри бурчакли кесимнинг K , C , B , D нуқталарининг кучланишлари топилсин.

Ечиш. Кесимнинг B нуқтасининг координаталари $y_B = -1 \text{ см}$ ва $Z_B = -2 \text{ см}$. Стержень кўндаланг кесим юзасининг геометрик тавсифларини топамиз:

$$\text{Кесим юзаси } A = 3 \cdot 8 = 24 \text{ см}^2 = 2,4 \cdot 10^{-3} \text{ м}^2$$

Инерция радиуслари:



$$i_y^2 = \frac{I_y}{A} = \frac{0,03(0,08)^3}{12 \cdot 2,4 \cdot 10^{-3}} = 0,0534 \cdot 10^{-2} \text{ м}^2$$

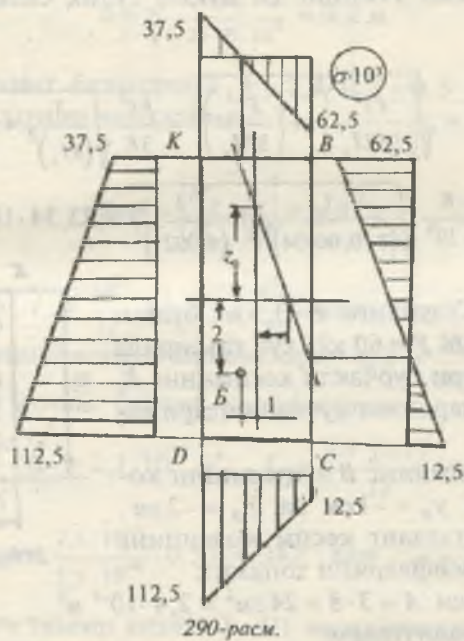
$$i_z^2 = \frac{I_z}{A} = \frac{0,08(0,03)^3}{12 \cdot 2,4 \cdot 10^{-3}} = 0,075 \cdot 10^{-3} \text{ м}^2$$

Кесим нейтрал үқининг ҳолатини қуидаги тенгламадан топамиз: $1 + \frac{y_F \cdot y_O}{i_z^2} + \frac{z_F \cdot z_O}{i_y^2} = 0$

Агар $Z_o = 0$ бўлса, $y_o = -\frac{i_z^2}{y_F} = \frac{0,075 \cdot 10^{-3}}{0,01} = 7,5 \cdot 10^{-3} \text{ м}$

Агар $y_o = 0$ бўлса, $Z_o = -\frac{i_y^2}{z_F} = \frac{0,0534 \cdot 10^{-2}}{0,02} = 2,67 \cdot 10^{-2} \text{ м}$

Демак, нейтрали үқ кесимнинг ZoY координата ўқларининг мусбат чорагидан y_o ва Z_o масофаларда кесиб утар экан.



Кесимнинг КВСД нуқталаридағи нормал кучланишларни қуидаги формуладан топамиз:

$$\sigma = \frac{F}{A} \left(1 + \frac{y_F y}{i_z^2} + \frac{z_F z}{i_y^2} \right)$$

K нуқтанинг кучланиши: $z_k = 0,04 \text{ м}$; $y_k = -0,015 \text{ м}$

$$\sigma_k = \frac{60}{2,4 \cdot 10^{-3}} \left[1 + \frac{(-0,01)(-0,015)}{0,075 \cdot 10^{-3}} + \frac{(-0,02)(-0,04)}{0,0534 \cdot 10^{-2}} \right] = 37,5 \cdot 10^3 \frac{\text{kH}}{\text{m}^2}$$

B нуқтанинг кучланиши: $z_c = 0,04 \text{ м}$; $y_c = -0,015 \text{ м}$

$$\sigma_B = \frac{60}{2,4 \cdot 10^{-3}} \left[1 + \frac{(-0,01)0,015}{0,075 \cdot 10^{-3}} + \frac{(-0,02)0,04}{0,0534 \cdot 10^{-2}} \right] = -62,5 \cdot 10^3 \frac{\text{kH}}{\text{m}^2}$$

C нуқтанинг кучланиши: $z_c = 0,04 \text{ м}$; $y_c = -0,015 \text{ м}$

$$\sigma_c = \frac{60}{2,4 \cdot 10^{-3}} \left[1 + \frac{(-0,01)0,015}{0,075 \cdot 10^{-3}} + \frac{(-0,02)(-0,04)}{0,0534 \cdot 10^{-2}} \right] = 12,5 \cdot 10^3 \frac{\text{kH}}{\text{m}^2}$$

D нуқтанинг кучланиши: $z_d = 0,04 \text{ м}$; $y_d = -0,015 \text{ м}$

$$\sigma_d = \frac{60}{2,4 \cdot 10^{-3}} \left[1 + \frac{0,01 \cdot 0,015}{0,075 \cdot 10^{-3}} + \frac{0,02 \cdot 0,04}{0,0534 \cdot 10^{-2}} \right] = 112,5 \cdot 10^3 \frac{\text{kH}}{\text{m}^2}$$

Кесимнинг КВ; ВС; СД ва ДК томонларининг кучланиш эпюраси 290-расмда күрсатилган.

З-масала. Пұлатдан тайёрланған вал минутига $n = 900$ маротаба айланади ва етакланувчи шкивлари билан $N_2 = 10 \text{ kNm}$ ва $N_3 = 20 \text{ kNm}$ қувват узатади. Валнинг диаметри топилсін (291-расм).

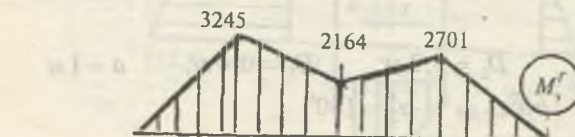
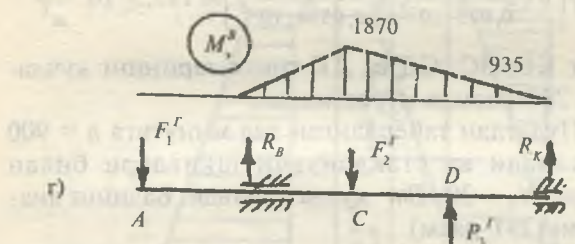
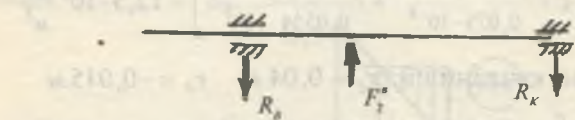
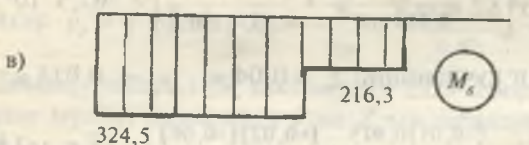
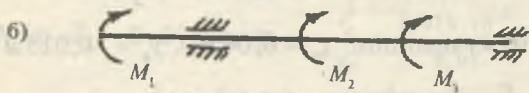
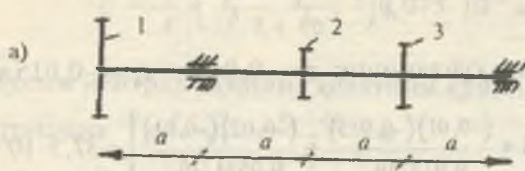
Берилған:

$$D_1 = 0,6 \text{ м}; \quad D_2 = 0,2 \text{ м}; \quad D_3 = 0,4 \text{ м}; \quad a = 1 \text{ м}$$

$$\alpha_1 = 0^\circ; \alpha_2 = 60^\circ; \quad \alpha_3 = 180^\circ$$

Ечиш. Етакловчы шкивнинг узатаёттан қуввати етакланувчи шкивлар қувватларининг йиғиндисига тенг бўлади:

$$N_1 = N_2 + N_3 = 10 + 20 = 30 \text{ kNm}$$



291-расм.

Шкивлардаги буровчи моментларни топамиз (291-брасм):

$$M_1 = 973,6 \frac{N_1}{n} = 973,6 \frac{30}{900} = 324,5 \text{ Нм}$$

$$M_2 = 973,6 \frac{N_2}{n} = 973,6 \frac{10}{900} = 108,2 \text{ Нм}$$

$$M_3 = 973,6 \frac{N_3}{n} = 973,6 \frac{20}{900} = 216,3 \text{ Нм}$$

Буровчи моментларнинг йўналишлари етакловчи ременларнинг тортишиш кучлари йўналишлари билан мос. Шкивлардаги моментлар етакланувчи ременнинг тортишиш кучлари билан қўйидагича боғланишда:

$$M_1 = M_2 = t \cdot \frac{D}{2}$$

$$t_1 = \frac{2M_1}{D_1} = \frac{2 \cdot 324,5}{0,6} = 1081,6$$

$$t_2 = \frac{2M_2}{D_2} = \frac{2 \cdot 108,2}{0,2} = 1081H$$

$$t_3 = \frac{2M_3}{D_3} = \frac{2 \cdot 216,3}{0,4} = 1081H$$

Бу ерда етакловчи ва етакланувчи ременларнинг тортишиш кучларининг валга нисбатан босим кучини аниқлаймиз:

$$P_1 = 3t_1 = 3 \cdot 1081,67 = 3245H; \quad P_2 = 3t_2 = 3 \cdot 1081 = 3243H$$

$$P_3 = 3t_3 = 3 \cdot 1081 = 3245H$$

Ременлар шкивга турли бурчаклар остида жойлаштирилгани учун тортишиш кучларининг валга нисбатан босими ҳам шу бурчак остига йўналади. F_1 , F_2 ва F_3 кучларнинг вертикал (291-в расм) $P_1^B = 0$; $F_2^B = F_2 \cdot \sin 60^\circ = 3243 \cdot 0,866 = 2805,8H$; $F_3^B = 0$ ва горизонтал текисликларидаги ажратувчиларни топамиз (291-г расм):

$$F_1^r = F_1 = 3245 \text{ H}; \quad F_3^r = -F_3 = -3245 \text{ H}$$

$$F_2^r = F_2 \cdot \cos 60^\circ = 3245 \cdot 0,5 = 1621,5 \text{ H}$$

Вертикал текислиқ: $\sum M_B = 0; \quad F_2^B \cdot 1 - R_k \cdot 3 = 0$

$$\text{дан } R_k = \frac{F_2^B \cdot 1}{3} = \frac{2805,81}{3} = 936,3 \text{ H}$$

$$\sum M_k = -F_2^B \cdot 2 + R_B \cdot 3 = 0 \quad \text{дан } R_B = \frac{2 \cdot 2805,8}{3} = 1870,5 \text{ H}$$

Текшириш: $\sum y = -1870,5 + 2805,8 - 936,3 = 0$

Әгүвчи момент M_s^B ни аниқтаймиз: $0 \leq x_1 \leq 1 \text{ м};$

$$M_s^B = -R_k \cdot x_1$$

$x_1 = 0$ бүлса, $M_s^B = 0$ ва $x_1 = 1$ бүлса, $M_s^B = -1870,8 \text{ Hm}$

$$0 \leq x_2 \leq 2 \text{ м}; \quad M_s^B = -F_k \cdot x_2$$

$x_2 = 0$ бүлса, $M_s^B = 0$ ва $x_2 = 2$ м бүлса, $M_s^B = -1870,5 \text{ Hm}$

Горизонтал текислиқ:

$$\sum M_B = F_1^r \cdot 1 - F_2^r \cdot 1 + F_3^r \cdot 2 - R_k \cdot 3 = 0$$

$$R_k = \frac{F_1^r \cdot 1 - F_2^r \cdot 1 + F_3^r \cdot 2}{3} = \frac{3245 - 1621,5 + 3243 \cdot 2}{3} = 2701 \text{ H}$$

$$\sum M_K = F_1^r \cdot 4 - R_B^r \cdot 3 + F_2^r \cdot 2 - F_3 \cdot 1 = 0$$

$$R_B = \frac{F_1^r \cdot 4 + F_2^r \cdot 2 - F_3^r \cdot 1}{3} = \frac{3245 \cdot 4 + 1621,5 - 3243 \cdot 1}{3} = 4326,7 \text{ H}$$

Әгүвчи момент M_s^r ни аниқтаймиз: $0 \leq x_1 \leq 1 \text{ м};$

$$M_s^r = -F_1 x_1$$

$x_1 = 0$ бүлса, $M_s^r = 0$ ва $x_1 = 1$ бүлса, $M_s^r = -3245 \text{ Hm}$

$$0 \leq x_2 \leq 1 \text{ м}; \quad M_s^r = -F_1^r (1 + x_2) + R_B x_2$$

$x_2 = 0$ бүлса, $M_s^r = -3245 \text{ Hm}$ ва

$x_2 = 1 \text{ м}$ бұлса, $M_s^r = -2164 \text{ Нм}$

$0 \leq x_3 \leq 1 \text{ м}; M_s^r = -F_1^r(1 + x_3) + R_B(1 + x_3) - F_2^r x_3$

$x_3 = 0$ бұлса, $M_s^r = -2164 \text{ Нм}$ ва

$x_3 = 1 \text{ м}$ бұлса, $M_s^r = -2701 \text{ Нм}$

$0 \leq x_4 \leq 1 \text{ м}; M_s^r = -R_k \cdot x_4$

$x_4 = 0$ бұлса, $M_s^r = 0$ ва

$x_4 = 1 \text{ м}$ бұлса, $M_s^r = -2701 \text{ Нм}$

Тұлиқ әгувчи моментни M_s^B ва M_s^r моментларнинг ийғиндиси сифатида топамиз: $M_x^2 = (M_s^B)^2 + (M_s^r)^2$

$$M_{xA} = 0; M_{xB} = \sqrt{0 + (M_s^r)^2} = 3245 \text{ Нм}$$

$$M_{xc} = \sqrt{(2164)^2 + (1870,8)^2} = 2862 \text{ Нм}$$

$$M_{x0} = \sqrt{(2701)^2 + (935,3)^2} = 2862 \text{ Нм}; M_{xx} = 0$$

Әгувчи ва буровчи момент эпюраларига асосан В таяңчесими хавфли қолатда бұлади (291-в, г расм).

III— мустақамлик назариясига асосан келтирилган моментни топамиз:

$$M_{keп} = \sqrt{M_x^2 + M_g^2} = \sqrt{(3245)^2 + (324,5)^2} = 3261,2 \text{ Нм}$$

$$\sigma_{max} = \frac{M_{keп}}{W} \leq [\sigma] \text{ ёки } \frac{32M_{keп}}{\pi \cdot d^3} = [\sigma]$$

Бу ерда:

$$d = \sqrt[3]{\frac{32M_{keп}}{\pi [\sigma]}} = \sqrt[3]{\frac{32 \cdot 3261,2}{3,14 \cdot 8 \cdot 10^7}} = 0,0746 = 74,6 \text{ мм}$$

$d = 80 \text{ мм}$ деб қабул қиласиз.

Савол ва топшириқлар

1. Мураккаб қаршиликлар нима?
2. Мураккаб қаршиликлар турларини айтинг.
3. Вални буралиш билан эгилишида кесим юзасида қандай кучланишлар ҳосил бўлади?
4. Буралиш билан эгилишда мустаҳкамлик шартини ёзинг.
5. Валнинг диаметрини аниқланг.
6. Қийшиқ эгилиш схемасини чизинг.
7. Қийшиқ эгилишда нейтрал ўқ тенгламасини ёзинг?
8. Қийшиқ эгилишда мустаҳкамлик шарти формуласини ёзинг.
9. Қийшиқ эгилишда мустаҳкамлик шарти формуласидан фойдаланиб кесимни танланг.
10. Марказий бўлмаган чўзилиш ва сиқилишда нормал кучланиш формуласини ёзинг.
11. Марказий бўлмаган чўзилиш ва сиқилишда кесимнинг нейтрал ўқ тенгламасини ёзинг.
12. Марказий бўлмаган чўзилиш ва сиқилишда мустаҳкамлик шарт формуласини ёзинг.
13. Кесим ядроси нима?
14. Марказий бўлмаган чўзилиш ва сиқилишда деформация қандай аниқланади?
15. Марказий бўлмаган чўзилиш ва сиқилишда нормал кучланиш стержень кесим юзасида қандай қонуният билан ўзгаради?

ХІ БОБ

СИҚИЛГАН СТЕРЖЕНЛАРНИ УСТУВОРЛИККА ҲИСОБЛАШ

Устуворлик ҳақида түшүнчә. Күпгина инженерлик иншоотларини ҳисоблашда уларнинг мустаҳкамлик шарти билан бир қаторда устуворлиги ҳам таъминланиши керак.

Ботиқ ёки қабариқ сирт устида ётган шарнинг мувозанат ҳолати устувор ёки ноустувор мувозанатга мисол бўлади.

Ботиқ сиртда жойлашган шар исталган ҳолатга оғдирилганда ҳам ўзининг

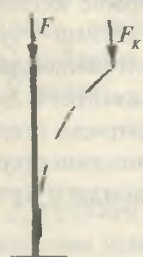
дастлабки вазиятига қайтади. Шунинг учун шар ботиқ сиртда устувор мувозанатда.

Қабариқ сиртда жойлашган шар кичик миқдорга оғдирилганда пастга думалаб кетади. Шунинг учун бу шар ноустувор ҳолатда.

Секин-аста ўсуви куч таъсирида стержень сиқилса, кучнинг бирор критик қийматида стержень ўзининг түгри чизиқли ҳолатини йўқотади (293-расм). Стерженнинг устувор мувозанат ҳолати бузилади. Агар, кучни шу қийматида ушлаб турилса, стерженда мувозанат ҳолат юзага келади ва стерженнинг янги устувор мувозанати содир бўлади.

Агар сиқувчи куч катталаштирилса, стерженнинг ноустуворлиги ошади ва яна кучнинг қиймати ошса, стержень емирилиши мумкин.

Демак, стержень түгри чизиқли ҳолатидан четга чиқиши ноустувордир. Ноустувор стержень бўйлама эгилиш ҳолатида бўлади. Бўйлама эгилиши жуда хавфлидир, чунки сиқувчи куч озгина ортирилганда стерженнинг эгилиши тез ортади. Натижада эгилишда бўладиган кучланиш ҳам тез ортади, стержень емирилиши мумкин.



293-расм.



292-расм.

Сиқувчи кучнинг критик қийматида стерженнинг кўндаланг кесимида критик кучланиш ҳосил бўлади:

$$\sigma_c = \frac{F}{A} \quad (11.1)$$

Устуворликка нотўри ҳисоблаш оқибатида жуда кўп конструкцияларнинг емирилиши содир бўлган.

Масалан, 1907 йил АҚШда Шимолий Лаврентия дарёсига қурилган, бош пролёти 549 м бўлган консол система мали катта кўприк ағдарилиб тушган. 9000 тоннали конструкция бутунлай ишдан чиқсан; конструкциянинг катта қисми сувга 40 м чуқурликка чўкиб 74 киши ҳалок бўлган. Шундай воқеа Квебек дарёсидаги кўприкда ҳам икки маротаба содир бўлган.

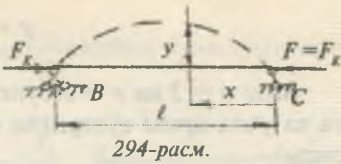
1981 йил май ойида Швейцариянинг Менхенштейн қишлоғидаги кўприкда бўлган ҳалокатли ҳодиса сиқилган стерженларнинг устуворликка пухта ҳисоблаш нақадар зарур ва муҳимлигини кўрсатувчи сабоқдир. Ҳалокат рўй берган пайтда кўприкдан узунлиги 42 м бўлган ва 12 вагондан иборат бўлган пассажир поезди ўтган. Паровоз кўприкдан ўтиб бўлган, лекин дарёга қулаган бта вагон уни ҳам тортиб кетган. Фалокатда кўп киши ўлган ва 200 киши ярадор бўлган. Фалокат ферманинг сиқилган тиргувчларидан бири устуворлигини йўқотиши натижасида содир бўлган.

11.1. КРИТИК КУЧНИ АНИҚЛАШ ЭЙЛЕР ФОРМУЛАСИ

Икки учи шарнирли таянчга таянган ўзгармас кесимили сиқилаётган стержендаги критик кучни топиш учун стержень эгилган ўқининг дифференциал тенгламасидан фойдаланамиз (294-расм). Сиқилаётган стерженнинг деформацияси эластик бўлиб, критик куч таъсирида стерженнинг кўндаланг кесимида ҳосил бўлган кучланиш стержен материалининг пропорционаллик чегарасидаги кучланишдан катта бўлмайди:

$$\frac{d^2 y}{dx^2} = -\frac{M}{EI} = -\frac{Fy}{EI} \quad \text{ёки} \quad \frac{d^2 y}{dx^2} + K^2 \cdot y = 0 \quad (11.2)$$

$$\text{Бу ерда: } K^2 = \frac{F}{EI} \quad (11.3)$$



(11.2) дифференциал тенгламанинг интеграли қийидаги-ча ёзилади:

$$y = a \cdot \sin kx + b \cdot \cos kx \quad (11.4)$$

Бу ерда: a , b — интеграллаш доимийликлари, стержень учлари таяниш шартларидан топилади.

Масалан: 1) Биринчи шарт: $X = 0$ бүлганида, $Y = Y_C = 0$ ва $b = 0$ бўлади. Унда стержень эгилган ўқининг тенгламаси қийидагича ёзилади:

$$y = a \cdot \sin kx$$

Бу тенгламадан аниқки, стерженнинг эгилган ўқи синусоида экан, яъни стержень синусоида бўйича эгила-ди.

2) Иккинчи шарт: $x = \ell$ да $y = y_B = 0$ бўлади. Бу ерда $a \neq 0$, демак, $\sin k\ell = 0$. Бу ҳол учун $K\ell = \pi, 2\pi, \dots, n\pi$ эканлигини топамиз. Бу ерда, $K = \frac{n\pi}{\ell}$ ёки $K^2 = \frac{n^2\pi^2}{\ell^2}$ ни ҳисобга олсак, (11.3) формуладан критик кучни топамиз.

$$F_k = \frac{n^2\pi^2 EI}{\ell^2} \quad (11.5)$$

n — ихтиёрий бутун сон.

(11.5) формула Эйлер формуласи. Шундай қилиб, ен-гил эгилган стерженни мувозанатда ушлайдиган куч бир нечта қийматга эга бўлиши мумкин экан. Стерженнинг бўйлама эгилишидаги сикувчи кучни минимал (энг ки-чик) қиймати $n = 1$ га тўғри келади.

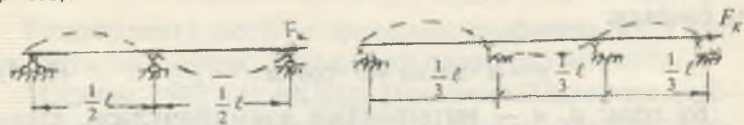
У ҳолда:

$$F_k = \frac{\pi^2 EI}{\ell^2} \quad (11.6)$$

F_k кучнинг бу қийматига стерженнинг ярим тўлқинли синусоида шаклидаги эгилиши тўғри келади:

$$y = a \cdot \sin \frac{\pi x}{\ell} \quad (11.7)$$

Агар $n = 2$ ва $n = 3$ бўлса, стерженнинг эгилиши иккита ва учта ярим тўлқинли синусоидал чизиқ бўлади (295-расм).



$$K = \frac{2x}{\ell}; \quad y = a \cdot \sin \frac{2\pi x}{\ell}; \quad F_k = \frac{4\pi^2 EI}{\ell^2} \quad K = \frac{3x}{\ell}; \quad y = a \sin \frac{3\pi x}{\ell}, \quad F_k = \frac{9\pi^2 EI}{\ell^2}$$

295-расм.

Стерженнинг бундай эгилишлари ноустувордир.

Эйлер формуласидан кўринишича, F_k куч стерженнинг бикрлигига тўғри ва стержень узунлиги квадратига тескари пропорционалдир.

Эластиклик чегарасида ишлайдиган стержень учун критик куч стерженнинг геометрик ўлчамлари ва материалнинг эластиклик модулига боғлиқ: стержень тайёрланган материалнинг мустаҳкамлик тавсифномаларига боғлиқ эмас.

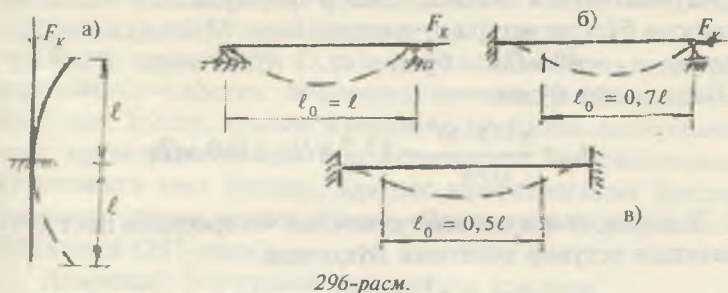
Масалан, юмшоқ ва юқори навли пўлатларда E қиймати тахминан бир хил бўлганлиги учун уларда критик куч ҳам бир хилдир, яъни улар бир хил критик кучда устуворлигини йўқотади.

Иккита шарнир таянчли стерженнинг эгилишдаги энг катта салқилиги $x = \frac{\ell}{2}$ масофасидаги нуқтасида ҳосил бўлади:

$$y_{\max} = a \sin kx = a \sin \frac{\pi}{\ell} \cdot \frac{\ell}{2} = a$$

Стержень учларини маҳкамланиш шартини критик кучнинг қийматига таъсирини аниқлаш учун ҳар хил таянчларга таянган стерженларнинг бўйлама эгилишдаги деформацияларини иккита шарнирли таянчга таянган стерженнинг деформацияси билан таққослаймиз. Масалан, бир уни қистириб маҳкамлаб қўйилган стержень деформацияси

иikki таянчли стержень деформациясининг ярмисига тенг (296-расм, а).



296-расм.

Демак, бир учи қистириб маҳкамланган стержень учун Эйлер формуласи:

$$F_k = \frac{\pi^2 EI}{\ell_0^2} \quad \text{ёки} \quad F_k = \frac{\pi^2 EI}{(2\ell)^2} = \frac{\pi^2 EI}{4\ell^2} \quad (11.7)$$

Стержень учларининг маҳкамланиш шартларига кўра (296-расм) критик кучнинг формуласини ёзамиш:

$$F_k = \frac{\pi^2 EI}{(\mu\ell)^2} \quad (11.8)$$

Бу ерда: μ — келтирилган узунлик коэффициенти;
 $\ell_0 = \mu \cdot \ell$ — келтирилган узунлик.

11.2. ЭЙЛЕР ФОРМУЛАСИНИ ИШЛАТИШ ЧЕГАРАСИНИ АНИКЛАШ

Критик кучланиш:

$$\sigma_k = \frac{F_k}{A} = \frac{\pi^2 EI}{A\ell^2} = \frac{\pi^2 E}{\left(\frac{\mu\ell}{i}\right)^2} = \frac{\pi^2 E}{\lambda^2} \quad (11.9)$$

Бу ерда: $i^2 = \frac{I}{A}$ — стержень кесим юзасининг инерция радиуси;

$\lambda = \mu \frac{t}{r}$ — стерженнинг эгилувчанлиги.

(11.9) формуладан маълум бўладики, σ_k стерженнинг эгилувчанлигига боғлиқ. Эйлер формуласини ишлатиш мумкин бўлган чегарани аниқлаймиз. Мустаҳкамлик чегараси $\sigma_B = 40 \text{ мПа}$ бўлган ст. З пўлат учун: $E = 2 \cdot 10^5 \text{ мПа}$; $\lambda = 150$ бўлса:

$$\sigma_k = \frac{\pi^2 \cdot 2 \cdot 10^5}{(150)^2} = 87,7 \text{ мПа} \leq 160 \text{ мПа}$$

У ҳолда, стержень мустаҳкамлик чегарасидан паст кучланишда устувор ҳолатини йўқотади.

$$\lambda = 50 \text{ бўлса: } \sigma_k = \frac{\pi^2 \cdot 2 \cdot 10^5}{(50)^2} = 300 \text{ мПа} > [\sigma] = 160 \text{ мПа}$$

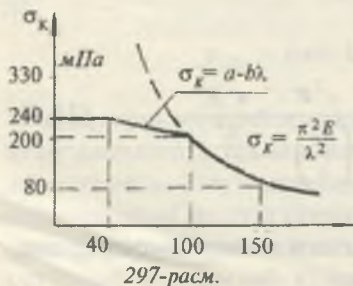
Сиқилаётган стержендаги кучланиш критик кучланишдан кичик кучланишда емирилиш содир бўлади.

Критик кучни аниқлаш учун Эйлер формуласи стержень материалининг Гук қонунига бўйсунадиган чегарада келтириб чиқарилган эди. Шунинг учун Эйлер формуласи ёрдамида топилган критик кучланишни материалнинг пропорционаллик чегарасидаги кучланишдан катта бўлган ҳолларда фойдаланиб бўлмайди.

Агар $\sigma_k = \sigma_n = 200 \text{ мПа}$ деб олинса, (11.9) формуласидан эгилувчанликнинг чегаравий қийматини топамиз:

$$\lambda_0 = \sqrt{\frac{\pi^2 E}{\sigma_n}} \quad (11.10)$$

$$\text{ёки } \lambda_0 = \sqrt{\frac{\pi^2 \cdot 2 \cdot 10^5}{200}} \approx 100$$



Шундай қилиб, эгилувчанлиги $\lambda \geq 100$ стерженлар учун Эйлер формуласи ишлатилиши мумкин (297-расм). Эгилувчанлик 0 дан 40—50 гача бўлганида, стержень калта бўлади. Бундай

стерженлар мустаҳкамлик йўқолиши билан емирилади. Шунинг учун критик кучланиш оқувчанлик (пластик материал) ёки мустаҳкамлик чегарасидаги кучланиш (мурт материал) га тенг қилиб олинади (297-расм).

Эгилувчанлиги ($50 \leq \lambda \leq \lambda_0$) оралиқда бўлган стерженлар эластик-пластик деформацияланиб, устуворлигини йўқотади. Бунда, критик кучланиш стержень материалининг пропорционаллик ёки оқувчанлик чегараларидағи кучланишга тенг бўлади. Критик кучланишнинг бундай ўзгариши тўғри чизик бўлиб, Ясинский формуласига буйсунади (297-расм).

Ясинский формуласи қўйидагича ёзилади:

$$\sigma_k = a - b\lambda \quad (11.11)$$

Ст. 3 пўлат учун:

Ёғоч учун: $\sigma_k = 3100 - 11,4\lambda$

Чўян учун $\sigma_k = 293 - 1,94\lambda$

$$\sigma_k = a - b\lambda + c\lambda^2 \quad (11.12)$$

Бу ерда: a , b , c — эмпирик коэффициентлар.

Айрим материаллар учун a , b , c коэффициентлар:

Материал	λ	a	B	c
Ст.2, Ст.3	100	3100	11,4	—
Ст.5	100	4640	32,6	—
Сталь 40	90	3210	11,6	—
Кремнис. сталь	100	5890	38,2	—
Сосна	110	193	1,94	—
Чўян	80	7760	120	0,53

11.3. СИҚИЛГАН СТЕРЖЕННИНГ КУНДАЛАНГ КЕСИМДАГИ РАЦИОНАЛ ШАКЛИ

Сиқилган стерженлар учун Эйлер формуласини қўллаб, критик куч топилганда стержень учларининг маҳкамлашишига боғлиқ ҳолда бош текисликларда устуворликни

Йўқотишнинг турли шакллари бўлиши мумкинлигини инобатга олиш зарур. Бир учи қистириб маҳкамланган, иккинчи учи эса озод бўлган стерженнинг устуворлиги ҳамда бикрлиги кичик бўлган текисликда йўқолади, чунки бу текисликда эгилишга мос келувчи критик куч энг кичик бўлади (298-расм).

$$I_x = \frac{hb^3}{12} \quad \text{ва} \quad I_y = \frac{h^3b}{12}. \quad I_x > I_y$$

Эгилиш X ўқи текислигига бўлади.

$$F_{1k} = \frac{\pi^2 EI_x}{(\mu_1 \ell)^2} \quad \text{ва} \quad F_{2k} = \frac{\pi^2 EI_y}{(\mu_2 \ell)^2} \quad \text{деб қабул қиласайлик.}$$

$I_x > I_y$, бўлганлиги учун: $F_{1k} > F_{2k}$

Стержень иккала бош инерция текислигига ҳам бир хил эгилиши учун $I_x = I_y$, ёки $\mu_1 = \mu_2$ бўлиши керак.

Масалан, кесим юзаси иккита швсллардан ташкил топган бўлса, уларнинг иккала бош инерция текислигига бир хил устуворликни йўқотишини таъминлаш учун $I_x = I_y$ тенгликни ҳосил қиласиз.

Бунинг учун a масофа шундай танланиши керакки,

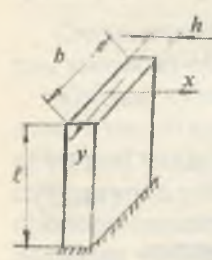
$$2I_{x1} = 2 \left[I_{y1} + A \left(\frac{a}{2} \right)^2 \right] \quad \text{шарт бажарилсин.}$$

Демак, $P_{1k} = P_{2k}$ тенглик юзага келади, унда қуйидаги тенг устуворлик шарти ҳосил бўлади:

$$\frac{I_x}{\mu_1^2} = \frac{I_y}{\mu_2^2}$$

Агар, $\mu_1 = \mu_2$ бўлса ҳам стержень иккала бош инерция текислигига устуворликни бир хил йўқотади.

I_{min} — минимал инерция радиусининг энг катта қийматга олиб келадиган юза рационал кесим бўлади. Ўлчов бирлигисиз тавсифнома танлаймиз:



298-расм.

$$\xi = \frac{i_{\min}}{\sqrt{A}} \quad (11.13)$$

Кесимнинг рационаллигини ξ нинг қиймати ёрдамида аниқлаймиз:

квадрат	0,289
доира	0,283
түргбурчакли	0,204
швеллер	0,41—0,29
құштавр	0,41—0,27
бурчак	0,5—0,3
трубасимон ($d = 0,7\text{--}0,8$)	1,2—1,0
трубасимон ($d = 0,95\text{--}0,8$)	2,25—1,64

11.4. СИҚИЛГАН СТЕРЖЕНЛАРНИ УСТУВОРЛИККА АМАЛИЙ ҲИСОБЛАШ

Сиқилган стерженларни мустақамликда ҳисоблаш үлчамларини шундай танлаш керакки, уларни эксплуатация қилиш жараёнида куч таъсиридан устуворлик йүқотилмаслиги керак. Бунинг учун сиқилган стерженнинг кесимдаги нормал кучланиши критик кучланишдан кичик бўлиши керак:

$$\sigma = \frac{N}{A_0} < \frac{F_k}{A_0} = \sigma_k \quad (11.14)$$

Бу ерда: N — сиқувчи куч; A_0 — стерженнинг заифлашган кесим юзаси.

Критик кучланиш материалнинг оқувчанлик чегарасидан пластик материал учун ёки мустақамлик чегарасидан мурт материаллар учун хавфли бўлиши мумкин. Шунинг учун стерженинг устуворликка амалий ҳисоблашда критик кучланишнинг ҳосил бўлишини чеклаш керак, яъни устуворликка эҳтиётлик шартини таъминлаш керак:

$$\sigma = \frac{F_k}{A_0} = [\sigma], \quad (11.15)$$

Устуровликка рухсат этилган кучланиш $[\sigma]$, устуровликка эҳтиётлик коэффициенти (n_y) орқали топилади:

$$[\sigma]_y = \frac{\sigma_k}{n_y} \quad (11.16)$$

Устуровликка эҳтиётлик коэффициенти n_y мустаҳкамликка эҳтиётлик коэффициенти n дан катта деб қабул қилинади:

Ёғоч — $n = 2,8 \dots 3,2$; пўлат — $n = 1,8 \dots 3,0$; чўян — $n = 5 \dots 5,5$.

$[\sigma]$ — стерженнинг мустаҳкамликка рухсат этилган кучланиши;

Φ — мустаҳкамликка рухсат этилган кучланишнинг камайтириш коэффициенти. Коэффициент — Φ материалнинг эгилувчанлигига боғлиқ равишда топилади: $\lambda = \mu -$

Ёғоч учун коэффициент — Φ қуйидаги формуладан топилади:

$$\lambda = 75 \text{ бўлса, } \Phi = 1 - 0,8 \left(\frac{\lambda}{100} \right)^2$$

$$\lambda = 75 \text{ бўлганида, } \Phi = \frac{3100}{\lambda^2}$$

(11.15) устуровлик шарти қуйидагича ёзилади:

$$\sigma = \frac{F_k}{A_\delta \cdot \Phi} \leq [\sigma] \quad (11.17)$$

Бу шарт орқали стерженнинг кўндаланг кесими танланishi мумкин.

Коэффициент стержень кесимининг ўлчамларига боғлиқ бўлганлиги учун унинг қиймати олдиндан берилган бўлмайди. Шунинг учун кесимнинг ўлчамлари аста-секин яқинлашиш усули билан топилади. Биринчи маротаба $\Phi = 0,5$ деб олинади. Кейинги яқинлашишда λ га боғлиқ ҳолда коэффициент Φ интерполяция усули билан топилади:

$$\Phi_1 = \Phi' - \frac{\Phi' - \Phi''}{10} \cdot K$$

Топилган ϕ ёрдамида кучланиш, аниқланиш ва унинг кучланиши рухсат этилган қиймат билан солиштирилади. Иккала кучланиш орасида фарқ бўлиши мумкин. Агар $\sigma < [\sigma]$ бўлса, кесим ўлчамининг қиймати кичиклаштирилиши керак, агар $\sigma > [\sigma]$ бўлса, кесим ўлчамларини ошириш керак. Ҳисобланган кучланиш σ билан кучланишнинг рухсат этилган қиймати орасидаги фарқ 3—5% қилиб олиб борилиши керак.

11.5. БЎЙЛАМА ВА КЎНДАЛАНГ ЭГИЛИШ

Чўзилиш ёки сиқилишни эгилиш билан биргаликдаги таъсирида бўлган стерженнинг кўндаланг кесимидағи тўлиқ кучланишни, кучларнинг мустақиллик принципига асосан, чўзилиш ёки сиқилишдаги ва эгилишдаги кучланишларнинг йигиндисига тенг деб қабул қилинган:

$$\sigma_{\max} = \frac{N}{A} + \frac{M}{W} \leq [\sigma] \quad (11.18)$$

Бу ерда M фақат кўндаланг куч таъсиридаги эгувчи стержендаги бўйлама сиқувчи куч стерженнинг эгилган ўқини ҳар бир нуқтасига нисбатан қўшимча момент ҳосил қиласиди. Натижада стерженнинг кўндаланг кесим юзасидан қўшимча кучланиш келиб чиқади. Хавфли кесимдаги энг катта кучланиш қўйидагича топилади:

$$\sigma_{\max} = \left| \frac{F}{A} + \frac{M_0}{W} + \frac{F \cdot f}{W} \right| \quad (11.19)$$

f — бўйлама ва кўндаланг кучлар таъсиридаги стерженнинг энг катта салқилиги.

Бўйлама куч чўзувчи бўлса, f нинг қиймати кичик, агар бўйлама куч сиқувчи бўлса, салқилик сезиларли ва катта. Бўйлама ва кўндаланг эгилишда тўлиқ кучланишни кучларни мустақиллик принципига асосан топиб бўлмайди, чунки f бу аломатга бўйсунмайди.

Ингичка ва узун стерженларда f нинг қийматини ҳисобга олмаслик конструкцияни хавфли ҳолатга олиб келиши мумкин.



299-расм.

Шунинг учун бўйлама ва кўндаланг эгилишга учраётган стерженниг максимал салқилигини (f) топамиз. Бўйлама ва кўндаланг эгилиш таъсиридаги стержень эластик чизиқнинг дифференциал тенгламаси қўйидагича ёзилади:

$$EI_y'' = M_0 - Fy \quad (11.20)$$

Бу ерда: $M_0 = q \frac{f}{2} x - q \frac{x^2}{2}$ кўндаланг куч таъсиридаги эгувчи момент. (11.20) тенгламани $M_0 = EIy_0''$ ни ҳисобга олиб қўйидаги кўринишга олиб келамиз:

$$EIy'' = EI \cdot y_0'' - Fy \quad (11.21)$$

(11.21) тенгламанинг $x = \frac{f}{2}$ нуқта учун айрим чеклашлар орқали умумий ечимини ёзамиз:

$$f = f_0 - \frac{\frac{1}{F}}{1 - \frac{F}{F_k}} = f_0 \cdot c \quad (11.22)$$

Стреженнинг бўйлама ва кўндаланг эгилишдаги энг катта салқилиги, (11.22) формуладан кўринишича, сиқувчи куч критик қийматга эришса, салқилик f назарий жиҳатдан чексиз бўлиши керак.

$f_0 = \frac{5q\ell^4}{384EI}$ — стреженнинг кўндаланг тақсимланган куч таъсиридаги энг катта салқилиги. Энди бўйлама ва кўндаланг эгилиш учун тўлиқ кучланиш формуласини ёзамиз:

$$\sigma_{\max} = \frac{F}{A} + \frac{M_0}{W} + \frac{F \cdot f_0 \cdot c}{W} = \frac{F}{A} + \frac{M_0 + F \cdot f_0 \cdot c}{W} = \frac{F}{A} + \frac{M_{\max}}{W} \quad (11.23)$$

Бу ерда: $M_{\max} = M_0 + Ff_0c = \frac{q\ell^2}{8} + Ff_0c$ ёки

$$M_{\max} = \frac{q\ell^2}{8} + F \frac{5q\ell^4}{384EI} C = q \frac{\ell^2}{8} \left(1 + \frac{5F\ell^2}{48EI} C \right)$$

$$\text{Кавсни қуидагиңа үзгартырамиз: } \frac{\frac{5\pi^2 F \ell^2}{48\pi^2 EI}}{F_k} = \frac{1,028 F}{F_k}$$

Ү ҳолда:

$$M_{\max} = q \frac{\ell^2}{8} \left(1 + \frac{1,028 F}{F_k} C \right) = q \frac{\ell^2}{8} \left(1 + \frac{F}{F_k} \cdot \frac{F_k}{F_k - k} \right) = \\ = q \frac{\ell^2}{8} \left(1 + \frac{F}{F_k - F} \right) = q \frac{\ell^2}{8} \cdot \frac{F_k}{F_k - F} = q \frac{\ell^2}{8} C = M_0 \cdot C$$

Күчланиш:

$$\sigma_{\max} = \frac{F}{A} + \frac{M_0}{W} C = \frac{F}{A} + \frac{M_0}{W} \cdot \frac{F_k}{F_k - F} \quad (11.24)$$

Агар, $\frac{F}{F_k}$ нисбат кичик бўлса, (11.24) формуладаги C коэффициентнинг қиймати бирга яқин бўлади, яъни:

$$\sigma_{\max} = \frac{F}{A} + \frac{M_0}{W} = \frac{F}{A} + \frac{q\ell^2}{8W} \quad (11.25)$$

Носимметрик кучлар билан юкланган стерженларнинг тўлиқ кўчишини (11.24) формула билан амалда ҳисобласак, хатолик 5—7 % бўлади. Агар, $F = F_k$ бўлса, σ нинг қиймати чексиз катта бўлади, стержень емирилади. Юқоридаги формулалардан кўринадики, салқилик ва күчланиш кучлар билан чизиқли боғланишда эмас. Агар, куч n маротаба ошса, күчланиш ундан кўпроқ ортади. Мустаҳкамлик шарти бажарилмайди. Шунинг учун бўйлама ва қўндаланг эгилишдаги стерженнинг мустаҳкамлиги чекли юқ бўйича таъминланиши керак, яъни куч K_o маротаба ошса, стержендаги энг катта күчланиш оқувчанлик чегарасига эришади:

$$\frac{K_o F}{A} + \frac{M_o K}{W} \cdot \frac{1}{1 - \frac{K_o F}{F_k}} = \sigma_{\max}$$

Бу ерда: $K_o F$ ва $K M$ — чекли юқ. Юқоридаги тенглики қуидагиша ёзамиш:

$$\frac{F}{A} + \frac{q\ell^2}{8W} \cdot \frac{1}{1 - \frac{K_o F}{F_k}} = \frac{\sigma_{\infty}}{K_o}$$

Бу ерда: $\frac{\sigma_{\infty}}{K_o} = [\sigma]$ — сиқилишга рухсат этилган кучланиш.

Стерженнинг мустаҳкамлик шартини ёзамиш:

$$\frac{F}{A} + \frac{q\ell^2}{8W} \cdot \frac{1}{1 - \frac{K_o F}{F_k}} = [\sigma]$$

Бу ерда: $C_o = \frac{1}{1 - \frac{K_o F}{F_k}} = \frac{F_k}{F - K_o F}$ — бўйлама кучнинг кучланишга таъсирини ифодаловчи коэффициент.

Стерженнинг салқилигини чеклаш учун бикрлик шартини ёзамиш:

$$f_{\max} = f_o \frac{1}{1 - \frac{K_o F}{F_k}} = f_o \frac{F_k}{F_k - K_f F} \leq [f]$$

$[f]$ — рухсат этилган салқилик;

K_f — салқиликнинг эҳтиётлик коэффициенти.

Савол ва топшириқлар

1. Устуворлик нима?
2. Эйлер формуласини ёзинг.
3. Балка учларининг тиравиши шартларининг Эйлер формуласига таъсири борми?
4. Критик кучланиш қандай формула билан топилади?
5. Эгилувчанлик нима?
6. Эйлер формуласи қандай эгилувчанлик қийматида ишлатилади?
7. Устуворлик шартини ёзинг?

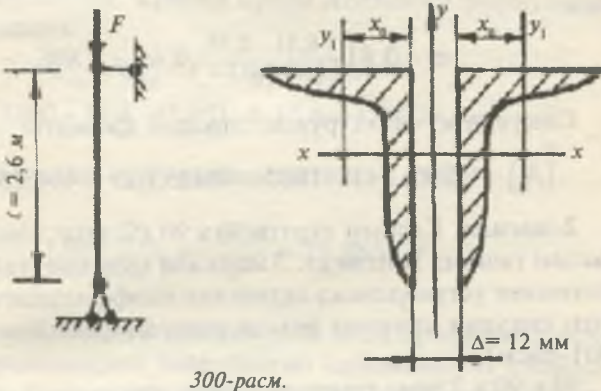
1-масала. Кесими teng ёнли бўлмаган икки бурчакни ўзаро биритиришдан таркиб топган ферма стерженидаги

сиқувчи кучнинг рухсат этилган миқдори аниқлансин. Стержень ст. 3 маркали пўлатдан тайёрланган (300-расм).

$$140 \times 90 \times 6 \text{ тенг томонсиз бурчак учун: } I_{y_0} = 120 \text{ см}^4$$

$$I_{x_0} = 364 \text{ см}^4; x_0 = 2,03 \text{ см}; A = 18 \text{ см}^2$$

Ечиш. Рухсат этилган кучни стерженнинг устуворлик шартидан фойдаланиб ёзамиш: $\sigma_y = \frac{F}{\varphi A} \leq [\sigma]$, у ҳолда: $[N] = \varphi A [\sigma]$



300-расм.

φ — коэффициент миқдорини топиш учун стерженниң эгилувчанлигини аниқлаш керак. Бу эса ўз навбатида стержень кесимининг минимал инерция моменти ва инерция радиусини топишни талаб этади:

$$I_x = 2I_{x_0} = 2 \cdot 364 = 728 \text{ см}^3$$

$$\begin{aligned} I_y &= 2 \left[I_{y_0} + (x_0 + 0,5 \cdot \Delta)^2 \cdot A \right] = \\ &= 2 \left[120 + (2,03 + 0,5 \cdot 1,2)^2 \cdot 18 \right] = 489 \text{ см}^4 \end{aligned}$$

Шундай қилиб, $I_y < I_x$ ва минимал инерция радиуси:

$$i_{min} = \sqrt{\frac{I_y}{A}} = \sqrt{\frac{489}{2 \cdot 18}} = 3,68 \text{ см}$$

Стерженнинг эгилувчанлигини аниқлаймиз:

$$\lambda = \mu \frac{\ell}{l_{\min}} = 1 \cdot \frac{260}{3,68} = 70,65$$

Жадвалдан топилган:

$$\lambda = 70; \varphi = 0,81$$

$$\lambda = 80; \varphi = 0,75$$

қийматларни интерполяциялаб $\lambda = 70,65$ эгилувчанликка түғри келадиган коэффициент φ нинг қийматини топамиз:

$$\varphi = 0,81 - \frac{0,81 - 0,75}{10} \cdot 0,65 = 0,806$$

Сиқувчи кучнинг рухсат этилган қиймати:

$$[N] = 0,806 \cdot 2 \cdot 18 \cdot 1600 = 46425,6 \text{ кг} = 464,256 \text{ кН}$$

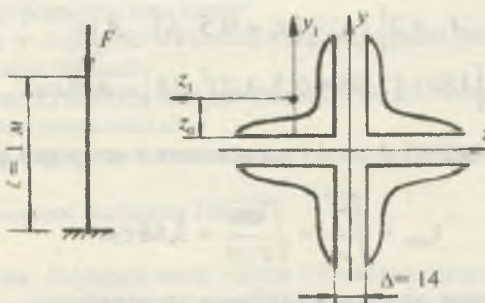
2-масала. Кесими түртта $90 \times 90 \times 2$ тенг томонли бурчакдан ташкил топган ст. З маркали пулатдан тайёранган устуннинг устуворликка эҳтиётлик коэффициенти $[n_y] = 2$ учун сиқувчи кучнинг рухсат этилган қиймати топилсин (301-расм).

$90 \times 90 \times 2$ тенг томонли бурчак учун:

$$Z_0 = 2,55 \text{ см}, \quad I_{y_0} = 118 \text{ см}^4, \quad A = 15,6 \text{ см}^2$$

Ечиш. Кесимнинг инерция моментини топамиз:

$$I_z = I_y = 4 [I_{z_0} + a^2 \cdot A] = 4 [118 + (3,25)^2 \cdot 15,6] = 1131,1 \text{ см}^4$$



301-расм.

Бу ерда: $a = Z_0 + 0,5 \cdot \Delta = 2,55 + 0,5 \cdot 1,4 = 3,25 \text{ см}$

Инерция радиуси:

$$i_z = i_y = i_{\min} = \sqrt{\frac{I_z}{\Sigma A}} = \sqrt{\frac{1131,1}{4 \cdot 15,6}} = 4,25 \text{ см}$$

Устуннинг эгилувчанлиги: $\lambda = \mu \frac{\ell}{i_{\min}} = \frac{2 \cdot 100}{4,25} = 47,05$

$\lambda < \lambda_{\text{тек}}$ бўлгани учун критик кучни Эйлер формуласидан топиб бўлмайди. Критик кучни Ясинский формуласидан аниқлаймиз:

$$\begin{aligned} F_{kp} &= \sigma_{kp} \cdot A = (a - b\lambda) \Sigma A = \\ &= (3100 - 11,4 \cdot 47,05) \cdot 4 \cdot 15,6 = 159970,5 \text{ кГ} \end{aligned}$$

Устунга таъсир этувчи рухсат этилган куч:

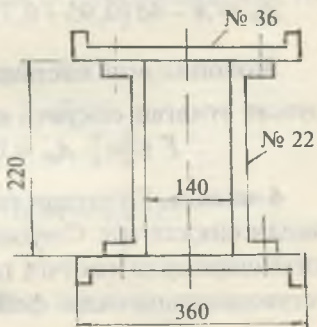
$$[F] = \frac{F_{kp}}{\left[\frac{n_y}{2} \right]} = \frac{159,97}{2} = 79,985 \text{ кН}$$

З-масала. Қуйидаги иккита — 36 ва 22 профилли швеллерлар бирикмасидан тайёрланган колоннанинг схемаси кўрсатилган бирикмани иккита учлари ҳам шарнирли таянчга таянган. Устуворлик ва мустаҳкамлик шартларидан фойдаланиб колоннага қўйилиши мумкин бўлган сиқувчи кучни топинг. Материал ст.3. $[\sigma] = 160 \text{ МПа}$, $\ell = 9 \text{ м}$; $\mu = 1$.

Ечиш. Кесимдаги швеллерларнинг тавсифларини ёзib оламиз. Кесимнинг ўлчамларини масштабда ифодалаймиз. Колоннанинг кесим юзасини топамиз:

$$A = 2(53,4 + 26,7) = 160,2 \text{ см}^2$$

Кесимнинг минимал инерция моментини параллел ўқларга нисбатан инерция моменти формуласидан топамиз:



302-расм.

$$I_x = 2 \left[513 + \left(\frac{22}{2} + 2,68 \right)^2 \cdot 53,4 \right] + 2 \cdot 2110 = 25232,808 \text{ см}^4$$

$$I_y = 2 \cdot 10820 + 2 \left[151 + (7 + 2,21)^2 \cdot 26,7 \right] = 26471,607 \text{ см}^4$$

$$I_x = I_{\min} = 25232,808 \text{ см}^4$$

Кесимнинг минимал инерция радиусини топамиз:

$$I_{\min} = \sqrt{\frac{J_{\min}}{A}} = \sqrt{\frac{25232,808}{160,2}} = 12,55 \text{ см}$$

Колоннанинг эгилувчанлиги:

$$\lambda = \mu \frac{\ell}{i_{\min}} = 1 \cdot \frac{900}{12,55} = 71,713$$

φ ни қийматини топамиз:

$$\begin{array}{ll} \lambda = 70 \text{ да} & \varphi' = 0,81 \\ \text{ва} & \lambda = 80 \text{ да} \\ & \varphi'' = 0,75 \end{array}$$

$$\text{У ҳолда: } \varphi = 0,81 - \frac{0,81 - 0,75}{10} \cdot 1,713 = 0,7997$$

Рұксат этилган сиқувчи күчни топамиз:

$$[F] = \varphi [\sigma] \cdot A = 0,7997 \cdot 1600 \cdot 160,2 = 206979 \text{ кг}$$

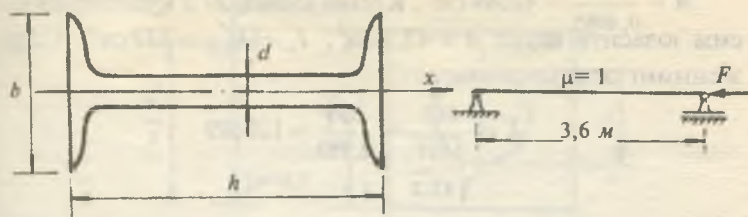
Колоннанинг кесими түртта парчин міх ўрни билан заифлаштирилған.

$$A_H = A - 4d(0,95 + 0,75) = 160,2 - 4 \cdot 2 \cdot 1,7 = 146,6 \text{ см}^2$$

Колоннанинг мустақамлик шарти $\sigma_{\max} = \frac{F}{A_H} \leq [\sigma]$ дан рұксат этилган сиқувчи күчни топамиз:

$$F \leq [\sigma] \cdot A_H = 1600 \cdot 146,6 = 234560 \text{ кг}$$

4-масала. Пұлатдан тайёрланған стержень $F = 28$ т күч билан сиқиляпты. Стерженнинг узунлиғи $\ell = 3,6$ м ва иккита шарнирли таянчга таянади (303-расм). Стерженнинг устуворлик шартидан фойдаланиб кесими танлансин. Рұксат этилған күчланиш $[\sigma] = 1600 \frac{\text{кг}}{\text{см}^2}$.



303-расм.

Ечиш. 1-жисоблаш. Стерженниң ҳисобланган кесим юзасини топамиз:

$$A = \frac{F}{\varphi [\sigma]} = \frac{28000}{\varphi \cdot 1600} = \frac{17,5}{\varphi}; \quad \varphi = 0,5; \quad A = \frac{17,5}{0,5} = 35 \text{ см}^2$$

Кесим юаси $A = 35 \text{ см}^2$ бўлган қўштаврни каталогдан танлаймиз: $N = 24$ ($A = 34,8 \text{ см}^2$; $I = 198 \text{ см}^4$).

Кесимнинг минимал инерция радиусини топамиз:

$$i_{\min} = \sqrt{\frac{I_{\min}}{A}} = \sqrt{\frac{198}{34,8}} = 2,385 \text{ см}$$

Стерженниң эгилувчанлиги:

$$\lambda = \mu \frac{l}{i_{\min}} = 1 \cdot \frac{360}{2,385} = 150,94$$

Жадвалдан ст. 3 материали учун φ нинг қийматини топамиз:

$$\lambda = 150; \quad \varphi' = 0,32$$

$$\lambda = 160; \quad \varphi'' = 0,29$$

Интерполяция усули билан

$$\varphi_1 = 0,32 - \frac{0,32 - 0,29}{10} \cdot 0,94 = 0,317$$

ва $\varphi_2 = \frac{\varphi + \varphi_1}{2} = \frac{0,5 + 0,317}{2} = 0,4085$ ни топдик: $\varphi > \varphi_2$

2-жисоблаш:

$A = \frac{17,5}{0,4085} = 42,84 \text{ см}^2$. Кесим юзаси 27 а құштаврни кесим юзасынан яқин: $A = 43,2 \text{ см}^2$; $I_y = I_{\min} = 337 \text{ см}^4$. Стерженниң әгилувчанлиги:

$$\lambda = \frac{\frac{360}{337}}{\sqrt{43,2}} = \frac{360}{2,793} = 128,89$$

$$\begin{aligned}\lambda &= 120; & \varphi' &= 0,45 \\ \text{Жадвалдан: } \lambda &= 130; & \varphi'' &= 0,4\end{aligned}$$

$$\text{У ҳолда: } \varphi_3 = 0,45 - \frac{0,45 - 0,4}{10} \cdot 8,89 = 0,406$$

$$\text{Хақиқий күчланишни топамиз: } \sigma_x = \frac{28000}{43,2} = 648,15 \frac{\text{кг}}{\text{см}^2}$$

Рұхсат этилган күчланиш:

$$[\sigma]_y = \varphi_3 \cdot [\sigma] = 0,406 \cdot 1600 = 649,6 \frac{\text{кг}}{\text{см}^2}; \quad \sigma_x < [\sigma]_y$$

Шунинг учун 27 а құштаврли кесимни танлаймиз. Стерженниң әгилувчанлиги > 100 . Критик күчни Эйлер формуласы ёрдамида топамиз:

$$F_{kp} = \frac{\pi^2 EI_{\min}}{\ell^2} = \frac{(3,14)^2 \cdot 2 \cdot 10^6 \cdot 337}{(360)^2} \approx 52006 \text{ кг}$$

$$\text{Коэффициент: } K_y = \frac{F_k}{F} = \frac{52006}{28000} \approx 1,86$$

5-масала. Пұлатдан тайёрланған стержень F күч билан сиқиляпти (304-расм):

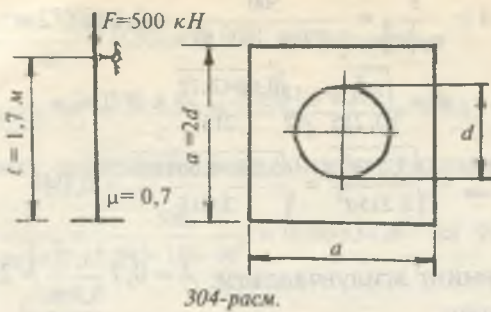
1) $[\sigma] = 160 \text{ мПа}$ күчланишдан фойдаланиб стержень күндаланғ кесимининг геометрик үлчамларини топинг;

2) критик күч аниклансын.

Ечиш. Стержень күндаланғ кесимининг юзаси:

$$A = a \cdot a - \frac{\pi \cdot d^2}{4} = 2d \cdot 2d - \frac{\pi \cdot d^2}{4} = 3,215d^2$$

Минимал инерция моменти:



$$I_{\min} = I = \frac{a^4}{12} - \frac{\pi \cdot d^4}{64} = \frac{(2d)^4}{12} - \frac{\pi \cdot d^4}{64} = 5,27d^4 \text{ ва инерция}$$

$$\text{радиуси: } i_{\min} = \sqrt{\frac{5,27d^4}{3,215d^2}} = \sqrt{\frac{5,27(0,0441)}{3,215}} = 0,0564 \text{ м}$$

1-ҳисоблаш ($\varphi = 0,5$):

$$A \geq \frac{P}{\varphi[\sigma]} = \frac{500}{0,5 \cdot 160 \cdot 10^3} = 0,00625 \text{ м}^2 \text{ булади, у ҳолда:}$$

$$d = \sqrt{\frac{0,00625}{3,215}} = \sqrt{0,001944} = 0,0441 \text{ м}$$

Стерженнинг эгилувчанлиги $\lambda = 0,7 \frac{1,7}{0,0564} = 21,1$ жадвалдан пўлат материал учун:

$$\lambda = 20; \quad \varphi = 0,96$$

$\lambda = 30; \quad \varphi = 0,94$ топамиз. Интерполяция усули билан

топилган: $\lambda = 21,1$ эгилувчанлик учун φ нинг қийматини топамиз:

$\varphi_1 = 0,96 - \frac{0,96 - 0,94}{10} \cdot 1,1 = 0,9578; \quad \varphi_1 = 0,9518$ – биринчи маротаба қабул қилинган $\varphi = 0,5$ дан фарқ қиласди.

$$2-\text{ҳисоблаш: } \varphi_2 = \frac{\varphi + \varphi_1}{2} = \frac{0,5 + 0,9578}{2} = 0,7289$$

$$A \geq \frac{F}{\varphi_2 [\sigma]} = \frac{500}{0,7289 \cdot 160 \cdot 10^3} = 0,042872 \text{ m}^2$$

$$d = \sqrt{\frac{F}{3,215}} = \sqrt{\frac{0,0042872}{3,215}} \approx 0,036 \text{ м}$$

$$i_{\min} = \sqrt{\frac{5,27 d^4}{3,215 d^2}} = \sqrt{\frac{5,27 \cdot 0,001296}{3,215}} = 0,046$$

Стерженнинг эгилувчанлиги: $\lambda = 0,7 \frac{1,7}{0,046} = 25,87$

Жадвалдан:

$$\lambda = 20; \quad \varphi = 0,96$$

$\lambda = 30; \quad \varphi = 0,94$ ни топамиз:

$$\varphi_3 = 0,96 - \frac{0,96 - 0,94}{10} \cdot 5,87 = 0,94826$$

Топилган $A = 0,0042872 \text{ m}^2$ кесим юзаси ва $\varphi = 0,94826$ қийматда устуровликни таъминлаши керак бўлган рухсат этилган кучланишни топамиз:

$$\sigma_y = \frac{F}{\varphi_3 \cdot A} = \frac{500}{0,948 \cdot 0,0042872} = 122,6 \cdot 10^3 \frac{\text{kH}}{\text{m}^2} < [\sigma]$$

Демак, стержень ташқи сиқувчи куч билан тўлиқ юкланмаган φ нинг янги қийматини топамиз:

З-ҳисоблаш:

Стержень ўлчами $d = 0,03 \text{ м}$ деб қабул қиласиз.

У ҳолда: $A = 3,215d^2 = 3,215(0,03)^2 = 0,00289 \text{ m}^2$ ва кўндаланг кесимнинг инерция радиусини топамиз:

$$i_{\min} = \sqrt{\frac{5,27 d^2}{3,215}} = \sqrt{\frac{5,27 \cdot (0,03)^2}{3,215}} = 0,0384 \text{ м}$$

Стерженнинг эгилувчанлиги: $\lambda = 0,7 \frac{1,7}{0,0384} = 30,98$

Жадвалдан пулат стержень учун:

$\lambda = 30$ да $\varphi_4 = 0,94$ ва $\lambda = 40$ да $\varphi_4 = 0,92$ ни қабул қиласиз. Интерполяция усули билан

$$\varphi_4 = 0,94 - \frac{0,94 - 0,92}{10} 0,98 = 0,938 \text{ ни топамиз.}$$

$$4\text{-жисоблаш: } \varphi_5 = \frac{\varphi_3 + \varphi_4}{2} = \frac{0,9482 + 0,938}{2} = 0,943$$

Устуварлик шартидан стерженнинг кўндаланг кесим

$$\text{юзаси: } A = \frac{F}{\varphi_5 [\sigma]} = \frac{500}{0,943 \cdot 160 \cdot 10^3} = 0,00331 \text{ м}^2 \text{ ва ўлчами}$$

$$d = \sqrt{\frac{A}{3,215}} = \sqrt{\frac{0,00331}{3,215}} = 0,032 \text{ м. Кундаланг кесимнинг инер-}$$

$$\text{ция радиуси: } i = \sqrt{\frac{5,27 d^2}{3,215}} = \sqrt{\frac{5,27 (0,32)^2}{3,215}} = 0,0411 \text{ м}$$

$$\text{Стерженнинг эгилувчанлиги: } \lambda = 0,7 \frac{1,7}{0,0411} = 29,02$$

Жадвалдан:

$$\lambda = 20 \text{ да } \varphi_6 = 0,96 \text{ ва } \lambda = 30 \text{ да } \varphi_6 = 0,94$$

Интерполяция усули билан $\varphi_6 = 0,96 - \frac{0,96 - 0,92}{10} \cdot 9,02 = 0,942$
ни топамиз. $\varphi_6 = 0,942$ қийматда устуварлика рухсат этилган кучланиш

$$[\sigma]_y = \varphi_6 [\sigma] = 0,942 \cdot 160 = 150,72 \text{ мПа бўлиб,}$$

$\sigma_y = \frac{F}{\varphi_6 \cdot A} = \frac{500}{0,942 \cdot 0,00331} = 160,358 \text{ мПа}$ тенглашади: σ_y нинг
қиймати оддий чўзилиш ва сиқилишга рухсат этилган
кувланишдан 0,22 % катта бўлиб, $[\sigma]_y$ дан эса 9,638 мПа
фарқ қиласди. Шунинг учун стерженнинг ўлчами $d = 0,033 \text{ м}$
деб қабул қиласиз.

5-жисоблаш:

$$d = 0,033 \text{ м} \text{ ва } A = 3,215 d^2 = 3,215 (0,033)^2 = 0,0035 \text{ м}^2$$

Стержень кесимиning инерция радиуси:

$$i = \sqrt{\frac{5,27 d^2}{3,215}} = \sqrt{\frac{5,27 (0,033)^2}{3,215}} = 0,04225 \text{ м} \text{ ва эгилувчанлиги:}$$

$$\lambda = 0,7 \frac{1,7}{0,04225} = 28,16 \text{ қийматида жадвалдан } \varphi \text{ нинг янги}$$

$$\text{қийматини топамиз: } \varphi_7 = 0,96 - \frac{0,96 - 0,94}{10} 8,16 = 0,9437$$

Устуворликка рухсат этилган күчланиш:

$$[\sigma]_y = \varphi_7 [\sigma] = 0,9437 \cdot 160 = 151 \text{ MPa}$$

$$\sigma_y = \frac{F}{\varphi_7 \cdot A} = \frac{500}{0,9437 \cdot 0,0035} = 151,379 \text{ MPa} < 160 \text{ MPa} \text{ пўлат}$$

материали учун эгилувчанлик ($\lambda_{\text{чек}} = 100$) дан кичик бўлса, критик кучни топиш учун эмпирик формуладан фойдаланамиз:

$$F_{kp} = A(a - b\lambda) = 0,0035(310 \cdot 10^3 - 1,14 \cdot 10^3 \cdot 28,18) = 972,65 \text{ kN}$$

Устуворлик коэффициенти: $n_y = \frac{F_{kp}}{F} = \frac{972,65}{500} = 1,95$
стерженга қўйилиши мумкин бўлган кучнинг рухсат этилган қиймати:

$$[F] = \varphi A [\sigma] = 0,9437 \cdot 0,0035 \cdot 160 \cdot 10^3 = 528,472 \text{ kN}$$

ХІІ БОБ

ДИНАМИК КУЧЛАР

Умумий тушунча. Материаллар қаршилиги фанининг асосий масаласи бўлган конструкция қисмлари кўндаланг кесимининг ўлчамлари ёки улар материалини танлашни шу пайтгача фақат статик юк таъсирида ўргандик. Нолдан ўзининг охирги қийматига секин-аста ўсадиган куч статик юкка мисол бўлади. Статик юк таъсирида элемент деформациясининг тезлиги вақт оралиғида сезиларли бўлмайди, чунки бунда иншоот қисмларида пайдо бўладиган ҳаракат тезланиши жуда кичик бўлади. Ўзгармас тезлик билан кўтарилаётган юкнинг канат (ип)га таъсири статик куч; агар юк маълум тезланиш билан кўтарилса, динамик куч бўлади. Динамик куч таъсиридаги элемент заррачаларининг ҳаракат тезланиши вақт оралиғида сезиларли бўлади. Динамик юк ўзининг қиймати ва ҳолатини ўзгартириб туриши мумкин.

Динамик юк таъсиридаги элемент Даламбер аломатига асосан ҳар дақиқа ташқи ва инерция кучлари таъсирида мувозанатда деб қараш мумкин. Инерция кучлари элемент материали заррачаларининг ҳаракат тезланиши асосида қўшимча куч сифатида ҳосил бўлади. Элементнинг хусусий оғирлиги каби инерция кучи ҳам ҳажмий куч деб қаралиши мумкин.

Ҳар бир заррачага таъсир қилувчи элементар инерция кучининг қиймати — dP_i заррачанинг массаси — m ни унинг тезланиши — a га кўпайтмасига тенг ва тезланишга тескари томонга йўналади:

$$dP_i = dm \cdot a \quad (12.1)$$

Элементар заррача массаси $m = \frac{dG}{g}$ ни ҳисобга олсак,

$$dP_i = \frac{dG}{g} \cdot a = \frac{\gamma \cdot dv}{g} \cdot a \text{ ҳосил бўлади.}$$

$dG = \gamma \cdot dv$ — заррачанинг хусусий оғирлиги
 g — эркин тушиш тезланиши, 9,81 м сек²
 γ — материалнинг солиштирма оғирлиги: кн/м³

dv — элементар заррачанинг ҳажми, м³.

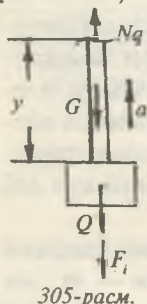
Стерженли системаларни ҳисоблашда ҳажмий инерция кучлари стерженнинг ўқи бўйлаб тарқалган инерция кучлари билан алмаштирилади. Элементар узунлик dx бўйлаб тарқалган инерция кучи $dP_i = \frac{\gamma A dx}{g} \cdot a$ формула билан топилади

Ички ёнуб двигателларининг қисмлари, тебранма ҳаракатда қатнашувчи конструкциялар зарб таъсирида ишлайдиган механизмлар — динамик юклар таъсирида бўлади.

12.1. ТЕКИС ТЕЗЛАНИШЛИ ҲАРАКАТДА КУЧЛАНИШНИ АНИҚЛАШ

(Статик ҳисоблашга келтириладиган динамик масалалар)

Тросни ҳисоблаш. a тезланиш билан юқорига ҳаракат қилаётган, оғирлиги Q бўлган юк пўлатдан тайёрланган тросга осилган. Тросни ихтиёрий Y —у узунлигидан кесиб, пастки қисмининг мувозанат ҳолатини ўрганамиз (305-расм).



305-расм.

Трос ўзининг хусусий оғирлиги γAx , Q юк ва юкни юқорига a тезланиш билан ҳаракатланишда ҳосил бўлган қўшимча инерция кучи $\frac{Q+\gamma Ax}{g} a$ таъсирида бўлади. Троснинг ихтиёрий танланган кўндаланг кесимидағи динамик кучланиш куйидаги ча топилади:

$$\sigma_s = \frac{N_g}{A} = \frac{1}{A} \left(Q + \gamma Ax + \frac{Q+\gamma Ax}{g} \cdot a \right) = \frac{Q+\gamma Ax}{A} \left(1 + \frac{a}{g} \right)$$

$\frac{Q+\gamma Ax}{A}$ троснинг ҳаракатланмаётган, яъни юкни қўзгалмас бўлган ҳолатига тўғри келувчи статик кучланишни ифодалайди.

$$\sigma_s = \sigma_{cm} \left(1 + \frac{a}{g} \right) = K_g \cdot \sigma_{cm} \quad (12.2)$$

$K_g = 1 + \frac{a}{g}$ динамик коэффициент дейилади.

Шундай қилиб, юкни текис тезланишда ҳаракатлантирсак, динамик кучланиш статик миқдордан катта бўлар экан.

Системанинг мустаҳкамлик шарти $\sigma_{g \max} = \sigma_{c \max} \cdot K_g \leq [\sigma]$ дан қуидагини ҳосил қиласиз:

$$\sigma_{c \max} = \frac{[\sigma]}{K_g} \quad (12.3)$$

Динамик коэффициентни назарий усул билан топиш мумкин бўлмаса, фақат тажрибавий қиймати ишлатилса, динамик масалалар статик ҳисоблаш билан алмаштирилади.

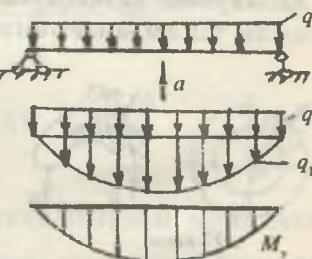
Тақсимланган куч интенсивлиги q таъсиридаги элементларда кучланишни аниқлаш.

Тенг тақсимланган куч интенсивлиги q таъсиридаги ўзгармас кесимли балка a тезланиш билан кран ёрдамида кутарилади. Натижада балканинг узунлиги бўйлаб тарқалган инерция кучи — qi ҳосил бўлади. Балка, тақсимланган куч q таъсиридан ташқари, инерция кучидан ҳам эгилади.

Балка тақсимланган куч интенсивлиги — q таъсирида эгилганлиги учун, уни кутаришда ҳар бир кесими турли тезланиш билан кучади. Шунинг учун балканинг узунлиги бўйлаб инерция кучининг интенсивлиги ўзгарувчан бўлади. Хусусий ҳолда балканинг эгилишдаги бикрлиги ёки кесимининг салқилиги жуда катта бўлса, тезланиш орқали инерция кучлари таъсирида ҳосил бўлган деформацияни ҳисобга олсан ҳам бўлади. Натижада балканинг ҳамма кесимларини кучиш тезланиши бир хил инерция кучи q_i , балканинг узунлиги бўйлаб тенг тарқалган деб қаралади. У ҳолда динамик тақсимланган куч $q_g = q + \frac{q}{g} a$ таъсиридаги эгувчи момент:

$$M_g = \frac{q_g \cdot t^2}{8} = \left(q + \frac{q}{g} a \right) \frac{t^2}{8} = \frac{q t^2}{8} \left(1 + \frac{a}{g} \right) = M_c \cdot K_g \quad \text{ва хавфли}$$

кесимдаги динамик кучланиш:



306-расм.

$$\sigma_g = \frac{M_g}{W} = \frac{M_c}{W} \cdot K_g = \sigma_c \cdot K_g \quad (12.4)$$

ва мустақамлык шарти:

$$\sigma_{g,\max} = \sigma_{c,\max} \cdot K_g = K_g \cdot \frac{q\ell^2}{gW} \leq [\sigma] \quad (12.5)$$

формулалар билан топилади. Локомотивнинг иккита фидирагини бирлаштирувчи спарник (тирсакли-шарнирли ўқ) даги энг катта эгувчи момент ҳам шу усул билан аниқланиши мумкин:

$$M_{\max} = \frac{q_g \ell^2}{8} = \frac{\gamma A \ell^2}{8} \left(1 + \frac{\omega^2 r}{g} \right)$$

Айланувчан ҳалқасимон элементда кучланиш. Ўзгармас кесимли тез айланаётган ҳалқанинг кучланишини топамиз. Ҳалқанинг айланишида ажратилган ds узунликдаги элемент ўзгармас бурчак тезлик — ω билан ҳаракат қиласы. Бурчак тезланиш $\varepsilon = 0$, шунинг учун тангенциал тезланиш $\omega_t = 0$, марказга интилевчи тезланиш $\omega_n = \frac{\omega^2 D}{2}$ ҳалқанинг марказига интилади. Ҳосил бүлгандык инерция қутия қуидагыча топилади:



$qds = \frac{\gamma A \omega^2 D}{g} ds = \omega_n \frac{\gamma A}{g} ds$

q — ҳалқанинг бир бирлик узунлигидаги инерция күчининг интенсивлигі.

Ҳалқанинг чүзувчи қутия $P = \frac{Dq}{2}$ ни ҳисобга олсак, динамик кучланишни топамиз:

$$\sigma_g = \frac{P}{A} = \frac{Dq}{2A} = \frac{D}{2A} \cdot \frac{\gamma A}{g} \cdot \frac{\omega^2 D}{2} = \frac{\gamma \omega^2 D^2}{4g} \quad (12.6)$$

Шатунни ҳисоблаш. Ўзгармас бурчак тезликда шатуннинг K нүқтасида марказга интилевчи B нүқтада фақат тангенциал тезланиш ҳосил бүләди. KB шатунни ҳамма нүқтасида (K ва B нүқталардан ташқари) марказга интилевчи ва

тангенциал кучланишлар ҳосил бўлади. OK кривошип KB шатунга перпендикуляр бўлган ҳолатда, марказдан қочувчи инерция кучлари шатун ўқига перпендикуляр йўналади ва KB узунлиқда чизикли қонуният билан ўзгаради. K нуқтада $q = q_0$ ва B нуқтада $q = 0$.

Шатунни икки таянчли балка деб қабул қиласак, энг катта эгувчи момент B нуқтадан $\frac{\ell}{\sqrt{3}}$ масофада ҳосил булади: $M_{\max} = \frac{q_0 \ell^2}{9\sqrt{3}}$, бу ерда: $q_i = \frac{A\gamma}{g} \omega^2 r$.

Динамик кучланиш:

$$\sigma_a = \frac{M_{\max}}{W} = \frac{q_0^2}{9\sqrt{3}W} = 9\sqrt{3} \cdot g W \frac{\gamma A \omega^2 \cdot r \cdot \ell^2}{g 9\sqrt{3}W} \quad (12.7)$$

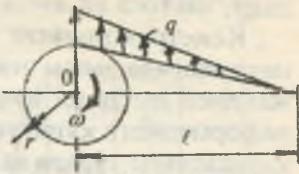
12.2. ТЕБРАНМА ҲАРАКАТДА КУЧЛАНИШНИ АНИҚЛАШ

Айрим конструкция қисмларини ишлаш жараёнида тезланиш йўналиши ва ишорасини ўзгартиради. Бу ҳолатда кучланиш ва деформациялар ҳам ҳар даврда ишорасини ўзгартиради. Масалан, айланувчи юк осилган механизм билан жиҳозланган балка юк айланишида инерция кучи ҳосил бўлади. Инерция кучи балкада ҳар дақиқа ишорасини ўзгартирувчи кучланиш ва деформацияни келтириб чиқаради.

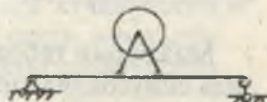
Балка юкнинг айланиш даврига тенг давр билан тебранади. Бундай тебраниш мажбурий тебраниш дейилади.

Агар, эркин ва мажбурий тебранишлар даврлари тенглашса, вақт оралиғида тебраниш амплитудаси жуда тез ўсади ва резонанс ҳодисаси содир бўлади. Резонанс емирилишга сабаб бўлади. Шунинг учун резонанс ҳодисасини чеклаш лозим. Бунинг учун эркин ва мажбурий тебранишлар даврлари мос тушмаслиги керак.

Конструкцияни лойиҳалашда (уйғутувчи кучни) мажбурий тебраниш даври берилганлиги учун фақат эркин тебранишнинг параметрлари —



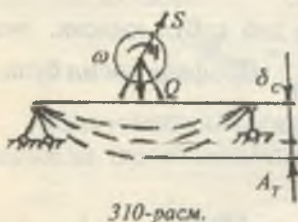
308-расм.



309-расм.

давр, частота ва амплитудаларини танлаш керак.

Конструкциянинг тебранма ҳаракати эластик мувозанат ҳолатида давом этади. Конструкциянинг статик деформацияси инерция кучи таъсирида ҳосил бўлган динамик деформацияга қўшилади. Динамик деформация тебранма ҳаракатнинг турига ва амплитудасига боғлиқ. Чўзувчи ёки сиқувчи куч таъсиридаги пружинанинг бўйлама тебраниши; хусусий оғирлиги таъсиридан тебранаётган балканинг ҳаракати оддийдир. Бу ҳолатда системанинг деформацияси битта текисликдаги (координата) ёки йўналишдаги қиймат билан үлчанди (310-расм). Бундай тебранма ҳаракат эркинлик даражаси бирга тенг бўлган тебранма ҳаракат, дейилади. У ҳолда балка хавфли кесимидағи энг катта салқилик қуйидагича топилади:



Балканинг деформацияси эластик бўлганлиги учун кучланиш деформацияга пропорционалдир:

$$\delta_n = \delta_c + A_m = \delta_c \left(1 + \frac{A_T}{\delta_c} \right) = K_g \cdot \delta_c \quad (12.8)$$

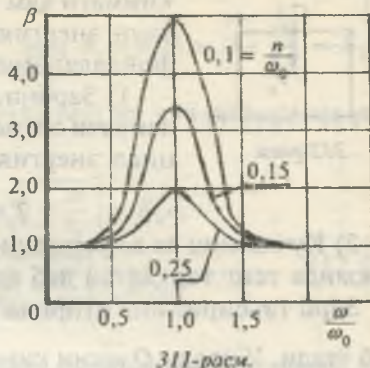
Эркин тебранаётган Q юк ҳаракатининг дифференциал тенгламаси $\frac{Q}{g} x^{11} + cx = 0$ ни ечиб, эркин тебраниш частотаси $\omega_o = \sqrt{\frac{g \cdot c}{Q}} = \sqrt{\frac{R}{\delta Q}}$ ва даври $t_o = \frac{2\pi}{\omega_o}$ топилади.

Хусусий ҳол: Эгилиш: икки таянчли балка учун $\delta_Q = f = \frac{Q t^3}{48 EI}$ (а), $\delta_Q = f = \frac{Q t^3}{3EI}$ (в) консол учун.

Мажбурий тебранишни уйғотувчи куч S айланиш даврида синусоидал чизиқ билан ўзгаради. Бу ҳолатда K_g нинг ифодаси ҳам ўзгаради:

$$K_g = 1 + \frac{A}{\delta_e} = 1 + \frac{\delta_H}{\delta_e} \cdot \beta \quad (12.10)$$

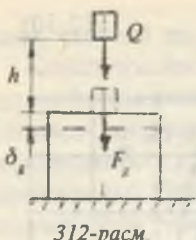
Бу ерда $\delta_H = \frac{H}{Q} \delta_Q$ — энг катта уйғотувчи күч $S_{max} = H$ таъсиридаги деформация; $\beta = \frac{A}{\delta_H}$ — тебранишнинг ўсиш коэффициенти. β нинг қиймати $\frac{\omega}{\omega_0}$ нисбатга ва тебранишнинг сўниш коэффициенти (n)га боғлиқ. Агар $\frac{\omega}{\omega_0} = 1$ ва тебранишнинг сўниш коэффициенти кичиклашса, тебраниш амплитудаси ва β нинг қиймати катталашади. Демак, динамик деформация ва кучланишлар жуда тез ўсади. Конструкциянинг хавфли ҳолатини чеклаш учун унга тебранишнинг сўндирадиган турли мосламаларини ўрнатиши мумкин.



311-рсм.

12.3. ЗАРБ ТАЪСИРИДА КУЧЛАНИШ

Конструкция қисмининг ёки бир бўлагининг жуда кичик вақт давомида тезлиги ўзгаришининг ҳодисаси зарб таъсирида содир бўлади. Зарб таъсирида зарбланувчи ва зарб берувчи қисмлар орасида жуда катта босим ҳосил бўлади. Зарб таъсирининг тезлиги қисқа вақт оралиғида ўзгаради ва хусусий ҳолда нолга қадар яқинлашади. Чунки зарбланувчи элементда зарб берувчи элементнинг тескари йўналишга ҳаракатини ўзgartирувчи реакция ҳосил бўлади — $F_k = \frac{Q}{g} a$, бу ерда Q — зарб берувчи элементнинг оғирлиги. Зарб давомида зарб берувчи ва зарбланувчи элементлардаги F реакциялар ўзаро тенг. Агар F_k күч маълум бўлса, зарбланувчи элементлардаги кучланишни топамиз. Лекин зарбнинг давом қилиш вақти номаълум бўлганлиги учун (Q юк зарб таъсири тезлигининг нолга



қадар тушиш даври) a тезланишни топиб бўлмайди. Шунинг учун F_g кучнинг қиймати ҳам номаълум. F_g кучни топиш учун энергиянинг сақланиш қонунидан фойдаланамиз.

1) Зарбнинг кинетик энергияси зарбланувчи элемент деформациясини потенциал энергиясига айланади, яъни:

$$T = I_g \quad (12.11)$$

2) Кучланиш ва деформациянинг зарбланувчи элемент ҳажмида тенг тарқалган деб қабул қилинади.

Зарб таъсирининг охирида Q юк $h + \delta_g$ масофани бошиб ўтади. У ҳолда Q юкни кинетик энергияси бажарилган ишга тенг бўлади:

$$T = A_g = (h + \delta_g)Q \quad (12.12)$$

Зарбланувчи элемент деформациясининг потенциал энергиясини топиш учун, статик деформациянинг потенциал энергиясидан фойдаланамиз:

$$U_c = \frac{1}{2}Q \cdot \delta_c \quad (12.13)$$

$$\text{Бу ерда: } \delta_c = \frac{Q}{c} \quad \text{ёки } Q = c \cdot \delta_c$$

С элементнинг бикрлик коэффициенти, элементнинг шакли, ўлчамлари ва материали, деформацияси турига боғлиқ. У ҳолда:

$$U_c = \frac{1}{2}Q\delta_c = \frac{c}{2} \cdot \delta_c^2$$

Зарбланувчи элементнинг деформацияси эластик бўлса, динамик кучланиш материалнинг пропорционаллик чегарасидан катта бўлмайди, у ҳолда Гук қонунидан фойдаланиш мумкин:

$$\delta_g = \frac{F_g}{c} \quad \text{ва} \quad U_g = \frac{F_g \cdot \delta_g}{2} = \frac{C}{2} \delta_g^2 = \frac{Q}{2\delta_c} \cdot \delta_g^2; \quad \text{бу ерда: } C = \frac{Q}{\delta_c}$$

Топилган T ва I_g ларнинг ифодаларини (12.11) формулага келтириб қўйсак,

$Q \cdot (h + \delta_g) = \frac{Q}{2\delta_c} \delta_g^2$ ёки $\delta_g^2 = 2\delta_c \delta_g - 2h\delta_c = 0$ ҳосил булади.

Бу ердан: $\delta_g = \delta_c \pm \sqrt{\delta_c^2 + 2h\delta_c}$ ёки $\delta_g = \delta_c \left[1 + \sqrt{1 + \frac{2h}{\delta_c}} \right] = K_g \delta_c$

Гук қонунига асосан кучланиш ва куч деформацияга пропорционал, у ҳолда:

$$\sigma_g = \sigma_c \left[1 + \sqrt{1 + \frac{2h}{\delta_c}} \right] = K_g \delta_c$$

$$F_g = Q \left[1 + \sqrt{1 + \frac{2h}{\delta_c}} \right] = K_g Q \quad (12.15)$$

Юқоридаги формулалардан күриналики, динамик деформация, кучланиш ва куч статик деформацияга боғлиқ экан.

$K_g = 1 + \sqrt{1 + \frac{2h}{\delta_c}}$ — динамик коэффициент.

Агар $h = \frac{v^2}{2g}$ билан алмаштирилса, $K_g = 1 + \sqrt{1 + \frac{v^2}{g\delta_c}}$ ҳосил булади. Бу ерда v — зарб берувчи элементнинг тезлиги $\frac{2h}{\delta_c} = \frac{hQ}{Q\delta_c} = \frac{T_o}{U_c}$ ни ҳисобга олсак, динамик коэффициент қуйидагича топилади:

$$K_g = 1 + \sqrt{1 + \frac{T_o}{U_c}} \quad (12.18)$$

Бу ерда T_o — зарб таъсири бошлигиган вақтдаги юкнинг кинетик энергияси. Агар, Q юк $h = 0$ масофада тусиб зарб берса, $\delta_g = 2\delta_c$ ҳосил булади: $\sigma_g = 2\sigma_c$ ва $F_g = 2Q$.

Агар, масофа δ_c деформациядан катта бўлса, $\frac{2h}{\delta_c}$ қийматга нисбатан илдиз остидаги бирни ҳисобга олмасак ҳам булади, яъни:

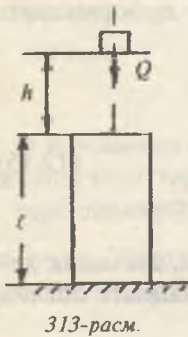
$$K_g = 1 + \sqrt{\frac{2h}{\delta_c}} \quad (12.19)$$

Бу ерда хатолик 5% дан катта бўлмайди.

У ҳолда: $\delta_g = \delta_c \left(1 + \sqrt{\frac{2h}{\delta_c}} \right)$ ва $\sigma_g = \delta_g \left(1 + \sqrt{\frac{2h}{\delta_c}} \right)$

Агар, $\frac{2h}{\delta_c}$ қийматни жуда катта деб қабул қылсақ, K_g ни қуйидаги формула билан топамиз:

$$K_g = \sqrt{\frac{2h}{\delta_c}} = \sqrt{\frac{T_g}{U_c}} \quad (12.20)$$



313-расм.

Бу ерда $\sigma_g = \sigma_c \sqrt{\frac{2h}{\delta_c}}$ кучланишни ҳисоблашда қўйилган хатолик 10 % дан ошиб кетмаслиги керак: $\frac{2h}{\delta_c} > 110$

Зарб таъсирининг хусусий ҳоллари. Ҷўзилиш ёки сиқилиш. Динамик коэффициентни такрибий формула ёрдамида то-пайлик:

$$K_g = \sqrt{\frac{T_g}{U_c}}$$

$$\text{Бу ерда: } U_c = \frac{Q\delta_c}{2} = \frac{Q^2\ell}{2EA} = \frac{\sigma_c^2 AE}{2E} \text{ ва } \sigma = \frac{Q}{A}$$

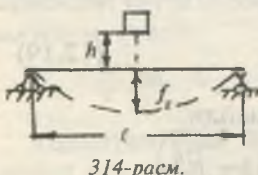
$$\text{Динамик кучланиш: } \sigma_g = K_g \sigma_c = \sqrt{\frac{2T_g E}{\sigma_c^2 A\ell}} \cdot \sigma = \sqrt{\frac{2T_g E}{A\ell}}$$

Демак, динамик кучланиш сиқилаётган стерженнинг кўндаланг кесим юзасига боғлиқ экан.

Статик куч стерженнинг ўлчамига боғлиқ эмас. Динамик куч ва динамик кучланиш зарбнинг таъсир қилиш давомига, стерженнинг материалига ва узунлигига боғлиқ. Динамик куч таъсиридаги элементнинг мустаҳкамлик шартини ёзамиз:

$$\sigma_g \leq [\sigma_g] \quad (12.22)$$

Бу ерда $[\sigma_g] = \frac{\sigma_{ek}}{n_g}$ рухсат этилган динамик кучланиш.



314-расм.

$n_g = 1,5 \dots 2,0$ — зарб таъсирига эҳтиётлик коэффициенти.

Эгилиш. Эгилишда динамик деформация балка учларининг таяниш шартига ва ташқи куч билан юкла-

ниш схемасига боғлиқ. Иккита шарнирли таянчга таянган балка узунлиги ўртасидаги Q юк таъсирида (314-расм), динамик кучланиш қуидагича ёзилади:

$$\sigma_g = K_g \sigma_c = \frac{Q\ell}{4W} \sqrt{\frac{96T_oEI}{Q^2\ell^3}} = \sqrt{\frac{6T_oEI}{W^2\ell^3}}$$

Бу ерда:

$$f_c = \delta_c = \frac{Q\ell^3}{48EI}; \quad \sigma_c = \frac{Q\ell}{4W} \quad \text{ва} \quad U_c = \frac{Qf_c}{2} = \frac{Q^2\ell^3}{96EI}$$

Агар, $I = i^2 A$ ва $W = \frac{I}{J_{\max}} = \frac{i^2 A}{J_{\max}}$ бўлса:

$$\frac{I}{W^2} = \frac{i^2 A}{\left(\frac{i^2 A}{Y_{\max}}\right)^2} = \left(\frac{Y_{\max}}{i^2}\right)^2 \cdot \frac{1}{A}$$

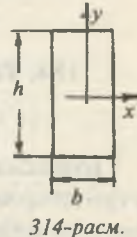
У ҳолда динамик кучланиш:

$$\sigma_g = \frac{y_{\max}}{i} \sqrt{\frac{6TE}{AI}} \quad (12.23)$$

формуладан қўринадики, эгилишда динамик кучланиш балка материалининг эластик модулига, кесимнинг ўлчамлари ва шаклига, балканинг таяниш шартига боғлиқ.

Масалан, тўғри бурчакли кесим:

$$\frac{J_{\max}}{i} = \frac{\frac{2}{3} \cdot \frac{bh^3}{12bh}}{i} = \frac{\sqrt{3}}{i} \quad \text{ва} \quad \sigma_g = \sqrt{\frac{18T_oE}{Ai}}$$



Доиравий кесим:

$$\frac{J_{\max}}{i} = \frac{\frac{d}{2} \cdot \frac{\pi \cdot d^4 \cdot 4}{64 \cdot \pi \cdot d^2}}{i} = 2 \quad \text{ва} \quad \sigma_g = \sqrt{\frac{24T_oE}{Ai}}$$

Динамик коэффициентни аниқлаш учун тақрибий формула татбиқ этилмаса, динамик кучланиш қуидаги-ча топилади:

$$\sigma_g = \frac{Q\ell}{4W} \left[1 + \sqrt{1 + \frac{96T_oEI}{Q^2\ell^3}} \right] \leq [\sigma_g]$$

Буралиш. Айланытган вал бир учининг ҳаракатини қисқа вақт оралиғида чеклаб қўйсак (тормозланса), иккинчи учиға маховикнинг таъсири — T қўйилса, валда зарб таъсиридаги буровчи момент ҳосил бўлади. Динамик буралиш бурчаги $\delta_g = \varphi_g = K_g \varphi_c$ ва кучланиш $\tau_g = \tau_c \cdot K_g = \tau_c \sqrt{\frac{T_o}{U_c}}$. Бу ерда: $\varphi_c = \frac{M\ell}{GI_p}$, $U_c = \frac{M \cdot \varphi_c}{2} = \frac{M^2 \ell}{2GI_p}$, у ҳолда: $\tau_g = \frac{M}{W_p} \sqrt{\frac{2T_o GI_p}{M^2 \ell}} = \sqrt{\frac{2T_o GI_p}{W_p^2 \ell}}$

$$\frac{I_p}{W_p^2} = \frac{\pi \cdot d^4}{32} \cdot \frac{1}{\left(\frac{\pi \cdot d^3}{16}\right)^2} = \frac{8}{\pi \cdot d^2} = \frac{2}{\frac{\pi \cdot d^4}{4}} = \frac{2}{A}$$

Динамик кучланиш: $\tau_g = 2\sqrt{\frac{T_o G}{At}}$

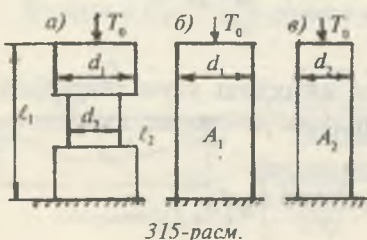
Динамик деформация: $\varphi_g = \frac{M\ell}{GI_p} \sqrt{\frac{2T_o GI_p}{M^2 \ell}} = \sqrt{\frac{2T_o \ell}{GI_p}}$

12.4. ЎЗГАРУВЧАН КЕСИМЛИ СТЕРЖЕНЛАРДА ЗАРБ ТАЪСИРИДАГИ КУЧЛАНИШ

Бўйлама зарб таъсиридаги кучланишни камайтириш учун стерженнинг ҳажмини катталаштириш керак эканлигини олдинги мавзуларда кўриб ўтдик.

Бу назария, агар стерженнинг ҳажми унинг узунлиги бўйлаб ўзгармас бўлса, ўринлидир. Стерженнинг узунлиги бўйлаб кўндаланг кесим юзаси ўзгарувчан бўлса, амалиётда юқоридаги назарияларда ўзгариш бўлиши мумкин.

Масалан, узунлиги бўйлаб $d_1 > d_2$ диаметрли кесимнинг энг катта кучланиши d_2 диаметрли кесимда ҳосил бўлади. Энг катта куч-



ланиш стерженнинг заифлашган кесими диаметрига ва унинг сиқувчанлигига боғлиқ. Бу ҳолда стерженнинг кучланиши икки хил усул билан камайтирилиши мумкин:

1) Стерженнинг заифлашган кесимини d_1 диаметр билан тайёрлаш: бу ҳолда стерженнинг кесим юзаси катталашади; сиқилувчанлиги камаяди: инерция кучи бир оз ортади. Кесим юзаси катталашиши ҳисобига кучланиш камаяди. Агар стержень заифлашган кесимни тақозо қилса, бу вариант керак эмас.

2) Стерженнинг мустаҳкамлигини ошириш учун, унинг сиқилувчанлиги орттирилиши керак. Сиқилувчанлик асосан стерженнинг узунлиги бўйлаб d_2 диаметр билан тайёрлаш эвазига орттирилади. У ҳолда динамик куч — F_g камаяди, кучланиш ҳам камаяди. Бу назарияларни ҳисоб усули билан текширамиз. 315-расмда кўрсатилган учта стерженга ҳам бир хил $T_0 = Qh$ зарб таъсири қўйилсин. Уларни қўйидагича белгилайлик:

$$\frac{A_2}{A_1} = q \quad \text{ва} \quad \frac{l_2}{l_1} = p$$

Кучланишни тақрибий формула ёрдамида топамиз (315-а расм): $\sigma_g = \sigma_c \sqrt{\frac{2h}{\Delta l}} = \frac{Q}{A_2} \sqrt{\frac{2h}{\Delta l}} = \sqrt{\frac{2T_0 Q}{A_2^2 \Delta l}}$

$$\text{Бу ерда: } \Delta l = \frac{Ql_2}{EA_2} + \frac{Q(l_1 - l_2)}{EA_1} = \frac{Ql_1}{EA_2} [P + q(1 - P)]$$

$$\text{У ҳолда: } \sigma_g = \sqrt{\frac{2T_0 Q}{A_2^2 \frac{Ql_1}{EA_2} [P + q(1 - P)]}}$$

Ўзгармас кесимли (b ва a) стерженлар учун

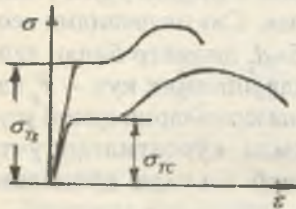
$$\sigma_a = \sqrt{\frac{2T_0 E}{A_1 l_1}} \quad \text{ва} \quad \sigma_b = \sqrt{\frac{2T_0 E}{A_2 l_1}}$$

$$[P + q(1 - P)] < q < 1 \quad \text{булганлиги учун } \sigma_a > \sigma_b > \sigma_g$$

Шундай қилиб, (а) схемада диаметрнинг 20% кичиклаштирилиши кучланишни 50% га катталаширади, агар стерженнинг узунлиги бўйлаб бир хил d_2 диаметрда тайёрланса, кучланиш 20% га яқин камайтирилади. Ўзга-

рувчан кесимли стерженларга бўйлама зарб таъсирида ишлайдиган болтларни мисол қилиш мумкин. Болт зарб таъсирини емирилмасдан ўтказиб юбориши учун унинг узунлиги бўйлаб диаметрини резьбанинг ички диаметрига teng қилиб тайёрлаш керак. Бунинг учун болтнинг сирти йўнилади ёки унда ички канал ҳосил қилинади. Кўпинча стерженнинг узунлиги катталаштирилиши эвазига ҳам кучланиш камайтирилади.

Зарбга синаш. Тажрибалар натижасига кўра, бир хил



316-расм.

материалдан тайёрланган намуналар статик ва динамик кучларга ҳар хил қаршилик кўрсатиши аниқланган. Масалан, намуналарни чўзилишга катта тезликда синашда олинган диаграмма статик куч таъсиридаги диаграммадан фарқ қиласди (316-расм):

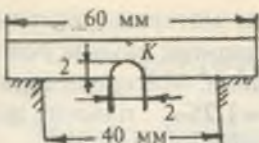
- 1) динамик куч таъсирида материалнинг оқувчанлик ва мустаҳкамлик чегаралари катталашади;
- 2) емирилишдаги қолдиқ деформацияси камаяди;
- 3) диаграмма σ ўқи томонга силжийди;
- 4) оқувчанлик вақти камаяди;
- 5) материалнинг эластиклик модули катталашади.

Зарб таъсиридан пластик материалда муртлик намоён бўлиши мумкин, яъни пластик материал мурт материалдек емирилади.

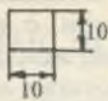
Н.Н. Давиденко тажрибасига асосан зарб таъсиридан оқувчанлик чегараси 20—70% га, мустаҳкамлик чегараси 10—30% га ортади.

Материални зарбга синаш учун маҳсус намуна тайёрланади (317-расм). Материални оғирроқ вазиятда ишлатиш учун намунада ўлчамлари 2 мм бўлган канал тайёрланади. Маятник типидаги коперда (317-расм) намунага К нуқтадан зарб берилади.

С маятник h_1 баландликдан тушиб намунани емиради ва ортиқча қолган энергия ҳисобига $h_2 \leq h_1$ баландликка кўтарилади. Маятникнинг бажарган иши $W_{\text{иш}} = G(h - h_2)$ нинг бир қисми намунани емиришга сарфланади. Ишнинг



317-расм.



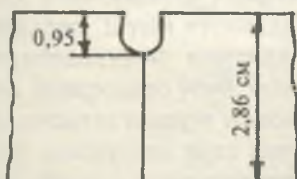
318-расм.

бир қисми ишқаланишга, ҳавонинг қаршилигини енгизга сарфланади. Материалнинг зарб таъсирига қаршилик курсата билиш қобилиятини зарбга қовушқоқлик тавсифлари аниқлайди:

$$\alpha = \frac{W_1}{A} = \frac{W - \Delta W}{A} \quad (12.26)$$

α — тавсифлар қанча катта бўлса, материалнинг зарб таъсирига қаршилик кўрсатиш қобилияти шунча яхши бўлади. α нинг қиймати тажриба ўтказиш шароитига, намунали ўлчамларига боғлиқ бўлади. Намунанинг заифлашган кесимида кучланишнинг тарқалиш қонунияти (319-расм) да кўрсатилган:

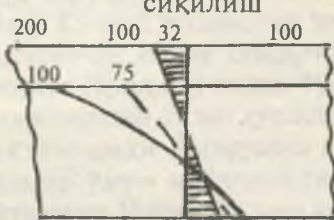
чўзилиш



а)

319-расм.

сиқилиш



б)

75

(а) диаграмма намунани каналча бўлмаган пайтдаги кучланиш эпюраси. (б) диаграмма намунани зарб таъсиридан эгилишдаги нормал кучланиш (σ_{1_y}) эпюраси. Пунктир чизиқли эпюра канал ёнида кучланишнинг маҳаллий тўплами ҳосил бўлмаган пайтдаги кучланишнинг тарқалиш қонунияти. Диаграммадан кўринадики, намунанинг баландлигини 0,95 см га камайтирганда, кучланишнинг маҳаллий тўплами 5,22 маротаба катталашар экан.

Каналчанинг асосида жойлашган материал ҳажмий кучланганлик ҳолатида бўлади. σ_2 , кучланиш намуна ўқига параллел, σ_1 перпендикуляр жойлашади. Материал окувчанлик чегарасидан катта бўлган $\sigma_1 = 1,25\sigma_T$ пластик деформация олади ва мурт ҳолатда бўлади.

XIII БОБ

ҮЗГАРУВЧАН КУЧЛАНИШЛАР

Материалларнинг систематик радишдаги қиймати ёки қиймати ва ишорасини үзгартириб турадиган юкларга қаршилиги уларнинг статик ёки зарб таъсирига қаршилигидан фарқ қилади. Шунинг учун материалнинг үзгарувчан юклар таъсиридаги мустаҳкамлигини ўрганиш алоҳида аҳамиятга эга. Қиймати жиҳатидан үзгарувчан ва жуда кўп тақрорланадиган юклар таъсирида машиналарнинг қисмлари тасодифан ва сезиларли даражада қолдиқ деформация ҳосил қилмай емирилиши қизиқарли ҳол эди.

Ўзгарувчан юклар таъсирида материалларнинг структураси ўзгариади, шунинг учун материалда "толиқиш" — "чарчаш" ҳосил бўлиб, емирилади — пластиклик муртлик билан алмашади, деган фикр пайдо бўлган эди. XX асрнинг бошларида металларнинг структураси ва механик хоссалари үзгарувчан қучланишлар таъсиридан ўзгармас эканлиги исботланади. Масалан, буғ машинанинг штоки ёки поезд вагонининг ўқи узоқ вақтлар үзгарувчан қучланишлар таъсирида ишласа ҳам үзининг структураси ва пластиклик хоссаларини ўзгартирмайди. Кўплаб ўтказилган тажрибалар шуни курсатдики, үзгарувчан юклар таъсиридаги металлнинг сиртида микродарз (ёрилиш) пайдо бўлади. Микродарз үсисб, бошқа микродарзлар билан қушилади ва детални ичкари томон ривожлантиради. Ўзгарувчан юклар таъсирида дарз кетган юзалар ўзаро яқинлашади ва бир-бирига босим таъсирини ўтказади. Натижада дарз юзалиари силлиқлашади. Янги ривожланган дарз юзаси эса қўпол ва донадор бўлади. Бу ҳолат мурт емирилишга яқин. Ўзгарувчан юклар таъсиридаги емирилишнинг бундай механизми дарз ривожланиши билан деталнинг кесими заифлашиши ва деталнинг мустаҳкамлиги камайиб бораётганлигини тўғри тушунтиради.

Дарз асосидаги материал ҳажмий кучланганлик ҳолати маҳаллий тавсифга эга, чунки дарз ва кучланганлик ҳолати материалнинг ҳамма қисмида ҳам ҳосил бўлмайди.

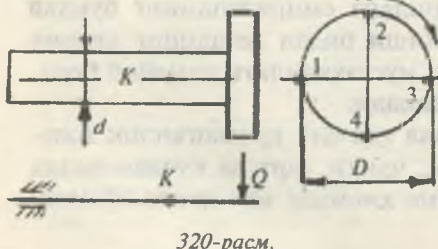
Демак, техника, фан ривожланишининг янги этапида материалларнинг ўзгарувчан юклар таъсирида емирилишига асосий сабаб унинг "толиқиши" — "чарчаши" эмас, балки деталнинг сиртида ҳосил бўлган дарз юзаси экан. Шунинг учун толиқиши деганда материалларнинг аста-секин ривожланадиган микродарзлар таъсиридан емирилиши тушунилади.

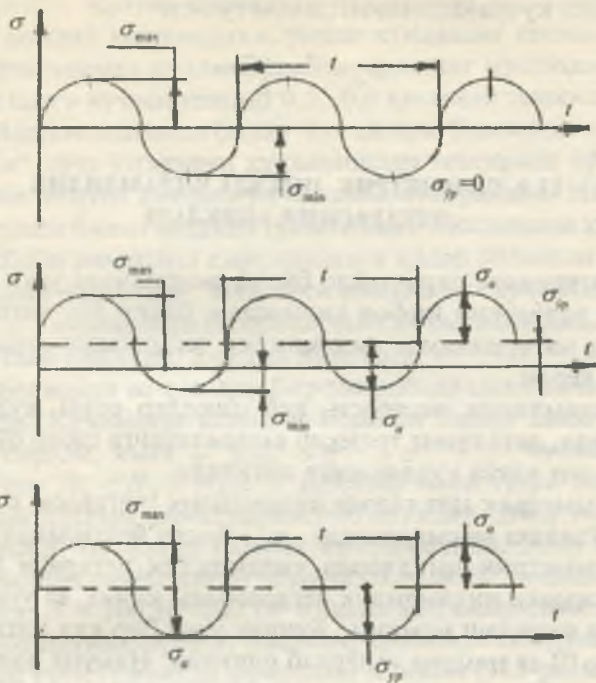
13.1. КУЧЛАНИШ ЦИКЛЛАРИНИНГ ТУРЛАРИ

Бир учиға шкив ўрнатилган вал сиртига түгри келадиган кучланишни топайлик. Агар вал шкивнинг оғирлиги Q таъсиридан эгилади, деб қабул қилсак, валнинг кўндаланг кесим юзасида эгилишдаги нормал кучланишлар ҳосил бўлади. Кесим юзасидан ажратилган 1 ва 3-нуқтадар (320-расм) нейтрал ўқ устида жойлашади. Шунинг учун бу нуқталарда эгилишдаги нормал кучланиш нолга teng. 2 ва 4-нуқтадар вал материалининг чўзиладиган ва сиқиладиган толаларида жойлашган. Бу нуқталардаги нормал кучланишлар ўзаро teng ва қарама-қарши ишоралидир. Агар, валнинг айланишини ҳисобга олсак, вақт оралиғида, яъни маълум даврда (T) бу нуқталарнинг ўрни алмашиб туради. Демак, K нуқтанинг ҳолати 1, 2, 3 ва 4-нуқтадар ҳолати билан мос тушиши мумкин экан. Натижада K нуқтанинг кучланиши вақт оралиғида қийматини ва ишорасини ўзгариради. Бир давр ичидаги кучланишнинг ўзгаришига кучланиш цикли дейилади. Конструкция қисмларини ишлаш жараёнинда кучланишлар цикллари жуда

кўп давом этиши мумкин ва турлича бўлади (321-расм). Масалан:

1) Носимметрик ўзгарувчан кучланишлар (308-б, в расм) максимал ва минимал қийматлари teng ва бир хил ишорали ва нольдан бошланадиган циклли





321-расм.

бўлади. Агар кучланишларни ($\sigma_{\max} = \sigma_{\min}$) максимал ва минимал қийматлари тенг ва бир хил ишорали бўлса, ўзгармас кучланишлар, дейилади. Симметрик циклли ўзгарувчан кучланишларни максимал ва минимал қийматлари бир-бирига тенг ва ҳар хил ишоралидир. Кучланишларнинг ишорасини ҳисобга олганда, минимал кучланиши максимал кучланишга нисбати цикл тавсифи дейилади, яъни:

$$\eta = -\frac{\sigma_{\min}}{\sigma_{\max}} \quad \text{ва} \quad \eta = \frac{\sigma_{\min}}{\sigma_{\max}} \quad (13.1)$$

Циклнинг ўртача кучланиши:

$$\sigma_{\bar{\sigma}} = \frac{\sigma_{\max} - \sigma_{\min}}{2} \quad (13.2)$$

Цикл кучланишининг амплитудаси:

$$\sigma_a = \frac{\sigma_{\max} - \sigma_{\min}}{2}$$

13.2. СИММЕТРИК ЦИКЛДА ЧИДАМЛИЛИК ЧЕГАРАСИНИ АНИҚЛАШ

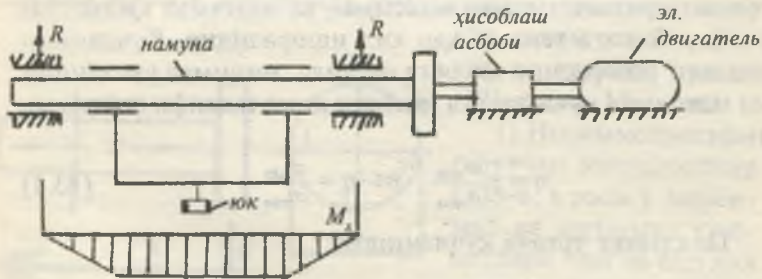
Материалда дарз пайдо бўлиб емирилиши учун фақат унинг толиқиши кифоя қилмасдан, балки энг катта кучланиш материалнинг чидамлилик чегарасидан ошиб кетиши керак.

Чидамлилик чегараси, деб цикллар сони жуда кўп бўлганда, деталнинг толиқиб емирилишига сабаб бўлмайдиган энг катта кучланишга айтилади.

Симметрик циклларда чидамлилик чегараси σ_{-1} , оддий чўзишиш ва сиқилишда σ_{+1} билан белгиланади.

Симметрик циклларда чидамлилик чегараси бошқа цикллардаги чидамлилик чегарасидан кичик ва уни тажрибада аниқлаш мумкин. Бунинг учун бир хил материалдан 6–10 та намуна тайёрлаб олинади. Намуна доиравий кесимли бўлиб, шарико-подшипник орқали шундай юкланди, унинг ўрта қисми соф эгилишга ишласин (бу ҳолатда $\tau = 0$). Намуна (2000...3000) айл/мин тезлик билан айланади (322-расм).

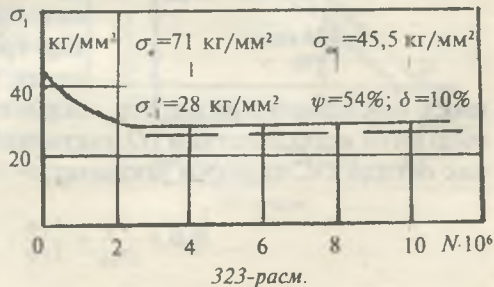
Намунада маъзалий кучланишлар тўплами ҳосил бўлмаслиги учун уни шакли силлиқ қилиб тайёрланади.



322-расм.

Биринчи намуна машинага ўрнатилади ва ташқи куч билан шундай юкландири, унинг кундаланг кесимидаги энг катта нормал кучланиш материалнинг мустаҳкамлик чегарасидаги кучланишнинг $0,5 \dots 0,6$ қисмини ташкил қиласин. Машина ишлаши билан вал айланга бошлайди ва $-\sigma$ дан $-\sigma'$ гача ўзгарувчи кучланишлар таъсирида бўлади. Тажриба намуна емирилганча давом эттирилади. Намуна емирилиши билан машина тўхтатилади. Мосламани ҳисоблаш асбоби намунани емирилишига қадар айланган цикл N_1 сонини кўрсатади. Иккинчи намуна σ' кучланишдан кичик σ' кучланиши билан юкланди ва емирилиш цикли N_2 ёзиб олинади. Учинчи намунага $\sigma''' < \sigma''$ кучланиши берилади ва ҳ.к. Ҳар бир тажрибада цикл сони ёзиб олинади. Кучланиш камайиб бориши билан цикл сони ортиб боради, яъни $\sigma' > \sigma'' > \sigma''' > \sigma'''' > \dots$ кучланишлар учун $N_1 < N_2 < N_3 < \dots$ цикллар сони тўғри келади. Кучланишларни камайтиравериб шундай цикл сонини топамизки, бу ҳолда намуна емирилмайди. Агар пулат материалдан тайёрланган намуна $N = 10 \cdot 10^6$ циклда емирилмаса, $N = 100 \cdot 10^6 \dots 200 \cdot 10^6$ циклда ҳам емирилмас экан. Тажриба натижаларини, масалан, хромникелли пулат материали учун графикда ифодалаш мумкин (323-расм). Бунинг учун ординатага ҳар бир намунада ҳосил қилинган кучланишлари, абсциссада эса цикл сонлари жойлаштирилади.

Эгри чизиққа ўтказилган горизонтал уринманинг ординатаси материалнинг чидамлилик чегарасини аниқлайди. Пўлат материалнинг эгилишдаги чидамлилик чегараси оддий чўзилиш ва сиқилишдаги мустаҳкамлик чегараси билан боғлиқ: $\sigma_{-1}^0 = 0,4\sigma_B$. Ўзгарувчан чўзувчи ёки сиқувчи куч таъсиридаги пулатни чидамлилик чегараси σ_1^0 эгилишдаги чидамлилик чегарасидан



кичик, яъни: $\sigma_{-1}^0 = 0,7$; $\sigma_{-1}^3 = 0,28 \sigma_B$, чунки чўзилиш ва сиқилишда кесимининг ҳамма нуқтаси бир хил кучланиш таъсирида бўлади. Эгилишда энг катта кучланиш кесимнинг четки толаларида ҳосил бўлади, қолган материалда кучланишнинг қиймати кичиклашади. Буралишда чидамлилик чегараси: $\tau_{-1}^{\delta} = 0,55\sigma_{-1}^3 = 0,22\sigma_B$ ва рангли металлар учун:

$$\sigma_{-1}^3 = (0,24 \dots 0,50)\sigma_B \quad (13.3)$$

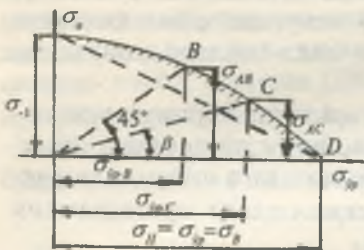
13.3. НОСИММЕТРИК ЦИКЛДА ЧИДАМЛИЛИК ЧЕГАРАСИНИ АНИҚЛАШ

Носимметрик циклда материалнинг чидамлилик чегарасини аниқлаш бир оз мураккаб. Чунки намунани эгилиши билан бир қаторда уни чўзувчи ва сиқувчи куч билан ҳам юклаш керак. Бу ҳолат синов машиналарини муракаблаштиришга, қўшимча мосламалар тайёрлашга олиб келади. Шунинг учун носимметрик циклларда материал-

ни чидамлилик чегарасини аниқлаш учун тажрибалар асосида қурилган диаграммадан фойдаланамиз (324-расм). Диаграмманинг абсциссасида ўртача кучланиш σ_y ва ординатасида кучланишлар амплитудаси σ_0 жойлаштириллади. Ҳар хил цикллардаги кучланишлар ёрдамида КВСД эгри чизиқ ўтказилган. Бирорта

цикл тавсифини қийматига чидамлилик чегарасини топиш учун координатани O нуқтасидан абсциссага β бурчак остида OC чизиқни ўтказамиз:

$$\operatorname{tg} \beta = \frac{\sigma_0}{\sigma_{y_p}} = \frac{1-\eta}{1+\eta} \quad (13.4)$$



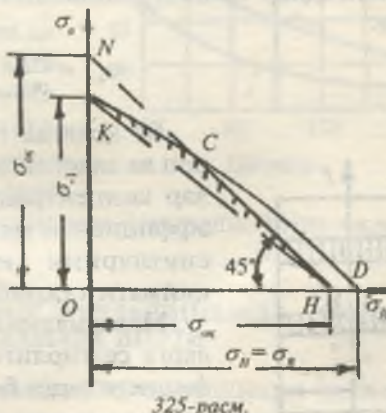
324-расм.

CC_1 ва OC_1 масофаларни ва тегишли σ_n ва σ_{max} кучланишларнинг йигиндиси чидамлилик чегарасининг қийматини беради, яъни:

$$\sigma_{rc} = \sigma_{max} = \sigma_{ac} + \sigma_{yp}$$

Абсциссаси $\sigma_{yp} = 0$ бўлган K нуқтанинг ординатаси $OK = \sigma_a = \sigma_{-1}$ симметрик циклда чидамлилик чегарасини ординатаси $\sigma = 0$ бўлган D нуқтанинг абсциссаси $OD = \sigma_{yp} = \sigma_{+1} = \sigma_b$ ўзгармас кучланишдаги чидамлилик чегарасини аниқлайди. $\beta = 45^\circ$ бурчак остида жойлашган B нуқта нолдан бошланадиган циклнинг чидамлилик чегарасини аниқлайдиган оқувчанлик чегараси бўлмаган материаллар учун чидамлилик чегараси, статик юк таъсиридаги мустаҳкамлик чегарасига ўхшаган хавфли ҳисобланади. Агар материал пластик бўлса, статик юк таъсирида оқувчанлик чегараси ва ўзгарувчан кучланишларда чидамлилик чегараси хавфли ҳисобланади. Бундай материалларда толиқиш емирилиши билан бирга пластик деформациялар пайдо бўлиши ҳам хавфлидир. Бунда циклнинг энг катта кучланиши $\sigma_{max} = \sigma_a + \sigma_{yp} = \sigma_{oc}$ бўлади.

Бурчак билан ўтказилган тўғри чизиқ KB чизиқни кесиб ўтса, деталь толиқиш емирилишига учрайди; BD чизиқни кесиб ўтса, пластик деформация пайдо бўлиши билан ишдан чиқади. Чизиқ статик юкланишда хавфли кучланишни ва KB чизиқ ўзгарувчан кучлар таъсиридаги хавфли кучланишни билдиради.

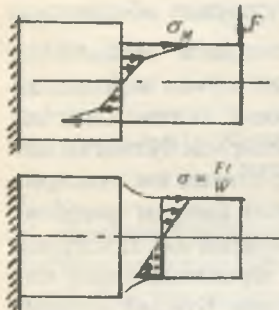


325-расм.

13.4. ЧИДАМЛИЛИК ЧЕГАРАСИГА ТАЪСИР ҚИЛУВЧИ ФАКТОРЛАР

Тажрибалар шуни курсатадики, чидамлилик чегарасига кучланишлар концентрацияси, деталнинг ўлчамлари, деталь сиртининг ҳолати, деталнинг технологик ишлов бериш тавсифи таъсир қилади.

а) Кучланишлар концентрацияси.



326-расм.

Узунлиги бўйлаб кесими бир жинсли бўлмаган деталларда, кичик диаметрдан катта диаметрга ўтиш жойларида ёки заифлашган кесимларда кучланишларнинг тарқалиш қонунияти ўзгаради ва маҳаллий кучланиш, яъни кучланишлар тўплами ҳосил бўлади:

$$\sigma_M = \alpha_k \frac{F\ell}{W} \quad (13.5)$$

Бундай кучланишларга кучланишлар концентрацияси дейилади.

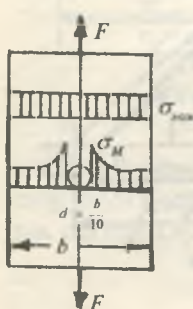
Максимал кучланишни номинал кучланишга нисбати кучланишлар концентрациясининг коэффициенти дейилади:

$$\alpha_{Ku} = \frac{\sigma_M}{\sigma_{nom}} \quad (13.6)$$

Бу ҳолатда намуна материали изотроп ва эластик деб қаралади. Кучланишлар концентрациясининг ҳақиқий коэффициенти материалнинг ҳамма хусусиятларини ҳисобга олади ва унинг қиймати тажрибалар асосида топилади.

Материалнинг маҳаллий кучланишларга сезгирлиги — q юқоридаги коэффициентларга боғлиқ:

$$q = \frac{\alpha_{kg} - 1}{\alpha_{Ku} - 1} \quad (13.7)$$



327-расм.

q нинг қиймати юқори сифатли, термик ишлов берилган легирланган пұлатда биргача, камулеродли пұлатда 0,5 гача, чүнда нолга яқин бўлади.

Демак, мустаҳкамлик чегараси катта бўлган материалларда q нинг қиймати катта экан. Агар, $\sigma_{nom} = \sigma_{-1}$ ва $\sigma_M = \sigma_{-1k}$ деб қабул қиласак, $\alpha_{kg} = \frac{\sigma_{-1}}{\sigma_{-1k}}$ ҳосил бўлади. У ҳолда кучланиш концентрациясининг ҳақиқий коэффициенти чидамлилик чегараси билан боғлиқ бўлади:

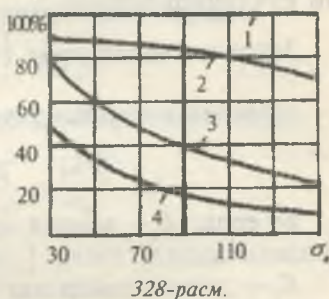
$$\alpha_{kg} = 1 + q(\alpha_{kn} - 1)$$

Пұлат материал учун $\alpha_{kg} = 1,2 + 0,2 \frac{\sigma_{\delta=40}}{110}$; канавкатар, кесимлар ўзгарадиган жойлар бўлса, $\alpha_{kg} = 1,5 + 1,5 \frac{\sigma=40}{110}$ формула ишлатилади. Толиқиши эмирилишлари кесимлар ўзгарадиган жойларда, нотекисликлар атрофларида бошланади. Бундай ҳолларда деталнинг чидамлилик чегараси камаяди.

б) Деталь сиртининг сифати.

1. Сирти жилоланган.
2. Сирти кескич билан ишлов берилган.
3. Прокатлаб олинган сирт.
4. Денгиз сувида коррозияланган.

Деталнинг сирти қанча дағал бўлса, чидамлилик чегараси шунча кичик бўлади. Деталь ишлов берилган сиртда кучланишлар концентрацияси ҳосил бўлади. Шунинг учун деталнинг сиртига маҳсус ишлов берилади. Унда чидамлилик чегараси ортади.



328-расм.

13.5. ЎЗГАРУВЧАН КУЧЛANIШЛАРДА МУСТАҲКАМЛИК ШАРТИ

Турли цикллардаги хавфли кучланишнинг қиймати 324—325-расмлардаги диаграммалар асосида топилади. Мурт материаллар учун 324-расмдаги диаграмманинг K_d тўғри чизигидан ташқарида жойлашган кучланиши хавф-

ли деб олинади. Пластик материаллар учун KH түгри чизикдан (325- расм) ташқаридаги кучланиш хавфли деб олинади. Рухсат этилган кучланишни танлаш учун диаграммаларни абсцисса ва ординаталарини мустаҳкамликка боғлиқ камайтириш керак.

Ўзгармас юкда кучланишнинг рухсат этилган қиймати қуидагича топилади:

$$\text{Пластик материал учун: } [\sigma_{+1}] = \frac{\sigma_{ok}}{K_{01}} \quad (13.8)$$

$$\text{Мұрт материал учун: } [\sigma_{+1}] = \frac{\sigma_B}{K_{02} \cdot \alpha_{kg}}$$

Бу ерда: K_{01} — оқувчанлик чегарага нисбатан мустаҳкамликка эҳтиётлик коэффициенти.

K_{02} — мустаҳкамлик чегарага нисбатан мустаҳкамликка эҳтиётлик коэффициенти.

α_{kg} — кучланишлар концентрациясининг ҳақиқий коэффициенти.

Симметрик циклда чидамлилик чегарасида (σ_{-1}) хавфли кучланиш бўлади.

$$\text{Мұрт материал учун: } [\sigma_{-1}] = \frac{\sigma_{-1}}{K_0 \cdot \alpha_{kg} \cdot \alpha_H}$$

Пластик материал учун:

$$[\sigma_{-1}] = \frac{\sigma_{-1}}{K_0 \cdot \alpha_{kg} \cdot \alpha_M \cdot K_T \cdot K_s \cdot K_g} \quad (13.9)$$

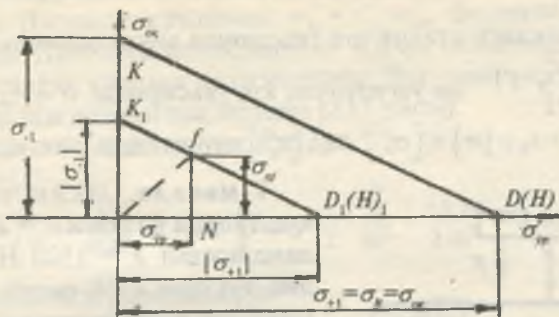
Бу ерда: K_0 — асосий мустаҳкамликка эҳтиётлик коэффициенти.

K_T — деталь тайёрлаш технологиясининг кучланишга таъсири.

K_s — детални эксплуатация қилиш шароитининг кучланишга таъсири.

K_g — ўзгарувчан кучланишнинг зарб таъсири билан биргаликдаги таъсирини ҳисобга олувчи динамик коэффициент.

329-расмда $\sigma_a = \sigma_{vp}$ координаталарида хавфли кучланишлар чизиги KD (кн) ва рухсат этилган кучланишлар чизиги $K_1 D_1$ кўрсатилган. $K_1 D_1$ чизиқ AK ва $OD_1 = [\sigma_{+1}]$ кучланишлар асосида чизилган.



329-расм.

Ўзгарувчан күчланишларнинг турли циклларда рухсат этилган күчланишини аниқлаш учун координата боши O нуқтадан абсциссага β бурчак остида тўғри чизиқ ўтказамиз ($\tan \beta = \frac{1-r}{1+r}$) ва K_D чизиқ билан кесишгунча давом эттирамиз. f нуқтанинг абсциссаси σ_{yrf} ва ординатасининг йифиндиси рухсат этилган күчланишни беради:

$$\sigma_{\max f} = [\sigma_n] = \sigma_{yrf} + \sigma_{af} \quad (13.10)$$

NfD_1 учбурчагини OK_1D_1 учбурчагига ўхшашилигидан:

$$\frac{OD_1}{ND_1} = \frac{OK_1}{Nf} \text{ ёки } \frac{[\sigma_{+1}]}{[\sigma_{+1}] - \sigma_{yrf}} = \frac{[\sigma_{-1}]}{\sigma_{af}} \text{ ва}$$

$$\sigma_{af} [\sigma_{+1}] + \sigma_{yrf} [\sigma_{-1}] = [\sigma_{+1}] [\sigma_{-1}] \text{ ҳосил бўлади.}$$

$$\text{Лекин } \sigma_{af} = \frac{1-r}{2} \quad \sigma_{\max f} = \frac{1-r}{2} [\sigma_2] \text{ ва}$$

$$\sigma_{yrf} = \frac{1+r}{2} \sigma_{\max f} = \frac{1+r}{2} [\sigma_2]$$

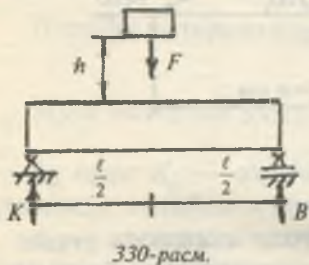
У ҳолда:

$$[\sigma_2] = \frac{2[\sigma_{+1}][\sigma_{-1}]}{(1+r)[\sigma_{-1}] + (1-r)[\sigma_{+1}]} \quad (13.11)$$

ҳосил бўлади. Мустоҳкамлик шарти қуидагича ёзилади.

$$\sigma_{\max} \leq [\sigma_r] \quad (13.12)$$

Мураккаб қаршилик-эгилиш билан буралишнинг биргалиқдаги статик юк таъсирида мустаҳкамлик шарти: $\frac{\sigma^2}{[\sigma]^2} + \frac{\tau^2}{[\tau]^2} \leq 1$ ва ўзгарувчан юк таъсирида: $\sigma = \sigma_a + \sigma_{vp}$ ва $\tau = \tau_{vp} + \tau_a$; $[\sigma] = [\sigma_r^2]$ ва $[\tau_r^\delta]$ күринишда олинади.



1-масала. Икки таянчли құштаврли балкага $h = 20$ см бағандылардан $F = 1500$ Н юк келіб тушади (330-расм). Балканнинг энг катта динамик нормал күчланишини топамиз. Ўнг таянч ўрнини эластик пружина билан алмаштириб биринчи сағолга жавоб берамиз.

Берилған: құштавр $N-22$.

$$\ell = 2 \text{ м}; \quad 10^3 \alpha = 30 \frac{\text{м}}{\text{кН}} \quad \text{ёки} \quad \alpha = \frac{30}{10^3}$$

$$E = 2 \cdot 10^8 \frac{\text{кН}}{\text{м}^2}; \quad I_x = 2550 \cdot 10^{-2} \text{ м}^4$$

$$W_x = 232 \cdot 10^{-6} \text{ м}^3$$

Ечиш. Балканнинг хусусий оғирлигини ҳисобга олмаймиз. F юк таъсиридан K ва B таянчлардаги реакция күчлари $K = B = \frac{F}{2} = 750$ Н булади. Энг катта динамик күчланиш қуйидаги формула билан топилади: $\sigma_g = k_g \cdot \sigma_{cm}$, бу ерда $K_g = 1 + \sqrt{1 + \frac{2h}{\Delta_{cm}}}$ динамик коэффициент булып, статик күчиш Δ_{cm} га бөлгілік $\Delta_{cm} = f_{cm} = \frac{F\ell^3}{48EI_x}$ балканнинг F юк статик таъсир қылғандаги тұлиқ күчиши.

$\sigma_{cm} = \frac{M_{cm}}{W_x} = \frac{F\ell}{4W_x}$ — статик юк F таъсиридаги энг катта нормал күчланиш.

Динамик күчланиш: $\sigma_t = \left[1 + \sqrt{1 + \frac{2h \cdot 48EI_x}{F\ell^3}} \right] \cdot \frac{F\ell}{4W_x}$
ёки $\sigma_d = 0,295 \cdot 10^6 \frac{\text{кН}}{\text{м}^2}$

Энди балканинг ўнг таянчини пружина билан алмаштирамиз. Динамик кучланиш $\sigma_g = K_g \cdot \sigma_{cm}$ формула билан топилади. Динамик коэффициент K_D ни аниқлашда балканинг статик күчиши пружинанинг ўнг таянч кучининг деформациясига боғлиқ бўлади (331-расм).

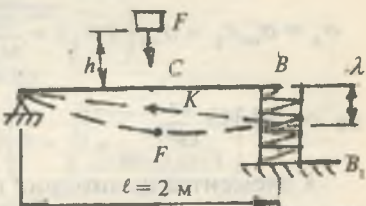
$$\Delta_{ct} = \Delta_6 + \Delta\beta\lambda$$

Бу ерда:

$$\Delta_6 = f_{cm} = \frac{F\ell^3}{48EI_x}; \quad \lambda = \frac{F}{2} \cdot \alpha = \frac{F}{2} \cdot \frac{30}{10^3} = \frac{1.1 \cdot 30}{2 \cdot 10^3} = 0,0165 \text{ м}$$

пружинанинг B реакция кучи таъсиридан күчиши. β — пружинанинг деформацияси билан балканинг F юк таъсиридаги тўлиқ күчиши орасидаги боғланиш.

$$\Delta BB_1 K \approx \Delta CKK \quad \text{уҳаш-} \\ \text{ликдан } CK = \frac{BB_1}{2} = \frac{\lambda}{2} = \beta\lambda \quad \text{ва}$$



331-расм.

$$f_{cm} = \frac{F\ell^3}{48EI_x} = \frac{1,5 \cdot 8}{48 \cdot 2 \cdot 10^8 \cdot 2550 \cdot 10^{-8}} = 4,9 \cdot 10^{-5} \text{ м}$$

ҳосил бўлади. Демак, $\beta = 0,5$

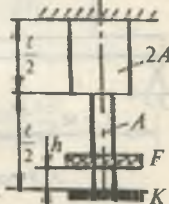
Натижада $\Delta_{cm} = 4,9 \cdot 10^{-5} + 0,5 \cdot 0,0165 = 8,299 \cdot 10^{-5} \text{ м}$
ҳосил бўлади.

Динамик коэффициент: $K_g = 1 + \sqrt{1 + \frac{2 \cdot 0,2}{8,299 \cdot 10^{-5}}} \approx 8 \quad \text{ва}$

$$\text{куchlаниш: } \sigma_g = K_g \frac{F\ell}{4W_x} = 8 \cdot \frac{1,5 \cdot 2}{4 \cdot 232 \cdot 10^{-6}} = 0,0258 \cdot 10^6 \frac{\kappa H}{m^2}$$

2-масала. Погонали бруsnинг K нуқтаси $h = 5 \text{ мм}$ баландликдан тушаётган $Q = 400 \text{ кг}$ юк таъсирида зарбга учрайди.

Бруsnинг узунлиги $l = 5 \text{ м}$, кўндаланг кесим юзаси $A = 2 \text{ см}^2$, пўлат материалдан. Энг катта нормал кучланиш топилсин. Агар K элементга зарб таъсирини юмшатувчи цилиндрик пружина ўрнатилса,



332-расм.

кучланишни топинг. 1 кг статик юк таъсирида пружина $4 \cdot 10^{-3}$ мм сиқилади.

Ечиш. Погонали бруснинг статик куч таъсиридаги узайишни ва нормал кучланишини топамиз, статик узайиш:

$$\delta_{cn} = \Delta\ell_{cn} = \frac{F\ell}{EA} + \frac{F\ell}{E2A} = \frac{3F\ell}{4EA}$$

$$\text{ва кучланиш: } \sigma_{cm} = \frac{F}{A} = \frac{400}{2} = 200 \frac{\text{кг}}{\text{см}^2}$$

Энг катта динамик кучланишни топамиз:

$$\sigma_g = \sigma_{cm} K_g = \sigma_{cm} \left(1 + \sqrt{1 + \frac{2h}{\Delta\ell_{cm}}} \right) = 200 \left(1 + \sqrt{1 + \frac{2 \cdot 0,06 \cdot 16 \cdot 10^6}{3 \cdot 400 \cdot 500}} \right)$$

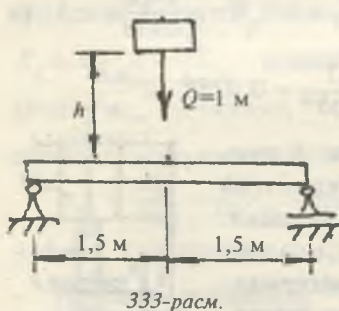
$$\text{ва } \sigma_g = 1349 \frac{\text{кг}}{\text{см}^2}$$

К элементга цилиндрик пружина ўрнатилганда, δ_{cm} статик деформация погонали бруснинг ва пружинанинг сиқилишига тенг бўлади, яъни:

$$\begin{aligned} \delta_{cm} &= \Delta\ell_{cm} + \lambda_{cm} = \frac{3F\ell}{4EA} + F \cdot 4 \cdot 10^{-4} = \\ &= \frac{3 \cdot 400 \cdot 500}{4 \cdot 2 \cdot 10^6 \cdot 2} + 400 \cdot 4 \cdot 10^{-4} = 0,1975 \text{ см} \end{aligned}$$

Унда динамик кучланиш:

$$\sigma_g = 200 \left(1 + \sqrt{1 + \frac{2 \cdot 0,6}{0,1975}} \right) = 732 \frac{\text{кг}}{\text{см}^2}$$



З-масала. N-24 профилли балка иккита шарнирли таянчга таянади. Юк балканинг ўрта қисмига 50 см/сек тезлик билан келиб зарб таъсир қилади. Энг катта кучланишни топинг.

Ечиш. N-24 қуштаврли кесимнинг айrim геометрик тавсифларини ёзиб оламиз.

$$I_x = 3460 \text{ cm}^4$$

$$W_x = 289 \text{ cm}^3; A = 34,8 \text{ cm}^2$$

Статик күчланишни топамиз:

$$\sigma_{cm} = \frac{M}{W_x} = \frac{Q\ell}{4W} = \frac{1000 \cdot 300}{4 \cdot 289} = 259,5 \frac{\text{kz}}{\text{cm}^2}$$

Балканинг энг катта салқилигини топамиз:

$$f_{cm} = \frac{Q\ell^3}{48EI} = \frac{1000 \cdot (300)^3}{48 \cdot 2 \cdot 10^6 \cdot 3460} = 0,0813 \text{ cm}$$

Динамик күчланишни топамиз:

$$\sigma_g = \sigma_{cm} \left(1 + \sqrt{1 + \frac{v^2}{g_{cm}}} \right) = 259,5 \left(1 + \sqrt{1 + \frac{50^2}{981 \cdot 0,0813}} \right)$$

$$\text{ва } \sigma_g = 259,5 \cdot 6,69 = 1735,4 \frac{\text{kz}}{\text{cm}^2}$$

Динамик деформация:

$$f_g = f_{cm} K_g = 0,0813 \cdot 6,69 = 0,544 \text{ cm}$$

4-масала. Бир минутда n маротаба айланма ҳаракат қилаётган, оғирлиги Q бўлгандвигатель иккита қўштаврли балкага ўрнатилган. Двигателнинг айланма ҳаракат қилаётган қисмларининг марказдан қочма кучи $H=10kN$; $Q=30kN$.

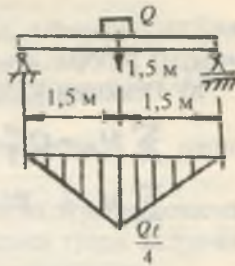
- 1) эркин тебраниш частотаси — ω_0 ;
- 2) уйғотувчи куч ўзгаришининг частотаси — ω
- 3) тебранишнинг ўсиш коэффициенти — β
- 4) динамик коэффициент — K_g ва
- 5) энг катта күчланиш қийматлари топилсин.

Берилган қўштавр: N-40

$$n = 200 \frac{\text{об}}{\text{мин}}; I_x = 19062 \cdot 10^{-8} \text{ m}^4, E = 2 \cdot 10^8 \frac{\text{kH}}{\text{m}^2}$$

$$W_x = 953 \cdot 10^{-6} \text{ m}^3$$

Ечиш. Берилган схемадан асосий схемани танлаб оламиз. Бунинг учун Q юкнинг ўрнига $P = 1$ бирлик кучини



334-расм.

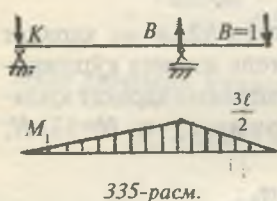
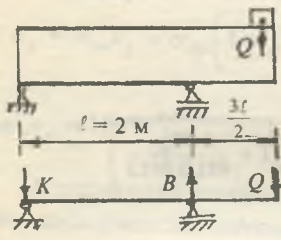
жойлаштирамиз. Q юк таъсиридан ҳосил бўлган эгувчи момент эпюрасини қурамиз:

а) Реакция кучларини топамиз:

$$\sum M_B = Q \frac{3\ell}{2} - K\ell = 0; \quad K = \frac{3Q}{2} = \frac{3}{2} \cdot 30 = 45 \text{ kH}$$

$$\sum M_A = -B\ell + Q\left(\frac{3\ell}{2} + \ell\right) = 0 \quad B = \frac{5}{2}Q = 75 \text{ kH}$$

б) Эгувчи момент M_Q ни то-



335-расм.

памиз:

$$0 < x_1 < 2 \text{ м}; \quad M_Q = -K \cdot x_1$$

$x_1 = 0$ бўлса, $M_Q = 0$ ва $x_1 = 2 \text{ м}$

бўлса, $M_Q = -90 \text{ kNm}$

$$0 < x_2 < \frac{3\ell}{2} = 3 \text{ м} \quad M_Q = -Q \cdot x_2$$

$x_2 = 0$ бўлса, $M_Q = 0$ ва $x = 3 \text{ м}$

бўлса, $M_Q = -90 \text{ kNm}$

Бирлик куч Р-1 таъсиридан ҳосил бўлган эгувчи момент M_p эпюрасини қурамиз (335-расм).

а) Реакция кучини топамиз:

$$\sum M_B = P \frac{3\ell}{2} - K\ell = 0 \text{ ёки}$$

$$K = \frac{3}{2}P = 1,5 \text{ kH} \text{ ва}$$

$$\sum M_A = P \frac{5\ell}{2} - B\ell = 0 \text{ ёки } B = \frac{5}{2}P = 2,5 \text{ kH}$$

б) Эгувчи момент M_p ни топамиз: $0 \leq x_1 \leq \ell \quad M_p = -K \cdot x_1$

$x_1 = 0$ бўлса, $M_p = 0$ ва $x_1 = \ell$ бўлса, $M_p = -\frac{3\ell}{2}$

$$0 \leq x_1 \leq \frac{3\ell}{2} \quad M_p = -P \cdot x_1$$

$x_1 = 0$ бўлса, $M_p = 0$ ва $x_1 = \frac{3\ell}{2}$ бўлса, $M_p = -\frac{3\ell}{2}$

Q юк үрнатилган нуқтанинг күчишини топамиз:

$$\Delta = \frac{\omega \cdot M_p^0}{EI} = \frac{\frac{1 \cdot 90}{2} \left(\ell + \frac{3\ell}{2} \right) \frac{3\ell}{2}}{EI} = \frac{1350 \ell^2}{8EI} = \frac{1340 \cdot 4}{8 \cdot 2 \cdot 10^8 \cdot 19062 \cdot 16^{-8}} = 0,0177 \text{ м}$$

ω — ташқи күч Q дан қурилган эгувчи момент M нинг юзаси.

M_p^0 — ташқи күч Q таъсиридан қурилган эгувчи момент M , эпюраси юзасининг оғирлик марказига тұғри келувчи бирлик күч моменти M , эпюрасининг ординатаси.

Эркин тебраниш частотасини топамиз:

$$\omega_0 = \sqrt{\frac{g}{\Delta}} = \sqrt{\frac{9,81}{0,0177}} = 23,54 \frac{1}{\text{сек}}$$

Үйфотувчи күч үзгаришининг частотаси:

$$\omega = 2\pi \frac{n}{60} = \frac{\pi \cdot n}{30} = \frac{3,14 \cdot 200}{30} = 20,9 \frac{1}{\text{сек}}$$

Тебранишнинг ўсиш коэффициенти:

$$\beta = \frac{1}{1 - \left(\frac{\omega}{\omega_0} \right)^2} = \frac{1}{1 - \left(\frac{20,9}{23,54} \right)^2} = 4,717$$

β қиймати манфий ишора билан чиқса, кейинги ҳисоблашларда $|\beta|$ олиниши керак. Динамик коэффициентни топамиз:

$$K_g = 1 + \frac{f_H}{f_a} \beta = 1 + \frac{H}{Q} |\beta| = 1 + \frac{10}{30} 4,717 = 2,57$$

Әнг катта нормал кучланишни топамиз:

$$\sigma_g = K_g \sigma_{CT} = K_g \cdot \frac{M}{W_x} = 2,67 \frac{9}{953 \cdot 10^{-6}} = 0,2427 \cdot 10^6 \frac{\kappa H}{\text{м}^2}$$

5-масала. СДЕ ва КИ синиқ стерженлар билан БК валик БВ үқ атрофидә үзгармас бурчак теңдік билан айланады (336-расм). СД ва КИ вертикаль ҳамда ДЕ ва ИТ горизонтал участкаларидә ҳосил бўлган инерция кучлари таъсиридаги эгувчи момент эпюраси қурилсан: $[\sigma] = 100 \text{ мПа}$ шартни бажарадиган валикни бир минутдаги айланишлар сонини рухсат этилган қиймати топилсан. Валикнинг диаметри $d = 0 \text{ мм}$.

Ечиш. Инерция кучининг интенсивлиги g_i , синиқ стерженниг CD ва KI оралиқларида түғри чизиқди қонуният билан үзгаради: K ва C нүктада $g_i = 0$; D ва I нүкталарда $q_i = \frac{\gamma A \omega^2}{g} \ell$ га тенг. Стерженнинг горизонтал DE ва IT оралиқларида кучнинг интенсивлиги үзгармас ва тенг тар-қалган: $q_i = \frac{\gamma A \omega^2}{g} \ell$.

Системанинг таянч кучларини топамиз:

$$\sum M_A = 0 \text{ ёки } q_i 2\ell \cdot \frac{2\ell}{2} + q_i 2\ell \left(\frac{2\ell}{\ell} + 3\ell \right) + \frac{1}{2} q_i \ell \cdot 5\ell - B \cdot 3\ell = 0$$

$$\text{Бу ерда: } B = \frac{25}{6} \cdot \frac{\gamma A \omega^2 \ell^2}{g}$$

$$\sum M_B = 0$$

$$B \cdot 3\ell - q_i \cdot 2 \cdot \ell \left(\frac{2\ell}{2} + \ell \right) - \frac{1}{2} q_i \ell \cdot 2\ell + q_i 2\ell \frac{2\ell}{2} + \frac{1}{2} q_i \ell \cdot \ell = 0$$

$$B = \frac{5}{6} \cdot \frac{\gamma A \omega^2 \ell^2}{g}$$

$$\text{Текшириш: } \sum y = 0 \text{ ёки } B + B - q_i 2\ell - \frac{1}{2} q_i \ell - \frac{q_i \ell}{2} - q_i 2\ell = 0$$

$$\begin{aligned} & \frac{5}{6} \cdot \frac{\gamma A \omega^2 \ell^2}{g} + \frac{25}{6} \cdot \frac{\gamma A \omega^2 \ell^2}{g} - \frac{\gamma A \omega^2 2\ell^2}{g} - \frac{\gamma A \omega^2 \ell^2}{2g} - \frac{\gamma A \omega^2 \ell^2}{2g} - \\ & - \frac{\gamma A \omega^2 2\ell^2}{g} = 0; \quad \frac{30}{6} \cdot \frac{\gamma A \omega^2 \ell^2}{g} - \frac{30}{6} \cdot \frac{\gamma A \omega^2 \ell^2}{g} = 0 \end{aligned}$$

Эгувчи момент қийматларини топамиз: **I—I қирқим.**

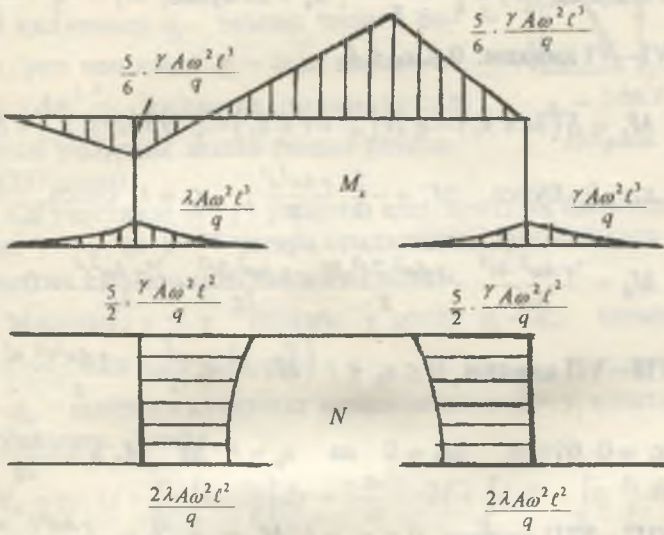
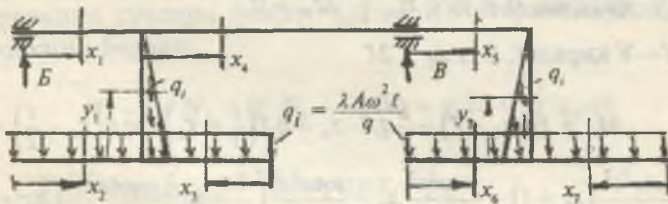
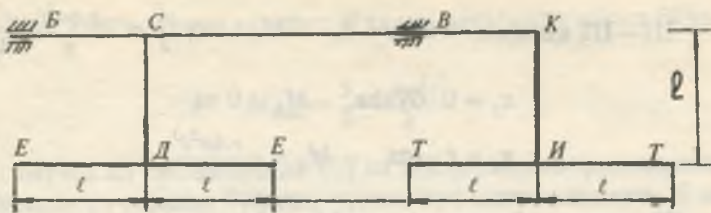
$$0 \leq x_1 \leq \ell \quad M_1 = B x_1 = \frac{5}{6} \cdot \frac{\gamma A \omega^2 \ell^2}{g} \cdot x_1$$

$$x_1 = 0; \quad M_1 = 0 \quad \text{ва} \quad x_1 = \ell; \quad M_1 = \frac{5}{6} \cdot \frac{\gamma A \omega^2 \ell^3}{g}$$

$$\text{II-II қирқим. } 0 \leq x_2 \leq \ell \quad M_2 = q_i \frac{x^2}{2} = - \frac{\gamma A \omega^2 \ell^2}{g} \cdot \frac{x_2^2}{2}$$

$$x_2 = 0 \quad \text{бұлса; } M_2 = 0 \text{ ва}$$

$$x_2 = \ell \quad \text{да} \quad M_2 = - \frac{\gamma A \omega^2 \ell^3}{2g}$$



336-расм.

$$\text{III--III қирқим. } 0 \leq x_3 \leq \ell; \quad M_3 = -q_i \frac{x_3^2}{2} = -\frac{\gamma A \omega^2 \ell}{g} \cdot \frac{x_3^2}{2}$$

$x_3 = 0$ бўлса, $M_3 = 0$ ва

$$x_3 = \ell \quad \text{да} \quad M_3 = -\frac{\gamma A \omega^2 \ell^3}{2g}$$

IV қирқим. $0 \leq y_1 \leq \ell; \quad M_V = 0$

V--V қирқим. $0 \leq x_4 \leq 2\ell$

$$M_5 = B(x_4 + \ell) - \frac{1}{2} q_i \ell \cdot x_4 - q_i \ell \left(\frac{\ell}{2} + x_4 \right) - q_i \ell \left(x_4 - \frac{\ell}{2} \right) = \\ = \frac{5}{6} \frac{\gamma A \omega^2 \ell^2}{g} (x_4 + \ell) - \frac{\gamma A \omega^2 \ell^2}{g} x_4 - \frac{\gamma A \omega^2 \ell^2}{g} \left(\frac{\ell}{2} + x_4 \right) - \frac{\gamma A \omega^2 \ell^2}{g} \left(x_4 - \frac{\ell}{2} \right)$$

$$x_4 = 0 \text{ бўлса, } M_5 = \frac{5}{6} \cdot \frac{\gamma A \omega^2 \ell^3}{g}; \quad x_4 = 2\ell \text{ бўлса, } M_5 = -\frac{5}{2} \cdot \frac{\gamma A \omega^2 \ell^3}{g}$$

VI--VI қирқим. $0 \leq x_5 \leq \ell$

$$M_6 = B(3\ell + x_5) - q_i 2\ell \left(\frac{2\ell}{2} + \ell + x_5 \right) - \frac{1}{2} \cdot q_i \ell (2\ell + x_5) + Bx_5$$

$$x_5 = 0 \text{ бўлса, } M_6 = -\frac{5}{2} \cdot \frac{\gamma A \omega^2 \ell^3}{g}; \quad x_5 = \ell \text{ бўлса,}$$

$$M_6 = \frac{5\gamma A \omega^2 \cdot 4\ell^3}{6g} - \frac{\gamma A \omega^2 \cdot 2\ell^2 \cdot 3\ell}{g} - \frac{\gamma A \omega^2 \cdot 3\ell^3}{2g} + \frac{25\gamma A \omega^2 \ell^3}{6g} = 0$$

VII--VII қирқим. $0 \leq x_6 \leq \ell \quad M_7 = -q_i \frac{x_6^2}{2} = -\frac{\gamma A \omega^2 \ell}{g} \cdot \frac{x_6^2}{2}$

$$x_6 = 0 \text{ бўлса, } M_7 = 0 \text{ ва } x_6 = \ell \text{ да } M_7 = -\frac{\gamma A \omega^2 \ell^3}{2g}$$

VIII--VIII қирқим. $0 \leq x_7 \leq \ell \quad M_8 = -q_i \frac{x_7^2}{2} = -\frac{\gamma A \omega^2 \ell}{g} \cdot \frac{x_7^2}{2}$

$$x_7 = 0 \text{ бўлса, } M_8 = 0 \text{ ва } x_7 = \ell \text{ да } M_8 = -\frac{\gamma A \omega^2 \ell^3}{2g}$$

IX--IX қирқим. $M_9 = 0$

Энг катта эгувчи момент B таянч кесимида ҳосил булади.

$$M_{\max} = \frac{5}{2} \cdot \frac{\gamma A \omega^2 \ell^3}{g}$$

Берилган системанинг $СД$ ва $ИК$ вертикал қисмларида бўйлама куч ҳосил булади, чунки куч интенсивлиги, B ва B реакция кучлари фақат $СД$ ва $ИК$ стержень ўқларига проекция беради.

$$N_1 = 0; N_2 = 0; N_3 = 0; N_4 = q_i 2\ell + \int_0^{y_1} q_{yi} dy$$

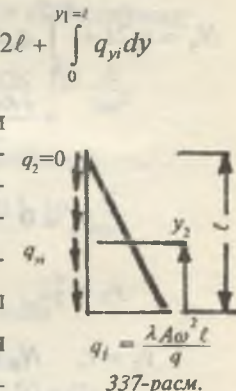
$СД$ узунликда q_i — инерция кучи интенсивлиги тўғри чизиқли қонуният билан ўзгаради. Шунинг учун инерция кучи интенсивлигининг тенг таъсир қилувчиси q_i — таъсир чизиги билан, уни минимал $q_i = 0$ ва максимал $q_i = \gamma A \omega^2 \frac{\ell}{g}$ қийматларидан ҳосил бўлган учбурчак юзаси билан ўлчанди (337-расм).

$СД$ участкада N куч ўзгариш қонуниятини билишимиз учун $y = 0$ ва $y = \ell$ чегара оралиғидаги қийматларда ҳам инерция кучини аниқлашимиз лозим.

Масалан, $y = y_1$ бўлсин, y ҳолда $q_i = q_{yi}$, схемадан $\frac{q_i}{\ell} = \frac{q_{yi}}{\ell - y_1}$ ёки $q_{yi} = q_i \left(1 - \frac{y_1}{\ell}\right)$

q_{yi} — инерция кучининг интенсивлиги $y = y_1$ ҳолатидаги қиймати. Демак,

$$\begin{aligned} N_4 &= q_i \cdot 2\ell + \int_0^{y_1} q_i \left(1 - \frac{y_1}{\ell}\right) dy = \frac{\gamma A \omega^2 \ell}{g} \cdot 2\ell + \int_0^{y_1} q_i dy - \int_0^{y_1} q_i \frac{y_1}{\ell} dy = \\ &= \frac{\gamma A \omega^2 \ell}{g} \cdot 2\ell + \frac{\gamma A \omega^2 \ell}{g} \cdot y_1 \left| - \frac{\gamma A \omega^2 \ell}{g} \cdot \frac{y_1^2}{2\ell} \right| \end{aligned}$$



337-расм.

$$y_1 = 0 \text{ бўлса, } N_4 = \frac{\gamma A \omega^2 2\ell^2}{g}$$

$$y_1 = \frac{\ell}{2}; \quad N_4 = \frac{19}{8} \cdot \frac{\gamma A \omega^2 \ell^2}{g}; \quad y_1 = \ell; \quad N_4 = \frac{5}{2} \cdot \frac{\gamma A \omega^2 \ell^2}{g}$$

$$N_5 = 0; N_6 = 0; N_7 = 0; N_8 = 0$$

$$0 \leq y_2 \leq \ell$$

$$\begin{aligned} N_9 &= q_i 2\ell + \int_0^{y_2=\ell} q_{y_2} dy = q_i \cdot 2\ell + \int_0^{\ell} q_i \left(1 - \frac{y_2}{\ell}\right) dy = \frac{\gamma A \omega^2 \ell}{g} 2\ell + \\ &+ \frac{\gamma A \omega^2 \ell \cdot y_2}{g} - \frac{\gamma A \omega^2 \ell}{g} \cdot \frac{y_2^2}{2\ell} \end{aligned}$$

$$y_2 = 0 \text{ бўлса, } N_9 = \frac{\gamma A \omega^2 \ell^2}{g}$$

$$y_2 = \frac{\ell}{2}; \quad N_9 = \frac{19}{8} \cdot \frac{\gamma A \omega^2 \ell^2}{g}$$

$$y_2 = \ell; \quad N_9 = \frac{5}{2} \cdot \frac{\gamma A \omega^2 \ell^2}{g}; \quad N_{\max} = \frac{5}{2} \frac{\gamma A \omega^2 \ell^2}{g}$$

Системанинг хавфли қесими учун қуидаги шарт баражилиши керак:

$$\sigma_{\max} = \frac{N_{\max}}{A} + \frac{M_{\max}}{W} = \frac{N_{\max}}{A} + \frac{32 \cdot M}{\pi d^3} \leq [\sigma] \text{ ёки}$$

$$\frac{5\gamma A \omega^2 \ell^2}{2Ag} + \frac{32 \cdot 5\gamma A \omega^2 \cdot \ell^2}{2\pi d^3 g} \leq [\sigma]; \quad \frac{5\gamma A \omega^2 \ell^2}{2g} + \frac{8 \cdot 5\gamma A \omega^2 \cdot \ell^3}{2dg} = [\sigma]$$

Бу ерда:

$$\omega_p = \omega = \sqrt{\frac{[\sigma]}{\frac{5\gamma \ell^2}{2g} + \frac{20\gamma \ell^3}{dg}}} = \sqrt{\frac{100 \cdot 10^3}{\frac{5 \cdot 78 \cdot 0,25}{2 \cdot 9,81} + \frac{20 \cdot 78 \cdot 0,125}{9,81 \cdot 0,02}}} = 10 \frac{i}{сек}$$

Бир минутда валикнинг айланиш сони:

$$n = \frac{60 \cdot \omega_p}{2\pi} = \frac{60 \cdot \omega_p}{2 \cdot 3,14} = 95,54$$

6-масала. Мустақкамлик чегараси $\sigma_b = 600 \text{ мПа}$; оқувчанлик чегараси $\sigma_T = 300 \text{ мПа}$; пұлатдан тайёрланган, диаметри $d = 50 \text{ мм}$ бұлған вални хавфли кесимда $M_s = 320 \text{ Нм}$ буровчи ва $M_3 = 320 \text{ Нм}$ әгувчи моментлар таъсир қиласы.

Егилишдаги нормал күчланишнинг симметрик циклдаги: буралишдаги уринма күчланишнинг тепкили (пульсирующий) циклдаги күчланишта тенг деб қаралиб, хавфли кесим учун әхтиётлик коэффициенти топилсан.

Ечиш. Энг катта нормал күчланишни аниқлайды:

$$\sigma_{\max} = \frac{M_3}{W} = \frac{32 M_3}{\pi d^3} = \frac{32 \cdot 320 \cdot 10^3}{3,14 \cdot (50)^3} = 0,026 \cdot 10^3 \frac{\text{Н}}{\text{мм}^2}$$

Энг катта уринма күчланишни аниқлайды:

$$\tau_{\max} = \frac{M_\delta}{W} = \frac{16 \cdot M_\delta}{\pi d^3} = \frac{16 \cdot 320 \cdot 10^3}{3,14 \cdot (50)^3} = 0,013 \cdot 10^3 \frac{\text{Н}}{\text{мм}^2}$$

Буралишда оқувчанлик чегараси:

$$\tau_{-1} = 0,25 \sigma_T = 0,25 \cdot 300 = 75 \text{ мПа}$$

Чидамлилик (бардош бериш) чегараси:

Буралишда: $\sigma_{-1} = 0,25 \sigma_b = 0,25 \cdot 600 = 150 \text{ мПа}$

Егилишда: $\sigma_{-1} = 0,43 \sigma_b = 0,43 \cdot 600 = 258 \text{ мПа}$

Күчланишлар концентрацияси:

$$K = 1,2 + 0,2 \frac{\sigma_b - 40}{110} = 1,2 + 0,2 \frac{600 - 40}{110} = 2,2$$

Масштаб коэффициенти:

$$\beta_m = 1,2 + 0,1(d - 3) = 1,2 + 0,1(5 - 3) = 1,67$$

σ ва τ бүйіча әхтиётлик коэффициенти:

$$n_{\sigma} = \frac{\sigma_{-1}}{\sigma_{\max}} = \frac{\sigma_{-1}}{k \beta_m \cdot \sigma_{\max}} = \frac{250}{2,2 \cdot 1,67 \cdot 26} = 2$$

$$n_{\tau} = \frac{\sigma_{\max}}{2} = \frac{13}{2} = 6,5$$

Чарчаңдан емирилишдаги ва оқувчанликнинг бошланышидаги умумий әхтиётлик коэффициентларини топамиз:

$$n_{\tau_0} = \frac{\tau_1}{k n_\tau + \beta_m n_\tau} = \frac{75}{2,2 \cdot 6,5 + 1,67 \cdot 6,5} = 2,9$$

$$k_{TM} = \beta_m \cdot \kappa = 1,67 \cdot 2,2 = 3,674$$

Буралишдаги оқувчанликка эҳтиётлик коэффициенти:

$$n_\tau = \frac{75}{\tau_{\max}} = \frac{75}{13} = 5,77$$

Мустаҳкамликнинг умумий эҳтиётлик коэффициенти:

$$n = \frac{n_\sigma \cdot n_\tau}{\sqrt{n_\sigma^2 + (n_\tau)^2}} = \frac{2,7 \cdot 5,77}{\sqrt{(2,7)^2 + (5,77)^2}} = 2,99$$

Чарчашибдан емирилишга эҳтиётлик коэффициенти:

$$n = \frac{n_\sigma \cdot k_{TM}}{\sqrt{n_\sigma^2 + K^2 TM}} = \frac{2,7 \cdot 3,674}{\sqrt{(2,7)^2 + (3,674)^2}} = 2,17$$

ДЕФОРМАЦИЯ ВА КУЧЛАНИШЛАРНИ ЭКСПЕРИМЕНТАЛ ТЕКШИРИШ

Экспериментал текширишнинг аҳамияти ва принципи [3]. Машина ва ишшоот қисмларида ҳосил бўладиган ҳар қандай куч, кучланиш ва деформацияларнинг ҳаммасини ҳам назарий усул билан ҳисоблаб бўлмайди. Айниқса, ташқи кучларнинг симметрия текислиги бўйлаб таъсир этмаслиги, вақтга нисбатан ўзгарувчанлиги, ички кучларнинг концентрацияланиши натижасида ҳосил бўлган деформация ва кучланишларнинг ўзгарувчанлиги уларни аниқлашни қийинлаштиради. Шунинг учун ҳам машина ва ишшоот қисмларининг мустаҳкамлик тавсифларини аниқлашда ҳозирги замон экспериментал текшириш усулларидан кенг фойдаланиш зарурияти келиб чиқади.

Экспериментал текшириш машина қисмларининг, бир томондан, техник талабларга жавоб беришини (иш нормасини, маҳсулотнинг сифатини, техник қарор ва бошқаларни) аниқласа, иккинчи томондан, унинг конструкциясини — бўғин бўлакларининг ўлчамларини ва ортиқча оғир бўлмаслигини, улардаги ҳақиқий кучланишни, деформацияни ва материални тўғри танлашни ўргатади.

Одатда, машина ва ишшоот қурилмалари бирданига ясалмай, бир қанча ўзgartиришлар киритиш натижасида яратилади. Ўзgartиришлар эса, экспериментал текширишнинг маҳсулидир. Экспериментал текшириш ўзgartиришлар киритиш билан бир қаторда назарий ҳисоблаш усулларини аниқлайди ва бойитиб боради. Экспериментал текшириш натижасида машина бўлакларининг мустаҳкамлиги — $[\sigma]$ ва $[\tau]$ бир неча марта оширилиб, эҳтиётилик коэффициенти — $[n]$ камайтирилади. Натижада машиналарнинг конструкция қисмларини бир неча марта енгиллаштириш ва арzon материал қўллаш мумкинлигини аниқлайди. Бу билан машиналарнинг иш қобилияtlари қамаймайди, балки уларни ҳаракатга келтирадиган энергия сарфлари камайтирилади ва маблағ тежаб қолинади.

Мураккаб кучланиш ва динамик юклама таъсиридаги машина қисмларининг мустаҳкамлигини текшириш ва таъминлашда экспериментал текшириш жуда катта аҳамиятга эга бўлади.

Механик текширишлар махсус синаш машиналарида универсал узувчи машиналар, буралишга синаш машиналари ва бошқалар ҳамда асбоблар: стрелкали индикатор, тензорометр ва бошқаларда бажарилади. Бундай усулда текширишда материалдан махсус намуна тайёрланади. Бу усул материалнинг умумий мустаҳкамлик, эластиклик тавсифларини аниқлашда қўлланилади.

Материалларни, яъни ишлаб турган машина қисмларини дала шароитида ҳамда ишлаб чиқариш корхоналарида ишдан чиқиш сабабларини аниқлашда юқоридаги усуллардан фойдаланиб бўлмайди. Бундай шароитда деформация ва кучланишларнинг ўзгариш қонунларини аниқлаш электр ўлчаш асбоблари, электротензодатчиклар ёрдамида олиб борилиши мумкин.

Деформация ва унга асосланган кесим кучланишларини аниқлаш учун уч хил датчиклар қўлланилиши мумкин:

1. Пьезоэлектрик датчиклар — сегнетоэлектрик деб атальувчи кристалл моддалар группасидан фойдаланишга асосланади. Бу моддалар пьезоэлектрик самарага эга бўлиб, механик кучланиш ёки деформация таъсирида дизэлектрик сиртда ҳар хил номли электр зарядларини ва уларга мос равишда потенциаллар айрмасини ҳосил қиласди. Ҳосил бўлган электр зарядлари деформацияга ёки кучланишга пропорционал равишда ўзгаради.

2. Индукцион датчиклар — ферромагнит таёқчанинг деформацияланиши натижасида унга ўралган симда электр юритувчи кучнинг ҳосил бўлишига асосланган.

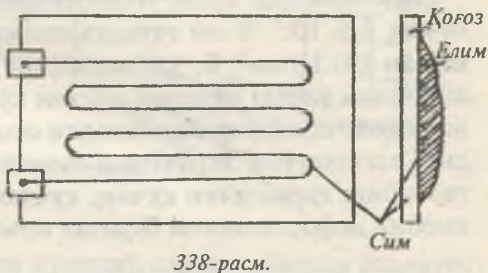
3. Симли датчиклар — механик кучланиш ва деформацияланиши натижасида сим қаршилигининг ўзгаришига асосланган. Симли датчик пьезоэлектрик ва индукцион датчикларга қараганда содда ва тайёрланишининг арzonлиги, ишлатилишининг қулийлиги туфайли кенг тарқалгандир. Симнинг қаршилиги физика қонунларидан маълум бўлиб, у сим ўлчамларига тўғри боғланишда бўлади, яъни:

$$R = \rho \frac{l}{s} \quad (14.1)$$

Бу ҳолда: l — симнинг узунлиги, s — симнинг қундагланг кесим юзи, ρ — симнинг солишишторма қаршилиги.

Симли датчик диаметри ($O = 0,02 - 0,04 \text{ мм}$) ва солишишторма қаршилиги катта бўлган симдан петля шаклида зичлиги катта қофозга ёпиштириб ясалган бўлади (338-расм).

Ишлатиш учун у деталга ёпиштирилади. Бу датчик ёрдамида асосан механик куч таъсирида ҳосил бўлган чўзилиш, сиқилиш, эгилиш, бурариш деформациялари ўлчанади (338-расм).



Чўзилиш ва сиқилиш деформациясини электротензометр ёрдамида аниқлаш [3]. Чўзилишга ёки сиқилишга ишлаётган призматик брусларнинг кесимларини тензодатчик ёрдамида чизиқли силжишларини ва уларда ҳосил бўладиган зўриқишлиарни жуда аниқ ўлчаш мумкин. Бу усул деформацияни ричагли тензометр, стрелкали индикатор ёрдамида аниқлагандан кўра афзал бўлиб, динамик куч таъсирида текширишда тенги йўқ. Чунки тензометр ва индикаторларнинг стрелкалари динамик куч таъсирида содир бўлаётган деформация ва зўриқишлиарни аниқлаш даврида тухтовсиз тебранма ҳаракат қиласи. Максимал курсаткини кўз билан илғаб олиш қийин.

Тензодатчик ёрдамида брусларнинг ихтиёрий кесим оравлиғидаги, яъни индикторларни ўрнатиш мумкин бўлмаган кесимлардаги деформацияларни ўлчаш мумкин. Бу усул механик кучланиш ва деформацияланиш натижасида тензодатчик қаршилигининг ўзгаришига асосланади (339-а, б расм).

Тензодатчик деформация ўлчаниши керак бўлган брус сиртига бўйлама чўзилишга ёки сиқилишга ишлайдиган

тарзда узун томони билан ёпиширилади. Брус деформацияланиш натижасида унинг сиртига мустаҳкам ёпиширилган тензодатчик петляси узун томони бўйлаб чузилиши ёки қисқариши мумкин.

Симли тензодатчикнинг қаршилиги эластиклик деформация чегарасида $0,2\text{--}0,5$ Ом гача бўлиши мумкин, яъни 100 Ом ли тензодатчикнинг қаршилиги $0,1\text{--}0,5$ Ом гача ўзгарилиши мумкин.

Шу чегарада пўлат пластинканинг нисбий деформацияси $2,5 \cdot 10^{-3}$ % ни ташкил қиласди. Кучланиш эса тахминан 200 Н/м 2 . Бу қийматларни ўлчаб олиш учун симли датчик ўлчаш кўприги орқали кўпайтиргич аппаратига ва ниҳоят шлейфли ёки катодли осциллографларга уланади. Осциллограф экранидан олинган қиймат масштаблаш тартибига қараб ички кучни, кучланишни ёки абсолют ва нисбий деформацияни бериши мумкин. Масалан:

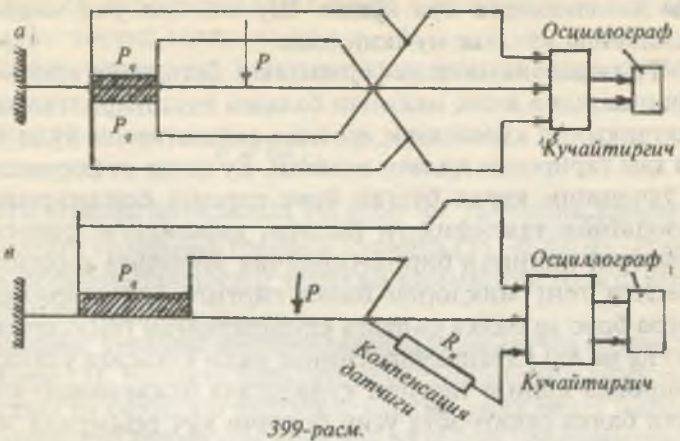
$$K_{\rho} = \frac{P}{m} \left[\frac{H}{\text{мм}} \right]; \quad K_s = \frac{\sigma}{m} = \frac{P}{Am} \quad (14.2)$$

$$K_M = \frac{\Delta \ell}{m} \left[\frac{H}{\text{мм}} \right]; \quad K_e = \frac{\epsilon}{m} \quad (14.3)$$

Бу ҳолда: m — осциллограф экранидаги кучнинг, кучланишнинг ёки деформациянинг ўзгариши натижасида шлейф ёруғлик нуқтасининг оғиши.

Тензодатчик электр токига уланганда қизиши мумкин. Натижада унинг қаршилиги деформацияга боғлиқ булмаган ҳолда ўзгарилиши мумкин. Бунинг олдини олиш мақсадида деформация ўлчанаётган объектдаги тензодатчик қаршилигига тенг бўлган бир хил тавсифли иккинчи тензодатчик олинади ва у деформацияланмайдиган, лекин ташки шароити бир хил бўлган объектга ёпиширилади ҳамда ўлчаш кўпригининг иккинчи буш елкасига уланади. Бундай уланган тензодатчикка компенсация датчиги дейилади.

Деформация миқдорининг аниқлиги бруслага ёпиширилган тензодатчикни тарировка қилишга боғлиқ. Тензодатчик фақат бир объектни ўлчаш учун яроқли бўлиб, уни олдиндан тарировка қилиб бўлмайди. Чунки тензодатчик объектга ёпиширилганида у деталь билан бир бутун бўлиб



кетади ва уни қайтадан күчириб олиш ва бошқа объектга ёпиштириш мумкин эмас. Тензодатчик ёпиштирилган бруснинг деформациясини бир вақтда ричагли тензометр ва тензодатчик ёрдамида лаборатория шароитида ўлчаб олиш йўли билан тарировка қилиш мумкин. Тензометри орқали бруснинг нисбий деформацияси қуидагича аниқланади:

$$\frac{\Delta\epsilon}{\epsilon} = \frac{h}{20m}$$

Бу ҳолда: h — тензометр шкаласининг бўлакчалари; m — тензометрнинг кўпайтириш коэффициенти. У 1000—1200 атрофида бўлиб, тензометрнинг паспортида берилади; ℓ — тензометр базаси ($\ell=20—50$ мм оралиғида бўлади). Сўнгра ўлчаш кўприги уланган блок схема (кучайтиригич ва осциллограф) орқали тензодатчик қаршилигининг ўзгариши ёки унга пропорционал равишда ток кучи ва кучланишларнинг ўзгариши осциллограф экрани орқали ўлчаб олинади (h) ва нисбий деформациянинг масштаб қиймати топилади.

Бу усулда топилган масштаб ричагли тензометрни ўлчаш аниқлигига боғлиқ бўлиб, у жуда аниқ бўла олмайди. Чунки тензометр шарнирларининг ишқаланишига ишлаши ва шкала бўлакларининг аниқ ўлчаб бўлмаслиги

анча хатоликларга йўл қуяди. Шу сабабли уни машина қисмларида қўллаш мумкин эмас.

Тензодатчикнинг деформацияга боғлиқ ўзгаришини деформацияси аниқ иккинчи балкага ёпиштирилган тензодатчикнинг кўрсатиши асосида солиштириш йўли билан ҳам тарировка қилиш мумкин. Бу ҳолда деформацияси ўлчаниши керак бўлган бруス сиртига ёпиштирилган тензодатчик тавсифидаги (базаси, қаршилиги, симнинг диаметри) иккинчи бир тензодатчик эгилишга қаршилик моменти тенг миқдорли балка сиртига ёпиштирилади, сўнгра бруス ва балка сиртига ёпиштирилган тензодатчилар (Rg ва Rt) ўлчаш кўпригининг икки елкасига уланади. Тарировка қилиш тартиби қўйидагича бажарилади: консолли балка секин-аста ўсиб борувчи куч таъсирида эгилади ва балка сиртининг нисбий деформацияси унга ёпиштирилган тензодатчик Rt ёрдамида аниқланади (осциллограф экранида h). Гук қонунига биноан бу деформация қўйидагига тенг:

$$\sigma = E \varepsilon_T \quad (14.4)$$

Кучланиш эса эгилишга тенг қаршилик моментли балка учун ўзгармас бўлиб, қўйидагича топилади:

$$\sigma = \frac{P\ell}{\ell h^2} = const \quad (14.5)$$

$$K_{\varepsilon_T} = \frac{\varepsilon_T}{h_T} \text{ ёки } K_{\Delta \ell_T} = \frac{\Delta \ell_T}{h_T}$$

Сўнгра балкани тинч ҳолатда қолдириб, деформацияси ўлчаниши керак бўлган бруслни секин-аста ташқи куч таъсирида чўза бошлаймиз. Унинг чўзилиши натижасида унга ёпиштирилган тензодатчик ҳам чўзилади ва қаршилиги ўзгариб, ўлчаш кўприги диагоналидан ток ўта бошлайди. Бу ток кучайтиргич орқали кучайтирилиб, осциллограф барабанидан ёзиб олинади ёки ўлчаб олинади. h_d амплитудага тўғри келган нисбий деформация қўйидагича топилади: $\varepsilon_d = K_{\varepsilon_T} \cdot h_d$ ёки $\Delta \ell_d = h_d K_{\Delta \ell_T}$

Нисбий деформацияни билган ҳолда абсолют деформацияни топиш мүмкін: $\Delta\ell = \varepsilon_d \cdot \ell$

Сұнгра күчланиш эластиклик модули ва ички күчлар топилади:

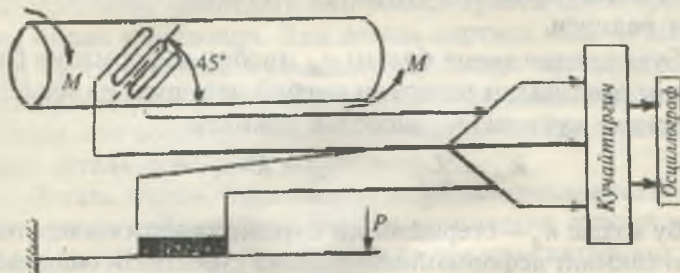
$$\sigma = E\varepsilon_d; \quad E = \frac{\sigma}{\varepsilon_d}$$

Масштабни аниқлашда РД нинг $\Delta\ell$ га боғлиқ үзгариш қийматига тарировка графаси қурилса (341-брасм) стержень деформациясининг ҳақиқий қийматини топиш яна-да осонлашади.

Валнинг буралиш деформациясини тензодатчик ёрдамида аниқлаш [3]. Валнинг буралиш деформациясини аниқлаш чўзилиш ва сиқилиш деформациясини аниқлашга нисбатан мураккаб бўлиб, уни кўпинча чўзилиш деформацияси учун топилган рухсат этилган күчланиш орқали аниқла-нади. Бунда буралишга ишлайдиган цилиндрик сиртнинг сиртида олинган цилиндр ясовчига 45° қияликдаги тола-ларнинг буралиш натижасида чўзилиш ва сиқилишга иш-лаши асос қилиб олинади.

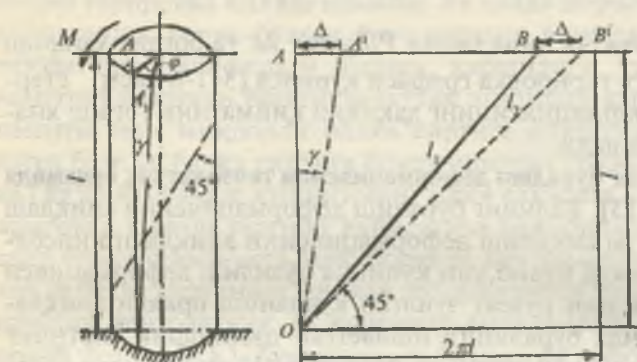
Цилиндрик сиртга 45° қияликда битта тензодатчик ёпиштирилиб ва иккинчи тензодатчик (компенсация учун олинади) эгилиш күчланиши үзгармас балкага ёпиштирил-са, юқоридаги ўлчаш кўприги ҳосил бўлади (340-расм).

Цилиндрик сиртга 45° қияликда ёпиштирилган тензо-датчикнинг буралиш натижасида деформацияланиши ва уни эгилишга ишлайдиган балканинг деформацияси билан боғланишини аниқлаш учун цилиндрик сиртнинг тақсим-



340-расм.

ланишини күриб чиқамиз (340-расм): L_1 — тензодатчик ёпиширилган қия текислик толаларининг узунлиги; L_2 — L_1 нинг деформациядан кейинги узунлиги; γ — нисбий силжиш бурчаги.



340-расм.

Нисбий бўйлама деформация $\varepsilon = \frac{L_2 - L_1}{L_1}$ эканини эъти-

борга олиб, цилиндр сиртида олинган 45° қияликда тола-
нинг нисбий деформациясини топамиз:

$$\varepsilon_{45} = \frac{1}{2} \gamma = \frac{1}{2} \cdot \frac{\Delta}{\ell} = \frac{1}{2} r \frac{\varphi}{\ell} \quad (14.6)$$

Бу ҳолда: ℓ — стерженнинг узунлиги; φ — стержень эр-
кин учининг буралиш бурчаги; r — стержень кесим юзаси-
нинг радиуси.

Буралишдан ҳосил бўлган ε_{45} нисбий деформация бал-
канинг эгилишдан топилган нисбий деформация масшта-
би орқали қуйидагича ҳисоблаб олинади:

$$K_{\varepsilon\varepsilon} = \frac{\varepsilon_T}{h_T}; \quad \varepsilon_{45} = K \cdot \varepsilon_T \cdot h_D$$

Бу ҳолда: h_D — стерженнинг буралиши натижасида тен-
зодатчикнинг деформацияланишини кўрсатувчи осциллог-
раф ёруғлик нурининг оғиш оралиғи.

Буралиш ε_{45} нисбий деформацияга түғри келган буралиш бурчаги қуйидагича топилади: $\varphi = \frac{2\varepsilon_{45}}{r}$

Буровчи момент эса: $\varphi = \frac{M\ell}{GJ_p}$ дан

$$M = \frac{GJ_p\varphi}{\ell} \quad \text{ёки} \quad M = \frac{2\varepsilon_{45} \cdot GJ_p}{r \cdot \ell} = \frac{2GJ_p\varepsilon_{45}}{r}$$

Бу ҳолда: $J_p = \frac{\pi d^4}{32}$ — кесим юзанинг қутб инерция моменти; $G = 0,4 \cdot E = 8 \cdot 10^4 \frac{Н}{мм^2}$ силжишдаги эластицлик мондули.

Шундай қилиб, буралиш деформацияси $\varepsilon_{45}\varphi$ ва M ларни эгилишга тенг қаршилик моментли балканинг эгилиш деформацияси орқали тензодатчик ёрдамида аниқлаш мумкин экан. Бу усул машина ва ишоот қисмларини ишлаб чиқариш жараённида ёки дала шароитида мустаҳкамликка текшириш талаб этилганида кенг қўлланилади.

Лок қопламалари усули [4]

Лок қопламалари усулидан, одатда, деформация ва кучланишлар тақсимланишини, шунингдек, деталь сиртидаги кўп юклangan зоналарини аниқлашда фойдаланилади.

Синовдан олдин деталнинг текшириладиган сирти ёки унинг модели юпқа маҳсус мўрг лок билан ($0,07$ — $0,15$ мм), масалан, канифольцеллуоид локи(целлуоид қушилган канифолнинг спиртдаги ёки бошқа эриткичдаги эритмаси) билан қопланади. Лок деталь сиртига ясси чутка билан суртилади ёки пульверизатор билан пуркалади, ёки деталь лок солинган идишга ботириб олинади. Қуритилгач (баъзи лок сортлари маълум ҳароратда қиздирилиши керак) деталь синовдан ўтказилади.

Деталь билан биргаликда деформацияланадиган лок қатламида пайдо бўлган дарзлар синовнинг асосий натижаси ҳисобланади. Юк ортиши билан улар кетма-кет пайдо бўлиши ҳам мумкин. Энг биринчи дарзлар деталнинг энг кўп юклangan зоналарida пайдо бўлади.

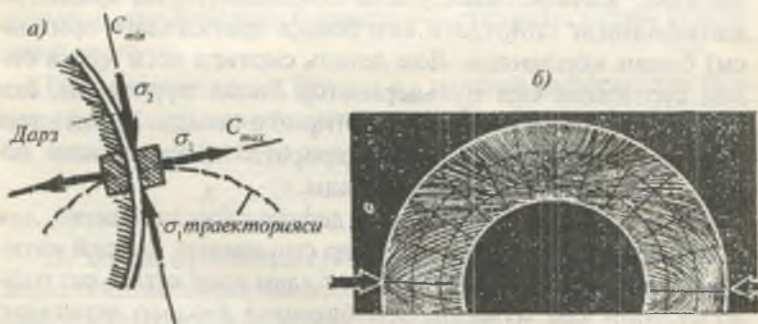
Дарзлар ҳосил қилишнинг иккита усулидан, яъни детални юклантириш ва юксизлантириш усулидан фойдаланилади.

Биринчи усулда лок деталь сиртига у юклангунга қадар суртилади. Табийки, деталь юкланганида пайдо бўладиган дарзлар сиртнинг ҳар бир нуқтасида энг катта чўзилиш йўналишига перпендикуляр йўналишда, яъни бош чўзилиш ε_1 , ёки бош кучланиш σ_1 йўналишига перпендикуляр жойлашади (342-а расм).

Шундай қилиб, юкланганда пайдо бўладиган дарз ҳар бир нуқтада σ_2 йўналишга мос тушади ва бу кучланиш траекторияси ҳисобланади. Ушбу усул билан диаметри бўйлаб сиқилган алюминий ҳалқанинг қопламасидаги дарзлар 342-расмда кўрсатилган.

Дарзлар олишнинг иккинчи усулида локни юклangan деталнинг сиртига суртилади. Лок қуригач, деталь астасекин юксизлантирилади, бунда юксизлантириш жараёнида деталь сиқилган йўналишда чўзилиш юзага келади ва аксинча. Юксизлантириш натижасида σ_1 траекторияси билан устма-уст тушувчи дарзлар пайдо бўлади, юклантириш процессида эса σ_2 траекторияси йўналишида дарзлар пайдо бўлган эди.

Лок қопламлари ёрдамида бош кучланишлар йўналиши топилгач, кучланишлар қийматини топишнинг энг ишончли усулларидан бири деформацияларни тензометрлар ёрдамида ўлчашdir. Бунинг учун керакли нуқталарга



342-расм.

σ_1 ва σ_2 йұналишларда иккитадан тензометр (ёки датчик) қўйилади, улар ёрдамида ε_1 ва ε_2 деформациялар үлчаниб, бөш кучланишлар ҳисоблаб топилади. Тензометрсиз деформация қийматини, баъзи ҳолларда кучланишни аниқлашга имкон берадиган лок қопламалари усули ҳам мавжуд, лекин бунда маълум чегаравий нисбий чўзишиш ε_g да дарзлар пайдо бўладиган юқори сифатли локлардан фойдаланиш керак бўлади. Одатда $\varepsilon_g = 3,5 \cdot 10^{-4}$ қийматли локлардан фойдаланилади. Бу қиймат пўлатдаги $\varepsilon_g E = 3,5 \cdot 10^{-4} \times 2 \cdot 10^6 = 700$ кгк/см² кучланишга тўғри келади.

Шуни айтиш керакки, лок қопламасида дарзларнинг пайдо булишига кўпгина омиллар сезиларли таъсир қиласди (лок қуриганида пайдо бўладиган чўкиш кучланишлари, деталь ва қоплам материалларининг эластик хоссалари турлича булиши, синов вақтидаги ҳаво температураси ва бошқ.). Бу омиллардан баъзилари ҳисоб йўли билан, шунингдек, тарировка қилинувчи намуналар билан ҳисобга олиниши мумкин; намуналарда ε лар синов шароитлари билан бир хил шароитларда топилади. Лок қопламалари усулида кучланишлар миқдорини топиш аниқлиги нисбатан унча катта эмас ($\pm 15\%$).

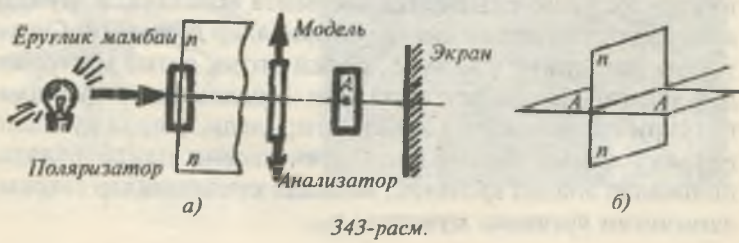
Бу усулда деталларда, айниқса мураккаб шаклии деталларда кучланишлар тақсимланишининг сифатини тез аниқлашда фойдаланиш мақсадга мувофиқдир. Лок қопламалари усулидан ҳаракатланаётган деталларда ва зарбий юклама таъсир этганида фойдаланса ҳам бўлади.

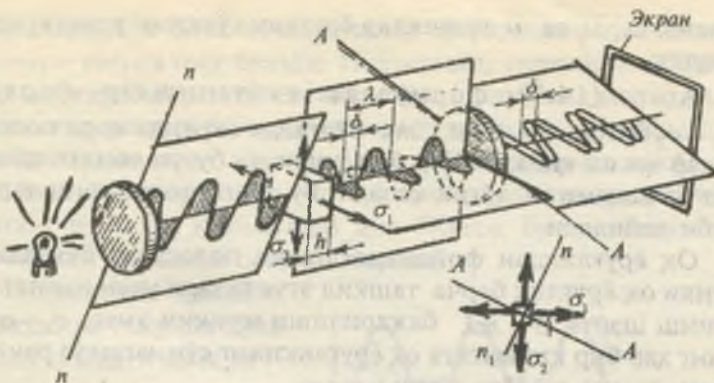
Кучланишларни поляризацион — оптик усулда аниқлаш [4]. Усулнинг физик асослари. Оптик усул баъзи шаффофф (тиник) деформациялангандан оптик жиҳатдан анизотроп бўлиб қолиш хоссасига, деформацияланган ҳолатда улар (шиша, целлулоид, желатин, бакелит ва б.) нурни иккига ажратиб синдириш хоссасига асосланади. Бундай материалларга оптик актив материаллар дейилади. Оптик усулда деталнинг ўзи эмас, балки оптик актив материалдан ясалган модель текширилади. Модель оптик қурилмага, яъни полярископга жойлаштирилади, у ерда кутбланган нур оқими билан қопланган тасвир пайдо бўлади, полосалар анализ қилиниб, моделда кучланишлар тақсимланишини ўрганиш мумкин.

Маълумки, табии ёруглик нурида унга перпендикуляр бўлган барча йўналишларда ёруглик тебраниши мавжуд бўлиб, ёритиладиган жисм яқинида ёруглик тебранишларининг манбаи бетартиб жойлашади. Кутланган нурда тебранишлар тартибли бўлади. Агар тебранишлар битта текисликда содир бўлса, текис қутбланиш дейилади; текисликнинг қутбланиш текислиги дейилади. Кутланган нур олиш учун табии нурни қутлагич (поляризатор) орқали ўтказилади. Исланд шпати кристалларидан елимлаб тайёрланадиган Никол призмаси қутлагич бўлиб хизмат қилиши мумкин. Кутлагич тебранишларни аниқ бир текисликда ўтказиб, унга перпендикуляр бўлган ташкил этувчиларни сўндиради.

343-а расмда ёругликни текис қутловчи полярископ асосий қисмларининг жойланиши схематик тарзда кўрсатилган. Қутлагич ва анализатор полярископнинг асосий қисмлари ҳисобланади. Анализатор ҳам поляризатор каби призмадан иборат, лекин иш ҳолатида шундай буралгани, 343-б расмда кўрсатилган А—А ва П—П лар билан кўрсатилган қутбланиш текисликлари ўзаро перпендикуляр жойлашган. Бундай ҳолда модель бўлмаса ёки у юкланмаган бўлса, экран қоронғилаштирилган бўладидан поляризатордан ўтган ёруглик нури анализатор билан сўндирилади.

П—П текисликда қутланган ёруглик нури (349-расм) моделдан ўтишда ҳар бир нуқтада тебраниш текисликлар ўзаро перпендикуляр бўлган ва σ_1 , σ_2 бош кучланишлар йўналишига мос келувчи иккита нурга ажralади. Бош кучланишлар қиймати ҳар хил бўлганлигидан модель материялининг мазкур текисликлардаги оптик хоссалари ҳам турлича бўлади — v_1 ва v_2 ҳам турлича бўлади, натижада





344-расм.

уаларга модельнинг h қалинлигини ўтиш учун h/v_1 вақт керак бўлса, иккинчисига h/v_2 вақт керак бўлади.

Вақтлар орасидаги фарқ

$$\Delta t = \frac{h}{v_2} - \frac{h}{v_1} = \frac{h(v_1 - v_2)}{v_1 v_2} \quad (a)$$

га тенг. Вақтлар орасидаги фарқ Δt туфайли биринчи нурнинг тўлқинларидан δ қийматга олдин кетади; бунга нурлар йўли орасидаги фарқ дейилади ва у $\delta = \Delta t v$ (б) га тенг, бу ерда v — нурнинг ҳаводаги тезлиги.

Нурлар йўли орасидаги фарқ 349-расмда график тарзда тебранишларни тасвирловчи синусоидаларнинг силжиғанлиги билан тасвиранган.

Тажрибалар билан шу нарса аниқланганки, тезликлар орасидаги фарқ $v_1 - v_2$ бош кучланишлар орасидаги фарққа тўғри пропорционал бўлади, яъни: $v_1 - v_2 = c(\sigma_1 - \sigma_2)$ (в).

Бу ерда c — модель материалнинг оптик активлигига боғлиқ бўлган ўзгармас қиймат.

(а), (б) ва (в) ларни ўзаро таққослаб, фотоэластик қонунини миқдор жиҳатдан ифодаловчи қуйидагича формулани ёзиш мумкин:

$$\delta = c_\lambda h(\sigma_1 - \sigma_2) \quad (14.7)$$

Бу ерда c_λ — модель материалининг хоссаларига ва ёруғлик тўлқини узунлигига боғлиқ бўлган ўзгармас коэффи-

циент; v_1 , v_2 ва v тезликлар ёруғлик тұлқини узунлигига боғлиқ.

Агар (14.7) формулада кучланишлар фарқи $\sigma_1 - \sigma_2$ бўлса, $\delta = \lambda, 2\lambda, \dots, m\lambda$ бўлганда экранда қора полосалар ҳосил қиласди. Ҳар бир полосага бутун сондан иборат ўз рақами m түғри келади, бу сонга полосанинг тартиби дейилади.

Оқ ёруғликдан фойдаланилганда полосалар бўялади, чунки оқ ёруғлик барча ташкил этувчилари учун нурнинг сўниш шарти $\delta = m\lambda$ бажарилиши мумкин эмас. $\sigma_1 - \sigma_2$ нинг ҳар бир қийматига оқ ёруғликнинг сўнмаган ўз ранглари, демак, з бўёғи түғри келади.

$\sigma_1 - \sigma_2$ нинг ўзгармас қийматига мос келувчи бир хил бўёқлар изохромлар деб аталади. Изохромлар монохроматик ёруғликда олинадиган қора (бўялмаган) полосаларга ҳам тегишилдири.

Мазкур қора полосалар расмiga қараб модель нуқтадаридаги $\sigma_1 - \sigma_2$ бош кучланишлар фарқини аниқлаш мумкин.

Нурлар йўлида тўлқин узунлигига teng фарқни келтириб чиқарувчи бош кучланишлар фарқи $\sigma_1 - \sigma_2 = \sigma_0$ нинг қиймати модель полосасининг қиймати деб аталади. $\delta = \lambda$ бўлганда формуладан куйидаги ифодага эга бўламиз:

$$\sigma_0 = \frac{\lambda}{c_s h} \quad (14.8)$$

Фараз қилайлик, моделга тушадиган юклама ортиб боради ва қандайдир нуқтадаги $\sigma_1 - \sigma_2$ фарқ кетма-кет $\sigma_0, 2\sigma_0, \dots, m\sigma_0$ қийматларга эришади. Нуқтадаги уларга мос келувчи йўл фарқи $\delta = \lambda, 2\sigma_0, \dots, m\sigma_0$ ларга teng бўлади, улар экранда биринчи, иккинчи, ..., m тартибли қора полосалар деб аталади. Улар ёритилган нуқталар билан алмашинади. Бу 345-расмда нур интенсивлиги I нинг кучланишлар фарқи $\sigma_1 - \sigma_2$ га боғлиқлиги график кўринишда тасвирланган. Қуйида бу боғланиш оддий чўзишишга ишлайдиган элемент ёритилишининг алмашиниш картинаси билан намойиш қилинган.

Айтилганлардан кўриниб турибдики, агар синалаётган модельда m тартибли полоса кузатилса, бу полосанинг

нуқталаридаги бош күчланишлар фарқининг қиймати $\sigma_1 - \sigma_2 = m\sigma_0$ га тенг бўлади. Полосанинг тартиби юклама ошиши жараёнида полосанинг исталган нуқтасидаги қора полосалар сонини бевосита санаш йўли билан аниқлайди. Одатда, полосанинг тартиби унинг ноль полосага нисбатан тартиб номерига ($\sigma_1 - \sigma_2 = 0$ нуқталарда ташқи юкламанинг исталган қийматида) мос бўлади, бу полосанинг тартибини топишни осонлаштиради.

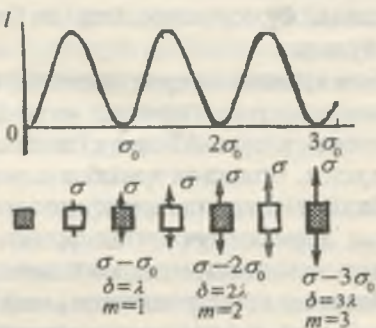
Полосанинг қиймати σ_0 моделда тажриба йўли билан қиймати аниқ күчланишлар ҳосил қилиш ва ҳосил бўлган полосалар картинасини кузатиш йўли билан топилади. Масалан, чўзилишда экранда биринчи тартибли қора полоса ҳосил қилувчи P кучини топиб $\sigma = P/F$ ни аниқлаш мумкин.

Материалнинг оптик аниқлиги қанча катта бўлса, полоса қиймати шунча кичик бўлади. Желатин энг сезгир ҳисобланади, унда $h = 1$ см бўлганида $\sigma_0 = 0,02 \frac{\text{кг}}{\text{см}^2}$. Ишлатиладиган оддий материаллар (бакелит ва ҳ.к.) учун бу миқдор $12 \text{ кг}/\text{см}^2$ га, целлулоид учун $30-60 \text{ кг}/\text{см}^2$ га, шиша учун $260-500 \text{ кг}/\text{см}^2$ га тенг бўлади.

Шундай қилиб, оптик усулда бевосита тажрибадан бош күчланишларнинг фақат йўналиши ва уларнинг қийматлари фарқи — $\sigma_1 - \sigma_2$ топиласди. Бу моделнинг ҳар бир нуқтасида текис күчланиш ҳолатининг формуласини қўллаб исталган қия юзачадаги уринма күчланишларни аниқлаш имконини беради:

$$\tau_\alpha = -\frac{\sigma_1 - \sigma_2}{2} \cdot \sin 2\alpha \quad (14.9)$$

Хусусан ҳар бир нуқтадаги τ_{\max} аниқланади, чунки:



351-расм.

$$\sigma_1 - \sigma_2 = 2\tau_{\max}$$

Нуқта чизиқли кучланиш ҳолатида бўлганида ($\sigma_1 = \sigma$, $\sigma_2 = 0$) $\sigma_1 - \sigma_2$ фарқ кучланишнинг ўзига тенг бўлади. Тажриба натижасидан топилган қиймат модель контурининг юкламаган нуқтасида шундай ҳолатни кўрамиз.

Умумий ҳолда кучланиш ҳолати ҳақида тўла тасаввур ҳосил қилиш учун $\sigma_1 - \sigma_2$ фарқдан ташқари, ҳар бир бош кучланишнинг қийматини ҳам билиш керак ёки бошқача айтганда, бу кучланишларни бир-биридан ажратиш керак бўлади.

Бош кучланишларни ажратиш. (Моделдан деталга ўтиш). Кучланишларни ажратиш учун бир неча усуллар таклиф қилинган, улардан бири қўшимча тажриба ўтказишини талаб қиласа, бошқаси ҳисоблаш усулига асосланган.

Эластиклик назариясида текис масала шароитида бўлган жисмда кучланишларнинг тақсимланиши материалнинг эластиклик доимийларига (эластиклик модули E га. Пуассон коэффициенти μ га) боғлиқмаслиги исботланади. Демак, турли материаллардан ясалган деталь ва унинг моделида улар геометрик ўхшаш ва уларга таъсир қиласидаган юкламалар ўхшаш бўлса, деформация ва кучланишларнинг тақсимланиш қонуни бир хил бўлади. Бу модельдаги кучланиш σ_{mod} дан деталдаги уларга мос келувчи кучланиш σ га

$$\sigma = \frac{h_m}{h} \cdot \frac{s_m}{s} \cdot \frac{P}{P_m} \cdot \sigma_{mod} \quad (14.10)$$

формула бўйича ўтиш имконини беради. Бу ерда h_m/h — модель ва деталь қалинликларининг нисбати; S_m/S — модель ва деталь контурининг бир-бирига мос келувчи чизиқли ўлчамларининг нисбати; P/P_m — деталь ва модельга тушадиган юкламаларнинг нисбати.

(14.10) формуладан фойдаланиш мумкин бўлмайдиган ҳоллар (моделнинг кўп боғланишли контури, яъни тешиклари бўлган пластинканинг контури) ҳам бор, бундай ҳолларда юқоридаги формуладан тахминий формула (лекин бирмунча аниқроқ) сифатида фойдаланилади.

Материаллар қаршилиги фанини ўқитиш услубиятига доир

Ўзбекистонда содир бўлаётган ижтимоий-иктисодий узгаришлар, фан билан ишлаб чиқариш интеграциясини ривожланишида анъанавий ахборот ва ўқитишнинг компьютерли воситалари, глобал масштабдаги телекоммуникацион тармоқ билан тўлдирилиши, ўз навбатида мустақил равиша фикрлашни; эгаллаган билимларни борлик-нинг қайси жойларида ва қай тарзда қўлланиши; ахборотлардан саводли ва мустақил фойдаланиши; маълум бир вазифани тадқиқ қилиш учун зарур омилларни тўглашни билишни, уларни таҳлил қилиш, муаммоларни ечиш гипотезасини илгари суришни; замонавий технологиялардан фойдаланишини тақозо этади.

Ҳозирги замонда фанларни ўқитиш жараённида замонавий педагогик технологиялар тадбиқ этилмоқда.

Таълимни технологиялаштиришнинг асосини таълим жараёнини самарадорлигини ошириш ва таълим олувчиларни берилган шароитларда ва ажратилган вақт ичida лойиҳалаштирилаётган ўкув натижаларига эришишларини кафолатлаш мақсадида тұлиқ бошқаришғояси ташкил этади.

Педагогик технология — ўкув жараёнини технологиялаштиришни бутунлигича аниқловчи тизимли категория.

Ўқитиш технологияси — биринчидан, педагогик технологияни жараёнли — ҳаракат аспектини англатади. Бу, таълим жараёнини амалга оширишни инструментал таъминловчи усул ва воситаларнинг тартибли бирлигини ўзида мужассамлаштирган таълим моделини ишлаб чиқиш ва амалга оширишнинг технологик жараёни;

— иккинчидан, педагогик технологиянинг жараёнли-баёнли аспектини, педагогик ҳамда ўкув фаолиятининг лойиҳасини бажаришнинг баёнидир (технологик харита).

Таълим технологияси — педагогик технологиянинг илмий аспектини белгилаш, дарс бериш ва билимларни ўзлаштиришнинг барча жараёнларини қўллаш ва белгilaшнинг тизимли усули.

Материаллар қаршилиги умуммуҳандислик фанларининг таркибига кириб, булажак мутахассисларга конструкция ва иншоот қисмларини кучланганлик-деформацияланган ҳолатларини таҳлил қилишни, уларни турли деформациялар жараёнида мустаҳкамликка ва бикрликка ҳисоблаш усулларини ўргатади.

Материаллар қаршилиги фанини ўқитишдан мақсад ҳар бир мустахассис замонавий талабига тўла жавоб бера оладиган, юқори унумли, мустаҳкамлиги етарлича таъминланган, мумкин қадар енгил, тузилиши оддий конструкция ёки иншоот қисмини лойиҳалашни ўргатишидир.

Фаннинг асосий муаммоси — деформация турлари; мутаҳкамлик, бикрлик ва устуворлик шартлари; конструкцияларни статик ва динамик юкланишида материалларнинг хоссаларини таҳлили. Бу фанни ўрганишда талабалар — математика, физика, чизма геометрия, назарий механика, металлар технологияси фанларини ўзлаштиргандаги билимларига асосланадилар.

Материаллар қаршилиги вазифаларини амалга оширишни тушунтиришда ўқитишнинг қуйидаги усулларидан фойдаланиш мумкин:

- маъруза;
- тарихий воқеани тушунтириш (конкрет конструкция ёки иншоот қисми билан боғлиқ);
- тажриба усули (намойиш усули);
- китоб билан ишлаш;
- машқлар, лойиҳалар (ҳисоблаш-график ишлари) усули;
- сұхбат, мунозара, видео усули.

Ўқитиш самарадорлигини ошириш учун:

- ўқитувчи томонидан мавзу бўйича режа асосида маъруза амалга оширилиб, талабалар тегишли жойларини ёзиб оладилар;
- дарс вақтида тегишли мулоқотлар, савол-жавоблар ўюштириш, диалог ва ўтилган дарсни мустаҳкамлаш;
- ўтилган мавзу бўйича доскада мисоллар ишлаш;
- реал машина ва механизmlар моделларидан ва тегишли плакатлардан фойдаланиш;

- дарсга, мавзуга қизиқтириш — мунозара, ҳикоя, тарихий воқеа усуллари ни құллаш;
- реал объектлар (мутахассислик бүйича) нинг юкланиш схемаларини тузиш ва ҳисоблаш;
- материаллар қаршилиги фани бүйича олимпиада масалаларини ва бир масалани бир неча хил усулда ечишни үрганиш;
- дарс мавзуларини тайёрлаб тарқатиш;
- барча топшириқлар, услугбий комплексларни (үй ишлари, лаборатория топшириқлари, саволлар мажмуды) күпайтириб, олдиндағы талабаларга тарқатиш;
- дарсларни намуна сифатида видеотасмаларга ёзиген олиб тарқатиш;
- компьютер ёрдамида маъруза матнларини ёзиген тарқатиш;
- ҳисоблаш-график ишларини компьютерда бажариш дастурини ишлаб чиқиш;
- компьютер технологиясидан фойдаланиб талабаларни масофадан үқитиш;
- электрон дарслерини яратиш талаб этилади.

Үқитишининг барча усулларини тәдбиқ этишда технологик харита тузилади. Технологик харита умуман фан бүйича тузилиши ҳам мумкин ёки фанни алоҳида-алоҳида мавзулари, тажриба ишлари ва амалий дарслари бүйича ҳам тузилиши мумкин.

Фанни үзлаштиришда эшитиш, күриш, ёзиш асосида мавзу бүйича маълумот қисқа қилиб берилади. Талабалар дарсда қайд қилинмаган материалларни құшимча адабиётлардан ёзиген келадилар. Бу усулда талаба үзи дарсда ёзған материални үқиб чиқади ва таҳлил қиласы.

Фанни үқитишда қуйидагиларни эътиборга олиш мақсадга мувофиқ:

- талабалар эгаллаган бошланғич билимларининг үргатча даражаси;
- мавзуларни тушунтиришда оддийдан мураккабга үтиш;
- назарий масалаларни үрганишда амалий ва тажриба машғулотларининг мантиқий кетма-кетлигини таъминлаш;

— мавжуд ҳар бир манба — ақабиёт, күргазма ва техник үқитиш воситасига ўзига хос характеристика бериш;

— ҳар бир талаба бажарадиган индивидуал ҳисоб-график ишлари тегишли равишида қүшимча ижодий изланишларининг мантиқий яхлитлигини таъминлаш ва бошқалар.

Материаллар қаршилиги муамм оларини ҳал қилишда конструкция ёки иншоот қисмини юқланганлик ва деформацияланган ҳолатини таҳдил этиш лозим. У ҳолда уни мустаҳкамлик ва бикрликка ҳисобла шартни тартибда олиб борилади:

— ички куч факторларини аниқлыш;

— элемент материалини Гук қонунига бўйсунишини таъкидлаш;

— чизиқли ёки бурчакли деформациялар ички кучга тўғри ва элементнинг бикрлигига тескари пропорционал ўзгаришини ёзиш;

— барча кучланишлар ички кучга тўғри ва кесим юзанинг геометрик характеристикасига тескари пропорционаллигини ёзиш;

— элементларни бикрлик ва мустаҳкамлик шартларини ёзиш;

— бикрлик ва мустаҳкамлик шартлар асосида рационал кесимни ёки рухсат этилган юкни танлаш.

Конструкция ва иншоот қисмларини оддий ёки мурракаб деформация ҳолатларида юқорида келтирилган тартибни инобатга олиш кетма-кетлиги сакланиши ва қуйидаги таянч сигналлари кўринишларига эга бўлиши лозим.

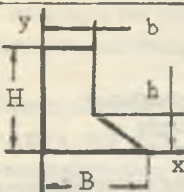
ПЛАКАТЛАР

- 19-01. Кесиш методи
- 19-02. Ички күч факторлари
- 19-03. Чүзилиш ва сиқилиш
- 19-04. Кам углеродли чүзилиш диаграммаси
- 19-05. Турли материалларнин чүзилиш диаграммаси
- 19-06. Пұлат ва чүйннің сиқылыш диаграммалари
- 19-07. Ёғочни механик характеристикалари
- 19-08. Пұлатни пластик ва мұс тақтамлик характеристикалари
- 19-09. Материалларни физика- механик характеристикалари
- 19-10. Қотишмаларни физика- механик характеристикалари
- 19-11. Металларни физико-химик характеристикалари
- 19-12. Деформация тезлигинин материалларини хоссаларига таъсири
- 19-13. Температуранинг материяллар хоссаларига таъсири
- 19-14. Нұктанинг күчланғанлық қолаты
- 19-15. Доиравий кесимли стерженли буралиш
- 19-16. Тұғри бурчаклы кесим күзаларининг буралиши
- 19-17. Чүзилиш ва сиқилишда дифференциал боғланишлар
- 19-18. Балка ва таянч түрләри
- 19-19. Стерженли соф эгилиш
- 19-20. Күндаланғ эгилиш деформациял болганишлар
- 19-21. Пластиклик ва емрилиш критерийлари
- 19-22. Мустақаммик в. пластиклик критерийлари
- 19-23. Критик күчлаништардың диаграммаси
- 19-24. Турли таянчларга тирада үзвичи стерженларда критик күч
- 19-25. Стерженларни үсівзорликка амалий ҳисоблаш
- 19-26. Стерженлар учун үйлама сиқилиш коэффициенти
- 19-27. Статик тенгламалық р
- 19-28. Текисликдеги мүнәззанат тенгламалари
- 19-29. Геометрик тенглайлар
- 19-30. Сен-Венан тенглаласы

ДИАГИЛЬМЛАР

1. Д-1 қисм. Умумий түшүнчәлар
2. Д-2 қисм. Сиқилиш. Силжи и. Буралиш
3. Д-1 қисм. Эгилиш. Мураккаб деформация. Устуворлик.

Текис кесим юзаларинин геометрик тасиғлари



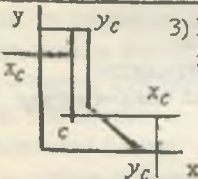
Реал объект - несимметрический симметрический кесим юза

1) Кесимни X жа Y үқшарига нисбатан статик моментлар: $S_x = \int y \cdot dA$ $S_y = \int x \cdot dA$

2) оғирликтік мәрказини координаталари

$$x_c = \frac{x_1 \cdot A_1 + x_2 \cdot A_2}{A_1 + A_2} \quad y_c = \frac{y_1 \cdot A_1 + y_2 \cdot A_2}{A_1 + A_2}$$

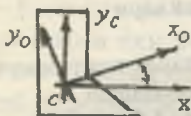
$$x_1 = \frac{b}{2} \quad x_2 = b + \frac{1}{3}(B-b) \quad y_1 = \frac{H}{2} \quad y_2 = \frac{h}{3}$$



3) Мәрказий x_c жа y_c үқшарга нисбатан кесимни инерция моментлари

$$I_{xc} = I_x + a^2 \cdot A \quad I_{yc} = I_y + b^2 \cdot A$$

$$I_{xcyc} = I_{xy} + a \cdot b \cdot A$$



Бош инерция үқшар йұналишини анықлаш

$$\operatorname{tg} 2\alpha = - \frac{2I_{xcyc}}{I_{xc} - I_{yc}}$$

Бош инерция моментларни экстремал қыйматлари:

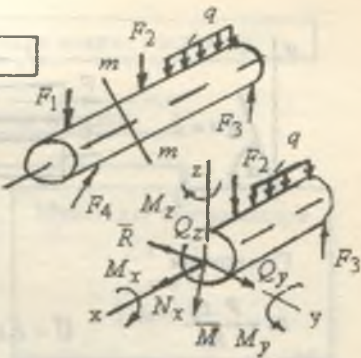
$$I_{xoy} = \frac{I_{xc} - I_{yc}}{2} \cdot \sin 2\alpha_0 + I_{xcyc} \cdot \cos 2\alpha_0 = 0$$

$$I_{\max} = \frac{1}{2} \left[(I_{xc} + I_{yc}) \pm \sqrt{(I_{xc} - I_{yc})^2 + 4 \cdot I_{xcyc}^2} \right]$$

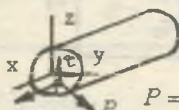
Реал объект - юкланиш схемаси

Кесиш усули, ички күч
факторларини анықлаш

$$\begin{aligned}\sum x &= 0 & \sum M_x &= 0 \\ \sum y &= 0 & \sum M_y &= 0 \\ \sum z &= 0 & \sum M_z &= 0\end{aligned}$$



Материалларни күчлән-
ганлик җолаты



$$P = \sqrt{\sigma^2 + \tau^2}$$

Мустаҗкамлик шарти
 $\sigma_{\max} \leq [\sigma]$, $\tau_{\max} \leq [\tau]$

Гүк қонуну

$$\sigma = E \cdot \varepsilon \quad \tau = \gamma \cdot G$$

Деформация тенгламалари
 $\Delta \ell = \frac{F \ell}{EA} \quad \phi = \frac{M \cdot \ell}{G I_p}$

$$EI \cdot y'' = M_x \quad \Delta = \int \frac{M M_1 dx}{EI}$$

Бикрлик шарти
 $f \leq [f] \quad \phi \leq [\phi]$

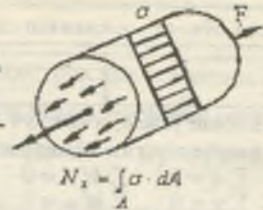
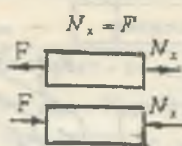
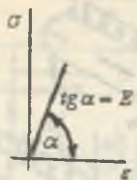
Кесимни
тәнлаш

$$A \geq \frac{F}{[\sigma]} \quad W \geq \frac{M}{[\sigma]}$$

Рухсат этил-
ган юк

$$F_{pyk} = A \cdot [\sigma] \quad M_{pyk} = W \cdot [\sigma]$$

Материалларнинг хосса-
ларини үрганиш



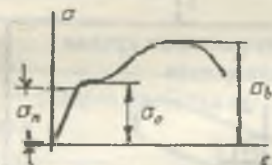
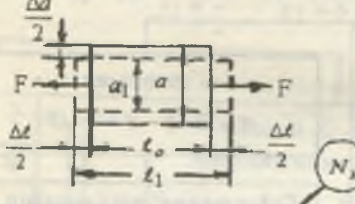
Гүлк қонуны

Нормал күчлөнүш

$$\Delta \varepsilon = \frac{F \cdot \ell_0}{E A}$$

$$\bar{\varepsilon} = E \varepsilon$$

$$\sigma = \frac{F}{A}$$



бикрлик
 $\varepsilon = \frac{\sigma}{E}$

$$EA$$

чүзилеш шағынлык

$$\delta > 5\%$$

эластиклilik модулү

$$E$$

$\sigma = \frac{\sigma_0}{n}$

$$\sigma$$

мұртлilik
 $\delta < 5\%$

$$\delta < 5\%$$

Көлдик деформация:

$$\delta > 5\%$$

пластиклilik
 $\delta > 5\%$

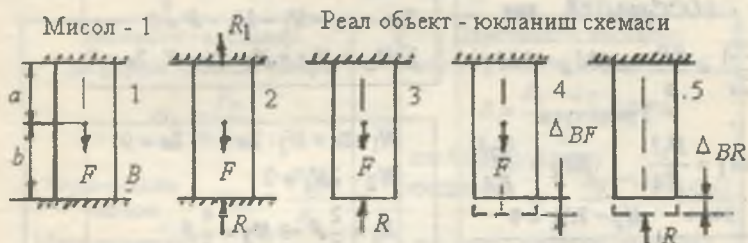
$$\delta < 5\%$$

Мустажаммилук шарт

$$\sigma_{\max} = \frac{F}{A} \leq [\sigma]$$

Рационал кесим

$$A \geq \frac{F_{\max}}{[\sigma]}$$



Деформация тенгламаси

$$\Delta_B = \Delta_{BF} - \Delta_{ER} = 0$$

$$\Delta_{BF} = \frac{Fa}{EA}, \quad \Delta_{BR} = \frac{R(a+b)}{EA}$$

Номаълум куч R - ни топиш

Мувозанат тәнгламаси

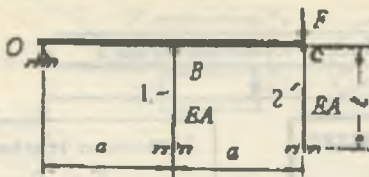
$$\sum y = R_1 - F + R = 0$$

Аниқмаслик даражаси

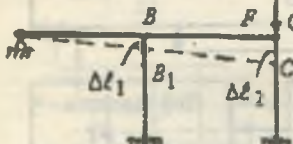
$$S = n - m = 2 - 1 = 1$$

$$R = F\left(\frac{a}{a+b}\right) \quad R_1 = F\left(\frac{b}{a+b}\right)$$

Мисол - 2



Деформациялардың қолыт



Стерженилер деформацияларининг бөглөмдүші

$\Delta OCC_1 = \Delta OBB_1$ дай

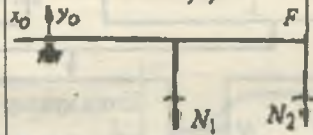
$$CC_1 = \frac{BB_1}{a} \text{ да} \quad \Delta \epsilon_2 = 2\Delta \epsilon_1$$

Гүлдөнүүс

$$\Delta \epsilon_1 = \frac{N_1 l}{EA}, \quad \Delta \epsilon_2 = \frac{N_2 l}{EA}$$

$$\text{Унда} \quad N_2 - 2N_1 = 0$$

Кесиш усулү



Мұназынат тәнглемалар

$$\sum x = -x_0 = 0$$

$$\sum y = y_0 - N_1 - N_2 - F = 0$$

$$\sum M_O = N_1 a + N_2 \cdot 2a + F \cdot 2a = 0$$

$$N_1 \cdot 2a + N_2 \cdot 2a + F \cdot 2a = 0$$

$$N_2 - 2N_1 = 0$$

$$N_1 = \frac{2}{3}F \rightarrow N_2 = \frac{4}{3}F$$

Абсолюттүзкүнш

$$\Delta \epsilon_1 = \frac{2F}{3EA}, \quad \Delta \epsilon_2 = \frac{4F}{3EA}$$

$$A \geq \frac{4F}{3[\sigma]}$$

Мустаҳкамият шарты

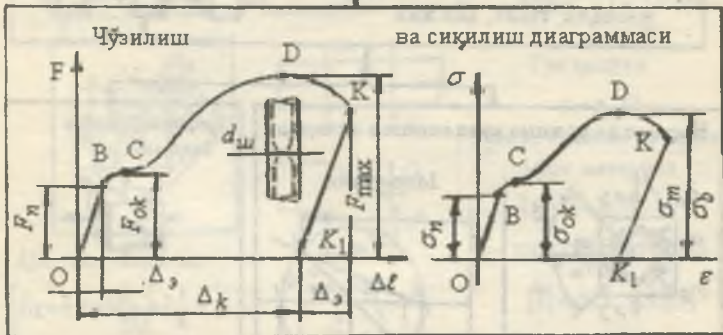
$$\sigma_1 = \frac{N_1}{A} = \frac{2F}{3A} \leq [\sigma]$$

$$\sigma_2 = \frac{N_2}{A} = \frac{4F}{3A} \leq [\sigma]$$

$$F_{pys} = \frac{3}{2} A \cdot [\sigma]$$

Материалларни хоссаларини тажрибада үрганиш

Реал материал - намуна, синон машинаси ва мақсади



Механик хоссалар:
Пропорционаллик чегара

$$\sigma_n = \frac{F_n}{A_0}$$

Оксувчанлык чегара $\sigma_{ok} = \frac{F_{ok}}{A_0}$

Мустағкамлык чегара $\sigma_b = \frac{F_{max}}{A_0}$

Пластиклик хоссалар:
нисбий кодик деформация

$$\delta = \frac{\ell_1 - \ell_0}{\ell_0} \cdot 100\%$$

нисбий күндаланг
қисқарыш $\psi = \frac{A_0 - A_1}{A_0} \cdot 100\%$

$\delta > 5\%$ - пластик материал

$\delta < 5\%$ - мұрт материал

Рұхсат этилган күчланиш

$$[\sigma] = \frac{\sigma_{ok}}{n}$$

эластик модули $E = \operatorname{tg} \alpha$

$$\text{Пуассон сони } \mu = \frac{\epsilon}{n}$$

Күчләнгәнлик ва мұстажкамлик назарияри

Реал объект - күчләнгәнлик түрі:
чиңиқли текис, җажмий

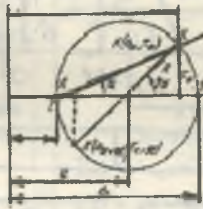


Нормал өз үринма күчләнешни анықлаш

$$\sigma_\alpha = \sigma_1 \cos^2 \alpha + \sigma_3 \sin^2 \alpha$$

$$\tau_\alpha = \frac{\sigma_1 - \sigma_3}{2} \sin 2\alpha$$

Мор усулі



Деформацияни таҳлили



$$\varepsilon_1 = \frac{1}{E} [\sigma_1 - \mu(\sigma_2 + \sigma_3)]$$

$$\varepsilon_2 = \frac{1}{E} [\sigma_2 - \mu(\sigma_1 + \sigma_3)]$$

$$\varepsilon_3 = \frac{1}{E} [\sigma_3 - \mu(\sigma_1 + \sigma_2)]$$

$$\varepsilon_0 = \frac{1 - 2\mu}{E} (\sigma_1 + \sigma_2 + \sigma_3)$$

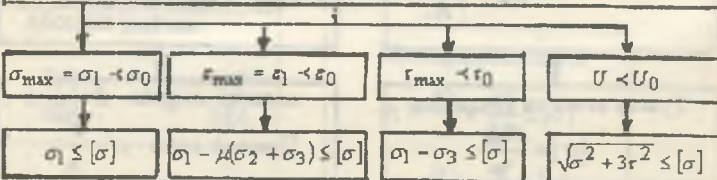
Бош күчләнешлар:

$$\sigma_{1,3} = \frac{1}{2} \left[(\sigma_\alpha + \sigma_\beta) \pm \sqrt{(\sigma_\alpha - \sigma_\beta)^2 + 4 \tau_\alpha^2} \right]$$

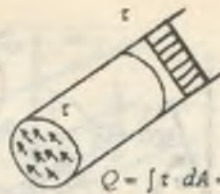
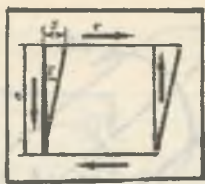
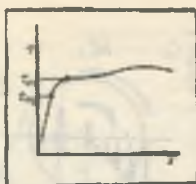
Гүк қонуны җажмни нисбий үзгариш

Конструкцияни мұстажкамлигини текшириш

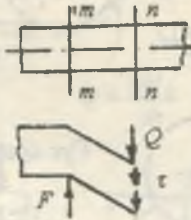
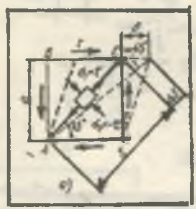
Деформацияланғанлық ва күчләнгәнликни хавфлик даражасы



мұстажкамлык шарттар



$$Q = \int \tau \cdot dA = F$$



Абсолют силжиш

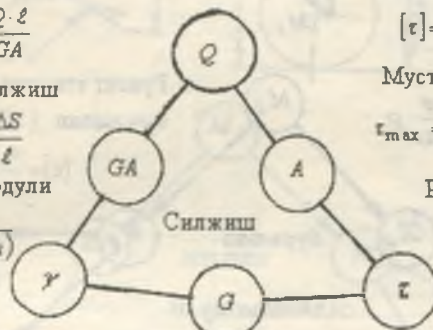
$$\Delta S = \frac{Q \cdot \ell}{GA}$$

Нисбий силжиш

$$tg\gamma = \frac{\Delta S}{\ell}$$

Силжиш модули

$$G = \frac{E}{2(1+\mu)}$$



Парчин михли бирикмани ҳиссеблаш:

- қирқилиш $\tau_{max} = \frac{4F}{n\pi d^2} \leq [\tau] \quad n \geq \frac{4F}{\pi d^2 [\tau]}$

- эзилиш $\sigma_c = \frac{F}{nd^2} \leq [\sigma]_c \quad n \geq \frac{F}{kd^2 [\sigma]_c}$

- чүзилиш ва сиқилиш $\sigma = \frac{F}{l(b-md)} \leq [\sigma]$

Гүк қонуни

$$\tau = \gamma \cdot G$$

Рухсат этилган күчланиш
мұрт материал

$$[\tau] = (0,8...1,0) [\sigma]$$

пластик материал

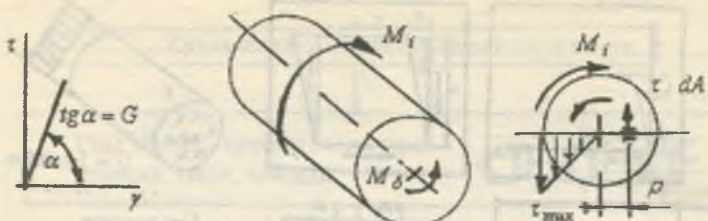
$$[\tau] = (0,5...0,6) [\sigma]$$

Мустағаммалық шарт

$$\tau_{max} = \frac{F}{A} \leq [\tau] \quad A \geq \frac{F}{[\tau]}$$

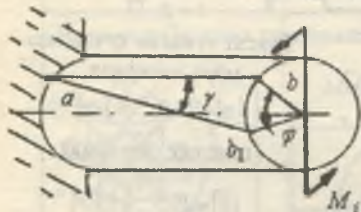
Рационал кесим

$$A \geq \frac{F}{[\tau]}$$



$$M_\delta = \sum M_i$$

$$M_\delta = \int \tau \cdot dA \cdot \rho$$



Гүк қонуни

$$\tau = y \cdot G = y \cdot \frac{E}{2(1+\mu)}$$



буралиш бурчагы

$$\varphi = \frac{M_\delta \cdot t}{G \cdot I_p}$$

бикрлик шарты

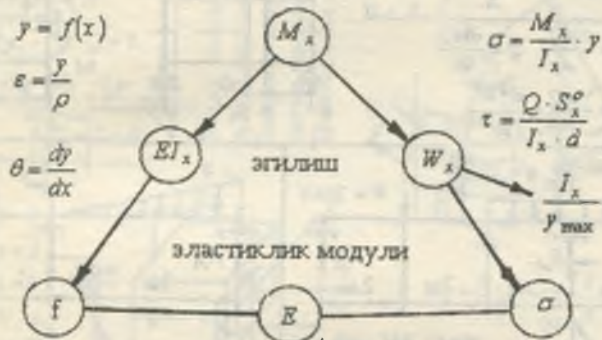
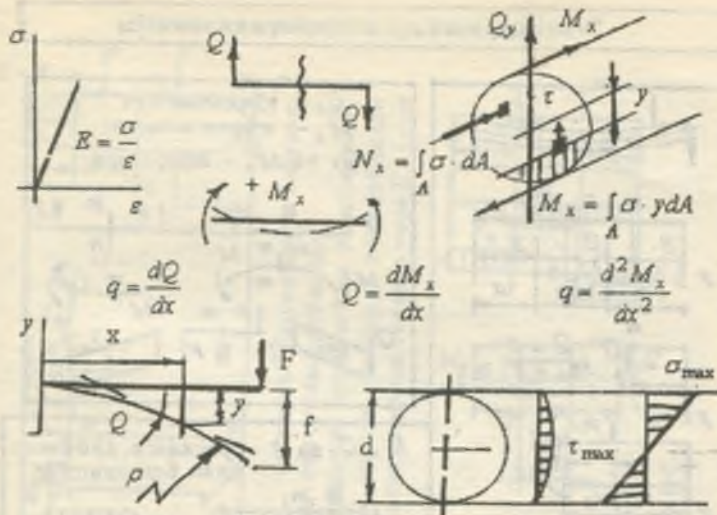
$$\varphi \leq [\varphi]$$

уринма күчләніш

$$\tau_\delta = \frac{M_\delta}{W_p}$$

мустағкамлық шарты

$$\tau \leq [\tau]$$



такрибий дифференциал
төңгілама

$$EI \cdot y'' = \pm M_x$$

бикрлик шарти

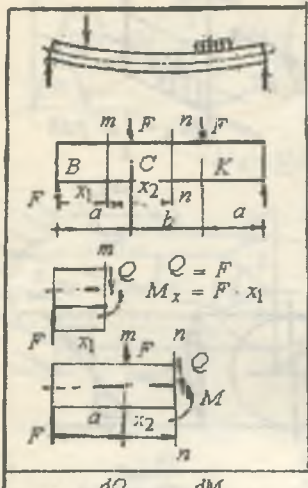
$$f \leq [f]$$

мустажкамлик шарти

$$\sigma_{max} = \frac{M_x}{W} \leq [\sigma]$$

рационал кесим

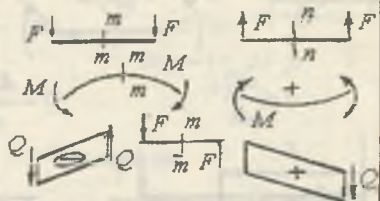
$$W_x \geq \frac{M_x}{[\sigma]}$$



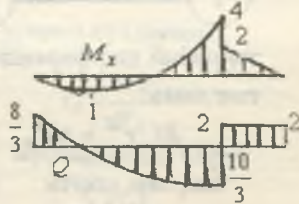
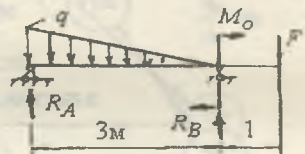
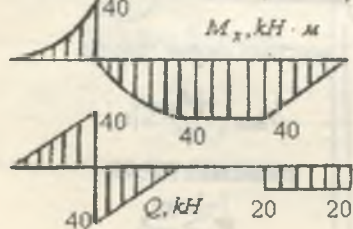
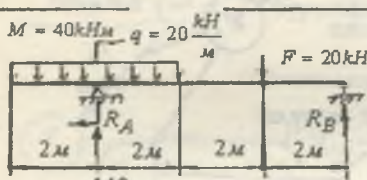
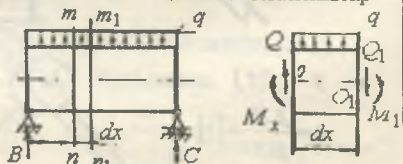
$$q = -\frac{dQ}{dx}, \quad Q = \frac{dM_x}{dx}$$

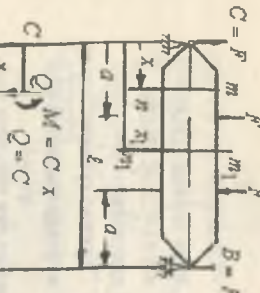
$$q = -\frac{dQ}{dx} = \frac{d^2M_x}{dx^2}$$

Q_x - күндаланг күч
 M_x - эзувчи момент
 Q_x ва M_x - ишоралари

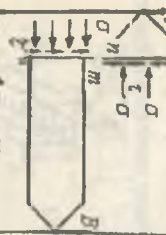


M_x , Q_x ва q - орасидаги дифференциал болганишлар

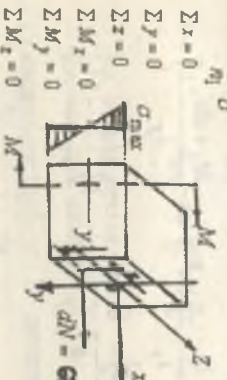




$$C = F \cdot m \quad F = m_1 \cdot F$$



$$C = \frac{Q}{m} \cdot M = C \cdot x \quad Q = C$$



$$\sum x = 0$$

$$\sum y = 0$$

$$\sum z = 0$$

$$\sum M_x = 0$$

$$\sum M_y = 0$$

$$\sum M_z = 0$$

$$M_x = 0$$

$$M_y = 0$$

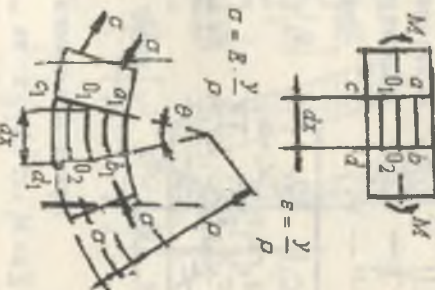
$$M_z = 0$$

$$\sigma_{max} = \frac{M_z}{W_z} \leq [\sigma]$$

$$\sigma_{max} = \frac{M_z}{W_z} \leq [\sigma]$$

$$\sigma_{max} = \frac{M_z}{W_z} \leq [\sigma]$$

$$W \geq \frac{M_z}{[\sigma]}$$

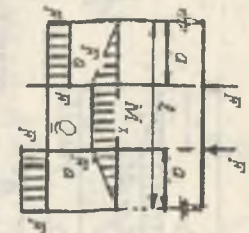


$$\sigma = E \cdot \frac{y}{\rho}$$

$$M_x = \frac{E}{\rho} \int y^2 \cdot dk = \frac{E}{\rho} I_x$$

$$\frac{1}{\rho} = \frac{M_x}{E I_x}$$

этреник
радиус



$$\sigma = E \cdot \frac{y}{\rho}$$

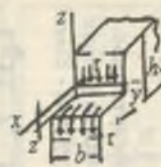
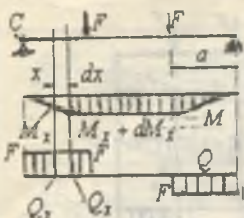
$$M_x = \frac{E}{\rho} \int y^2 \cdot dk = \frac{E}{\rho} I_x$$

$$\frac{1}{\rho} = \frac{M_x}{E I_x}$$

этреник
радиус

- Фақат нормал күчлөнүш таъсиридаги балкани деформацияси - соғ өткөнде деңгел
- Балкани өткөнде үзүүлүгүнүн үзгартырмайдын материал толаси - нейтрал тола деңгел
- Чүзиладын ва сиқыладын толалар учун $E = const$

Эгилишда уринма күчланишни анықлаш



- Күндаланг күч Q барча ички уринма күчланишларнинг тенг тасир қилувчиси

- Уринма күчланишларни жуфтлик аломатига кўра

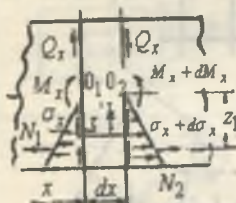
$$\tau = -\tau$$

- кесимнинг нейтрал ўқидан бир хил масофада жойлашган юзалардаги уринма күчланишлар үзаро тенг

- балкани эгилишида кесим юзалар текислигича қолади



Чузувчи күчлар

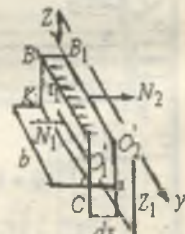


$$N_1 = \int \sigma_x \cdot dA = \frac{M_x}{I_y} \int z_1 \cdot dA$$

$$N_2 = \frac{M_x + dM_x}{I_y} \int z_1 \cdot dA$$

$KBO_1 C$ - юзани статик моменти

$$S_y^0 = \int z_1 \cdot dA$$



Таигенциал күч

$$dT = t \cdot b \cdot dx$$

Мувозанат тенгламаси

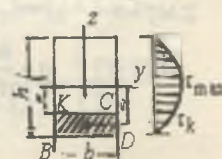
$$\sum x = N_1 + dT - N_2 = 0 \quad \text{ва} \quad \frac{M_x}{I_y} \cdot S_y^0 + t \cdot b \cdot dx - \frac{M_x + dM_x}{I_y} S_y^0 = 0$$

$$\text{Уринма күчланиш } t = \frac{dM_x}{dx} \cdot \frac{S_y^0}{I_y \cdot b} = \frac{Q \cdot S_y^0}{I_y \cdot b} \quad S_y^0 \frac{b}{2} \left(\frac{h^2}{4} - z^2 \right)$$

$$t = \frac{6Q \left(\frac{h^2}{4} - z^2 \right)}{bh^2}$$

$$z = 0 \text{ бўлса } t = t_{\max} = \frac{3Q}{2bn}$$

$$z = \frac{h}{2} \quad \text{бўлса} \quad t = 0$$



Балканинг мустаҳкамлигини тұлғы текшириш

$$R_B = \frac{F}{2}$$

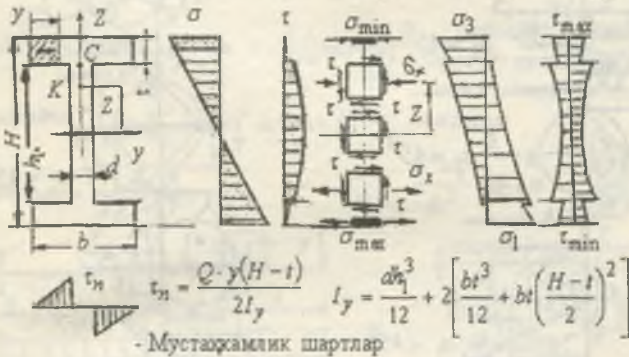
Нормал күчләниш $\sigma = \frac{M \cdot Z}{I_x}$

$Z = 0 \rightarrow \sigma = 0; Z = \frac{H}{2} \rightarrow \sigma_{\max} = \frac{M}{W_{yo}}$

Уринма күчләниш $\tau = \frac{Q \cdot S_x}{I_y \cdot b(d)}$

R_A F t r M_x $Z = \frac{H}{2}$ $\tau_0 = \frac{Q \cdot t(h_1 - t) \cdot b}{2I_y b(d)}$

R_A Q_x $Z = Z_k$ $\tau_k = \frac{Q}{2I_y \cdot d} \left[bt(h_1 - t) + d \left(\frac{h_1^2}{5} - Z^2 \right) \right]$



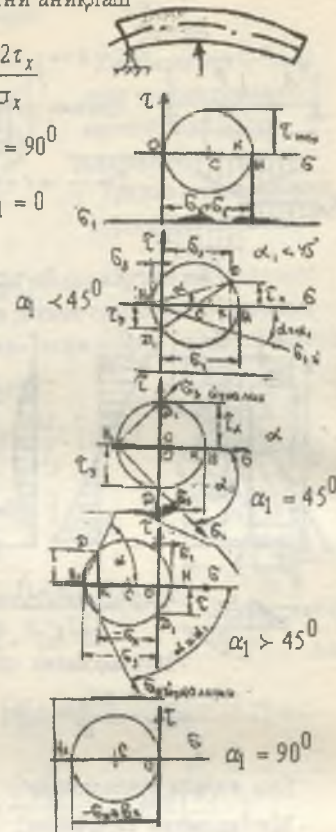
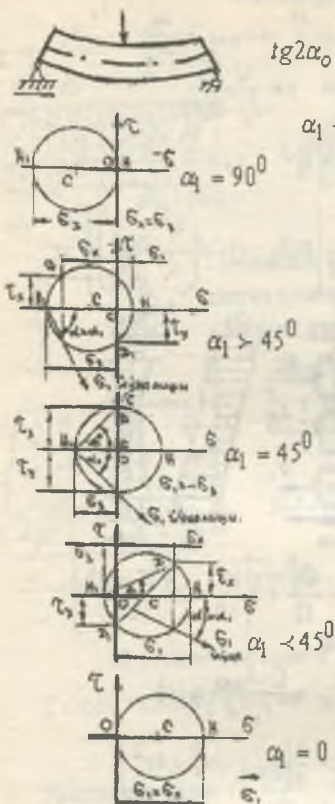
- Бөш нормал күчләнишшар

- Мустаҳкамлық назариялар

I - назария $\sigma_1 \leq [\sigma] \quad \text{II - назария } \frac{1-\mu}{2} \sigma_x + \frac{1+\mu}{2} \sqrt{\sigma_x^2 + 4\tau^2} \leq [\sigma]$

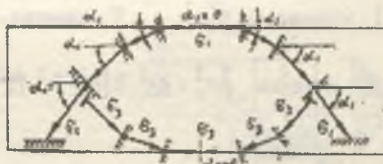
III - назария $\sqrt{\sigma_x^2 + 4\tau^2} \leq [\sigma] \quad \text{IV - назария } \sqrt{\sigma_x^2 + 3\tau^2} \leq [\sigma]$

Бош күчланишлар йұналишини анықлаш

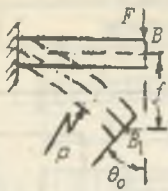


σ_1 - чүзүвчи күчланиш

σ_3 - сикувчи күчланиш



Эгилишда күчишларни анықлаш



- эгри үк тенгламаси $y = f(x)$
- салқылыш ва кесимни айланиш бурчаги орасидаги боғланиш $\theta = \frac{dy}{dx}$
- балканинг эгрилик радиуси бикрлиги ва эгувчи момент орасидаги боғланиш $\frac{1}{\rho} = \pm \frac{d^2 y}{dx^2}$

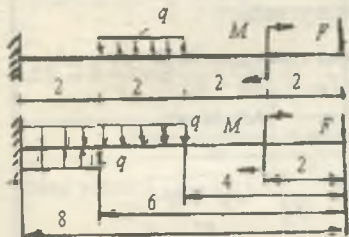
- балка эгилган үқининг тақрибий дифференциал тенгламаси
- эгрилик радиуси ва унинг координаталари орасидаги боғланиш $\frac{1}{\rho} = \pm \frac{d^2 y}{dx^2}$

$$EI \cdot \frac{d^2 y}{dx^2} = \pm M$$

$$\text{- кесимнинг айланиш бурчаги } \theta = \frac{1}{EI} [\int M dx + C]$$

$$\text{салқылыш} \quad y = \frac{1}{EI} [\int \int dx M dx + Cx + D]$$

- башлангич параметрлар усулі



- графоаналитик усул
Сохта куч интенсивлигиги билан сохта эгувчи момент орасидаги боғланиш

$$\frac{d^2 M_c}{dx^2} = q_c \quad \frac{d^2 (EI \cdot y)}{dx^2} = \frac{d^2 M_c}{dx^2}$$

жакыншы балка
 $y = 0 \quad y \neq 0 \quad y = \frac{M_c}{EI}$
 $\theta = 0 \quad \theta \neq 0$

сохта балка
 $M_c = 0 \quad M_c \neq 0 \quad \theta = \frac{Q_c}{EI}$
 $Q_c = 0 \quad Q_c \neq 0$

Мор усули

$$\theta = \theta_0 + \frac{1}{EI} \left[-F \frac{x^2}{2} - M(x-2)^2 - q \frac{(x-4)^3}{6} + q \frac{(x-6)^3}{6} \right]$$

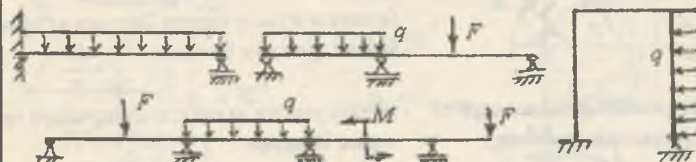
$$y = y_0 + \theta_0 + \frac{1}{EI} \left[-F \frac{x^3}{6} - M \frac{(x-2)^2}{2} - q \frac{(x-4)^4}{24} + q \frac{(x-6)^4}{24} \right]$$

$$f = \int \frac{M \cdot M_1 dx}{EI}$$

$$f = \frac{\omega \cdot M_1}{EI}$$

Эгилишда статик ноанық масалалар

Реал объект - юкланиш схемаси



Статик ноанық системаны мувозанат тенгламаларини тузиш ва аниқмаслик даражасини аниқлаш:

$$\sum x = 0 \quad \sum y = 0 \quad \sum z = 0$$

$$\sum M_x = 0 \quad \sum M_y = 0 \quad \sum M_z = 0 \quad S = n - m$$

Статик ноанықликни очиш усуллари:

- Эгилган үк тақрибий дифференциал тенгламаси $EI \cdot y'' = \pm M_x$
- Деформацияни тақфослаш $f_B = f_{Ba} + f_{BB} = 0$
- Мор интегралини табиқ этиш $f_B = \int_0^L \frac{\epsilon M_F M_1 dx}{EI} = 0$
- Верещагин қоидасини табиқ этиш $f_B = \frac{\omega_F \cdot M_1}{EI} = 0$
- Уч момент тенгламаси

$$M_1 \ell_1 + 2M_2 (\ell_1 + \ell_2) + M_2 \cdot \ell_2 = -6 \left(\frac{\omega_1 \alpha_1}{\ell_1} + \frac{\omega_2 \alpha_2}{\ell_2} \right)$$

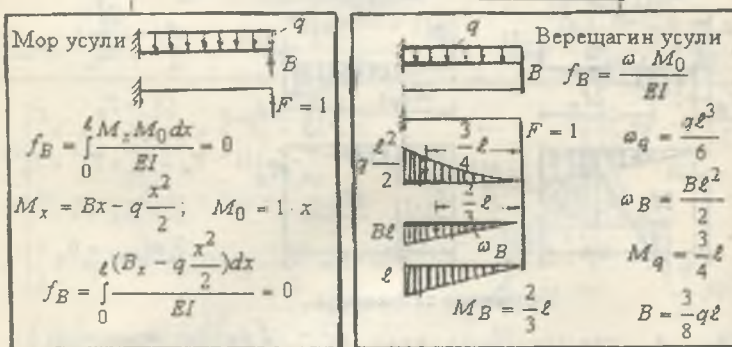
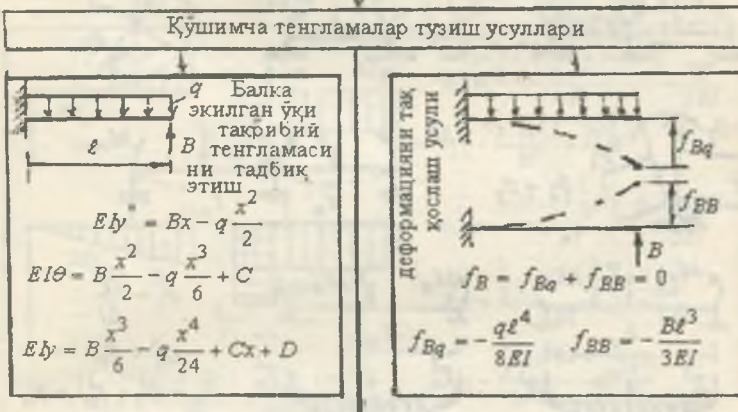
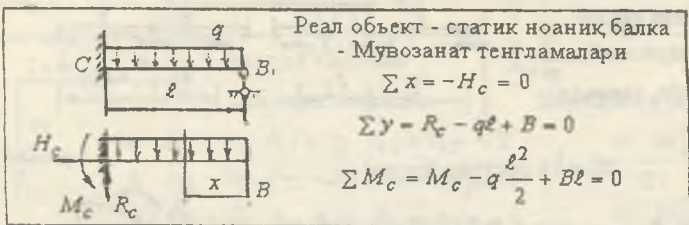
- Каноник тенглама тузиш $x_1 \delta_{11} + \Delta_{1F} = 0$

Эгувчи момент эпюрасини куриш

Мустағкамликни текшириш

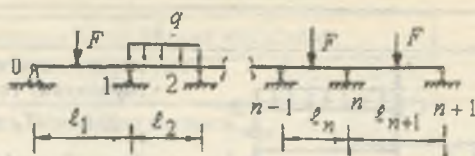
Бикрликка ҳисоблаш

↓

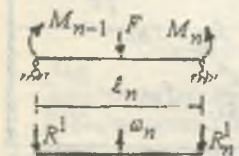
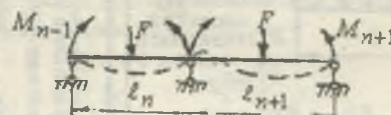
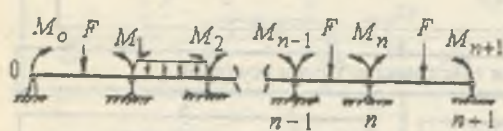


Үч момент назарияси

Реал объект -
узлуксиз балка
(күп. таянчли)

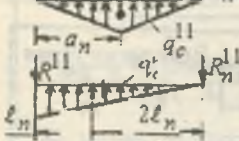


Асосий система (балка)



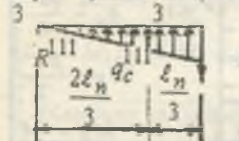
$$\theta_2 = \frac{\theta_n - \theta_{n-1}}{l_n}$$

$$R_n^1 = R_{n-1}^1 + R_n^{11} + R_{n+1}^{11}$$



$$\theta_y = \frac{\theta_{n+1} - \theta_n}{l_{n+1}}$$

$$R_n^{11} = T_n$$



$$T_n = T_{n-1}^1 + T_n^{11} + T_{n+1}^{11}$$

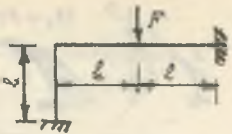
$$\sum M_{n-1} = 0$$

$$\sum M_{n+1} = 0$$

Үч момент тенгламаси:

$$M_{n-1} \cdot l_n + 2M_n(l_n + l_{n+1}) + M_{n+1} \cdot l_{n+1} = 6 \left(\frac{\omega_n \cdot a_n}{l_n} + \frac{\omega_{n+1} \cdot a_{n+1}}{l_{n+1}} \right)$$

Реал объект - статик ноанық рама



Ассоций система
Каноник тенглама

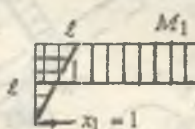
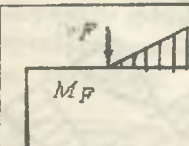


$$\begin{aligned}x_1 \cdot \delta_{11} + x_2 \cdot \delta_{12} + x_3 \cdot \delta_{13} + \delta_{1F} = 0 \\x_1 \cdot \delta_{21} + x_2 \cdot \delta_{22} + x_3 \cdot \delta_{23} + \Delta_{2P} = 0 \\x_1 \cdot \delta_{31} + x_2 \cdot \delta_{32} + x_3 \cdot \delta_{33} + \Delta_{3P} = 0\end{aligned}$$

Верещагин усули

$$\delta_{ik} = \frac{\omega_i \cdot M_k^o}{EI}$$

$$\delta_{ii} = \frac{\omega_i \cdot M_i^o}{EI}$$



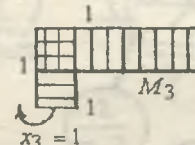
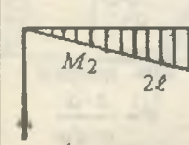
$$\delta_{11} = \frac{\frac{1}{2}l \cdot l \cdot \frac{2}{3}l + l \cdot 2l \cdot l}{EI} = \frac{7l^3}{3EI}$$

$$\delta_{12} = \frac{l \cdot 2l \cdot l}{EI} = \frac{2l^3}{EI}$$

$$\delta_{13} = \frac{l \cdot 2l \cdot l + \frac{1}{2}l \cdot l \cdot l}{EI} = \frac{5l^3}{2EI}$$

$$\delta_{22} = \frac{\frac{1}{2} \cdot 2l \cdot 2l \cdot \frac{2}{3} \cdot 2l}{EI} = \frac{8l^3}{3EI}$$

$$\delta_{23} = \frac{\frac{1}{2} \cdot 2l \cdot 2l \cdot 1}{EI} = \frac{2l^2}{EI}$$

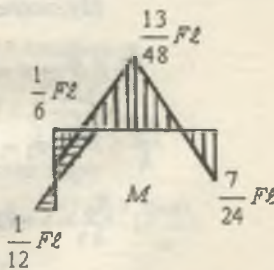


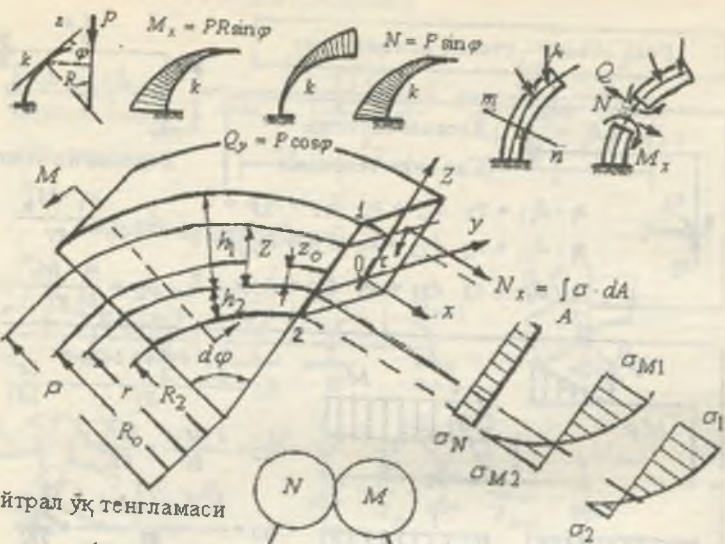
$$\delta_{3F} = \frac{\frac{1}{2}l \cdot Fl \cdot 1}{EI} = \frac{Fl^2}{2EI}$$

$$\delta_{33} = \frac{1 \cdot 4 + 1 \cdot 2l}{EI}, \quad \delta_{1F} = \frac{\frac{1}{2}l \cdot Fl \cdot l}{EI} = \frac{Fl^3}{2EI}, \quad \delta_{2P} = \frac{\frac{1}{2}l \cdot Fl \cdot \frac{5l}{3}}{EI} = \frac{5Fl^3}{6EI}$$

$$\left\{ \begin{array}{l} \frac{7}{3}l \cdot x_1 + 2l \cdot x_2 + \frac{5}{2}x_3 - \frac{Fl}{2} = 0 \\ 2l \cdot x_1 + \frac{8}{3}l \cdot x_2 + 2x_3 = \frac{5Fl}{6} = 0 \end{array} \right.$$

$$\left. \begin{array}{l} \frac{5}{2}l \cdot x_1 + 2l \cdot x_2 + 3x_3 - \frac{Fl}{2} = 0 \\ x_1 = \frac{F}{4}; \quad x_2 = \frac{7F}{16}, \quad x_3 = \frac{Fl}{12} \end{array} \right.$$



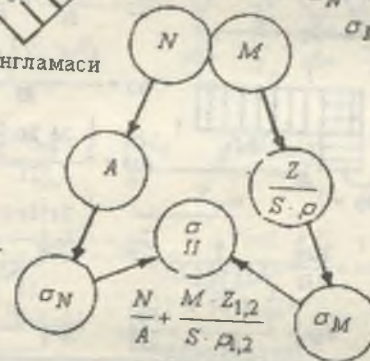


Нейтрал үк тенгламаси

$$r = \frac{A}{\int \frac{dA}{A \rho}}$$

$$\rho = r + z$$

$$z_0 = R_0 - r$$



$$\text{Гүк қонууни} \\ \varepsilon = \frac{z \cdot \alpha}{\rho \cdot d\varphi}$$

$$\text{Статик момент} \\ S = A \cdot Z$$

$$\text{Мустағаммлик шарт} \quad \sigma_{max} = \frac{N}{A} \pm \frac{M \cdot Z_{1,2}}{S \cdot R_{1,2}} \leq [\sigma]$$

$$\frac{R_0}{h} \leq S \rightarrow \sigma = \frac{M}{W}$$

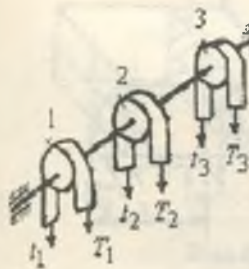
$$W_y = \frac{I_y}{Z_{max}}$$

$$\frac{R_0}{h} > S \rightarrow \sigma_1 = 0,935 \frac{M}{W}$$

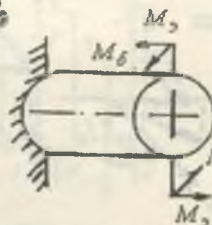
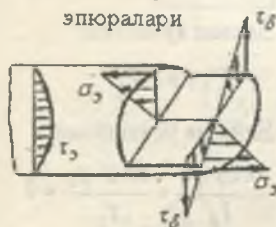
$$\sigma_2 = 1,071 \frac{M}{W}$$

$$\frac{R_0}{h} > 5 \rightarrow \sigma = \sigma_N + \sigma_M = \frac{N}{A} + \frac{M \cdot Z_{1,2}}{S \cdot \sigma_{I,2}}$$

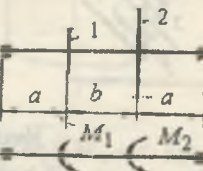
Вални буралиш билан эшилишга
жисоблаш



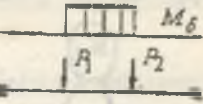
Нормал ва уримма
кучланишларнинг
эпюралари



$$\sigma_3 = \frac{M_2}{W}$$



$$\tau_\delta = \frac{M_\delta}{W\rho}$$



$$\sigma_3 = \frac{\tau_\delta}{\rho} + \frac{\tau_\delta}{\rho}$$



Келтирилган момент

$$M_k = \sqrt{M_\delta^2 + M_2^2}$$

Мустаҳкамлик шарт

$$\frac{M_k}{W} \leq [\sigma]$$

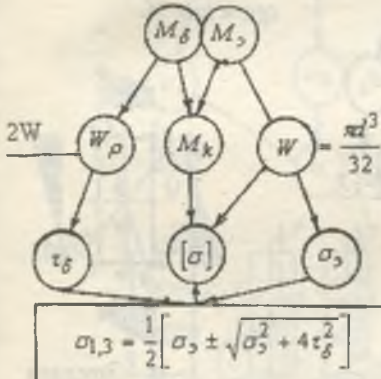
Вални диаметри

$$d \geq \sqrt[3]{\frac{32M_k}{\pi[\varepsilon]}}$$

Бикрлик шарт

$$\varphi \leq [\varphi] = \frac{0,15 \dots 0,3}{\ell} \left(\frac{\text{зрад}}{M} \right)$$

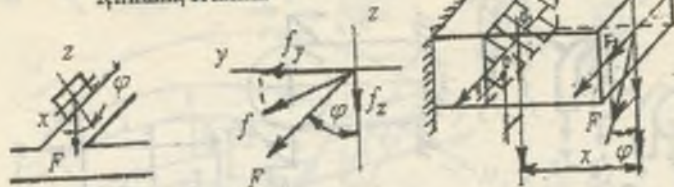
$$f \leq [f]$$



$$\sigma_{1,3} = \frac{1}{2} \left[\sigma_3 \pm \sqrt{\sigma_3^2 + 4\tau_\delta^2} \right]$$

Бош кучланишлар

Кийшик згиллиш



Ички күч факторлари

$$M_{y1} = F_z \cdot x = F \cdot x \cos \varphi$$

$$M_{z1} = F_y \cdot x = F \cdot x \sin \varphi$$

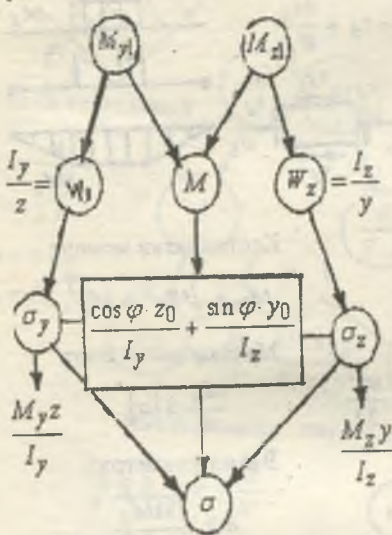
Нормал күчләниш

$$\sigma = \sigma_y + \sigma_z$$

Нейтрал үк тенгламаси

$$\frac{\cos \varphi \cdot z_0}{I_y} + \frac{\sin \varphi \cdot y_0}{I_z} = 0$$

$$\operatorname{tg} \alpha = \operatorname{tg} \varphi \cdot \frac{I_y}{I_z}$$

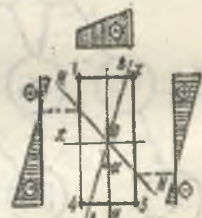


Мустаҗкамлик шарт

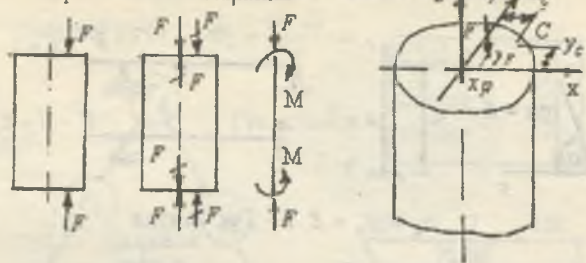
$$\sigma_{\max} = M_{\max} \left(\cos \varphi + \frac{W_y}{W_z} \sin \varphi \right) \leq [\sigma]$$

$$f = \sqrt{f_x^2 + f_y^2} = \frac{F t^3}{3E} \sqrt{\frac{\cos^2 \varphi}{I_y^2} + \frac{\sin^2 \varphi}{I_z^2}}$$

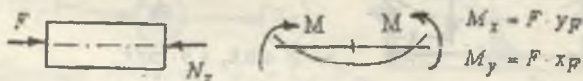
σ Эпюраси



Марказлашмаган сиқилиш



Ички күч факторлари



$$\sigma_y = \frac{M_{yz}}{I_z}$$

M_X

N_x

47

Нейтрал үк тенгламасы

$$1 + \frac{y_P \cdot y_0}{i_x^2} + \frac{x_P \cdot x_0}{i_y^2} = 0$$

$$\frac{I_x}{V} =$$

W
X

三

$$W_7 =$$

Нормал күләмнеш

$$G = \frac{F}{A}$$

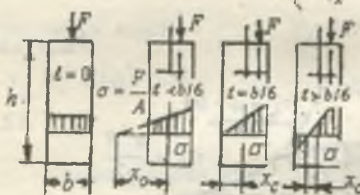
$$I_x = \frac{M_x y}{l_x}$$

1

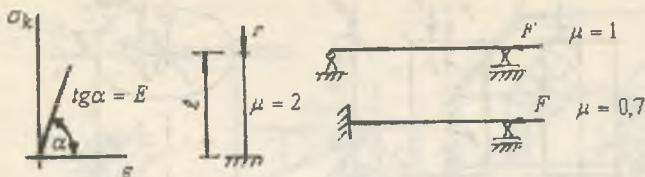
$\sigma = \frac{F}{A}$

$$\frac{y_p - y_0}{2} +$$

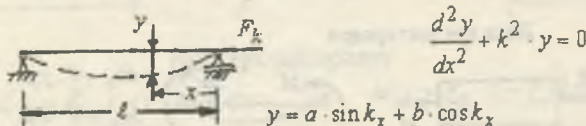
$$\left. \frac{x_F - x_0}{2} \right\} \leq [\sigma]$$



Сиқилған стержендернинг устуорлиги



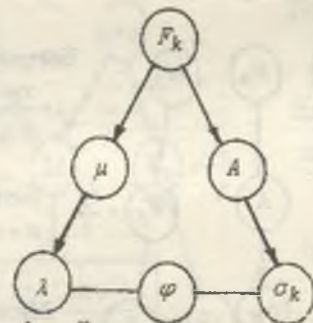
$$\sigma_k = \sigma_n = E \cdot \varepsilon - \text{Гүк қонуни}$$



Эгилувчанлик

$$\lambda = \mu \frac{l}{l_{\min}}$$

$$l_{\min} = \sqrt{\frac{F_{\min}}{A}}$$



$$\varphi = f(\lambda) = \varphi^I + \frac{\varphi^{II} + \varphi^{III}}{10} K_\lambda$$

$$\varphi^I = f(\lambda, \text{материал})$$

$$\varphi^{II} = f(\lambda, \text{материал})$$

Критик күч

$$F_k = \frac{n^2 \pi^2 \cdot B l_{\min}}{(\mu e)^2}$$

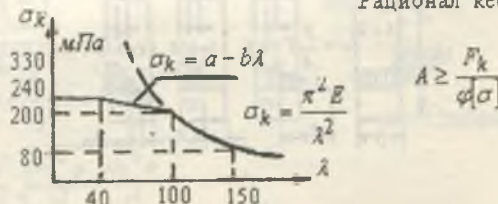
Күчланиш

$$\sigma_k = \frac{F_k}{A}$$

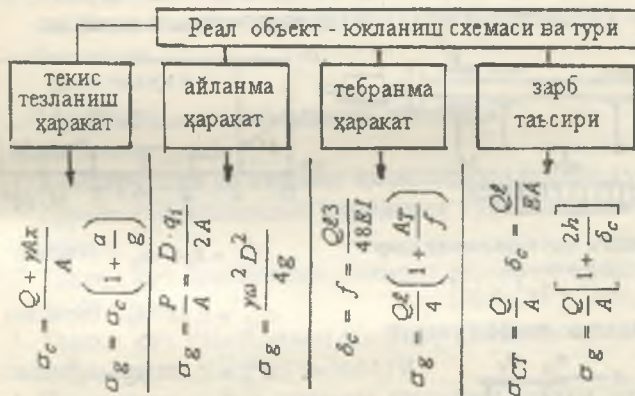
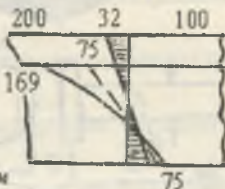
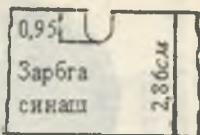
Устуорлик шарт

$$\sigma_{lt} = \frac{F_k}{A \cdot \varphi} \leq [\sigma]$$

Рационал кесим



$$\text{Инерция кучи} \quad dP_i = \frac{\gamma A \cdot dy}{g} \cdot a$$



Мустағаммлик шарты.

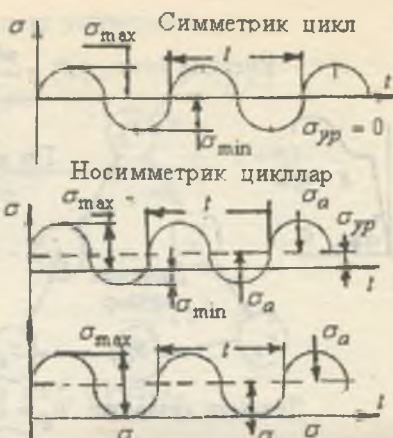
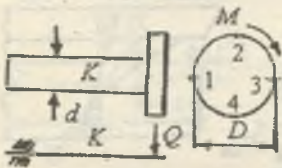
$$\sigma_{g, max} \leq [\sigma]$$

Рұксат этилган күчланиш

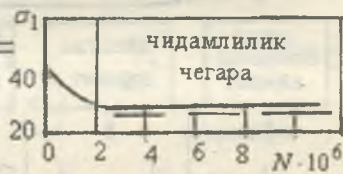
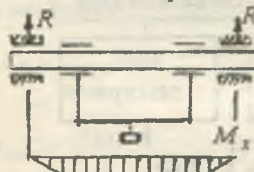
$$[\sigma] = \frac{\sigma_o}{n}$$

Рұксат этилган юза. $A \geq \frac{K_g \cdot F_c}{[\sigma]}$

Үзгаруучан күчланишлар



Симметрик циклде чидамлилик чегаралы аниқлаш



Толиқишига мустажкамлик шар

$$\sqrt{\sigma^2 + 3\tau^2} \leq [\sigma]$$

Чидамлилик коэффициенти

$$n = \frac{n_\sigma - n_\tau}{\sqrt{n_\sigma^2 + n_\tau^2}}$$

Мустажкамлика эңтиётлик коэффициенттер

$$n_\sigma = \frac{\sigma}{K_\sigma \cdot \sigma_a + \psi_\sigma \cdot \sigma_m}$$

$$n_\tau = \frac{\tau_{-1}}{K_\tau \cdot \tau_a + \psi_\tau \cdot \tau_m}$$

$$\sigma_{-1}^2 = 0,4 \cdot \sigma_b - \text{эгилиш}$$

$$\sigma_{-1}^\delta = 0,22 \cdot \sigma_b - \text{буралиш}$$

$$\sigma_{-1}^o = 0,28 \cdot \sigma_b - \text{чүзилиш}$$

Материалларни күчланишларга сезирлигі

$$\psi_\sigma = \frac{2\sigma_{-1} - \sigma_o}{\sigma_o}$$

$$\psi_\tau = \frac{2\tau_{-1} - \tau_o}{\tau_o}$$

МАТЕРИАЛАР ҚАРШИЛИГИ ФАНИДАН ТЕСТ САВОЛЛАРИ

1. Материаллар қаршилиги фанининг вазифалари нимадан иборат?

Жавоб:

1. Конструкция ва иншоот қисмларини мустаҳкамликка ҳисоблаш.
2. Конструкция ва иншоот қисмларини устуворликка ҳисоблаш.
3. Конструкция ва иншоот қисмларини бикрликка ҳисоблаш.
4. Конструкция ва иншоот қисмларини мустаҳкамликка, бикрликка, устуворликка ҳисоблаш усулларини ўрганади.

2. Мустаҳкамлик деб нимага айтилади?

Жавоб:

1. Конструкция ва иншоот қисмларини ташқи куч таъсирига емирилмасдан қаршилик кўрсата олиш қобилияти.
2. Ташқи куч таъсиридан иншоот қисмини мувозанатда бўлиши.
3. Ташқи куч таъсиридан иншоот қисмida қолдиқ деформация ҳосил бўлмаслиги.
4. Конструкция ёки иншоот қисмини ташқи куч таъсирига қаршилик кўрсата олмаслиги.

3. Устуворлик деб нимага айтилади?

Жавоб:

1. Стерженларни ташқи куч таъсиридан тўғри чизиқли мувозанат ҳолатини сақлаб билиш қобилияти;
2. Ташқи куч таъсиридан стержень шаклининг ўзгариши;
3. Ташқи куч таъсиридан стержень ўқининг эгриланиши;
4. Ташқи куч таъсиридан стержень ўқининг тўғриланиши.

4. Куч деб нимага айтилади?

Жавоб:

1. Иккита жисмнинг ўзаро механик таъсирига.
2. Машинанинг ҳаракатига.
3. Конструкция мустаҳкамлигини таъминламайдиган факторга.
4. Конструкция бикрлигини таъминловчи факторга.

5. Кесиш усули нима учун керак?

Жавоб:

1. Ички кучларни кўриш ва аниқлаш учун.
2. Ташқи ва ички кучларни мувозанатлаштириш учун.
3. Стержень деформациясини аниқлаш учун.
4. Стержень кесимидағи кучланишни аниқлаш учун.

6. Деформация деб нимага айтилади?

Жавоб:

1. Ташқи куч таъсиридан стерженнинг шакли ёки ўлчамини ўзгаришига;
2. Стержень мустаҳкамлигининг йўқолишига;
3. Стержени ташқи куч таъсиридан мувозанатини бузилишига;
4. Стержени ташқи куч таъсиридан мувозанат ҳолатини сақланишига.

7. Текис кесим юзаларининг геометрик тавсифлари нима учун керак?

Жавоб:

1. Кесим юзани аниқлаш учун.
2. Оддий ва мураккаб деформацияларда мустаҳкамлика ва бикрликка ҳисоблаш учун.
3. Куч моментини аниқлаш учун.
4. Кесимнинг ўлчамини танлаш учун.

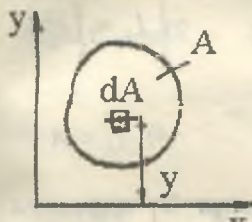
8. Кесимнинг статик моменти деб нимага айтилади?

Жавоб:

1. Элементар юза билан тегишли ўқ орасидаги масофа кўпайтмасининг интегралига айтилади.
2. Элементар юза билан тегишли ўқ орасидаги масофа бўлинмасининг интегралига айтилади.

- Элементар юза билан қутб нүктаси орасидаги масофа күпайтмасининг интегралига айтилади.
- Элементар юзани елкага күпайтмасига айтилади.

9. Кесимни X үқига нисбатан статик моменти формуласини кўрсатинг. Жавоб:



$$1) S_x = \int_0^A y dA$$

$$2) S_x = F \cdot A;$$

$$3) S_x = F \cdot \ell;$$

$$4) S_x = \int_0^A y^2 dA$$

- Мураккаб кесим юзаларининг оғирлик маркази қайси формула билан аниқланади?

Жавоб:

$$1. X_c = \frac{x_1 A_1 + x_2 A_2 + x_3 A_3 + \dots}{A_1 + A_2 + A_3 + \dots}; Y_c = \frac{y_1 A_1 + y_2 A_2 + y_3 A_3 + \dots}{A_1 + A_2 + A_3 + \dots}$$

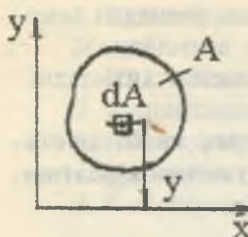
- Кесимнинг диагоналларини кесиштириш усули билан.

$$3. X_c = \frac{S_x}{A}; Y_c = \frac{S_y}{A} \quad 4) -\sum S_x = y_0 \cdot \sum A; \sum S_y = x_0 \cdot \sum A$$

- Кесимни инерция моменти деб нимага айтилади?

Жавоб:

- Элементар юза билан тегишли ўқ орасидаги масофа квадратига күпайтмасининг интегралига айтилади.
- Элементар юза билан тегишли ўқ орасидаги масофа квадратига бўлинмасининг интегралига айтилади.
- Элементар юза билан қутб нүктаси орасидаги масофа күпайтмасининг интегралига айтилади.
- Элементар юзани елкага күпайтмасига айтилади.

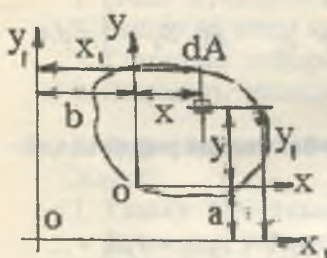


12. Кесимни X ўқига нисбатан инерция моменти формуласини күрсатинг.

Жавоб:

$$1) I_x = \int_0^A y^2 dA; \quad 2) I_x = \int_0^A \rho^2 dA$$

$$3) I_x = \int_0^A x^2 dA \quad 4) I_x = A \cdot \ell^2$$



13. Кесимни X_1 параллел ўқига нисбатан инерция моменти формуласини күрсатинг.

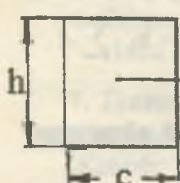
Жавоб:

$$1) I_{x_1} = I_y + b^2 \cdot A;$$

$$2) I_{x_1} = I_x + a^2 \cdot A$$

$$3) I_{x_1} = I_{xy} + ab \cdot A$$

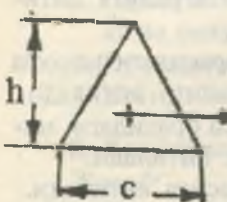
$$4) I_{x_1} = I_x + a \cdot A$$



14. Түғри бурчаклы кесим юзасини X ўқига нисбатан инерция моменти формуласини күрсатинг.

Жавоб: 1) $I_x = \frac{ch^3}{12}$ 2) $I_x = \frac{hc^3}{12}$

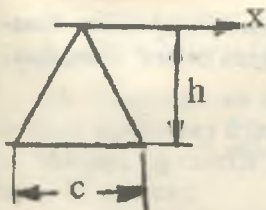
3) $I_x = \frac{ch^3}{3}$ 4) $I_x = \frac{c^2 h^2}{4}$



15. Учбурчаксимон кесимни X ўқига нисбатан инерция моменти формуласини күрсатинг.

Жавоб: 1) $I_x = \frac{ch^3}{12}$

2) $I_x = \frac{ch^3}{36}; \quad 3) I_x = \frac{ch^3}{4} \quad 4) I_x = \frac{ch^3}{48}$

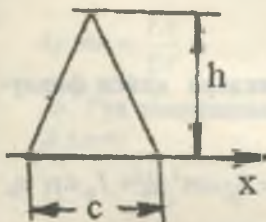


16. Учбурчаксимон кесимни X ўқига нисбатан инерция моменти формуласини кўрсатинг.

Жавоб:

$$1) I_{x_1} = \frac{ch^3}{12} \quad 2) I_{x_1} = \frac{ch^3}{36}$$

$$3) I_{x_1} = \frac{ch^3}{4} \quad 4) I_{x_1} = \frac{ch^3}{48}$$



17. Учбурчаксимон кесимни X ўқига нисбатан инерция моменти формуласини кўрсатинг.

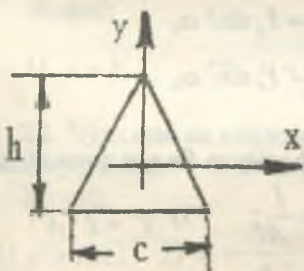
Жавоб:

$$1) I_{x_2} = \frac{ch^3}{12} \quad 2) I_{x_2} = \frac{ch^3}{36}$$

$$3) I_{x_2} = \frac{ch^3}{4} \quad 4) I_{x_2} = \frac{ch^3}{48}$$

18. Учбурчаксимон кесимни Y ўқига нисбатан инерция моменти формуласини кўрсатинг.

Жавоб:



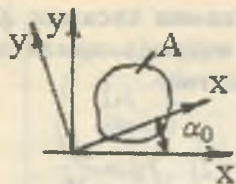
$$1) I_y = \frac{hc^3}{48} \quad 2) I_y = \frac{ch^3}{12}$$

$$3) I_y = \frac{ch^3}{48} \quad 4) I_y = \frac{hc^3}{36}$$

19. Бош инерция ўқлари деб нимага айтилади?

Жавоб:

1. Марказдан қочма инерция моментлари нолга тенг бўлган ҳолга тўғри келувчи ўқларга айтилади.
2. $\alpha = 0$, бурчак остида жойлашган ўқقا.
3. Бош инерция моментлари нолга тенг бўлган ўқларга.
4. Кесимнинг оғирлик марказидан ўтувчи ўқларга.



20. Бош инерция ўқларининг йўналиши қайси формула билан аниқланади?

$$\text{Жавоб: 1) } \operatorname{tg} 2\alpha_0 = -\frac{2\tau_{xy}}{\sigma_x - \sigma_y};$$

$$2) \operatorname{tg} 2\alpha_0 = -\frac{2I_{xy}}{I_x - I_y} \quad 3) \operatorname{tg} \alpha_0 = -\frac{\tau_{xy}}{\sigma_z - \sigma_x};$$

$$4) \operatorname{tg} 2\alpha_0 = -\frac{I_x - I_y}{2I_{xy}}$$

21. Кесимнинг бош инерция моментлари қайси формула билан аниқланади?

Жавоб:

$$1) I_{x_0} = I_x \cos^2 \alpha_0 + I_y \sin^2 \alpha_0; \quad I_{y_0} = I_y \cos^2 \alpha_0 + I_x \sin^2 \alpha_0$$

$$2) I_{x_0, y_0} = \frac{I_x - I_y}{2} \sin^2 \alpha_0 + I_{xy} \cos^2 \alpha_0$$

$$3) I_{x_0} = I_x \cos^2 \alpha_0 + I_{xy} \sin 2\alpha_0 + I_y \sin^2 \alpha_0$$

$$4) I_{y_0} = I_y \cos^2 \alpha_0 - I_{xy} \sin 2\alpha_0 + I_x \sin^2 \alpha_0$$

22. Инерция радиуси қайси формула билан топилади?

$$\text{Жавоб: 1) } i^2 = \rho^2 F; \quad 2) \quad i^2 = \frac{I}{A}; \quad 3) \quad i^2 = I \cdot A;$$

$$4) \quad i^2 = \frac{A}{I}$$

23. Марказий чўзилиш ёки сиқилиш деб нимага айтилади?

Жавоб:

1. Ўзаро тенг ва бўйлама ўқида қарама-қарши томонларга йўналган кучлар таъсиридаги стерженнинг деформациясига айтилади.

2. Стерженнинг ташқи куч таъсиридан емирилишига.

3. Стерженнинг эластик деформациясига.
 4. Стерженнинг бикрлиги кичиқлашишига.

24. Чўзилиш ва сиқилишда стерженни кесим юзасида қандай куч ҳосил бўлади?

Жавоб: 1) ташқи; 2) ички бўйлама куч; 3) кўндаланг куч; 4) момент.

25. Чўзилиш ва сиқилишда Гук қонунини кўрсатинг.

$$\text{Жавоб: } 1) \Delta\ell = \ell_1 - \ell_0; \quad 2) \Delta\ell = \frac{F\ell}{EA}; \quad 3) \Delta\ell = \frac{EF}{\ell A};$$

$$4) \Delta\ell = \frac{FA}{E\ell}$$

26. Гук қонунининг иккинчи кўринишини кўрсатинг.

Жавоб:

$$1) \varepsilon = \frac{\Delta\ell}{\ell}; \quad 2) \varepsilon = \frac{\sigma}{E}; \quad 3) \varepsilon = \ell_1 - \ell_0; \quad 4) \varepsilon = \frac{\sigma}{A}$$

27. Пуассон коэффициенти қайси формула билан топилади.

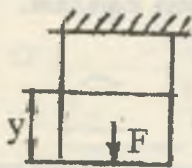
Жавоб:

$$1) \mu = 0,3; \quad 2) \mu = \frac{\varepsilon}{\sigma}; \quad 3) \mu = \frac{\varepsilon}{\sigma}; \quad 4) \mu = \frac{\Delta\ell}{\ell}$$

28. Чўзилиш ва сиқилишда нормал кучланиш формуласини кўрсатинг.

Жавоб:

$$1) \sigma = NA; \quad 2) \sigma = \frac{N}{A}; \quad 3) \sigma = \frac{A}{N}; \quad 4) \sigma = \sqrt{\rho^2 - \tau^2}$$

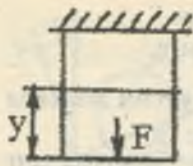


29. F куч ва хусусий оғирлиги таъсиридаги стерженнинг ички кучини аниқланг.

Жавоб:

$$\begin{array}{ll} 1) N_1 = F + \gamma \cdot y & 2) N_1 = F \\ 3) N_1 = \gamma \cdot y & 4) N_1 = F - \gamma \cdot y \end{array}$$

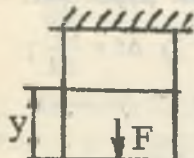
30. F куч ва хусусий оғирлик таъсиридаги стерженнинг деформациясини аниқланг.



Жавоб:

$$1) \Delta\ell = \frac{F\ell}{EA}; \quad 2) \Delta\ell = \frac{F\ell}{EA} + \frac{\gamma\ell^2}{2E};$$

$$3) \Delta\ell = \frac{\gamma\ell^2}{2E}; \quad 4) \Delta\ell = \frac{F\ell}{EA} - \frac{\gamma\ell^2}{2E}$$



31. F күч ва хусусий оғирлик таъсиридаги стерженнинг кесимини танланг.

$$\text{Жавоб: } 1) A \geq \frac{F}{[\sigma]}; \quad 2) A = A_0 \ell^{[\sigma]^y};$$

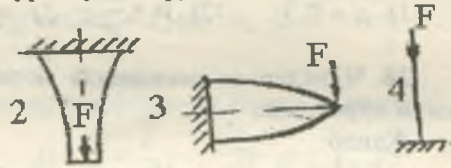
$$3) A \geq F[\sigma]; \quad 4) A = \frac{\pi d^2}{4}$$

32. Тенг қаршилик күрсатувчи брус кесимининг юзасини аниқланг.

Жавоб:

$$1) A \geq \frac{F}{[\sigma]}; \quad 2) A = A_0 \ell^{[\sigma]^y}; \quad 3) A = F[\sigma] \quad 4) A = h\ell$$

33. Тенг қаршилик күрсатувчи брусни күрсатинг.



2

3



4

34. Температура таъсирида деформацияни аниқланг.

Жавоб: 1) $\Delta\ell_t = \alpha \cdot \ell$; 2) $\Delta\ell_t = \alpha \cdot \Delta t \cdot \ell$;

$$3) \Delta\ell_t = \Delta t \cdot \ell; \quad 4) \Delta\ell_t = \frac{\Delta t \cdot \ell}{EA}$$

35. Материалларни чўзилиш ёки сиқилишга синашдан мақсад нима?

Жавоб:

1) Намунани чўзилишда узиш.

- 2) Материални механик ва пластиклик хоссаларини аниклаш.
 3) Намуналарнинг шаклини ўзгариши.
 4) Материалларни Гук қонунига бўйсунишини текшириш.

36. Юмшоқ пўлат материалы учун рухсат этилган кучланиши кўрсатинг.

Жавоб:

$$1) [\sigma] = \frac{\sigma_{\text{ок}}}{n}; \quad 2) [\sigma] = \frac{\sigma_s}{n}; \quad 3) [\sigma] = \frac{\sigma_e}{n}; \quad 4) [\sigma] = \frac{\sigma_n}{n}$$

37. Чўян материали учун рухсат этилган кучланиши аникланг.

Жавоб:

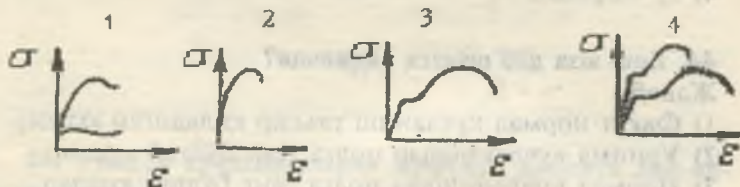
$$1) [\sigma] = \frac{\sigma_s}{n}; \quad 2) [\sigma] = \frac{\sigma_{\text{ок}}}{n}; \quad 3) [\sigma] = \frac{\sigma_e}{n}; \quad 4) [\sigma] = \frac{\sigma_n}{n}$$

38. Мўртлик деб нимага айтилади?

Жавоб:

- 1) Катта деформация ҳосил қилиб емирилиш хусусига эга бўлган материал.
 2) Кичик деформация ҳосил қилиб емириладиган материалнинг хосасига.
 3) Кичик деформация ҳосил қилиб емирилмайдиган материалнинг хосасига.
 4) Оқувчанлик чегараси бор бўлган материалга.

39. Юмшоқ пўлатни ҷўзилиш диаграммасини кўрсатинг.



40. Материалларни пропорционаллик чегараси, деб нимага айтилади?

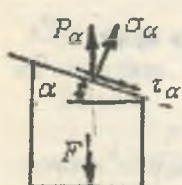
Жавоб:

- 1) Материалларнинг қолдиқ деформацияси бошланишига.
- 2) Гук қонуни ишлатиладиган чегарадаги күчланишига.
- 3) Диаграмманинг эгри чизиқли қисмини бошланишига.
- 4) Материални пластиклик хоссасига.

41. Чүзилиш ва сиқилиш деформациясининг потенциал энергияси қайси формула билан топилади?

Жавоб:

$$1) U = \frac{2E}{\sigma^2}; \quad 2) U = \frac{\sigma^2}{2E}; \quad 3) U = \frac{2\sigma}{\varepsilon}; \quad 4) U = \frac{2}{\sigma\varepsilon}$$



42. Чизиқли күчланганлик ҳолатида қия кесимни нормал күчланиши қайси формула билан топилади?

Жавоб:

$$1) \sigma_\alpha = P_\alpha \sin \alpha; \quad 2) \sigma_\alpha = \sigma_0 \cos^2 \alpha;$$

$$3) \sigma_\alpha = \frac{\sigma_0}{2} \sin 2\alpha; \quad 4) \sigma_\alpha = \frac{F}{A}$$

43. Чизиқли күчланганлик ҳолатида қия кесимни уринма күчланиши қайси формула билан топилади?

Жавоб:

$$1) \tau_\alpha = \frac{F}{A}; \quad 2) \tau_\alpha = P_\alpha \cos \alpha; \quad 3) \tau_\alpha = \frac{\sigma_0}{2} \sin 2\alpha;$$

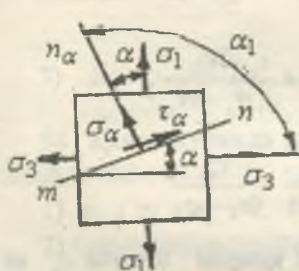
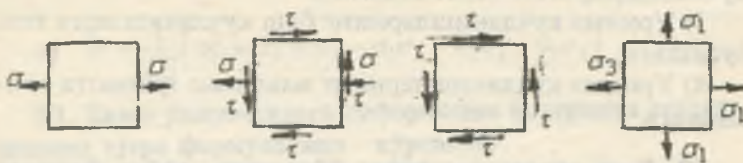
$$4) \tau_\alpha = \sigma_0 \cos \alpha$$

44. Бөш юза деб нимага айтилади?

Жавоб:

- 1) Фақат нормал күчланиш таъсир қиласидиган юзалар.
- 2) Уринма күчланишлар нолга тенг бўлган юзалар.
- 3) Нормал күчланишлар нолга тенг бўлган юзалар.
- 4) Фақат уринма күчланишлар таъсир қиласидиган юзалар.

45. Қайси кубик чизиқли күчләнгәнлик ҳолатыда?



46. Текис күчләнгәнлик ҳолатыда қия кесимни нормал күчләнишини анықланг.

$$\text{Жавоб: 1)} \quad \sigma_a = \sigma_1 \cos^2 \alpha;$$

$$2) \quad \sigma_a = \sigma_1 \cos^2 \alpha + \sigma_3 \cos^2 \alpha_1;$$

$$3) \quad \sigma_a = \frac{\sigma_1 - \sigma_3}{2} \sin^2 \alpha;$$

$$4) \quad \sigma_a = \sigma_3 \cos^2 \alpha$$

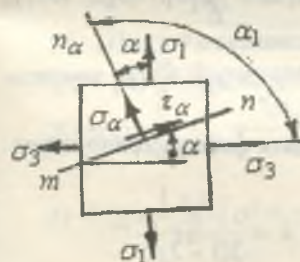
47. Текис күчләнгәнлик ҳолатыда қия кесимни нормал күчләнишини анықланг.

$$\text{Жавоб: 1)} \quad \tau_a = \frac{\sigma_1}{2} \sin 2\alpha;$$

$$2) \quad \tau_a = \frac{\sigma_3}{2} \sin 2\alpha;$$

$$3) \quad \tau_a = \frac{\sigma_1 - \sigma_3}{2} \sin 2\alpha;$$

$$4) \quad \tau_a = \frac{\sigma_1 + \sigma_3}{2}$$



48. Уринма күчләнишларни жуфтлик аломати деб нимага айтилади?

Жавоб:

1) Ўзаро перпендикуляр жойлашган қия кесимлардан ги уринма күчләнишларнинг tengligига.

2) Ўзаро перпендикуляр қия кесимлардаги уринма кучланишларнинг тенгсизлигига.

3) Уринма кучланишларнинг бош кучланишларга тенг бўлишига.

4) Уринма кучланишларнинг максимал қийматга эришишига.

49. Бош кучланишларнинг йўналиши қайси формула билан топилади?

Жавоб:

$$1) \ tg 2\alpha_0 = -\frac{2I_{xy}}{I_x - I_y}; \quad 2) \ tg 2\alpha_0 = -\frac{2\tau_{xy}}{\sigma_x - \sigma_y};$$

$$3) \ tg 2\alpha_0 = -\frac{\sigma_x - \sigma_y}{2I_{xy}}; \quad 4) \ tg \alpha_0 = -\frac{\tau_{xy}}{\sigma_1 - \sigma_3}$$

50. Ҳажмий деформацияда Гук қонуни бўйича ε , ни аниқлайдиган тўғри формуласини кўрсатинг?

Жавоб: 1) $\varepsilon_1 = 2E[\sigma_1 - \mu\sigma_3]$; 2) $\varepsilon_1 = \frac{1}{E}[\sigma_1 - \mu(\sigma_2 + \sigma_3)]$;

$$3) \varepsilon_1 = \frac{\sigma_1}{E}; \quad 4) \varepsilon_1 = \sigma_1 - \frac{\mu}{E}(\sigma_2 + \sigma_3)$$

51. Ҳажмий эластиклик модулининг формуласини кўрсатинг.

Жавоб: 1) $\frac{E}{1-2\mu} = k$; 2) $k = \frac{E}{3(1-2\mu)}$;

$$3) \ k = \frac{E}{3-2\mu}; \quad 4) \ k = \frac{E}{3\mu}$$

52. Ҳажмий деформацияни тўлиқ потенциал энергияси формуласини кўрсатинг.

Жавоб: 1) $U = U_x - U_w$;

$$2) \ U = \frac{1}{E} [\sigma_1^2 + \sigma_2^2 - \sigma_3^2 - 2(\sigma_1\sigma_2 + \sigma_2\sigma_3 + \sigma_1\sigma_3)]$$

$$3) \quad U = \frac{1}{2E} [\sigma_1^2 + \sigma_2^2 + \sigma_3^2 - 2\mu(\sigma_1\sigma_2 + \sigma_2\sigma_3 + \sigma_1\sigma_3)]$$

$$4) \quad U = \frac{1}{2E} [\sigma_1^2 + \sigma_2^2 + \sigma_3^2 - \sigma_1\sigma_2 - \sigma_2\sigma_3 - \sigma_1\sigma_3]$$

53. Ҳажм үзгаришидаги деформация потенциал энергиясининг түгри формуласини күрсатинг.

Жавоб: 1) $U_x = \frac{3\sigma_1\varepsilon_1}{2}$; 2) $U_x = \frac{1-2\mu}{6E} (\sigma_1 + \sigma_2 + \sigma_3)^2$;

$$3) \quad U_x = \frac{1-2\mu}{6E} (\sigma_1^2 + \sigma_2^2 + \sigma_3^2); \quad 4) \quad U_x = U + U_w$$

54. Қачон кубикда ҳажм үзгариши бўлади?

Жавоб:

- 1) $\sigma_1 + \sigma_2 + \sigma_3 = 0$ бўлса;
- 2) барча қирраларига $\sigma_{yp} = \frac{\sigma_1 + \sigma_2 + \sigma_3}{3}$ кучланиш таъсир қилса;
- 3) кубик деформацияси эластик бўлса;
- 4) $U_w = U - U_x$ энергия сарфланса.

55. Шакл үзгаришидаги деформация потенциал энергиясининг түгри формуласини күрсатинг.

Жавоб: 1) $U_w = \frac{3\sigma_{yp}\varepsilon_{yp}}{2}$; 2) $U_w = \frac{1+\mu}{3E} (\sigma_1 + \sigma_2 + \sigma_3)^2$;

$$3) \quad U_w = \frac{1+\mu}{3E} [\sigma_1^2 + \sigma_2^2 + \sigma_3^2 - \sigma_1\sigma_2 - \sigma_1\sigma_3 - \sigma_2\sigma_3];$$

$$4) \quad U_w = -\frac{1+\mu}{3E} (\sigma_1\sigma_2 + \sigma_1\sigma_3 + \sigma_2\sigma_3)$$

56. Мустаҳкамлик назарияларининг вазифаларини түгри таърифланг.

Жавоб:

- 1) Турли кучланганлик ҳолатида кубикни деформациясини аниқлаш.
- 2) Мор доирасини қуриш.
- 3) Турли кучланганлик ҳолатида кубикни мустаҳкамлик шартини тузиш.

4) Кесимни танлаш.

57. Энг катта бош нормал кучланиш назарияси бўйича мустаҳкамлик шартини кўрсатинг.

Жавоб: 1) $\sigma_1 \leq [\sigma]$; 2) $\sigma_1 - \mu(\sigma_2 + \sigma_3) \leq [\sigma]$;

3) $\sigma_1 - \sigma_3 \leq [\sigma]$; 4) $[(\sigma_1 - \sigma_2)^2 + (\sigma_1 - \sigma_3)^2 + (\sigma_2 - \sigma_3)^2] \leq 2\sigma_0$

58. Энг катта нисбий деформация назарияси бўйича мустаҳкамлик шартини кўрсатинг.

Жавоб: 1) $\sigma_1 \leq [\sigma]$; 2) $\sigma_1 - \mu(\sigma_2 + \sigma_3) \leq [\sigma]$;

3) $\sigma_1 - \sigma_3 \leq [\sigma]$; 4) $[(\sigma_1 - \sigma_2)^2 + (\sigma_1 - \sigma_3)^2 + (\sigma_2 - \sigma_3)^2] \leq 2\sigma_0$

59. Энг катта уринма кучланишлар назарияси бўйича мустаҳкамлик шартини кўрсатинг.

Жавоб: 1) $\sigma_1 \leq [\sigma]$; 2) $\sigma_1 - \mu(\sigma_2 + \sigma_3) \leq [\sigma]$;

3) $\sigma_1 - \sigma_3 \leq [\sigma]$; 4) $[(\sigma_1 - \sigma_2)^2 + (\sigma_1 - \sigma_3)^2 + (\sigma_2 - \sigma_3)^2] \leq 2\sigma_0$

60. Соф силжиш деб нимага айтилади?

Жавоб:

1) Фақат нормал кучланиш таъсиридаги кубикнинг деформацияси.

2) Фақат уринма кучланиш таъсиридаги кубикнинг деформацияси.

3) Уринма кучланишлар нолга тенг бўлган юзага.

4) Нормал кучланиш нолга тенг бўлган юзага.

61. Силжишда Гук қонунини ифодаловчи формулани кўрсатинг.

Жавоб: 1) $\tau = \frac{F}{A}$; 2) $\tau = \gamma G$; 3) $\tau = \frac{\gamma}{G}$; 4) $\tau_a = \sigma_1$

62. Силжиш модулини кўрсатинг.

Жавоб:

1) $k = \frac{E}{2(1-\mu)}$; 2) $G = \frac{E}{2(1+\mu)}$; 3) $k = \frac{\sigma_{yp}}{\varepsilon_{yp}}$; 4) $G = \frac{(\mu+1)2}{E}$

63. Силжишда рухсат этилган күчланишни танланг.

Жавоб: (I-назария) 1) $[\tau] = \frac{[\sigma]}{1 + \mu};$ 2) $[\tau] = [\sigma];$

3) $[\tau] = \frac{[\sigma]}{2};$ 4) $[\tau] = \frac{[\sigma]}{\sqrt{3}}$

64. Силжишда рухсат этилган күчланишни танланг.

Жавоб: (II назария)

1) $[\tau] = \frac{[\sigma]}{1 + \mu};$ 2) $[\tau] = [\sigma];$ 3) $[\tau] = \frac{[\sigma]}{2};$ 4) $[\tau] = \frac{[\sigma]}{\sqrt{3}}$

65. Силжишда рухсат этилган күчланишни танланг.

Жавоб: (III-назария) 1) $[\tau] = [\sigma];$ 2) $[\tau] = \frac{[\sigma]}{1 + \mu};$

3) $[\tau] = \frac{[\sigma]}{2};$ 4) $[\tau] = \frac{[\sigma]}{\sqrt{3}}$

66. Силжишда рухсат этилган күчланишни танланг.

Жавоб: (IV-назария) 1) $[\tau] = [\sigma];$ 2) $[\tau] = \frac{[\sigma]}{1 + \mu};$

3) $[\tau] = \frac{[\sigma]}{2};$ 4) $[\tau] = \frac{[\sigma]}{\sqrt{3}}$

67. Бир қирқимли парчин михли бирикмани қирқилишга мустаҳкамлик шартини күрсатинг.

Жавоб: 1) $\tau = \frac{F}{n\pi \cdot d^2} \leq [\tau];$ 2) $\tau = \frac{F}{nA} \leq [\tau];$

3) $\tau = \frac{F2}{n\pi \cdot d^2} \leq [\tau];$ 4) $\tau = \frac{\pi d^2}{4Fn} \leq [\tau]$

68. Бир қирқимли парчин михли бирикмада парчин михлар сонини топинг.

Жавоб: 1) $n = n_1 + n_2 + n_3 + \dots;$ 2) $n > \frac{4F}{\pi d^2 [\tau]};$

3) $n \geq \frac{F2}{\pi d^2 [\tau]};$ 4) $n \geq \frac{F}{[\tau] \pi d^2}$

69. Парчин михли бирикмани эзилишга мустақамлик шартини күрсатинг.

$$\text{Жавоб: } 1) \sigma_s = \frac{F}{tb} \leq [\sigma] ; \quad 2) \sigma_s = \frac{F}{ntd} \leq [\sigma], 4$$

$$3) \sigma_s = \frac{F}{2tb} \leq [\sigma] ; \quad 4) \tau = \frac{F}{A}$$

70. Парчин михли бирикмани эзилишда парчин михлар сонини топинг.

$$\text{Жавоб: } 1) n = 1, 2, 3, \dots ; \quad 2) n \geq \frac{F}{td[\sigma]} ;$$

$$3) n \geq \frac{F}{\pi d[\tau]} ; \quad 4) n \geq \frac{4F}{\pi d[\tau]}$$

71. Парчин михли бирикмани чўзилиш ва сиқилишга мустақамлик шарти.

$$\text{Жавоб: } 1) \sigma = \frac{F \cdot 4}{\pi d^2} \leq [\sigma] ; \quad 2) \sigma = \frac{F \cdot 4}{t(b - md)} \leq [\sigma] ;$$

$$3) \tau = \frac{F}{A} \leq [\tau] ; \quad 4) \sigma = \frac{F}{td} \leq [\sigma]$$

72. Буровчи момент деб нимага айтилади.

Жавоб:

1) Куч моментига.

2) Вални ўрганилаётган қисмидаги ташқи кучларни кесим марказига нисбатан моментларининг алгебравик йиғиндисига.

3) Вални ўрганилаётган қисмидаги ташқи моментларни алгебравик йиғиндисига.

4) $M_1 = TR_1 - t_1 R_1 = t_1 R_1$ – моменти.

73. Доиравий кесимли стерженнинг буралишида кучлашиш формуласи?

$$\text{Жавоб: } 1) \tau = \frac{F}{A} ; \quad 2) \tau = \frac{M_s}{I_s} \rho ; \quad 3) \tau = \frac{QS_y^0}{I_y d} ; \quad 4) \tau = \frac{M}{W}$$

74. Буралиш бурчаги формуласини күрсатинг.

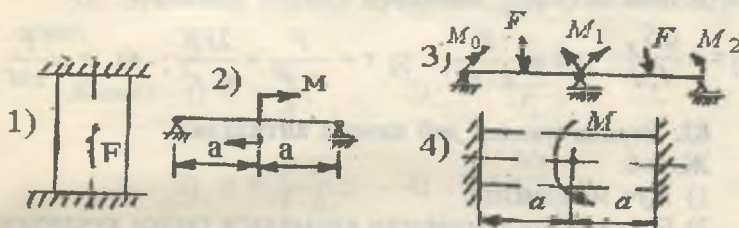
$$\text{Жавоб: 1)} \varphi = \frac{F\ell}{EA}; \quad 2) \varphi = \frac{M_k\ell}{GI_p}; \quad 3) \varphi = \frac{4FR^3n}{Gr^4}; \quad 4) \varphi = \frac{M_k}{EA}$$

75. Буралишда мустаҳкамлик шартини күрсатинг.

$$\text{Жавоб: 1)} \tau = \frac{F}{A} \leq [\tau]; \quad 2) \tau = \frac{M_k}{W_p} \leq [\tau];$$

$$3) \tau = \frac{QS_y}{I_y d} \leq [\tau]; \quad 4) \sigma = \frac{M}{W} \leq [\sigma]$$

76. Буралишда статик ноаниқ системани күрсатинг.



77. Буралишда мустаҳкамлик шартидан фойдаланиб валнинг диаметрини аниқланг.

$$\text{Жавоб: 1)} d = \sqrt{\frac{4F}{\pi[\sigma]}}, \quad 2) d = \sqrt[3]{\frac{16M_k}{\pi[\tau]}};$$

$$3) d = \sqrt[3]{\frac{32M}{\pi[\sigma]}}, \quad 4) d = \sqrt[4]{\frac{32M_k\ell}{\pi[\varphi]G}}$$

78. Буралишда бикрлик шарти асосида валнинг диаметрини аниқланг.

$$\text{Жавоб: 1)} d = \sqrt{\frac{4F}{\pi[\sigma]}}, \quad 2) d = \sqrt[3]{\frac{16M_k}{\pi[\tau]}};$$

$$3) d = \sqrt[3]{\frac{32M}{\pi[\sigma]}}, \quad 4) d = \sqrt[4]{\frac{32M_k\ell}{\pi[\varphi]G}}$$

79. Винтсимон пружинанинг деформациясини аниқланг.

$$1) \lambda = \frac{F\ell}{EA}; \quad 2) \lambda = \frac{M_k \ell}{GI_p}; \quad 3) \lambda = \frac{4FR^3n}{G \cdot r^4}; \quad 4) \lambda = \frac{M_c}{EI}$$

80. Буралиш деформациясининг потенциал энергиясини кўрсатинг.

Жавоб:

$$1) U = \frac{F^2 \ell}{2EA}; \quad 2) U = \frac{M_k^2 \ell}{2GI_p}; \quad 3) U = \frac{M_n^2 \ell}{2EI}; \quad 4) U = \frac{Q^2 \ell}{2GA}$$

81. Винтсимон пружина ўрамининг кесим юзасидаги кучланиши:

Жавоб:

$$1) \tau = \frac{QS_y}{I_y d}; \quad 2) \sigma = \frac{F}{\pi \cdot r^2}; \quad 3) \tau = \frac{F}{\pi \cdot r^2} + \frac{2FR}{\pi \cdot r^3}; \quad 4) \sigma = \frac{F}{ntd}$$

82. Эгувчи момент деб нимага айтилади?

Жавоб:

- 1) Куч моментига.
- 2) Балкани ўрганилаётган қисмидаги ташқи кучларни кесим марказига нисбатан моментларининг алгебравик ийғиндисига.
- 3) Кучни елкага булинмасига.
- 4) Балкани ўрганилаётган қисмидаги ташқи ва ички кучлар мувозанатига.

83. Эгувчи момент ва кўндаланг куч орасидаги дифференциал боғланишни кўрсатинг.

$$1) Q = \frac{dM}{dx}; \quad 2) Q = dM \cdot dX; \quad 3) Q = \int M_x dx; \quad 4) Q = \int M^2 dx$$

84. Ёйилган куч интенсивлиги ва кўндаланг куч орасидаги дифференциал боғланишни кўрсатинг.

$$\text{Жавоб: } 1) q = Q \cdot dx \quad 2) q = \frac{dQ}{dx} \quad 3) q = \int Q \cdot dx \quad 4) q = \frac{dx}{dQ}$$

85. Ёйилган куч интенсивлиги ва эгувчи момент орасидаги дифференциал боғланишни кўрсатинг.

$$\text{Жавоб: 1) } q = d^2 M \cdot d^2 x \quad 2) q = \frac{d^2 M}{d^2 x} \quad 3) q = \int M^2 dx \quad 4) q = \frac{dM}{dx}$$

86. Соф эгилиш деб нимага айтилади?

- 1) Фақат уринма кучланиш таъсиридаги балканинг деформациясига.
- 2) Уринма ва нормал кучланишлар таъсиридаги балканинг деформациясига.
- 3) Фақат нормал кучланиш таъсиридаги балканинг деформациясига.
- 4) Бош кучланишлар таъсиридаги балкани деформациясига.

87. Эгилишда нормал кучланиш формуласини кўрсатинг.

$$\text{Жавоб: 1) } \sigma = \frac{F}{A}; \quad 2) \sigma = \frac{Mz}{I_x};$$

$$3) \sigma = \frac{Q \cdot S}{I \cdot b}; \quad 4) \sigma = \frac{Mz}{S\rho}$$

88. Эгилишда уринма кучланиш формуласини кўрсатинг.

$$\text{Жавоб: 1) } \sigma = \frac{Mz}{I_x}; \quad 2) \tau = \frac{Mz}{I};$$

$$3) \tau = \frac{Q \cdot S_y}{I_y \cdot b}; \quad 4) \tau = \frac{F}{A}$$

89. Эгилишда нормал кучланиш бўйича мустаҳкамлик шартини кўрсатинг.

$$\text{Жавоб: 1) } \sigma = \frac{F}{A} \leq [\sigma]; \quad 2) \sigma = \frac{Mz_y}{S_y \rho} \leq [\sigma];$$

$$3) \sigma = \frac{M}{W_x} \leq [\sigma]; \quad 4) \sigma = \frac{Q \cdot S_y}{I_y \cdot d} \leq [\sigma]$$

90. Доиравий кесимнинг қаршилик моменти формуласини кўрсатинг.

Жавоб:

$$1) W_x = \frac{\pi \cdot r^3}{16}; \quad 2) W_x = \frac{\pi \cdot d^3}{32}; \quad 3) W_x = \pi \cdot r^3; \quad 4) W_x = \frac{I_x}{A}$$

91. Эгилишда нормал күчланиш бүйича мустақамлик шартидан рухсат этилган юкни анықланг.

Жавоб:

$$1) F = W[\sigma]; \quad 2) M = W[\sigma]; \quad 3) F = W[\sigma]; \quad 4) Q = A[\tau]$$

92. Эгилишда нормал күчланиш бүйича мустақамлик шартидан фойдаланиб кесимни танланг.

Жавоб:

$$1) W \geq \frac{F}{[\sigma]}; \quad 2) A \geq \frac{F}{[\sigma]}; \quad 3) W \geq \frac{M}{[\sigma]}; \quad 4) \frac{I_y}{S_y} \geq \frac{Q}{b[\tau]}$$

93. Эгилишда уринма күчланиш бүйича мустақамлик шартни күрсатинг.

$$\text{Жавоб: } 1) \tau = \frac{F}{A} \leq [\tau]; \quad 2) \tau = \frac{Q \cdot S_y}{I_y \cdot d} \leq [\tau];$$

$$3) \tau = \frac{M}{W_x} \leq [\tau]; \quad 4) \tau = \frac{Q}{A} \leq [\tau]$$

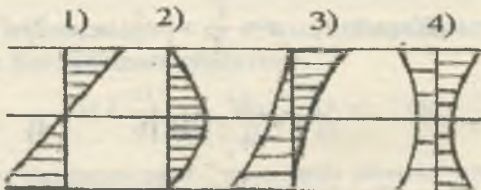
94. Эгилишда бош нормал күчланишлар формуласини күрсатинг.

$$\text{Жавоб: } 1) \sigma_\alpha = \sigma_1 \cos^2 \alpha + \sigma_3 \sin^2 \alpha;$$

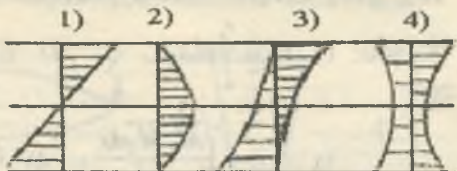
$$2) \sigma_{1,3} = \frac{1}{2} \left[\sigma \pm \sqrt{\sigma^2 + 4\tau^2} \right]; \quad 3) \sigma = \tau; \quad \tau = -\sigma_3;$$

$$4) \tau_{\max} = \frac{\sigma_1 - \sigma_3}{2}$$

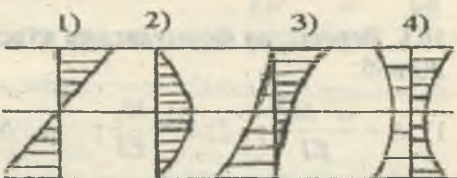
95. Эгилишда нормал күчланиш эпюрасини күрсатинг.



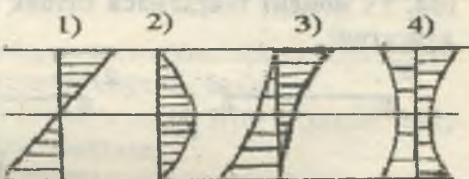
96. Эгилишда уринма кучланиш эпюрасини күрсатинг.



97. Эгилишда бош нормал кучланиш эпюрасини күрсатинг.



98. Эгилишда бош уринма кучланиш эпюрасини күрсатинг.



99. Балка этилган ўқининг тақрибий дифференциал тенгламаси қани?

$$\text{Жавоб: } 1) \quad y = \frac{M_c}{EI}; \quad 2) \quad EIy'' = M_x; \quad 3) \quad \theta = \frac{Q_c}{EI};$$

$$4) \quad y = \int \frac{MM_1 dx}{EI}$$

100. Эгилишда салқиликни графоаналитик усул билан аникланг.

Жавоб:

$$1) \quad y = \frac{M_c}{EI}; \quad 2) \quad EIy'' = M_x; \quad 3) \quad y = \int \frac{MM_1 dx}{EI}; \quad 4) \quad y = \frac{M \cdot \omega}{EI}$$

101. Эгилиш деформациясининг потенциал энергиясини күрсатинг?

Жавоб:

$$1) \quad U = \frac{F \Delta \ell}{2}; \quad 2) \quad U = \frac{M_s^2 \ell}{2GI_p}; \quad 3) \quad U = \frac{M \cdot \ell}{2EI}; \quad 4) \quad U = \frac{\sigma \varepsilon}{2}$$

102. Мор интегралини күрсатинг.

Жавоб: 1) $I_x = \int_0^A y^2 dA$; 2) $EI\theta = \int_0^l M_x dx + C$

3) $\Delta_{12} = \int_0^l \frac{\overline{M_1 M_2}}{EI} dx$; 4) $U = \int_0^l \frac{M^2}{2EI} dx$

103. Верещагин формуласини күрсатинг.

Жавоб:

1) $\Delta = \frac{\omega \cdot M_c^0}{EI}$; 2) $\Delta = \frac{M_c}{EI}$; 3) $\Delta = \frac{Q_c}{EI}$; 4) $\frac{1}{\rho} = \frac{M}{EI}$

104. Уч момент тенгламаси татбиқ қилинадиган балкани күрсатинг.

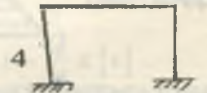
1)



2)



3)



105. Уч момент тенгламасини күрсатинг.

Жавоб:

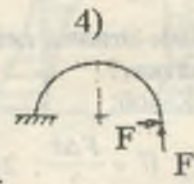
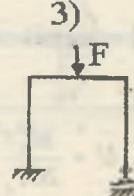
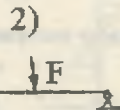
1) $\sum M = M_1 + M_2 + M_3$;

2) $M_0\ell_n + 2M_1(\ell_n + \ell_{n+1}) + M_2 \cdot \ell_{n+1} = -6 \left(\frac{\omega_1 a_1}{\ell_n} + \frac{\omega_2 a_2}{\ell_{n+1}} \right)$

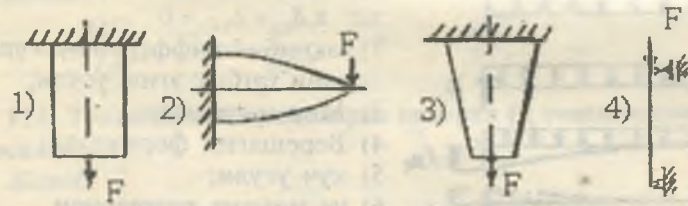
3) $M = F_1\ell_1 + F_2\ell_2 + F_3\ell_3$; 4) $0 = M_1 + M_2 + M_3$

106. Күч усули билан ечиладиган масаланинг схемасини күрсатинг.

Жавоб:



107. Тенг қаршилик күрсатувчи балкани күрсатинг.

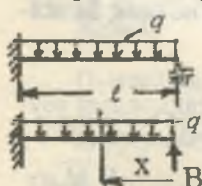


108. Тенг қаршилик күрсатувчи балка деб нимата айтилади?

Жавоб:

1. Узунлиги бўйлаб кесим юзаси ўзгармайдиган балкага.
2. Узунлиги бўйлаб барча кесим юзаларида нормал кучланиш бир хил қийматга эга бўлган балкага.
3. Узунлиги бўйлаб кесим юзаси тўғри чизиқли қонуният асосида танланган балкага.
4. Узунлиги бўйлаб кесим юзасида нормал кучланиш бир хил қийматга эга бўлмаган балкага.

109. Қандай усул билан берилган статик ноаниқ балканинг реакция кучи топилган?



Жавоб:

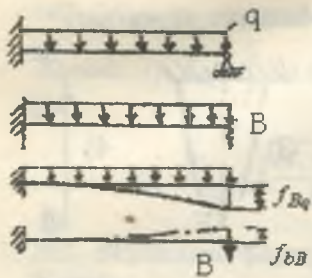
- 1) Деформацияни таққослаш усули

$$f_B = f_{BB} + f_{Bq}$$
- 2) Тақрибий дифференциал тенгламани татбиқ этиш усули:

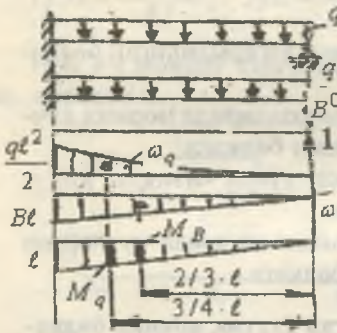
$$EIy'' = Bx - q \frac{x^2}{2}$$
- 3) Верещагин формуласи $\Delta = \frac{\sigma \cdot M^0}{EI}$
- 4) Куч усули $x_1 \delta_{11} + \Delta_{1F} = 0$

110) Қандай усул билан берилган статик ноаниқ балканинг реакция кучи топилган

Жавоб:



- 1) деформацияни таққослаш усули; $x_1 \delta_{11} + \Delta_{1F} = 0$
- 2) тақрибий дифференциал тенгламани татбиқ этиш усули;
- 3) Мор интегралы;
- 4) Верещагин формуласи;
- 5) күч усули;
- 6) уч момент тенгламаси.



111. Қандай усул билан берилған статик ноанық балканинг реакция күчи топилған?

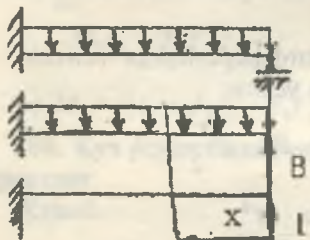
Жавоб:

- 1) Уч момент теоремасини та тбиқ этиш.
- 2) Мор интегралини татбиқ этиш.
- 3) Күч усули: $x_1 \delta_{11} + \Delta_{1F} = 0$.
- 4) Верещагин формуласи.

$$\Delta = \frac{\varpi \cdot M^0}{EI}$$

112. Қандай усул билан берилған статик ноанық балканнинг реакция күчи топилған?

Жавоб:



- 1) Деформацияни таққослаш усули: $f_B = f_{BB} + f_{Bq} = 0$

- 2) Мор интегралы: $\Delta = \int \frac{M M_g dx}{EI}$

- 3) Күч усули: $x_1 \delta_{11} + \Delta_{1F} = 0$

- 4) Верещагин формуласи:

$$\Delta = \frac{\varpi \cdot M^0}{EI}$$

113. Текис әгри стерженларда нормал күчланишни анықланып?

Жавоб:

$$1) \tau = \frac{QS_y^0}{I_y b}; \quad 2) \sigma = \frac{4F}{\pi d^2}; \quad 3) \sigma = \frac{N}{A} \pm \frac{M \cdot Z}{S_y^0 \cdot \rho}; \quad 4) \sigma = \frac{MZ}{I_y}$$

114. Текис эгри стерженларда нейтрал ўқ тенгламасини күрсатинг.

Жавоб:

$$1) \frac{x^2}{a^2} + \frac{y^2}{b^2} = 1;$$

$$2) r = \frac{A}{\int_0^A \frac{dA}{\rho}}$$

$$3) 1 + \frac{x_0 x_p}{l_y^2} + \frac{y_0 y_p}{l_x^2} = 0; \quad 4) \frac{\cos \varphi \cdot Z_0}{I_y} + \frac{\sin \varphi \cdot y_0}{I_z} = 0$$

115. Эгри стерженларда нормал кучланишни $\sigma = \frac{M \cdot Z_{12}}{S_y \cdot R_{12}}$ формуладан аниқлаш учун қандай эгрилик бўлиши керак?

Жавоб:

$$1) \frac{R_0}{h} = 0; \quad 2) R_0 > 5h; \quad 3) R_0 < 5h; \quad 4) R_0 = 5h$$

116. Эгилиш билан буралишни биргаликдаги таъсирида вални кесим юзасида қандай кучланишлар ҳосил бўлади?

Жавоб:

$$1) \text{нормал кучланиш: } \sigma_s = \frac{M_s}{N}$$

2) нормал ва уринма кучланишлар.

$$3) \text{уринма кучланиш: } \tau = \frac{M_\delta}{W_\rho}$$

$$4) \sigma = 0 \text{ ва } \tau = 0$$

117. Эгилиш билан буралишни биргаликдаги таъсирида вал кесимининг четки нуқтаси қандай кучланганлик ҳола - тида бўлади?

Жавоб: 1) чизиқли; 2) текис; 3) ҳажмий; 4) түғри.

120. Эгилиш билан буралышни биргаликдаги таъсирида
валнинг мустаҳкамлик шарти формуласини кўрсатинг.

III назария 1) $\frac{1}{2}[\sigma_s + \sqrt{\sigma_s^2 + 4\tau_\delta^2}] \leq [\sigma];$

2) $\sqrt{\sigma_s^2 + 4\tau_\delta^2} \leq [\sigma]; \quad 3) \sqrt{\sigma_s^2 + 3\tau_\delta^2} \leq [\sigma];$

4) $[0,35\sigma_s + 0,65\sqrt{\sigma_s^2 + 4\tau_\delta^2}] \leq [\sigma]$

121. Эгилиш билан буралышни биргаликдаги таъсирида
валнинг мустаҳкамлик шарти формуласини кўрсатинг.

Жавоб:

IV назария 1) $\sqrt{\sigma_s^2 + 4\tau_\delta^2} \leq [\sigma]; \quad 2) \sqrt{\sigma_s^2 + 3\tau_\delta^2} \leq [\sigma];$

118. Эгилиш билан буралишни биргаликдаги таъсирида валинг мустаҳкамлик шарти формуласини кўрсатинг.

Жавоб:

$$\text{I назария. 1) } \frac{\sqrt{M_s^2 + M_\delta^2}}{W} \leq [\sigma];$$

$$2) \frac{1}{W} \left[0,35M_s + 0,65\sqrt{M_s^2 + M_\delta^2} \right] \leq [\sigma]$$

$$3) \frac{1}{W} \sqrt{M_s^2 + 0,75M_\delta^2} \leq [\sigma] \quad 4) \frac{1}{2W} [M_s + \sqrt{M_s^2 + M_\delta^2}] \leq [\sigma]$$

119. Эгилиш билан буралишни биргаликдаги таъсирида валинг мустаҳкамлик шарти формуласини кўрсатинг.

Жавоб:

$$\text{II назария. 1) } \frac{\sqrt{M_s^2 + M_\delta^2}}{W} \leq [\sigma];$$

$$2) \frac{1}{W} [M_s + \sqrt{M_s^2 + M_\delta^2}] \leq [\sigma]$$

$$3) \frac{1}{W} \left[0,35M_s + 0,65\sqrt{M_s^2 + M_\delta^2} \right] \leq [\sigma];$$

$$4) \frac{1}{2W} \sqrt{M_s^2 + 0,75M_\delta^2} \leq [\sigma]$$

120. Эгилиш билан буралишни биргаликдаги таъсирида валинг мустаҳкамлик шарти формуласини кўрсатинг.

$$\text{III назария 1) } \frac{1}{2} \left[\sigma_s + \sqrt{\sigma_s^2 + 4\tau_\delta^2} \right] \leq [\sigma];$$

$$2) \sqrt{\sigma_s^2 + 4\tau_\delta^2} \leq [\sigma]; \quad 3) \sqrt{\sigma_s^2 + 3\tau_\delta^2} \leq [\sigma];$$

$$4) \left[0,35\sigma_s + 0,65\sqrt{\sigma_s^2 + 4\tau_\delta^2} \right] \leq [\sigma]$$

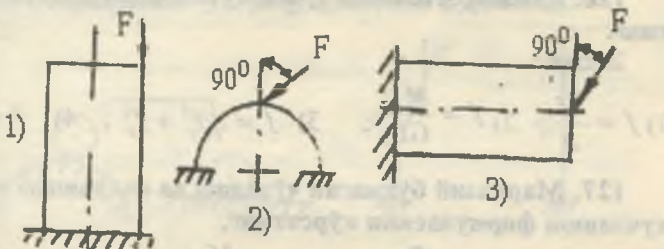
121. Эгилиш билан буралишни биргаликдаги таъсирида валинг мустаҳкамлик шарти формуласини кўрсатинг.

Жавоб:

$$\text{IV назария 1) } \sqrt{\sigma_s^2 + 4\tau_\delta^2} \leq [\sigma]; \quad 2) \sqrt{\sigma_s^2 + 3\tau_\delta^2} \leq [\sigma];$$

$$3) \frac{1}{2} \left[\sigma_s + \sqrt{\sigma_s^2 + 4\tau_s^2} \right] \leq [\sigma]; \quad 4) \left[0,35\sigma_s + 0,65\sqrt{\sigma_s^2 + 4\tau_s^2} \right] \leq [\sigma]$$

122. Қийшиқ әғилиш схемасини күрсатинг.



123. Қийшиқ әғилишда нормал күчланиш формуласини күрсатинг.

Жавоб:

$$1) \sigma = \frac{F}{A} \left(1 + \frac{y_0 y_F}{I_x^2} + \frac{x_0 x_F}{I_y^2} \right); \quad 2) \sigma = \pm M \left(\frac{\cos \varphi}{W_y} + \frac{\sin \varphi}{W_z} \right)$$

$$3) \sigma = \frac{M_y \cdot y_c}{I_y} + \frac{M_z \cdot z_c}{I_z}; \quad 4) \sigma = \frac{F_i}{A} + \frac{F_j}{A}$$

124. Қийшиқ әғилишда нейтрал ўқ тенгламасини күрсатинг.

Жавоб:

$$1) \frac{x^2}{a^2} + \frac{y^2}{b^2}; \quad 2) 1 + \frac{y_0 y_F}{I_x^2} + \frac{x_0 x_F}{I_y^2} = 0;$$

$$3) \frac{\cos \varphi \cdot z_0}{I_y} + \frac{\sin \varphi \cdot y_0}{I_z} = 0; \quad 4) r = \frac{A}{\int \frac{dA}{\rho}}$$

125. Қийшиқ әғилишда мустаҳкамлик шартини күрсатинг.

Жавоб:

$$1) \sigma = \frac{M_y \cdot y_c}{I_y} + \frac{M_z \cdot z_c}{I_z} \leq [\sigma]; \quad 2) \sigma = \frac{F_i}{A} + \frac{F_j}{A} \leq [\sigma]$$

$$3) \sigma = \frac{M}{W_z} (\cos \varphi + \frac{W_z}{W_y} \sin \varphi) \leq [\sigma]; \quad 4) \frac{F}{A} \left(1 + \frac{y_0 y_F}{I_x^2} + \frac{x_0 x_F}{I_y^2} \right) \leq [\sigma]$$

126. Қийшиқ әгилишда түлиқ күчиш формуласини күрсатинг.

Жавоб:

$$1) f = \frac{F\ell}{A}; \quad 2) f = \frac{M_s \ell}{G I_s}; \quad 3) f = \sqrt{f_z^2 + f_y^2}; \quad 4) f = \frac{M_c}{E I}$$

127. Марказий бұлмаган чүзилиш ва сиқилишда нормал күчланиш формуласини күрсатинг.

$$\text{Жавоб: } 1) \sigma = \frac{F}{A}; \quad 2) \sigma = \frac{M_x y}{I_x}$$

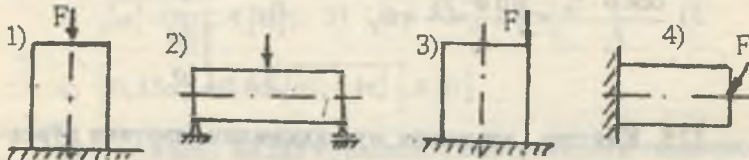
$$3) \sigma = \pm \frac{F_x x \cdot z_c}{I_y} \pm \frac{F_y x \cdot y_c}{I_z}; \quad 4) \sigma = \pm \frac{F}{A} + \frac{F \cdot y_F y}{I_x} \pm \frac{F \cdot x_F x}{I_y};$$

128. Марказий бұлмаган чүзилиш ва сиқилишда нейтрал үқ тенгламаси?

$$\text{Жавоб: } 1) \frac{x^2}{a^2} + \frac{y^2}{b^2} = 1; \quad 2) 1 + \frac{y_0 y_F}{I_x^2} + \frac{x_0 x_F}{I_y^2} = 0;$$

$$3) r = \frac{A}{\int_0^x \frac{dA}{\rho}}; \quad 4) \operatorname{tg} \alpha = \operatorname{tg} \varphi \frac{I_y}{I_z}$$

129. Марказий бұлмаган чүзилиш ва сиқилиш схемасини күрсатинг.



130. Кесим ядроси нима?

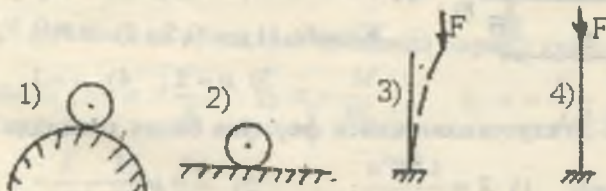
Жавоб:

- 1) Стержен кесим юзасининг оғирлик маркази.
- 2) Стерженнинг күндаланг кесим юзаси.

3) Кесим юзанинг маркази атрофида ҳосил булган эгри қизиқли соҳа.

4) Кесим юзанинг сиртида жойлашган элементар юза.

131. Стерженнинг устувор ҳолатини кўрсатинг?



132. Эйлер формуласини кўрсатинг.

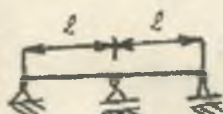
1) $F_k = [\sigma]A$; 2) $F_k = [\tau]A$; 3) $F_k = a - b\lambda$;

4) $F_k = \frac{n^2 \pi^2 EI_{min}}{(\mu \ell)^2}$



133. Стерженини тирадиши шартига кўра μ нинг қайси қиймати тўғри?

Жавоб: 1) $\mu = 0,5$; 2) $\mu = 0,7$;
3) $\mu = 2$; 4) $\mu = 1$



134. Стерженнинг тирадиши шартига кўра μ нинг қайси қиймати тўғри?

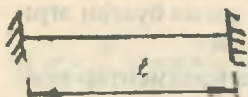
Жавоб: 1) $\mu = 0,5$; 2) $\mu = 0,7$;
3) $\mu = 2$; 4) $\mu = 1$



135. Стерженнинг тирадиши шартига кўра μ нинг қайси қиймати тўғри?

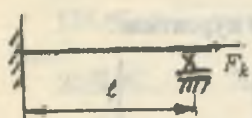
Жавоб: 1) $\mu = 0,5$; 2) $\mu = 0,7$;
3) $\mu = 2$; 4) $\mu = 1$

136. Стерженнинг тирадиши шартига кўра μ нинг қайси қиймати тўғри?



Жавоб: 1) $\mu = 0,5$; 2) $\mu = 0,7$;

3) $\mu = 2$; 4) $\mu = 1$



137. Стерженнинг тирадиши шартыга күра μ нинг қайси қиймати түгри?

Жавоб: 1) $\mu = 0,5$; 2) $\mu = 0,7$;

3) $\mu = 2$; 4) $\mu = 1$

138. Эгилювчанлык қайси формула билан топилади?

$$\text{Жавоб: } 1) \lambda = \frac{4FR^3n}{Gr^4}; \quad 2) \lambda = \mu \frac{\ell}{l_{\min}};$$

$$3) \lambda = \frac{F\ell}{EI}; \quad 4) \lambda = \frac{M_c}{EI}$$

139. $\lambda \geq 100$ стерженларда критик кучланиш қайси формула билан топилади?

$$\text{Жавоб: } 1) \sigma = \frac{F_k}{A}; \quad 2) \sigma_k = a - b\lambda;$$

$$3) \sigma_k = \frac{\pi^2 E}{\lambda^2}; \quad 4) \sigma_k = \sigma_{ok}$$

140. $40 \leq \lambda \leq 100$ стерженларда критик кучланиш қайси формула билан топилади?

$$\text{Жавоб: } 1) \sigma = \frac{F_k}{A}; \quad 2) \sigma_k = a - b\lambda;$$

$$3) \sigma_k = \frac{\pi^2 E}{\lambda^2}; \quad 4) \sigma_k = \sigma_{ok}$$

141. Сиқилган стерженларнинг устуворлик шартини күрсатынг.

Жавоб:

$$1) \sigma_k = \frac{F_k}{A} \leq [\sigma]; \quad 2) \sigma_k = \frac{F_k}{A \cdot \varphi} \leq [\sigma]; \quad 3) \sigma_k = \frac{\varphi \cdot F_k}{A \cdot \varphi} \leq [\sigma]$$

142. Этилиш билан өзилишнинг биргалиқдаги таъсирида кучланиш формуласи?

Жавоб: 1) $\sigma = \frac{F}{A}$; 2) $\sigma = \frac{M}{W_x}$; 3) $\sigma = \frac{F}{A} + \frac{M}{W_x}$

$$4) \quad \sigma = \frac{F}{A} + \frac{M}{W} + \frac{Ft}{W}$$

143. Бүйлама ва күндаланг эгилишда нормал кучланиш?

Жавоб: 1) $\sigma = \frac{F}{A}$; 2) $\sigma = \frac{M}{W_x}$; 3) $\sigma = \frac{F}{A} + \frac{M}{W_x}$

$$4) \quad \sigma = \frac{F}{A} + \frac{M}{W} + \frac{Ft}{W}$$

144. Бүйлама ва күндаланг эгилишда салқилик формуласи?

Жавоб: 1) $f = \frac{M_e}{EI}$; 2) $f = f_0 \frac{1}{1 - \frac{F}{F_k}}$;

$$3) \quad f = \frac{4FR^3n}{Gr^4}; \quad 4) \quad f = \frac{5q\ell^4}{384EI}$$

145. Текис тезланишли ҳаракатда динамик кучланиш?

Жавоб: 1) $\sigma_g = \sigma_{cl}(1 + \frac{a}{g})$; 2) $\sigma_g = K_g \frac{q\ell^2}{8W}$;

$$3) \quad \sigma_g = \frac{\gamma \varpi^2 D^2}{4g}; \quad 4) \quad \sigma_g = \frac{\gamma F \varpi^2 r \ell^2}{9g\sqrt{3} \cdot W}$$

146. Труба ёки бетон плитани күтаришда ҳосил бўлган динамик кучланишни аниқланг?

Жавоб: 1) $\sigma_g = \sigma_{cl}(1 + \frac{a}{g})$; 2) $\sigma_g = K_g \frac{q\ell^2}{8W}$;

$$3) \quad \sigma_g = \frac{\gamma \varpi^2 D^2}{4g}; \quad 4) \quad \sigma_g = \frac{\gamma F \varpi^2 r \ell^2}{9g\sqrt{3} \cdot W}$$

147. Айланувчан ҳалқасимон элементдаги динамик кучланиш?

Жавоб: 1) $\sigma_g = \sigma_{ct} \left(1 + \frac{a}{g}\right);$ 2) $\sigma_g = K_g \frac{q\ell^2}{8W};$

3) $\sigma_g = \frac{\gamma\omega^2 D^2}{4g};$ 4) $\sigma_g = \frac{\gamma F\omega^2 r\ell^2}{9g\sqrt{3} \cdot W}$

148. Шатунда ҳосил бўладиган динамик кучланиш?

Жавоб: 1) $\sigma_g = \sigma_{ct} \left(1 + \frac{a}{g}\right);$ 2) $\sigma_g = K_g \frac{q\ell^2}{8W};$

3) $\sigma_g = \frac{\gamma\omega^2 D^2}{4g};$ 4) $\sigma_g = \frac{\gamma F\omega^2 r\ell^2}{9g\sqrt{3} \cdot W}$

149. Тебранма ҳаракатда ҳосил бўлган динамик кучланиш?

Жавоб: 1) $\sigma_g = \sigma_{ct} \left(1 + \frac{a}{g}\right);$ 2) $\sigma_g = \sigma_{ct} \left(1 + \frac{A}{\delta_c}\right);$

3) $\sigma_g = K_g \frac{q\ell^2}{8W};$ 4) $\sigma_g = \sigma_{ct} \sqrt{\frac{T_0}{U_c}}$

150. Тебранма ҳаракатда динамик коэффициент қандай формула билан топилади?

Жавоб: 1) $K_g = 1 + \frac{a}{g};$ 2) $K_g = 1 + \frac{A}{\delta_c};$

3) $K_g = \sqrt{\frac{T_0}{U_c}};$ 4) $K_g = 1 + \frac{\omega^2 r}{g}$

151. Зарб таъсирида динамик коэффициент формуласи?

Жавоб: 1) $K_g = 1 + \frac{\delta_u}{\delta_c} \beta;$ 2) $K_g = 1 + \frac{\omega^2 r}{g};$

3) $K_g = 1 + \sqrt{1 + \frac{2h}{\delta_c}};$ 4) $K_g = 1 + \frac{a}{g}$

152. Текис тезланиши ҳаракатда динамик коэффициент?

$$\text{Жавоб: 1) } K_g = 1 + \sqrt{1 + \frac{v^2}{g\delta_e}}; \quad 2) \quad K_g = 1 + \frac{\delta_n}{\delta_e};$$

$$3) \quad K_g = 1 + \frac{a}{g}; \quad 4) \quad K_g = 1 + \frac{\omega^2 r}{\delta}$$

153. Зарб таъсирида кучланиш формуласи?

$$\text{Жавоб: 1) } \sigma_g = \frac{Q}{A} K_g; \quad 2) \quad \sigma_g = \sigma_e \left(1 + \frac{A}{\delta_e} \right);$$

$$3) \quad \sigma_g = \frac{Q}{A} \left(1 + \sqrt{1 + \frac{2h}{\delta_e}} \right); \quad 4) \quad \sigma_g = K_g \frac{q\ell^2}{8W}$$

154. Зарб таъсирида чўзилиш ва сиқилиш. Кучланиш формуласи?

Жавоб:

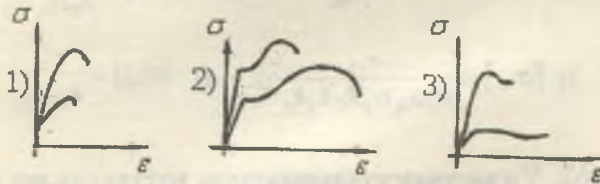
$$1) \quad \sigma_g = \sqrt{\frac{2T_0 E}{A\ell}}; \quad 2) \quad \sigma_g = \frac{I_{max}}{i} \sqrt{\frac{6T_0 E}{A\ell}}; \quad 3) \quad \tau_g = \sqrt{\frac{4T_0 E}{A\ell}}$$

155. Зарб таъсиридаги динамик узайиш?

Жавоб:

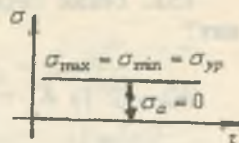
$$1) \quad \Delta\ell_g = K_g \frac{Q\ell}{EA}; \quad 2) \quad f_g = K_g \frac{Q\ell^3}{48EI}; \quad 3) \quad \varphi_g = \sqrt{\frac{T_0\ell}{GI_p}}$$

156. Зарб таъсирида чўзилиш диаграммасини кўрсатинг.



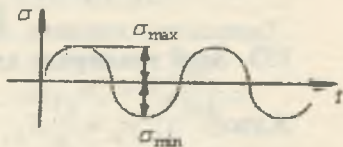
157. Ўзгарувчан кучланишнинг тўғри турини кўрсатинг.
Жавоб: 1) симметрик

- 2) ўзгармас
 3) носимметрик
 4) пулсацияли



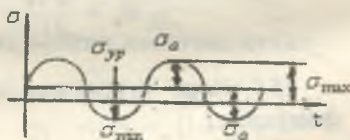
158. Ўзгарувчан күчланишнинг тўғри турини кўрсатинг.

- Жавоб: 1) симметрик
 2) ўзгармас
 3) носимметрик
 4) пулсацияли



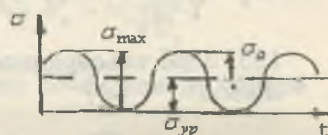
159. Ўзгарувчан күчланишнинг тўғри турини кўрсатинг.

- Жавоб: 1) симметрик
 2) ўзгармас
 3) носимметрик
 4) пулсацияли



160. Ўзгарувчан күчланишнинг тўғри турини кўрсатинг.

- Жавоб: 1) симметрик
 2) ўзгармас
 3) носимметрик
 4) пулсацияли



161. Ўзгарувчан күчланишларда мустаҳкамлик шартини (пластик материал учун) кўрсатинг.

$$\text{Жавоб: } 1) [\sigma_{+1}] = \frac{\sigma_{ok}}{k_{01}}; \quad 2) [\sigma_{+1}] = \frac{\sigma_{-1}}{k_0 \alpha_{kg} \alpha_m};$$

$$3) [\sigma_{+1}] = \frac{\sigma_{-1}}{k_0 \alpha_{kg} \alpha_m k_T k_s k_g}; \quad 4) [\sigma_{+1}] = \frac{\sigma_b}{k_{02} \alpha_{kg}}$$

162. Ўзгарувчан күчланишларда мустаҳкамлик шартини (мўрт материал) кўрсатинг.

$$\text{Жавоб: } 1) [\sigma_{+1}] = \frac{\sigma_{ok}}{k_{01}}; \quad 2) [\sigma_{-1}] = \frac{\sigma_{-1}}{k_0 \alpha_{kg} \alpha_m}$$

$$3) [\sigma_{+1}] = \frac{\sigma_b}{k_{02}\alpha_{k_2}}; \quad 4) [\sigma_{-1}] = \frac{\sigma_{-1}}{k_0\alpha_{k_2}\alpha_m k_T k_s k_k}$$

163. Материалы Гук қонунига бүйсунмайдиган балкаларда нормал күчлөнүш формуласини күрсатынг.

Жавоб:

$$1) \sigma_{-1}^3 = 0,4\sigma_s; \quad 2) \sigma_r = \frac{3M}{bh^2} \left(1 + \frac{\sqrt{E_u}}{\sqrt{E_c}} \right); \quad 3) \sigma_m = \alpha_n \frac{F\ell}{W}$$

164. Материалы Гук қонунига бүйсунмайдиган балкаларда нейтрал ўқ тенгламасини күрсатынг?

$$\text{Жавоб: } 1) r = \frac{A}{\int_0^A \frac{dA}{\rho}}; \quad 2) h_t = \frac{h\sqrt{E_c}}{\sqrt{E_u} + \sqrt{E_c}}$$

$$3) \operatorname{tg}\alpha = \operatorname{tg}\varphi \frac{I_y}{I_z}$$

**ТАЯНЧ ИБОРАЛАРНИНГ ЛУГАВИЙ МАҲНОСИ ВА ЎҚУВ
МАҚСАДЛАРИНИНГ ТОИФАЛАРИНИ БЕЛГИЛАШ**

Таянч иборалар	Лугавий маҳноси	Ўқув мақсадининг тоифалари		
		билиш	тушуниш	қўллаш
Материал	Механик ва пластиклик хоссасига, ишлов берилиши хусусиятига эга бўлган конструкция ва иншоот қисмларини тайёрлаш мумкин бўлган нарса.	+	+	
Қаршилик	Ҳар қандай ташқи таъсирга ички акс таъсирини кўрсата олишлик	+		
Мустаҳкамлик	Ташқи таъсирга емирилмасдан қаршилик кўрсатиш қобилияти	+		
Бикрлик	Жисмнинг ўлчами ва шаклиниңг ўзгаришига қаршилик кўрсатиш қобилияти. Бикр-ўлчам ва шаклнинг ўзгаришига мойилмас дегани.	+		
Устуворлик	Лойиҳа асосида берилган тўғри чизиқли мувозанатлашган шаклни саклаш қобилияти.	+		
Куч	Иккита жисмнинг механик таъсири	+	+	
Тўпланма куч	Иккита жисмнинг ўзаро таъсирашуви нудга воситасида амалга оширилади, яъни юкни қўйилиш юзасининг ўлчами конструкция элементларининг ўлчамиридан жуда кичик.	+		

Таянч иборалар	Лугавий маъноси	Ўкув мақсадининг тоифалари		
		билиш	тушуниш	қўллаш
Тақсимланган куч	Иккита жисмнинг ўзаро таъсирилашуви юза ёки узунлик бўйича амалга оширилади.	+		
Кесиш методи	Жисмни $m - n$ текислик билан фикран икки жисмга ажратиш	+	+	+
Ташқи куч	Тигнч - ҳаракатсиз ҳолатда бўлган жисмга иккисинчи жисмнинг таъсири	+		
Ички куч	Ташқи куч таъсирида жисм материали заррачаларининг ўзаро тортишиш кучларининг активлашиши	+		
Деформация	Ташқи куч таъсиридан жисмда ўлчам ёки шакл ўзгариши	+	+	
Оддий деформация	Ташқи куч йўналишида жисмнинг ўлчам ёки шакл ўзгариши	+		
Мураккаб деформация	Бир вақтда иккита ва уйдан кўпроқ оддий деформацияларининг ҳосил бўлиши	+		
Эластик деформация	Ташқи куч таъсири йўқотилгандан кейин жисмнинг бошлангич ўлчам ва шаклини тикланиши	+		

Таянч иборалар	Лугавий маъноси	Ўкув мақсадининг тоифалари		
		билиш	тушуниш	қўллаш
Пластик деформация	Колдиқ деформация, яъни ташқи куч таъсири йўқотилгандан кейин жисмнинг бошлангич ўлчам ва шаклиниң тикланмаслиги	+		
Кучланиш	Ички кучни кесим юзада тарқалиш қонуниятини ифодалайди, яъни бир бирлик юзага тўғри келувчи куч	+	+	
Нормал кучланиш	Кесим юзага тик йўналадиган кучланиш	+	+	
Уринма кучланиш	Кесим юзага уринма йўналадиган кучланиш	+	+	
Тўлиқ кучланиш	Нормал ва уринма кучланишларни геометрик йигиндиси	+		
Контактли кучланиш	Иккита жисмни тегишиш (контактлашиш) юзасидаги кучланиш	+	+	
Кучланишлар концентрацияси	Кучланишлар тўплами	+	+	
Қаттиқлик	Сиртига сингдирилган деталга қаршилик кўрсата олиш қобилияти	+		

Тәсілдің иборалар	Лугавий маъноси	Үқүв мақсадыннан туифалар	
		билиш	тушуныш
Конструукия	Деталь, механизм, машина, курилма, инишоот	+	күлгеш
Инишоот	Плотина, бир ёкі күй қаватты иморагауд	+	+
Брус	Узуннеги қолтан ұлчамшырылан ката бұлтан жиын	+	+
Стержень	Иничка брус	+	+
Балза	Этиллишта қараштық күрсападылан брус	+	+
Раза	Синик чицикпі брус	+	+
Геометрик тасиғ	Геометрик бөглөнші назарияси	+	+
Пластика	Калиноли қолтан үлчамшырылан кичик бұлтан жиын	+	+
Қобиқ	Әгри шакаты пластинка	+	+
Статик момент	Кесим юзд билен үк орасидаты месебе құтаймасыннан интеграли	+	+
Орифлик марказы	Кесим юздашын қисобейб қолданып шундай нұктаки, бу нұқта атографида айданған кесим юзаси нұқта жарыннан чылан траекториясы айлан бұлады	+	+

Таянч иборалар	Лугавий маъноси	Ўкув мақсадининг тоифалари		
		билиш	тушуниш	кўллаш
Инерция моменти	Кесим юза билан ўқ орасидаги масофа квадратининг кўпайтмаси	+	+	+
Ўқларга нисбатан инерция моменти	Кесим юзани бирор ўқка нисбатан инерция моменти	+	+	+
Марказдан қочма инерция моменти	Кесим юза билан иккита ўқ орасидаги масофа кўпайтмасининг интеграли	+	+	+
Қутб инерция моменти	Кесим юза билан қутб нуқтаси орасидаги масофа квадратининг кўпайтмаси	+	+	+
Каршилик моменти	Кесим ўлчамларининг боғланиши бўлиб, мустаҳкамликни ифодалайдиган геометрик тавсиф	+	+	+
Бош инерция ўқи	Бош инерция ўқларига нисбатан кесимнинг марказдан қочма инерция моменти нолга тенг	+	+	+
Бош инерция моменти	Бош инерция ўқларига нисбатан кесимнинг инерция моменти	+	+	+
Инерция радиуси	Кесимнинг бирор ўқга нисбатан инерция моментини кесим юзасига нисбати билан топилади	+	+	+

Таянч иборалар	Лугавий маъноси	Ўқув маҳсадининг тоифалари		
		билиш	тушуниш	куллаш
Чузилиш	Ташқи куч таъсирида брус узунлигининг ортиши (узайиши) ва қўндаланг ўлчамининг қисқариши	+	+	+
Сиқилиш	Ташқи куч таъсирида брус узунлигининг қисқариши ва қўндаланг ўлчамининг ортиши	+	+	+
Марказий чузилиш ва сиқилиш	Ташқи куч таъсиридан бруснинг кесим юзасидаги материал заррачалари бир хил масофага кўчади, яъни бруснинг кесим юзаси ўқ бўйлаб чизиқли қисқаради ёки орлади	+	+	
Бўйлама деформация	Ташқи куч таъсиридан брус узунлигини ўқ бўйлаб чизиқли узайишининг нисбий (абсолют) миқдори	+	+	
Кўндаланг деформация	Ташқи куч таъсиридан брус қўндаланг кесим юзасининг ўзгаришини абсолют (нисбий) миқдори	+	+	
Эластиклик модули	Физик константа, материалнинг турига боғлиқ	+	+	
Пуассон коэффициенти	Брус қўндаланг кесим юзасининг қисқаришини тасвифайди	+		
Хусусий оғирлик	Жисмнинг оғирлиги	+		

Таянч иборалар	Лугавий маъноси	Ўқув мақсадининг тоифалари		
		билиш	тушуниш	қўллаш
Тент қаршилик кўрсатувчи бруслар	Узунлиги бўйлаб ўзгарувчан кесим юзалирида нормал кучланиш бир хил қийматга эга	+	+	
Хавфли кесим	Энг катта кучланиш таъсиридан кесим юзада емирилиш содир бўлиши мумкин	+	+	
Мустаҳкамлик шарти	Хавфли кесимдаги емирилишни чеклайдиган математик ифода	+	+	
Рухсат этилган кучланиш	Эластик деформация ва мустаҳкамликни таъминлаш учун бруслар материалыга хос бўлган чекланган кучланиш	+	+	
Температурали кучланиш	Температура (қиздириш) таъсирида ҳосил бўлган кучланиш	+	+	
Температурали деформация	Металларнинг иссиқлиқдан кенгайиши	+	+	
Диаграмма	Куч билан деформация боғланишини координата ўқларида графикавий усулда ифодаланиши	+	+	
Пропорционаллик чегара	Куч билан деформация боғланишининг графикаси тўғри чизик, яъни Гук қонуниятига бўйсунади	+	+	
Эластиклик чегара	Брусларнинг эластиклик хосасида - деформация сўнувчан бўлади	+	+	

Таянч иборалар	Лугавий маъноси	Ўқув мақсадининг тоифалари		
		билиш	тушуниш	қўллаш
Оқувчанлик чегара	Тахминан ўзгармас кучланиш таъсирида бруснинг узайиши тез ўсади	+	+	
Мустаҳкамлик чегара	Энг катта кучга тўғри келувчи кучланиш	+	+	
Маҳаллий узайиш	Брус узайишининг маълум бир оралиқда тўпланиши ёки содир бўлиши	+	+	
Пухталаниш	Бирламчи узайиш эвазига пропорционаллик чегарани ўсиши	+	+	
Абсолют деформация	Бир бирлик узунликка тўғри келувчи узайиш	+	+	
Нисбий деформация	Бир бирлик узунликка тўғри келувчи абсолют узайиш	+	+	
Пластиклик	Брусли чўзилши (сиқилиш) га, этилишга ва ҳ.к.ларга мойиллиги, катта қолдик деформация ҳосил қилиш хусусияти	+	+	
Мурдлик	Материалнинг пластикликка тескари хоссаси	+	+	
Гук қонуни	Куч билан деформация боғланишининг графикаси тўғри чизик қонуниятга бўйсунишини тавсифловчи назария	+	+	

Таяңч иборалар	Лугавий маъноси	Үқув мақсадининг тоифалари		
		билиш	тушункш	қўллаш
Статик ноаниқ масала	Номаълум кучларнинг сони мувозанат тенгламалари сонидан кўп бўлган масала	+	+	+
Статик ноаниқлик даражаси	Статик ноаниқ масала неча маротаба ноаниқ эканлигини ифодалайди	+	+	+
Деформацияларнинг боғланиши	1. Брус таяңч нуқтасининг кўчиши ташқи ва реакция кучлари таъсиридан нолга тенг бўлиши	+	+	+
	2. Бикр қаттиқ жисм воситасида боғланишда бўлган стержениларни деформацияланишида ҳосил бўлган шакларни геометрик боғланиши	+	+	+
Кучланганлик ҳолат	Кубик томонларида ва қия кесим юзаларида кучланнишларнинг хилма-хиллиги ва ўзгаришини таҳлили	+	+	
Чизиқли кучланганлик ҳолати	Чизиқ бўйлаб кубикни кўндаланг ва қия кесим юзаларида кучланнишларни таҳлили	+	+	
Ҳажмий кучланганлик ҳолат	1. Кубикнинг ҳажми бўйича кучланнишларнинг таҳлили	+	+	
	2. Кубикнинг деформацияланишида шакл ёки ҳажм ўзгаришининг таҳлили	+	+	
Бош юза	Уринма кучланнишлар таъсири нолга тенг бўлган юзалар	+	+	

Таянч иборалар	Лугавий маъноси	Ўқув мақсадининг тоифалари		
		билиш	тушуниш	қўллаш
Бош кучланишлар	Бош юзаларга қўйилган кучланишлар	+	+	+
Бош кучланишларниң йўналиши	Чўзувчи ва сиқувчи кучланишлар йўналишини аниқлаш	+	+	+
Мор доираси	1. Кучланишлар доираси	+	+	+
	2. Кўндалант ва хим кесимлардаги кучланишлар ўзгаришини ифодаловчи графикавий усули	+	+	+
Ҳажмий деформация	Кубикни ўзаро перпендикуляр учта қирраларининг бир ва қўда чўзилиш ва сиқилишининг таҳдиди	+	+	
Деформацияни потенциал энергияси	Кубикни деформацияланishiда бажарилган ишни тасифловчи сарфланган энергия	+	+	
Ҳажм ўзгариши	Кубикни деформацияланishiда барча қирраларини бир хил миқдорга узайиши ёки қисқариши, яъни кубик кубикличига қолади	+	+	
Шакл ўзгариши	Кубикнинг деформацияланishiда унинг қирраларининг ўлчамлари бир хил ўзгармайди, кубик параллелограмм шаклини эталлайди	+	+	

Таянч иборалар	Лугавий маъноси	Ўкув маҳсадининг тоифалари		
		билиш	тушуниш	қўллаш
Гук ҳажмий қонуни	Эластик ҳажмий деформацияни тавсифловчи қонуниятнинг математик ифодаси	+	+	
Ҳажмий эластиклик модул	Эластик ҳажмий деформациядаги физик константа	+		
Мустаҳкамлик назария	Конструкциялар мустаҳкамлиги тўғрисидаги турли назарий ва тажрибавий мулоҳаза ва гояяларни мужассамлашган ҳолатини математик ифодаси	+		
Муртемирилиш	Материалларни эластиклик хосасидан ташқарида дарз сўрилиши	+		
Пластик емирилиш	Материалларни эластиклик хосасидан ташқарида қолдиқ деформация ҳосил қилиши	+		
Силжиш	Ташқи куч таъсиридан брусларни юзаларини бирбирига нисбатан кўчиши (ҳаракати)	+		
Абсолют силжиш	Бир бирлик ўлчамга тўгри келувчи силжиш	+		
Нисбий силжиш	Бир-бирлик ўлчамга тўгри келувчи абсолют силжиш	+		
Кирқилиш	Хавфли силжиш кесимида кесилишга қаршилик кўрсатиш қобилияти	+	+	

Таянч иборалар	Лугавий маъноси	Ўкув маҳсадининг тоифалари		
		билиш	тушуниш	қўллаш
Эзилиш	Силжиш төкислигига перпендикуляр юзада материал заррачаларининг кўчиши	+	+	
Силжиш модули	Силжиш деформациясидаги физик константа	+	+	
Бирикма	Иккита жисмни туташтириш юаси ва усули	+	+	
Пайванд бирикма	Иккита элемент материаларини суюқ ҳолатда бириктириш усули	+	+	
Парчин михли бирикма	Иккита элементни парчин мих воситасида бириктириш усули	+	+	
Буралиш	Параллел жойлашган иккита доиравий кесимларни бир ўқ атрофида ва бир-бирига нисбатан айланниши	+	+	
Вал	Айланма ҳаракат ва қувватни узатадиган погонали доиравий кесимли брус	+	+	
Ўқ	Айланувчи гиддираклар билан ҳаракатни узатишда қатнашадиган доиравий кесимли брус	+	+	
Буровчи момент	Ташки айлантирувчи моментларининг алгебравик йигиндисига тенг бўлиб, валнинг кесим юасидаги материал заррачаларини буралишга қаршилик кўрсатувчи кучларининг кесим марказига нисбатан куч моменгларининг тенг таъсир қилувчиси	+	+	

Таянч иборалар	Лугавий маъноси	Ўқув мақсадининг тоифалари		
		билиш	тушуниш	қўллаш
Буралиш бурчаги	Вал кўндаланг кесим юзасини ўқ атрофида айланиш вазиятини (бурчагини) белгилайди	+	+	
Эпюра	Ички куч факторларини бруслинг ўқи бўйлаб ўзгаришини ифодаловчи маълум қонуният асосида курилган графикаси	+	+	
Бикрлик шарти	Брусле деформациясининг чекланган қийматини белгиловчи математик ифода	+	+	
Деплонация	Мажбурий буралиш	+		
Этувчи момент	Балканинг кесим юзасидаги чўзувчи ва сикувчи ички бўйлама кучларни нейтрал ўқса нисбатан куч моментларининг тент таъсир қилувчиси бўлиб, балкани танланган кесим марказига нисбатан бир томонда жойлашган ташки кучларнинг шу кесим марказига нисбатан куч моментларининг алгебравик йигинидиси	+	+	+
Нейтрал қатлам	Балканинг эгилишида қатнашиб чўзилмайдиган ва сиқилмайдиган материал қатлами	+	+	+
Кўчиш	Нуқтанинг ташки куч таъсирида шу куч йўналишида бир чизик бўйлаб кўчиши	+	+	+

Таянч иборалар	Лугавий маъноси	Ўқув маҳсадининг тоифалари		
		билиш	тушуниш	қўллаш
Дифференциал боғланиш	Балка кесимининг айланиш бурчаги билан салқилик орасидаги боғланиш	+	+	+
Дифференциал тенглама	Балка этилган ўқини ташқи куч ва бикрлик билан боғланишининг математик ифодаси	+	+	+
Универсиал формула	Балка иhtiёрий кесимининг айланиш бурчаги ва салқилигини аниқлаш формуласи	+	+	+
Графоаналитик усул	Балка танланган кесимининг айланиш бурчаги ва салқилигини аниқлашни аналитик ва графика усулларини мужассамланган кўриниши	+	+	+
Этилиш маркази	Балка кесимидан ташқарида жойлашган шундай нуқтаки, бу нуқтага мувозанатловчи куч қўйилиб, кесимдаги уринма кучларни кесимнинг оғирлик марказига нисбатан моменти мувозанатланади ва балка кесимининг буралиши чекланади	+	+	+
Ишлар орасидаги боғланиш	Иккита кетма-кет қўйилган кучлар таъсирида бўлган нуқталарнинг шу кучлар йўналишидаги кўчишида бажарилган ишларнинг ўзаро тенглитети	+		
Кўчишлар орасидаги боғланиш	Иккита кетма-кет қўйилган кучлар таъсирида бўлган нуқталаарнинг шу кучлар йўналишидаги кўчишларининг ўзаро тенглитетини ифодалайди	+		

Таянч иборалар	Лугавий маъноси	Ўкув мақсадининг тоифалари		
		билиш	тушуниш	қўлиаш
Мор интегрални	Ташқи ва бирлик кучлар таъсирида бўлган нуқтанинг шу кучлар йўналишидаги кўчишида бажарилган ишларнинг ўзаро тенглитига асосланган тенглама бўлиб, бу тенгламадан балканинг кўчиши ҳисобланади	+	+	+
Верешагин усули	Балка нуқтасининг кўчишини аниқлашда ташқи ва бирлик куч моментлари эпюраларини куриш ва уларни ўзаро кўпайтиришга асосланган усул	+	+	+
Деформацияларни тақдослаш	Нуқтанинг салқилиги ташқи ва таянч кучлари таъсиридаги салқиликларнинг йигинидиси сифатида нолга тенг бўлади	+		
Узлуксиз балка	Таянчлар сони 3 та ва ундан кўп бўлган балкалар	+	+	+
Уч момент теоремаси	Учта номаълум реактив моментларни аниқлаш учун табиқ этилган назария	+	+	+
Статик юаниқ рама	Номаълум реакция кучларининг сони мувозанат тенгламалари сонидан кўп бўлган рама	+	+	+
Куч усули	Номаълум реакция кучларининг бирлик кучлар билан алмаштирилиши	+	+	+

Таңч иборалар	Лугавий маъноси	Ўқув мақсадининг тоифалари		
		билиш	тушуниш	қўллаш
Канюник тенглама	Бирлик кучлар бажарган ишларининг йигиндисини ташки кучни бирлик куч йўналишида бажарган иши билан мувозанатлашуви	+	+	+
Этри стержень	Бўйлама ўқи текис этири чизиқ бўлган стержень	+	+	+
Мураккаб қаршилик	Конструкциянинг иккита ва ундан ортиқ оддий деформациялар таъсирида бўлиши	+	+	+
Кийшиқ эгилиш	Симметрия ўқлари жойлашган текисликлардан ташқарида бруснинг эгилиши	+	+	+
Марказлашмаган сикилиш	Бруснинг сикилиш билан эгилиш деформацияларининг биргаликдаги таъсирида бўлиши	+	+	+
Буралиш ва эгилиш	Валнинг кесим юзасида буровчи ва эгувчи моментларининг ҳосил бўлиши, яъни вални буралиш билан этилиш деформацияларининг биргаликдаги таъсирида бўлиши	+	+	+
Келтирилган момент	Турли мустаҳкамлик назариялари асосида ҳисобланган буровчи ва эгувчи моментларининг йигиндиси	+	+	+

Таянгы изборатар	Лугавий маъноси	Үкүв мақсадларига тонфоларни			
		билиш	тушуниш	култрапаш	
Ноуствуорлик	Сиңүвчи куч тасиррида сөрженинг түри чизикти шактани сактаб кюл олмаспаги	+	+	+	+
Критик күч	Сөржин устуворлитининг йўқолишинга сабаб бўлувчи күч	+	+	+	+
Этапдувчаник	Турли узунлик ва улчамдаги сөржинтарни тўғри чизикли плаклини эзвартириш хусусиятини информаловчи константа	+	+	+	+
Динамик күч	Бир-бирлик вакт оралитида қийматини язувчиларни ўзгартирувчи күч	+	+	+	+
Динамик	Динамик күч тасиридаги бруснинг шакл ёки улчамтариниң ўзгариши	+	+	+	+
Леформация	Майдум бозандилашдан тушган юқинт жисми тасирни	+	+	+	+
Зарб тасири	Зарб тасиррида материал хосса ярики ўрланниш	+	+	+	+
Зарбла симаш	Зарб тасиррида қиймати ва ишорасини ўзgartирадиган кучланиш	+	+	+	+
Ўзгаравчан	Ўзгаравчан кучланиши тасирида материални дарз сирлиши	+	+	+	+
Материалларнинг толикиши	Материалларнинг толикишини чектайдиган четара	+	+	+	+
Чидамалийлик					
Чегара					

ҮҚУВ ВА УСЛУБИЙ (технологик) КАРТА

T/p	Мавзудар номи	Фойдалана-нилаған ЎТВ ва услубий құлланмалар	Үқув дарси ва назорат тури	Таянч иборалар ва билимни үзланыптириш даражасы (билиш, тушуниш ва құллаш)
1	Фанинг вазифалари. Күч турлары. Кесиш методи. Күчланиш ва деформация. Фанда қабул қыллинган гепотезалар	П-10-01 П-102 Д-1 ТС	M, T	Материал, қаршилик, мустақамлик, бикрлик, устуровлик, күч, тұпланма күч, тарқалған күч, статик күч, динамик күч, кесиш методи, күчланиш, контактты күчланиш; күчлаништар концентрациясы, қатиқлик; деформация, оддий деформация; мұраккаб деформация; эластик деформация, пластик деформация; күчиш; брус, стержень, балка, рама, қобік, конструкция; иншоот — (билиш, тушуниш)
2	Текис юзаларының геометрик тасвірлары. Статик ва инерция моментлари. Параллел үқіларга нисбатан инерция моментлари. Оддий кесиш юзаларының инерция моментлари. Координата үқіларини айлантирганда инерция моментларының үзгариши. Баш инерция үқілары ва баш инерция моментлари. Қаршилик моментлар түшунчаси.	ТС	M, МЕ Т ХГИ	Геометрик тасвиф, статик момент, оғирлик марказы, инерция моменттері, күтб инерция моменттері, марказдан қочма инерция моменттері, баш инерция үқі, баш инерция моменттері қаршилик моменттері, инерция радиусы (билиш, тушуниш ва құллаш)

3	Чүзгалин за сиқидан. Күспалыни за ж-форчаны. Гүк көнүн. Эластичек молуны. Мұстағаматтың шарты. Кесірени гаюаш. Хүсусий отярткы таъсарда чүзгалин жә сиқидан. Гендер қарыншыл күргазтуши борустар Гемпиратта пайдалана. Саптағаны за ж-форчаны. Саптағаны за ж-форчаны. Магриппи тирин лосатарни та жерде таралып үттеги. Юмшок, шүлгети чүзгалин за сиқидан да дағдармаларды. Түрк жәншардан дағдармаларды. Пластилини за жүртке. Рұксат этилди күшнің инициалы. Деформациянын пойнанын эн-териес	II-19-03 II-19-13 II-19-04 II-19-05. II-19-06 II-19-07 II-19-08 II-19-09 II-19-11 II-19-13	M. МЕ ТМ Т ХП	Марданай чүзгалин за сиқидан; чүзгалин; сиқидан; бүрлана күд; абсолютт үзайш; мисбай узайш; Гүк көнүн; эластичек молуны, бүйделесі деформация күндәни ні деформация; Гумасон жо эфиресеңи; дистракция; пролорционалык тәсіра, эластичек тәсіра, шұталашын; жүртке, кесірениниң күстірмеші, Гендер қарыншыл жүртке түрді; жорыктай күштіңиң, жорыктай деформация шарт, жестің қамтых шарт, рұксат этилди күшнің, эн-териес көзіндеңіст, стапік жаңын; жасалы; саптағаны за ж-форчаны (белиш, түшүннен за күштіңи)
---	---	---	---------------------------	--

4	Күчтәнгәнлик ҳолатлары. Чизиқлы ва төкис күчтәнгәнлик ҳолатлары. Баш қозалар ва баш күчтәнишлар. Күчтәнишлар доирасы. Ҳажмий күчтәнгәнлик ҳолаты. Ҳажмий деформация. Гүк қонуны. Эластик деформацияның эң ретиясі	П-19-14 П-19-14 П-19-14 ТС	М МЕ ХГИ Т	Чизиқлы күчтәниш қолаты; қия кесимнинт нор мал күчтәниши; тұлға күчтәниш; қия кесимни уринма күчтәниш; уринма күчтәнишларны жуфтілік аломағы; баш қоза; баш нормал күчтәниш; төкис күчтәниш; Мор доирасы; ҳажмий күчтәнгәнлик; Гүкнинг ҳажмий қонуны; ҳажм үзгариши; шакл үзгариши. (билиш, тушуниш)
5	Мустаҳкамлық назариялары. Мұрт ва пластик смирилиш. Классик ва янги мустаҳкамлық назариялары.	П-19-21 П-19-22	М Т	Әнд катта баш нормал күчтәнишлар; әнд катта нисебіл деформация; әнд катта уринма күчтәниш; энсертептік назария; Мор назариясы; мұрт смирилиш; пластик смирилиш; хавфлік ҳолат; чеңтараңыз қыбытат; хавфлілік даражаса (билиш, тушуниш)
6	Силжини. Гүк қонуны. Күчтәниш. Деформацияның потенциал эң ретиясі. Парчин мөдүлік ва пайтанд бирикмаларның ҳисоблаш	Д-2 ТС	М МЕ Т МТ	Соф силжини; силжини модули; абсолют силжини; нисебіл силжини; білдірім; қарқындаш; эзилиш; заифлаштан қоза (билиш, тушуниш)
7	Буралиш. Буровчи моменттерін анықташ. Доиралық кесимнің стерженде күчтәништерін анықлаш. Мустаҳкамлық ва бикрілік шарттар. Винтсізмөн пружиналық ҳисоблаш. Статик тоанық масалалар.	П-19-15 П-19-16 ТС	М МЕ ТМ Т ХГИ	Тасма, шкив, тарандылыш күчи, буровчи момент; буралиш бурчалы; күват; айланышлар сонғы; бикрілік шарттар; вал; ўқ (билиш, тушуниш ва күйделеш)

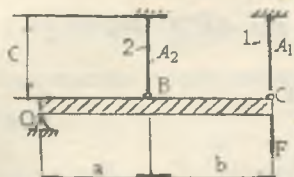
8	Этапы. Ичкә күч фокусорудан аныктас. Этүбүн мөмент, таңың, таңың күчүү, күпталып күч жайткыны сиқыттай; майрамдаттама чүнчөлөс; нажиүүл күрткүм, раллонол жесис; руслар этилган юз тенди күршилдүк күрткүч бағыт; этилган жаралы (бийлиш, тунумин за күдәмш)	II-19-18 Д-3 II-19-20 Д-3 II-19-19 ТС	М МБ ТМ Т ХИ	Күпталып күч, түркий мөмент, таңың, таңың күчүү, майрамдаттама чүнчөлөс; нажиүүл күрткүм, раллонол жесис; руслар этилган юз тенди күршилдүк күрткүч бағыт; этилган жаралы (бийлиш, тунумин за күдәмш)
	Этапынан күйнүнни аныктасиши. Элестик чынсында дифференцинал болтушас. Болтушынча рагжидар устуны. Күйнүнни аныктасын графоаналитик устуны. Деформацияннан позициянан зерттесиши. Ишшар орасындағы болтуштар жөрөсі, күйнүндер орасындағы болтуштар жөрөсі. Мор интеграты. Вегетатив фокусоруда. Олай статик изолашын мәселе. Уч мөменттердең салттык изолашын мәселе.	TC	М МБ ТМ Т ХИ	Салттык изолашын айланыш бурчакы, таңың дифференциал тенденция; ушакарлук формуласы; Мор интеграты; Вегетатив устуны; графоаналитик устуң бирлек күч жиһиздер орасындағы болтуш; күйнүндер орасындағы болтуш; уч мөменттер негизесе, күч устуны, каноникал тенденция; узлуксуз балды; бирлек күч жиһиздер орасындағы (бийлиш, тунумин за күдәмш)

9	Эти споры на Куданыш за жформаций Найрал ўк тнламас.	ТС	M. T	Эти споры на Куданыш за жформаций Найрал ўк тнламас.
10	Мурасаб қаршылар. Бурадан болжан этилтиң бәралыстар гасыры. Қадаш жолиши. Марказай булмаган кулданыш вәсделешин. Куданыш за жайрал ўк тнламас.	Д-Э	M. ME T ХТИ	Мурасаб қаршылар, келдірілған мөмент, қийілік эмдеш; мерзілташтан сілдейлиш; жемік астроқ; бүйнама за күндалынг этелден (билиш, тұшупш за күндалы)
11	Хетуорлық. Қритик күннік антикаш. Эйлер формулесі. Қритик күннік. Эйлер формуласынан шындылың шартар- сны анықтей. Успорынк шарты. Бүйнек за күндалынг жолиши.	II-19-24 I-3 II-19-25 II-19-26 TC	M. ME T ХТИ	Қритик күннік, хритик күннік, сілуюнда, поступовой, этилтиң, успорынк шарты; муса хроматика рұсат этилан күннік нішни камандарын коэффициент, пілародынша устуны (билиш, тұшупш за күндалы)
12	Динамик күннік. Текис жола- ношыл айдана за побранна хәракаларда деген мін күч- леніштер. Зарб тастыры. Зарб- нин хүснүй ҳолдері. Зарба сияны.	TC	M. ME T	Инжирдік күннік, динамик күннік ніш; стапик күннік- ніш, динамик коэффициент, динамик жфор- мация, лебралиш амплитудасы, зарб тасыры; зарба сияны (билиш, тұшупш)

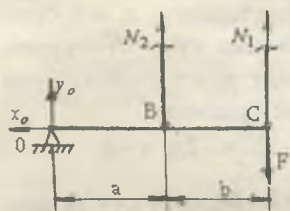
13	Үзгарувчан күчланишлар. Материалларнинг толиқиши. Үзгарувчан күчланишилар цикл турлари. Толиқиши диграммаси. Носимост трик циклни рла толиқиц чагарасини аниқлаш. Үзгарувчан күчланишларда мустаҳвалик ҳисоблаш.	TC	M ME T	Үзгарувчан күчланиш; толиқиши, лар ёрилиши; үзгарувчан күчланиши амалитудаси; үзгарувчан күчланиши даври; үзгарувчан күчланиши турлари; симметрик үзгарувчан күчланиши; носимост трик үзгарувчан күчланиши; пульсациялык күчланиши; чидамбилик чагара; материалларни күчланиши-ларга сезгирлигги (билиш, түшүнүш)
14	Материалы Гук қонунига бейісіндейділген материаллар күчланиши		M T	(билиш)
15	Янги материалтар. Күчланиши ва деформацияни аниқлашынг янги усуллары		M T	Тензоретрия усул; лак қоплама; Муар полосасы (билиш)

ЭСЛАТМА: 1. Үқув дарснинг тури - **M** — маъруза; **ME** — масала ечиш; **TM** — тажриба машгулоти
 2. Назорат тури - **T** — тест синовлари; **ХГИ** — ҳисоблаш график ишлари
 3. Фойдаланиладиган үқитиш техник воситалари ва услубий қўлланмалар:
П — плакат; **Д** — диафильм; **TC** — таянч сигналлари

Мор интеграли табиқ этиладиган масалалар



1-расм.



2-расм.

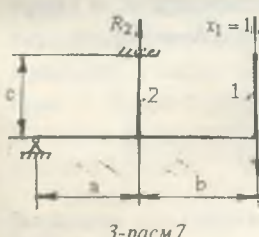
Чўзилиш ва сиқилиш: 1-масала. Берилган ОС бикр брус О нуқтада кўзгалмас шарнирли таянчга тиради ва 1 ва 2-стерженларга осилган. Стерженлардаги кучланишлар ва уларга қўйилган кучнинг рухсат этилган қиймати топилсин. Стерженларнинг материали пўлат.

Ечиш. Конструкцияни барча ўлчамлари, реакция ва ички кучлари кўрсатилган ҳисоблаш схемасини чизамиз (2-расм). Масаланинг шартига кўра N_1 ва N_2 ички кучлар ёрдамида F кучни рухсат этилган қиймати топилиши керак. N_1 ва N_2 кучларни аниқлашда шарнирдаги x_0 ва y_0 реакция кучларини топиш шарт эмас.

Шунинг учун учта мувозанат тенгламасидан биттасини: $\sum M_o = 0$

$$\sum M_o = -N_2 \cdot 1 - N_1 \cdot 2 + F \cdot 2 = 0$$

Ҳосил бўлган тенгламада номаълумлар сони мувозанат тенгламасидан ортиқча. Демак, масала статик ноаник, N_1 ва N_2 кучларни топиш учун масалани аниқмаслик дарражасини очиш керак. Бунинг учун куч усулидан фойдаланамиз.



3-расм

Куч усули — системани аниқмаслик даражасини очишнинг умумий усули бўлиб, қуйидаги тартибда амалга оширилади:

1) асосий системани танлаш — статик ноаник системадаги битта ортиқча боғланишнинг таъсирини $x_1 = 1$ бирлик куч таъсири билан алмаштиришдир.

Системани каноник тенгламасини тузамиз. Каноник тенгламаларнинг сони системадаги йўқотилган ортиқча боғланишлар сонига тенг бўлади. $\delta_{11}X_1 + \Delta_{1F} = 0$

Каноник тенгламадаги δ_{11} ва Δ_{1F} кўчишларни Мор интеграли ёрдамида топамиз:

$$\delta = \sum \int \frac{N \cdot \bar{N} dx}{AE}$$

$\delta_{11} = \int \frac{\bar{N} \cdot \bar{N} dx}{2AE}$ – биринчи стерженни $x_1 = 1$ бирлик кучи таъсиридан шу куч йўналишидаги кўчиши.

N – биринчи ва иккинчи стерженлардаги $x_1 = 1$ бирлик кучидан ҳосил бўлган ички бўйлама куч. \bar{N} – кучни аниқлаш учун, асосий системани фақат $x_1 = 1$ бирлик кучи таъсиридан мувозанат тенгламасини тузамиз.

$$\sum M_o = -R_2 \cdot 1 - x_1 \cdot 2 = 0, \text{ бу ерда } R_2 = -2x_1 = -2$$

R_2 – иккинчи стержендаги $x_1 = 1$ бирлик куч таъсиридан ҳосил бўлган бўйлама куч.

Унда:

$$\delta_{11} = \frac{\bar{R}_2 \cdot \bar{R}_2 \cdot \ell_2}{A_2 E} + \frac{x_1 \cdot x_1 \cdot \ell_1}{A_1 E} = \frac{(-2)(-2) \cdot 1}{AE} + \frac{1}{2AE} = 1,125 \cdot 10^{-4} M$$

$\Delta_{1F} = \int \frac{N \cdot \bar{N} dx}{AE}$ – биринчи стерженни ташки F куч таъсиридан $x_1 = 1$ бирлик куч йўналишидаги кўчиши.

Бу ерда N – биринчи ва иккинчи стерженлардаги F куч таъсиридан ҳосил бўлган бўйлама куч.

N – кучни топиш учун системани фақат F куч таъсиридан мувозанат тенгламасини тузамиз.

\bar{N} – биринчи ва иккинчи стерженлардаги $x_1 = 1$ бирлик кучидан ҳосил бўлган бўйлама кучи ($\bar{N} = -2$).

$$\sum M_o = -R_2 \cdot 1 + 2F = 0 \text{ ва } R_2 = 2F$$

$$\text{Унда: } \Delta_{1F} = \frac{R_2 \cdot \bar{N} \cdot \ell_2}{A_2 E} = \frac{2F(-2) \cdot 1}{2 \cdot 10^{-4} \cdot 2 \cdot 10^8} = -F \cdot 10^{-4}$$

δ_{11} ва Δ_{1F} кўчишларни каноник тенгламага келтириб қўямиз.

$$1,125 \cdot 10^{-4} \cdot x_1 - F \cdot 10^{-4} = 0 \quad \text{ва} \quad x_1 = \frac{F}{1,125} kH$$

Шундай қилиб, $N_1 = x_1 = \frac{F}{1,125} kH$ кучни мувозанат системани тенгламасига келтириб қўйиб N_2 кучни топамиз.

$$-N_2 \cdot 1 - 2 \frac{F}{1,125} + 2F = 0 \quad \text{ёки} \quad N_2 \cdot 1 - 2 \frac{F}{1,125} + 2F = 0$$

$$\text{ва} \quad N_2 = \frac{0,25F}{1,125}$$

Стерженларни мустаҳкамлик шартидан фойдаланиб рухсат этилган кучни топамиз:

$$\sigma^I = \frac{N_1}{2A} = \frac{F}{2,25A} = \frac{F}{4,5 \cdot 10^{-4}} \leq [\sigma]$$

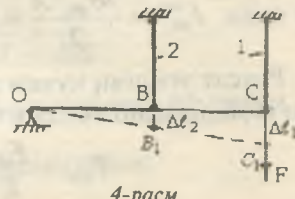
Бу ерда: $F_{p_{yx}} = 4,5 \cdot 10^{-4} \cdot 160 \cdot 10^3 = 72kH$;

$$\sigma^{II} = \frac{N_2}{A} = \frac{0,25 \cdot F}{2,25 \cdot 10^{-4}} \leq [\sigma]$$

Бу ерда:
 $F_{p_{yx}} = \frac{2,25 \cdot 10^{-4} \cdot 160 \cdot 10^3}{0,25} = 144kH$, $F_{p_{yx}} = 72kH$ кучни қабул қиласиз.

Статик ноаниқликтин очишни — системани деформация тенгламасини тузиш усули. Қўшимча — деформация тенгламани тузиш учун системанинг деформациясини ўрганамиз. F куч таъсирида биринчи ва иккинчи стерженларда N_1 ва N_2 бўйлама кучлар ҳосил бўлади. N_1 ва N_2 кучлар таъсирида биринчи стержень $\Delta\ell_1$ ва иккинчи стержень $\Delta\ell_2$ миқдорга узаяди. Натижада ОВС бруслари О нуқта атрофида айланади. В нуқта B_1 ҳолатга ва С нуқта C_1 ҳолатга кўчади.

Схемада $\Delta OBB_1 \approx \Delta OCC_1$ ҳосил бўлади. Унда: $\frac{BB_1}{OB} = \frac{CC_1}{OC}$



$$\text{Бу ерда: } BB_1 = \Delta\ell_2 = \frac{N_2\ell_2}{E_2A_2}; \quad OB = 1\text{м}; \quad CC_1 = \Delta\ell_1 = \frac{N_1\ell_1}{E_1A_1}$$

ва $OC = 2\text{м}$

$$\frac{N_2\ell_2}{E_2A_2} = \frac{N_1\ell_1}{2 \cdot E_1A_1} \quad \text{ва} \quad \frac{N_2 \cdot 1}{EA} = \frac{N_1 \cdot 1}{2E2A}, \quad \text{бу ерда: } N_2 = \frac{N_1}{4}$$

Системани деформациясини ўрганиш натижасида $N_2 = N_1 \frac{1}{4}$ тенгламани ҳосил қылдик. Бу тенгликни системани мувозанат тенгламаси билан биргаликда ечиб N_1 , ва N_2 күчларни топамиз:

$$-N_2 - 2N_1 + 2F = 0 \quad \text{ва} \quad -\frac{N_1}{4} - 2N_1 + 2F = 0. \quad \text{Унда } N_1 = \frac{8F}{9}$$

Стерженлардаги бўйлама кучлар ҳар хил бўлса ҳам улардаги кучланишлар бир хил ва ўзаро тенг: $\sigma' = \sigma = 0,2 \cdot 10^4 F$.

Стерженлардаги қўйилиши мумкин бўлган чекли юк $F_{\text{чек}}$ таъсирида энг аввал иккинчи стерженда оқувчанлик чегараси бошланади (пластик деформация ҳосил бўлади). Унда иккинчи стержендаги бўйлама куч $N_2 = \sigma_{ok} \cdot 2A$ га тенг бўлади.

Конструкцияни тўлиқ юк кўтариш қобилияти йўқолиши учун биринчи стерженда ҳам оқувчанлик чегараси бошланиши ёки пластик деформация ҳосил бўлиши керак. Унда биринчи стержендаги бўйлама куч $N_1 = \sigma_{ok} \cdot A$ га тенг бўлади. Чекли юк $F_{\text{чек}}$ ни топиш учун $\sum M_0 = 0$ мувозанат тенгламасидан фойдаланамиз:

$$\sum M_0 = -N_1 \cdot 1 - N_2 \cdot 2 + 2F_{ok} = 0$$

$$\text{Бу ерда: } F_{ok} = \frac{5\sigma_{ok} \cdot A}{2} = \frac{5 \cdot 240 \cdot 10^3 \cdot 2 \cdot 10^{-4}}{2} = 120 \text{kH}$$

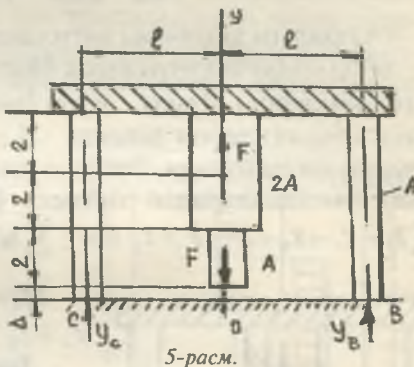
Рухсат этилган кучни эҳтиётлик коэффициенти $K = 1,5$ дан фойдаланиб топамиз:

$$F_{\text{пр}} = \frac{F_{ok}}{K} = \frac{120}{1,5} \approx 80,0 \text{kH}$$

Демак, системани мустақаммик шарти ва чекли күчләнниши бүйича рухсат этилган күчләри бир хил экан.

2 - масала.

Құзғалмас таянчга тирадувчи иккита стерженларга үрнатылған брусынинг ўртасига погонали стержень осилған. Четки стерженларни күндаланг кесим юзаси $A = 20 \cdot 10^{-4} \text{ m}^2$; погонали брус құзғалмас таянчга $\Delta = 3 \cdot 10^{-5} \text{ m}$ масофа етишмайды. Погонали стерженнинг хусусий оғирлигини ҳисобға олмасдан, F күчни қийматида Δ – зазор ёпилиши топилсін. Берилған F күч таъсиридан погонали стерженни пастки асосида ва үрта погонали стержень учун бүйлама күч зрюаси қурилсін. Берилған F күч таъсиридан погонали стерженни пастки асосида ҳосил бүлған реакция нолға тенг бўлиши учун ўртача погонали стерженни неча градусга совутилиши аниқлансан.



5-расм.

$$\text{Берилған } E = 2 \cdot 10^8 \frac{kH}{m^2}, \quad F = 19kH$$

Ечиш: С ва В нүқталардаги реакция күчләрини топамиз:

$$\sum Y = Y_A - F + F + Y_B = 0; \quad \sum M_c = Fl - Fl - Y_B \cdot 2l = 0$$

Иккита тенгламадан $Y_A = Y_B = 0$ ҳосил бўлади. Четки стерженлар деформацияяга учрамайды. Δ – зазор фақат погонали стерженнинг деформацияси натижасида ёпилади. Δ – зазор ёпилиш шартидан фойдаланиб F күчни топамиз:

$$\Delta = \frac{-F \cdot 2}{E2A} + \frac{F \cdot 4}{E2A} + \frac{F \cdot 2}{EA} = \frac{F}{EA}$$

Бу ерда: $\frac{-F \cdot 2}{E2A}$ – погонали стерженни юқорига йўналган F күч таъсиридан ҳосил бўлған деформацияси.

$\frac{F \cdot 4}{E2A} + \frac{F \cdot 2}{E2A}$ – поғонали стерженни пастга йұналған F күч таъсиридан ҳосил бўлған деформацияси.

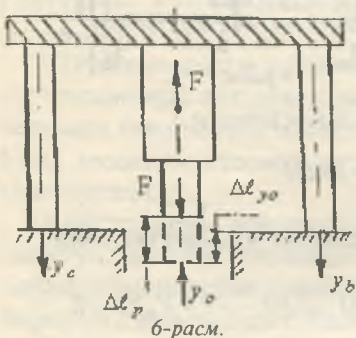
$$\text{Үнда } F = \Delta EA = 3 \cdot 10^{-5} \cdot 2 \cdot 10^8 \cdot 20 \cdot 10^{-4} = 12 \text{ кН}$$

Агар, F күчлар бир томонга, масалан, пастга йұналса С ва В нүқталардаги реакциялар $Y_c = Y_b = F$ бўлади. F күчни қўйидаги тенгламадан топамиш:

$$\Delta = \frac{F \cdot 2}{E2A} + \frac{F \cdot 4}{E2A} + \frac{F \cdot 2}{EA} = \frac{5F}{EA}$$

Юқоридаги ҳисоблаш натижасига кўра берилған F күч Δ – зазор ёпилиши учун керак бўлған F күчдан катта эканлиги аниқланди. Демак, зазор ёпилади, натижада ўрта ва четки стерженларни асосида Y_c , Y_0 ва Y_b – реакция күчлари ҳосил бўлади. Реакция күчларни системани мувозанат тенгламаларидан топамиш (6-расм).

$$\sum Y = Y_c - Y_0 + F - F + Y_b = 0; \quad \sum M_c = F\ell - F\ell + Y_0\ell - Y_b 2\ell = 0$$



Мувозанат тенгламаларидан $Y_c = Y_b = \frac{Y_0}{2}$ ни ҳосил қиласмиш.

Демак, мувозанат шартларидан реакция күчларини топиш мумкин эмас. Масала статик ноаниқ.

I. Статик ноаниқликни очишни – системани деформация тенгламасини тузиш усули.

Поғонали стерженни берилған F күч таъсиридаги деформациясидан поғонали стерженларни Y_0 – реакция таъсиридаги деформацияси – айирмасини Δ – зазорга тенглаштирамиз (6-расм), яъни

$$\Delta \ell_H - \Delta \ell_{y_0} = \Delta$$

$$\text{Бу ерда: } \Delta \ell_H = -\frac{F \cdot 2}{EA} + \frac{F \cdot 4}{E2A} + \frac{F \cdot 2}{EA} = \frac{3F}{EA} \text{ ва}$$

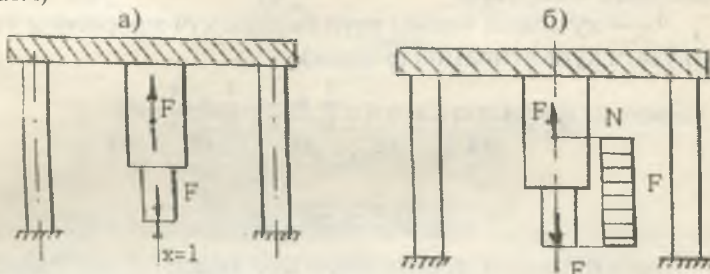
$$\Delta \ell_{y_0} = \frac{Y_0 \cdot 2}{EA} + \frac{Y_0 \cdot 4}{E2A} + \frac{Y_0 \cdot 6}{EA} = \frac{7Y_0}{EA}$$

$$\text{Үнда: } \frac{3F}{EA} - \frac{7Y_0}{EA} = \Delta \text{ тенгламадан } Y_0 = \frac{3F - \Delta EA}{7} = 6,43 \text{ кН}$$

$$Y_c = Y_b = \frac{Y_0}{2} = \frac{6,43}{2} = 3,215 \text{ кН}$$

II. Статик ноаниқликни очиши — күч усули

Асосий системаның қосыл қилиш учун статик ноаниқ системасидан ортиқча бөгләнишни йүқтәмиз (7-а расм). Берилған схемада О кесимни таянчдан озод этиб, таянч таъсирини $X=1$ бирлік күч таъсири билан алмаштирамиз. Асосий система — учун берилған күч ва бирлік күчлар таъсиридан бүйлама күч әпюраларини құрамиз (7-б расм)



7-расм.

Агар, F күчлар бир томонға — пасттаға йұналса, бүйлама күч әпюраси № четки стерженларда ҳам қурилади (7-б расм), чунки пасттаға йұналған F күчлар четки стерженларни сиқади. Натижада четки стерженларда ҳам ички зүри-қиши күчлари қосыл бўлади.

Каноник тенгламани тузамиз: $\delta_{11}x_1 + \Delta_{1H} = -\Delta$

Каноник тенгламанинг ўнг томонига зазор Δ — кири-тилди, чунки поғонали брусни пастки кесимидағи күчиш нолга тенг эмас, балки зазор Δ — га тенг.

Каноник тенгламада Δ — зазорни олдинги томонига ми-нус ишора қўйилди, $X_1=1$ күчни йұналиши поғонали стер-женнни пастки қисми кўчишининг йұналишига тескари.

δ_H ва Δ_{HF} кўчишларини топишда Верещагин усулидан фойдаланамиз:

$$\delta = \sum \frac{\omega \cdot y}{AE}$$

Бу ерда: ω – бўйлама куч эпюрасининг юзаси;

y – бўйлама куч эпюрасининг юзаси;
 ω – ни оғирлик марказига тўғри келувчи, бирлик куч эпюрасининг ординатаси;

AE – стерженинн ўрганилаётган участкасининг бикрлиги;

δ_H – кўчишни топиш учун бирлик куч эпюрасини ўзини ўзига кўпайтирамиз (8-расм).

$$\delta_H = \frac{1 \cdot 2 \cdot 1}{AE} + \frac{1 \cdot 4 \cdot 1}{2AE} + \frac{\frac{1}{2} \cdot 6 \cdot \frac{1}{2}}{AE} + \frac{\frac{1}{2} \cdot 6 \cdot \frac{1}{2}}{AE} = \frac{7}{AE}$$

$$\delta_H = \frac{7}{20 \cdot 10^4 \cdot 2 \cdot 10^8} = \frac{7}{40} \cdot 10^{-4} \text{ м}$$

Δ_{IF} – кўчишни топиш учун куч юзаси ω ни бирлик куч эпюрасига кўпайтирамиз:

$$\Delta_{IF} = \frac{F \cdot 2(-1)}{AE} + \frac{F \cdot 2(-1)}{2AE} = -\frac{3F}{AE} = -\frac{3 \cdot 19}{20 \cdot 10^4 \cdot 2 \cdot 10^8} = -\frac{57}{40} \cdot 10^{-4} \text{ м}$$

Топилган δ_H ва Δ_{IF} – кўчишларни қийматларини каноник тенгламага келтириб қўямиз:

$$\frac{7}{40} \cdot 10^{-4} \cdot x - \frac{57}{40} \cdot 10^{-4} = -3 \cdot 10^{-5}$$

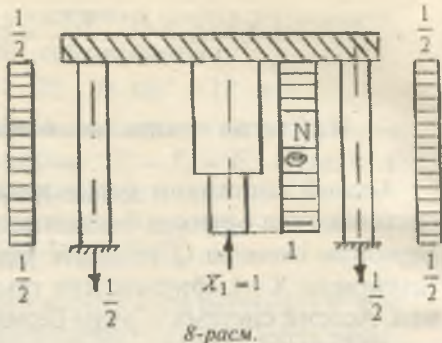
Бу ерда: $x = 6,43kH$; демак, $x = y_o = 6,43kH$

$$\text{ва } y_c = y_B = \frac{y_o}{2} = \frac{6,43}{2} = 3,215kH$$

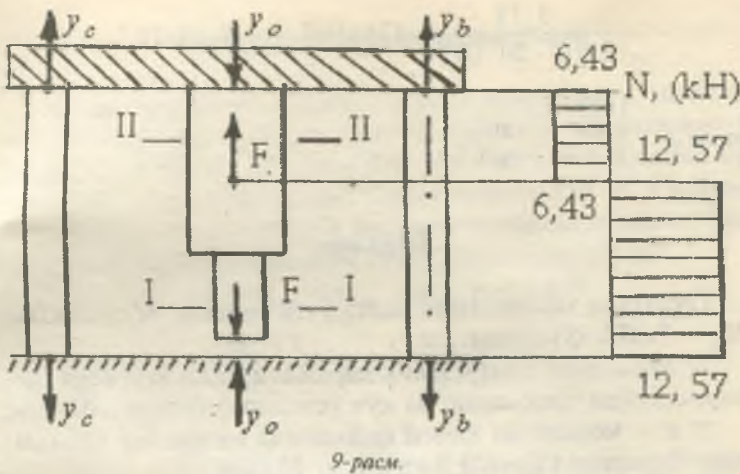
Погонали стержендаги бўйлама кучни топамиз:

$$\text{I--I участка } N_1 = F - y_o = 19 - 6,43 = 12,57kH \text{ (чўзувчи)}$$

$$\text{II--II участка } N_2 = F - F - y_o = -6,43kH \text{ (сикувчи)}$$



8-расм.



Четки стерженлардаги күчланишларни топамиз.

$$\sigma = \frac{y_c}{A} = \frac{3,215}{20 \cdot 10^{-4}} = 0,16075 \cdot 10^4 \frac{kH}{m^2}$$

Үрта поғонали стерженни қанча даражага совутилганда пастки О кесимдеги реакция күчи y_0 берилған F күчи таъсирида нолға тенг бўлади.

$$\Delta\ell_F - \Delta\ell_t = \Delta \quad \text{ёки} \quad \frac{3F}{EA} - \alpha \cdot \Delta t \cdot \ell = \Delta$$

Бу ерда $\Delta\ell_F = \frac{3F}{EA}$ – поғонали стерженни F күчлари таъсиридан деформацияси;

$\Delta\ell_t = \alpha \cdot \Delta t \cdot \ell$ – поғонали стерженни температура таъсиридан деформацияси;

α – стержень материалини температура таъсиридан чизиқли кенгайиш коэффициенти;

Δt – температураалар фарқи;

$\ell = 6m$; поғонали стерженнинг узунлиги.

Погонали стержень совутилса – қисқаради (сиқилади). Шунинг учун формулада $\Delta\ell$ – деформация минус ишора билан ёзилған:

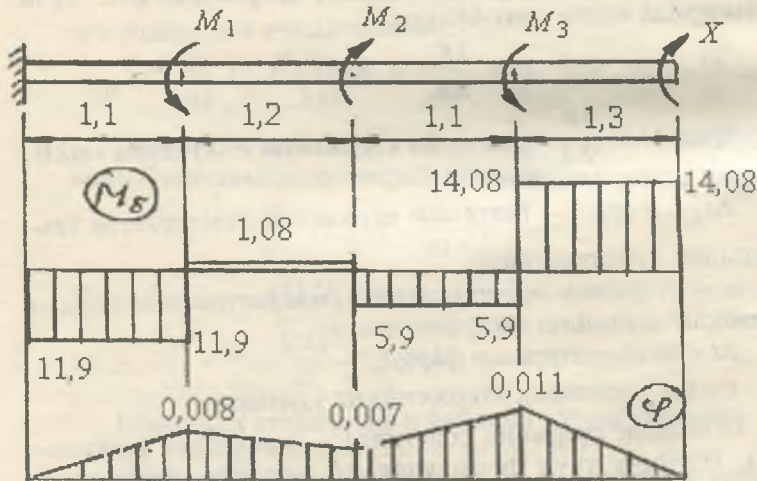
$$\frac{3 \cdot 19}{2 \cdot 10^8 \cdot 20 \cdot 10^{-4}} - 125 \cdot 10^{-7} \cdot \Delta t \cdot 6 = 3 \cdot 10^{-5}$$

$$\text{ва } \Delta t = \left(\frac{\frac{570}{40} - 3}{7,5} \right) \cdot \frac{10^{-5}}{10^{-5}} = 1,5^0$$

Буралиш

Пұлатдан тайёрланған валга учта момент $M_1 = 13 \text{ кНм}$; $M_2 = 7 \text{ кНм}$ қўйилган:

- 1) Масалани аниқмаслик даражаси икки хил усул (деформацияни таққослаш ва күч усуллари) билан очилсин;
- 2) x — моментни қайси қийматида вални ўнг кесимиңинг буралиш бурчаги нолга тенг бўлади;
- 3) x — моментни топилган қийматида буровчи моментни эпюраси қурилсин;
- 4) вал материалыни буралишга мустаҳкамлик шартидан фойдаланиб, вални диаметрини танланг ($[\tau] = 50 \text{ МПа}$);
- 5) буралиш бурчаги эпюраси қурилсин.



10-расм.

Деформацияни таққослаш усули

Ечиш. Масаланы шартига асосан номаълум x моментни қиймати шундай танланиши керакки, К кесимни О кесимга нисбатан буралиш бурчаги нолга тенг бўлсин. Бунинг учун валга қўйилган барча моментлар ва x момент таъсиридан К кесимни О кесимга нисбатан буралиш бурчагларининг йигиндинисин нолга тенглаштирамиз:

$$\varphi_k = \varphi_{km_1} + \varphi_{km_2} + \varphi_{km_3} + \varphi_{kx} = 0$$

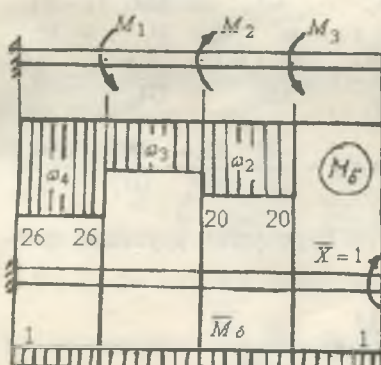
$$\text{Бу ерда: } \varphi_{km_1} = \frac{-M_1 \cdot 1,1}{GI_p}, \quad \varphi_{km_2} = \frac{M_2 \cdot 2,3}{GI_p}$$

$$\varphi_{km_3} = \frac{-M_3 \cdot 3,4}{GI_p}; \quad \varphi_{kx} = \frac{x \cdot 4,7}{GI_p} \quad \text{Унда:}$$

$$\frac{-M_1 \cdot 1,1}{GI_p} + \frac{M_2 \cdot 2,3}{GI_p} - \frac{M_3 \cdot 3,4}{GI_p} + \frac{x \cdot 4,7}{GI_p} = 0 \quad \text{ва } x = 14,085 kNm$$

Статик аниқмасликни очишни куч усули

Валдан ортиқча боғланишни ташлаб юборамиз ва асосий системани ҳосил қиласмиз. Вални ортиқча боғланиши деб, К — кесимни буралишига ҳақиқий бераётган x моментни қабул қиласмиз.



II-расм.

Масалани шартига асосан К кесимни буралиш бурчаги нолга тенг бўлиши керак. Ана шу шартни каноник тенглама кўрининшида ёзамиз:

$$\delta_{II} x + \Delta_{IM} = 0.$$

Асосий системада ташки моментлардан буровчи моментни аниқлаймиз ва эпюрасини қурамиз (11-расм).

I—I участок $M_{I\delta} = 0$

II-II участка $M_{2\delta} = -M_3 = -20kNm$

III-III участка $M_{3\delta} = -M_3 + M_2 = -20 + 7 = -13kNm$

IV-IV участка $M_{4\delta} = -M_3 + M_2 - M_1 = -26kNm$

Вални узунлиги бүйлаб $x = 1$ бирлик күч таъсиридан ҳосил бўлган $\bar{M}_\delta = 1$ бирлик момент эпюрасини қурамиз (11-расм).

Каноник тенгламадаги коэффициентларни ҳар бир оралиқ учун Мор интегралини Верещагин усули билан топамиз.

$$\text{I-I участка } \varphi_I = \int_0^{1,3} \frac{M_{1\delta} \cdot \bar{M}_\delta}{GI_p} dx = 0$$

$$\text{II-II участка } \varphi_{II} = \int_0^{1,1} \frac{M_{2\delta} \cdot \bar{M}_\delta}{GI_p} = \frac{\omega_2 \cdot \bar{M}_\delta}{GI_p}$$

Бу ерда $\omega_2 = 20 \cdot 1,1 = 22kNm^2$ – вални иккинчи участкасига күч юзаси (11-расм).

\bar{M}_δ – иккинчи участка күч юзасининг оғирлик маркази остида жойлашган бирлик момент эпюрасининг ординатаси, $\bar{M}_\delta = 1$.

$$\text{Унда } \varphi_{II} = \frac{22 \cdot 1}{GI_p} = -\frac{22}{GI_p}$$

$$\text{III-III участка } \varphi_{III} = \frac{\omega_3 \cdot \bar{M}_\delta}{GI_p} = \frac{-13 \cdot 1,2 \cdot 1}{GI_p} = -\frac{15,6}{GI_p}$$

$$\text{IV-IV участка } \varphi_{IV} = \frac{\omega_4 \cdot \bar{M}_\delta}{GI_p} = \frac{-26 \cdot 1,1 \cdot 1}{GI_p} = -\frac{28,6}{GI_p}$$

$$\text{Унда: } \Delta_{IM} = \varphi_I + \varphi_{II} + \varphi_{III} + \varphi_{IV} = \frac{-22}{GI_p} - \frac{15,6}{GI_p} - \frac{28,6}{GI_p} = -\frac{66,2}{GI_p}$$

δ_H – күчишни топиш учун Верещагин усулидан фойдаланамиз (11-расм).

$$\text{I-I участка } \varphi^1 = \int_0^{1,3} \frac{\bar{M} \cdot \bar{M}}{GI_p} dx = \frac{\omega \cdot M}{GI_p}$$

Бу ерда ω — бирлик момент эпюрасини биринчи участка даги юзаси:

$$\omega = 1 \cdot 1,3 = 1,3 \text{ ва } M = 1. \text{ Унда: } \varphi^I = \frac{1,3}{GI_p}$$

$$\text{II-II участка } \varphi^{II} = \frac{1,1}{GI_p}$$

$$\text{III-III участка } \varphi^{III} = \frac{1,2}{GI_p}$$

$$\text{IV-IV участка } \varphi^{IV} = \frac{1,1}{GI_p}$$

$$\text{Унда } \delta_{II} = \varphi^I + \varphi^{II} + \varphi^{III} + \varphi^{IV} = \frac{1,3}{GI_p} + \frac{1,1}{GJ_p} + \frac{1,2}{GJ_p} + \frac{1,1}{GJ_p} = \frac{4,7}{GJ_p}$$

Топилган коэффициентларни каноник тенгламага келтириб құйымиз:

$$\frac{4,7}{GI_p} \cdot x - \frac{66,2}{GI_p} = 0, \text{ бу ердан } x = -\frac{\Delta_{IM}}{\delta_{II}} = \frac{66,2}{4,7} = 14,085 \text{ kNm}$$

Энди берилған система учун (10-расм) буровчи момент эпюрасини құрамиз:

$$\text{I-I участка } M_\delta = x = 14,085 \text{ kNm}$$

$$\text{II-II участка } M_\delta = x - M_3 = 14,085 - 20 = -5,915 \text{ kNm}$$

$$\text{III-III участка}$$

$$M_\delta = x - M_3 + M_2 = 14,085 - 20 + 7 = 1,085 \text{ kNm}$$

$$\text{IV-IV участка}$$

$$M_\delta = x - M_3 + M_2 - M_1 = 14,085 - 20 + 7 - 13 = -11,915 \text{ kNm}$$

Буровчи момент эпюрасидан вални энг хавфли кесимини танлаймиз: $M_{\delta_{max}} = 14,085 \text{ kNm}$. Валнинг диаметри ни топамиз:

$$d = \sqrt[3]{\frac{16M_{\delta_{max}}}{\pi[\tau]}} = \sqrt[3]{\frac{16 \cdot 14,085}{3,14 \cdot 50 \cdot 10^3}} = 0,113 \text{ м}$$

$d = 0,12 \text{ м} = 120 \text{ мм}$ қабул қиласыз. Буралиш бурчагини

Гүк қонунига асосан топамиз. $\varphi = \frac{M_\delta \cdot \ell}{GI_p}$, бу ерда

$G = 8 \cdot 10^7 \frac{kH}{m^2}$ – вал материалининг силжиш модули;
 $I_p = \frac{\pi d^4}{32}$ – вал кесимини кутб инерция моменти.

$$\text{Унда, } GI_p = 8 \cdot 10^7 \cdot \frac{3,14 \cdot (0,12)^4}{32} = 1627,8 kHm^2$$

$$\text{I—I участка } \varphi_1 = \frac{14,085x_1}{1627,8}; \quad 0 \leq x_1 \leq 1,3m$$

$x_1 = 0$ бўлса, $\varphi_1 = \varphi_k = 0$. $x_1 = 1,3m$ бўлса, $\varphi_1 = \varphi_B = 0,01125$ рад

$$\text{II—II участка } 0 \leq x_2 \leq 1,1m \quad \varphi_{II} = 0,01125 - \frac{5,915 \cdot x_2}{1627,8}$$

$$x_2 = 0 \quad \text{бўлса, } \varphi_{II} = \varphi_B = 0,01125 \text{ рад}$$

$$x_2 = 1,1m \quad \text{бўлса, } \varphi_{II} = \varphi_C = 7,25 \cdot 10^{-3} \text{ рад}$$

$$\text{III—III участка } 0 \leq x_3 \leq 1,2m \quad \varphi_{III} = 0,00725 + \frac{1,085 \cdot x_3}{1627,8}$$

$$x_3 = 0 \quad \text{бўлса, } \varphi_{III} = \varphi_C = 0,00725 \text{ рад}$$

$$x_3 = 1,2m \quad \text{бўлса, } \varphi_{III} = \varphi_D = 0,00805 \text{ рад}$$

$$\text{IV—IV участка } 0 \leq x_4 \leq 1,1m \quad \varphi_{IV} = 0,00805 - \frac{11,915 \cdot x_4}{1627,8}$$

$$x_4 = 0 \quad \text{бўлса, } \varphi_{IV} = \varphi_D = 0,00805 \text{ рад}$$

$$x_4 = 1,1m \quad \text{бўлса, } \varphi_{IV} = \varphi_O = 0,00805 - 0,00805 = 0 \text{ рад}$$

АДАБИЁТЛАР

1. М.Т. Үрзебоев. Материаллар қаршилиги курси. Т., 1973 й.
2. К.М. Мансуров. Материаллар қаршилиги. Т., 1983 й.
3. С.А. Йұлдошбеков. Материаллар қаршилиги. Т., 1983 й.
4. С.Смирнов. Материаллар қаршилиги. Т., 1998 й.
5. Г.С. Писаренко. Сопротивление материалов. Киев, 1988 г.
6. Н.Н. Беляев. Сопротивление материалов. М., 1973 г.
7. В.К. Качурин. Материаллар қаршилигидан масалалар түплами. Т., 1998 й.
8. Г.С. Писаренко и другие. Справочник по сопротивлению материалов, Киев, 1975 г.
9. В.А. Гастев. Краткий курс сопротивления материалов. М., 1977 г.
10. Н.К. Снитко. Сопротивление материалов. Л., 1975 г.
11. М.В. Рубинин. Руководство и практические занятия по сопротивлению материалов. М., 1957 г.
12. А.С. Вольмир. Сборник задач по сопротивлению материалов. М., 1984 г.
13. Г.М. Ицкович и другие. Руководство к решению задач по сопротивлению материалов. Р., 1963 г.
14. А.В. Дарков, Г.С. Шпиро. Сопротивление материалов. М., 1989 г.
15. В.И. Федосьев. Сопротивление материалов. М., 1989 г.
16. М.М. Фалоненко-Бородин и другие. Курс сопротивления материалов. Том-1. М., 1956 г.
17. П.А. Степин. Сопротивление материалов. М., 1988 г.
18. А.В. Александров. Сборник задач по сопротивлению материалов. М., 1977 г.

МУНДАРИЖА

Кириш	5
Куч ва куч турлари	8
Деформация ва күчиш	11
Материаллар қаршилигига қабул қилинган гипотезалар	12
Конструкция элементлари	13

I БОБ. ТЕКИС КЕСИМ ЮЗАЛАРИНИНГ ГЕОМЕТРИК ТАВСИФЛАРИ

1.1. Статик момент ва инерция моментлар	15
1.2. Параллел ўқларга нисбатан инерция моментлар ...	17
1.3. Оддий кесим юзаларининг геометрик тавсифлари	18
1.4. Оддий кесим юзаларининг қаршилик моментлари	21
1.5. Координата ўқларини айлантирганда инерция моментлари	22
1.6. Инерция эллипси ҳақида тушунча	27
Масалалар	29

II БОБ. ЧЎЗИЛИШ ВА СИҚИЛИШ

2.1. Бўйлама куч. Кучланиш ва деформация	46
2.2. Ҳарорат таъсирида кучланиш ва деформация	49
2.3. Хусусий оғирлик таъсиридаги стерженнинг чўзилиш ёки сиқилишини ҳисоблаш	50
2.4. Чўзилиш ва сиқилишда статик ноаниқ системалар	53
2.5. Материалларни чўзилиш ва сиқилишга синаш	55
2.5.1. Юмшоқ иўлатнинг чўзилиш диаграммаси	56
2.5.2. Материалларни чўзилиш ва сиқилиш диаграммалари	60

2.5.3. Чүзилиш ва сиқилишда потенциал энергия	64
2.6. Рухсат этилган кучланиши танлаш	64
2.7. Кучланишлар концентрацияси	65
2.8. Контакт кучланишлар ҳақида түшүнчә	66
2.9. Қаттиқлик	67
2.10. Яңги материалларнинг механик тавсифлари	68
Масалалар	69

III БОБ. КУЧЛАНГАНЛИК ҲОЛАТЛАРИ ВА МУСТАҲКАМЛИК НАЗАРИЯЛАРИ

3.1. Чизиқли кучланганлик ҳолати	111
3.2. Текис кучланганлик ҳолати	113
3.3. Кучланишларни график усулда топиш	115
3.4. Ҳажмий кучланганлик ҳолати	118
3.5. Ҳажмий деформация	120
3.6. Деформациянинг потенциал энергияси	121
Масалалар	122
3.7. Мустаҳкамлик назариялари	125

IV БОБ. СИЛЖИШ

4.1. Соф силжишда кучланиш ва деформация	138
4.2. Соф силжишда рухсат этилган кучланиш	142
4.3. Парчин михли бирикмаларни ҳисоблаш	143
4.4. Пайванд бирикмалар	145
Масалалар	147

V БОБ. БУРАЛИШ

5.1. Буровчи момент ҳақида түшүнчә	150
5.2. Доиравий кесим юзали брусларнинг буралишда кучланиш ва деформация	152
5.3. Буралишда мустаҳкамлик ва бирлик шартлари	155
5.4. Буралишда статик аниқмас масала	156
5.5. Буралишда кучланиш ҳолатининг таҳлили	157

5.6. Буралишда потенциал энергия.....	158
5.7. Винтсимон цилиндрик пружиналарни ҳисоблаш	159
5.8. Кесими доирвий бўлмаган стерженларнинг буралиши	161
Масалалар	163

VI БОБ. ЭГИЛИШ

6.1. Таянч ва таянч турлари	181
6.2. Эгилишда ички кучларни аниқлаш	182
Масалалар	186
6.3. Эгилишда нормал кучланишни аниқлаш	196
6.3.1. Турли кесимлар учун нормал кучланиш эпюраси	201
6.4. Эгилишда уринма кучланишни аниқлаш	204
6.4.1. Журавский формуласини турли кесимларга татбиқ этиш	208
6.5. Балкалар мустаҳкамлигини бош кучланишлар бўйича текшириш	218

VII БОБ. ЭГИЛИШДА БАЛКАЛАРНИНГ КЎЧИШИНИ АНИҚЛАШ

7.1. Салқилик ва кесимнинг айланиш бурчаги	229
7.2. Балка эгилиш ўқининг дифференциал тенгламаси	230
7.3. Бошланғич параметрлар усули	232
7.4. Эгилишда кўчишни топишнинг графоаналитик усули	235
Масалалар	237
7.5. Тенг қаршилик кўрсатувчи балкалар. Ўзгарувчан кесимли балкаларда кўчишларни аниқлаш	262
7.6. Эгилишда кўчишларни топишнинг энергетик усуллари	265
7.6.1. Эгилишда деформациянинг потенциал энер- гияси	265

7.6.2. Ишлар орасидаги боғланишлар теоремаси.	
Кўчишлар орасидаги боғланишлар теоремаси .	267
7.6.3. Эгилишда кўчишларни аниқлашнинг Мор интеграли	270
7.6.4. Верещагин қоидаси	271
7.7. Статик аниқмас системалар.....	272
7.8. Узлуксиз балкалар. Уч момент теоремаси	276
7.9. Статик аниқмас рамаларни ҳисоблаш	280
Масалалар	282

VIII БОБ. ЭГРИ СТЕРЖЕНЛАР

8.1. Эгувчи момент, кўндаланг ва бўйлама кучларни аниқлаш	308 ✓
8.2. Кўндаланг ва бўйлама кучлар билан боғлиқ бўлган кучланишлар	310
8.3. Эгувчи момент билан боғлиқ бўлган кучланишни аниқлаш	310
8.4. Эгри стерженда нейтрал ўқ ҳолатини аниқлаш ...	314
8.5. Эгри стерженларда мустаҳкамлик шартлари	315
Масалалар	316
8.6. Юпқа деворли йишиларни ҳисоблаш	322

IX БОБ. МАТЕРИАЛИ ГУК ҚОНУНИГА БЎЙСУНМАЙДИГАН БАЛКАЛАРНИНГ ЭГИЛИШИ

Кучланиш	338
----------------	-----

X БОБ. МУРАККАБ ҚАРШИЛИКЛАР

10.1. Эгилиш билан буралишнинг биргаликдаги таъсири	344
10.2. Қийшиқ эгилини	347
10.3. Марказлашмаган сиқилиш (чўзилиш)	351
10.4. Эгилиш билан чўзилишни ёки сиқилишнинг биргаликдаги таъсири	356

Масалалар	357
-----------------	-----

ХІ БОБ. СИҚИЛГАН СТЕРЖЕНЛАРНИ УСТУВОРЛИККА ҲИСОБЛАШ

Устуворлик ҳақида түшүнчә	367
11.1. Критик күчни аниқлаш. Эйлер формуласи	368
11.2. Эйлер формуласини ишлатиш чегарасини аниқлаш	371
11.3. Сиқилган стерженнинг күндаланг кесимдаги рационал шакли	373
11.4. Сиқилган стерженларни устуворликка амалий ҳисоблаш	375
11.5. Бүйлама ва күндаланг эгилиш	377
Масалалар	380

ХІІ БОБ. ДИНАМИК КУЧЛАР

Умумий түшүнчалар	391
12.1. Текис тезланишли ҳаракатда күчланишни аниқлаш	392
12.2. Тебранма ҳаракатда күчланишни аниқлаш	395
12.3. Зарб таъсирида күчланиш	397
12.4. Ўзгарувчан кесимли стерженларда зарб таъсиридаги күчланиш	402

ХІІІ БОБ. ЎЗГАРУВЧАН КҮЧЛАНИШЛАР

Умумий түшүнчалар	407
13.1. Күчланиш цикларининг турлари	408
13.2. Симметрик циклда чидамлилик чегарасини аниқлаш	410
13.3. Носимметрик циклда чидамлилик чегарасини аниқлаш	412
13.4. Чидамлилик чегарасига таъсир қилувчи факторлар	414

13.5. Ўзгарувчан кучланишларда мустаҳкамлик	
шарти	415
Масалалар	418

XIV БОБ. ДЕФОРМАЦИЯ ВА КУЧЛАНИШЛАРНИ ЭКСПЕРИМЕНТАЛ ТЕКШИРИШ

Экспериментал текширишнинг аҳамияти ва	
принципи	431
Чузилиш ва сиқилиш деформациясини электротензометр	
ёрдамида аниқлаш	433
Валнинг буралиш деформациясини тензодатчик	
ёрдамида аниқлаш	437
Лок қопламалари усули	439
Кучланишларни поляризацион-оптик усулда	
аниқлаш	441
Материаллар қаршилиги фанини ўқитиш услубиятига	
доир	447
Материаллар қаршилиги фанидан тест саволлари	479
Таянч ибораларнинг луғавий маъноси	514
Адабиётлар	551

Нарзулла Бибутов

МАТЕРИАЛЛАР ҚАРШИЛИГИ АСОСЛАРИ

Ўзбекистон Республикаси Олий ва ўрта маҳсус таълим вазирлиги томонидан олий ўқув юртлари талабалари учун дарслик сифатида тавсия этилган

Наширёт мұҳаррир M. Йұлдошева

Техник мұҳаррир B. Ашурев

Мусаҳих Н. Фозилова

Компьютерда тайёрловчи T. Каримов

Босишга 20.05.03 й.да рухсат этилди. Қоғоз формати $84 \times 108^{1/32}$.
Шартли б.т. 33,6. Нашр табори 34,3. Адади 1000 нусха.

Буюртма № 52
Баҳоси шартнома асосида.

«Минҳож» нашриёти. Тошкент, Буюк Турон кӯчаси, 41.

Фан ва технологиялар маркази босмахонасида чоп этилди. Тошкент,
Олмазор кӯчаси, 171.

Б 66 **Бибутов Н.С.** "Материаллар қаршилиги асослари: Олий ўқув юртларининг талабалари учун дарслик.—Т.: «Минҳож» нашр., 2003.— 560 б.